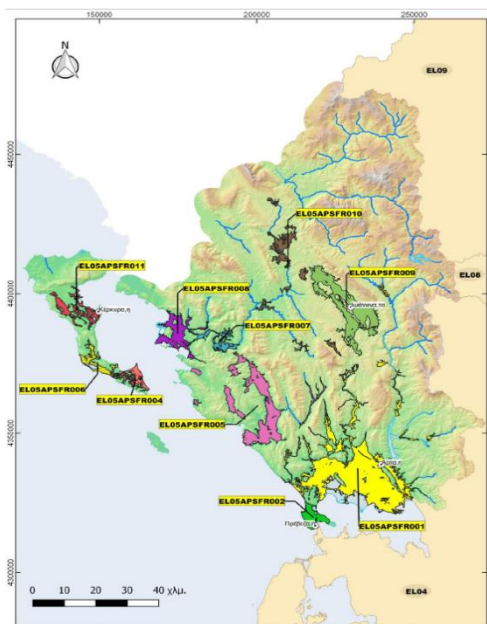




ΕΛΛΗΝΙΚΗ ΔΗΜΟΚΡΑΤΙΑ



ΓΕΝΙΚΗ ΓΡΑΜΜΑΤΕΙΑ ΦΥΣΙΚΟΥ ΠΕΡΙΒΑΛΛΟΝΤΟΣ ΚΑΙ ΥΔΑΤΩΝ ΓΕΝΙΚΗ ΔΙΕΥΘΥΝΣΗ ΥΔΑΤΩΝ



1^η ΑΝΑΘΕΩΡΗΣΗ ΣΧΕΔΙΟΥ ΔΙΑΧΕΙΡΙΣΗΣ ΚΙΝΔΥΝΩΝ ΠΛΗΜΜΥΡΑΣ των Λεκανών Απορροής Ποταμών του Υδατικού Διαμερίσματος Ηπείρου (EL05)

Στάδιο 1 – Παραδοτέο 4

ΠΛΗΜΜΥΡΙΚΑ ΥΔΡΟΓΡΑΦΗΜΑΤΑ

Παράρτημα Π5.7:
Υδρολογική Ανάλυση λεκάνης ποταμού Διπόταμου



Με τη συγχρηματοδότηση της Ελλάδας και της Ευρωπαϊκής Ένωσης

Περιεχόμενα

1	ΜΟΝΤΕΛΟ ΥΔΡΟΛΟΓΙΚΗΣ ΠΡΟΣΟΜΟΙΩΣΗΣ ΛΕΚΑΝΗΣ ΑΠΟΡΡΟΗΣ	4
2	ΔΕΔΟΜΕΝΑ ΕΙΣΟΔΟΥ ΚΑΙ ΑΠΟΤΕΛΕΣΜΑΤΑ ΥΔΡΟΛΟΓΙΚΟΥ ΣΕΝΑΡΙΟΥ T=50	8
2.1	Αποτελέσματα, υετογραφήματα και υδρογραφήματα σχεδιασμού υπολεκανών	9
2.2	Δεδομένα και υδρογραφήματα σχεδιασμού Κλάδων υδρογραφικού δικτύου	27
2.3	Δεδομένα και υδρογραφήματα σχεδιασμού Κόμβων υδρογραφικού δικτύου	38
3	ΔΕΔΟΜΕΝΑ ΕΙΣΟΔΟΥ ΚΑΙ ΑΠΟΤΕΛΕΣΜΑΤΑ ΥΔΡΟΛΟΓΙΚΟΥ ΣΕΝΑΡΙΟΥ T=50 L	50
3.1	Αποτελέσματα, υετογραφήματα και υδρογραφήματα σχεδιασμού υπολεκανών	51
3.2	Δεδομένα και υδρογραφήματα σχεδιασμού Κλάδων υδρογραφικού δικτύου	69
3.3	Δεδομένα και υδρογραφήματα σχεδιασμού Κόμβων υδρογραφικού δικτύου	80
4	ΔΕΔΟΜΕΝΑ ΕΙΣΟΔΟΥ ΚΑΙ ΑΠΟΤΕΛΕΣΜΑΤΑ ΥΔΡΟΛΟΓΙΚΟΥ ΣΕΝΑΡΙΟΥ T=50 U	92
4.1	Αποτελέσματα, υετογραφήματα και υδρογραφήματα σχεδιασμού υπολεκανών	93
4.2	Δεδομένα και υδρογραφήματα σχεδιασμού Κλάδων υδρογραφικού δικτύου	111
4.3	Δεδομένα και υδρογραφήματα σχεδιασμού Κόμβων υδρογραφικού δικτύου	122
5	ΔΕΔΟΜΕΝΑ ΕΙΣΟΔΟΥ ΚΑΙ ΑΠΟΤΕΛΕΣΜΑΤΑ ΥΔΡΟΛΟΓΙΚΟΥ ΣΕΝΑΡΙΟΥ T=100	134
5.1	Αποτελέσματα, υετογραφήματα και υδρογραφήματα σχεδιασμού υπολεκανών	135
5.2	Δεδομένα και υδρογραφήματα σχεδιασμού Κλάδων υδρογραφικού δικτύου	153
5.3	Δεδομένα και υδρογραφήματα σχεδιασμού Κόμβων υδρογραφικού δικτύου	164
6	ΔΕΔΟΜΕΝΑ ΕΙΣΟΔΟΥ ΚΑΙ ΑΠΟΤΕΛΕΣΜΑΤΑ ΥΔΡΟΛΟΓΙΚΟΥ ΣΕΝΑΡΙΟΥ T=100 L	176
6.1	Αποτελέσματα, υετογραφήματα και υδρογραφήματα σχεδιασμού υπολεκανών	177
6.2	Δεδομένα και υδρογραφήματα σχεδιασμού Κλάδων υδρογραφικού δικτύου	195
6.3	Δεδομένα και υδρογραφήματα σχεδιασμού Κόμβων υδρογραφικού δικτύου	206
7	ΔΕΔΟΜΕΝΑ ΕΙΣΟΔΟΥ ΚΑΙ ΑΠΟΤΕΛΕΣΜΑΤΑ ΥΔΡΟΛΟΓΙΚΟΥ ΣΕΝΑΡΙΟΥ T=100 U	218
7.1	Αποτελέσματα, υετογραφήματα και υδρογραφήματα σχεδιασμού υπολεκανών	219
7.2	Δεδομένα και υδρογραφήματα σχεδιασμού Κλάδων υδρογραφικού δικτύου	237
7.3	Δεδομένα και υδρογραφήματα σχεδιασμού Κόμβων υδρογραφικού δικτύου	248
8	ΔΕΔΟΜΕΝΑ ΕΙΣΟΔΟΥ ΚΑΙ ΑΠΟΤΕΛΕΣΜΑΤΑ ΥΔΡΟΛΟΓΙΚΟΥ ΣΕΝΑΡΙΟΥ T=1000	260
8.1	Αποτελέσματα, υετογραφήματα και υδρογραφήματα σχεδιασμού υπολεκανών	261
8.2	Δεδομένα και υδρογραφήματα σχεδιασμού Κλάδων υδρογραφικού δικτύου	279
8.3	Δεδομένα και υδρογραφήματα σχεδιασμού Κόμβων υδρογραφικού δικτύου	290

9 ΔΕΔΟΜΕΝΑ ΕΙΣΟΔΟΥ ΚΑΙ ΑΠΟΤΕΛΕΣΜΑΤΑ ΥΔΡΟΛΟΓΙΚΟΥ ΣΕΝΑΡΙΟΥ T=1000L302

9.1	Αποτελέσματα, υετογραφήματα και υδρογραφήματα σχεδιασμού υπολεκανών	303
9.2	Δεδομένα και υδρογραφήματα σχεδιασμού Κλάδων υδρογραφικού δικτύου	321
9.3	Δεδομένα και υδρογραφήματα σχεδιασμού Κόμβων υδρογραφικού δικτύου	332

10 ΔΕΔΟΜΕΝΑ ΕΙΣΟΔΟΥ ΚΑΙ ΑΠΟΤΕΛΕΣΜΑΤΑ ΥΔΡΟΛΟΓΙΚΟΥ ΣΕΝΑΡΙΟΥ T=1000U344

10.1	Αποτελέσματα, υετογραφήματα και υδρογραφήματα σχεδιασμού υπολεκανών	345
10.2	Δεδομένα και υδρογραφήματα σχεδιασμού Κλάδων υδρογραφικού δικτύου	363
10.3	Δεδομένα και υδρογραφήματα σχεδιασμού Κόμβων υδρογραφικού δικτύου	374

1 Μοντέλο Υδρολογικής Προσομοίωσης Λεκάνης Απορροής

Το μοντέλο υδρολογικής προσομοίωσης της λεκάνης απορροής του ποταμού Διπόταμου περιλαμβάνει 17 υπολεκάνες, 12 κόμβους και 11 κλάδους του υδρογραφικού δικτύου.

Η σχηματοποίηση του υδρολογικού συστήματος απεικονίζεται στον χάρτη της Εικόνας 5-10.

Τα χαρακτηριστικά μεγέθη της συνολικής λεκάνης είναι:

- Έκταση $A = 224.7 \text{ km}^2$
- Μέσο υψόμετρο $z_m = 340.6 \text{ m}$
- Υψόμετρο κόμβου εξόδου $z_k = 0.0 \text{ m}$
- Μέγιστο μήκος ροής $L_{\max} = 31.7 \text{ km}$
- Χρόνος συγκέντρωσης $t_c = 7.3 \text{ h}$

Για την υδρολογική προσομοίωση επιλέγεται διάρκεια βροχής $D = 24 \text{ h}$ και χρονικό βήμα $\Delta t = 15 \text{ min}$.

Για την παραπάνω έκταση και διάρκεια προκύπτει συντελεστής επιφανειακής αναγωγής $\varphi = 0.917$.

Τα χαρακτηριστικά γεωμετρικά μεγέθη των κλάδων και υπολεκανών του υδρογραφικού δικτύου δίνονται στους Πίνακες 5-14 και 5-15, αντίστοιχα, ενώ τα συγκεντρωτικά αποτελέσματα της συνολικής λεκάνης απορροής δίνονται στον

Πίνακας Error! No text of specified style in document.-3 Συγκεντρωτικά αποτελέσματα υδρολογικής προσομοίωσης περιοχής μελέτης. Στο Παράρτημα Π7 δίνονται τα πλήρη δεδομένα εισόδου και εξόδου του μοντέλου προσομοίωσης για όλες τις συνιστώσες του δικτύου (υπολεκάνες, κόμβοι, κλάδοι), και τα αντίστοιχα γραφήματα. Πίνακας Error! No text of specified style in document.-1 Χαρακτηριστικά μεγέθη κλάδων υδρογραφικού δικτύου (υδατορεύματα)

Κωδικός	Υπολεκάνη	Ονομασία	Ανάληψη	Κατάληψη	Μήκος (km)	Μέση κλίση
R21	EL0514FR004001	Διπόταμο	J2	J1	1.952	0.0018
R32	EL0514FR004002	Διπόταμο	J3	J2	0.392	0.0056
R43	EL0514FR004004	Διπόταμο	J4	J3	5.446	0.0041
R54	EL0514FR004005	Διπόταμο	J5	J4	4.198	0.0121
R65	EL0514FR004006	Διπόταμο	J6	J5	4.181	0.0169
R72	EL0514FR004003		J7	J2	4.285	0.0033
R87	EL0514FR004011		J8	J7	6.718	0.0024
R98	EL0514FR004012		J9	J8	4.414	0.0125
R107	EL0514FR004010		J10	J7	5.618	0.0141
R113	EL0514FR004014	Μαντάνι	J11	J3	3.708	0.0024
R1211	EL0514FR004015	Μαντάνι	J12	J11	8.720	0.0198

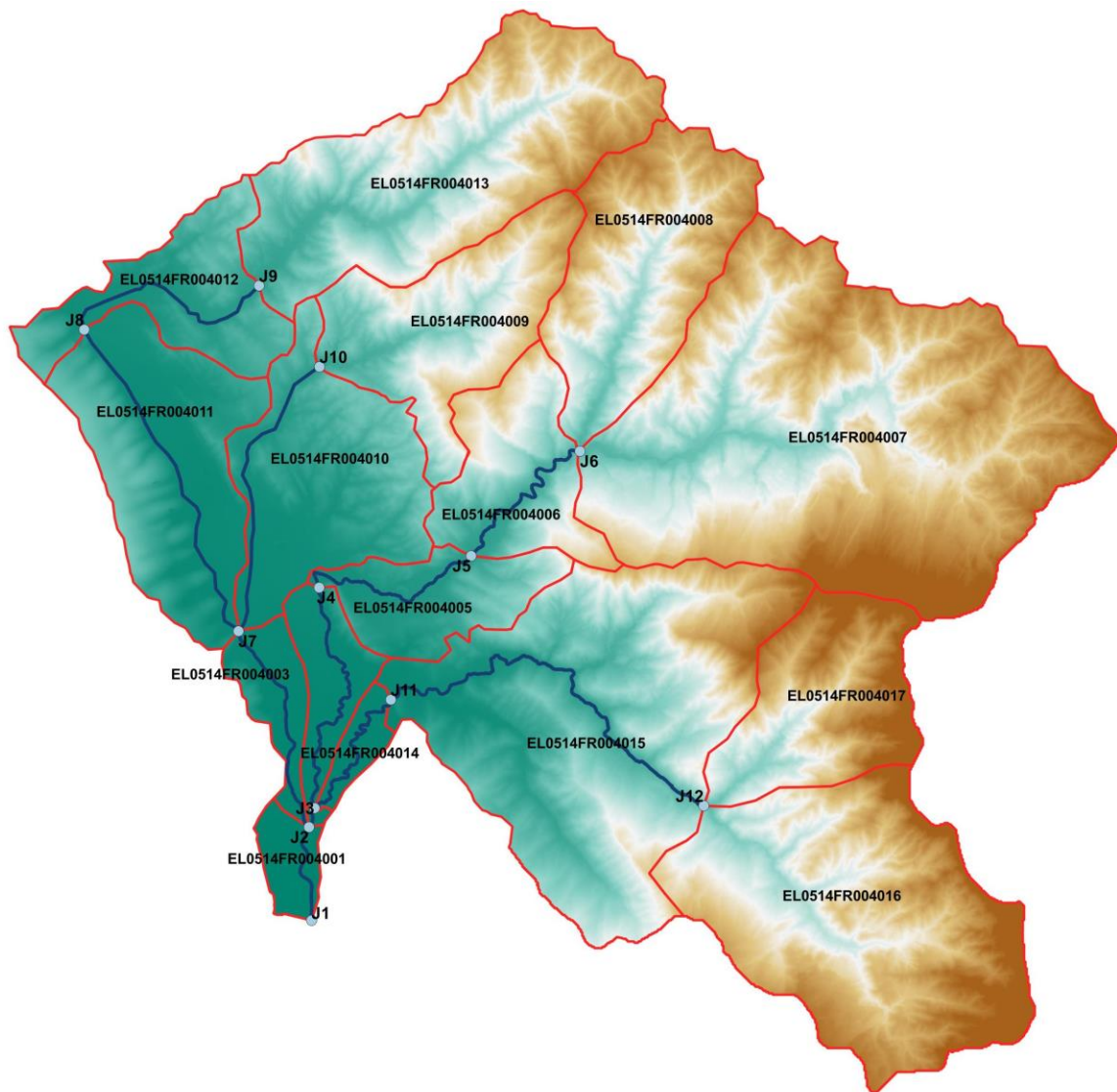
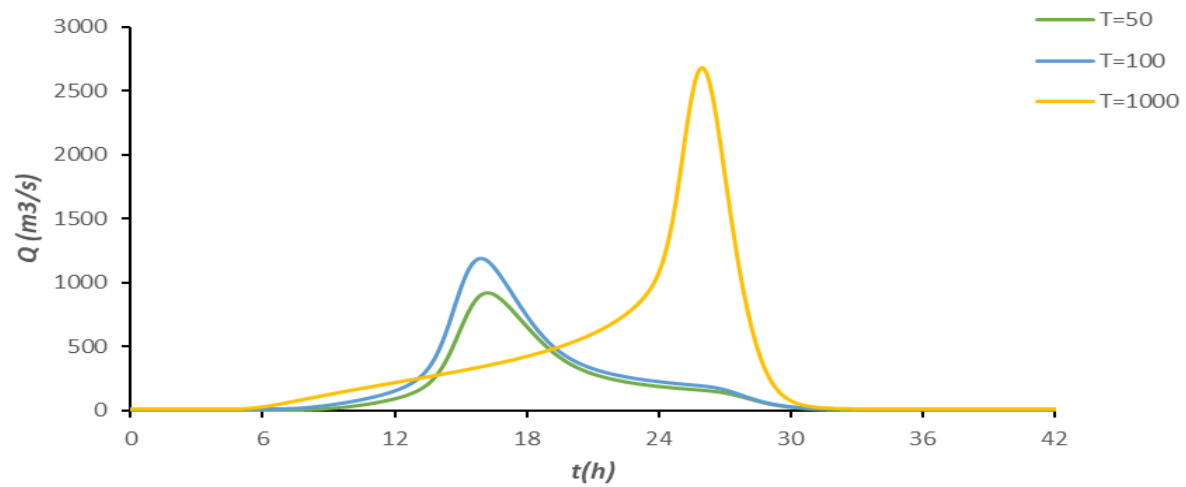
Πίνακας Error! No text of specified style in document.-2 Χαρακτηριστικά μεγέθη υπολεκανών

Κωδικός	Λεκάνη απορροής	Κλάδος	Κόμβος εξόδου	Έκταση (km ²)	Μέσο υψόμετρο (m)	Υψόμετρο εξόδου (m)	Μέγιστο μήκος ροής (km)
EL0516FR004001	EL0514FR00004	R21	J1	1.952	1.1	0.0	2.2
EL0516FR004002	EL0514FR00004	R32	J2	0.129	3.6	3.5	0.6
EL0516FR004003	EL0514FR00004	R72	J2	3.139	16.5	1.7	4.3
EL0516FR004004	EL0514FR00004	R43	J3	3.813	19.1	3.0	5.5
EL0516FR004005	EL0514FR00004	R54	J4	6.292	123.2	19.4	6.7
EL0516FR004006	EL0514FR00004	R65	J5	8.523	306.4	77.5	6.4
EL0516FR004007	EL0514FR00004	IN	J6	45.766	491.9	143.2	15.5
EL0516FR004008	EL0514FR00004	IN	J6	14.212	455.8	147.0	8.2
EL0516FR004009	EL0514FR00004	IN	J10	12.225	366.5	96.3	7.4
EL0516FR004010	EL0514FR00004	R107	J7	13.421	101.2	16.6	8.8
EL0516FR004011	EL0514FR00004	R87	J7	14.76	73.0	14.8	9.7
EL0516FR004012	EL0514FR00004	R98	J8	8.257	112.2	33.4	5.5
EL0516FR004013	EL0514FR00004	IN	J9	22.157	376.9	88.4	11.6
EL0516FR004014	EL0514FR00004	R113	J3	1.471	8.1	5.7	3.9
EL0516FR004015	EL0514FR00004	R1211	J11	32.029	266.2	8.4	11.1
EL0516FR004016	EL0514FR00004	IN	J12	25.771	521.2	178.2	9.6
EL0516FR004017	EL0514FR00004	IN	J12	10.837	543.2	176.9	6.5

Πίνακας Error! No text of specified style in document.-3 Συγκεντρωτικά αποτελέσματα υδρολογικής προσομοίωσης περιοχής μελέτης

Χαρακτηριστικά μεγέθη λεκάνης απορροής Διπόταμου			
Έκταση (km ²)	224.75	Υψόμετρο εξόδου (m)	0.0
Αδιαπέρατη επιφάνεια (%)	0.00	Χρόνος συγκέντρωσης (h)	7.29
Μέγιστο μήκος ροής (km)	31.69	Διάρκεια βροχόπτωσης σχεδιασμού (h)	24.00
Μέσο υψόμετρο (m)	340.6	Χρονικό βήμα (h)	0.25
Συγκεντρωτικά αποτελέσματα υδρολογικής προσομοίωσης λεκάνης			
	Ευμενείς συνθήκες	Μέσες συνθήκες	Δυσμενείς συνθήκες
	Ολικό ύψος επιφανειακής βροχής (mm)		
T = 50	154.1	154.1	154.1
T = 100	180.6	180.6	180.6
T = 1000	296.3	296.3	296.3
	Ολικό ύψος πλημμυρικής απορροής (mm)		
T = 50	55.4	96.6	124.4
T = 100	74.3	120.5	150.1
T = 1000	167.8	229.7	264.3
	Συντελεστής απορροής		
T = 50	0.359	0.626	0.807
T = 100	0.411	0.667	0.832
T = 1000	0.566	0.775	0.892
	Πλημμυρική παροχή αιχμής (m³/s)		
T = 50	498.8	910.6	1146
T = 100	706.5	1177.9	1427.9
T = 1000	2259.4	2666.7	2799.2
	Πλημμυρικός όγκος (hm³)		
T = 50	12.452	21.701	27.951
T = 100	16.692	27.088	33.745
T = 1000	37.709	51.637	59.392
	Συνολική παροχή αιχμής (m³/s)		
T = 50	503.3	915.1	1150.5
T = 100	713.2	1184.6	1434.6
T = 1000	2270.6	2677.9	2810.5
	Συνολικός όγκος υδρογραφήματος (hm³)		
T = 50	15.369	24.618	30.868
T = 100	21.068	31.463	38.120
T = 1000	45.001	58.930	66.685

Υδρογραφήματα σχεδιασμού στον κόμβο εξόδου(μέσες συνθήκες)



Εικόνα Error! No text of specified style in document.-1 Χάρτης περιοχής μελέτης, όπου απεικονίζεται η σχηματοποίηση των κόμβων και κλάδων του υδρογραφικού δικτύου και των υπολεκανών

2 Δεδομένα εισόδου και αποτελέσματα υδρολογικού σεναρίου T=50

2.1 Αποτελέσματα, υετογραφήματα και υδρογραφήματα σχεδιασμού υπολεκανών

Υπολεκάνη: EL0514FR4001

Έκταση (KM2) : 1.95

Κατάνη : J1

Μέθοδος Απωλειών: SCS

Ποσοστό αδιαπέρατης επιφάνειας	0
Αριθμός Καμπύλης Απορροής-CN	82.93
Αρχικές Απώλειες	10.45

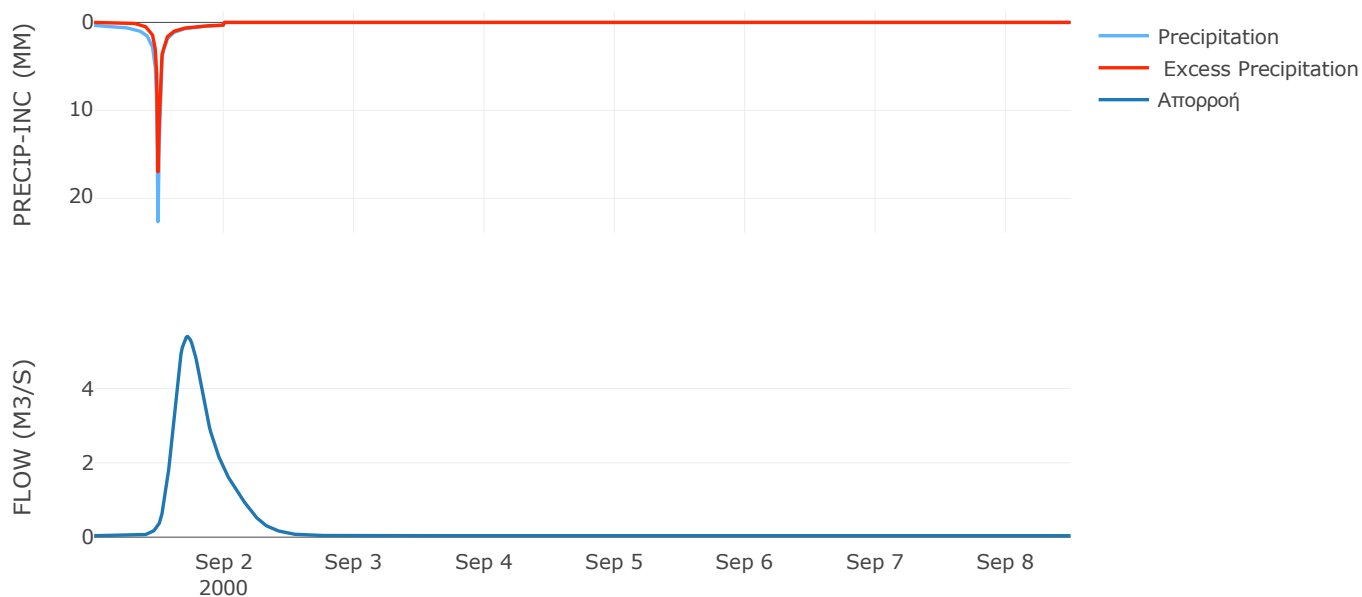
Μέθοδος
Μετασχηματισμού: SCS

Χρόνος Υστέρησης	287.85
------------------	--------

Αποτελέσματα:
EL0514FR4001

Παροχή αιχμής (M3/S)	5.4
Χρονική στιγμή αιχμής	01Sep2000, 17:15
Όγκος (MM)	100.64
Όγκος βροχόπτωσης (M3)	2.63E5
Όγκος απωλειών (M3)	92264.01
Ενεργός Όγκος (M3)	1.71E5
Όγκος άμεσης απορροής (M3)	1.71E5
Όγκος βασικής απορροής (M3)	25297.92

Βροχόπτωση και Απορροή



Υπολεκάνη: EL0514FR4002

Έκταση (KM2) : 0.13

Κατάντη : J2

Μέθοδος Απωλειών: SCS

Ποσοστό αδιαπέρατης επιφάνειας	0
Αριθμός Καμπύλης Απορροής-CN	80.26
Αρχικές Απώλειες	12.49

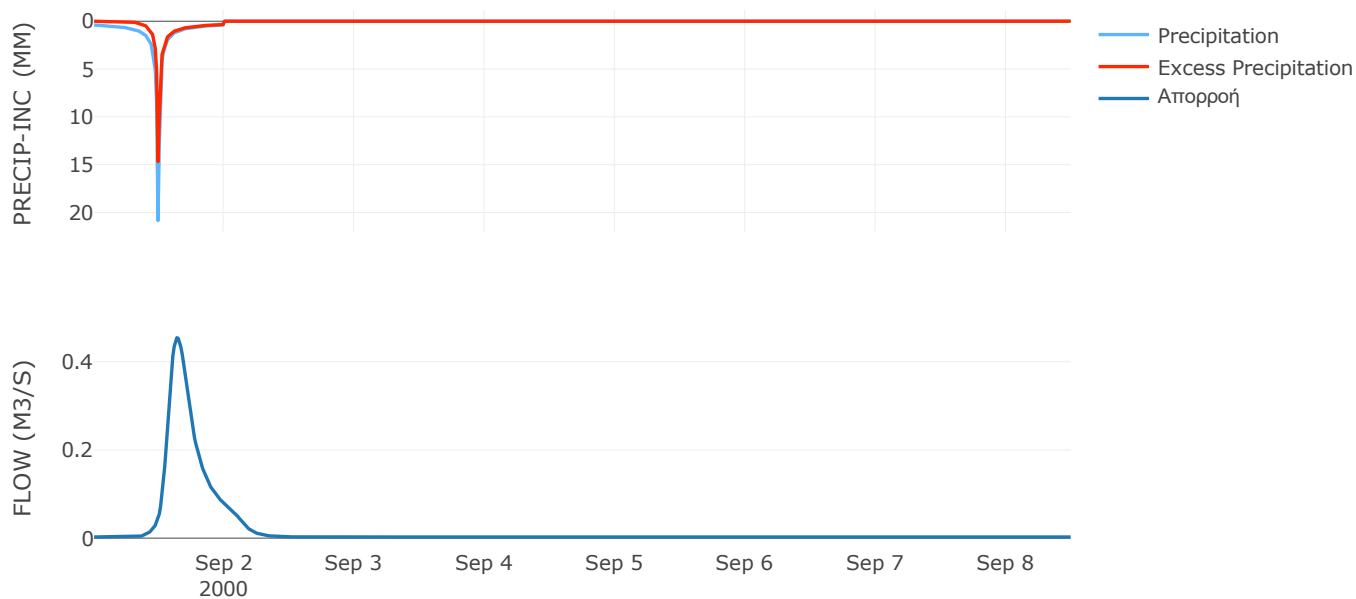
Μέθοδος
Μετασχηματισμού: SCS

Χρόνος Υστέρησης	183.34
------------------	--------

Αποτελέσματα:
EL0514FR4002

Παροχή αιχμής (M3/S)	0.45
Χρονική στιγμή αιχμής	01Sep2000, 15:15
Όγκος (MM)	97.27
Όγκος βροχόπτωσης (M3)	17875.89
Όγκος απωλειών (M3)	6999.61
Ενεργός Όγκος (M3)	10876.28
Όγκος άμεσης απορροής (M3)	10876.28
Όγκος βασικής απορροής (M3)	1671.84

Βροχόπτωση και Απορροή



Υπολεκάνη: EL0514FR4003

Έκταση (KM2) : 3.14

Κατάντη : J2

Μέθοδος Απωλειών: SCS

Ποσοστό αδιαπέρατης επιφάνειας	0
Αριθμός Καμπύλης Απορροής-CN	73.75
Αρχικές Απώλειες	18.08

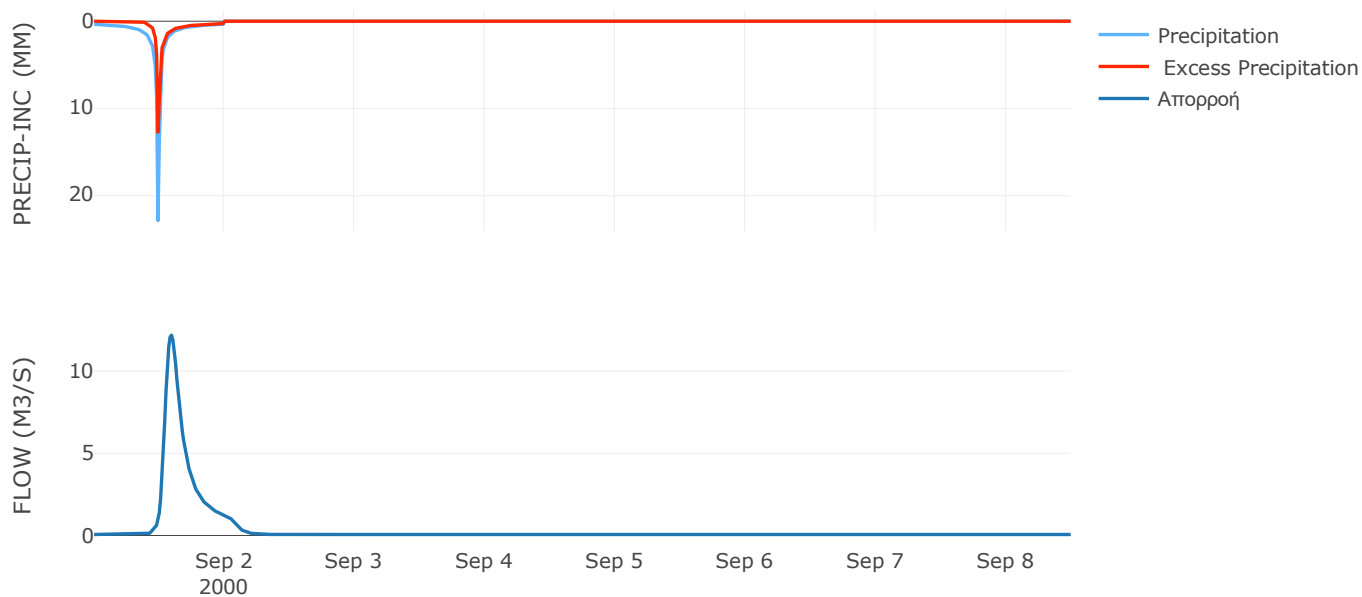
Μέθοδος
Μετασχηματισμού: SCS

Χρόνος Υστέρησης	118.76
------------------	--------

Αποτελέσματα:
EL0514FR4003

Παροχή αιχμής (M3/S)	12.17
Χρονική στιγμή αιχμής	01Sep2000, 14:15
Όγκος (MM)	80.1
Όγκος βροχόπτωσης (M3)	4.28E5
Όγκος απωλειών (M3)	2.18E5
Ενεργός Όγκος (M3)	2.11E5
Όγκος άμεσης απορροής (M3)	2.11E5
Όγκος βασικής απορροής (M3)	40681.44

Βροχόπτωση και Απορροή



Υπολεκάνη: EL0514FR4004

Έκταση (KM2) : 3.81

Κατάντη : J3

Μέθοδος Απωλειών: SCS

Ποσοστό αδιαπέρατης επιφάνειας	0
Αριθμός Καμπύλης Απορροής-CN	77.92
Αρχικές Απώλειες	14.39

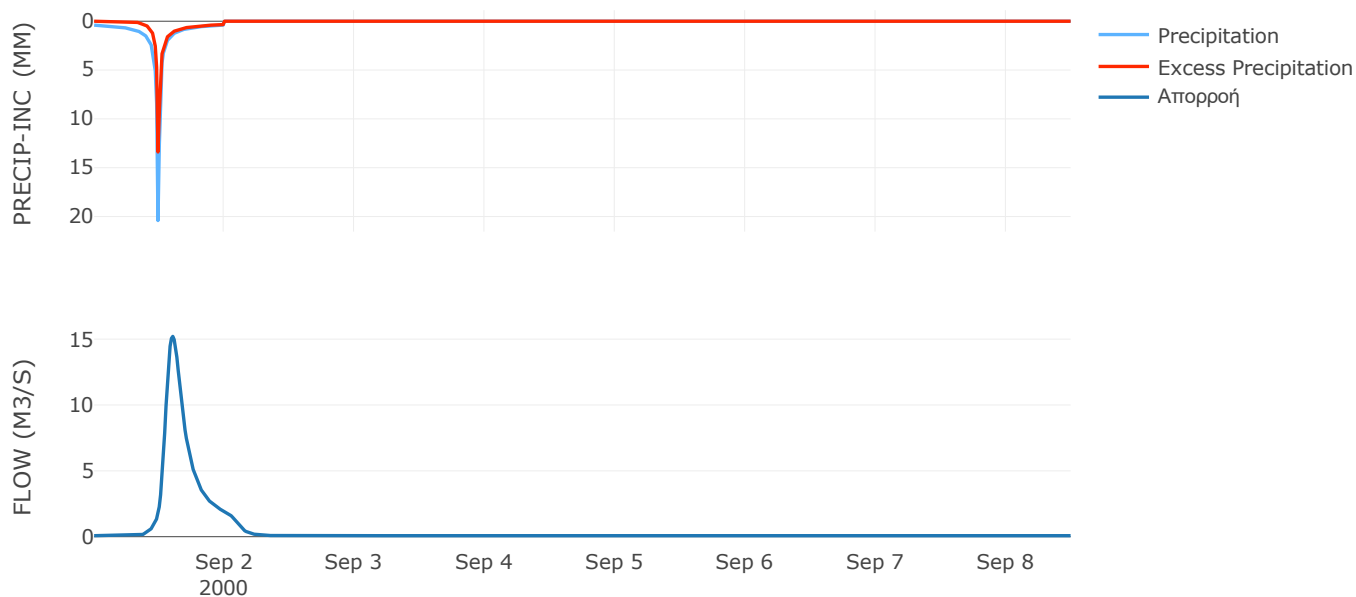
Μέθοδος
Μετασχηματισμού: SCS

Χρόνος Υστέρησης	135.16
------------------	--------

Αποτελέσματα:
EL0514FR4004

Παροχή αιχμής (M3/S)	15.21
Χρονική στιγμή αιχμής	01Sep2000, 14:30
Όγκος (MM)	92
Όγκος βροχόπτωσης (M3)	5.3E5
Όγκος απωλειών (M3)	2.29E5
Ενεργός Όγκος (M3)	3.01E5
Όγκος άμεσης απορροής (M3)	3.01E5
Όγκος βασικής απορροής (M3)	49416.48

Βροχόπτωση και Απορροή



Υπολεκάνη: EL0514FR4005

Έκταση (KM2) : 6.29

Κατάντη : J4

Μέθοδος Απωλειών: SCS

Ποσοστό αδιαπέρατης επιφάνειας	0
Αριθμός Καμπύλης Απορροής-CN	81.03
Αρχικές Απώλειες	11.89

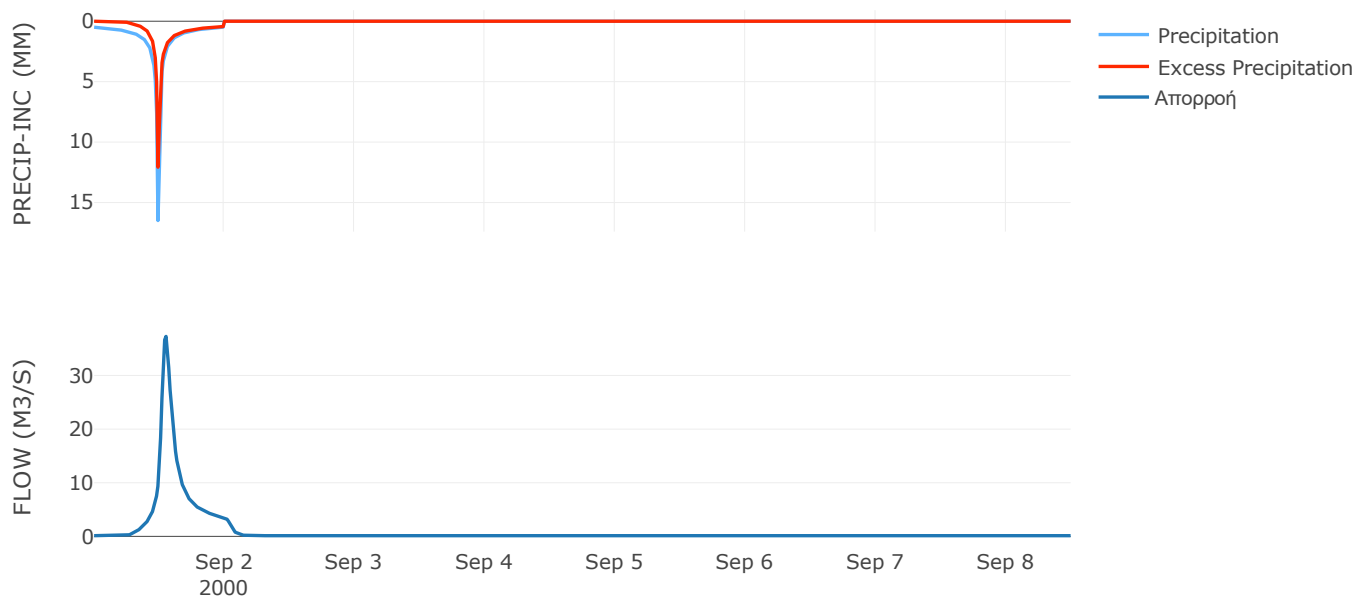
Μέθοδος
Μετασχηματισμού: SCS

Χρόνος Υστέρησης	66.57
------------------	-------

Αποτελέσματα:
EL0514FR4005

Παροχή αιχμής (M3/S)	37.29
Χρονική στιγμή αιχμής	01Sep2000, 13:15
Όγκος (MM)	102.37
Όγκος βροχόπτωσης (M3)	8.94E5
Όγκος απωλειών (M3)	3.32E5
Ενεργός Όγκος (M3)	5.63E5
Όγκος άμεσης απορροής (M3)	5.63E5
Όγκος βασικής απορροής (M3)	81544.32

Βροχόπτωση και Απορροή



Υπολεκάνη: EL0514FR4006

Έκταση (KM2) : 8.52

Κατάντη : J5

Μέθοδος Απωλειών: SCS

Ποσοστό αδιαπέρατης επιφάνειας	0
Αριθμός Καμπύλης Απορροής-CN	80.84
Αρχικές Απώλειες	12.04

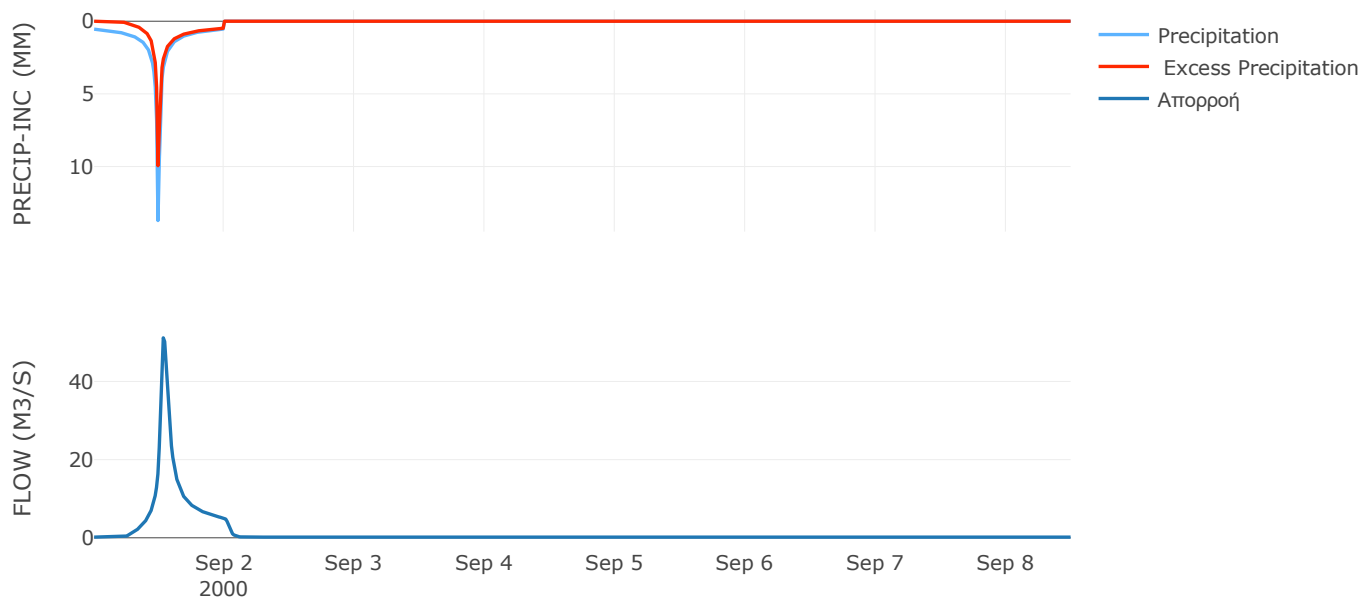
Μέθοδος
Μετασχηματισμού: SCS

Χρόνος Υστέρησης	47.48
------------------	-------

Αποτελέσματα:
EL0514FR4006

Παροχή αιχμής (M3/S)	51.17
Χρονική στιγμή αιχμής	01Sep2000, 12:45
Όγκος (MM)	99.62
Όγκος βροχόπτωσης (M3)	1.19E6
Όγκος απωλειών (M3)	4.51E5
Ενεργός Όγκος (M3)	7.39E5
Όγκος άμεσης απορροής (M3)	7.39E5
Όγκος βασικής απορροής (M3)	1.1E5

Βροχόπτωση και Απορροή



Υπολεκάνη: EL0514FR4007

Έκταση (KM2) : 45.77

Κατάντη : J6

Μέθοδος Απωλειών: SCS

Ποσοστό αδιαπέρατης επιφάνειας	0
Αριθμός Καμπύλης Απορροής-CN	80.55
Αρχικές Απώλειες	12.27

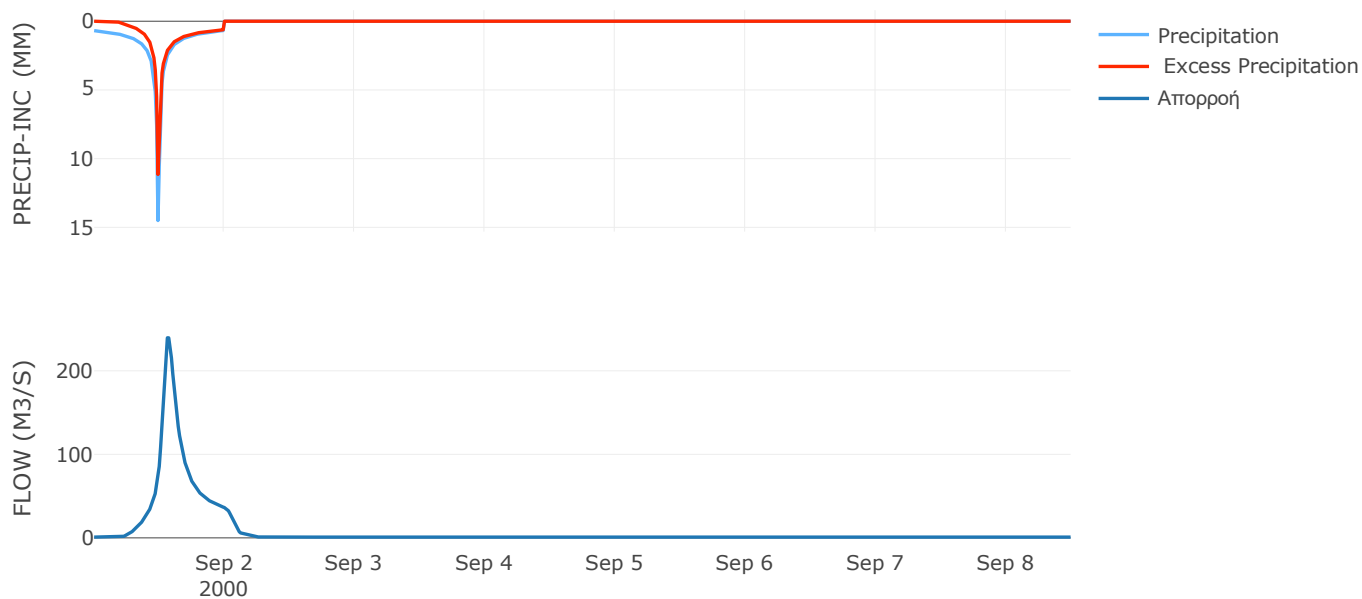
Μέθοδος
Μετασχηματισμού: SCS

Χρόνος Υστέρησης	90.98
------------------	-------

Αποτελέσματα:
EL0514FR4007

Παροχή αιχμής (M3/S)	239.54
Χρονική στιγμή αιχμής	01Sep2000, 13:30
Όγκος (MM)	120.9
Όγκος βροχόπτωσης (M3)	7.5E6
Όγκος απωλειών (M3)	2.56E6
Ενεργός Όγκος (M3)	4.94E6
Όγκος άμεσης απορροής (M3)	4.94E6
Όγκος βασικής απορροής (M3)	5.93E5

Βροχόπτωση και Απορροή



Υπολεκάνη: EL0514FR4008

Έκταση (KM2) : 14.21

Κατάντη : J6

Μέθοδος Απωλειών: SCS

Ποσοστό αδιαπέρατης επιφάνειας	0
Αριθμός Καμπύλης Απορροής-CN	80.9
Αρχικές Απώλειες	11.99

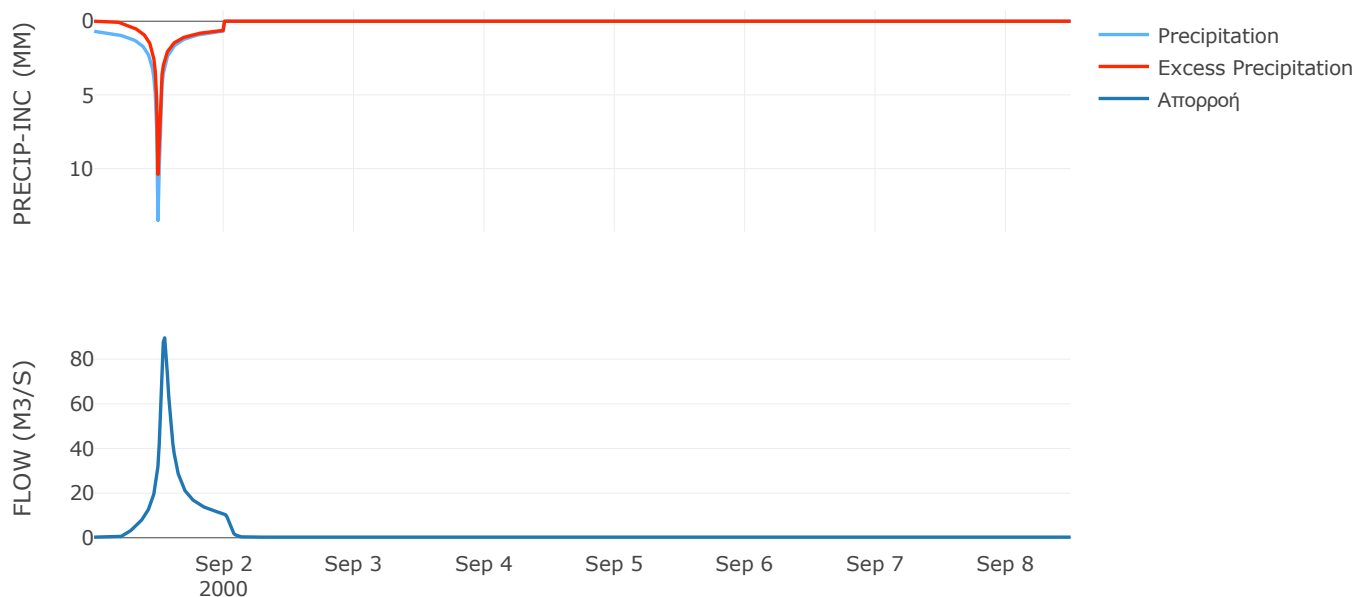
Μέθοδος
Μετασχηματισμού: SCS

Χρόνος Υστέρησης	52.67
------------------	-------

Αποτελέσματα:
EL0514FR4008

Παροχή αιχμής (M3/S)	89.56
Χρονική στιγμή αιχμής	01Sep2000, 13:00
Όγκος (MM)	117.97
Όγκος βροχόπτωσης (M3)	2.27E6
Όγκος απωλειών (M3)	7.77E5
Ενεργός Όγκος (M3)	1.49E6
Όγκος άμεσης απορροής (M3)	1.49E6
Όγκος βασικής απορροής (M3)	1.84E5

Βροχόπτωση και Απορροή



Υπολεκάνη: EL0514FR4009

Έκταση (KM2) : 12.22

Κατάντη : J10

Μέθοδος Απωλειών: SCS

Ποσοστό αδιαπέρατης επιφάνειας	0
Αριθμός Καμπύλης Απορροής-CN	81.36
Αρχικές Απώλειες	11.64

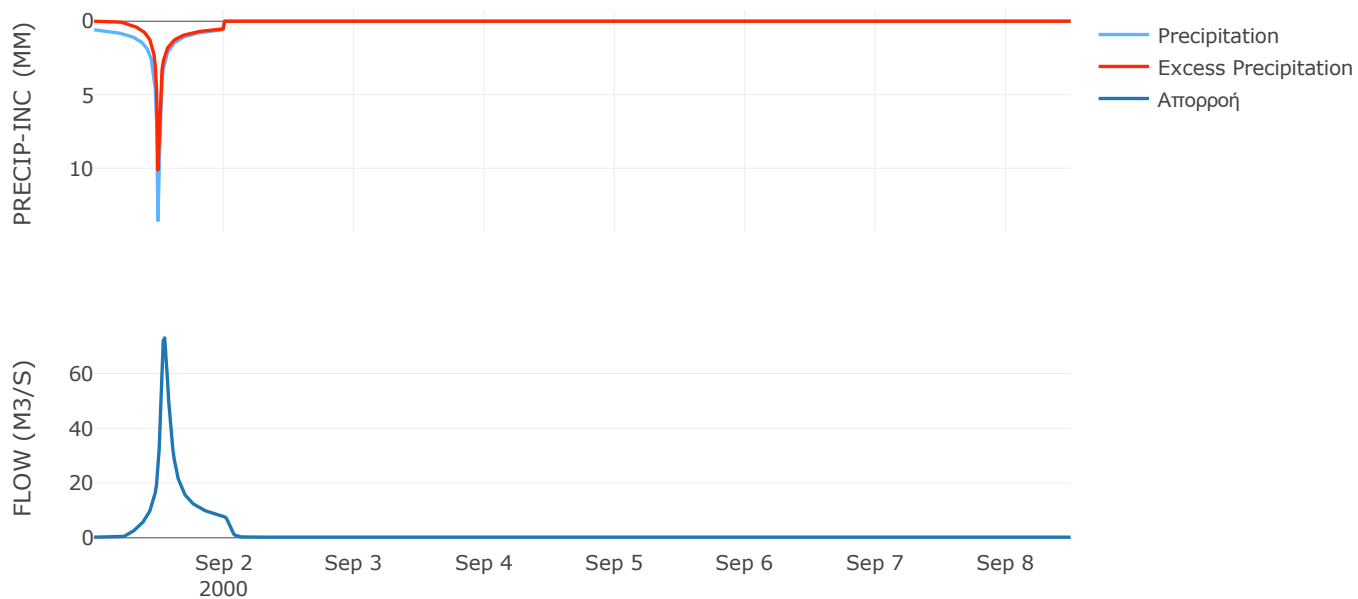
Μέθοδος
Μετασχηματισμού: SCS

Χρόνος Υστέρησης	51.42
------------------	-------

Αποτελέσματα:
EL0514FR4009

Παροχή αιχμής (M3/S)	73.03
Χρονική στιγμή αιχμής	01Sep2000, 13:00
Όγκος (MM)	105.18
Όγκος βροχόπτωσης (M3)	1.76E6
Όγκος απωλειών (M3)	6.37E5
Ενεργός Όγκος (M3)	1.13E6
Όγκος άμεσης απορροής (M3)	1.13E6
Όγκος βασικής απορροής (M3)	1.58E5

Βροχόπτωση και Απορροή



Υπολεκάνη: EL0514FR4010

Έκταση (KM2) : 13.42

Κατάντη : J7

Μέθοδος Απωλειών: SCS

Ποσοστό αδιαπέρατης επιφάνειας	0
Αριθμός Καμπύλης Απορροής-CN	81.56
Αρχικές Απώλειες	11.49

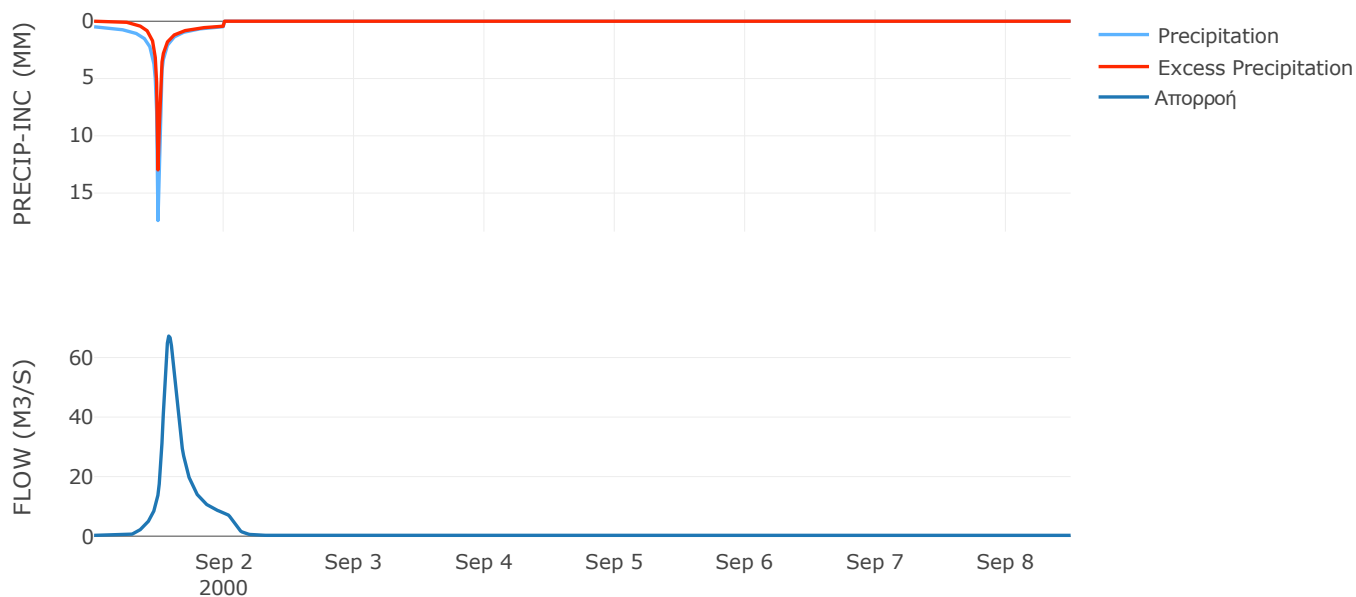
Μέθοδος
Μετασχηματισμού: SCS

Χρόνος Υστέρησης	102.28
------------------	--------

Αποτελέσματα:
EL0514FR4010

Παροχή αιχμής (M3/S)	67.21
Χρονική στιγμή αιχμής	01Sep2000, 13:45
Όγκος (MM)	105.23
Όγκος βροχόπτωσης (M3)	1.93E6
Όγκος απωλειών (M3)	6.92E5
Ενεργός Όγκος (M3)	1.24E6
Όγκος άμεσης απορροής (M3)	1.24E6
Όγκος βασικής απορροής (M3)	1.74E5

Βροχόπτωση και Απορροή



Υπολεκάνη: EL0514FR4011

Έκταση (KM2) : 14.76

Κατάντη : J7

Μέθοδος Απωλειών: SCS

Ποσοστό αδιαπέρατης επιφάνειας	0
Αριθμός Καμπύλης Απορροής-CN	64.08
Αρχικές Απώλειες	28.48

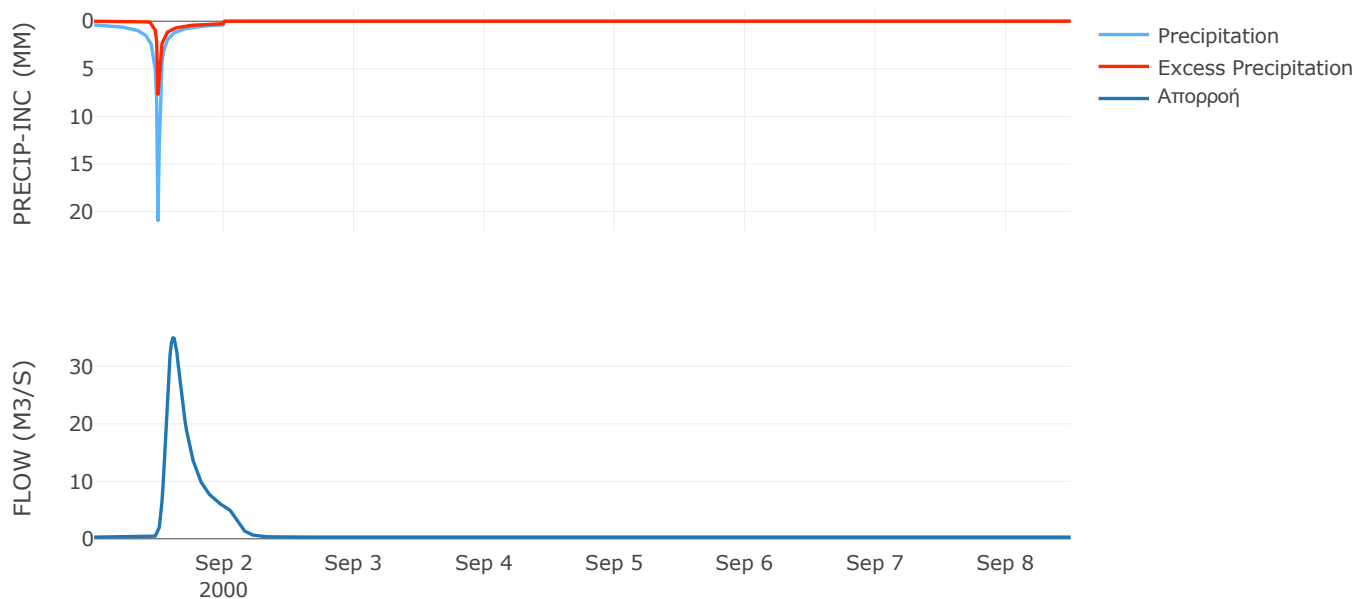
Μέθοδος
Μετασχηματισμού: SCS

Χρόνος Υστέρησης	131.84
------------------	--------

Αποτελέσματα:
EL0514FR4011

Παροχή αιχμής (M3/S)	34.95
Χρονική στιγμή αιχμής	01Sep2000, 14:30
Όγκος (MM)	61.09
Όγκος βροχόπτωσης (M3)	2.05E6
Όγκος απωλειών (M3)	1.34E6
Ενεργός Όγκος (M3)	7.1E5
Όγκος άμεσης απορροής (M3)	7.1E5
Όγκος βασικής απορροής (M3)	1.91E5

Βροχόπτωση και Απορροή



Υπολεκάνη: EL0514FR4012

Έκταση (KM2) : 8.26

Κατάντη : J8

Μέθοδος Απωλειών: SCS

Ποσοστό αδιαπέρατης επιφάνειας	0
Αριθμός Καμπύλης Απορροής-CN	76.28
Αρχικές Απώλειες	15.79

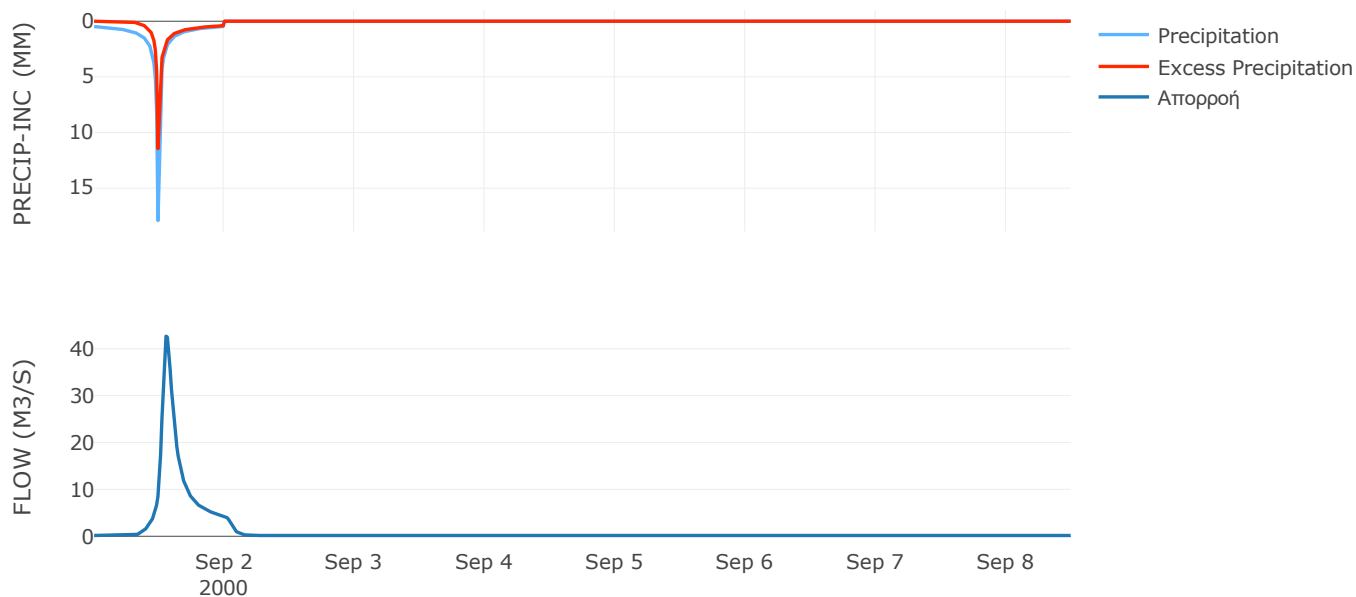
Μέθοδος
Μετασχηματισμού: SCS

Χρόνος Υστέρησης	74.97
------------------	-------

Αποτελέσματα:
EL0514FR4012

Παροχή αιχμής (M3/S)	42.67
Χρονική στιγμή αιχμής	01Sep2000, 13:15
Όγκος (MM)	92.72
Όγκος βροχόπτωσης (M3)	1.19E6
Όγκος απωλειών (M3)	5.35E5
Ενεργός Όγκος (M3)	6.59E5
Όγκος άμεσης απορροής (M3)	6.59E5
Όγκος βασικής απορροής (M3)	1.07E5

Βροχόπτωση και Απορροή



Υπολεκάνη: EL0514FR4013

Έκταση (KM2) : 22.16

Κατάντη : J9

Μέθοδος Απωλειών: SCS

Ποσοστό αδιαπέρατης επιφάνειας	0
Αριθμός Καμπύλης Απορροής-CN	81.13
Αρχικές Απώλειες	11.81

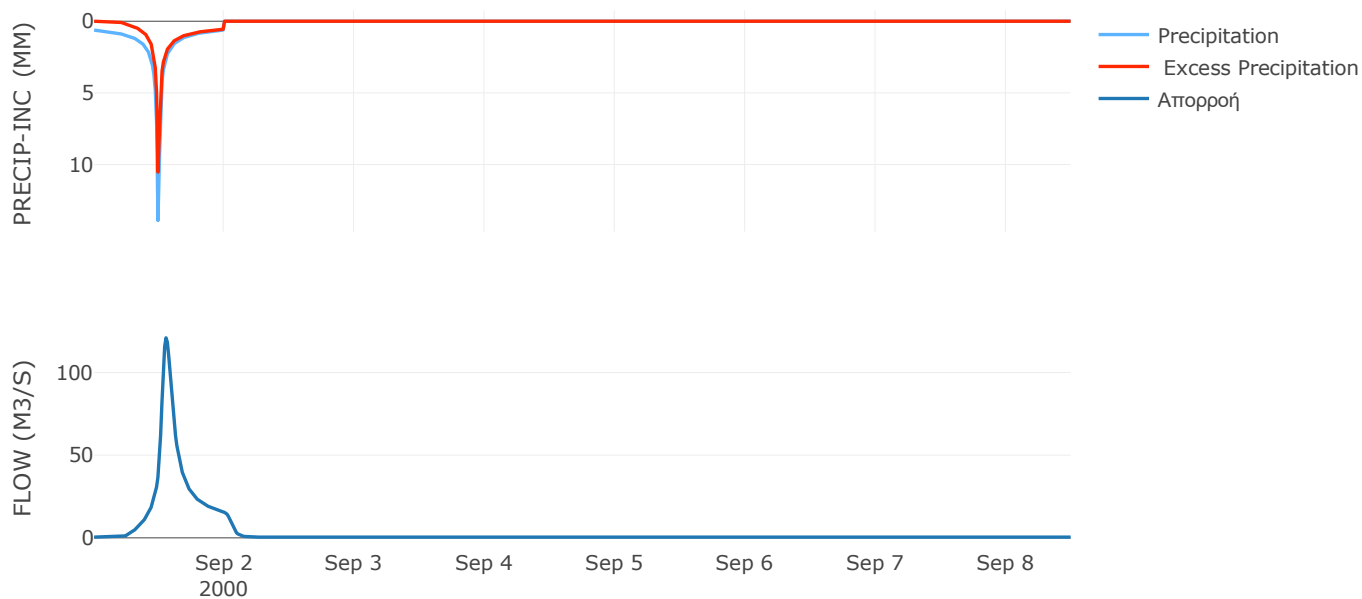
Μέθοδος
Μετασχηματισμού: SCS

Χρόνος Υστέρησης	72.07
------------------	-------

Αποτελέσματα:
EL0514FR4013

Παροχή αιχμής (M3/S)	121
Χρονική στιγμή αιχμής	01Sep2000, 13:15
Όγκος (MM)	111.28
Όγκος βροχόπτωσης (M3)	3.36E6
Όγκος απωλειών (M3)	1.18E6
Ενεργός Όγκος (M3)	2.18E6
Όγκος άμεσης απορροής (M3)	2.18E6
Όγκος βασικής απορροής (M3)	2.87E5

Βροχόπτωση και Απορροή



Υπολεκάνη: EL0514FR4014

Έκταση (KM2) : 1.47

Κατάντη : J3

Μέθοδος Απωλειών: SCS

Ποσοστό αδιαπέρατης επιφάνειας	0
Αριθμός Καμπύλης Απορροής-CN	77.89
Αρχικές Απώλειες	14.42

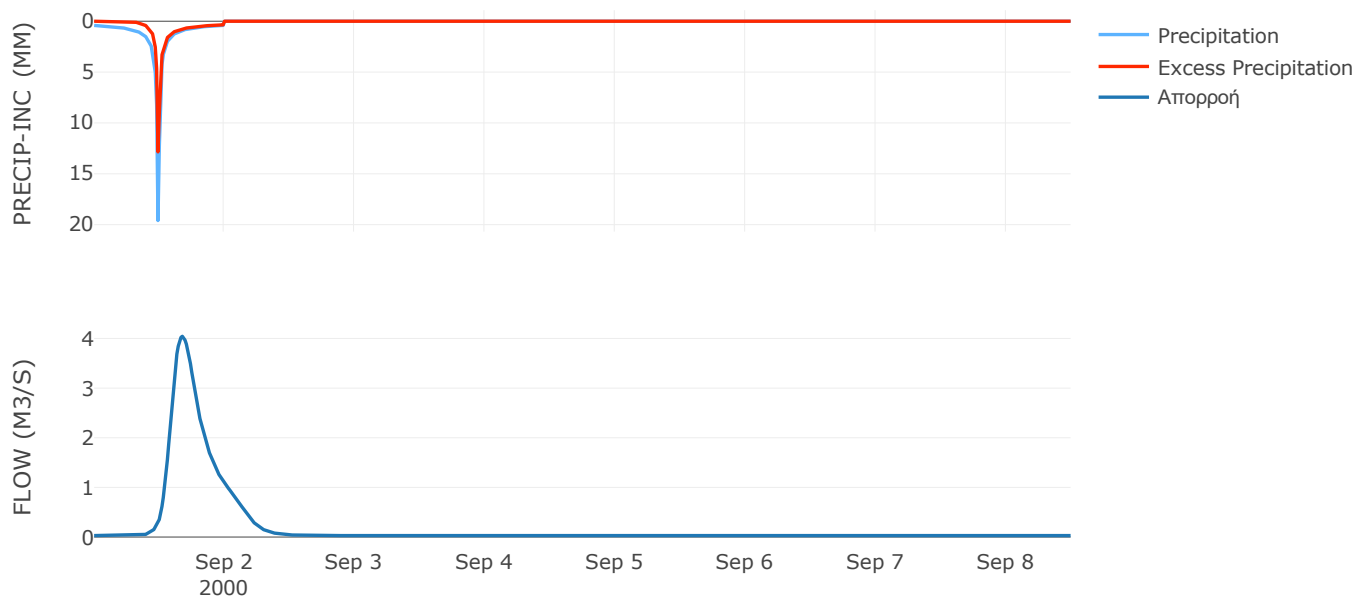
Μέθοδος
Μετασχηματισμού: SCS

Χρόνος Υστέρησης	229.88
------------------	--------

Αποτελέσματα:
EL0514FR4014

Παροχή αιχμής (M3/S)	4.04
Χρονική στιγμή αιχμής	01Sep2000, 16:15
Όγκος (MM)	91.7
Όγκος βροχόπτωσης (M3)	2.04E5
Όγκος απωλειών (M3)	88349.52
Ενεργός Όγκος (M3)	1.16E5
Όγκος άμεσης απορροής (M3)	1.16E5
Όγκος βασικής απορροής (M3)	19064.16

Βροχόπτωση και Απορροή



Υπολεκάνη: EL0514FR4015

Έκταση (KM2) : 32.03

Κατάνη : J11

Μέθοδος Απωλειών: SCS

Ποσοστό αδιαπέρατης επιφάνειας	0
Αριθμός Καμπύλης Απορροής-CN	81.11
Αρχικές Απώλειες	11.83

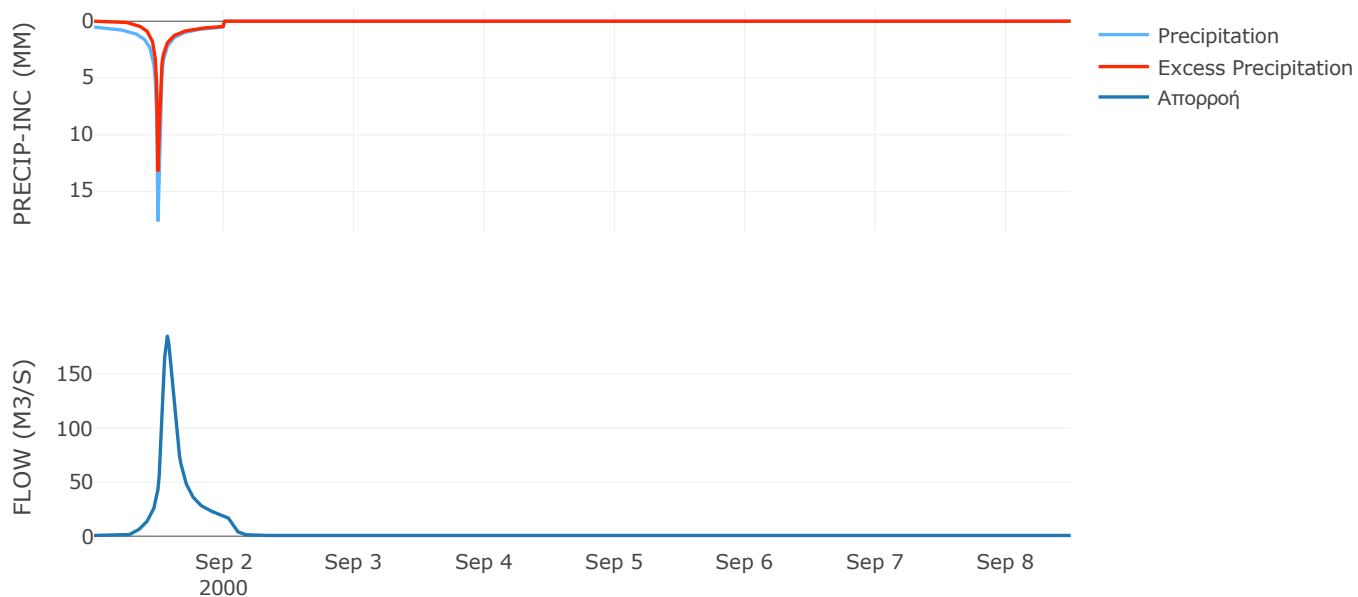
Μέθοδος
Μετασχηματισμού: SCS

Χρόνος Υστέρησης	82.44
------------------	-------

Αποτελέσματα:
EL0514FR4015

Παροχή αιχμής (M3/S)	185.08
Χρονική στιγμή αιχμής	01Sep2000, 13:30
Όγκος (MM)	109.23
Όγκος βροχόπτωσης (M3)	4.79E6
Όγκος απωλειών (M3)	1.7E6
Ενεργός Όγκος (M3)	3.08E6
Όγκος άμεσης απορροής (M3)	3.08E6
Όγκος βασικής απορροής (M3)	4.15E5

Βροχόπτωση και Απορροή



Υπολεκάνη: EL0514FR4016

Έκταση (KM2) : 25.77

Κατάντη : J12

Μέθοδος Απωλειών: SCS

Ποσοστό αδιαπέρατης επιφάνειας	0
Αριθμός Καμπύλης Απορροής-CN	80.21
Αρχικές Απώλειες	12.54

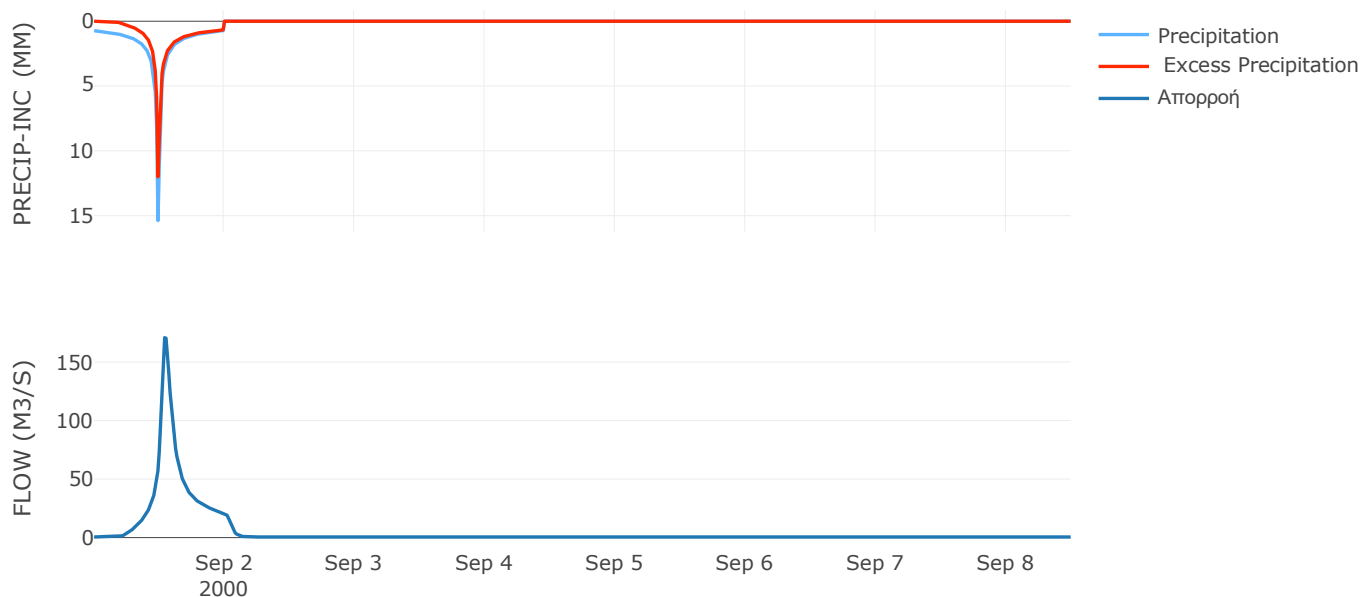
Μέθοδος
Μετασχηματισμού: SCS

Χρόνος Υστέρησης	63.36
------------------	-------

Αποτελέσματα:
EL0514FR4016

Παροχή αιχμής (M3/S)	170.84
Χρονική στιγμή αιχμής	01Sep2000, 13:00
Όγκος (MM)	129.65
Όγκος βροχόπτωσης (M3)	4.49E6
Όγκος απωλειών (M3)	1.49E6
Ενεργός Όγκος (M3)	3.01E6
Όγκος άμεσης απορροής (M3)	3.01E6
Όγκος βασικής απορροής (M3)	3.34E5

Βροχόπτωση και Απορροή



Υπολεκάνη: EL0514FR4017

Έκταση (KM2) : 10.84

Κατάντη : J12

Μέθοδος Απωλειών: SCS

Ποσοστό αδιαπέρατης επιφάνειας	0
Αριθμός Καμπύλης Απορροής-CN	80.44
Αρχικές Απώλειες	12.36

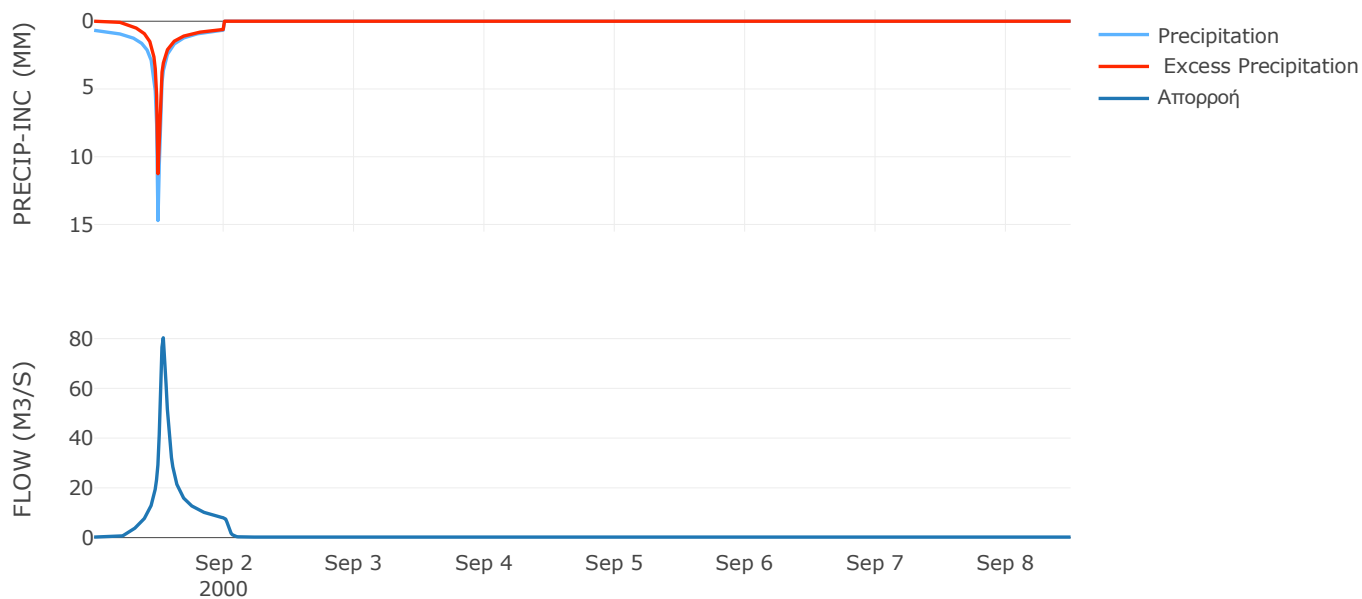
Μέθοδος
Μετασχηματισμού: SCS

Χρόνος Υστέρησης	40.38
------------------	-------

Αποτελέσματα:
EL0514FR4017

Παροχή αιχμής (M3/S)	80.33
Χρονική στιγμή αιχμής	01Sep2000, 12:45
Όγκος (MM)	119.79
Όγκος βροχόπτωσης (M3)	1.77E6
Όγκος απωλειών (M3)	6.09E5
Ενεργός Όγκος (M3)	1.16E6
Όγκος άμεσης απορροής (M3)	1.16E6
Όγκος βασικής απορροής (M3)	1.4E5

Βροχόπτωση και Απορροή



2.2 Δεδομένα και υδρογραφήματα σχεδιασμού Κλάδων υδρογραφικού δικτύου

Κλάδος: R21

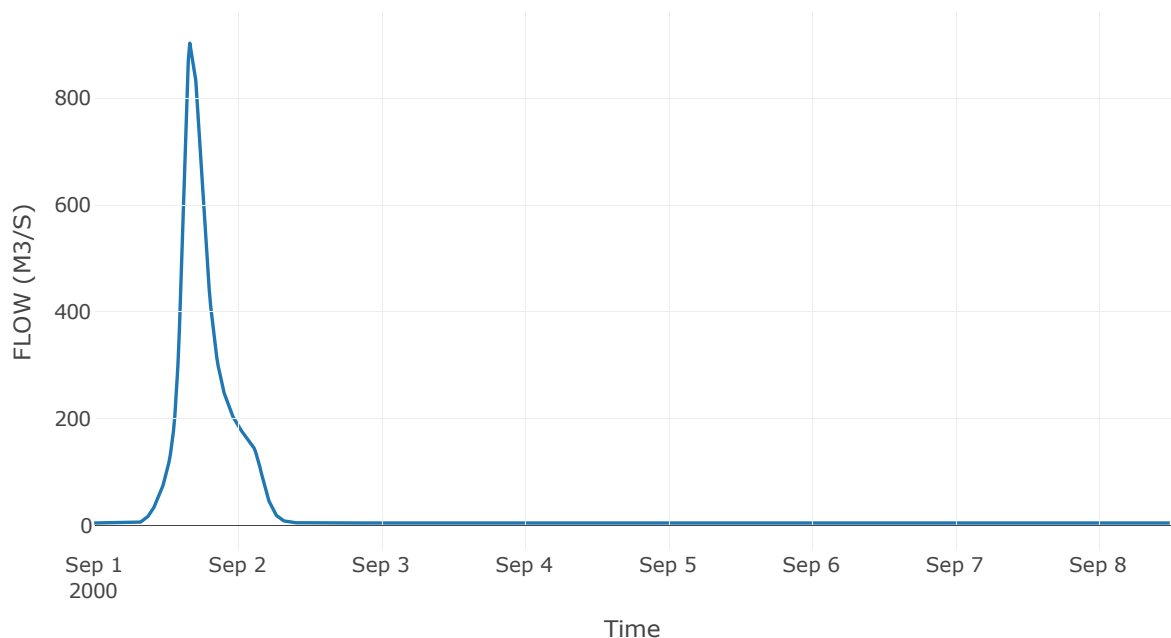
Κατάντη : J1

Μέθοδος Διόδευσης	Muskingum
Αρχική Μεταβλητή	Combined Inflow
Χρόνος Ροής K	0.74
Συντελεστής βάρους x	0.2
Πλήθος Υποκλάδων	3

Αποτελέσματα: R21

Παροχή Αιχμής(M3/S)	910.01
Χρονική στιγμή αιχμής	01Sep2000, 16:15
Όγκος(MM)	109.61
Παροχή Αιχμής Εισόδου (M3/S)	930.08
Όγκος Εισροής(M3)	2.44E7

Απορροή



Κλάδος: R32

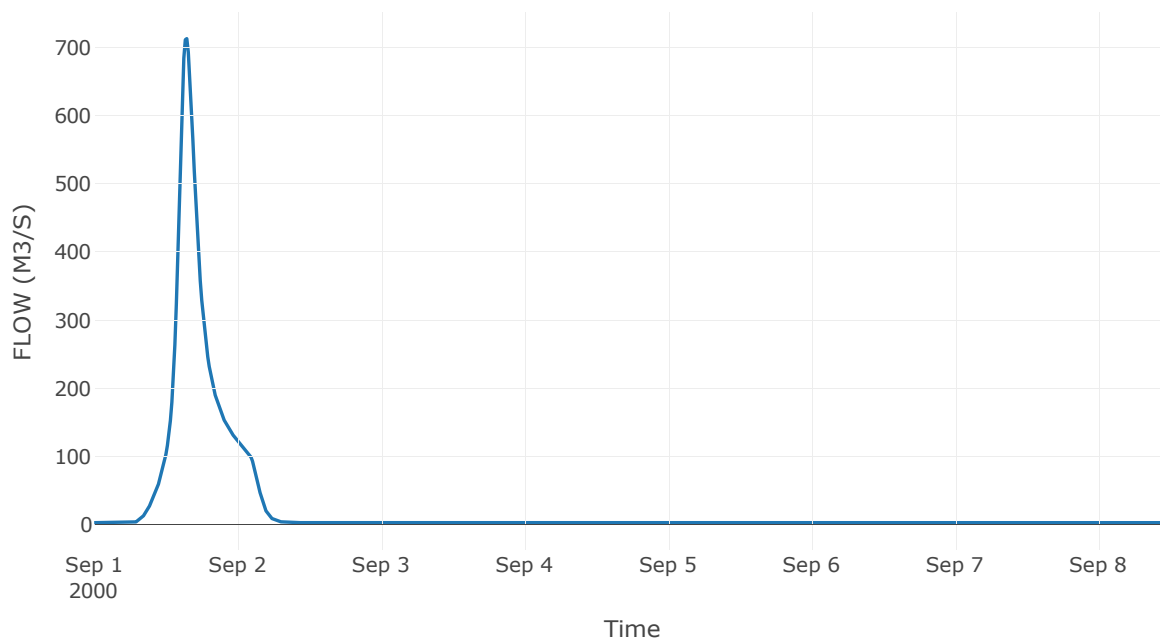
Κατάντη : J2

Μέθοδος Διόδευσης	Χρόνος
Αρχική Μεταβλητή	Combined Inflow
Χρόνος Υστέρησης	4.98

Αποτελέσματα: R32

Παροχή Αιχμής(M3/S)	712.95
Χρονική στιγμή αιχμής	01Sep2000, 15:30
Όγκος(MM)	116.51
Παροχή Αιχμής Εισόδου (M3/S)	716.8
Όγκος Εισροής(M3)	1.73E7

Απορροή



Κλάδος: R43

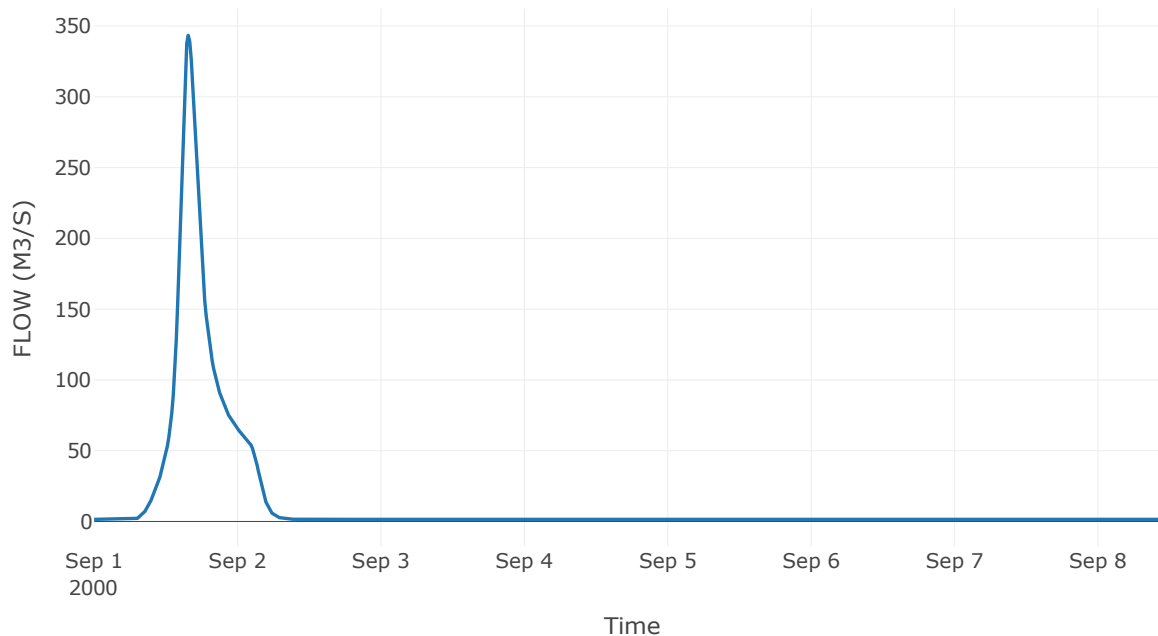
Κατάντη : J3

Μέθοδος Διόδευσης	Muskingum
Αρχική Μεταβλητή	Combined Inflow
Χρόνος Ροής K	1.35
Συντελεστής βάρους x	0.2
Πλήθος Υποκλάδων	5

Αποτελέσματα: R43

Παροχή Αιχμής(M3/S)	343.45
Χρονική στιγμή αιχμής	01Sep2000, 15:45
Όγκος(MM)	116.36
Παροχή Αιχμής Εισόδου (M3/S)	363
Όγκος Εισροής(M3)	8.7E6

Απορροή



Κλάδος: R54

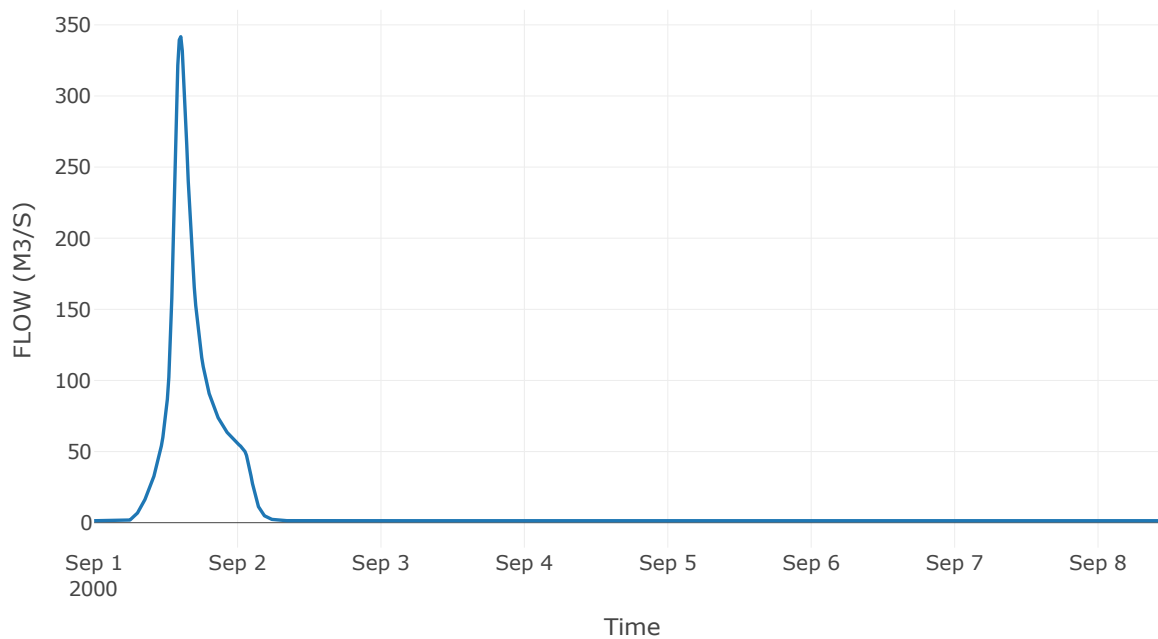
Κατάντη : J4

Μέθοδος Διόδευσης	Χρόνος
Αρχική Μεταβλητή	Combined Inflow
Χρόνος Υστέρησης	36.48

Αποτελέσματα: R54

Παροχή Αιχμής(M3/S)	341.66
Χρονική στιγμή αιχμής	01Sep2000, 14:30
Όγκος(MM)	117.64
Παροχή Αιχμής Εισόδου (M3/S)	343.89
Όγκος Εισροής(M3)	8.06E6

Απορροή



Κλάδος: R65

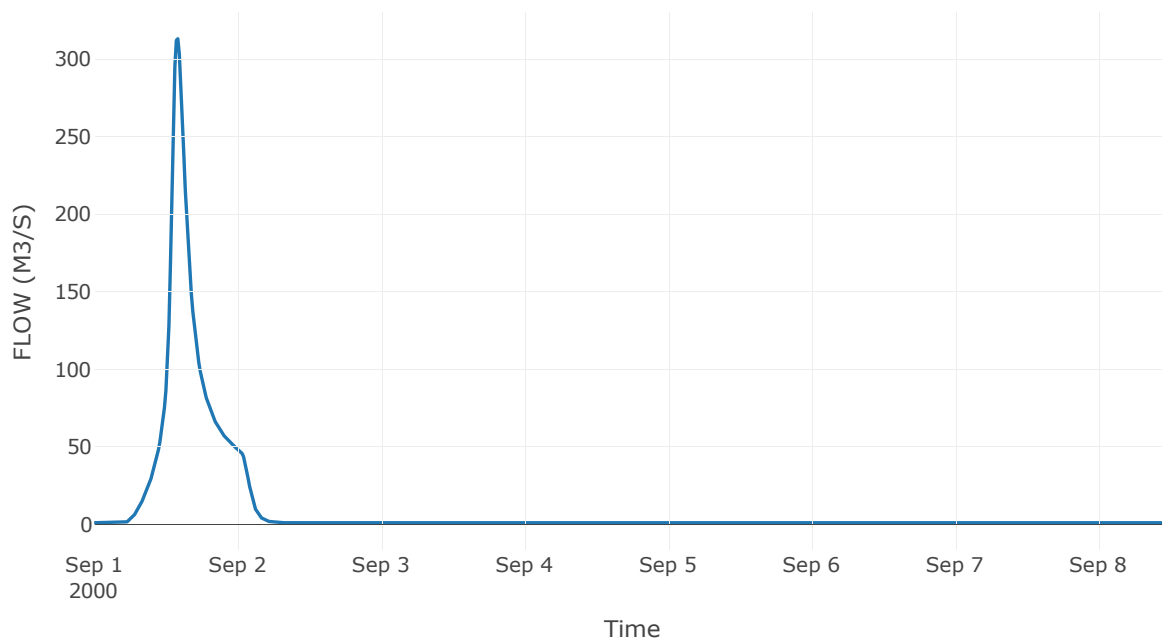
Κατάντη : J5

Μέθοδος Διόδευσης	Χρόνος
Αρχική Μεταβλητή	Combined Inflow
Χρόνος Υστέρησης	30.68

Αποτελέσματα: R65

Παροχή Αιχμής(M3/S)	312.93
Χρονική στιγμή αιχμής	01Sep2000, 14:00
Όγκος(MM)	120.2
Παροχή Αιχμής Εισόδου (M3/S)	312.93
Όγκος Εισροής(M3)	7.21E6

Απορροή



Κλάδος: R72

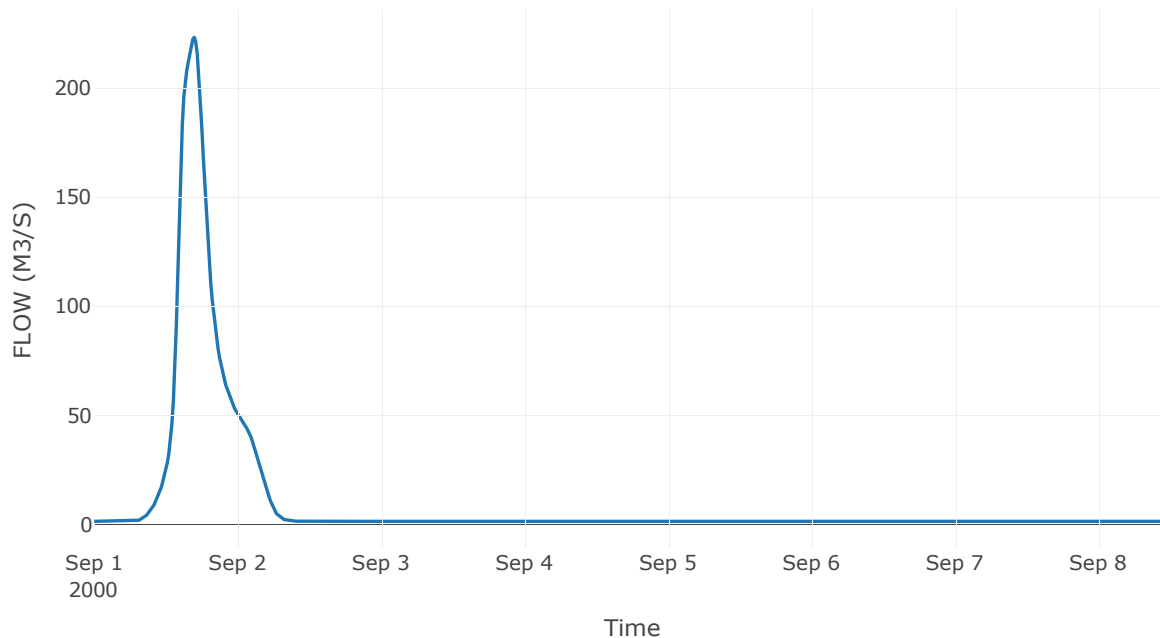
Κατάντη : J2

Μέθοδος Διόδευσης	Muskingum
Αρχική Μεταβλητή	Combined Inflow
Χρόνος Ροής K	1.19
Συντελεστής βάρους x	0.2
Πλήθος Υποκλάδων	5

Αποτελέσματα: R72

Παροχή Αιχμής(M3/S)	223.14
Χρονική στιγμή αιχμής	01Sep2000, 16:45
Όγκος(MM)	96.46
Παροχή Αιχμής Εισόδου (M3/S)	227.1
Όγκος Εισροής(M3)	6.83E6

Απορροή



Κλάδος: R87

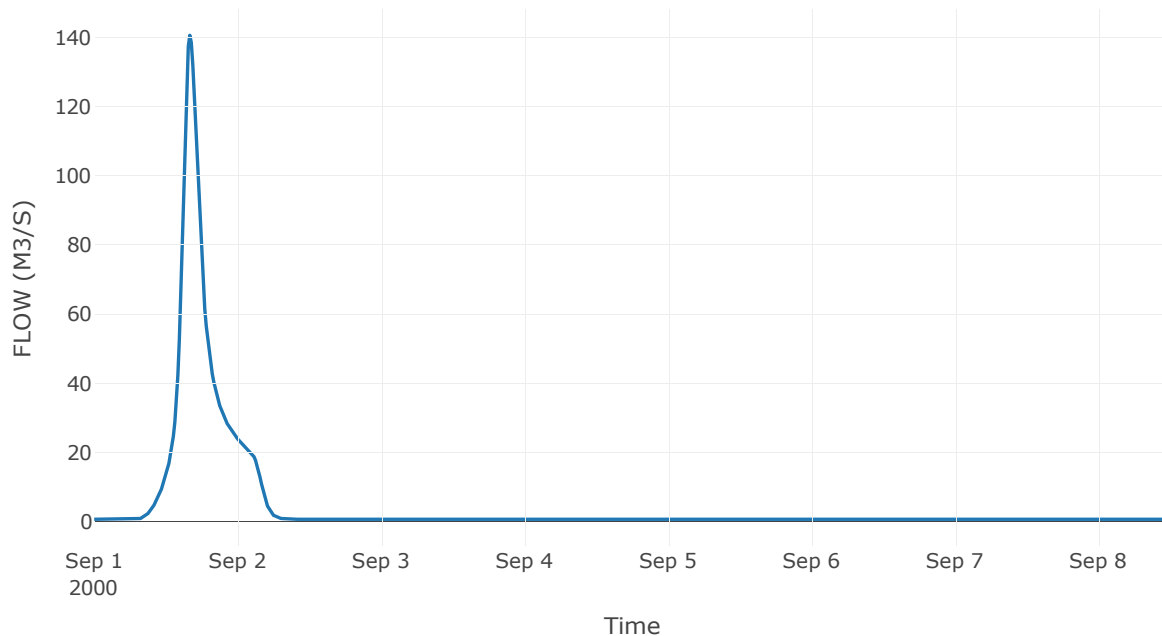
Κατάντη : J7

Μέθοδος Διόδευσης	Muskingum
Αρχική Μεταβλητή	Combined Inflow
Χρόνος Ροής K	2.16
Συντελεστής βάρους x	0.2
Πλήθος Υποκλάδων	9

Αποτελέσματα: R87

Παροχή Αιχμής(M3/S)	140.62
Χρονική στιγμή αιχμής	01Sep2000, 16:00
Όγκος(MM)	106.24
Παροχή Αιχμής Εισόδου (M3/S)	158.47
Όγκος Εισροής(M3)	3.23E6

Απορροή



Κλάδος: R98

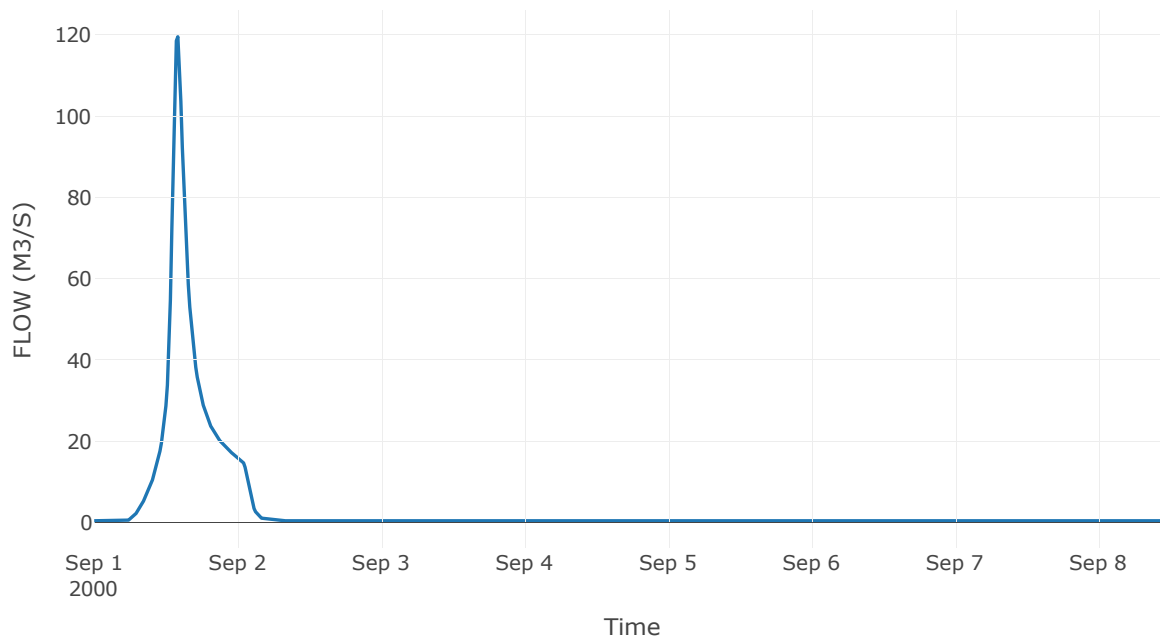
Κατάντη : J8

Μέθοδος Διόδευσης	Χρόνος
Αρχική Μεταβλητή	Combined Inflow
Χρόνος Υστέρησης	37.6

Αποτελέσματα: R98

Παροχή Αιχμής(M3/S)	119.56
Χρονική στιγμή αιχμής	01Sep2000, 14:00
Όγκος(MM)	111.28
Παροχή Αιχμής Εισόδου (M3/S)	121
Όγκος Εισροής(M3)	2.47E6

Απορροή



Κλάδος: R107

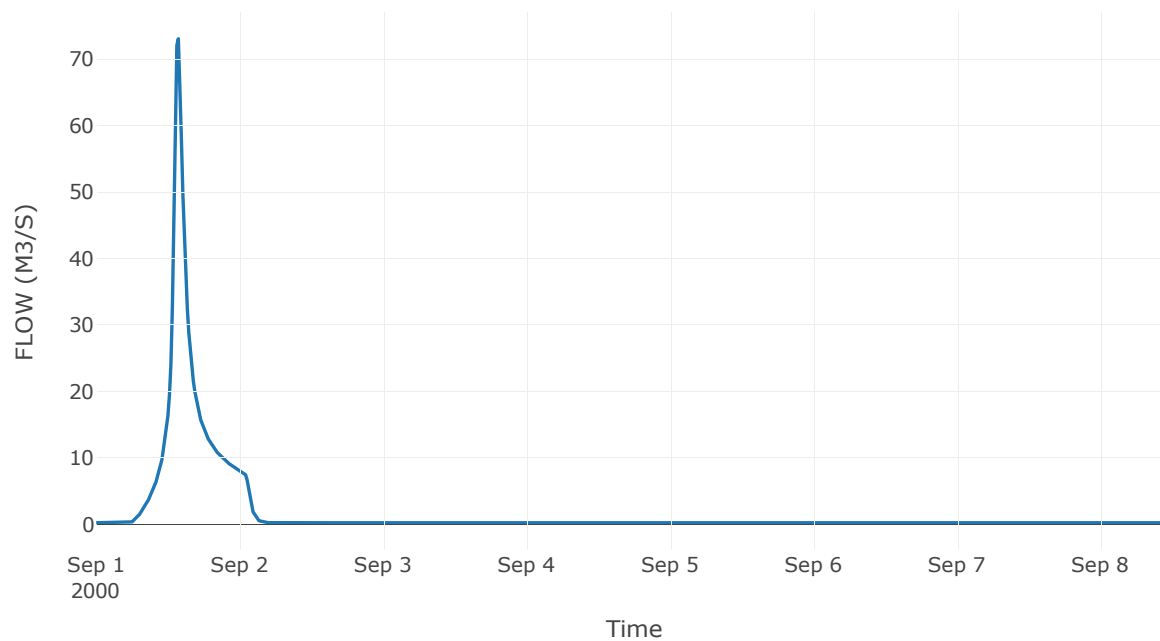
Κατάντη : J7

Μέθοδος Διόδευσης	Χρόνος
Αρχική Μεταβλητή	Combined Inflow
Χρόνος Υστέρησης	45.07

Αποτελέσματα: R107

Παροχή Αιχμής(M3/S)	73.03
Χρονική στιγμή αιχμής	01Sep2000, 13:45
Όγκος(MM)	105.18
Παροχή Αιχμής Εισόδου (M3/S)	73.03
Όγκος Εισροής(M3)	1.29E6

Απορροή



Κλάδος: R113

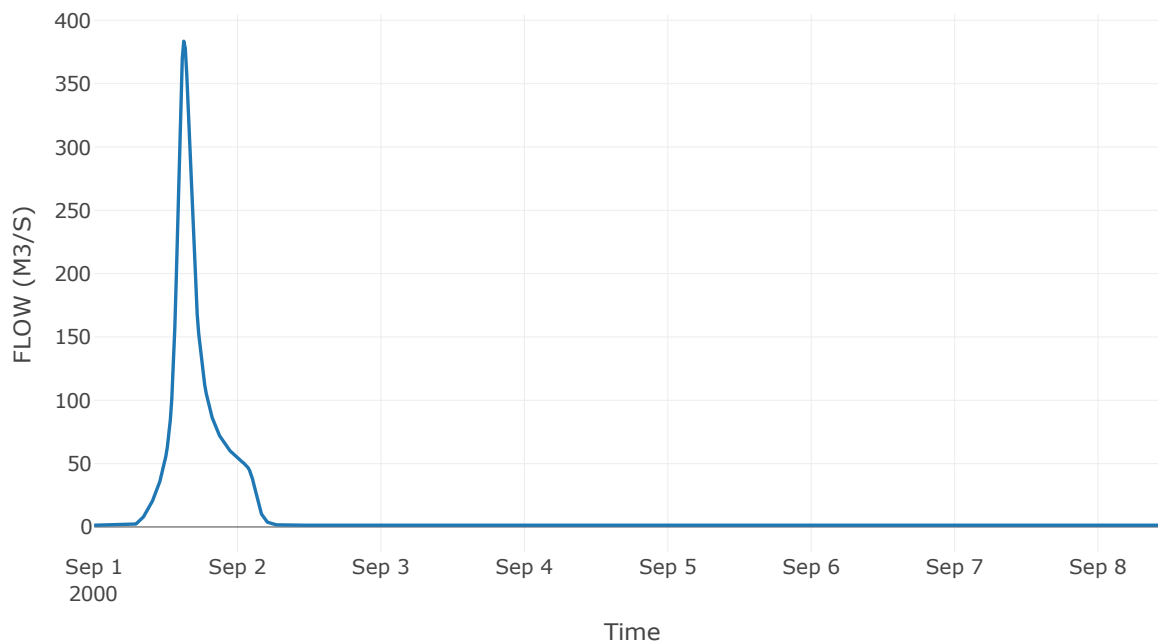
Κατάντη : J3

Μέθοδος Διόδευσης	Muskingum
Αρχική Μεταβλητή	Combined Inflow
Χρόνος Ροής K	1.21
Συντελεστής βάρους x	0.2
Πλήθος Υποκλάδων	5

Αποτελέσματα: R113

Παροχή Αιχμής(M3/S)	383.5
Χρονική στιγμή αιχμής	01Sep2000, 15:00
Όγκος(MM)	118.56
Παροχή Αιχμής Εισόδου (M3/S)	416.75
Όγκος Εισροής(M3)	8.14E6

Απορροή



Κλάδος: R1211

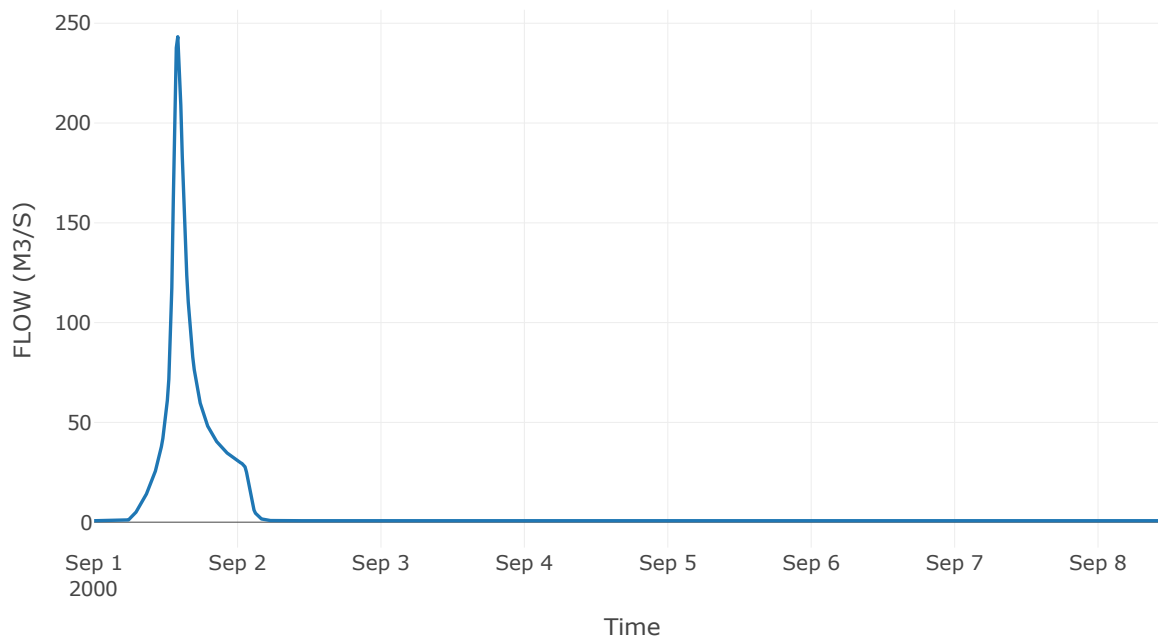
Κατάντη : J11

Μέθοδος Διόδευσης	Χρόνος
Αρχική Μεταβλητή	Combined Inflow
Χρόνος Υστέρησης	59.19

Αποτελέσματα: R1211

Παροχή Αιχμής(M3/S)	243.27
Χρονική στιγμή αιχμής	01Sep2000, 14:00
Όγκος(MM)	126.73
Παροχή Αιχμής Εισόδου (M3/S)	244.06
Όγκος Εισροής(M3)	4.64E6

Απορροή



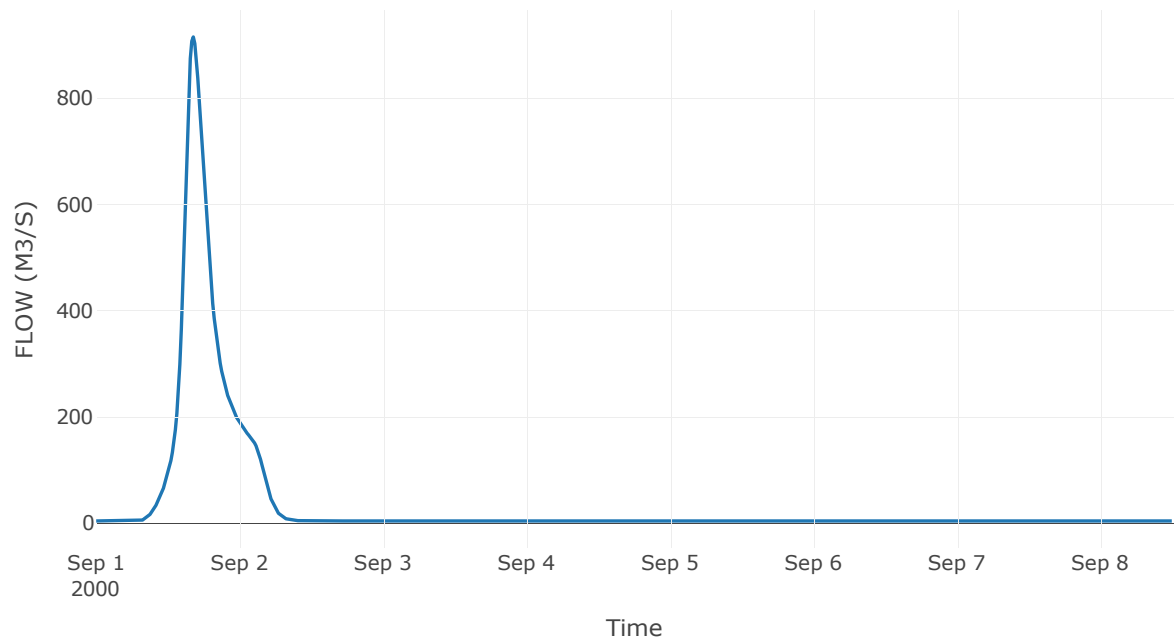
2.3 Δεδομένα και υδρογραφήματα σχεδιασμού Κόμβων υδρογραφικού δικτύου

Κόμβος: J1

Αποτελέσματ
α: J1

Παροχή αιχμής (M3/S)	915.11
Χρονική στιγμή αιχμής	01Sep2000, 16:15
Όγκος (MM)	109.53

Απορροή

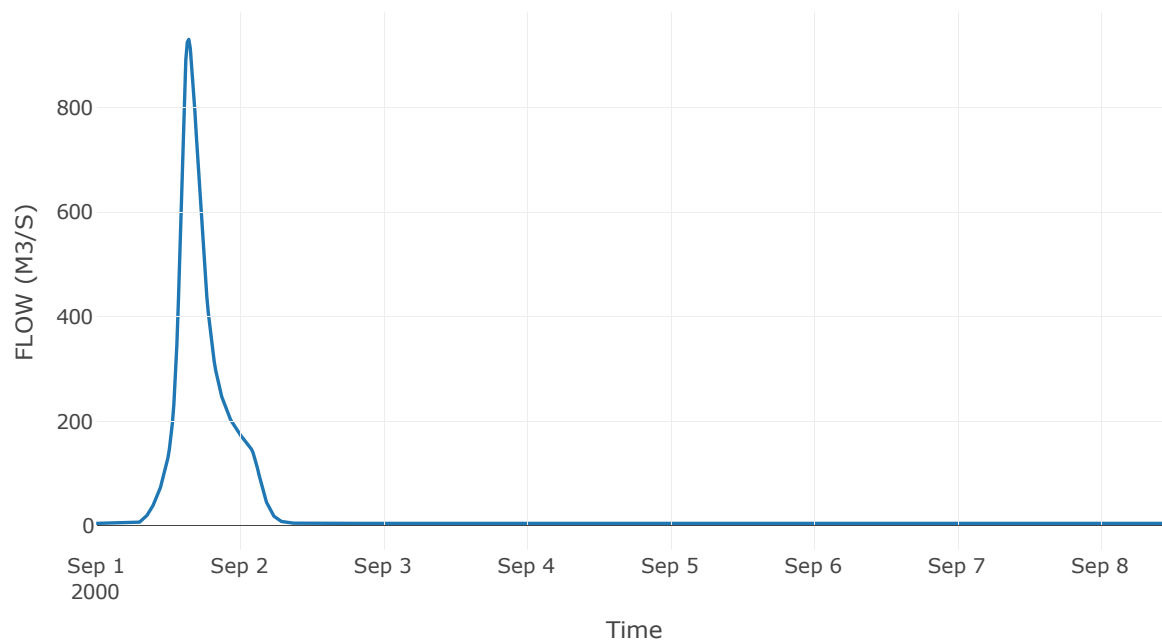


Κόμβος: J2

Αποτελέσμα
α: J2

Παροχή αιχμής (M3/S)	930.08
Χρονική στιγμή αιχμής	01Sep2000, 15:30
Όγκος (MM)	109.61

Απορροή

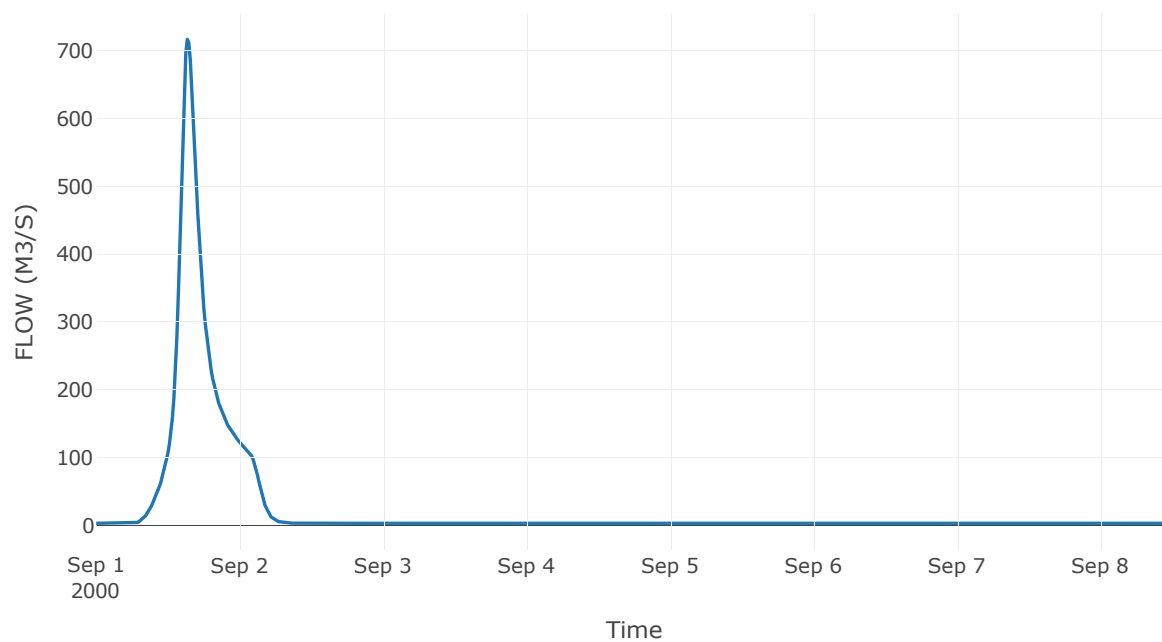


Κόμβος: J3

Αποτελέσματ
α: J3

Παροχή αιχμής (M3/S)	716.8
Χρονική στιγμή αιχμής	01Sep2000, 15:15
Όγκος (MM)	116.51

Απορροή

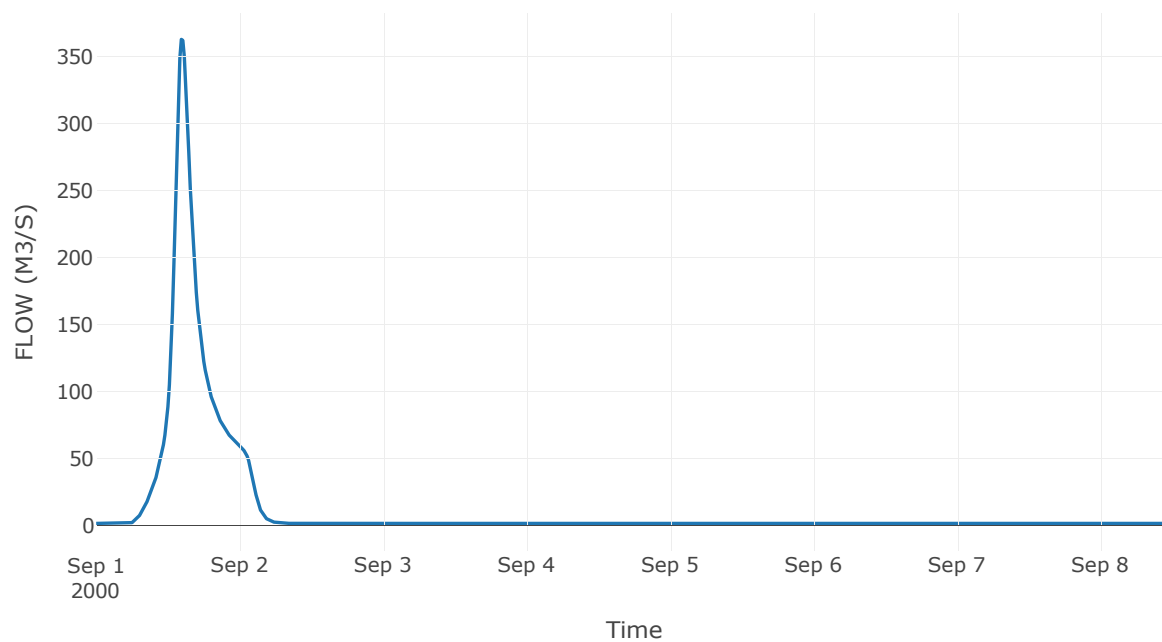


Κόμβος: J4

Αποτελέσματ
α: J4

Παροχή αιχμής (M3/S)	363
Χρονική στιγμή αιχμής	01Sep2000, 14:15
Όγκος (MM)	116.36

Απορροή

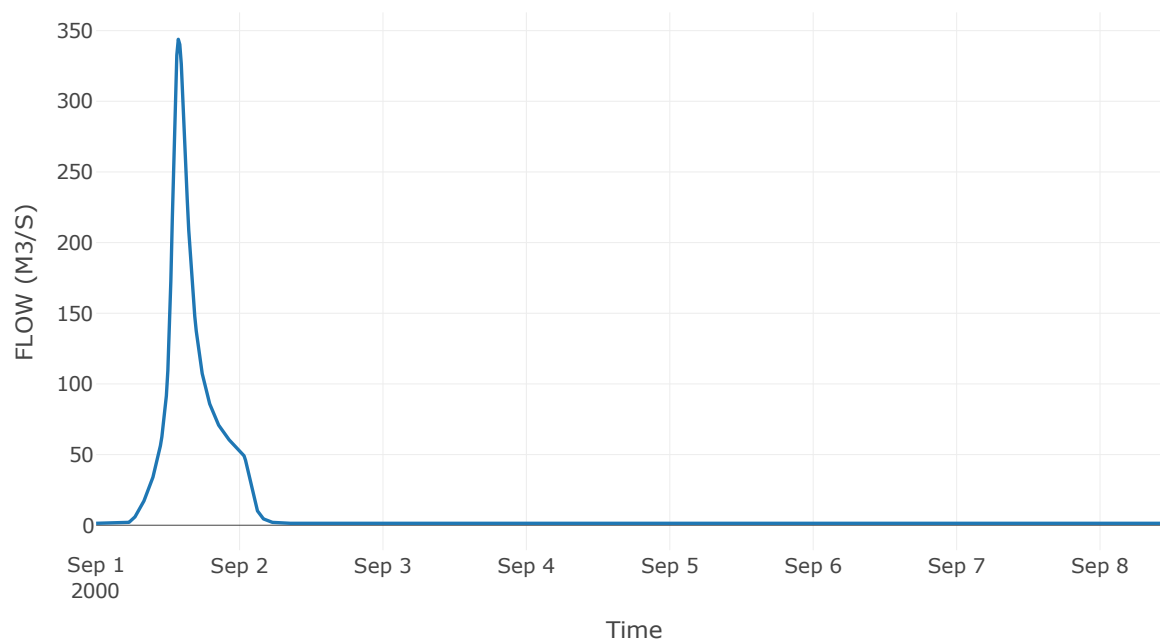


Κόμβος: J5

Αποτελέσμα
α: J5

Παροχή αιχμής (M3/S)	343.89
Χρονική στιγμή αιχμής	01Sep2000, 13:45
Όγκος (MM)	117.64

Απορροή

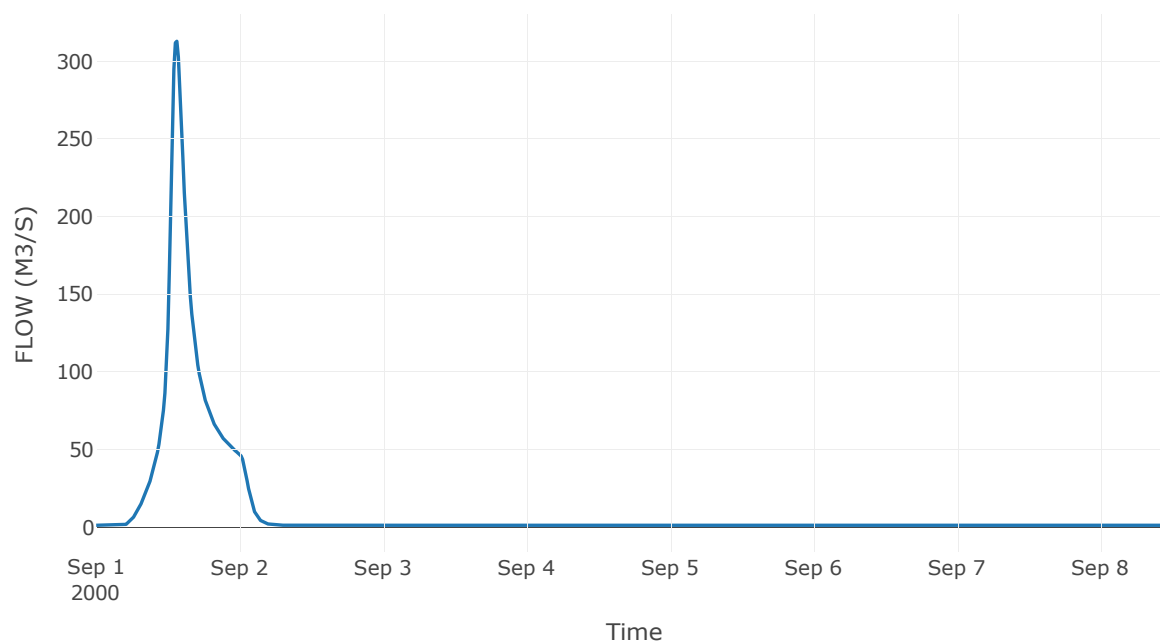


Κόμβος: J6

Αποτελέσμα
α: J6

Παροχή αιχμής (M3/S)	312.93
Χρονική στιγμή αιχμής	01Sep2000, 13:30
Όγκος (MM)	120.2

Απορροή

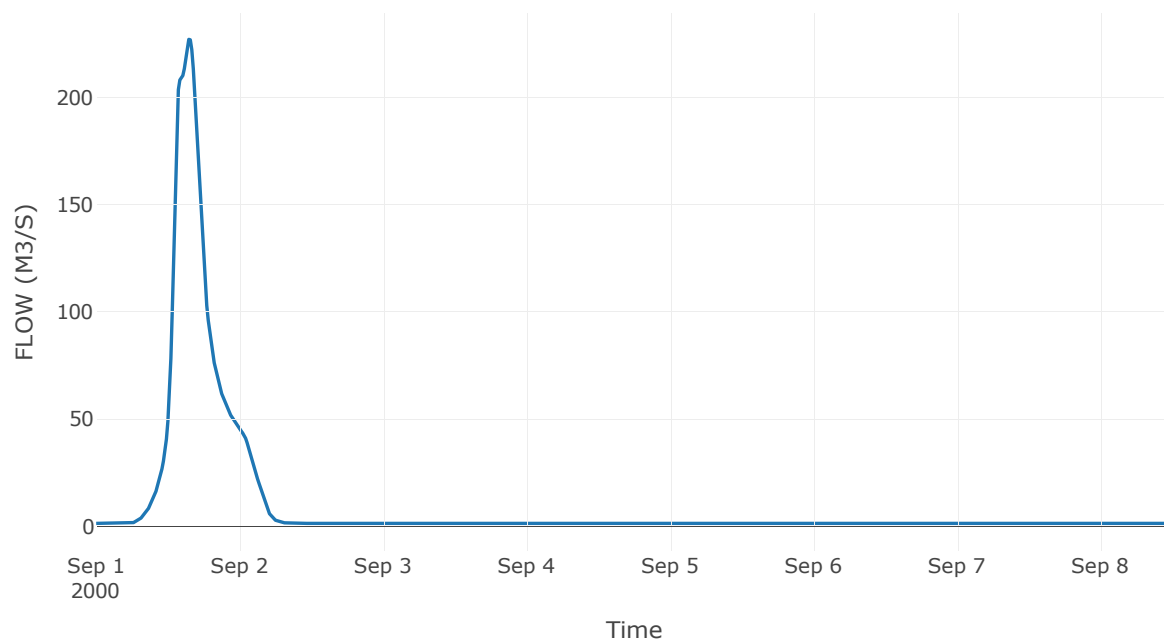


Κόμβος: J7

Αποτελέσμα
α: J7

Παροχή αιχμής (M3/S)	227.1
Χρονική στιγμή αιχμής	01Sep2000, 15:30
Όγκος (MM)	96.46

Απορροή

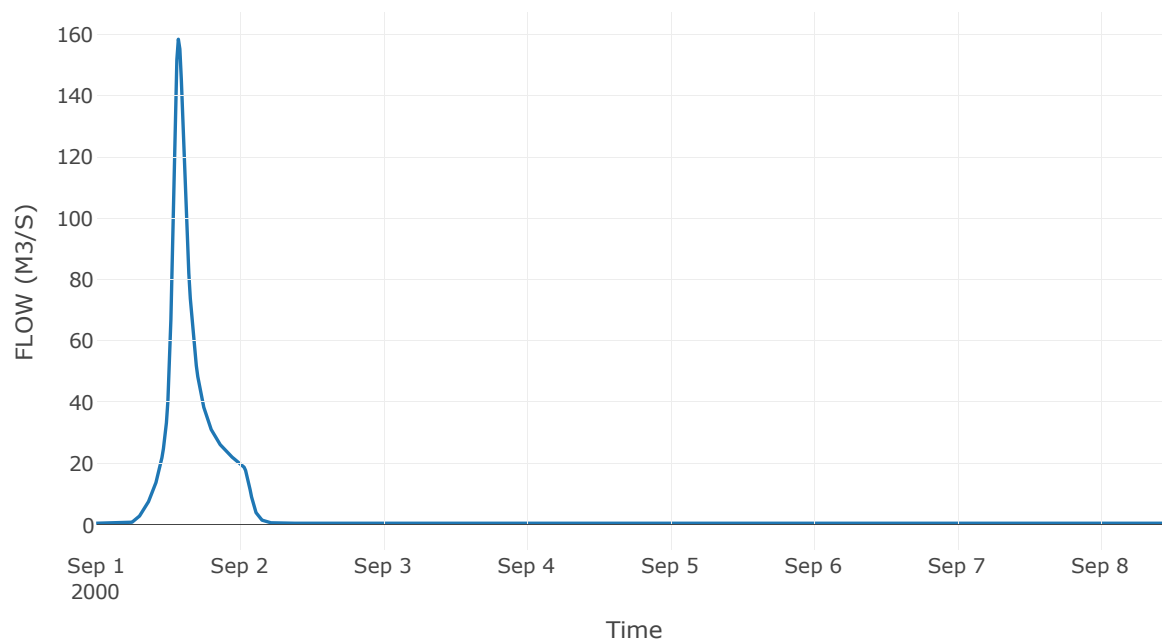


Κόμβος: J8

Αποτελέσμα
α: J8

Παροχή αιχμής (M3/S)	158.47
Χρονική στιγμή αιχμής	01Sep2000, 13:45
Όγκος (MM)	106.24

Απορροή

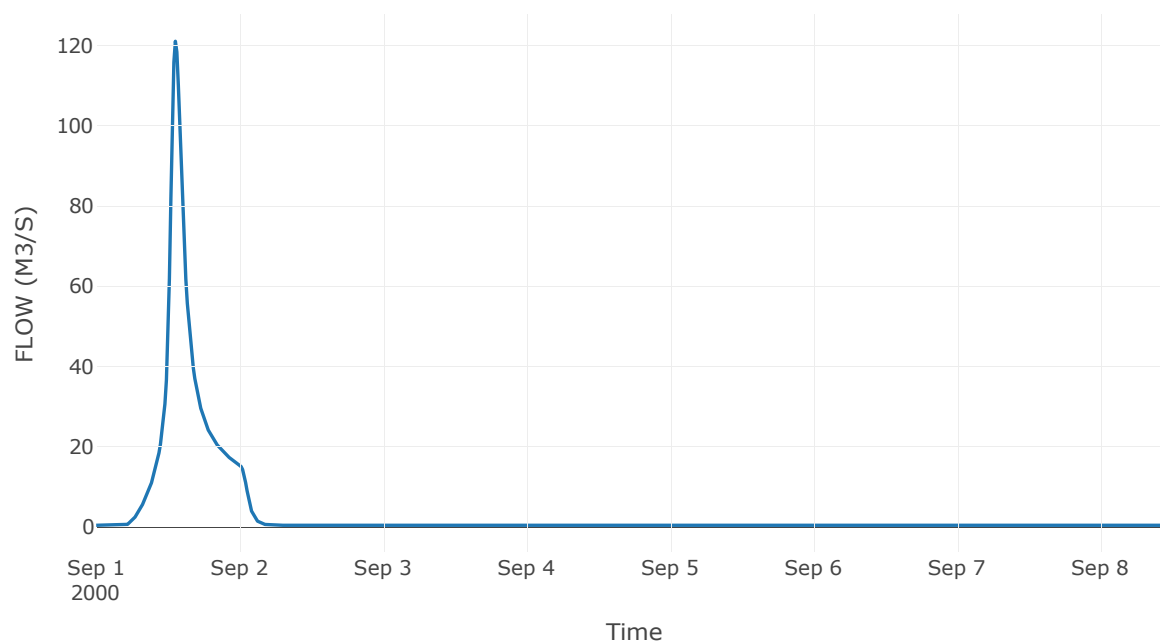


Κόμβος: J9

Αποτελέσμα
α: J9

Παροχή αιχμής (M3/S)	121
Χρονική στιγμή αιχμής	01Sep2000, 13:15
Όγκος (MM)	111.28

Απορροή

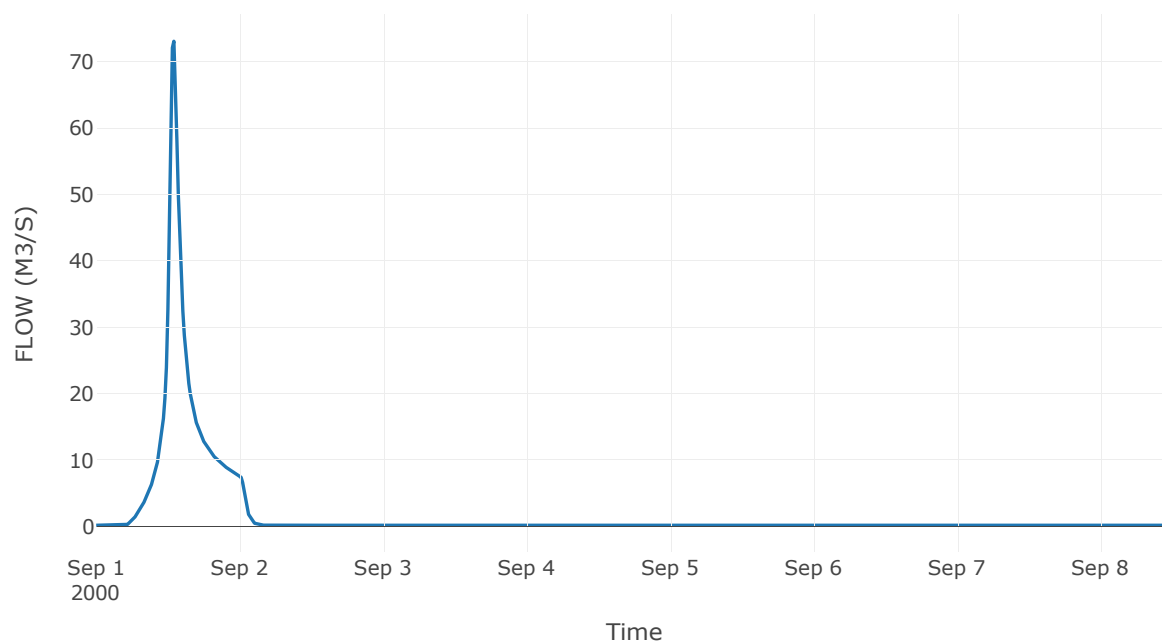


Κόμβος: J10

Αποτελέσματ
α: J10

Παροχή αιχμής (M3/S)	73.03
Χρονική στιγμή αιχμής	01Sep2000, 13:00
Όγκος (MM)	105.18

Απορροή

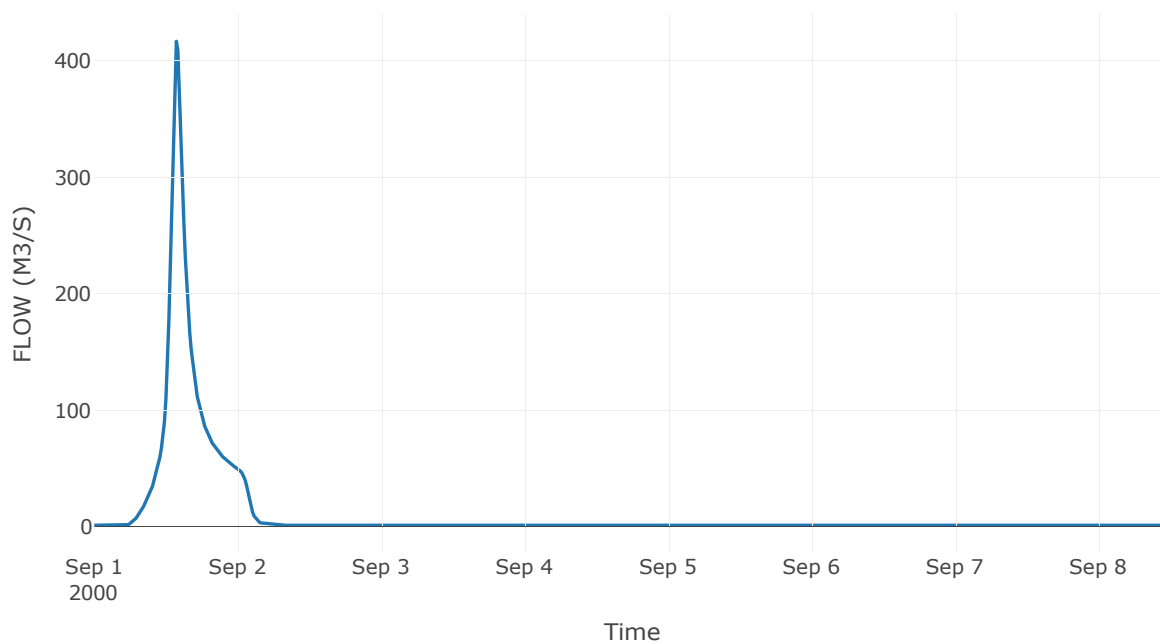


Κόμβος: J11

Αποτελέσματ
α: J11

Παροχή αιχμής (M3/S)	416.75
Χρονική στιγμή αιχμής	01Sep2000, 13:45
Όγκος (MM)	118.56

Απορροή

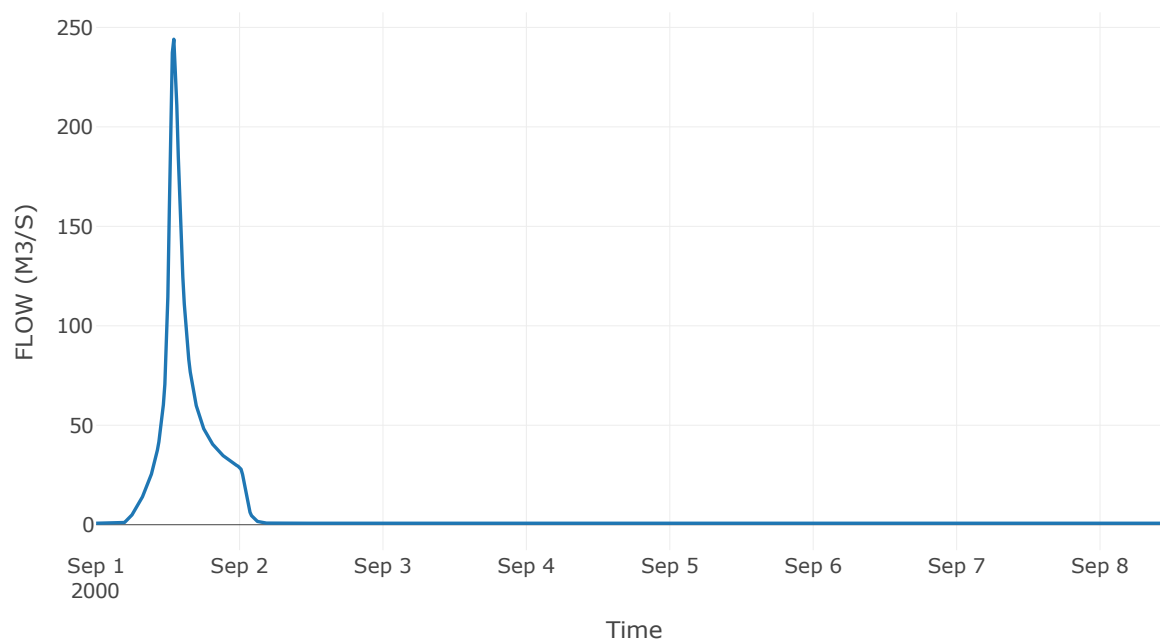


Κόμβος: J12

Αποτελέσματ
α: J12

Παροχή αιχμής (M3/S)	244.06
Χρονική στιγμή αιχμής	01Sep2000, 13:00
Όγκος (MM)	126.73

Απορροή



3 Δεδομένα εισόδου και αποτελέσματα υδρολογικού σεναρίου T=50L

3.1 Αποτελέσματα, υετογραφήματα και υδρογραφήματα σχεδιασμού υπολεκανών

Υπολεκάνη: EL0514FR4001

Έκταση (KM2) : 1.95

Κατάνη : J1

Μέθοδος Απωλειών: SCS

Ποσοστό αδιαπέρατης επιφάνειας	0
Αριθμός Καμπύλης Απορροής-CN	67.12
Αρχικές Απώλειες	24.89

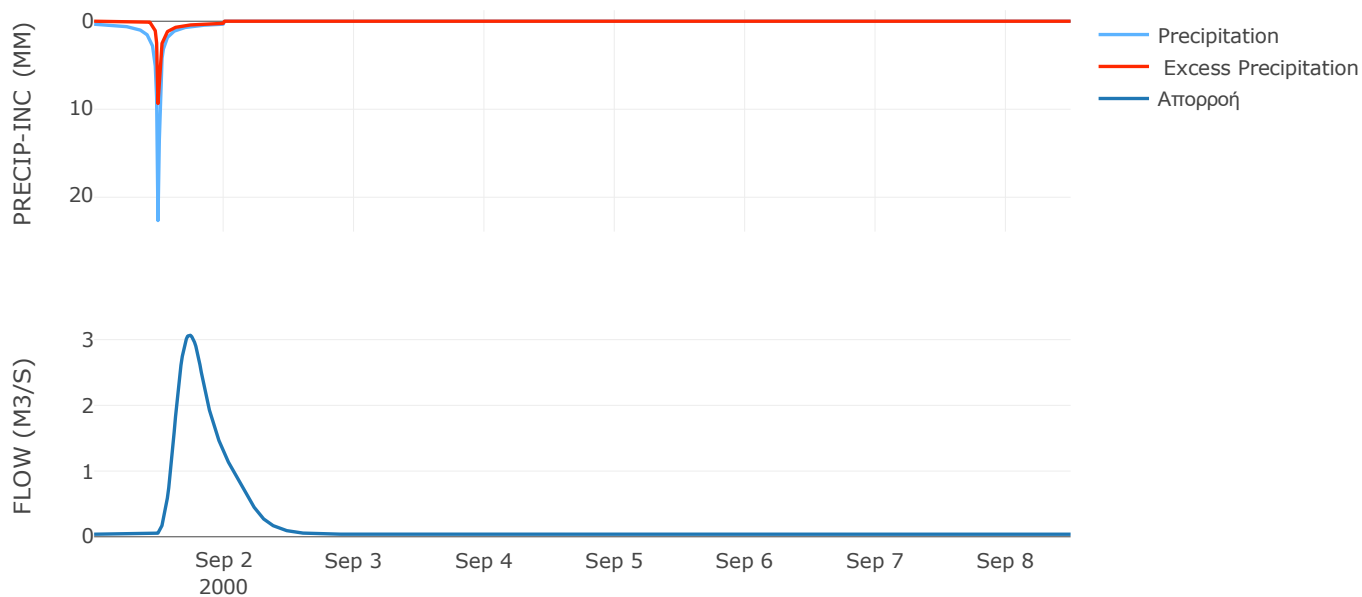
Μέθοδος
Μετασχηματισμού: SCS

Χρόνος Υστέρησης	287.85
------------------	--------

Αποτελέσματα:
EL0514FR4001

Παροχή αιχμής (M3/S)	3.07
Χρονική στιγμή αιχμής	01Sep2000, 17:30
Όγκος (MM)	64.62
Όγκος βροχόπτωσης (M3)	2.63E5
Όγκος απωλειών (M3)	1.63E5
Ενεργός Όγκος (M3)	1.01E5
Όγκος άμεσης απορροής (M3)	1.01E5
Όγκος βασικής απορροής (M3)	25297.92

Βροχόπτωση και Απορροή



Υπολεκάνη: EL0514FR4002

Έκταση (KM2) : 0.13

Κατάντη : J2

Μέθοδος Απωλειών: SCS

Ποσοστό αδιαπέρατης επιφάνειας	0
Αριθμός Καμπύλης Απορροής-CN	63.07
Αρχικές Απώλειες	29.74

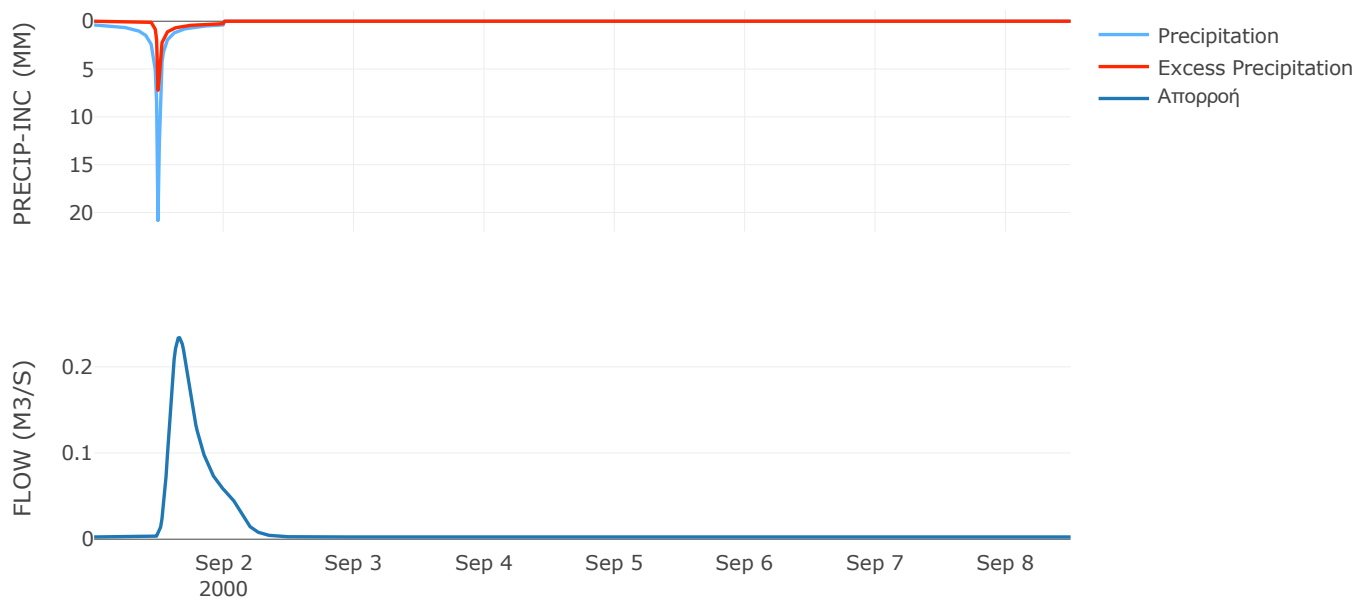
Μέθοδος
Μετασχηματισμού: SCS

Χρόνος Υστέρησης	183.34
------------------	--------

Αποτελέσματα:
EL0514FR4002

Παροχή αιχμής (M3/S)	0.23
Χρονική στιγμή αιχμής	01Sep2000, 15:45
Όγκος (MM)	58.95
Όγκος βροχόπτωσης (M3)	17875.89
Όγκος απωλειών (M3)	11943.49
Ενεργός Όγκος (M3)	5932.4
Όγκος άμεσης απορροής (M3)	5932.4
Όγκος βασικής απορροής (M3)	1671.84

Βροχόπτωση και Απορροή



Υπολεκάνη: EL0514FR4003

Έκταση (KM2) : 3.14

Κατάντη : J2

Μέθοδος Απωλειών: SCS

Ποσοστό αδιαπέρατης επιφάνειας	0
Αριθμός Καμπύλης Απορροής-CN	54.13
Αρχικές Απώλειες	43.05

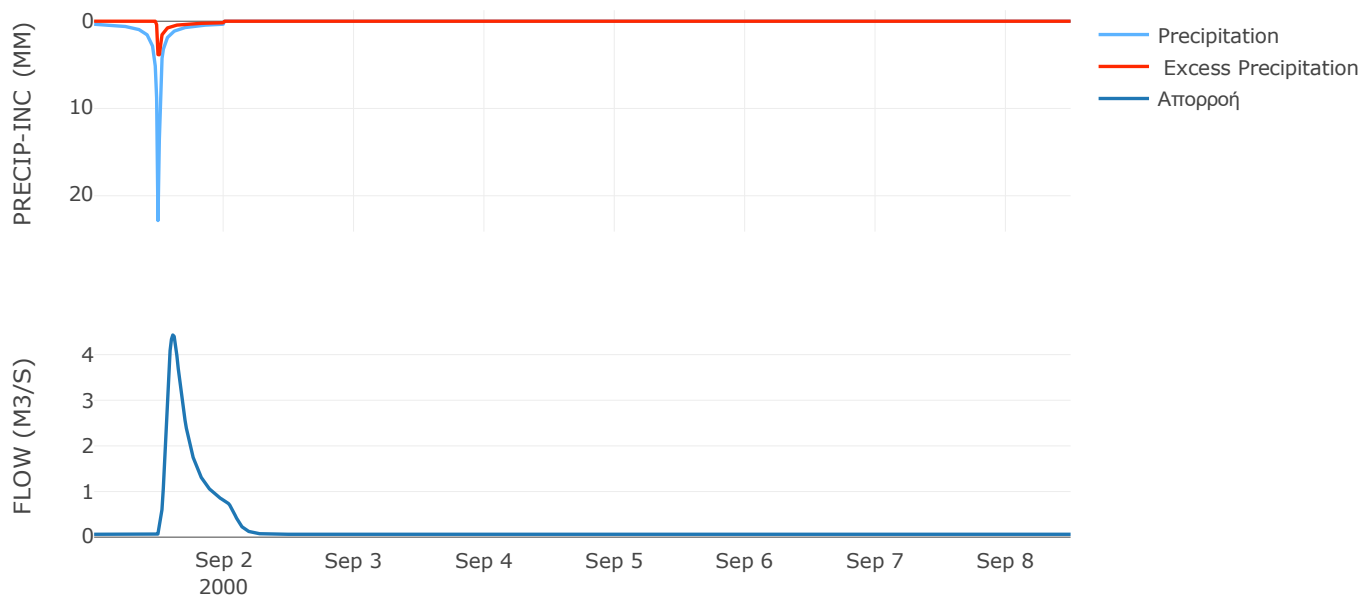
Μέθοδος
Μετασχηματισμού: SCS

Χρόνος Υστέρησης	118.76
------------------	--------

Αποτελέσματα:
EL0514FR4003

Παροχή αιχμής (M3/S)	4.43
Χρονική στιγμή αιχμής	01Sep2000, 14:30
Όγκος (MM)	41.24
Όγκος βροχόπτωσης (M3)	4.28E5
Όγκος απωλειών (M3)	3.4E5
Ενεργός Όγκος (M3)	88779.26
Όγκος άμεσης απορροής (M3)	88779.26
Όγκος βασικής απορροής (M3)	40681.44

Βροχόπτωση και Απορροή



Υπολεκάνη: EL0514FR4004

Έκταση (KM2) : 3.81

Κατάντη : J3

Μέθοδος Απωλειών: SCS

Ποσοστό αδιαπέρατης επιφάνειας	0
Αριθμός Καμπύλης Απορροής-CN	59.72
Αρχικές Απώλειες	34.27

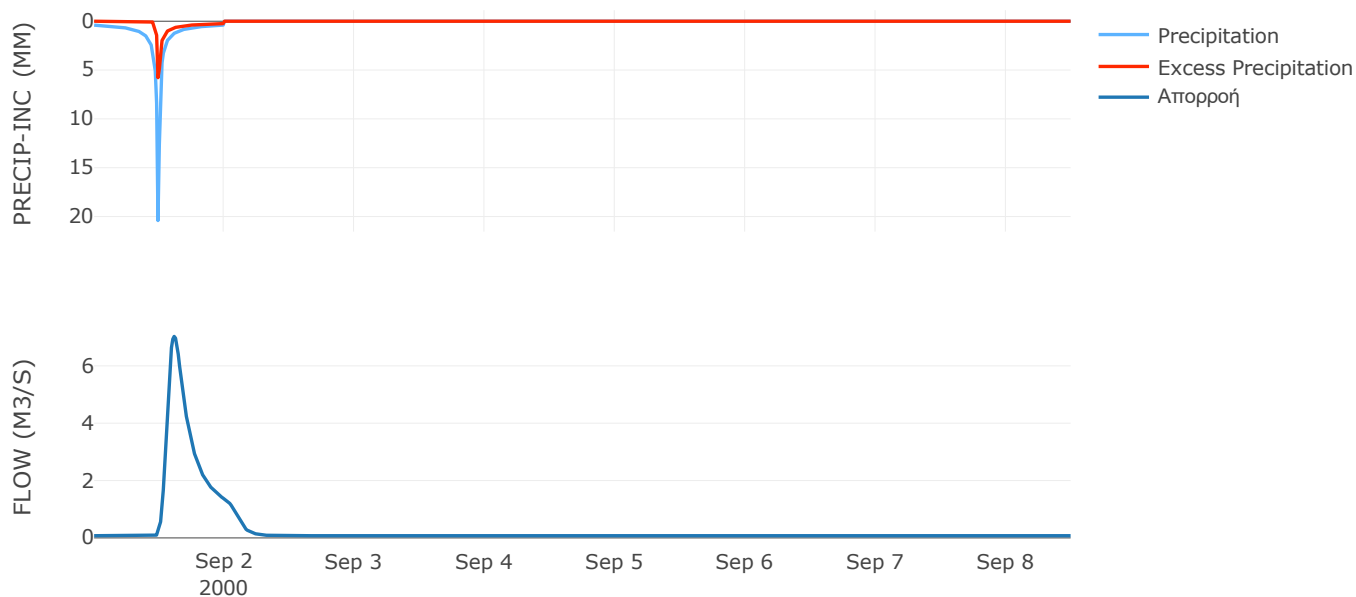
Μέθοδος
Μετασχηματισμού: SCS

Χρόνος Υστέρησης	135.16
------------------	--------

Αποτελέσματα:
EL0514FR4004

Παροχή αιχμής (M3/S)	7.03
Χρονική στιγμή αιχμής	01Sep2000, 14:45
Όγκος (MM)	52.73
Όγκος βροχόπτωσης (M3)	5.3E5
Όγκος απωλειών (M3)	3.79E5
Ενεργός Όγκος (M3)	1.52E5
Όγκος άμεσης απορροής (M3)	1.52E5
Όγκος βασικής απορροής (M3)	49416.48

Βροχόπτωση και Απορροή



Υπολεκάνη: EL0514FR4005

Έκταση (KM2) : 6.29

Κατάντη : J4

Μέθοδος Απωλειών: SCS

Ποσοστό αδιαπέρατης επιφάνειας	0
Αριθμός Καμπύλης Απορροής-CN	64.22
Αρχικές Απώλειες	28.31

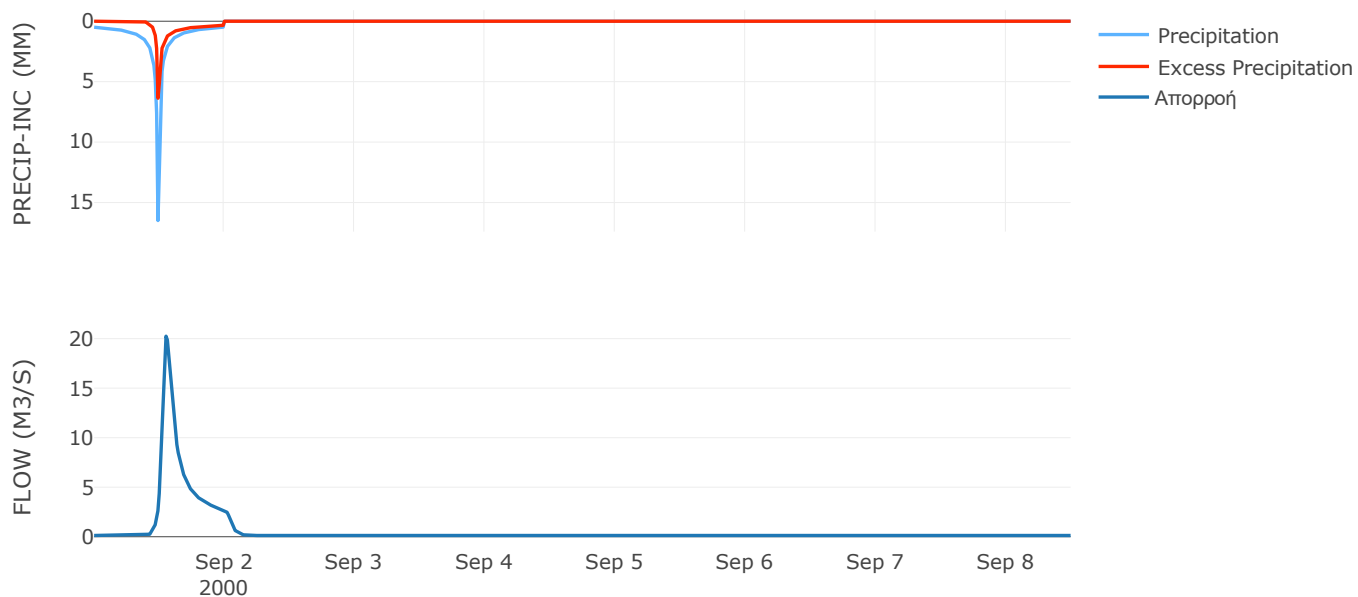
Μέθοδος
Μετασχηματισμού: SCS

Χρόνος Υστέρησης	66.57
------------------	-------

Αποτελέσματα:
EL0514FR4005

Παροχή αιχμής (M3/S)	20.25
Χρονική στιγμή αιχμής	01Sep2000, 13:15
Όγκος (MM)	63.69
Όγκος βροχόπτωσης (M3)	8.94E5
Όγκος απωλειών (M3)	5.75E5
Ενεργός Όγκος (M3)	3.19E5
Όγκος άμεσης απορροής (M3)	3.19E5
Όγκος βασικής απορροής (M3)	81544.32

Βροχόπτωση και Απορροή



Υπολεκάνη: EL0514FR4006

Έκταση (KM2) : 8.52

Κατάντη : J5

Μέθοδος Απωλειών: SCS

Ποσοστό αδιαπέρατης επιφάνειας	0
Αριθμός Καμπύλης Απορροής-CN	63.93
Αρχικές Απώλειες	28.67

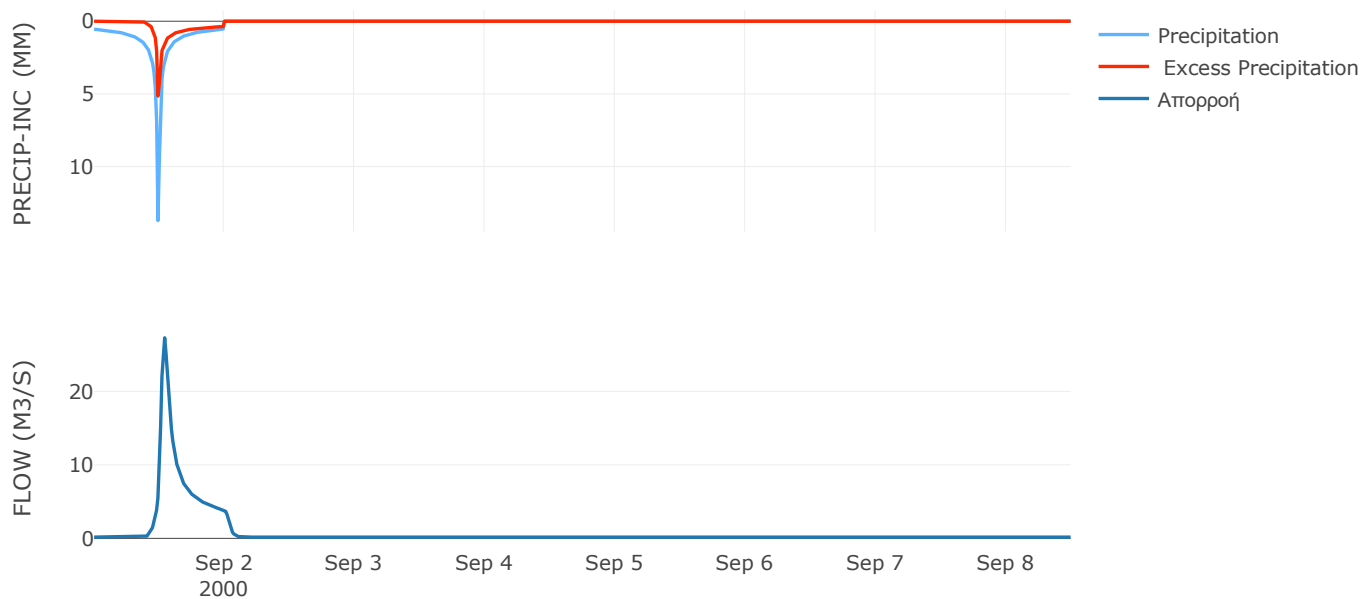
Μέθοδος
Μετασχηματισμού: SCS

Χρόνος Υστέρησης	47.48
------------------	-------

Αποτελέσματα:
EL0514FR4006

Παροχή αιχμής (M3/S)	27.29
Χρονική στιγμή αιχμής	01Sep2000, 13:00
Όγκος (MM)	61.36
Όγκος βροχόπτωσης (M3)	1.19E6
Όγκος απωλειών (M3)	7.77E5
Ενεργός Όγκος (M3)	4.12E5
Όγκος άμεσης απορροής (M3)	4.12E5
Όγκος βασικής απορροής (M3)	1.1E5

Βροχόπτωση και Απορροή



Υπολεκάνη: EL0514FR4007

Έκταση (KM2) : 45.77

Κατάντη : J6

Μέθοδος Απωλειών: SCS

Ποσοστό αδιαπέρατης επιφάνειας	0
Αριθμός Καμπύλης Απορροής-CN	63.49
Αρχικές Απώλειες	29.21

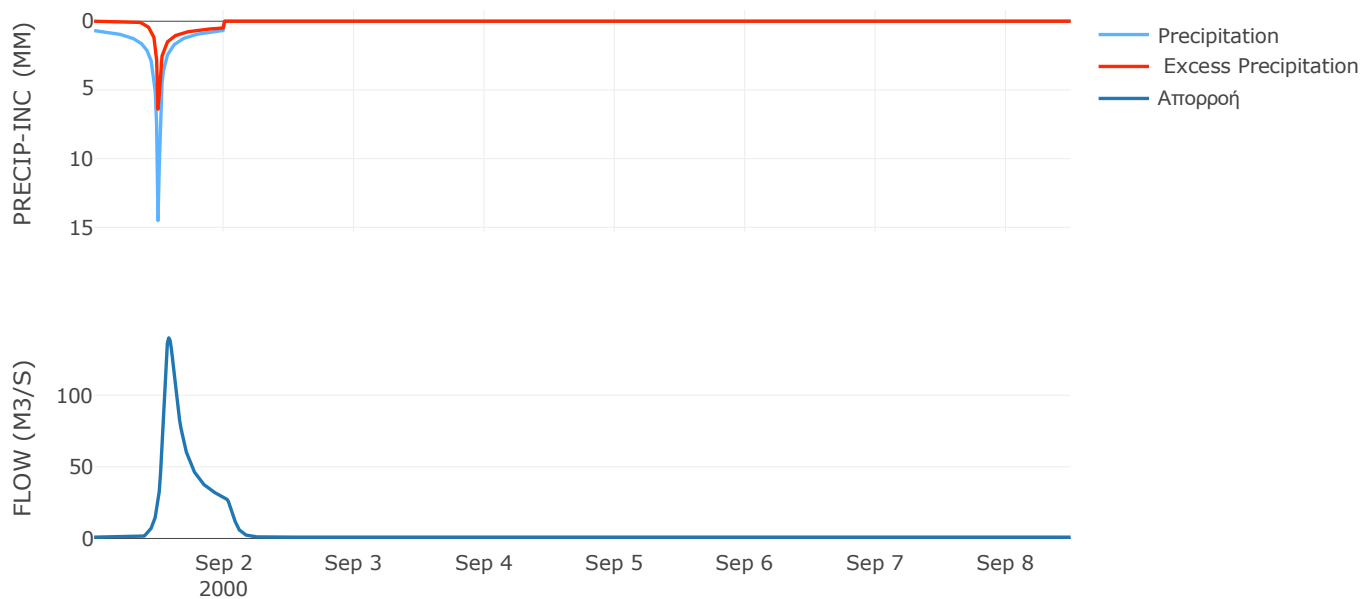
Μέθοδος
Μετασχηματισμού: SCS

Χρόνος Υστέρησης	90.98
------------------	-------

Αποτελέσματα:
EL0514FR4007

Παροχή αιχμής (M3/S)	140.07
Χρονική στιγμή αιχμής	01Sep2000, 13:45
Όγκος (MM)	77.56
Όγκος βροχόπτωσης (M3)	7.5E6
Όγκος απωλειών (M3)	4.54E6
Ενεργός Όγκος (M3)	2.96E6
Όγκος άμεσης απορροής (M3)	2.96E6
Όγκος βασικής απορροής (M3)	5.93E5

Βροχόπτωση και Απορροή



Υπολεκάνη: EL0514FR4008

Έκταση (KM2) : 14.21

Κατάντη : J6

Μέθοδος Απωλειών: SCS

Ποσοστό αδιαπέρατης επιφάνειας	0
Αριθμός Καμπύλης Απορροής-CN	64.02
Αρχικές Απώλειες	28.55

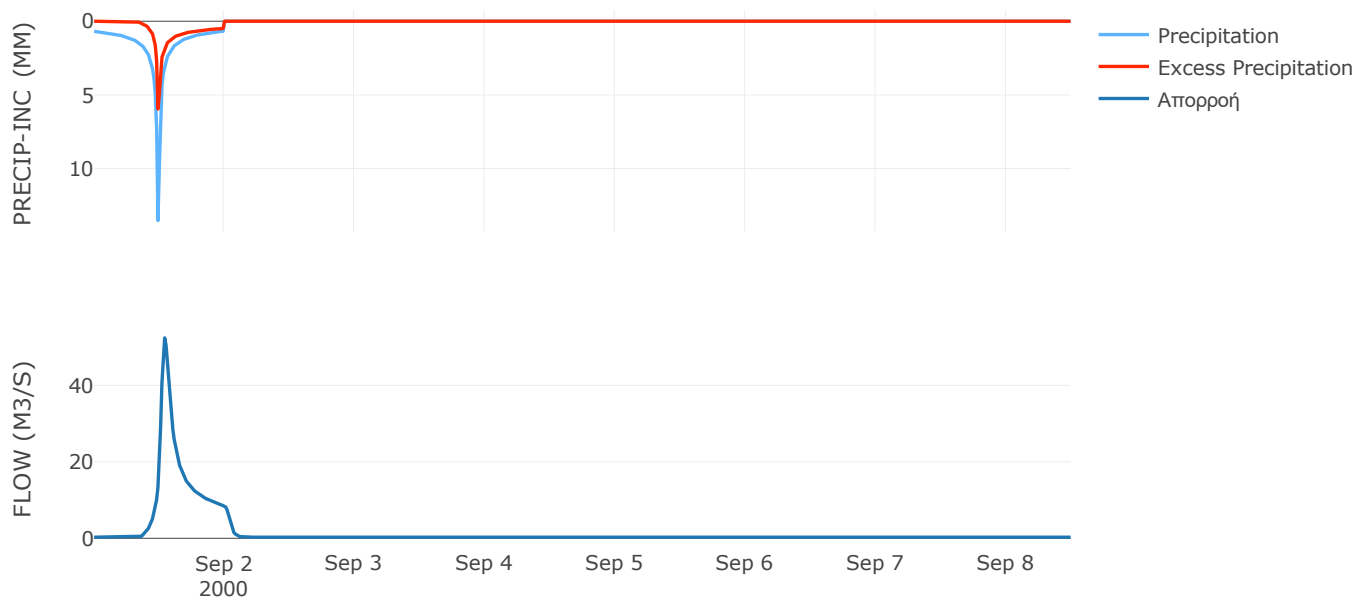
Μέθοδος
Μετασχηματισμού: SCS

Χρόνος Υστέρησης	52.67
------------------	-------

Αποτελέσματα:
EL0514FR4008

Παροχή αιχμής (M3/S)	52.42
Χρονική στιγμή αιχμής	01Sep2000, 13:00
Όγκος (MM)	75.71
Όγκος βροχόπτωσης (M3)	2.27E6
Όγκος απωλειών (M3)	1.38E6
Ενεργός Όγκος (M3)	8.92E5
Όγκος άμεσης απορροής (M3)	8.92E5
Όγκος βασικής απορροής (M3)	1.84E5

Βροχόπτωση και Απορροή



Υπολεκάνη: EL0514FR4009

Έκταση (KM2) : 12.22

Κατάντη : J10

Μέθοδος Απωλειών: SCS

Ποσοστό αδιαπέρατης επιφάνειας	0
Αριθμός Καμπύλης Απορροής-CN	64.71
Αρχικές Απώλειες	27.7

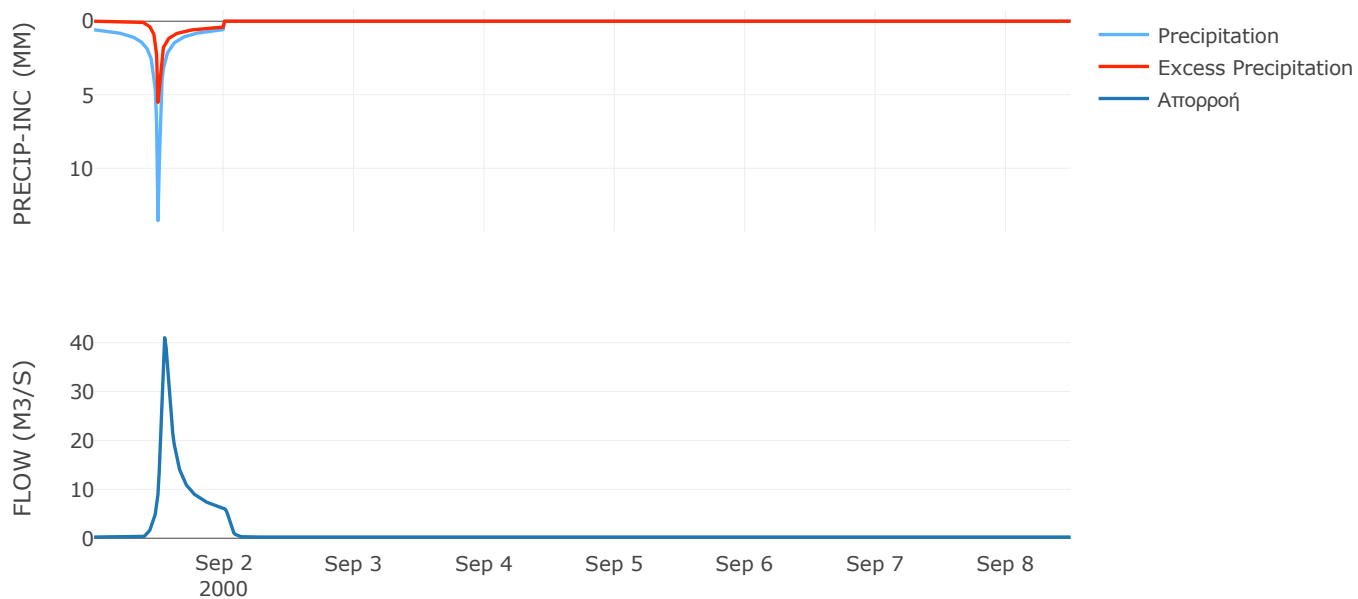
Μέθοδος
Μετασχηματισμού: SCS

Χρόνος Υστέρησης	51.42
------------------	-------

Αποτελέσματα:
EL0514FR4009

Παροχή αιχμής (M3/S)	41.01
Χρονική στιγμή αιχμής	01Sep2000, 13:00
Όγκος (MM)	66.24
Όγκος βροχόπτωσης (M3)	1.76E6
Όγκος απωλειών (M3)	1.11E6
Ενεργός Όγκος (M3)	6.51E5
Όγκος άμεσης απορροής (M3)	6.51E5
Όγκος βασικής απορροής (M3)	1.58E5

Βροχόπτωση και Απορροή



Υπολεκάνη: EL0514FR4010

Έκταση (KM2) : 13.42

Κατάντη : J7

Μέθοδος Απωλειών: SCS

Ποσοστό αδιαπέρατης επιφάνειας	0
Αριθμός Καμπύλης Απορροής-CN	65
Αρχικές Απώλειες	27.35

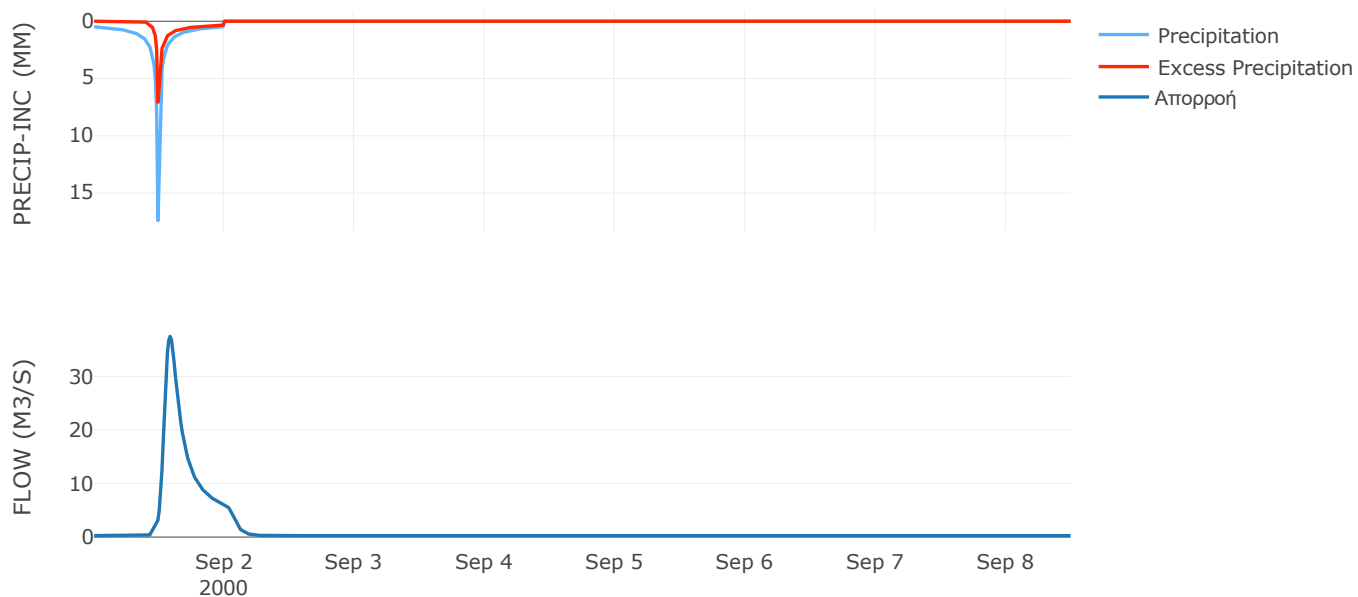
Μέθοδος
Μετασχηματισμού: SCS

Χρόνος Υστέρησης	102.28
------------------	--------

Αποτελέσματα:
EL0514FR4010

Παροχή αιχμής (M3/S)	37.5
Χρονική στιγμή αιχμής	01Sep2000, 14:00
Όγκος (MM)	66.52
Όγκος βροχόπτωσης (M3)	1.93E6
Όγκος απωλειών (M3)	1.21E6
Ενεργός Όγκος (M3)	7.19E5
Όγκος άμεσης απορροής (M3)	7.19E5
Όγκος βασικής απορροής (M3)	1.74E5

Βροχόπτωση και Απορροή



Υπολεκάνη: EL0514FR4011

Έκταση (KM2) : 14.76

Κατάντη : J7

Μέθοδος Απωλειών: SCS

Ποσοστό αδιαπέρατης επιφάνειας	0
Αριθμός Καμπύλης Απορροής-CN	42.83
Αρχικές Απώλειες	67.81

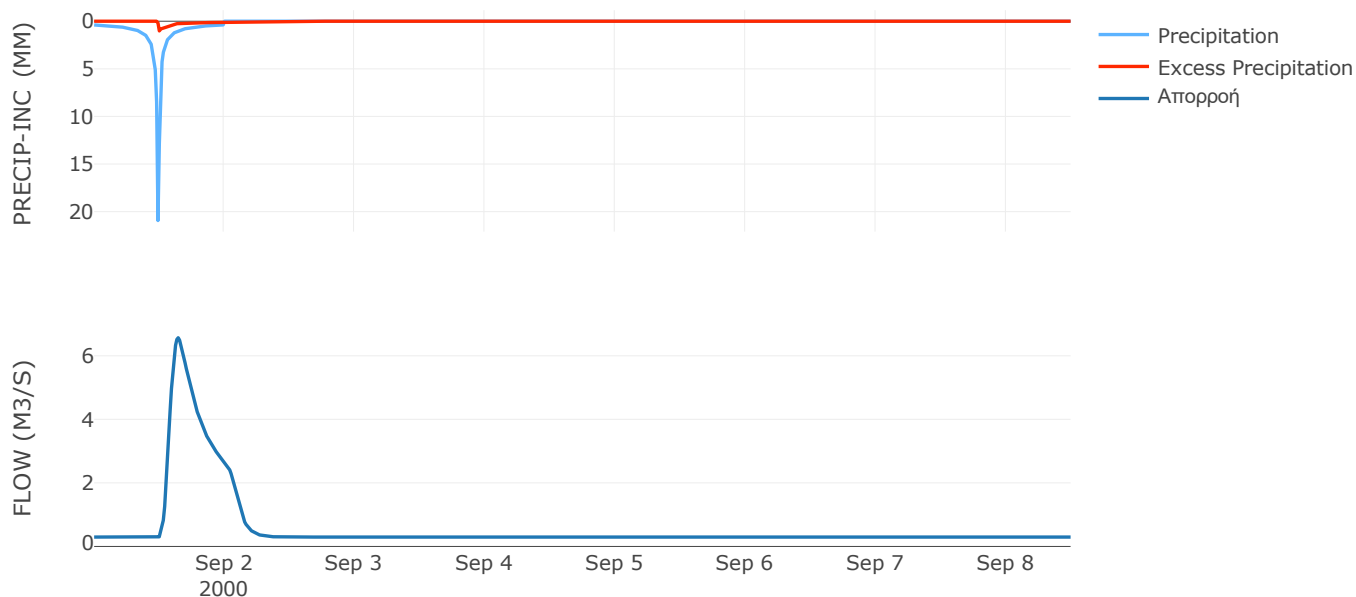
Μέθοδος
Μετασχηματισμού: SCS

Χρόνος Υστέρησης	131.84
------------------	--------

Αποτελέσματα:
EL0514FR4011

Παροχή αιχμής (M3/S)	6.57
Χρονική στιγμή αιχμής	01Sep2000, 15:30
Όγκος (MM)	25.24
Όγκος βροχόπτωσης (M3)	2.05E6
Όγκος απωλειών (M3)	1.87E6
Ενεργός Όγκος (M3)	1.81E5
Όγκος άμεσης απορροής (M3)	1.81E5
Όγκος βασικής απορροής (M3)	1.91E5

Βροχόπτωση και Απορροή



Υπολεκάνη: EL0514FR4012

Έκταση (KM2) : 8.26

Κατάντη : J8

Μέθοδος Απωλειών: SCS

Ποσοστό αδιαπέρατης επιφάνειας	0
Αριθμός Καμπύλης Απορροής-CN	57.46
Αρχικές Απώλειες	37.6

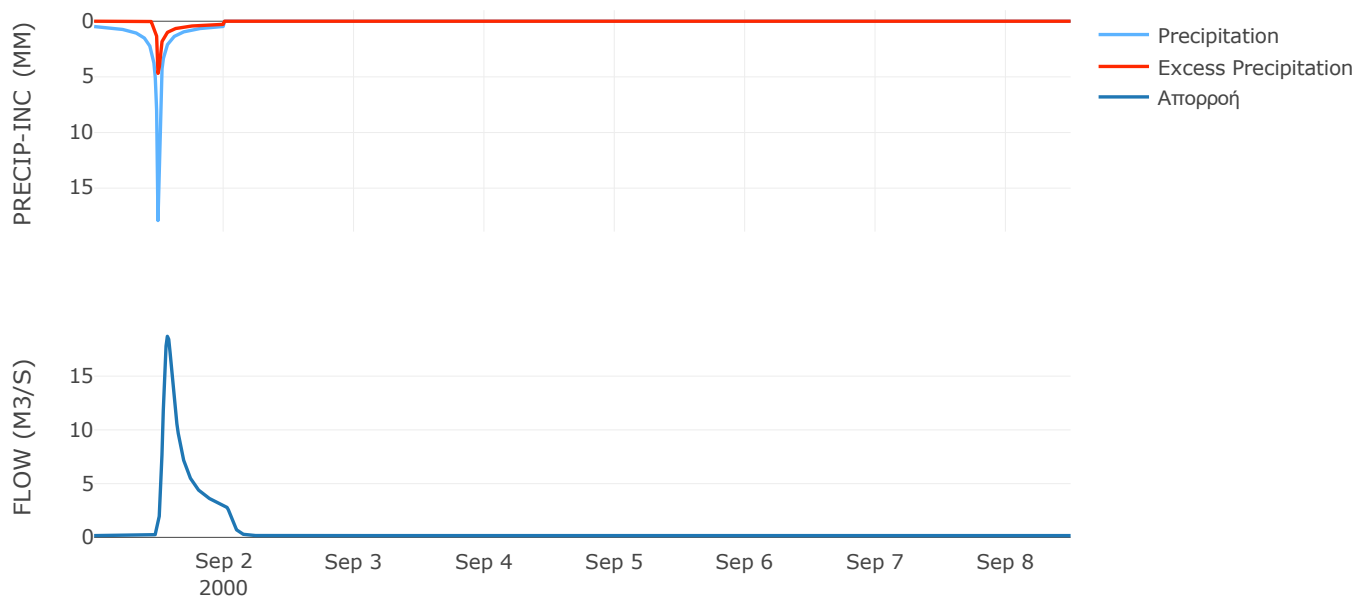
Μέθοδος
Μετασχηματισμού: SCS

Χρόνος Υστέρησης	74.97
------------------	-------

Αποτελέσματα:
EL0514FR4012

Παροχή αιχμής (M3/S)	18.71
Χρονική στιγμή αιχμής	01Sep2000, 13:30
Όγκος (MM)	51.7
Όγκος βροχόπτωσης (M3)	1.19E6
Όγκος απωλειών (M3)	8.73E5
Ενεργός Όγκος (M3)	3.2E5
Όγκος άμεσης απορροής (M3)	3.2E5
Όγκος βασικής απορροής (M3)	1.07E5

Βροχόπτωση και Απορροή



Υπολεκάνη: EL0514FR4013

Έκταση (KM2) : 22.16

Κατάντη : J9

Μέθοδος Απωλειών: SCS

Ποσοστό αδιαπέρατης επιφάνειας	0
Αριθμός Καμπύλης Απορροής-CN	64.36
Αρχικές Απώλειες	28.13

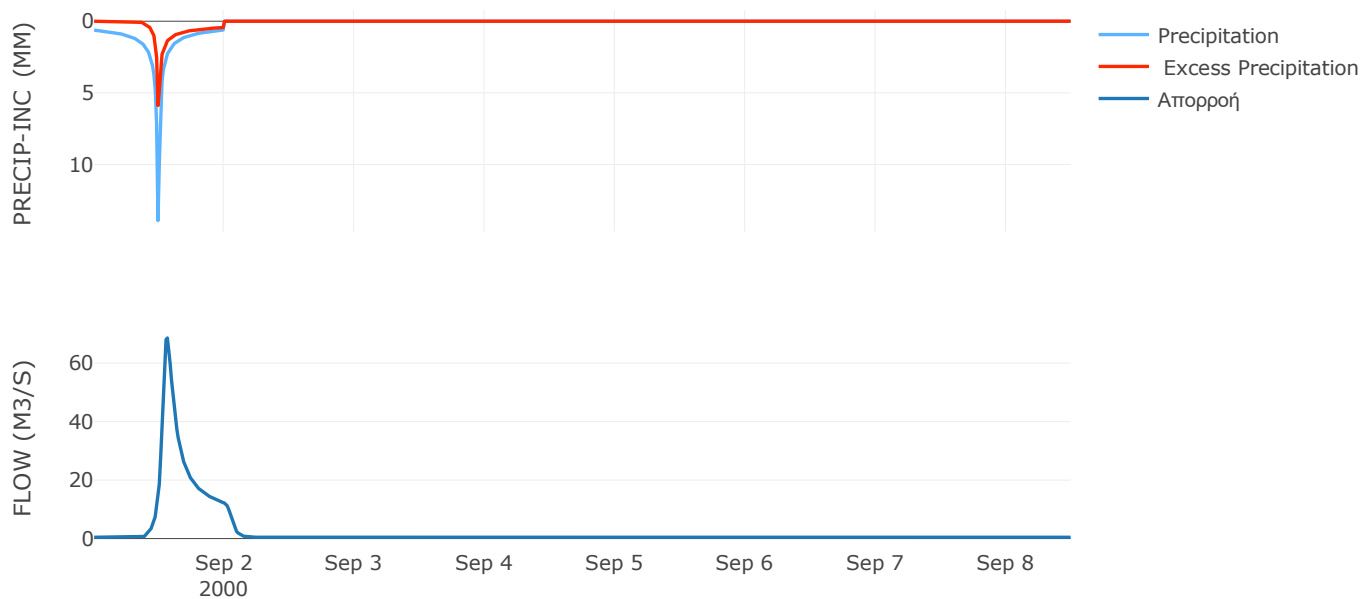
Μέθοδος
Μετασχηματισμού: SCS

Χρόνος Υστέρησης	72.07
------------------	-------

Αποτελέσματα:
EL0514FR4013

Παροχή αιχμής (M3/S)	68.58
Χρονική στιγμή αιχμής	01Sep2000, 13:30
Όγκος (MM)	70.73
Όγκος βροχόπτωσης (M3)	3.36E6
Όγκος απωλειών (M3)	2.08E6
Ενεργός Όγκος (M3)	1.28E6
Όγκος άμεσης απορροής (M3)	1.28E6
Όγκος βασικής απορροής (M3)	2.87E5

Βροχόπτωση και Απορροή



Υπολεκάνη: EL0514FR4014

Έκταση (KM2) : 1.47

Κατάντη : J3

Μέθοδος Απωλειών: SCS

Ποσοστό αδιαπέρατης επιφάνειας	0
Αριθμός Καμπύλης Απορροής-CN	59.67
Αρχικές Απώλειες	34.33

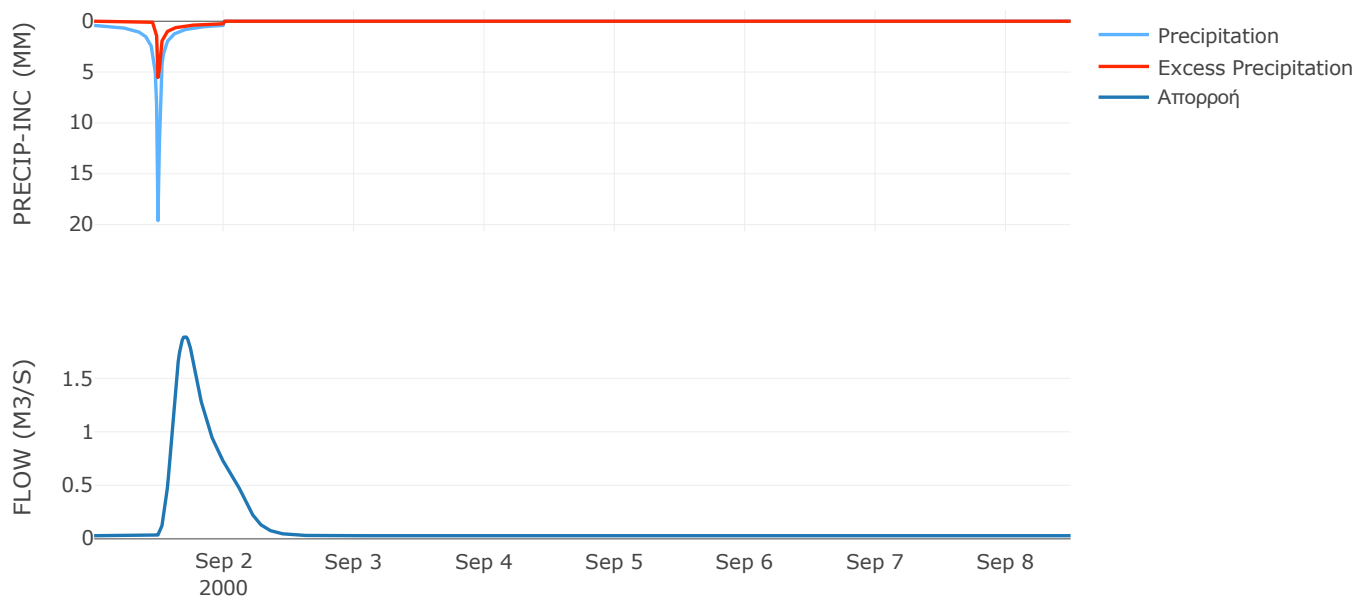
Μέθοδος
Μετασχηματισμού: SCS

Χρόνος Υστέρησης	229.88
------------------	--------

Αποτελέσματα:
EL0514FR4014

Παροχή αιχμής (M3/S)	1.89
Χρονική στιγμή αιχμής	01Sep2000, 16:45
Όγκος (MM)	52.49
Όγκος βροχόπτωσης (M3)	2.04E5
Όγκος απωλειών (M3)	1.46E5
Ενεργός Όγκος (M3)	58142.62
Όγκος άμεσης απορροής (M3)	58142.62
Όγκος βασικής απορροής (M3)	19064.16

Βροχόπτωση και Απορροή



Υπολεκάνη: EL0514FR4015

Έκταση (KM2) : 32.03

Κατάνη : J11

Μέθοδος Απωλειών: SCS

Ποσοστό αδιαπέρατης επιφάνειας	0
Αριθμός Καμπύλης Απορροής-CN	64.34
Αρχικές Απώλειες	28.16

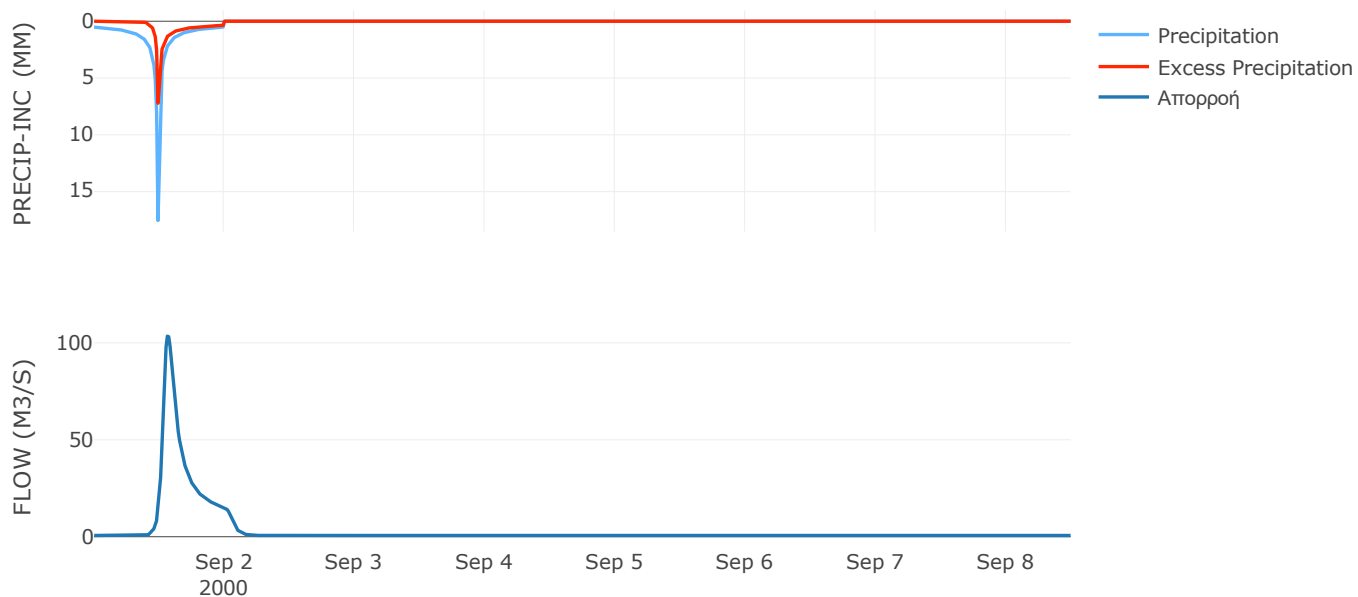
Μέθοδος
Μετασχηματισμού: SCS

Χρόνος Υστέρησης	82.44
------------------	-------

Αποτελέσματα:
EL0514FR4015

Παροχή αιχμής (M3/S)	103.45
Χρονική στιγμή αιχμής	01Sep2000, 13:30
Όγκος (MM)	69.1
Όγκος βροχόπτωσης (M3)	4.79E6
Όγκος απωλειών (M3)	2.99E6
Ενεργός Όγκος (M3)	1.8E6
Όγκος άμεσης απορροής (M3)	1.8E6
Όγκος βασικής απορροής (M3)	4.15E5

Βροχόπτωση και Απορροή



Υπολεκάνη: EL0514FR4016

Έκταση (KM2) : 25.77

Κατάντη : J12

Μέθοδος Απωλειών: SCS

Ποσοστό αδιαπέρατης επιφάνειας	0
Αριθμός Καμπύλης Απορροής-CN	62.99
Αρχικές Απώλειες	29.84

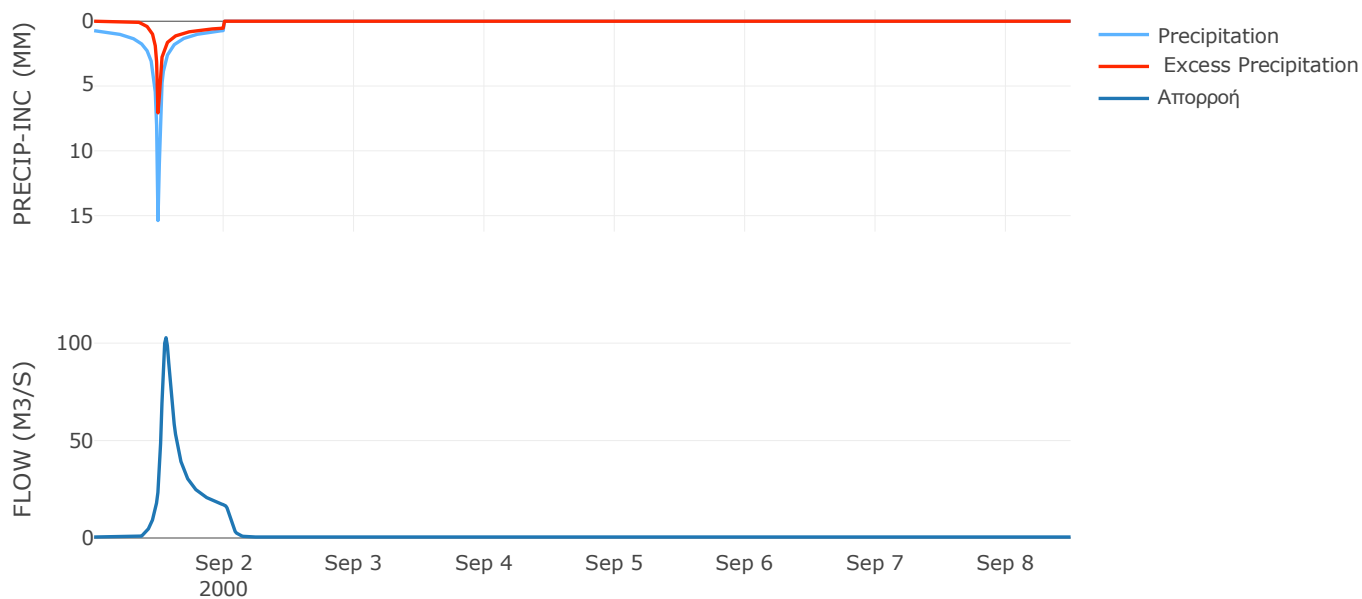
Μέθοδος
Μετασχηματισμού: SCS

Χρόνος Υστέρησης	63.36
------------------	-------

Αποτελέσματα:
EL0514FR4016

Παροχή αιχμής (M3/S)	102.78
Χρονική στιγμή αιχμής	01Sep2000, 13:15
Όγκος (MM)	84.09
Όγκος βροχόπτωσης (M3)	4.49E6
Όγκος απωλειών (M3)	2.66E6
Ενεργός Όγκος (M3)	1.83E6
Όγκος άμεσης απορροής (M3)	1.83E6
Όγκος βασικής απορροής (M3)	3.34E5

Βροχόπτωση και Απορροή



Υπολεκάνη: EL0514FR4017

Έκταση (KM2) : 10.84

Κατάντη : J12

Μέθοδος Απωλειών: SCS

Ποσοστό αδιαπέρατης επιφάνειας	0
Αριθμός Καμπύλης Απορροής-CN	63.33
Αρχικές Απώλειες	29.42

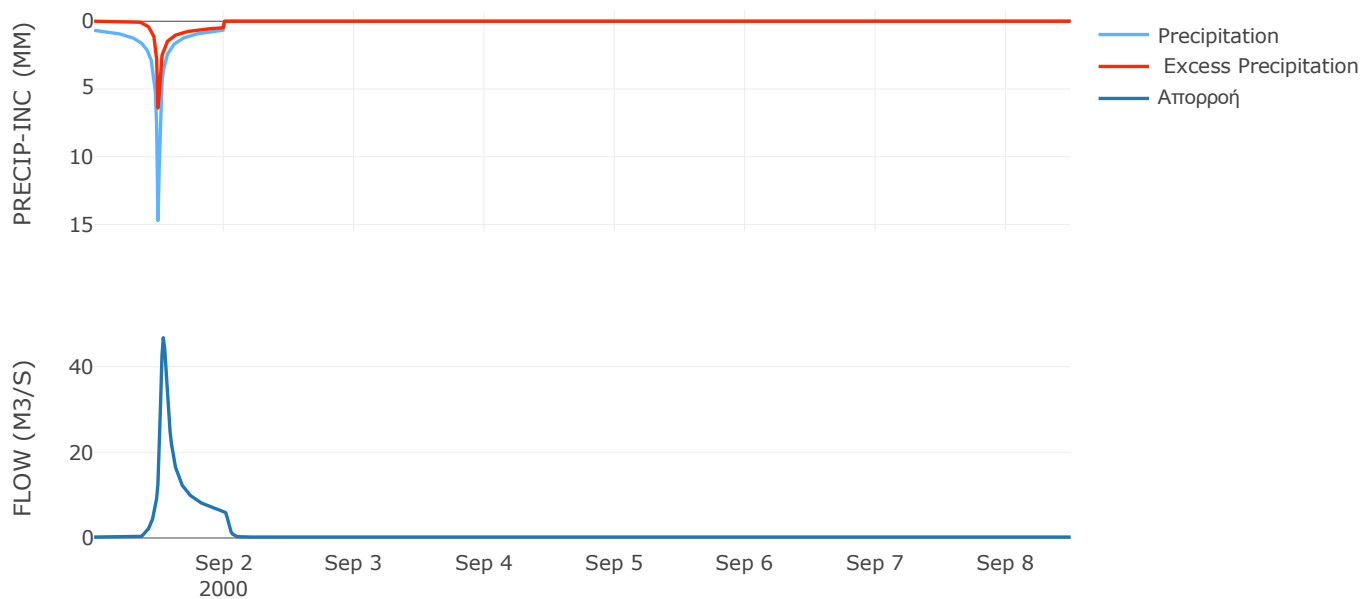
Μέθοδος
Μετασχηματισμού: SCS

Χρόνος Υστέρησης	40.38
------------------	-------

Αποτελέσματα:
EL0514FR4017

Παροχή αιχμής (M3/S)	46.74
Χρονική στιγμή αιχμής	01Sep2000, 12:45
Όγκος (MM)	76.53
Όγκος βροχόπτωσης (M3)	1.77E6
Όγκος απωλειών (M3)	1.08E6
Ενεργός Όγκος (M3)	6.89E5
Όγκος άμεσης απορροής (M3)	6.89E5
Όγκος βασικής απορροής (M3)	1.4E5

Βροχόπτωση και Απορροή



3.2 Δεδομένα και υδρογραφήματα σχεδιασμού Κλάδων υδρογραφικού δικτύου

Κλάδος: R21

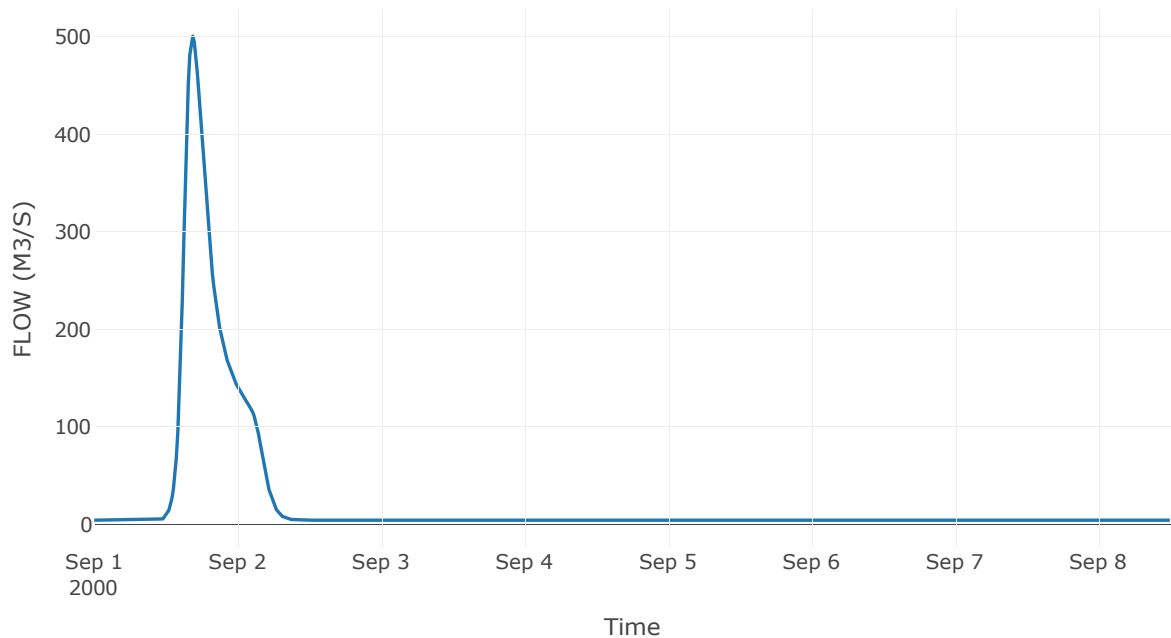
Κατάντη : J1

Μέθοδος Διόδευσης	Muskingum
Αρχική Μεταβλητή	Combined Inflow
Χρόνος Ροής K	0.74
Συντελεστής βάρους x	0.2
Πλήθος Υποκλάδων	3

Αποτελέσματα: R21

Παροχή Αιχμής(M3/S)	500.46
Χρονική στιγμή αιχμής	01Sep2000, 16:30
Όγκος(MM)	68.42
Παροχή Αιχμής Εισόδου (M3/S)	509.9
Όγκος Εισροής(M3)	1.52E7

Απορροή



Κλάδος: R32

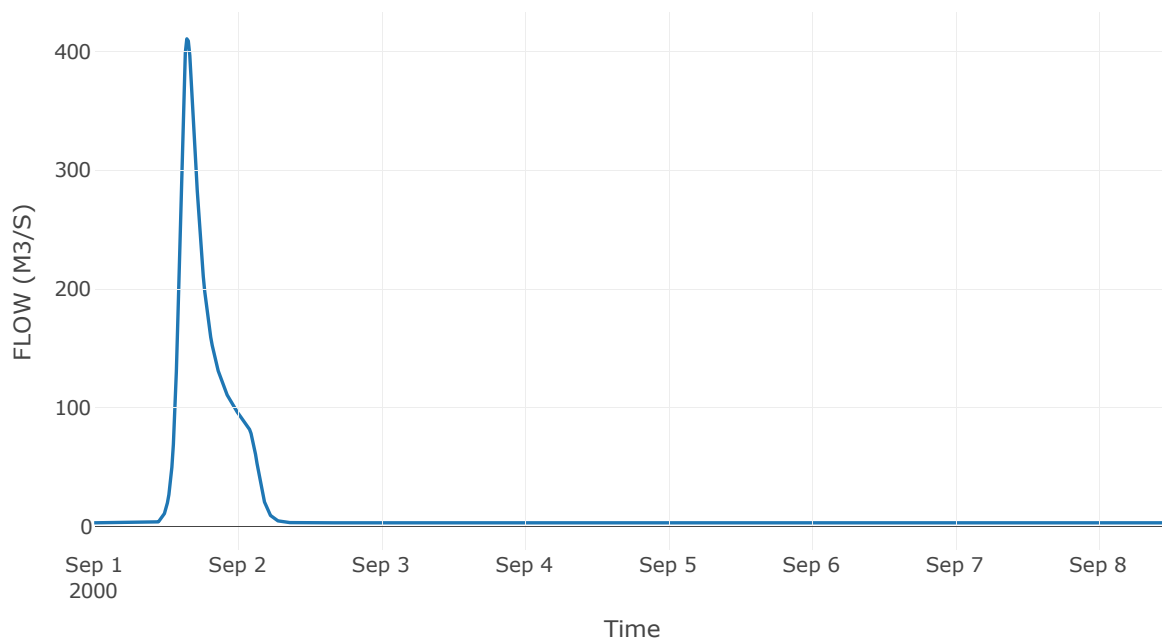
Κατάντη : J2

Μέθοδος Διόδευσης	Χρόνος
Αρχική Μεταβλητή	Combined Inflow
Χρόνος Υστέρησης	4.98

Αποτελέσματα: R32

Παροχή Αιχμής(M3/S)	410.73
Χρονική στιγμή αιχμής	01Sep2000, 15:30
Όγκος(MM)	74.22
Παροχή Αιχμής Εισόδου (M3/S)	412.79
Όγκος Εισροής(M3)	1.1E7

Απορροή



Κλάδος: R43

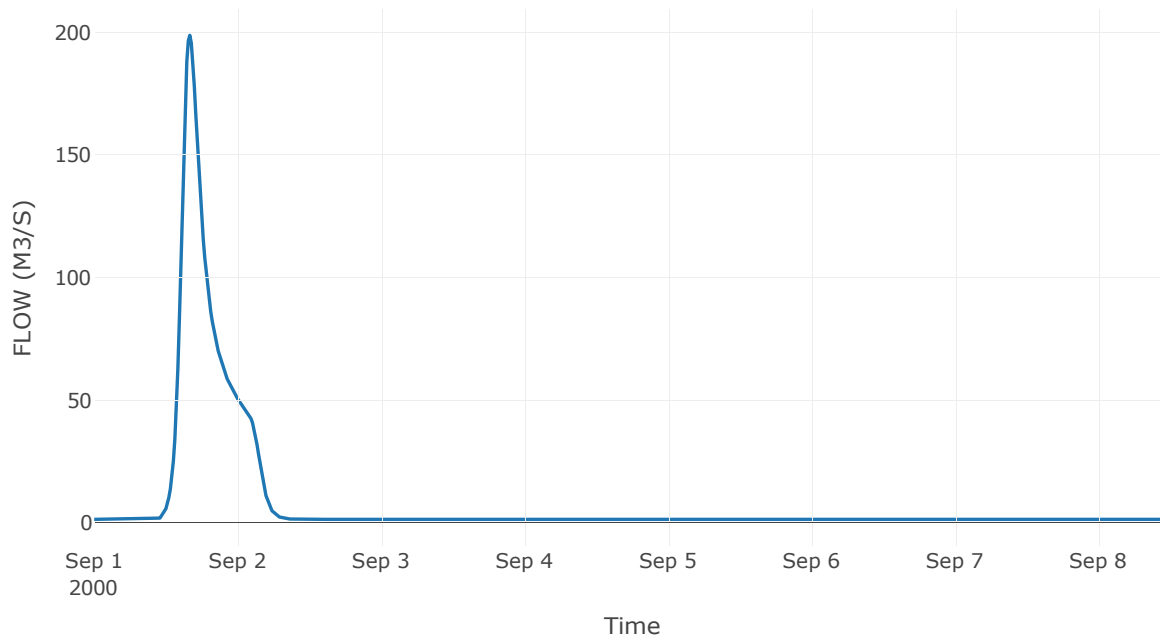
Κατάντη : J3

Μέθοδος Διόδευσης	Muskingum
Αρχική Μεταβλητή	Combined Inflow
Χρόνος Ροής K	1.35
Συντελεστής βάρους x	0.2
Πλήθος Υποκλάδων	5

Αποτελέσματα: R43

Παροχή Αιχμής(M3/S)	198.85
Χρονική στιγμή αιχμής	01Sep2000, 16:00
Όγκος(MM)	74.19
Παροχή Αιχμής Εισόδου (M3/S)	210.3
Όγκος Εισροής(M3)	5.55E6

Απορροή



Κλάδος: R54

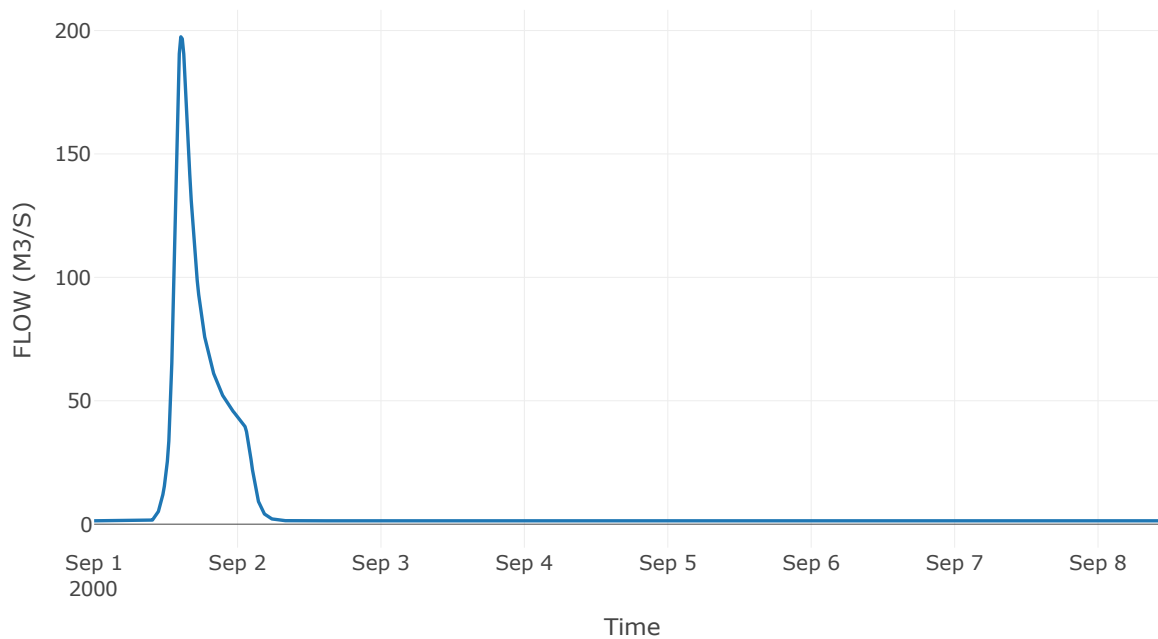
Κατάντη : J4

Μέθοδος Διόδευσης	Χρόνος
Αρχική Μεταβλητή	Combined Inflow
Χρόνος Υστέρησης	36.48

Αποτελέσματα: R54

Παροχή Αιχμής(M3/S)	197.47
Χρονική στιγμή αιχμής	01Sep2000, 14:30
Όγκος(MM)	75.16
Παροχή Αιχμής Εισόδου (M3/S)	198.75
Όγκος Εισροής(M3)	5.15E6

Απορροή



Κλάδος: R65

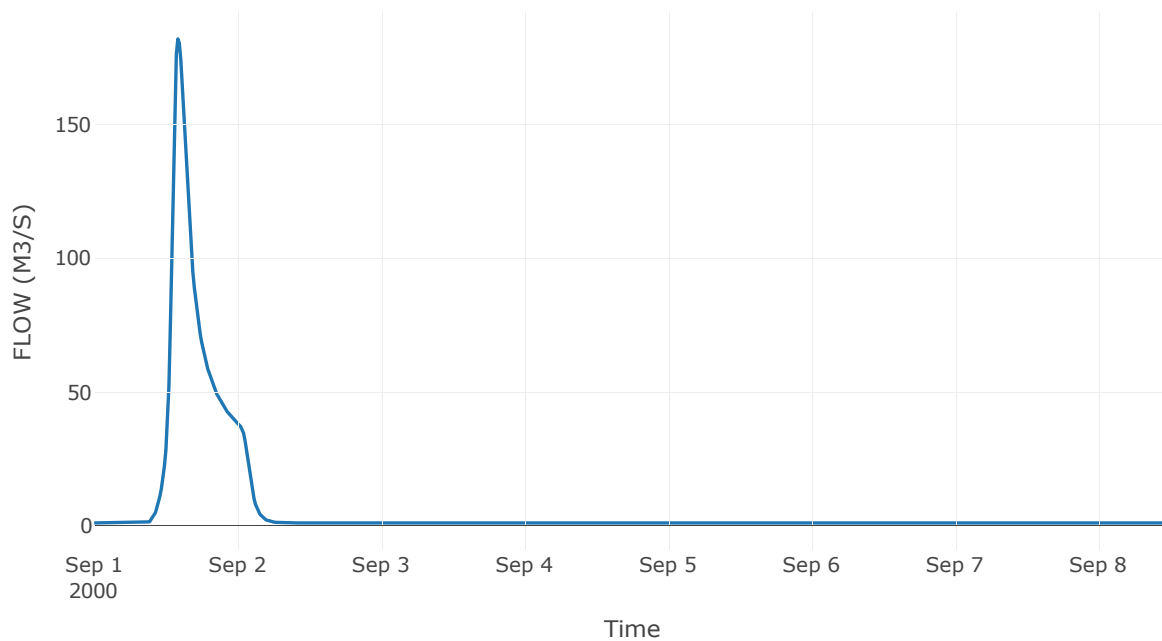
Κατάντη : J5

Μέθοδος Διόδευσης	Χρόνος
Αρχική Μεταβλητή	Combined Inflow
Χρόνος Υστέρησης	30.68

Αποτελέσματα: R65

Παροχή Αιχμής(M3/S)	181.94
Χρονική στιγμή αιχμής	01Sep2000, 14:00
Όγκος(MM)	77.12
Παροχή Αιχμής Εισόδου (M3/S)	181.94
Όγκος Εισροής(M3)	4.63E6

Απορροή



Κλάδος: R72

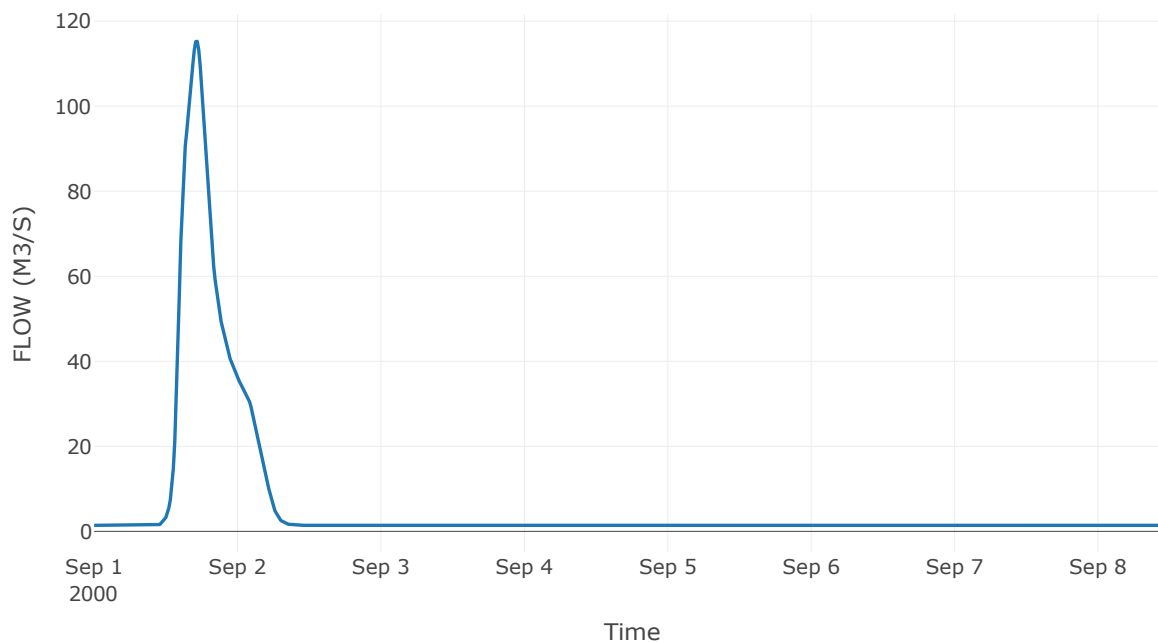
Κατάντη : J2

Μέθοδος Διόδευσης	Muskingum
Αρχική Μεταβλητή	Combined Inflow
Χρόνος Ροής K	1.19
Συντελεστής βάρους x	0.2
Πλήθος Υποκλάδων	5

Αποτελέσματα: R72

Παροχή Αιχμής(M3/S)	115.26
Χρονική στιγμή αιχμής	01Sep2000, 17:15
Όγκος(MM)	57.46
Παροχή Αιχμής Εισόδου (M3/S)	118.63
Όγκος Εισροής(M3)	4.07E6

Απορροή



Κλάδος: R87

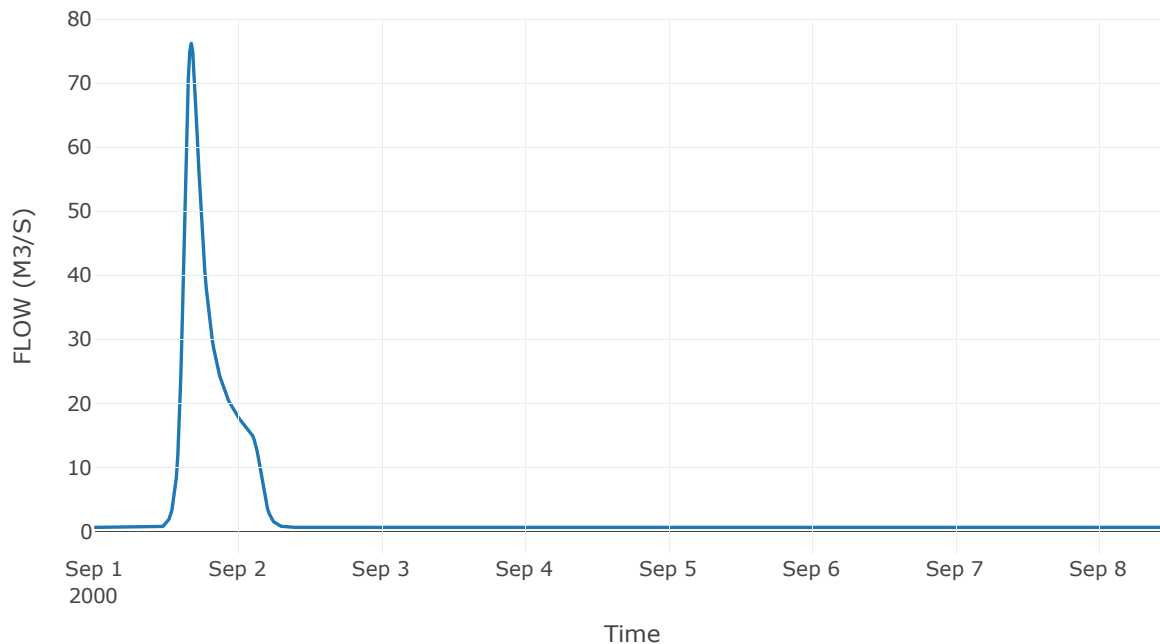
Κατάντη : J7

Μέθοδος Διόδευσης	Muskingum
Αρχική Μεταβλητή	Combined Inflow
Χρόνος Ροής Κ	2.16
Συντελεστής βάρους α	0.2
Πλήθος Υποκλάδων	9

Αποτελέσματα: R87

Παροχή Αιχμής(M3/S)	76.16
Χρονική στιγμή αιχμής	01Sep2000, 16:15
Όγκος(MM)	65.56
Παροχή Αιχμής Εισόδου (M3/S)	85.5
Όγκος Εισροής(M3)	1.99E6

Απορροή



Κλάδος: R98

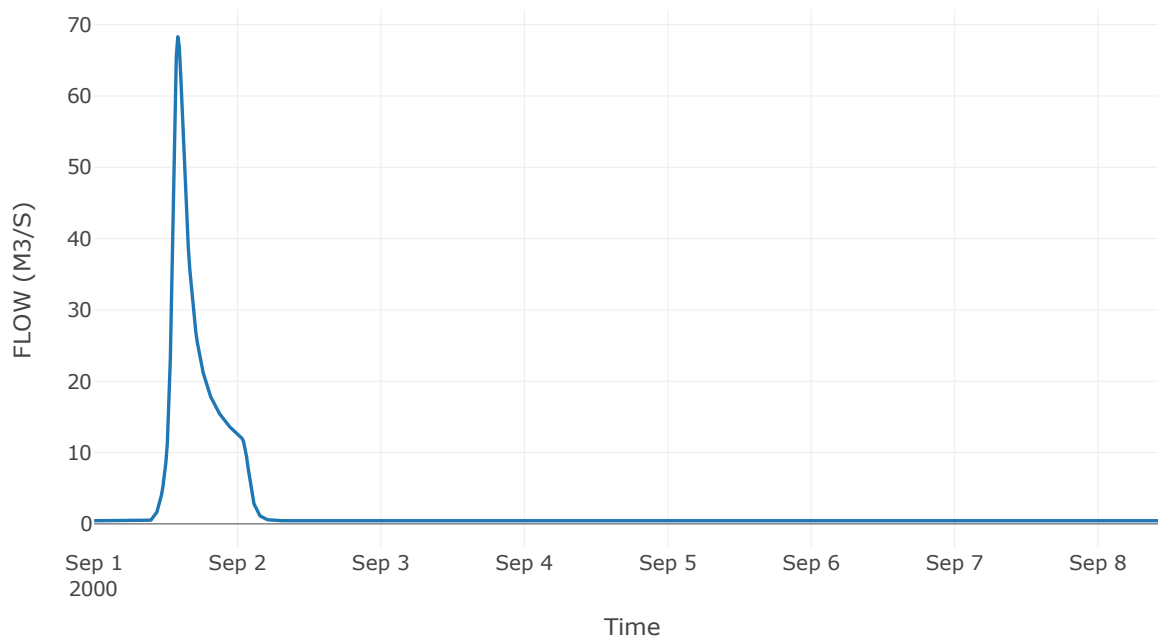
Κατάντη : J8

Μέθοδος Διόδευσης	Χρόνος
Αρχική Μεταβλητή	Combined Inflow
Χρόνος Υστέρησης	37.6

Αποτελέσματα: R98

Παροχή Αιχμής(M3/S)	68.31
Χρονική στιγμή αιχμής	01Sep2000, 14:00
Όγκος(MM)	70.73
Παροχή Αιχμής Εισόδου (M3/S)	68.58
Όγκος Εισροής(M3)	1.57E6

Απορροή



Κλάδος: R107

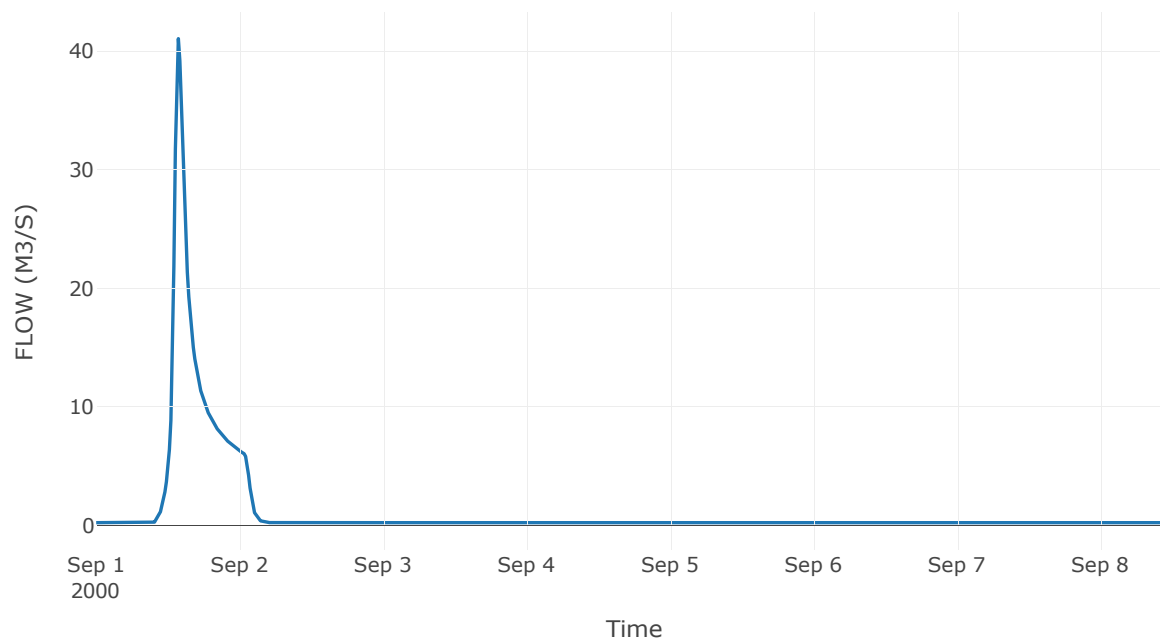
Κατάντη : J7

Μέθοδος Διόδευσης	Χρόνος
Αρχική Μεταβλητή	Combined Inflow
Χρόνος Υστέρησης	45.07

Αποτελέσματα: R107

Παροχή Αιχμής(M3/S)	41.01
Χρονική στιγμή αιχμής	01Sep2000, 13:45
Όγκος(MM)	66.24
Παροχή Αιχμής Εισόδου (M3/S)	41.01
Όγκος Εισροής(M3)	8.1E5

Απορροή



Κλάδος: R113

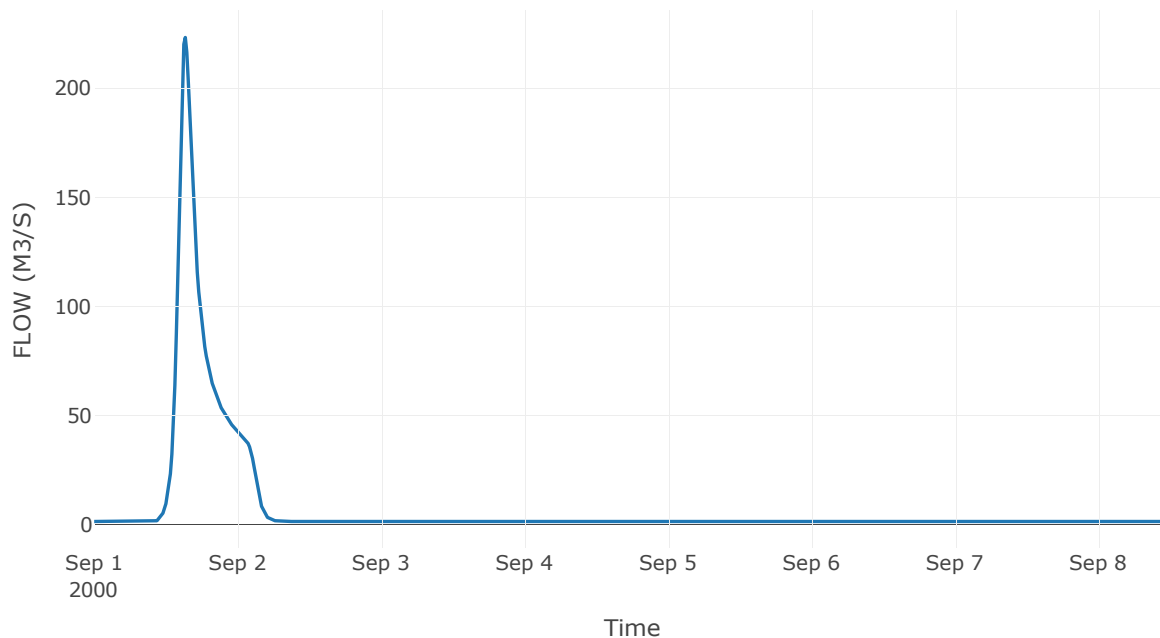
Κατάντη : J3

Μέθοδος Διόδευσης	Muskingum
Αρχική Μεταβλητή	Combined Inflow
Χρόνος Ροής Κ	1.21
Συντελεστής βάρους α	0.2
Πλήθος Υποκλάδων	5

Αποτελέσματα: R113

Παροχή Αιχμής(M3/S)	223.35
Χρονική στιγμή αιχμής	01Sep2000, 15:15
Όγκος(MM)	75.9
Παροχή Αιχμής Εισόδου (M3/S)	241.98
Όγκος Εισροής(M3)	5.21E6

Απορροή



Κλάδος: R1211

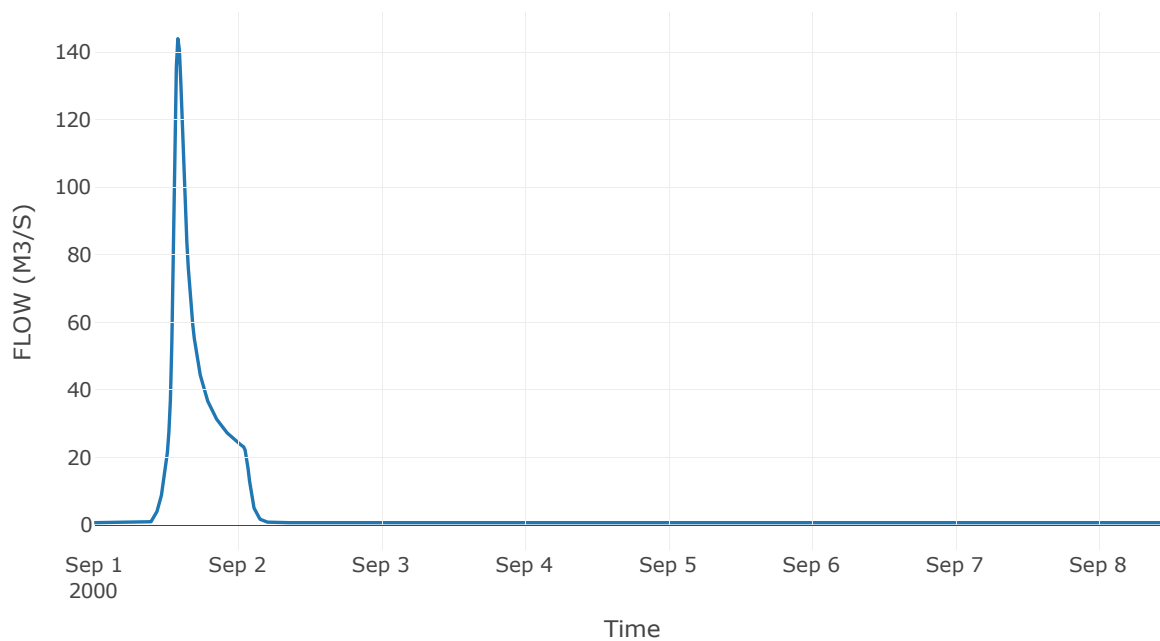
Κατάντη : J11

Μέθοδος Διόδευσης	Χρόνος
Αρχική Μεταβλητή	Combined Inflow
Χρόνος Υστέρησης	59.19

Αποτελέσματα: R1211

Παροχή Αιχμής(M3/S)	143.92
Χρονική στιγμή αιχμής	01Sep2000, 14:00
Όγκος(MM)	81.85
Παροχή Αιχμής Εισόδου (M3/S)	144.1
Όγκος Εισροής(M3)	3E6

Απορροή



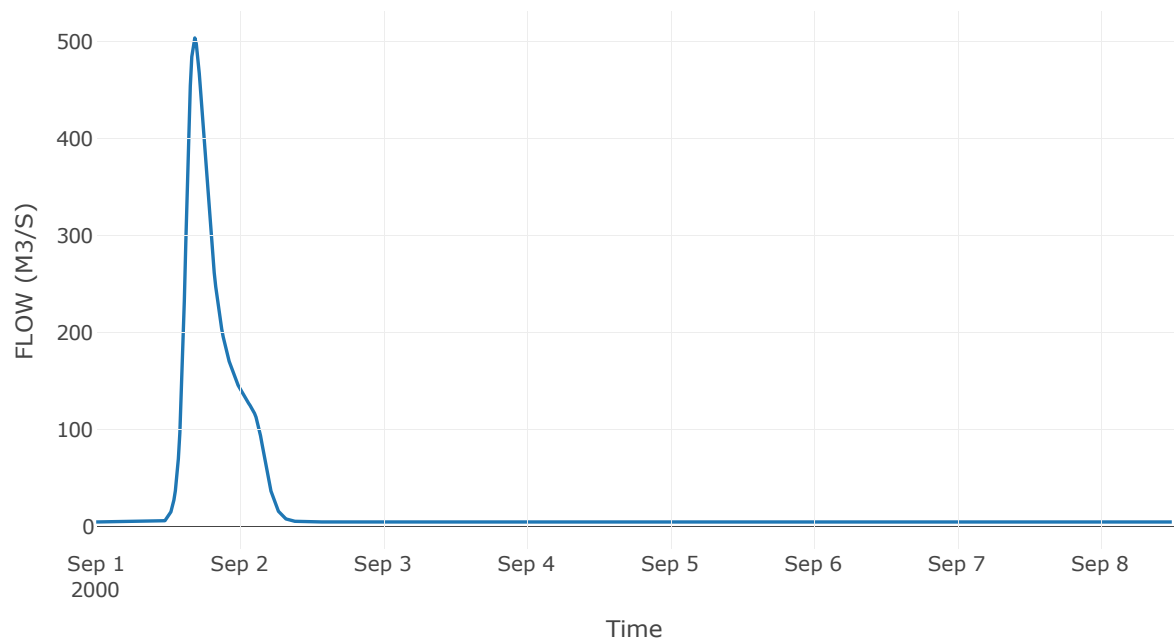
3.3 Δεδομένα και υδρογραφήματα σχεδιασμού Κόμβων υδρογραφικού δικτύου

Κόμβος: J1

Αποτέλεσμα
τα: J1

Παροχή αιχμής (M3/S)	503.32
Χρονική στιγμή αιχμής	01Sep2000, 16:30
Όγκος (MM)	68.38

Απορροή

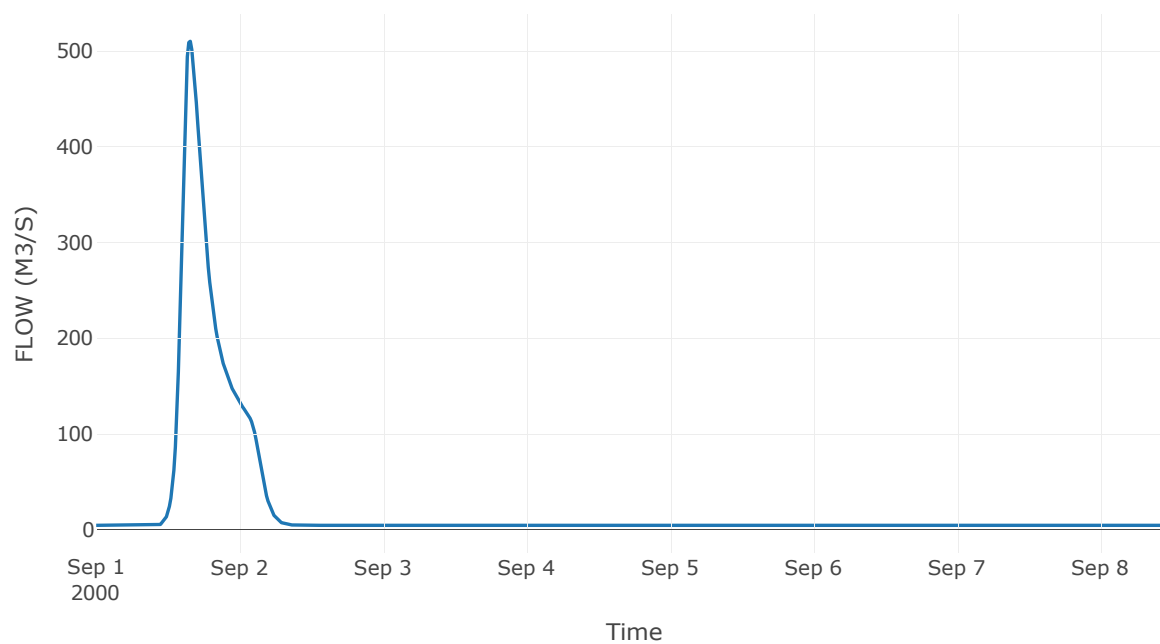


Κόμβος: J2

Αποτελέσμα
α: J2

Παροχή αιχμής (M3/S)	509.9
Χρονική στιγμή αιχμής	01Sep2000, 15:45
Όγκος (MM)	68.42

Απορροή

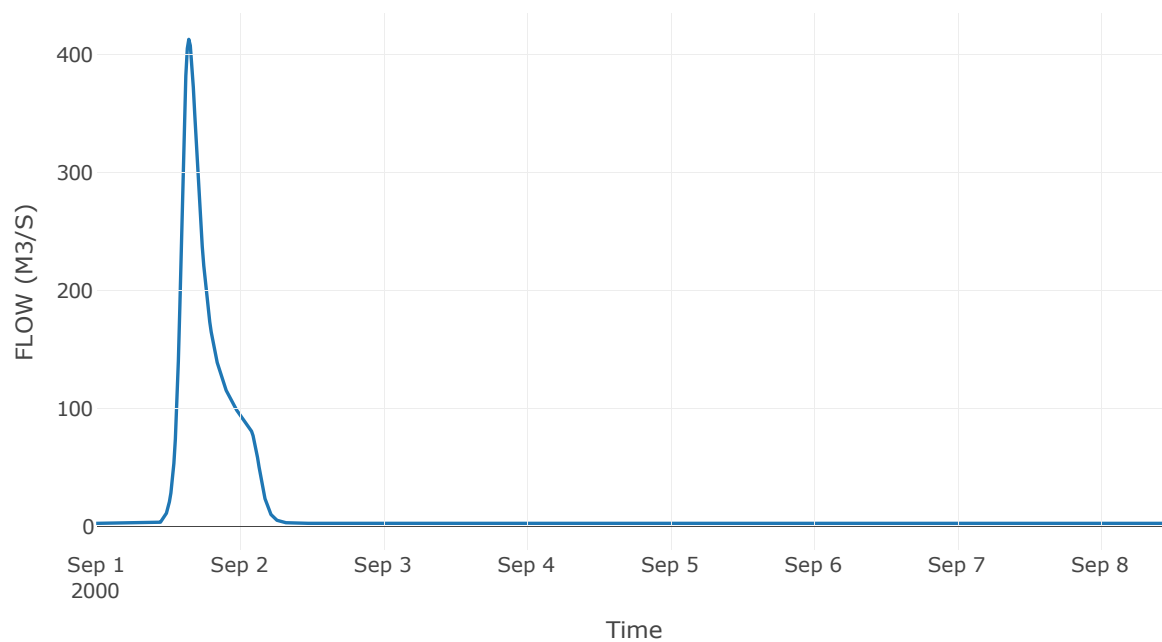


Κόμβος: J3

Αποτελέσμα
α: J3

Παροχή αιχμής (M3/S)	412.79
Χρονική στιγμή αιχμής	01Sep2000, 15:30
Όγκος (MM)	74.22

Απορροή

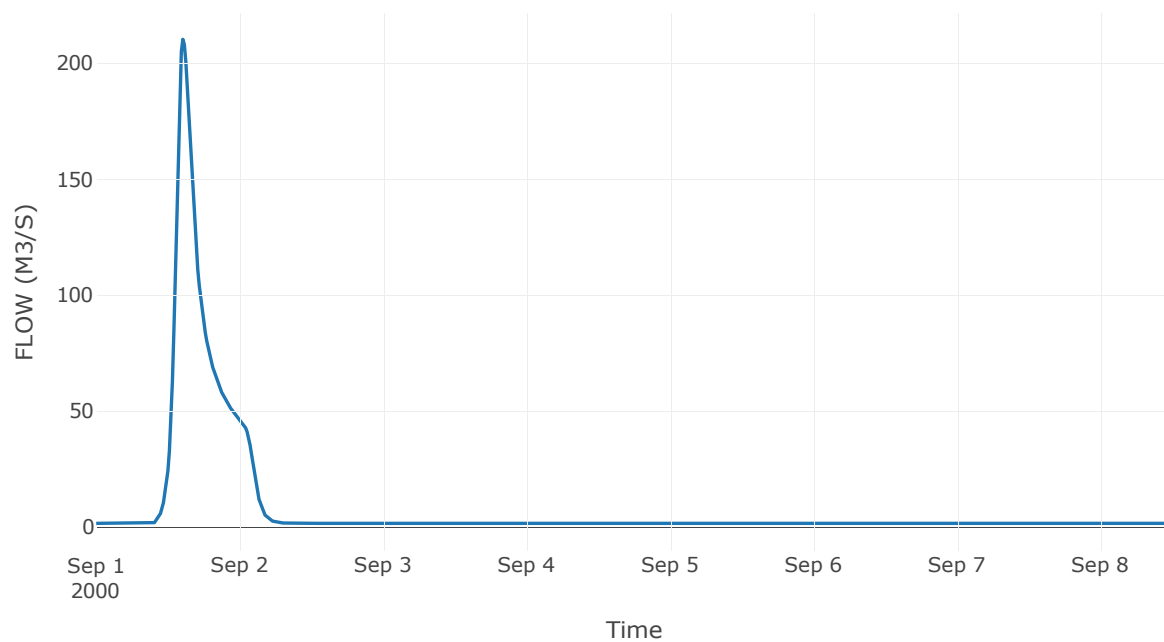


Κόμβος: J4

Αποτελέσματ
α: J4

Παροχή αιχμής (M3/S)	210.3
Χρονική στιγμή αιχμής	01Sep2000, 14:30
Όγκος (MM)	74.19

Απορροή

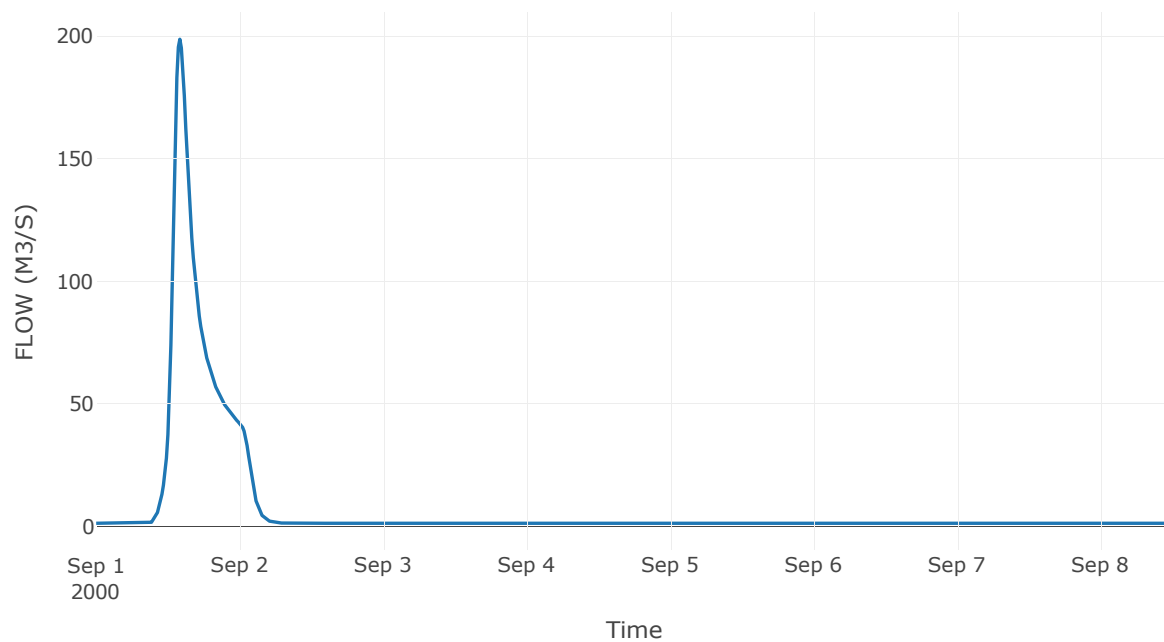


Κόμβος: J5

Αποτέλεσμα
τα: J5

Παροχή αιχμής (M3/S)	198.75
Χρονική στιγμή αιχμής	01Sep2000, 14:00
Όγκος (MM)	75.16

Απορροή

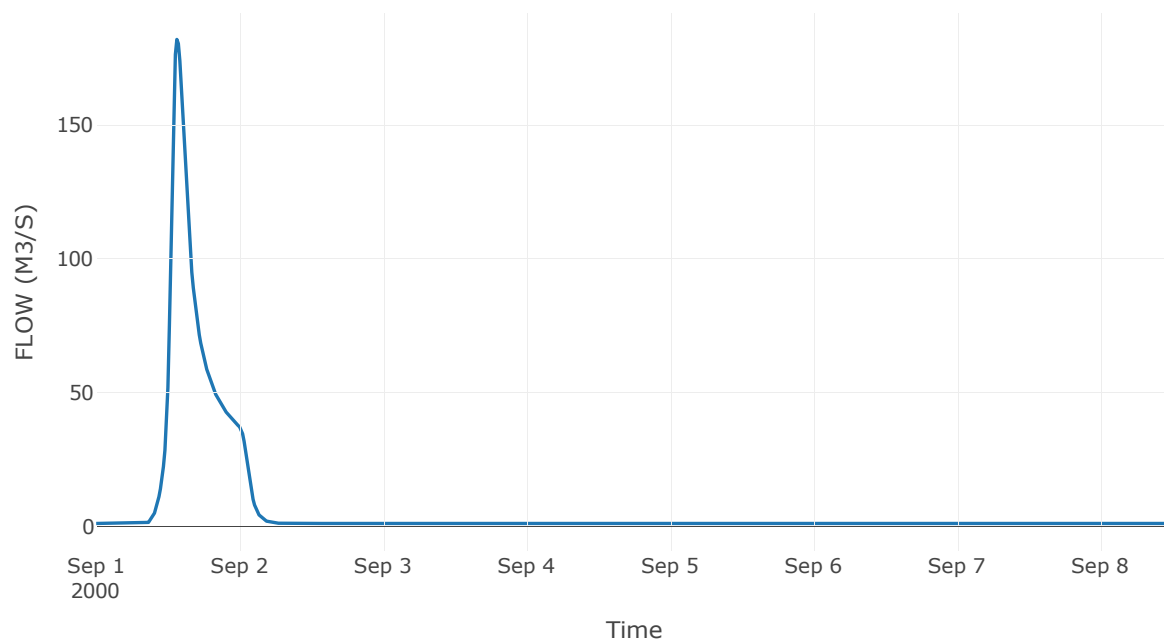


Κόμβος: J6

Αποτελέσματ
α: J6

Παροχή αιχμής (M3/S)	181.94
Χρονική στιγμή αιχμής	01Sep2000, 13:30
Όγκος (MM)	77.12

Απορροή

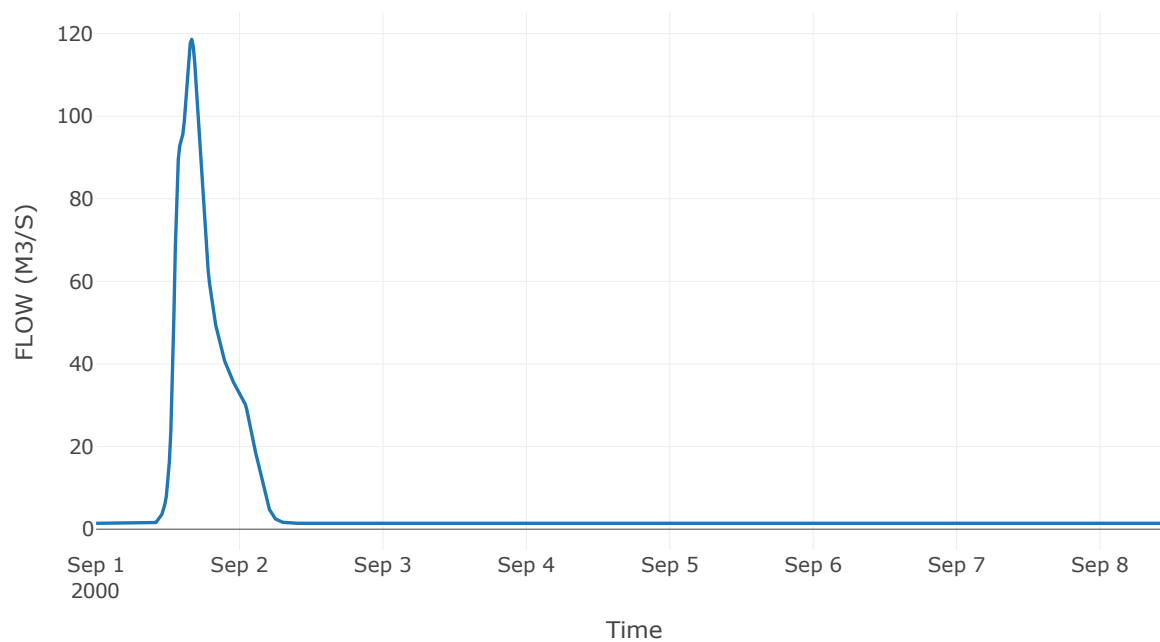


Κόμβος: J7

Αποτελέσμα
α: J7

Παροχή αιχμής (M3/S)	118.63
Χρονική στιγμή αιχμής	01Sep2000, 16:00
Όγκος (MM)	57.46

Απορροή

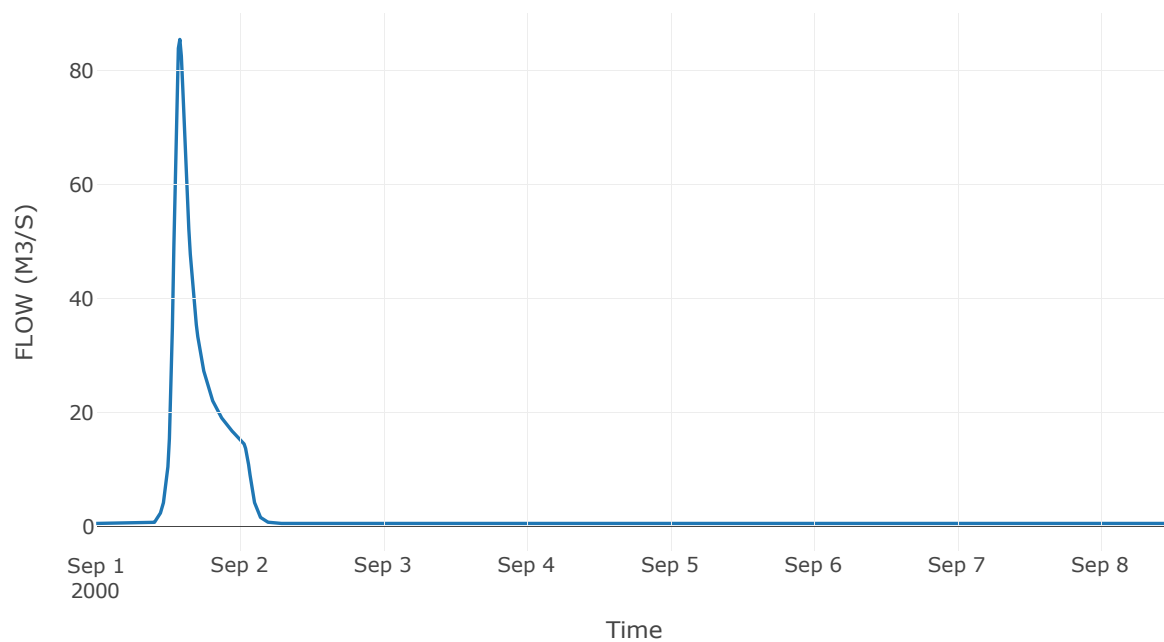


Κόμβος: J8

Αποτελέσμα
α: J8

Παροχή αιχμής (M3/S)	85.5
Χρονική στιγμή αιχμής	01Sep2000, 14:00
Όγκος (MM)	65.56

Απορροή

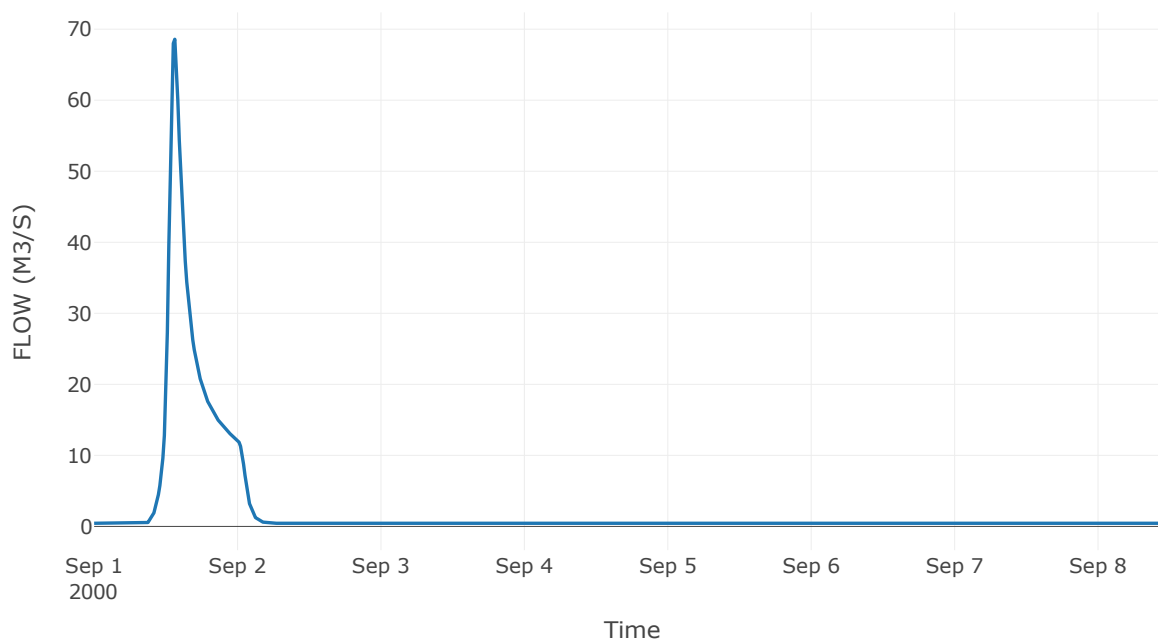


Κόμβος: J9

Αποτελέσμα
α: J9

Παροχή αιχμής (M3/S)	68.58
Χρονική στιγμή αιχμής	01Sep2000, 13:30
Όγκος (MM)	70.73

Απορροή

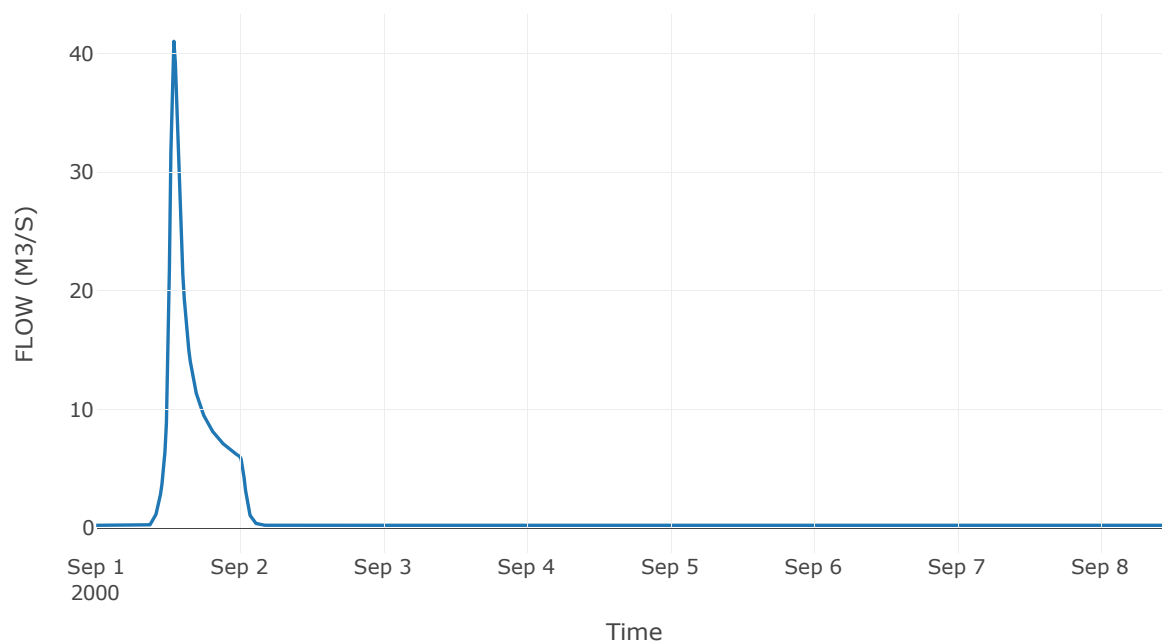


Κόμβος: J10

Αποτελέσματ
α: J10

Παροχή αιχμής (M3/S)	41.01
Χρονική στιγμή αιχμής	01Sep2000, 13:00
Όγκος (MM)	66.24

Απορροή

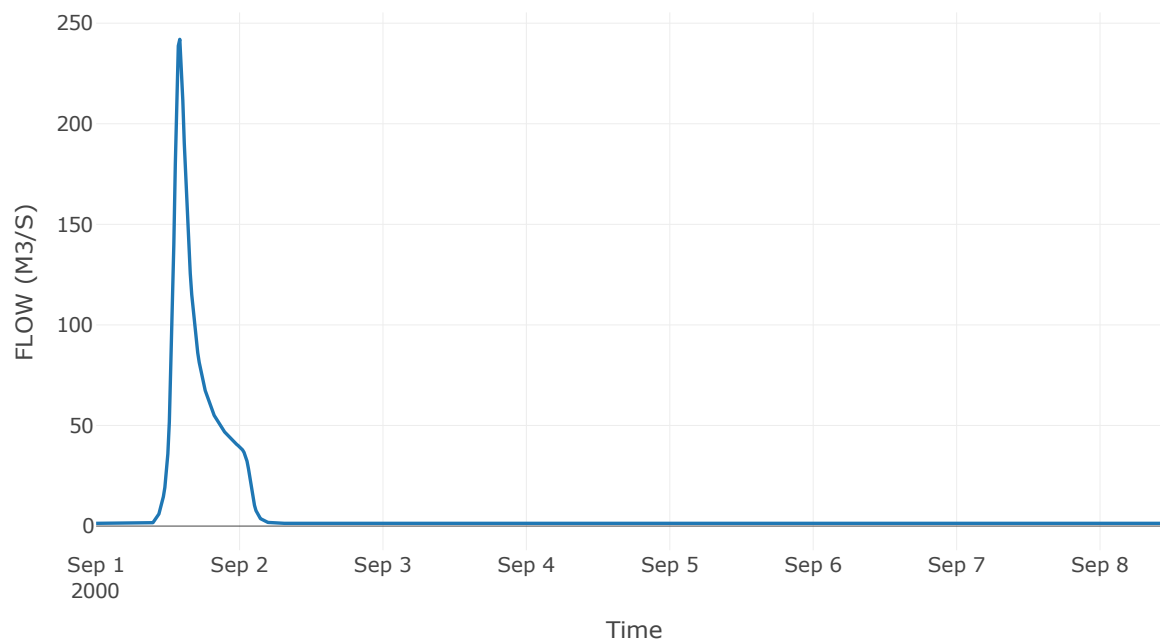


Κόμβος: J11

Αποτελέσματ
α: J11

Παροχή αιχμής (M3/S)	241.98
Χρονική στιγμή αιχμής	01Sep2000, 14:00
Όγκος (MM)	75.9

Απορροή

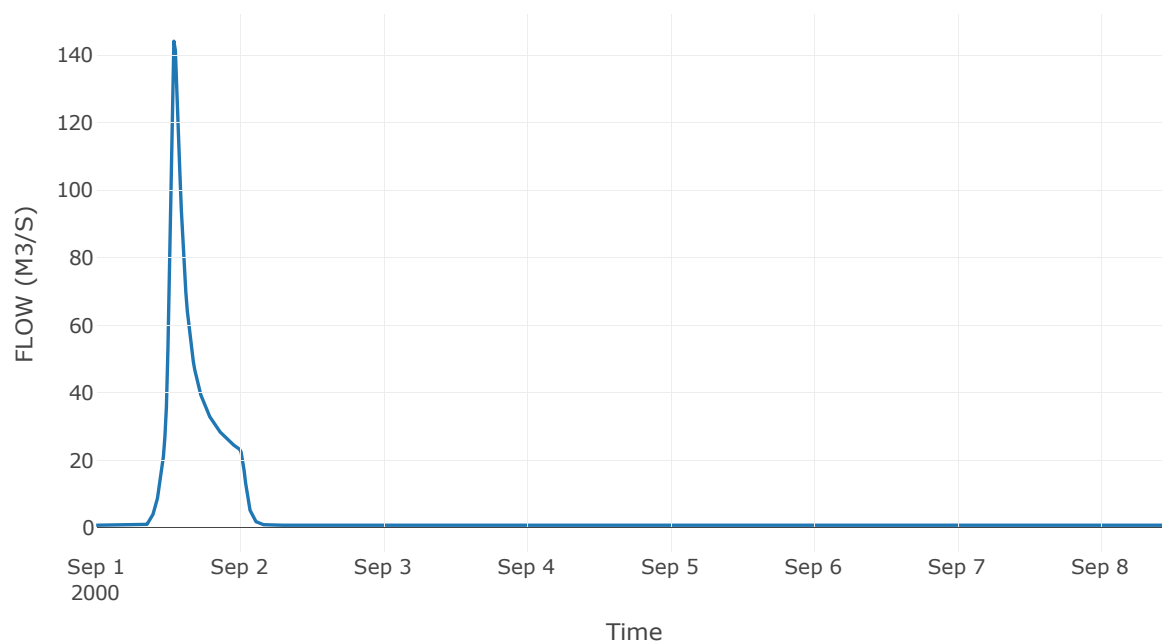


Κόμβος: J12

Αποτελέσματ
α: J12

Παροχή αιχμής (M3/S)	144.1
Χρονική στιγμή αιχμής	01Sep2000, 13:00
Όγκος (MM)	81.85

Απορροή



4 Δεδομένα εισόδου και αποτελέσματα υδρολογικού σεναρίου T=50U

4.1 Αποτελέσματα, υετογραφήματα και υδρογραφήματα σχεδιασμού υπολεκανών

Υπολεκάνη: EL0514FR4001

Έκταση (KM2) : 1.95

Κατάνη : J1

Μέθοδος Απωλειών: SCS

Ποσοστό αδιαπέρατης επιφάνειας	0
Αριθμός Καμπύλης Απορροής-CN	91.79
Αρχικές Απώλειες	4.54

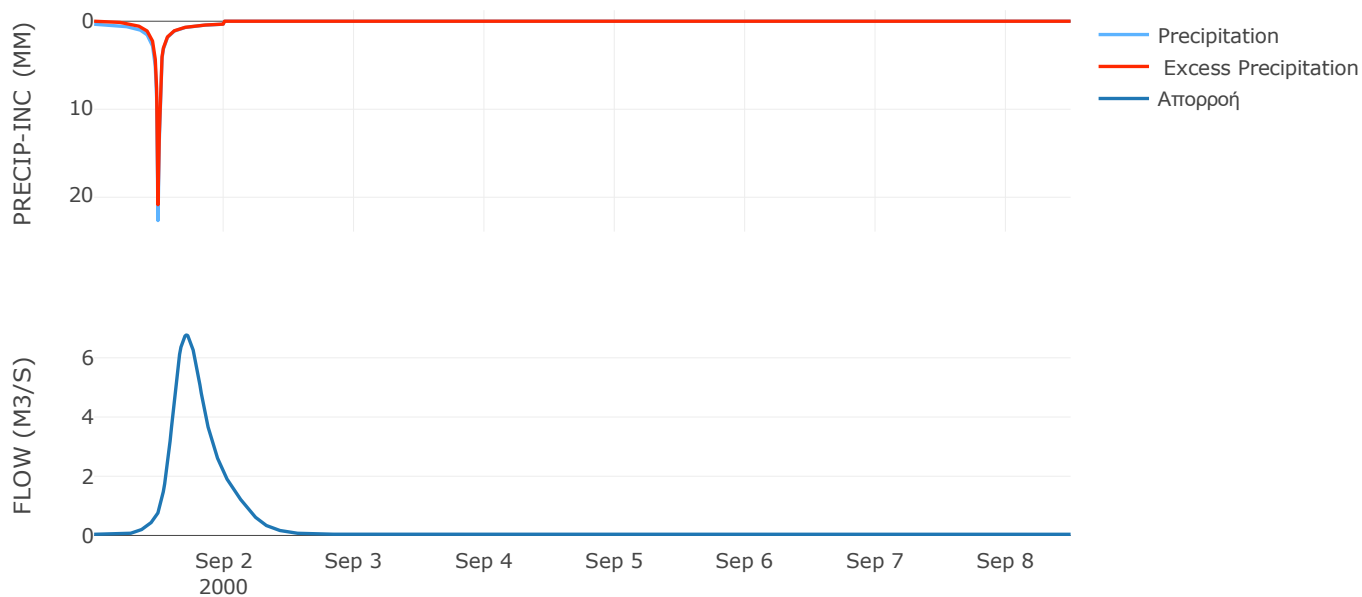
Μέθοδος
Μετασχηματισμού: SCS

Χρόνος Υστέρησης	287.85
------------------	--------

Αποτελέσματα:
EL0514FR4001

Παροχή αιχμής (M3/S)	6.77
Χρονική στιγμή αιχμής	01Sep2000, 17:00
Όγκος (MM)	124.01
Όγκος βροχόπτωσης (M3)	2.63E5
Όγκος απωλειών (M3)	46648.4
Ενεργός Όγκος (M3)	2.17E5
Όγκος άμεσης απορροής (M3)	2.17E5
Όγκος βασικής απορροής (M3)	25297.92

Βροχόπτωση και Απορροή



Υπολεκάνη: EL0514FR4002

Έκταση (KM2) : 0.13

Κατάντη : J2

Μέθοδος Απωλειών: SCS

Ποσοστό αδιαπέρατης επιφάνειας	0
Αριθμός Καμπύλης Απορροής-CN	90.34
Αρχικές Απώλειες	5.43

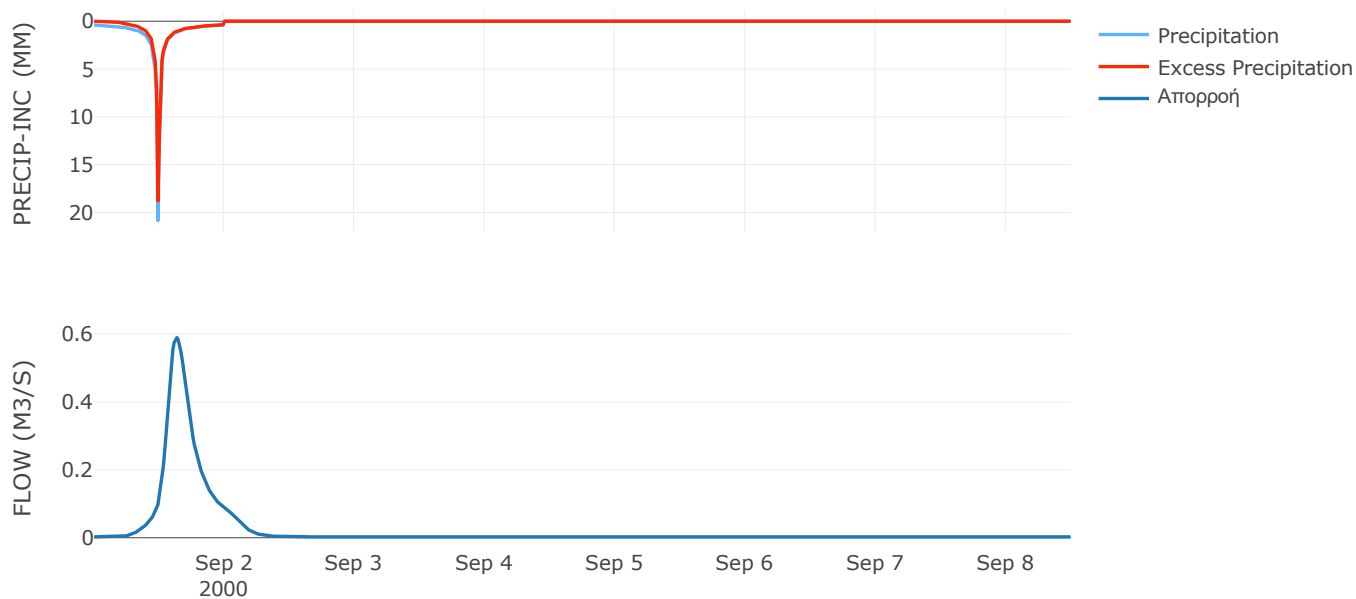
Μέθοδος
Μετασχηματισμού: SCS

Χρόνος Υστέρησης	183.34
------------------	--------

Αποτελέσματα:
EL0514FR4002

Παροχή αιχμής (M3/S)	0.59
Χρονική στιγμή αιχμής	01Sep2000, 15:15
Όγκος (MM)	123.55
Όγκος βροχόπτωσης (M3)	17875.89
Όγκος απωλειών (M3)	3610.37
Ενεργός Όγκος (M3)	14265.51
Όγκος άμεσης απορροής (M3)	14265.51
Όγκος βασικής απορροής (M3)	1671.84

Βροχόπτωση και Απορροή



Υπολεκάνη: EL0514FR4003

Έκταση (KM2) : 3.14

Κατάντη : J2

Μέθοδος Απωλειών: SCS

Ποσοστό αδιαπέρατης επιφάνειας	0
Αριθμός Καμπύλης Απορροής-CN	86.6
Αρχικές Απώλειες	7.86

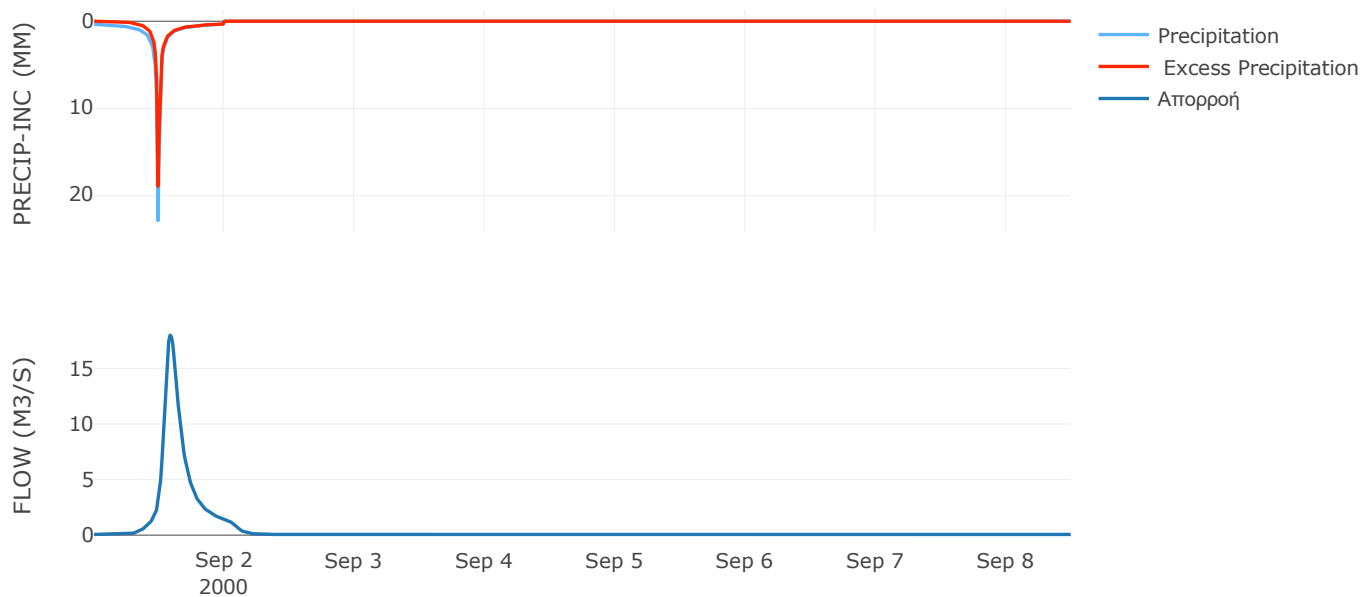
Μέθοδος
Μετασχηματισμού: SCS

Χρόνος Υστέρησης	118.76
------------------	--------

Αποτελέσματα:
EL0514FR4003

Παροχή αιχμής (M3/S)	18
Χρονική στιγμή αιχμής	01Sep2000, 14:00
Όγκος (MM)	111.47
Όγκος βροχόπτωσης (M3)	4.28E5
Όγκος απωλειών (M3)	1.19E5
Ενεργός Όγκος (M3)	3.09E5
Όγκος άμεσης απορροής (M3)	3.09E5
Όγκος βασικής απορροής (M3)	40681.44

Βροχόπτωση και Απορροή



Υπολεκάνη: EL0514FR4004

Έκταση (KM2) : 3.81

Κατάντη : J3

Μέθοδος Απωλειών: SCS

Ποσοστό αδιαπέρατης επιφάνειας	0
Αριθμός Καμπύλης Απορροής-CN	89.03
Αρχικές Απώλειες	6.26

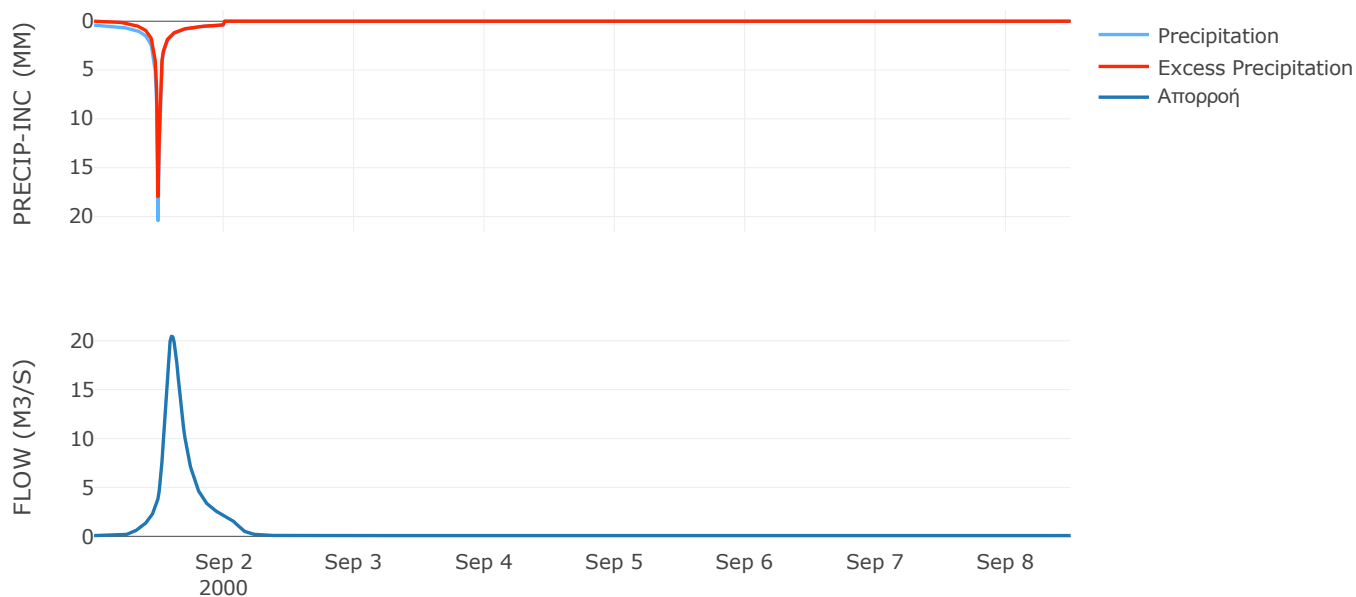
Μέθοδος
Μετασχηματισμού: SCS

Χρόνος Υστέρησης	135.16
------------------	--------

Αποτελέσματα:
EL0514FR4004

Παροχή αιχμής (M3/S)	20.46
Χρονική στιγμή αιχμής	01Sep2000, 14:15
Όγκος (MM)	120.43
Όγκος βροχόπτωσης (M3)	5.3E5
Όγκος απωλειών (M3)	1.2E5
Ενεργός Όγκος (M3)	4.1E5
Όγκος άμεσης απορροής (M3)	4.1E5
Όγκος βασικής απορροής (M3)	49416.48

Βροχόπτωση και Απορροή



Υπολεκάνη: EL0514FR4005

Έκταση (KM2) : 6.29

Κατάντη : J4

Μέθοδος Απωλειών: SCS

Ποσοστό αδιαπέρατης επιφάνειας	0
Αριθμός Καμπύλης Απορροής-CN	90.76
Αρχικές Απώλειες	5.17

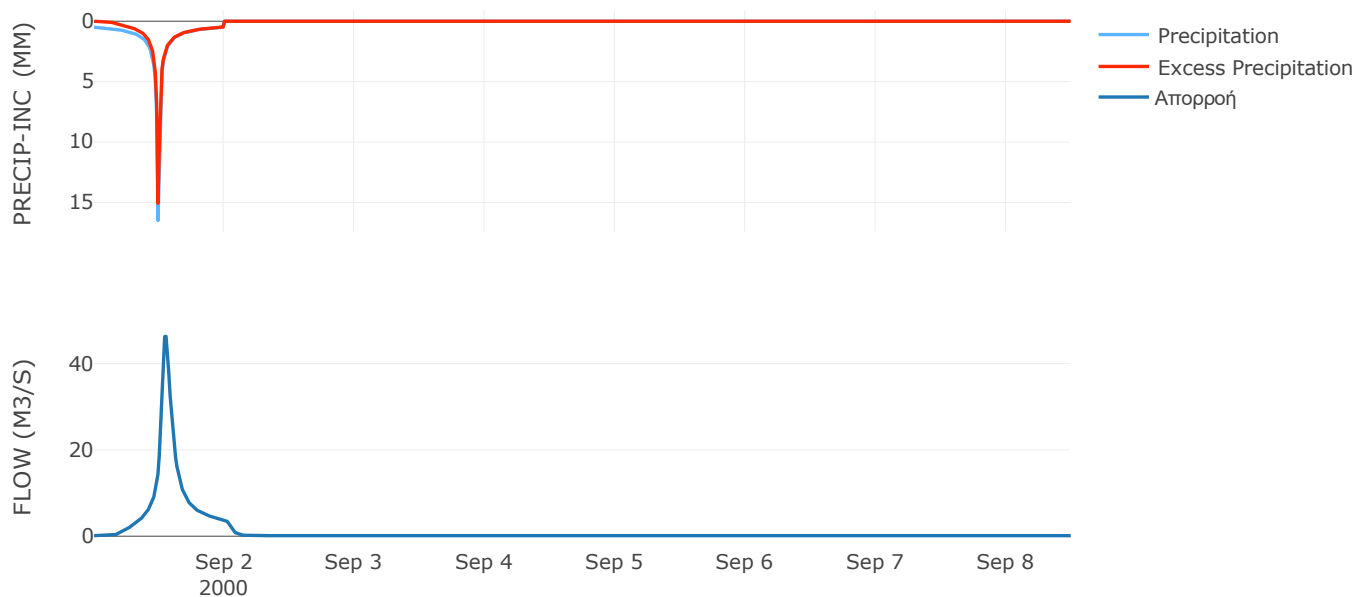
Μέθοδος
Μετασχηματισμού: SCS

Χρόνος Υστέρησης	66.57
------------------	-------

Αποτελέσματα:
EL0514FR4005

Παροχή αιχμής (M3/S)	46.29
Χρονική στιγμή αιχμής	01Sep2000, 13:15
Όγκος (MM)	128.17
Όγκος βροχόπτωσης (M3)	8.94E5
Όγκος απωλειών (M3)	1.69E5
Ενεργός Όγκος (M3)	7.25E5
Όγκος άμεσης απορροής (M3)	7.25E5
Όγκος βασικής απορροής (M3)	81544.32

Βροχόπτωση και Απορροή



Υπολεκάνη: EL0514FR4006

Έκταση (KM2) : 8.52

Κατάντη : J5

Μέθοδος Απωλειών: SCS

Ποσοστό αδιαπέρατης επιφάνειας	0
Αριθμός Καμπύλης Απορροής-CN	90.66
Αρχικές Απώλειες	5.23

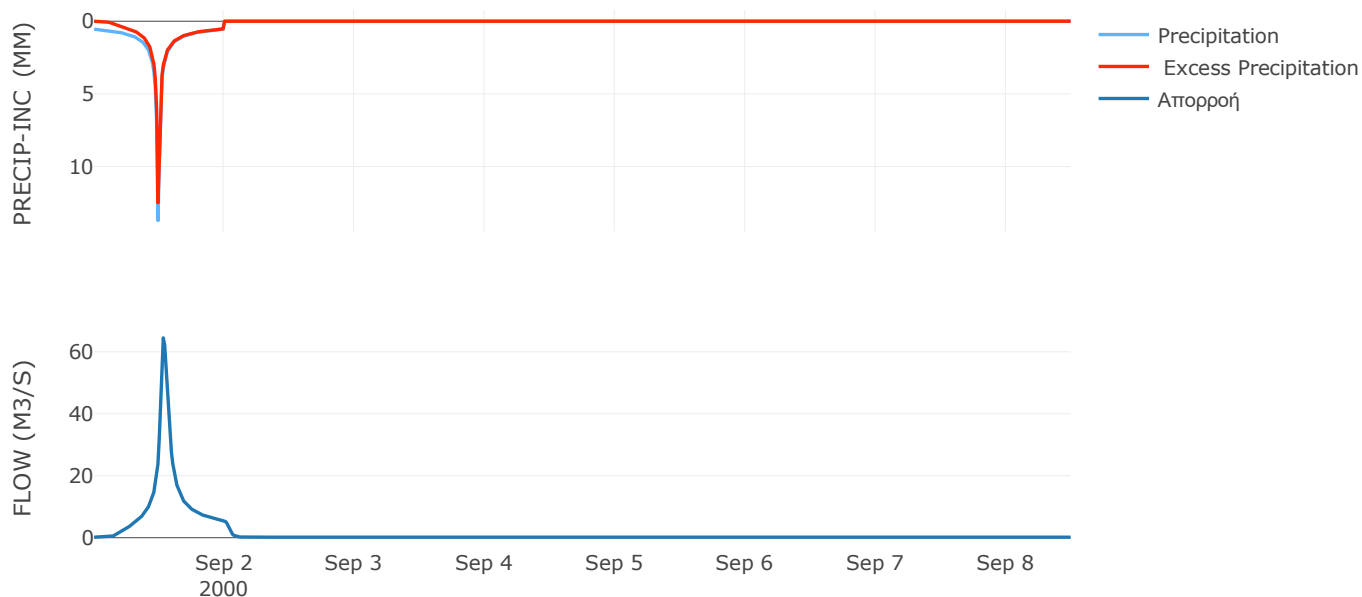
Μέθοδος
Μετασχηματισμού: SCS

Χρόνος Υστέρησης	47.48
------------------	-------

Αποτελέσματα:
EL0514FR4006

Παροχή αιχμής (M3/S)	64.48
Χρονική στιγμή αιχμής	01Sep2000, 12:45
Όγκος (MM)	125.41
Όγκος βροχόπτωσης (M3)	1.19E6
Όγκος απωλειών (M3)	2.31E5
Ενεργός Όγκος (M3)	9.58E5
Όγκος άμεσης απορροής (M3)	9.58E5
Όγκος βασικής απορροής (M3)	1.1E5

Βροχόπτωση και Απορροή



Υπολεκάνη: EL0514FR4007

Έκταση (KM2) : 45.77

Κατάντη : J6

Μέθοδος Απωλειών: SCS

Ποσοστό αδιαπέρατης επιφάνειας	0
Αριθμός Καμπύλης Απορροής-CN	90.5
Αρχικές Απώλειες	5.33

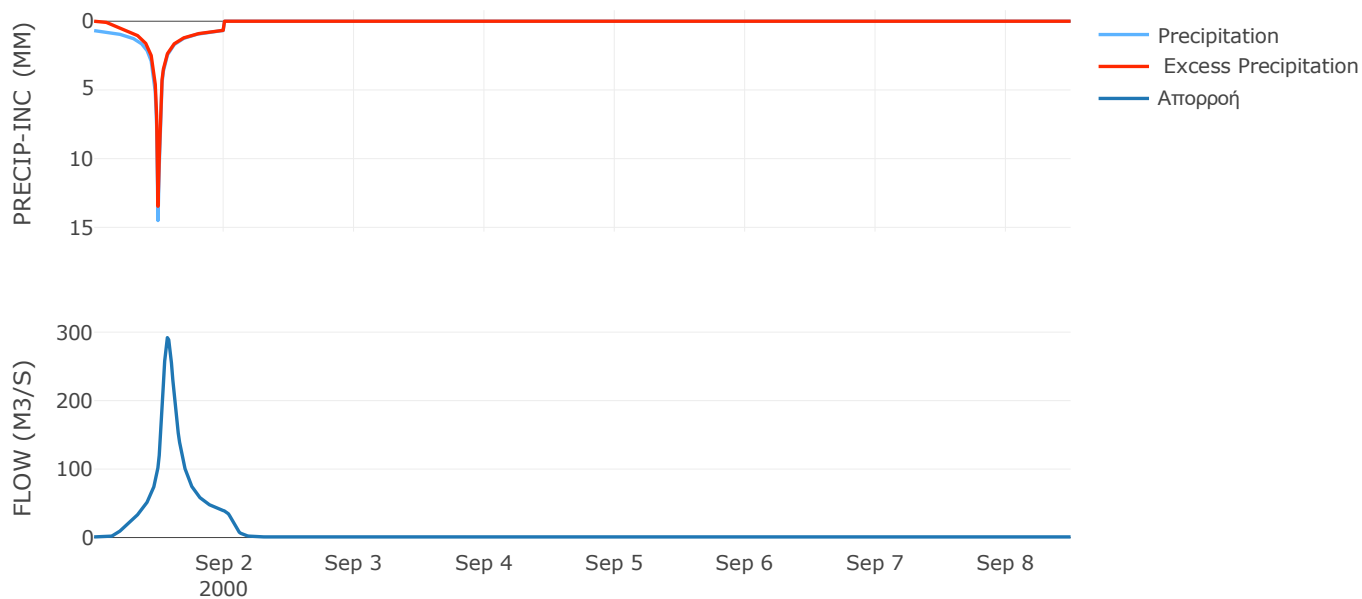
Μέθοδος
Μετασχηματισμού: SCS

Χρόνος Υστέρησης	90.98
------------------	-------

Αποτελέσματα:
EL0514FR4007

Παροχή αιχμής (M3/S)	292.05
Χρονική στιγμή αιχμής	01Sep2000, 13:30
Όγκος (MM)	148.67
Όγκος βροχόπτωσης (M3)	7.5E6
Όγκος απωλειών (M3)	1.29E6
Ενεργός Όγκος (M3)	6.21E6
Όγκος άμεσης απορροής (M3)	6.21E6
Όγκος βασικής απορροής (M3)	5.93E5

Βροχόπτωση και Απορροή



Υπολεκάνη: EL0514FR4008

Έκταση (KM2) : 14.21

Κατάντη : J6

Μέθοδος Απωλειών: SCS

Ποσοστό αδιαπέρατης επιφάνειας	0
Αριθμός Καμπύλης Απορροής-CN	90.69
Αρχικές Απώλειες	5.21

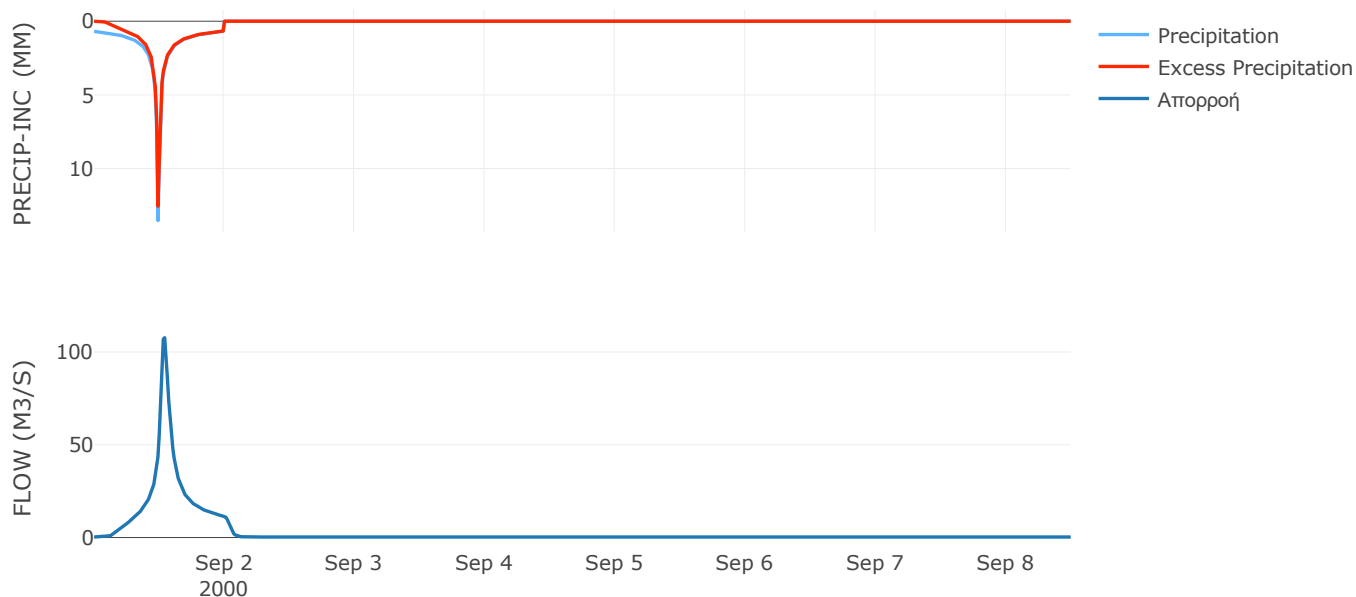
Μέθοδος
Μετασχηματισμού: SCS

Χρόνος Υστέρησης	52.67
------------------	-------

Αποτελέσματα:
EL0514FR4008

Παροχή αιχμής (M3/S)	107.71
Χρονική στιγμή αιχμής	01Sep2000, 13:00
Όγκος (MM)	145.09
Όγκος βροχόπτωσης (M3)	2.27E6
Όγκος απωλειών (M3)	3.91E5
Ενεργός Όγκος (M3)	1.88E6
Όγκος άμεσης απορροής (M3)	1.88E6
Όγκος βασικής απορροής (M3)	1.84E5

Βροχόπτωση και Απορροή



Υπολεκάνη: EL0514FR4009

Έκταση (KM2) : 12.22

Κατάντη : J10

Μέθοδος Απωλειών: SCS

Ποσοστό αδιαπέρατης επιφάνειας	0
Αριθμός Καμπύλης Απορροής-CN	90.94
Αρχικές Απώλειες	5.06

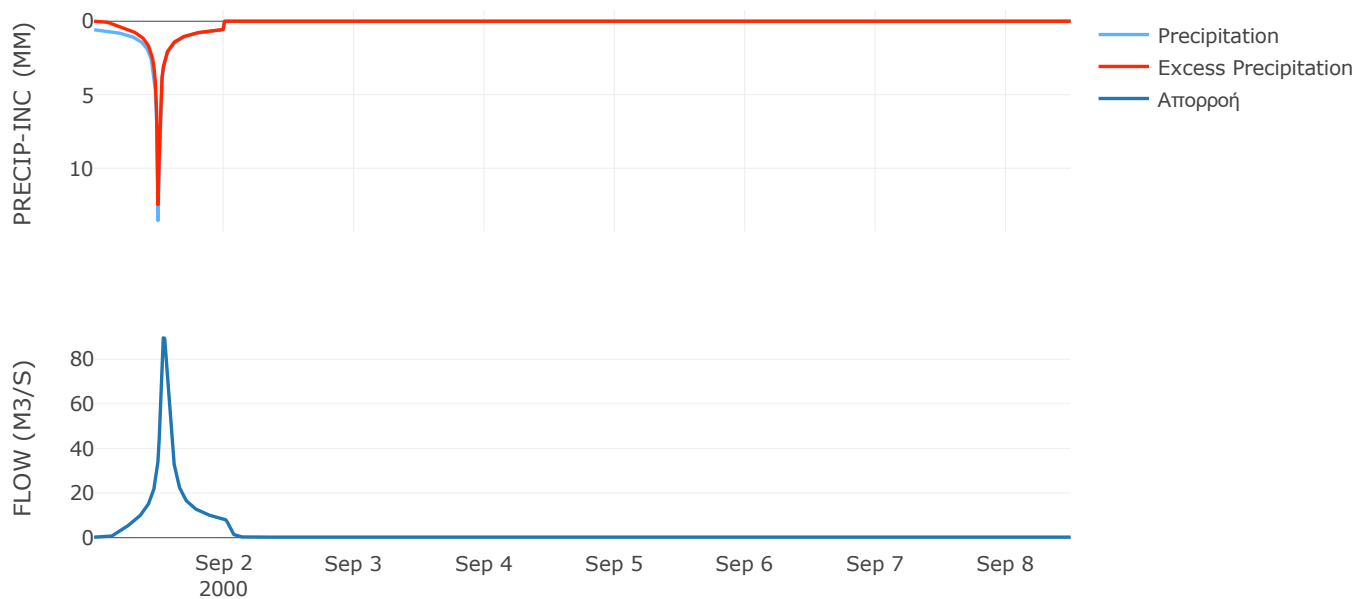
Μέθοδος
Μετασχηματισμού: SCS

Χρόνος Υστέρησης	51.42
------------------	-------

Αποτελέσματα:
EL0514FR4009

Παροχή αιχμής (M3/S)	89.56
Χρονική στιγμή αιχμής	01Sep2000, 12:45
Όγκος (MM)	130.79
Όγκος βροχόπτωσης (M3)	1.76E6
Όγκος απωλειών (M3)	3.24E5
Ενεργός Όγκος (M3)	1.44E6
Όγκος άμεσης απορροής (M3)	1.44E6
Όγκος βασικής απορροής (M3)	1.58E5

Βροχόπτωση και Απορροή



Υπολεκάνη: EL0514FR4010

Έκταση (KM2) : 13.42

Κατάντη : J7

Μέθοδος Απωλειών: SCS

Ποσοστό αδιαπέρατης επιφάνειας	0
Αριθμός Καμπύλης Απορροής-CN	91.05
Αρχικές Απώλειες	5

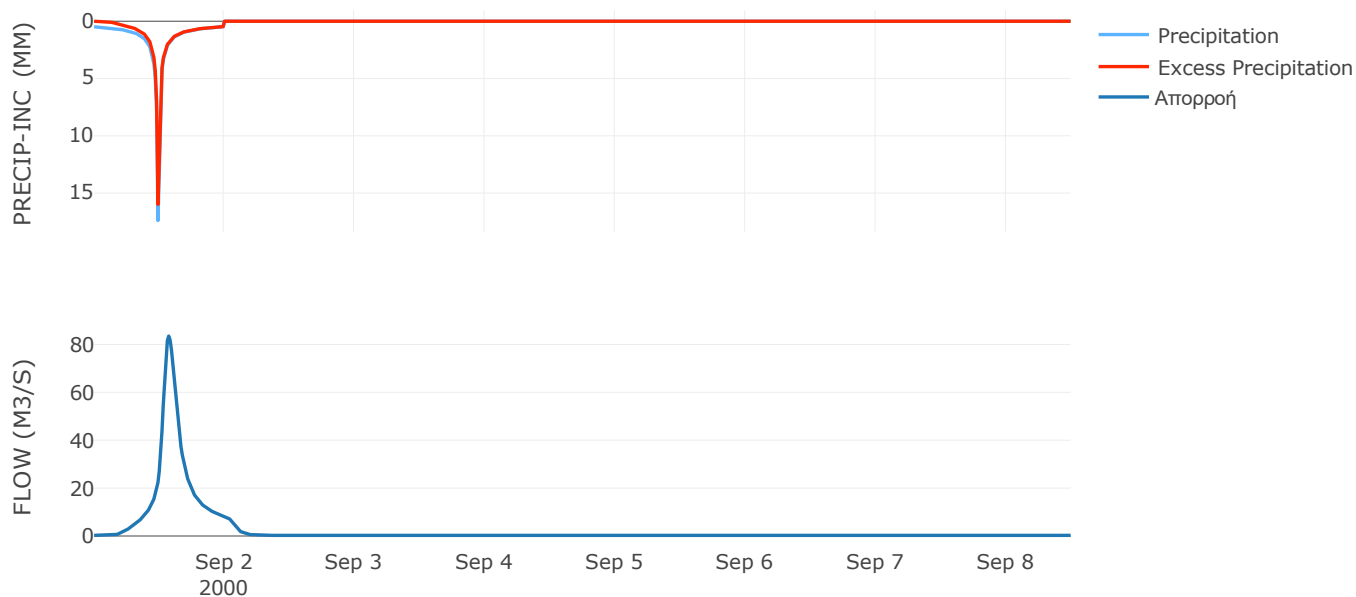
Μέθοδος
Μετασχηματισμού: SCS

Χρόνος Υστέρησης	102.28
------------------	--------

Αποτελέσματα:
EL0514FR4010

Παροχή αιχμής (M3/S)	83.51
Χρονική στιγμή αιχμής	01Sep2000, 13:45
Όγκος (MM)	130.61
Όγκος βροχόπτωσης (M3)	1.93E6
Όγκος απωλειών (M3)	3.51E5
Ενεργός Όγκος (M3)	1.58E6
Όγκος άμεσης απορροής (M3)	1.58E6
Όγκος βασικής απορροής (M3)	1.74E5

Βροχόπτωση και Απορροή



Υπολεκάνη: EL0514FR4011

Έκταση (KM2) : 14.76

Κατάντη : J7

Μέθοδος Απωλειών: SCS

Ποσοστό αδιαπέρατης επιφάνειας	0
Αριθμός Καμπύλης Απορροής-CN	80.4
Αρχικές Απώλειες	12.38

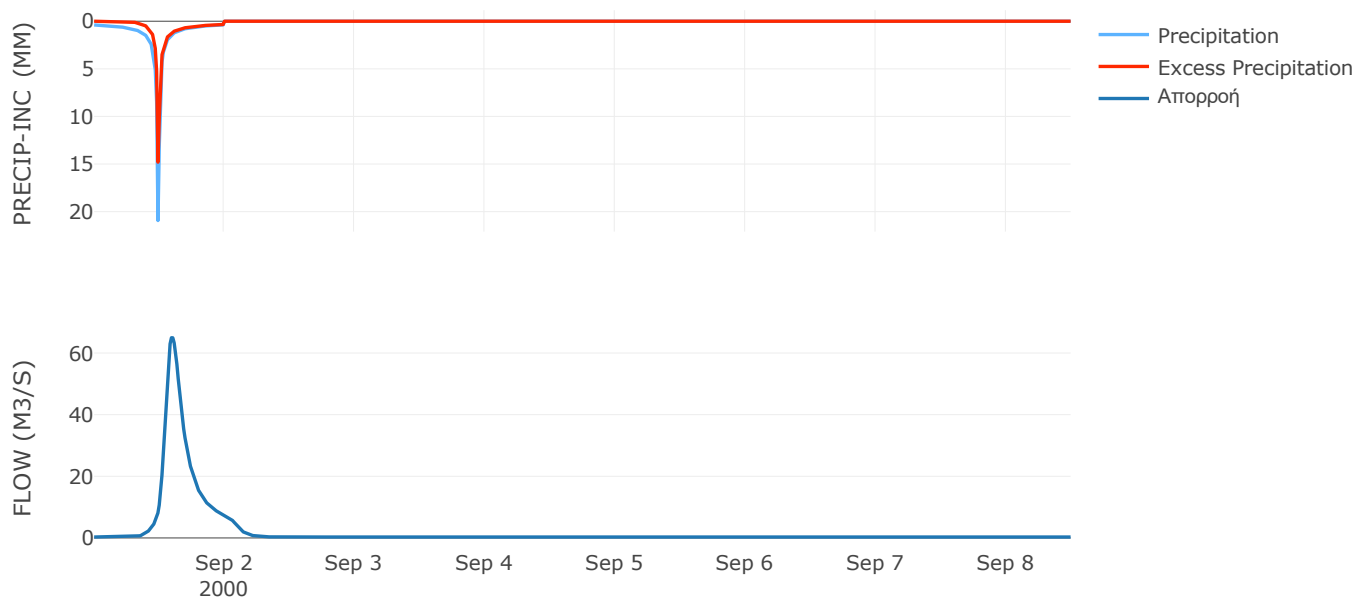
Μέθοδος
Μετασχηματισμού: SCS

Χρόνος Υστέρησης	131.84
------------------	--------

Αποτελέσματα:
EL0514FR4011

Παροχή αιχμής (M3/S)	64.96
Χρονική στιγμή αιχμής	01Sep2000, 14:15
Όγκος (MM)	97.79
Όγκος βροχόπτωσης (M3)	2.05E6
Όγκος απωλειών (M3)	7.96E5
Ενεργός Όγκος (M3)	1.25E6
Όγκος άμεσης απορροής (M3)	1.25E6
Όγκος βασικής απορροής (M3)	1.91E5

Βροχόπτωση και Απορροή



Υπολεκάνη: EL0514FR4012

Έκταση (KM2) : 8.26

Κατάντη : J8

Μέθοδος Απωλειών: SCS

Ποσοστό αδιαπέρατης επιφάνειας	0
Αριθμός Καμπύλης Απορροής-CN	88.09
Αρχικές Απώλειες	6.87

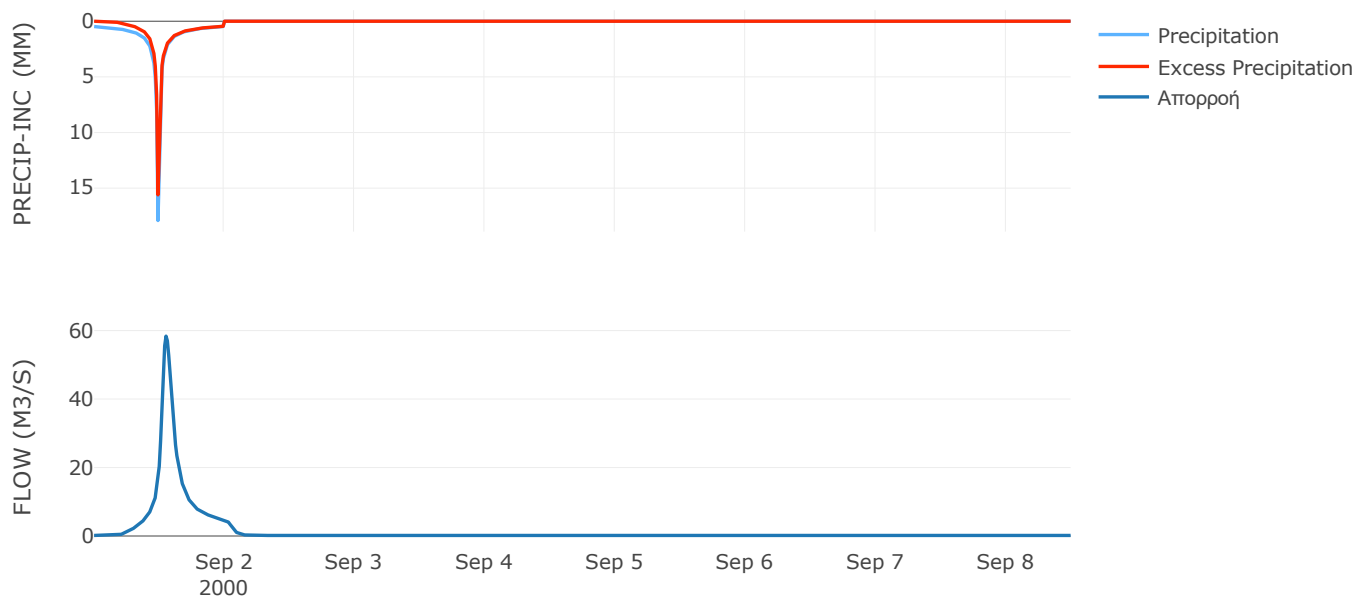
Μέθοδος
Μετασχηματισμού: SCS

Χρόνος Υστέρησης	74.97
------------------	-------

Αποτελέσματα:
EL0514FR4012

Παροχή αιχμής (M3/S)	58.37
Χρονική στιγμή αιχμής	01Sep2000, 13:15
Όγκος (MM)	123.1
Όγκος βροχόπτωσης (M3)	1.19E6
Όγκος απωλειών (M3)	2.84E5
Ενεργός Όγκος (M3)	9.09E5
Όγκος άμεσης απορροής (M3)	9.09E5
Όγκος βασικής απορροής (M3)	1.07E5

Βροχόπτωση και Απορροή



Υπολεκάνη: EL0514FR4013

Έκταση (KM2) : 22.16

Κατάντη : J9

Μέθοδος Απωλειών: SCS

Ποσοστό αδιαπέρατης επιφάνειας	0
Αριθμός Καμπύλης Απορροής-CN	90.82
Αρχικές Απώλειες	5.14

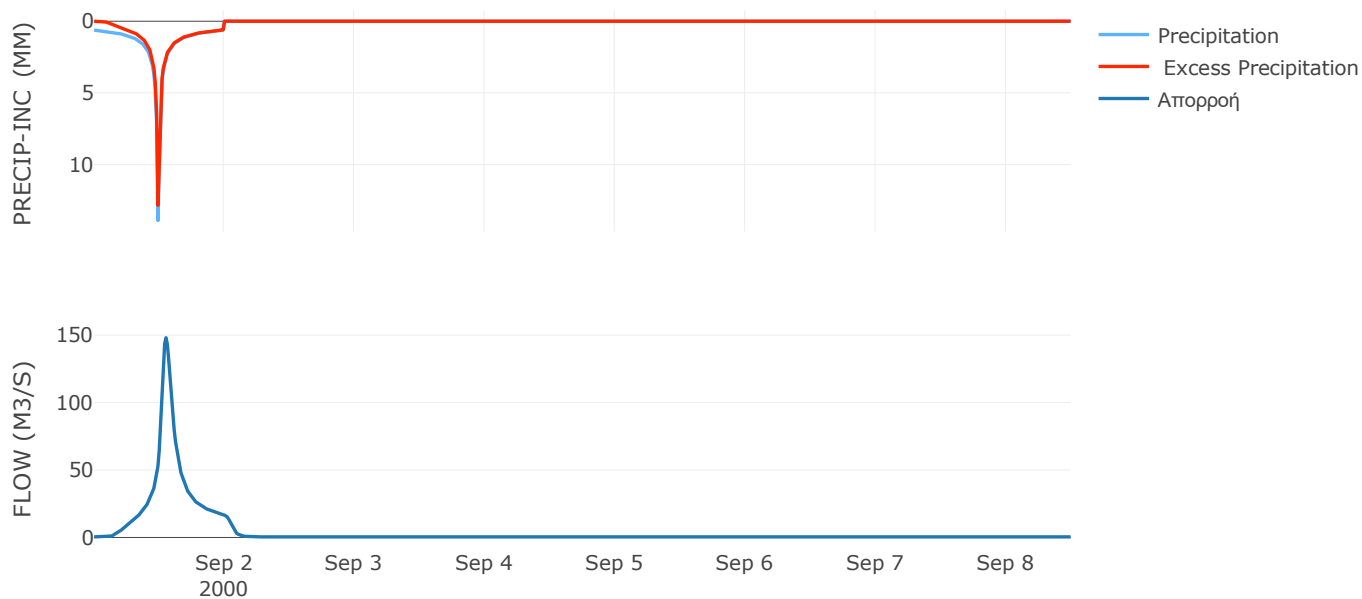
Μέθοδος
Μετασχηματισμού: SCS

Χρόνος Υστέρησης	72.07
------------------	-------

Αποτελέσματα:
EL0514FR4013

Παροχή αιχμής (M3/S)	148.1
Χρονική στιγμή αιχμής	01Sep2000, 13:15
Όγκος (MM)	137.64
Όγκος βροχόπτωσης (M3)	3.36E6
Όγκος απωλειών (M3)	5.98E5
Ενεργός Όγκος (M3)	2.76E6
Όγκος άμεσης απορροής (M3)	2.76E6
Όγκος βασικής απορροής (M3)	2.87E5

Βροχόπτωση και Απορροή



Υπολεκάνη: EL0514FR4014

Έκταση (KM2) : 1.47

Κατάντη : J3

Μέθοδος Απωλειών: SCS

Ποσοστό αδιαπέρατης επιφάνειας	0
Αριθμός Καμπύλης Απορροής-CN	89.02
Αρχικές Απώλειες	6.27

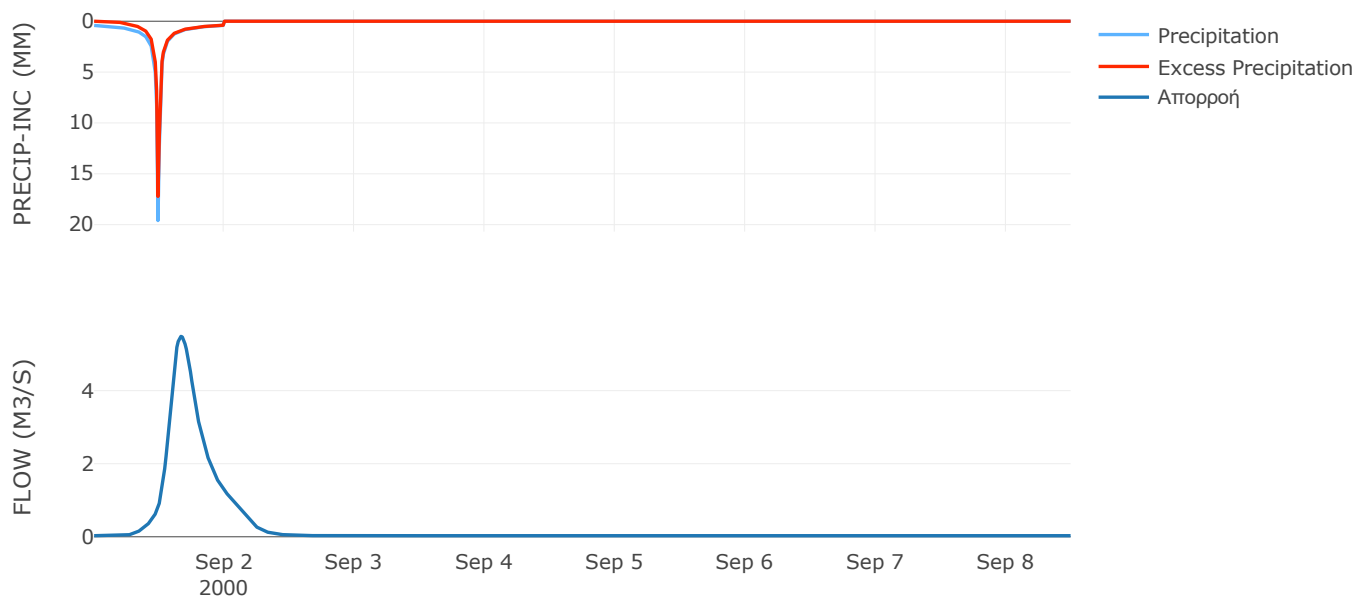
Μέθοδος
Μετασχηματισμού: SCS

Χρόνος Υστέρησης	229.88
------------------	--------

Αποτελέσματα:
EL0514FR4014

Παροχή αιχμής (M3/S)	5.48
Χρονική στιγμή αιχμής	01Sep2000, 16:00
Όγκος (MM)	120.14
Όγκος βροχόπτωσης (M3)	2.04E5
Όγκος απωλειών (M3)	46512.82
Ενεργός Όγκος (M3)	1.58E5
Όγκος άμεσης απορροής (M3)	1.58E5
Όγκος βασικής απορροής (M3)	19064.16

Βροχόπτωση και Απορροή



Υπολεκάνη: EL0514FR4015

Έκταση (KM2) : 32.03

Κατάνη : J11

Μέθοδος Απωλειών: SCS

Ποσοστό αδιαπέρατης επιφάνειας	0
Αριθμός Καμπύλης Απορροής-CN	90.81
Αρχικές Απώλειες	5.14

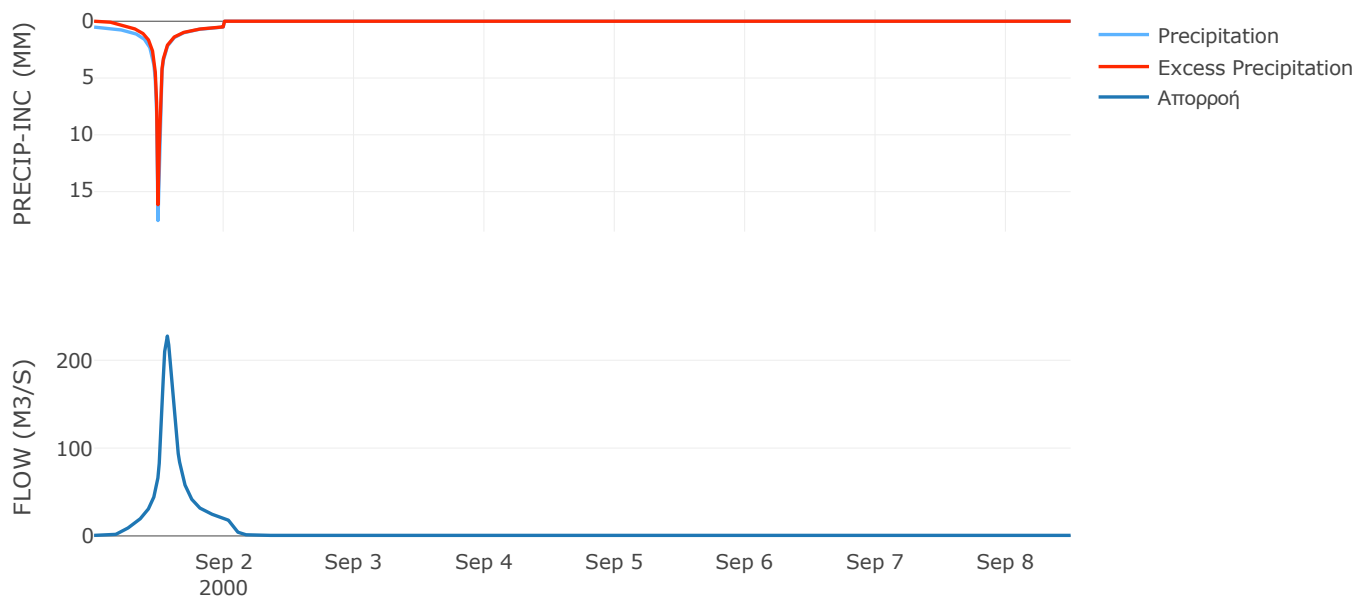
Μέθοδος
Μετασχηματισμού: SCS

Χρόνος Υστέρησης	82.44
------------------	-------

Αποτελέσματα:
EL0514FR4015

Παροχή αιχμής (M3/S)	227.51
Χρονική στιγμή αιχμής	01Sep2000, 13:30
Όγκος (MM)	135.45
Όγκος βροχόπτωσης (M3)	4.79E6
Όγκος απωλειών (M3)	8.64E5
Ενεργός Όγκος (M3)	3.92E6
Όγκος άμεσης απορροής (M3)	3.92E6
Όγκος βασικής απορροής (M3)	4.15E5

Βροχόπτωση και Απορροή



Υπολεκάνη: EL0514FR4016

Έκταση (KM2) : 25.77

Κατάντη : J12

Μέθοδος Απωλειών: SCS

Ποσοστό αδιαπέρατης επιφάνειας	0
Αριθμός Καμπύλης Απορροής-CN	90.31
Αρχικές Απώλειες	5.45

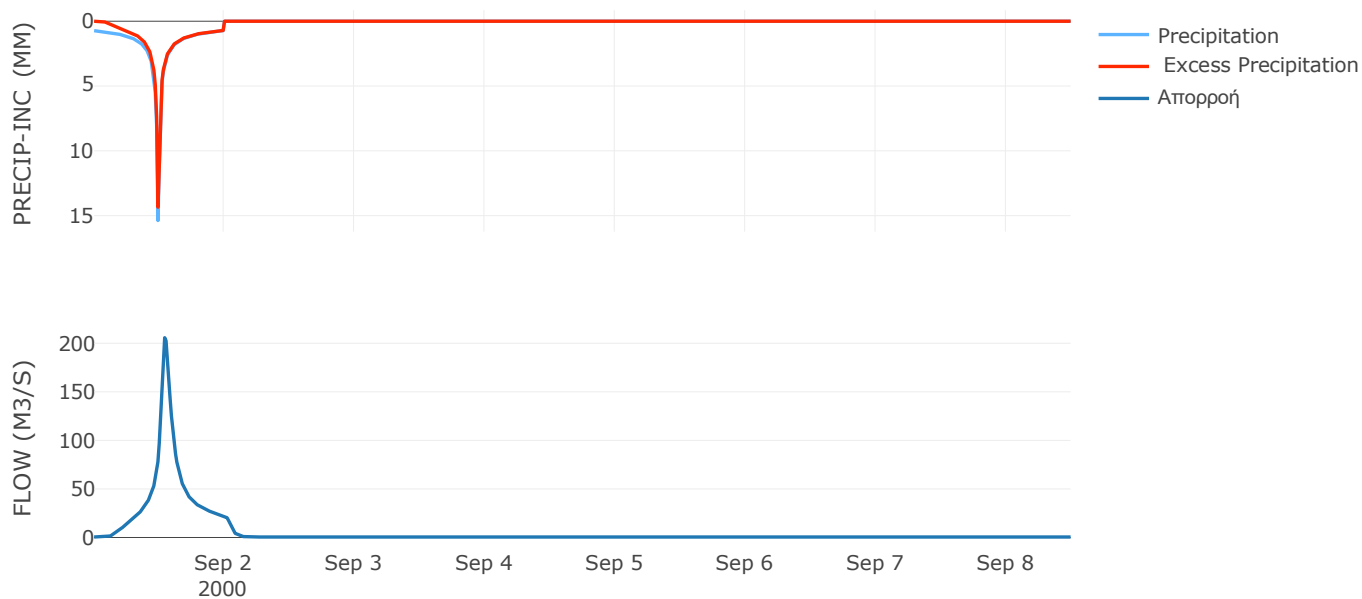
Μέθοδος
Μετασχηματισμού: SCS

Χρόνος Υστέρησης	63.36
------------------	-------

Αποτελέσματα:
EL0514FR4016

Παροχή αιχμής (M3/S)	205.73
Χρονική στιγμή αιχμής	01Sep2000, 13:00
Όγκος (MM)	158.45
Όγκος βροχόπτωσης (M3)	4.49E6
Όγκος απωλειών (M3)	7.45E5
Ενεργός Όγκος (M3)	3.75E6
Όγκος άμεσης απορροής (M3)	3.75E6
Όγκος βασικής απορροής (M3)	3.34E5

Βροχόπτωση και Απορροή



Υπολεκάνη: EL0514FR4017

Έκταση (KM2) : 10.84

Κατάντη : J12

Μέθοδος Απωλειών: SCS

Ποσοστό αδιαπέρατης επιφάνειας	0
Αριθμός Καμπύλης Απορροής-CN	90.44
Αρχικές Απώλειες	5.37

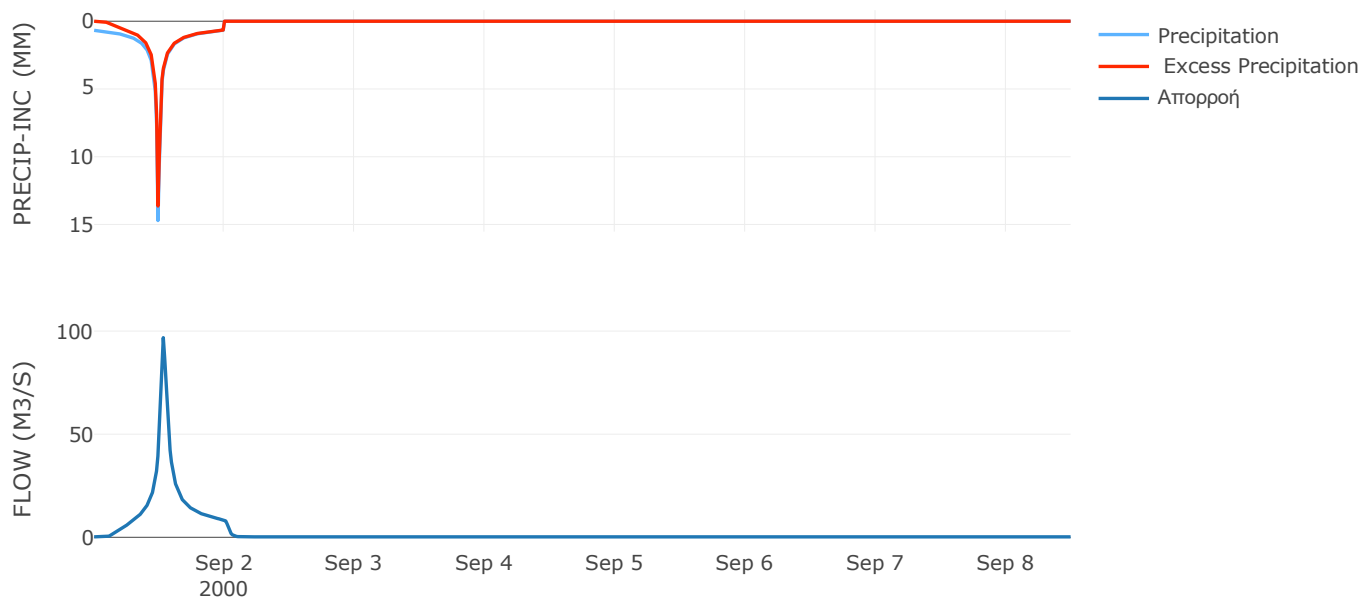
Μέθοδος
Μετασχηματισμού: SCS

Χρόνος Υστέρησης	40.38
------------------	-------

Αποτελέσματα:
EL0514FR4017

Παροχή αιχμής (M3/S)	96.8
Χρονική στιγμή αιχμής	01Sep2000, 12:45
Όγκος (MM)	147.63
Όγκος βροχόπτωσης (M3)	1.77E6
Όγκος απωλειών (M3)	3.07E5
Ενεργός Όγκος (M3)	1.46E6
Όγκος άμεσης απορροής (M3)	1.46E6
Όγκος βασικής απορροής (M3)	1.4E5

Βροχόπτωση και Απορροή



4.2 Δεδομένα και υδρογραφήματα σχεδιασμού Κλάδων υδρογραφικού δικτύου

Κλάδος: R21

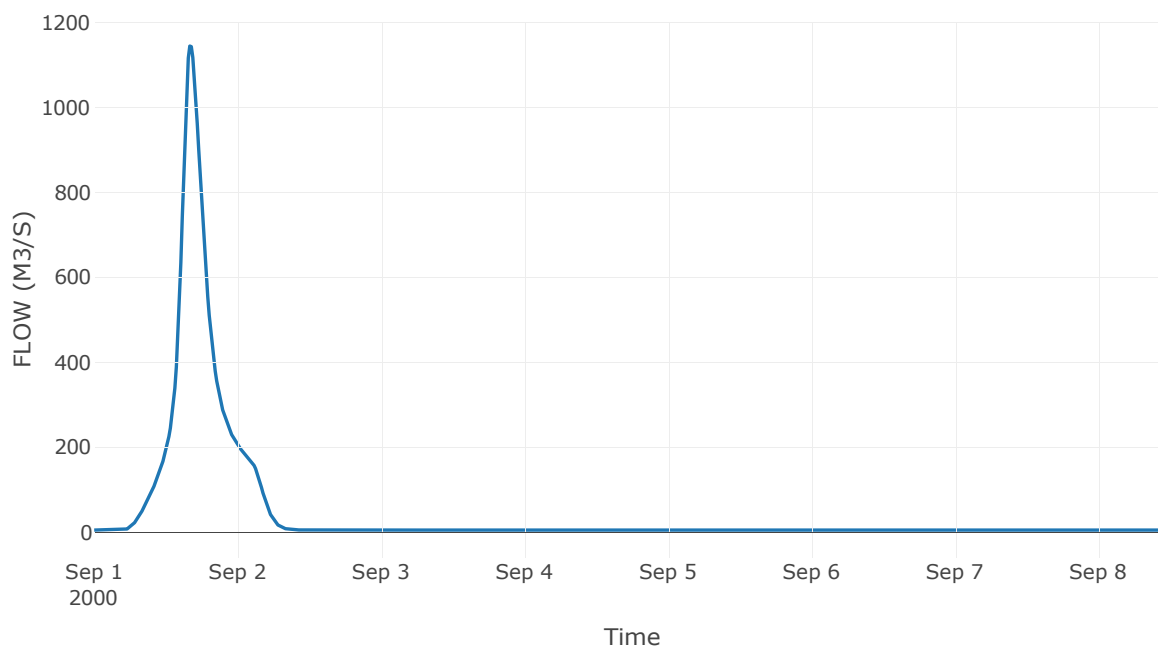
Κατάντη : J1

Μέθοδος Διόδευσης	Muskingum
Αρχική Μεταβλητή	Combined Inflow
Χρόνος Ροής K	0.74
Συντελεστής βάρους x	0.2
Πλήθος Υποκλάδων	3

Αποτελέσματα: R21

Παροχή Αιχμής(M3/S)	1144.11
Χρονική στιγμή αιχμής	01Sep2000, 16:00
Όγκος(MM)	137.46
Παροχή Αιχμής Εισόδου (M3/S)	1172.08
Όγκος Εισροής(M3)	3.06E7

Απορροή



Κλάδος: R32

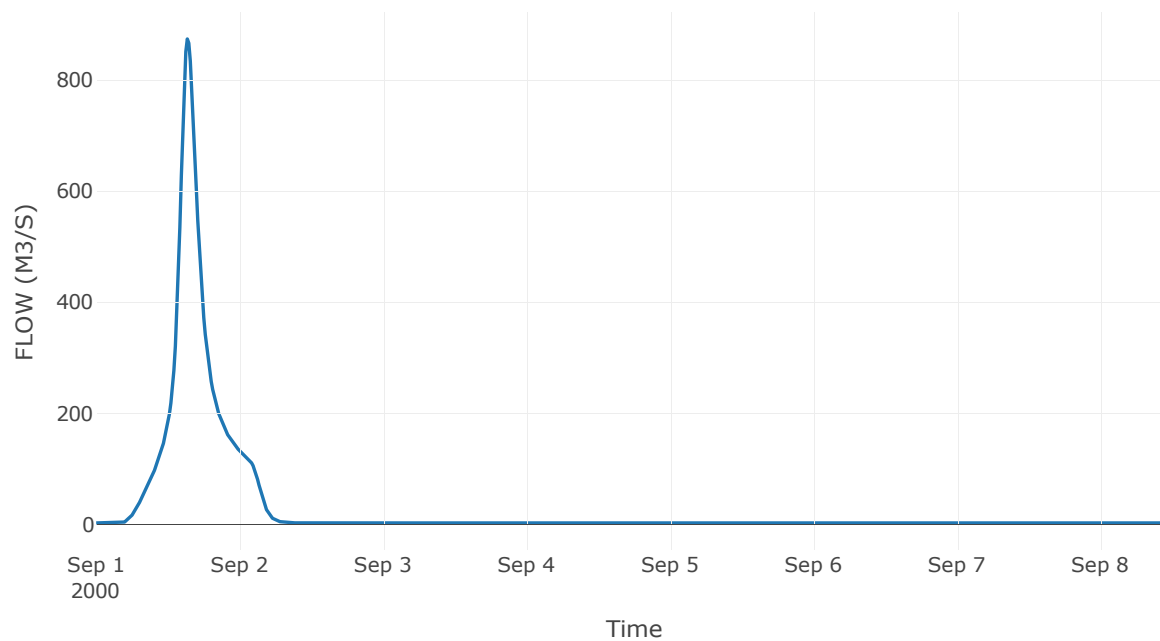
Κατάντη : J2

Μέθοδος Διόδευσης	Χρόνος
Αρχική Μεταβλητή	Combined Inflow
Χρόνος Υστέρησης	4.98

Αποτελέσματα: R32

Παροχή Αιχμής(M3/S)	873.86
Χρονική στιγμή αιχμής	01Sep2000, 15:15
Όγκος(MM)	143.9
Παροχή Αιχμής Εισόδου (M3/S)	877.63
Όγκος Εισροής(M3)	2.14E7

Απορροή



Κλάδος: R43

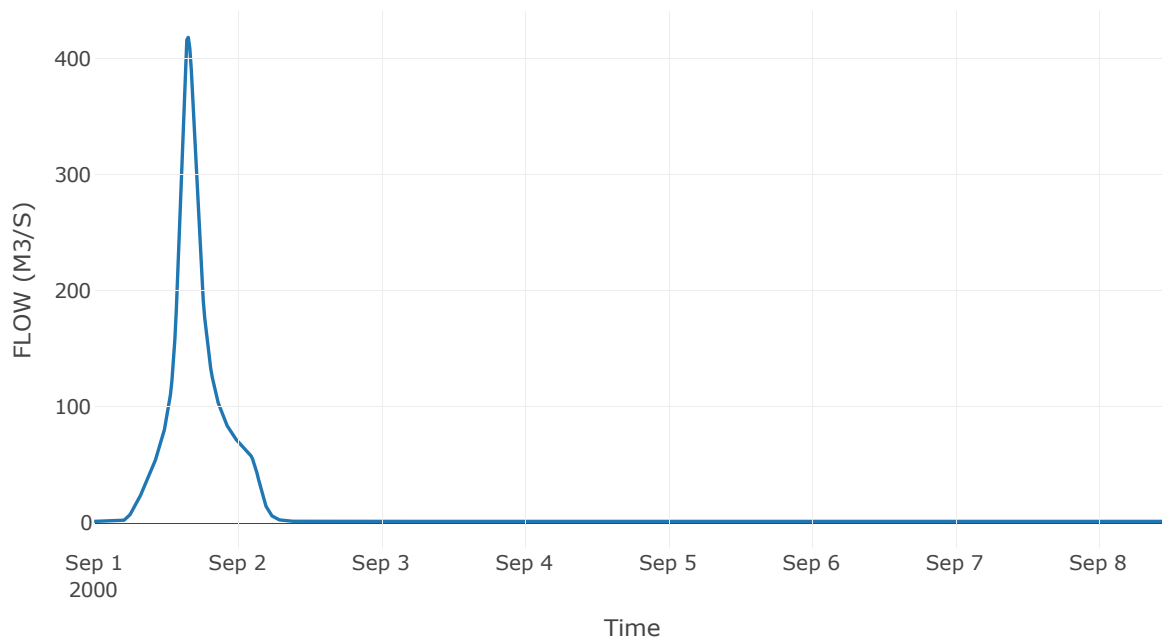
Κατάντη : J3

Μέθοδος Διόδευσης	Muskingum
Αρχική Μεταβλητή	Combined Inflow
Χρόνος Ροής K	1.35
Συντελεστής βάρους x	0.2
Πλήθος Υποκλάδων	5

Αποτελέσματα: R43

Παροχή Αιχμής(M3/S)	418.04
Χρονική στιγμή αιχμής	01Sep2000, 15:45
Όγκος(MM)	143.62
Παροχή Αιχμής Εισόδου (M3/S)	443.92
Όγκος Εισροής(M3)	1.07E7

Απορροή



Κλάδος: R54

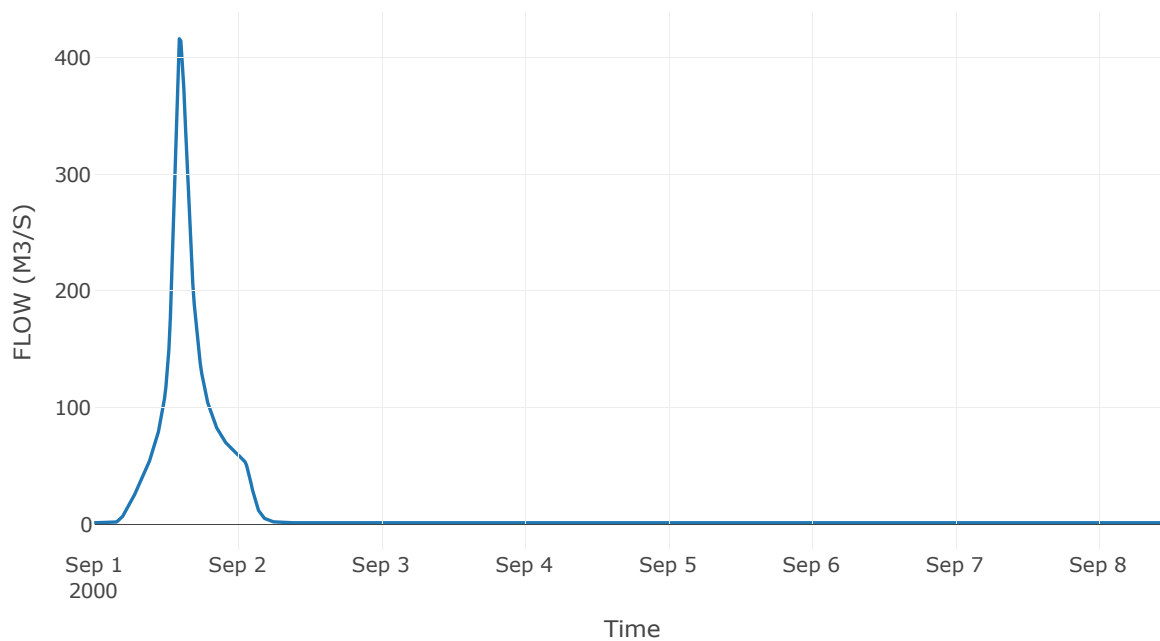
Κατάντη : J4

Μέθοδος Διόδευσης	Χρόνος
Αρχική Μεταβλητή	Combined Inflow
Χρόνος Υστέρησης	36.48

Αποτελέσματα: R54

Παροχή Αιχμής(M3/S)	415.93
Χρονική στιγμή αιχμής	01Sep2000, 14:15
Όγκος(MM)	145.04
Παροχή Αιχμής Εισόδου (M3/S)	419.34
Όγκος Εισροής(M3)	9.94E6

Απορροή



Κλάδος: R65

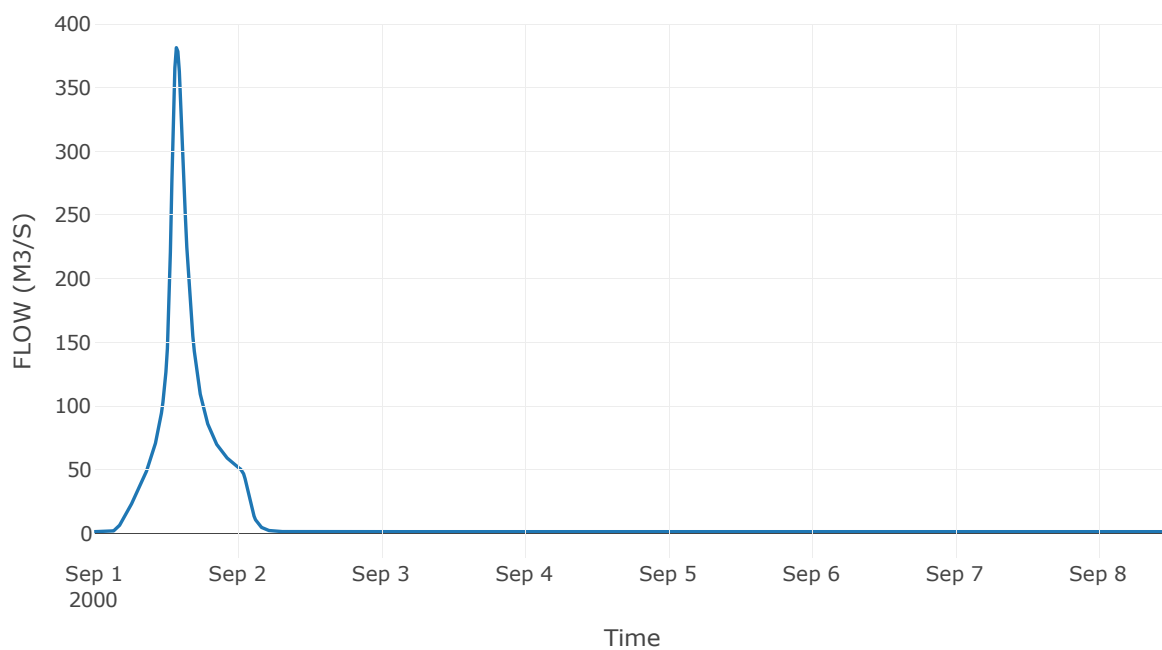
Κατάντη : J5

Μέθοδος Διόδευσης	Χρόνος
Αρχική Μεταβλητή	Combined Inflow
Χρόνος Υστέρησης	30.68

Αποτελέσματα: R65

Παροχή Αιχμής(M3/S)	381.29
Χρονική στιγμή αιχμής	01Sep2000, 13:45
Όγκος(MM)	147.82
Παροχή Αιχμής Εισόδου (M3/S)	381.29
Όγκος Εισροής(M3)	8.87E6

Απορροή



Κλάδος: R72

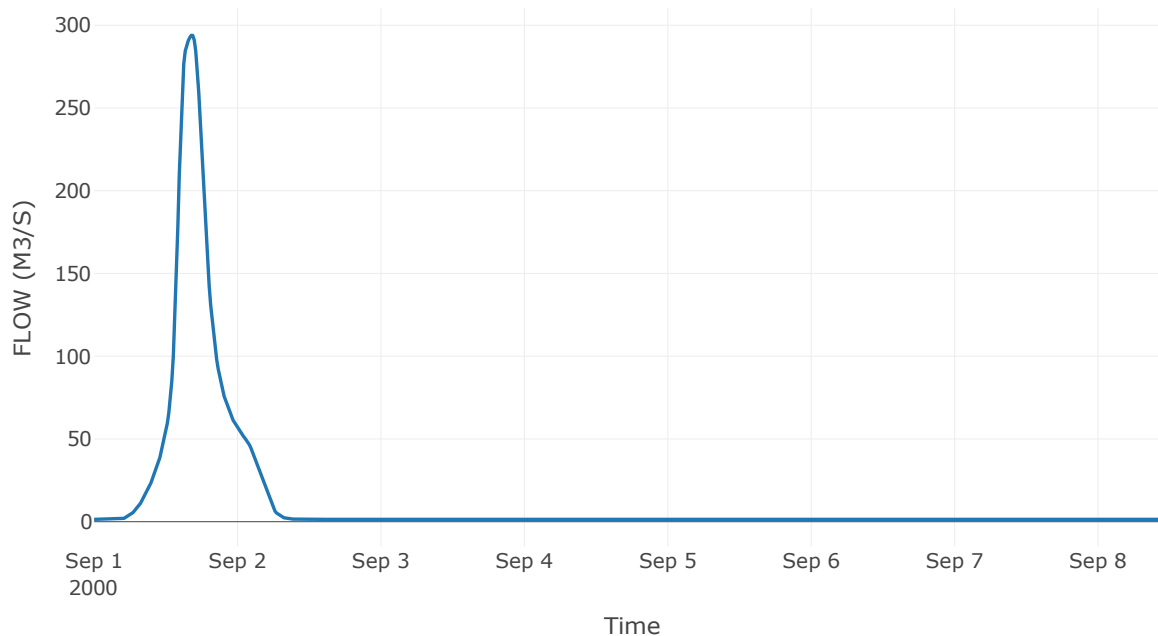
Κατάντη : J2

Μέθοδος Διόδευσης	Muskingum
Αρχική Μεταβλητή	Combined Inflow
Χρόνος Ροής K	1.19
Συντελεστής βάρους x	0.2
Πλήθος Υποκλάδων	5

Αποτελέσματα: R72

Παροχή Αιχμής(M3/S)	293.89
Χρονική στιγμή αιχμής	01Sep2000, 16:15
Όγκος(MM)	125.12
Παροχή Αιχμής Εισόδου (M3/S)	297.02
Όγκος Εισροής(M3)	8.86E6

Απορροή



Κλάδος: R87

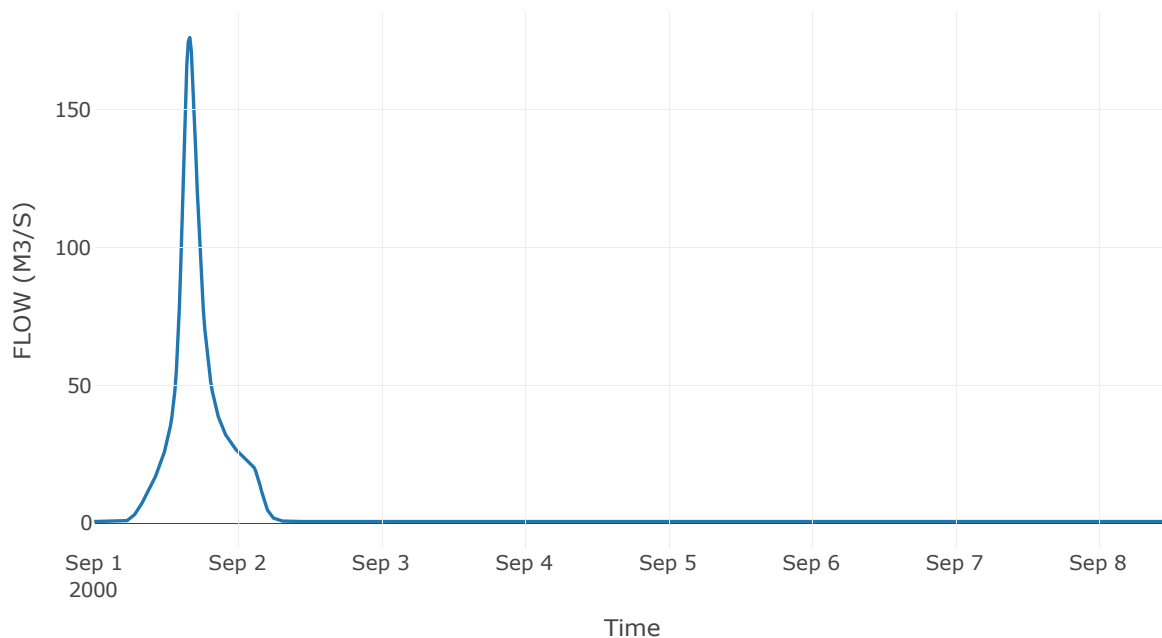
Κατάντη : J7

Μέθοδος Διόδευσης	Muskingum
Αρχική Μεταβλητή	Combined Inflow
Χρόνος Ροής K	2.16
Συντελεστής βάρους x	0.2
Πλήθος Υποκλάδων	9

Αποτελέσματα: R87

Παροχή Αιχμής(M3/S)	176.25
Χρονική στιγμή αιχμής	01Sep2000, 16:00
Όγκος(MM)	133.69
Παροχή Αιχμής Εισόδου (M3/S)	198.77
Όγκος Εισροής(M3)	4.07E6

Απορροή



Κλάδος: R98

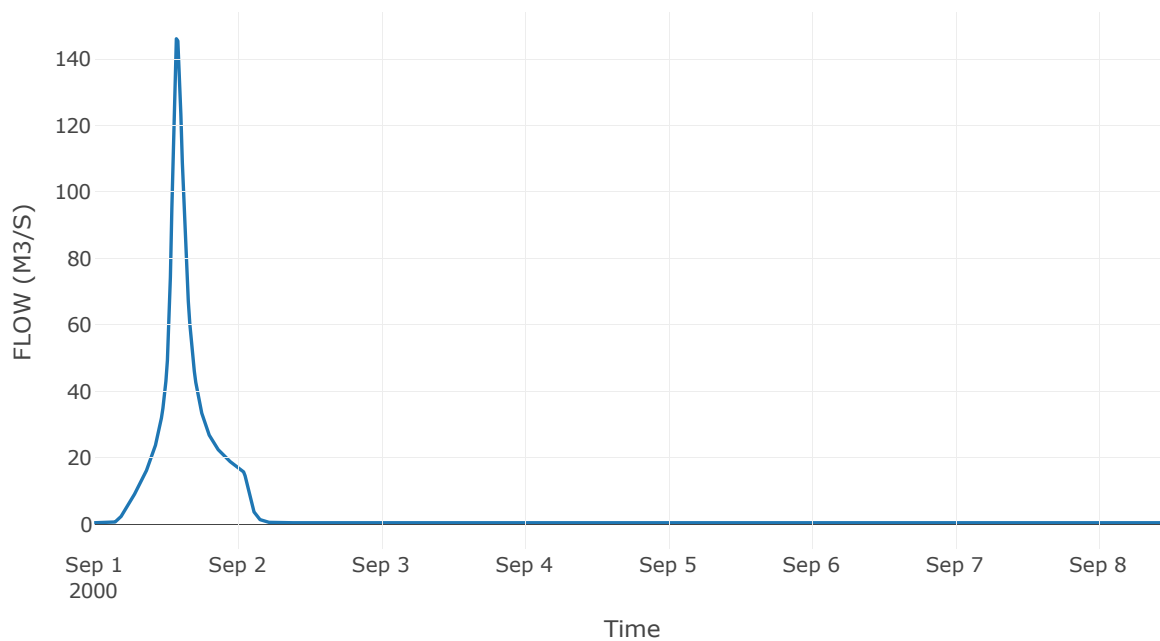
Κατάντη : J8

Μέθοδος Διόδευσης	Χρόνος
Αρχική Μεταβλητή	Combined Inflow
Χρόνος Υστέρησης	37.6

Αποτελέσματα: R98

Παροχή Αιχμής(M3/S)	146.07
Χρονική στιγμή αιχμής	01Sep2000, 13:45
Όγκος(MM)	137.64
Παροχή Αιχμής Εισόδου (M3/S)	148.1
Όγκος Εισροής(M3)	3.05E6

Απορροή



Κλάδος: R107

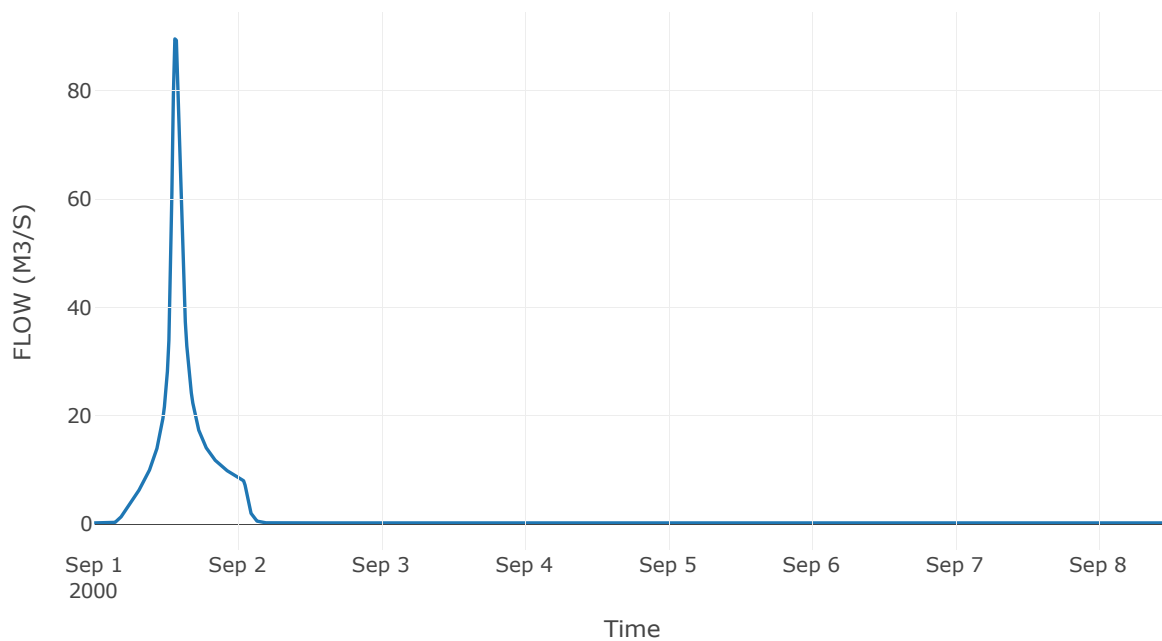
Κατάντη : J7

Μέθοδος Διόδευσης	Χρόνος
Αρχική Μεταβλητή	Combined Inflow
Χρόνος Υστέρησης	45.07

Αποτελέσματα: R107

Παροχή Αιχμής(M3/S)	89.56
Χρονική στιγμή αιχμής	01Sep2000, 13:30
Όγκος(MM)	130.79
Παροχή Αιχμής Εισόδου (M3/S)	89.56
Όγκος Εισροής(M3)	1.6E6

Απορροή



Κλάδος: R113

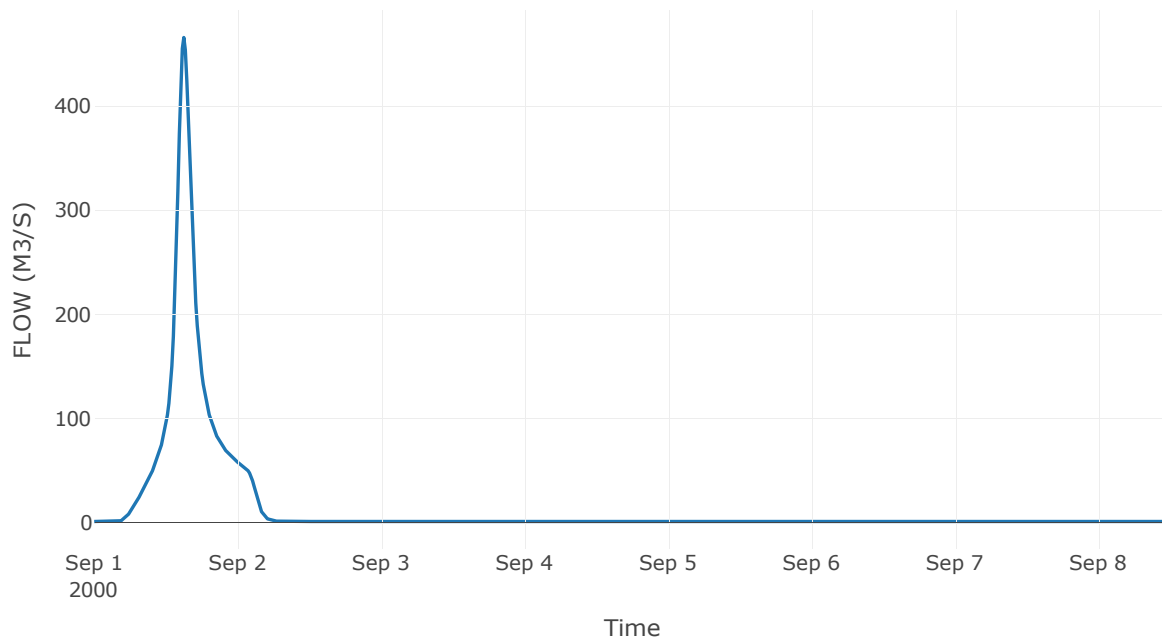
Κατάντη : J3

Μέθοδος Διόδευσης	Muskingum
Αρχική Μεταβλητή	Combined Inflow
Χρόνος Ροής Κ	1.21
Συντελεστής βάρους α	0.2
Πλήθος Υποκλάδων	5

Αποτελέσματα: R113

Παροχή Αιχμής(M3/S)	465.96
Χρονική στιγμή αιχμής	01Sep2000, 15:00
Όγκος(MM)	146.01
Παροχή Αιχμής Εισόδου (M3/S)	506.46
Όγκος Εισροής(M3)	1E7

Απορροή



Κλάδος: R1211

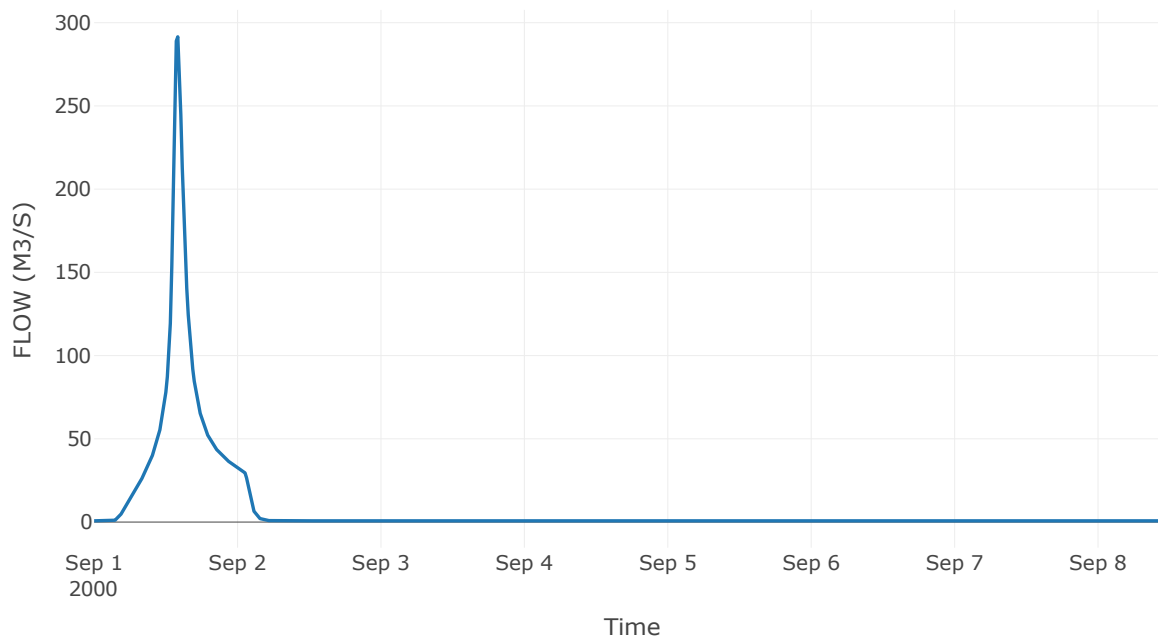
Κατάντη : J11

Μέθοδος Διόδευσης	Χρόνος
Αρχική Μεταβλητή	Combined Inflow
Χρόνος Υστέρησης	59.19

Αποτελέσματα: R1211

Παροχή Αιχμής(M3/S)	291.52
Χρονική στιγμή αιχμής	01Sep2000, 14:00
Όγκος(MM)	155.25
Παροχή Αιχμής Εισόδου (M3/S)	292.69
Όγκος Εισροής(M3)	5.68E6

Απορροή



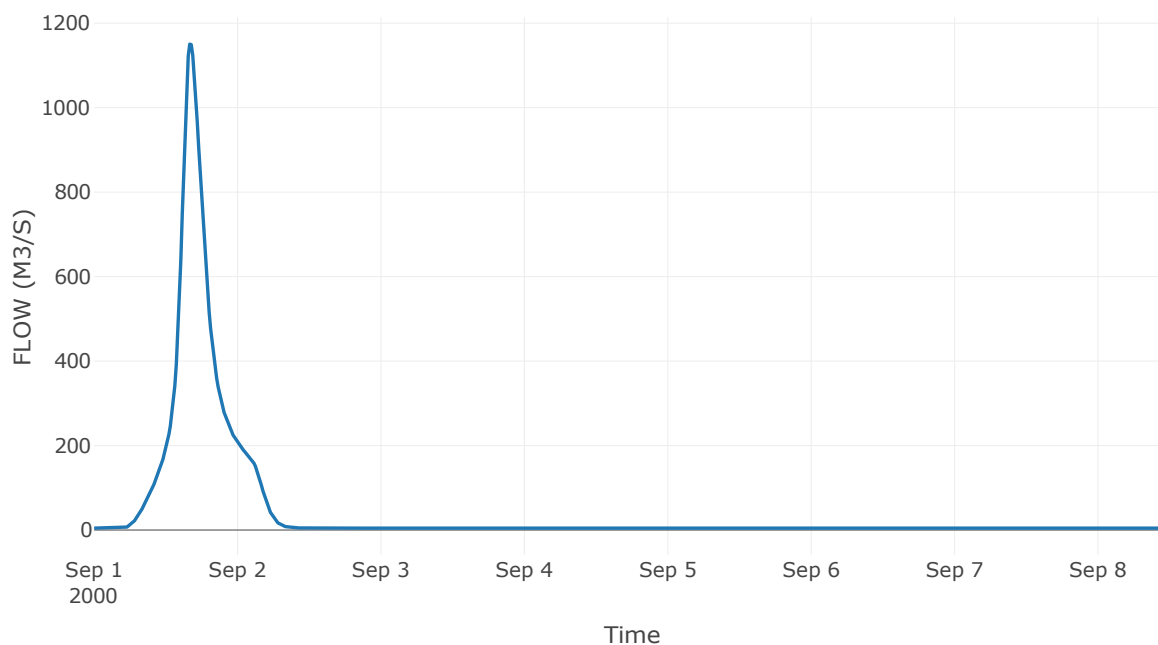
4.3 Δεδομένα και υδρογραφήματα σχεδιασμού Κόμβων υδρογραφικού δικτύου

Κόμβος: J1

Αποτέλεσμα
τα: J1

Παροχή αιχμής (M3/S)	1150.47
Χρονική στιγμή αιχμής	01Sep2000, 16:00
Όγκος (MM)	137.34

Απορροή

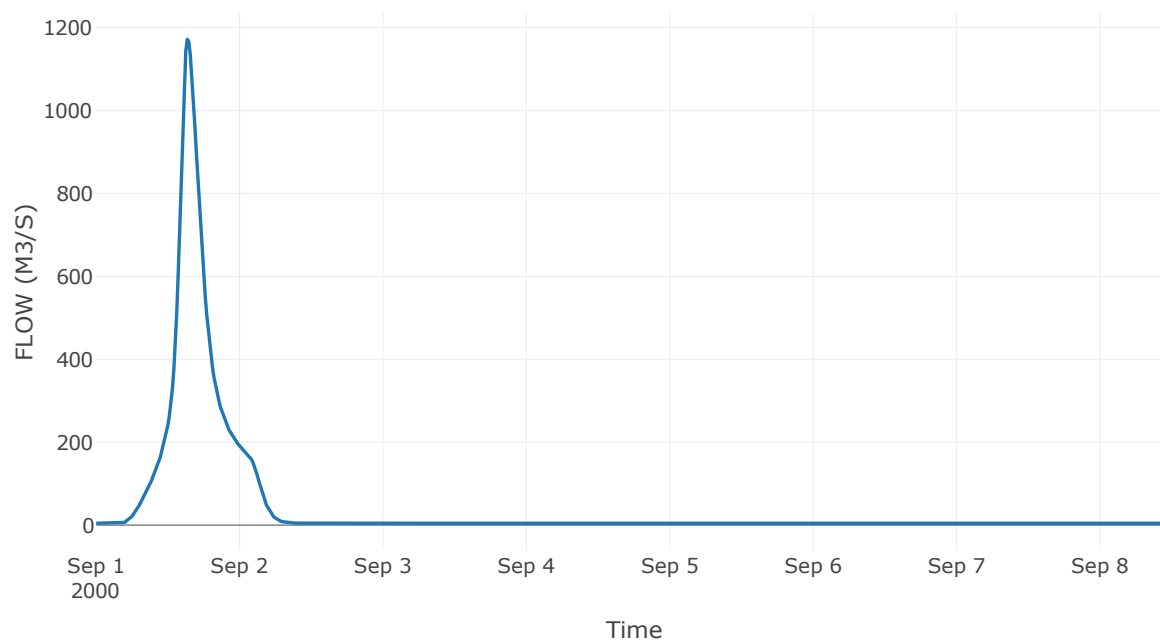


Κόμβος: J2

Αποτελέσμα
α: J2

Παροχή αιχμής (M3/S)	1172.08
Χρονική στιγμή αιχμής	01Sep2000, 15:15
Όγκος (MM)	137.46

Απορροή

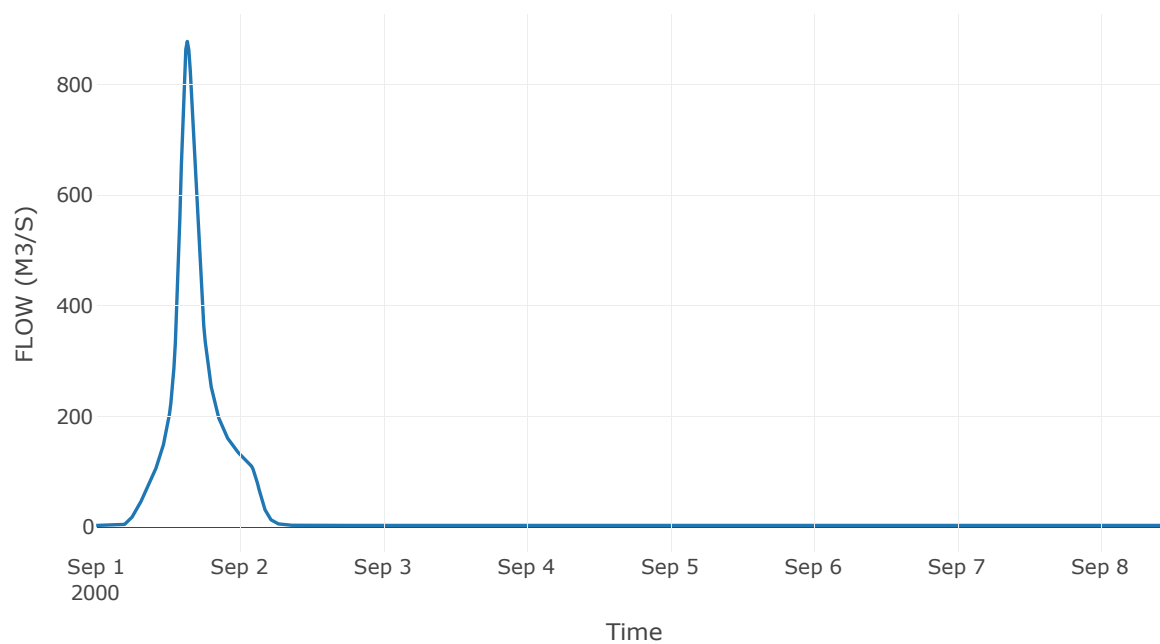


Κόμβος: J3

Αποτελέσμα
α: J3

Παροχή αιχμής (M3/S)	877.63
Χρονική στιγμή αιχμής	01Sep2000, 15:15
Όγκος (MM)	143.9

Απορροή

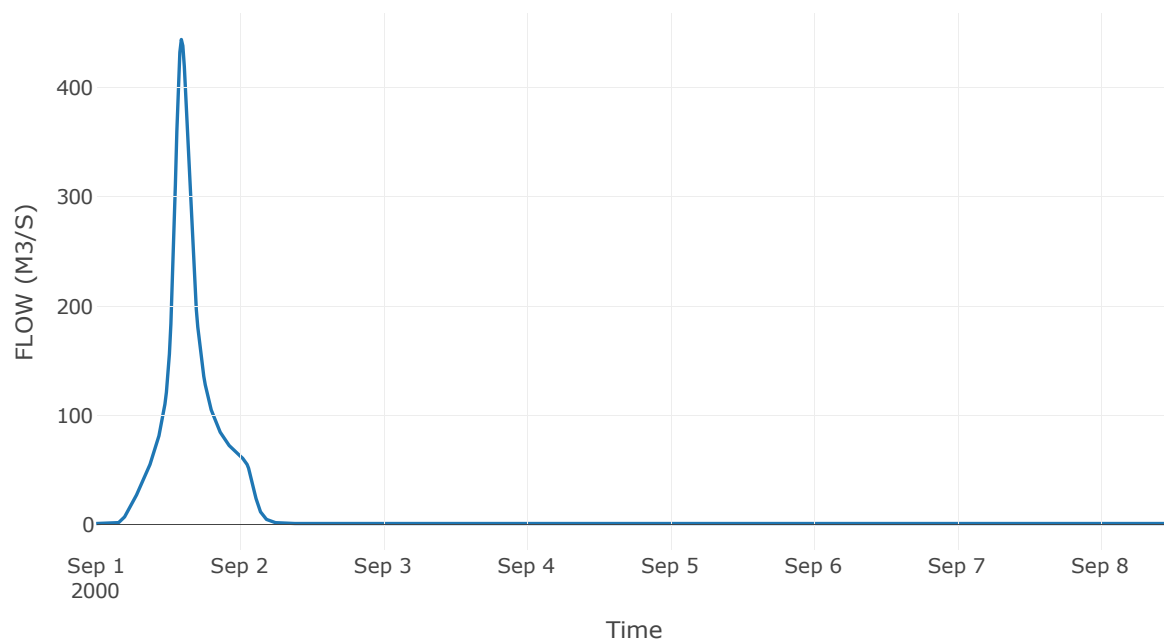


Κόμβος: J4

Αποτελέσματ
α: J4

Παροχή αιχμής (M3/S)	443.92
Χρονική στιγμή αιχμής	01Sep2000, 14:15
Όγκος (MM)	143.62

Απορροή

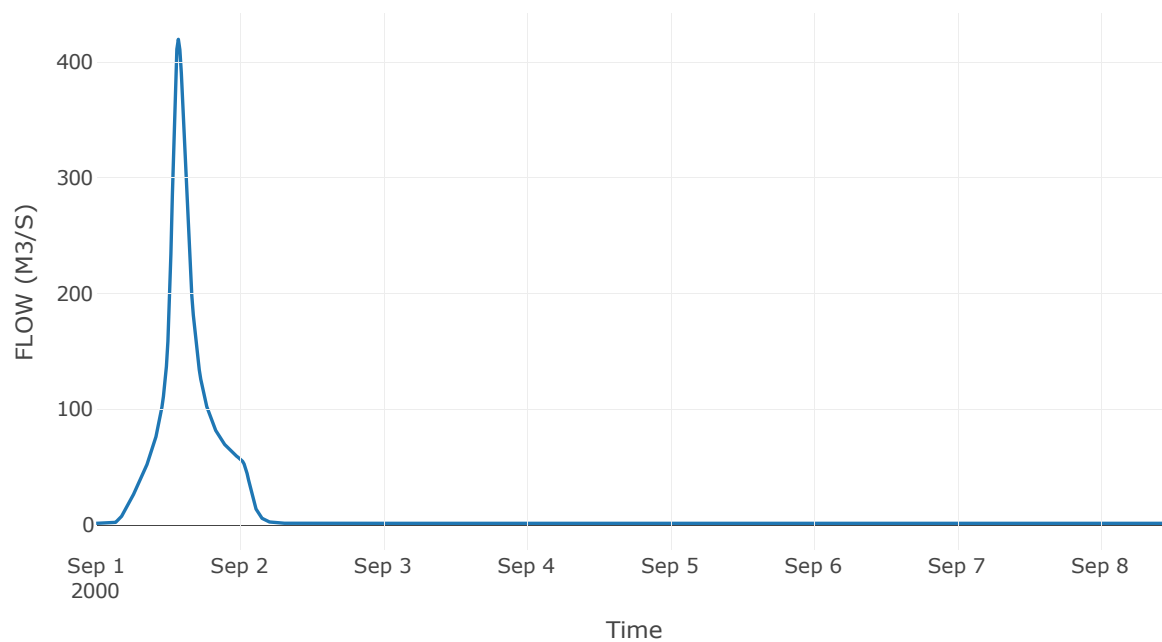


Κόμβος: J5

Αποτελέσμα
α: J5

Παροχή αιχμής (M3/S)	419.34
Χρονική στιγμή αιχμής	01Sep2000, 13:45
Όγκος (MM)	145.04

Απορροή

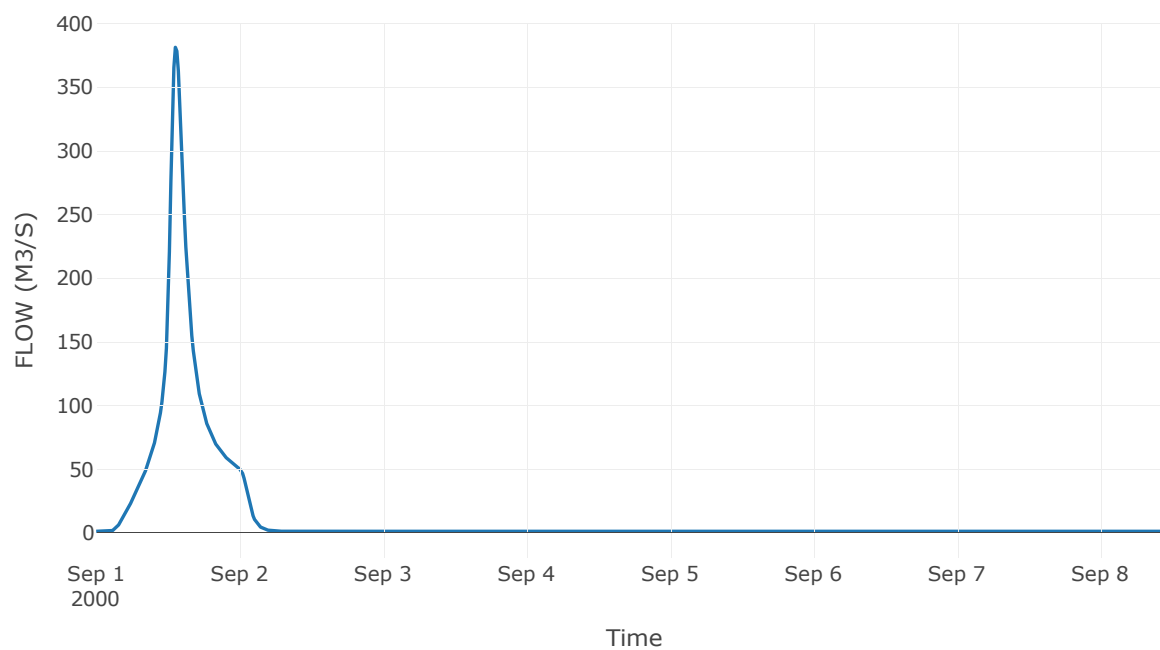


Κόμβος: J6

Αποτελέσμα
α: J6

Παροχή αιχμής (M3/S)	381.29
Χρονική στιγμή αιχμής	01Sep2000, 13:15
Όγκος (MM)	147.82

Απορροή

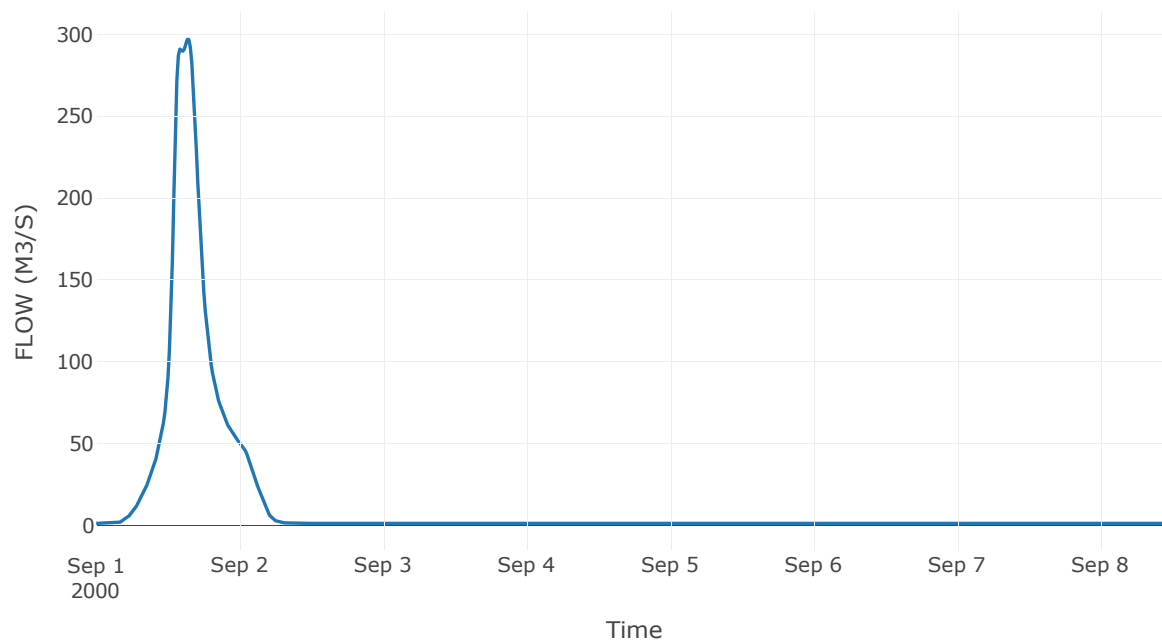


Κόμβος: J7

Αποτελέσμα
α: J7

Παροχή αιχμής (M3/S)	297.02
Χρονική στιγμή αιχμής	01Sep2000, 15:15
Όγκος (MM)	125.12

Απορροή

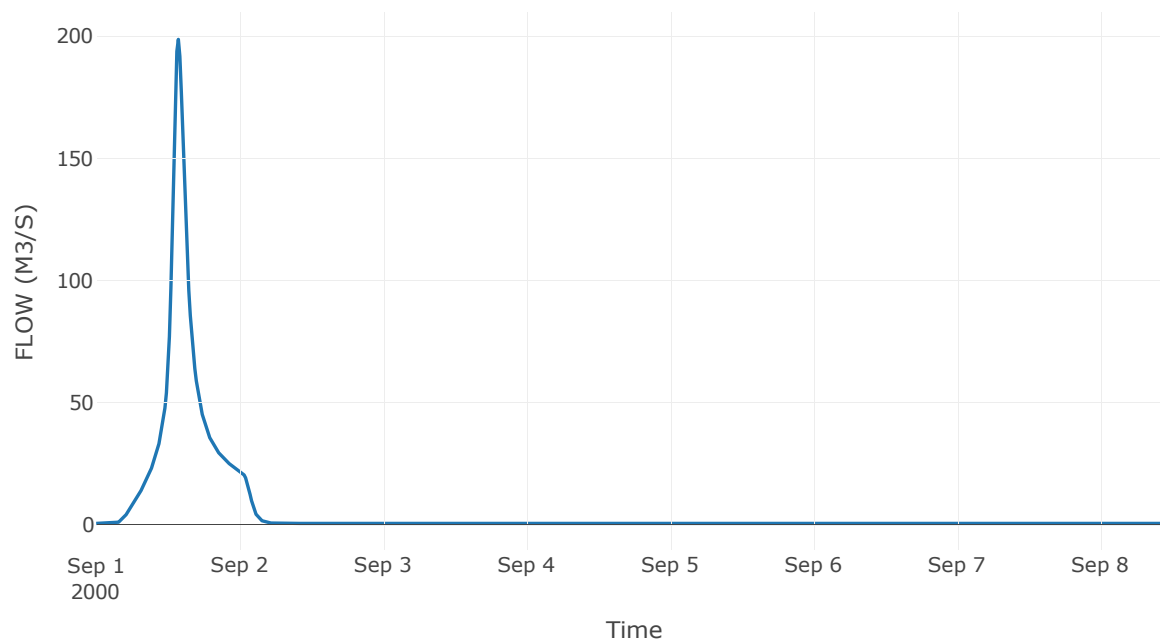


Κόμβος: J8

Αποτελέσμα
α: J8

Παροχή αιχμής (M3/S)	198.77
Χρονική στιγμή αιχμής	01Sep2000, 13:45
Όγκος (MM)	133.69

Απορροή

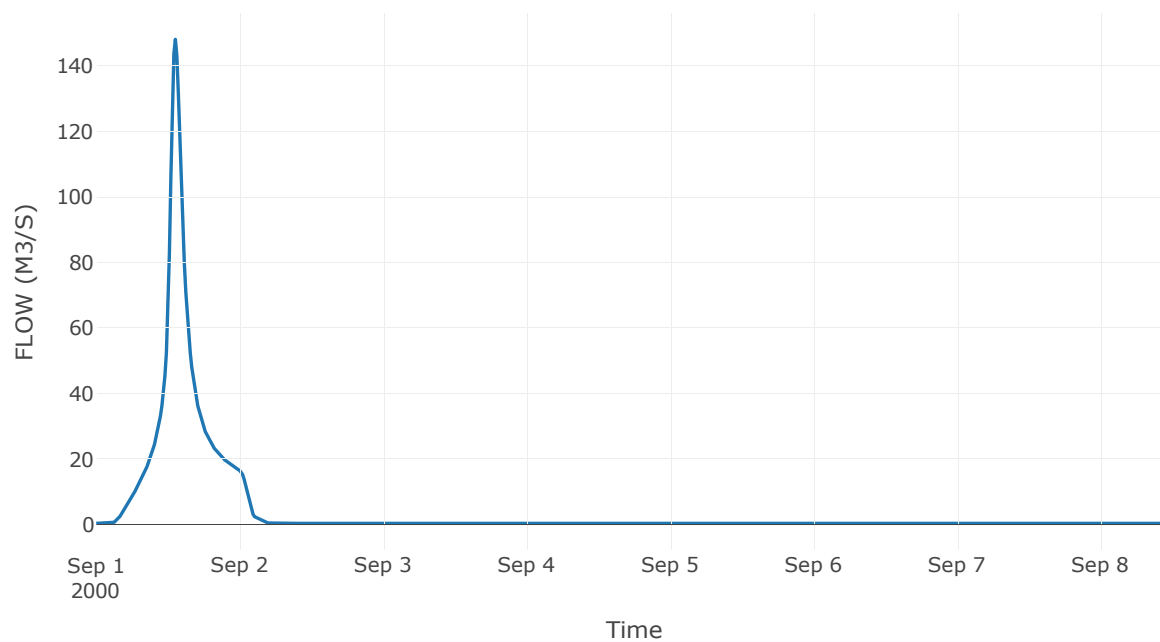


Κόμβος: J9

Αποτελέσματ
α: J9

Παροχή αιχμής (M3/S)	148.1
Χρονική στιγμή αιχμής	01Sep2000, 13:15
Όγκος (MM)	137.64

Απορροή

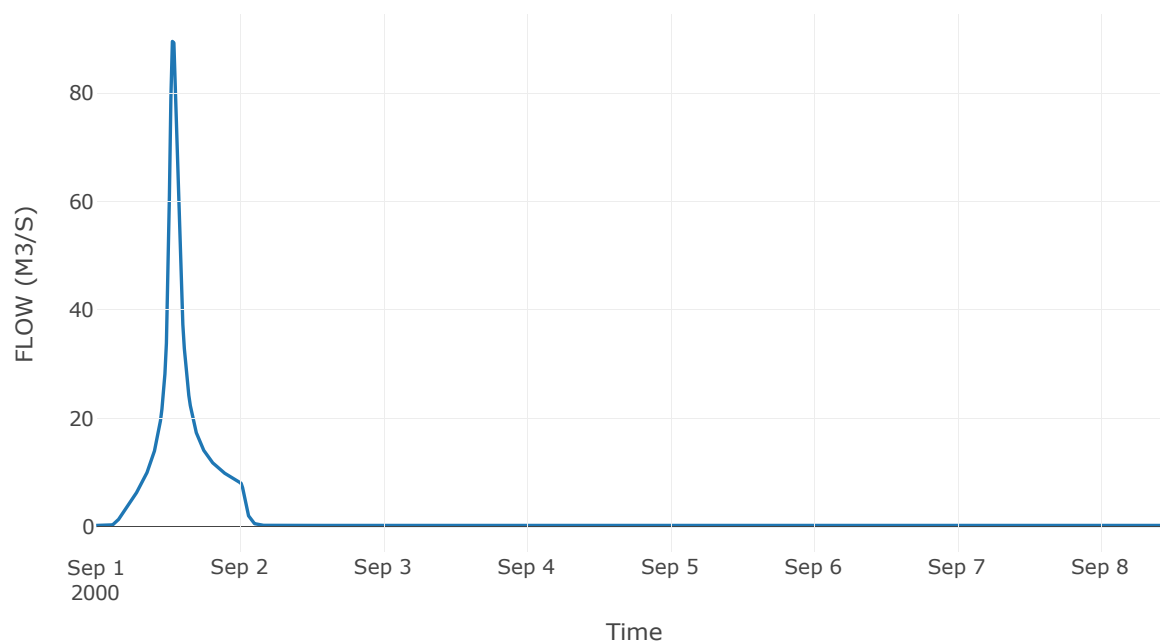


Κόμβος: J10

Αποτελέσματ
α: J10

Παροχή αιχμής (M3/S)	89.56
Χρονική στιγμή αιχμής	01Sep2000, 12:45
Όγκος (MM)	130.79

Απορροή

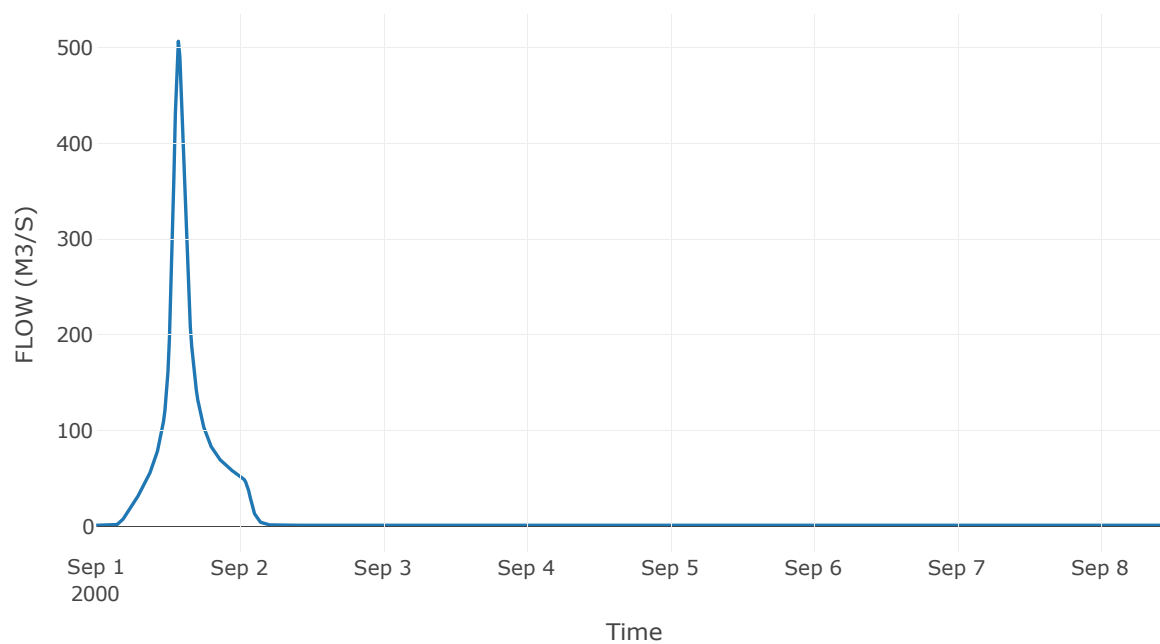


Κόμβος: J11

Αποτελέσματ
α: J11

Παροχή αιχμής (M3/S)	506.46
Χρονική στιγμή αιχμής	01Sep2000, 13:45
Όγκος (MM)	146.01

Απορροή

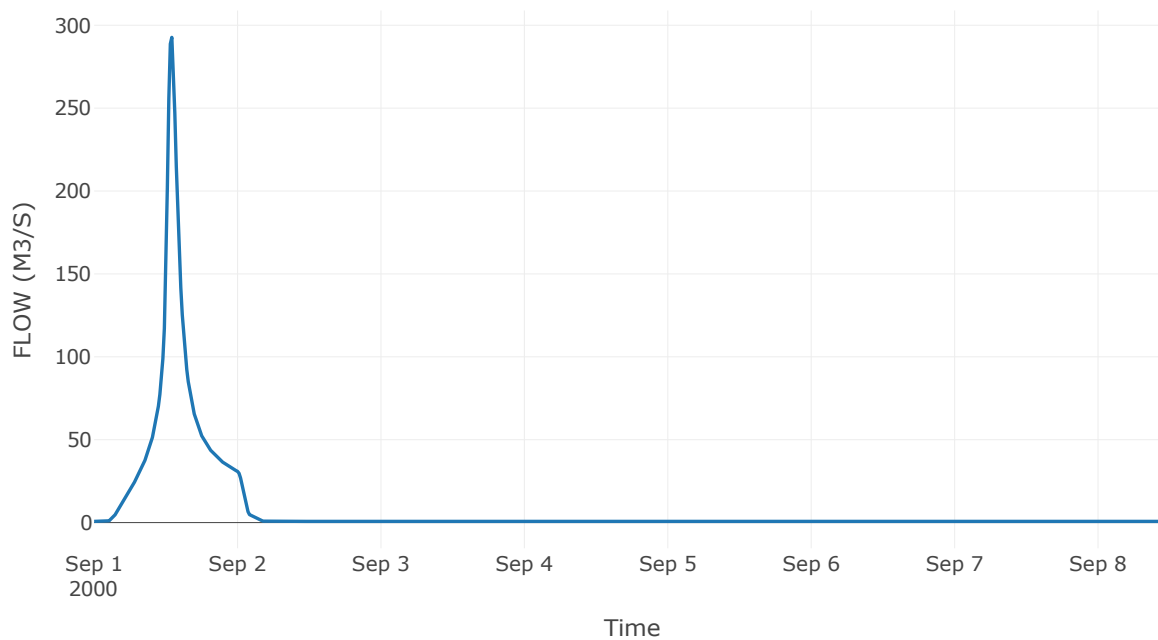


Κόμβος: J12

Αποτελέσματ
α: J12

Παροχή αιχμής (M3/S)	292.69
Χρονική στιγμή αιχμής	01Sep2000, 13:00
Όγκος (MM)	155.25

Απορροή



5 Δεδομένα εισόδου και αποτελέσματα υδρολογικού σεναρίου T=100

5.1 Αποτελέσματα, υετογραφήματα και υδρογραφήματα σχεδιασμού υπολεκανών

Υπολεκάνη: EL0514FR4001

Έκταση (KM2) : 1.95

Κατάνη : J1

Μέθοδος Απωλειών: SCS

Ποσοστό αδιαπέρατης επιφάνειας	0
Αριθμός Καμπύλης Απορροής-CN	82.93
Αρχικές Απώλειες	10.45

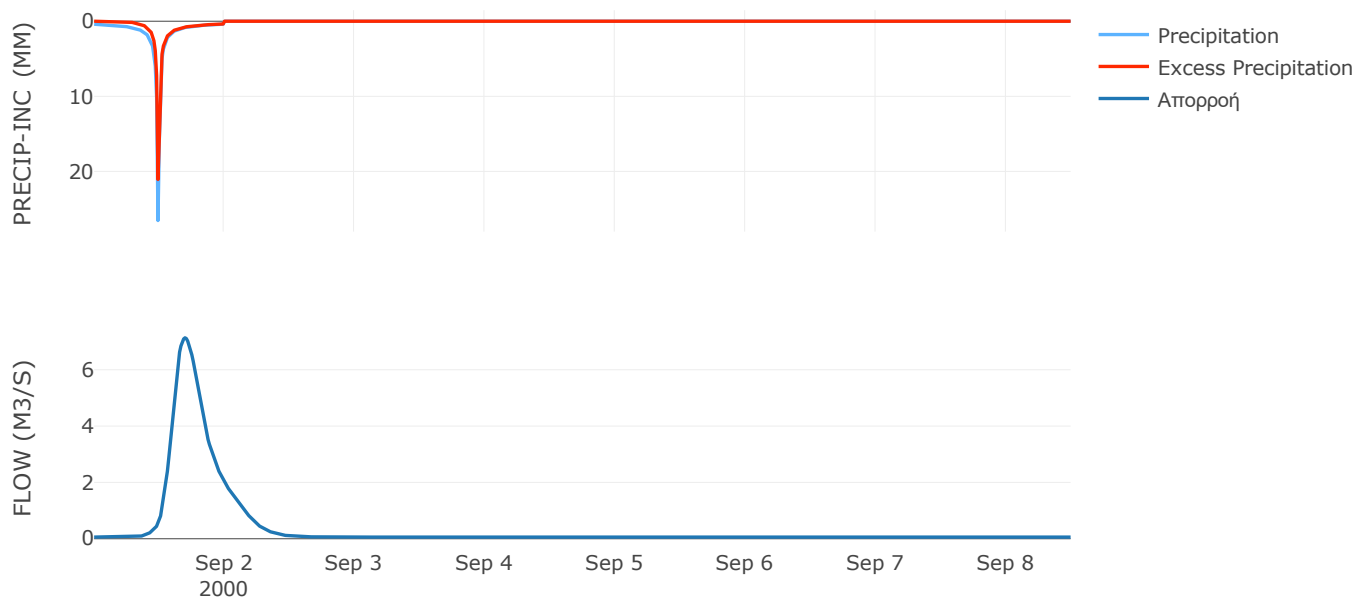
Μέθοδος
Μετασχηματισμού: SCS

Χρόνος Υστέρησης	265.93
------------------	--------

Αποτελέσματα:
EL0514FR4001

Παροχή αιχμής (M3/S)	7.13
Χρονική στιγμή αιχμής	01Sep2000, 16:45
Όγκος (MM)	128.5
Όγκος βροχόπτωσης (M3)	3.09E5
Όγκος απωλειών (M3)	95759.45
Ενεργός Όγκος (M3)	2.13E5
Όγκος άμεσης απορροής (M3)	2.13E5
Όγκος βασικής απορροής (M3)	37946.88

Βροχόπτωση και Απορροή



Υπολεκάνη: EL0514FR4002

Έκταση (KM2) : 0.13

Κατάντη : J2

Μέθοδος Απωλειών: SCS

Ποσοστό αδιαπέρατης επιφάνειας	0
Αριθμός Καμπύλης Απορροής-CN	80.26
Αρχικές Απώλειες	12.49

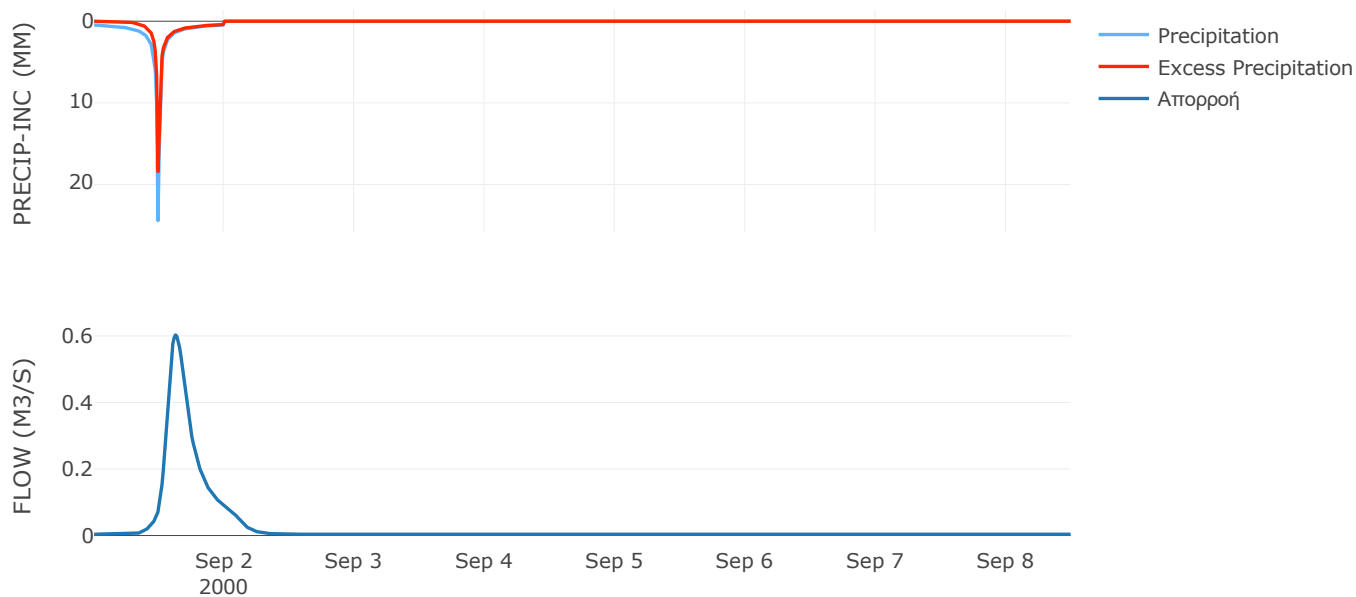
Μέθοδος
Μετασχηματισμού: SCS

Χρόνος Υστέρησης	169.39
------------------	--------

Αποτελέσματα:
EL0514FR4002

Παροχή αιχμής (M3/S)	0.6
Χρονική στιγμή αιχμής	01Sep2000, 15:00
Όγκος (MM)	125.19
Όγκος βροχόπτωσης (M3)	20940.56
Όγκος απωλειών (M3)	7298.24
Ενεργός Όγκος (M3)	13642.31
Όγκος άμεσης απορροής (M3)	13642.31
Όγκος βασικής απορροής (M3)	2507.76

Βροχόπτωση και Απορροή



Υπολεκάνη: EL0514FR4003

Έκταση (KM2) : 3.14

Κατάντη : J2

Μέθοδος Απωλειών: SCS

Ποσοστό αδιαπέρατης επιφάνειας	0
Αριθμός Καμπύλης Απορροής-CN	73.75
Αρχικές Απώλειες	18.08

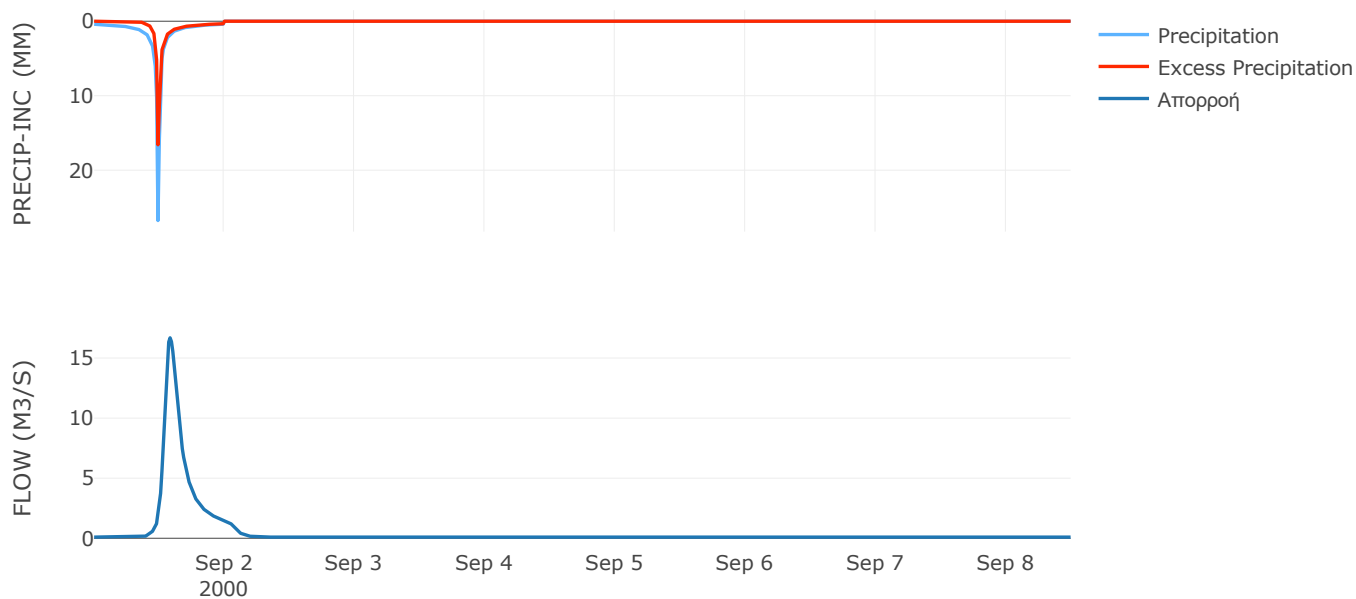
Μέθοδος
Μετασχηματισμού: SCS

Χρόνος Υστέρησης	109.71
------------------	--------

Αποτελέσματα:
EL0514FR4003

Παροχή αιχμής (M3/S)	16.68
Χρονική στιγμή αιχμής	01Sep2000, 14:00
Όγκος (MM)	106.06
Όγκος βροχόπτωσης (M3)	5.02E5
Όγκος απωλειών (M3)	2.3E5
Ενεργός Όγκος (M3)	2.72E5
Όγκος άμεσης απορροής (M3)	2.72E5
Όγκος βασικής απορροής (M3)	61022.16

Βροχόπτωση και Απορροή



Υπολεκάνη: EL0514FR4004

Έκταση (KM2) : 3.81

Κατάντη : J3

Μέθοδος Απωλειών: SCS

Ποσοστό αδιαπέρατης επιφάνειας	0
Αριθμός Καμπύλης Απορροής-CN	77.92
Αρχικές Απώλειες	14.39

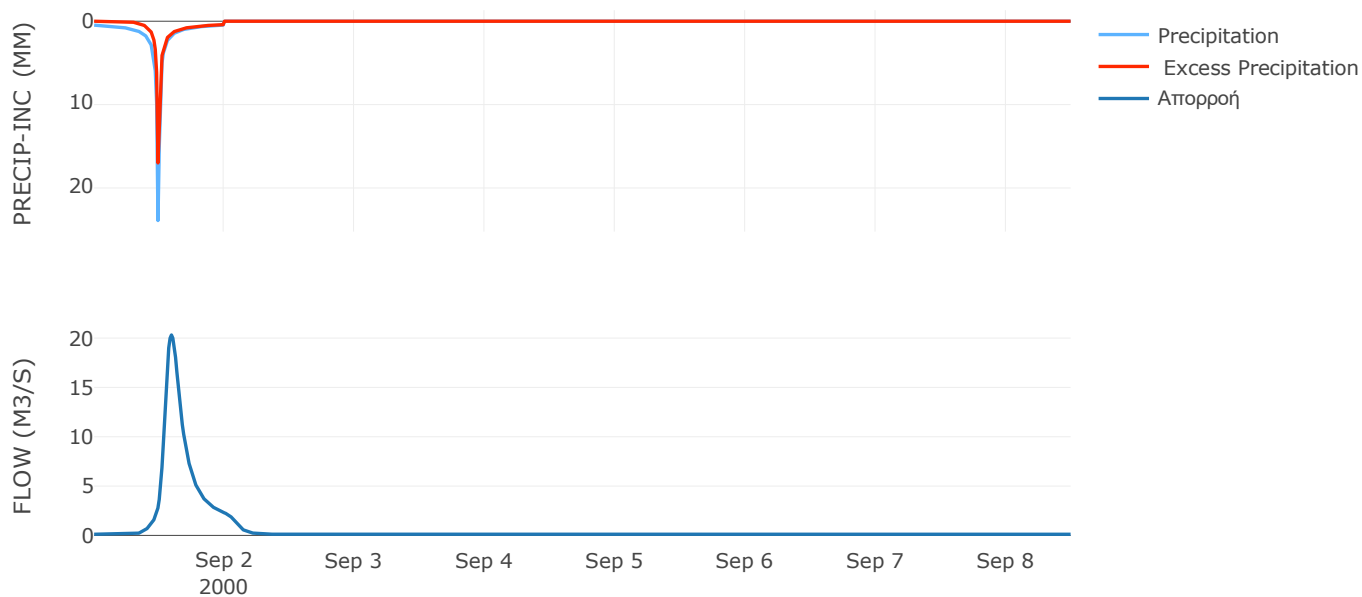
Μέθοδος
Μετασχηματισμού: SCS

Χρόνος Υστέρησης	124.88
------------------	--------

Αποτελέσματα:
EL0514FR4004

Παροχή αιχμής (M3/S)	20.32
Χρονική στιγμή αιχμής	01Sep2000, 14:15
Όγκος (MM)	119.47
Όγκος βροχόπτωσης (M3)	6.21E5
Όγκος απωλειών (M3)	2.4E5
Ενεργός Όγκος (M3)	3.81E5
Όγκος άμεσης απορροής (M3)	3.81E5
Όγκος βασικής απορροής (M3)	74124.72

Βροχόπτωση και Απορροή



Υπολεκάνη: EL0514FR4005

Έκταση (KM2) : 6.29

Κατάντη : J4

Μέθοδος Απωλειών: SCS

Ποσοστό αδιαπέρατης επιφάνειας	0
Αριθμός Καμπύλης Απορροής-CN	81.03
Αρχικές Απώλειες	11.89

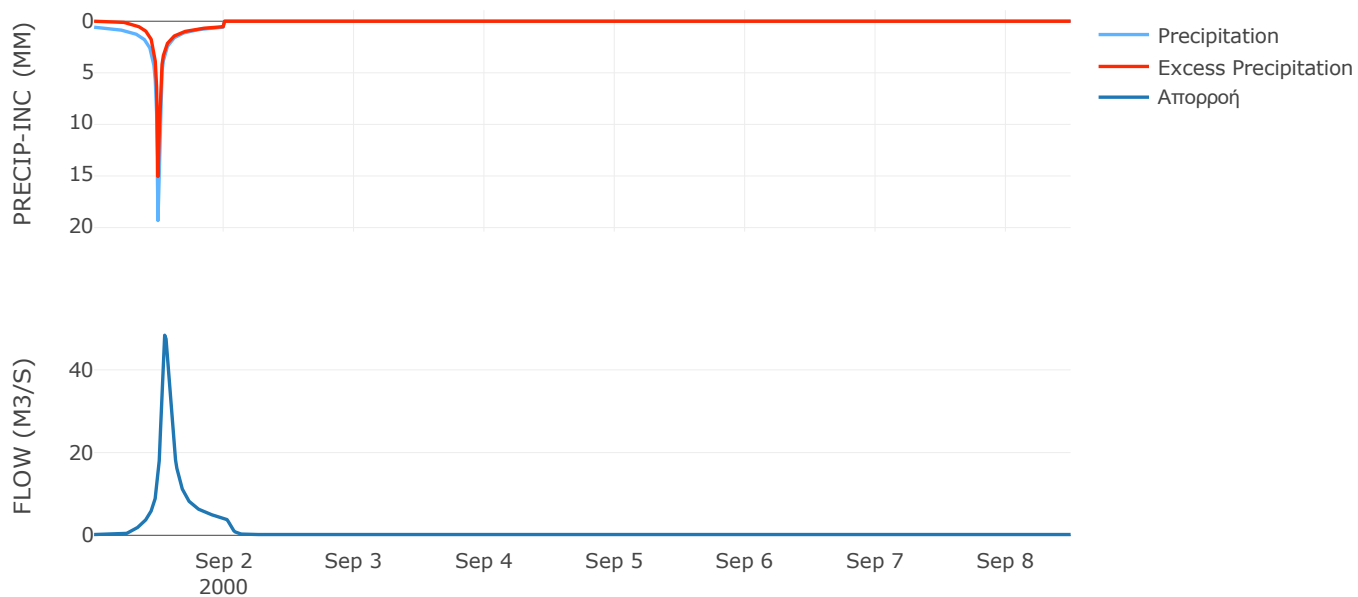
Μέθοδος
Μετασχηματισμού: SCS

Χρόνος Υστέρησης	61.51
------------------	-------

Αποτελέσματα:
EL0514FR4005

Παροχή αιχμής (M3/S)	48.37
Χρονική στιγμή αιχμής	01Sep2000, 13:00
Όγκος (MM)	131.09
Όγκος βροχόπτωσης (M3)	1.05E6
Όγκος απωλειών (M3)	3.45E5
Ενεργός Όγκος (M3)	7.03E5
Όγκος άμεσης απορροής (M3)	7.03E5
Όγκος βασικής απορροής (M3)	1.22E5

Βροχόπτωση και Απορροή



Υπολεκάνη: EL0514FR4006

Έκταση (KM2) : 8.52

Κατάντη : J5

Μέθοδος Απωλειών: SCS

Ποσοστό αδιαπέρατης επιφάνειας	0
Αριθμός Καμπύλης Απορροής-CN	80.84
Αρχικές Απώλειες	12.04

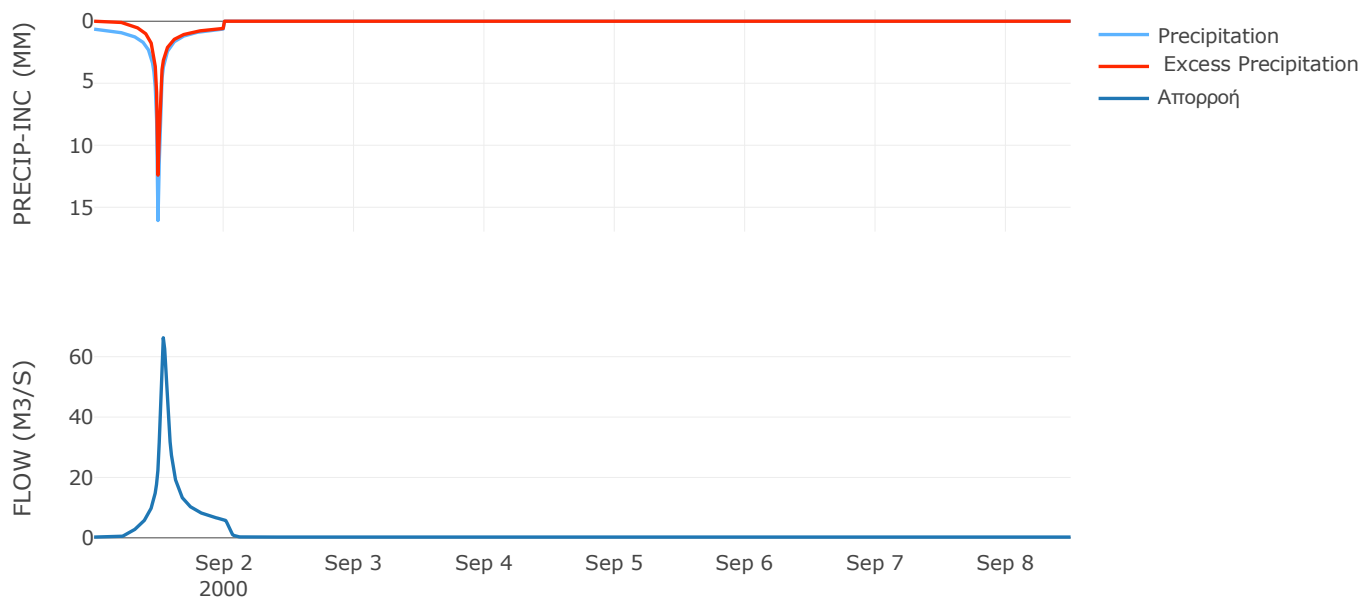
Μέθοδος
Μετασχηματισμού: SCS

Χρόνος Υστέρησης	43.87
------------------	-------

Αποτελέσματα:
EL0514FR4006

Παροχή αιχμής (M3/S)	66.28
Χρονική στιγμή αιχμής	01Sep2000, 12:45
Όγκος (MM)	127.85
Όγκος βροχόπτωσης (M3)	1.39E6
Όγκος απωλειών (M3)	4.7E5
Ενεργός Όγκος (M3)	9.24E5
Όγκος άμεσης απορροής (M3)	9.24E5
Όγκος βασικής απορροής (M3)	1.66E5

Βροχόπτωση και Απορροή



Υπολεκάνη: EL0514FR4007

Έκταση (KM2) : 45.77

Κατάντη : J6

Μέθοδος Απωλειών: SCS

Ποσοστό αδιαπέρατης επιφάνειας	0
Αριθμός Καμπύλης Απορροής-CN	80.55
Αρχικές Απώλειες	12.27

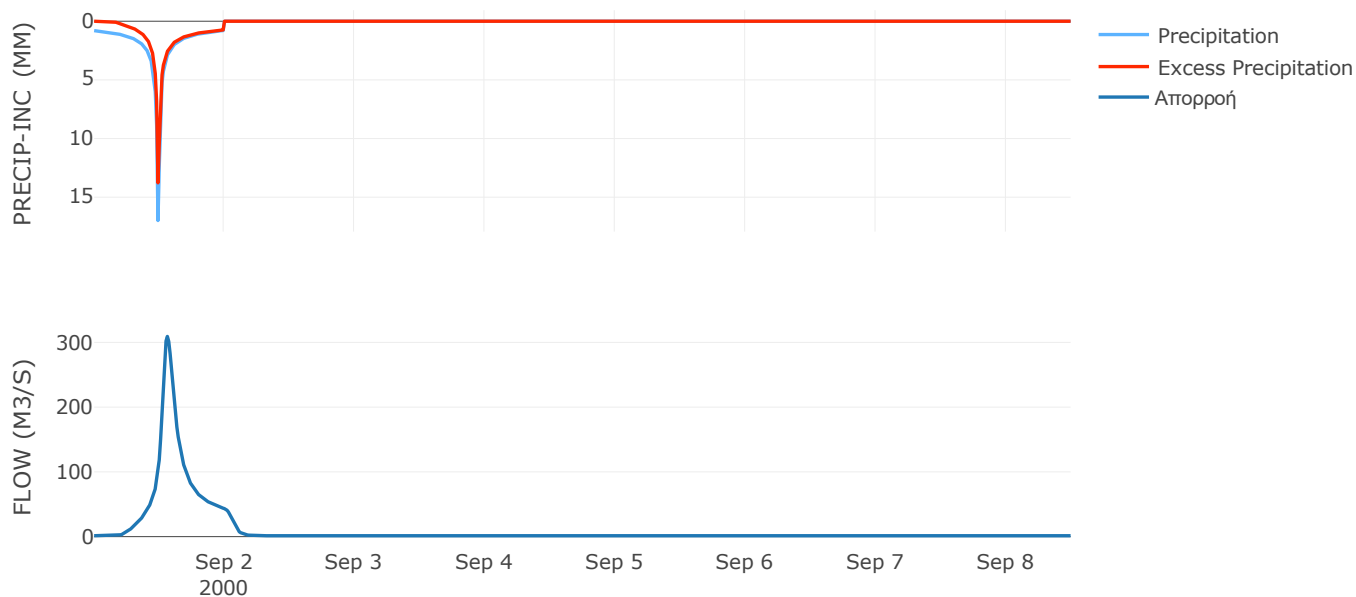
Μέθοδος
Μετασχηματισμού: SCS

Χρόνος Υστέρησης	84.06
------------------	-------

Αποτελέσματα:
EL0514FR4007

Παροχή αιχμής (M3/S)	309.22
Χρονική στιγμή αιχμής	01Sep2000, 13:30
Όγκος (MM)	153.41
Όγκος βροχόπτωσης (M3)	8.79E6
Όγκος απωλειών (M3)	2.65E6
Ενεργός Όγκος (M3)	6.13E6
Όγκος άμεσης απορροής (M3)	6.13E6
Όγκος βασικής απορροής (M3)	8.9E5

Βροχόπτωση και Απορροή



Υπολεκάνη: EL0514FR4008

Έκταση (KM2) : 14.21

Κατάντη : J6

Μέθοδος Απωλειών: SCS

Ποσοστό αδιαπέρατης επιφάνειας	0
Αριθμός Καμπύλης Απορροής-CN	80.9
Αρχικές Απώλειες	11.99

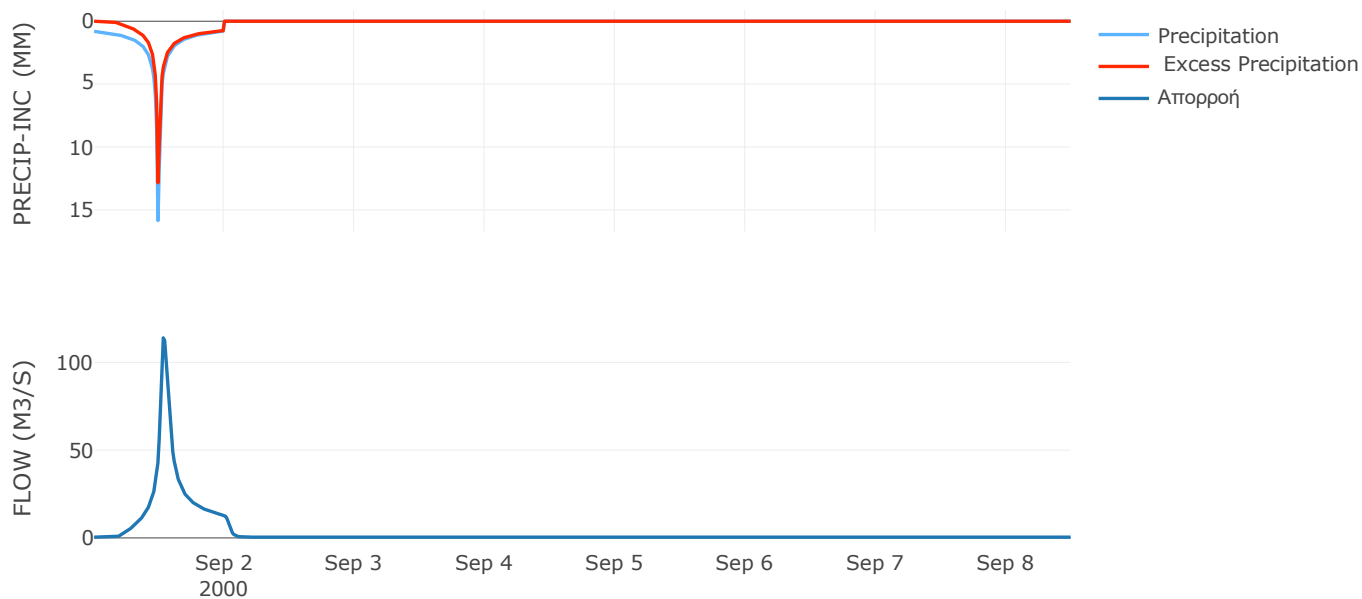
Μέθοδος
Μετασχηματισμού: SCS

Χρόνος Υστέρησης	48.67
------------------	-------

Αποτελέσματα:
EL0514FR4008

Παροχή αιχμής (M3/S)	113.97
Χρονική στιγμή αιχμής	01Sep2000, 12:45
Όγκος (MM)	149.81
Όγκος βροχόπτωσης (M3)	2.66E6
Όγκος απωλειών (M3)	8.05E5
Ενεργός Όγκος (M3)	1.85E6
Όγκος άμεσης απορροής (M3)	1.85E6
Όγκος βασικής απορροής (M3)	2.76E5

Βροχόπτωση και Απορροή



Υπολεκάνη: EL0514FR4009

Έκταση (KM2) : 12.22

Κατάντη : J10

Μέθοδος Απωλειών: SCS

Ποσοστό αδιαπέρατης επιφάνειας	0
Αριθμός Καμπύλης Απορροής-CN	81.36
Αρχικές Απώλειες	11.64

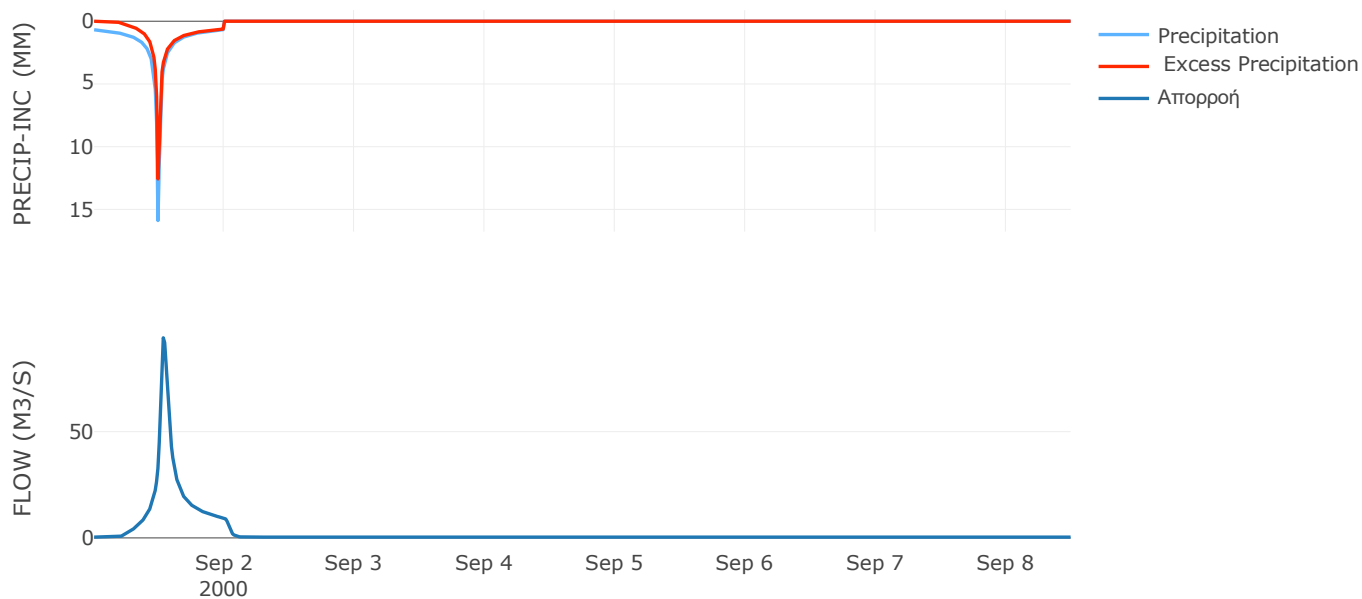
Μέθοδος
Μετασχηματισμού: SCS

Χρόνος Υστέρησης	47.51
------------------	-------

Αποτελέσματα:
EL0514FR4009

Παροχή αιχμής (M3/S)	94.16
Χρονική στιγμή αιχμής	01Sep2000, 12:45
Όγκος (MM)	134.38
Όγκος βροχόπτωσης (M3)	2.07E6
Όγκος απωλειών (M3)	6.62E5
Ενεργός Όγκος (M3)	1.41E6
Όγκος άμεσης απορροής (M3)	1.41E6
Όγκος βασικής απορροής (M3)	2.38E5

Βροχόπτωση και Απορροή



Υπολεκάνη: EL0514FR4010

Έκταση (KM2) : 13.42

Κατάντη : J7

Μέθοδος Απωλειών: SCS

Ποσοστό αδιαπέρατης επιφάνειας	0
Αριθμός Καμπύλης Απορροής-CN	81.56
Αρχικές Απώλειες	11.49

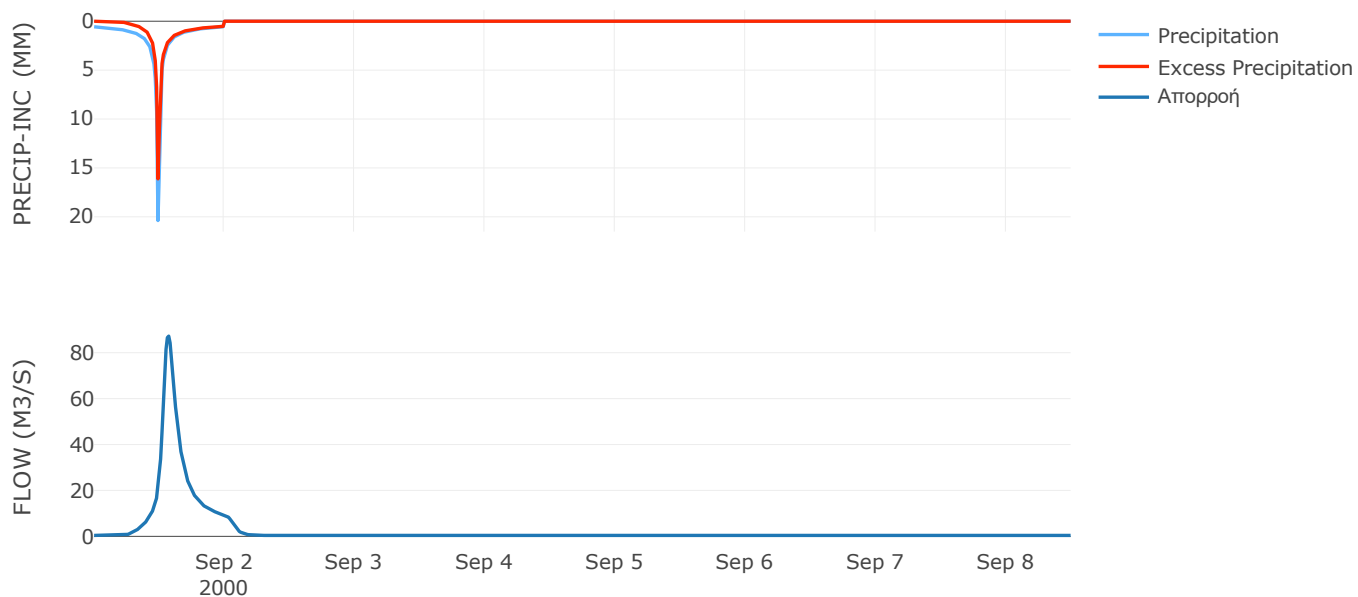
Μέθοδος
Μετασχηματισμού: SCS

Χρόνος Υστέρησης	94.49
------------------	-------

Αποτελέσματα:
EL0514FR4010

Παροχή αιχμής (M3/S)	87.22
Χρονική στιγμή αιχμής	01Sep2000, 13:45
Όγκος (MM)	134.4
Όγκος βροχόπτωσης (M3)	2.26E6
Όγκος απωλειών (M3)	7.19E5
Ενεργός Όγκος (M3)	1.54E6
Όγκος άμεσης απορροής (M3)	1.54E6
Όγκος βασικής απορροής (M3)	2.61E5

Βροχόπτωση και Απορροή



Υπολεκάνη: EL0514FR4011

Έκταση (KM2) : 14.76

Κατάντη : J7

Μέθοδος Απωλειών: SCS

Ποσοστό αδιαπέρατης επιφάνειας	0
Αριθμός Καμπύλης Απορροής-CN	64.08
Αρχικές Απώλειες	28.48

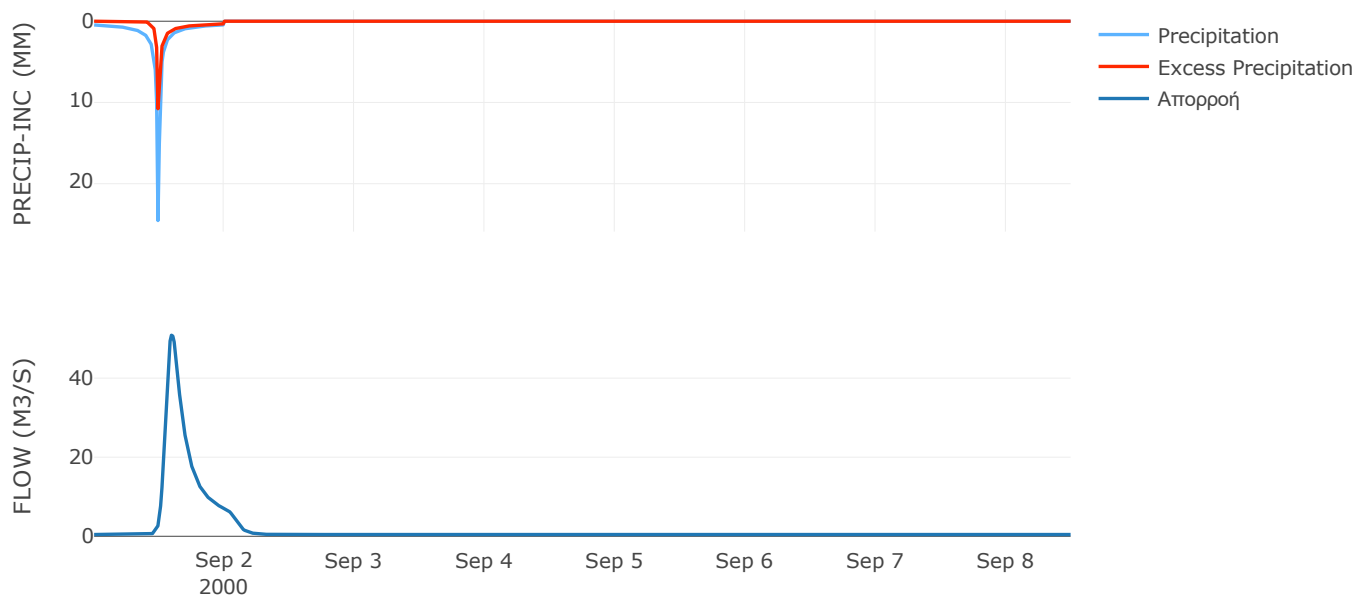
Μέθοδος
Μετασχηματισμού: SCS

Χρόνος Υστέρησης	121.78
------------------	--------

Αποτελέσματα:
EL0514FR4011

Παροχή αιχμής (M3/S)	50.85
Χρονική στιγμή αιχμής	01Sep2000, 14:15
Όγκος (MM)	84.52
Όγκος βροχόπτωσης (M3)	2.4E6
Όγκος απωλειών (M3)	1.44E6
Ενεργός Όγκος (M3)	9.61E5
Όγκος άμεσης απορροής (M3)	9.61E5
Όγκος βασικής απορροής (M3)	2.87E5

Βροχόπτωση και Απορροή



Υπολεκάνη: EL0514FR4012

Έκταση (KM2) : 8.26

Κατάντη : J8

Μέθοδος Απωλειών: SCS

Ποσοστό αδιαπέρατης επιφάνειας	0
Αριθμός Καμπύλης Απορροής-CN	76.28
Αρχικές Απώλειες	15.79

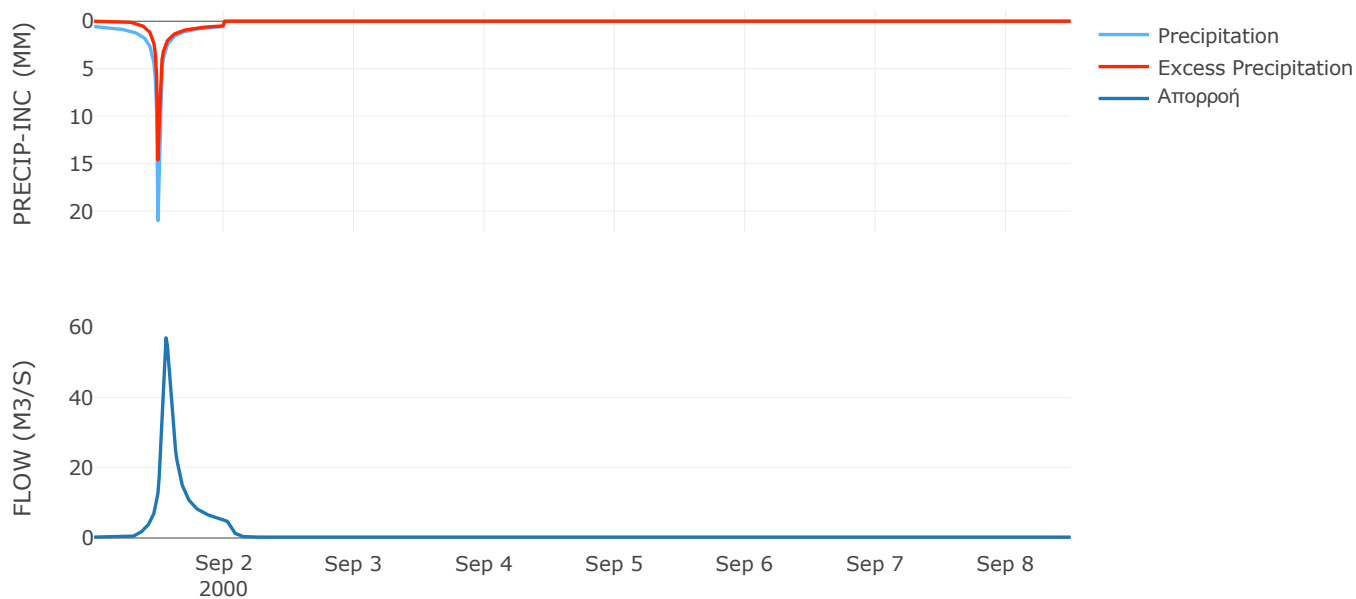
Μέθοδος
Μετασχηματισμού: SCS

Χρόνος Υστέρησης	69.24
------------------	-------

Αποτελέσματα:
EL0514FR4012

Παροχή αιχμής (M3/S)	56.96
Χρονική στιγμή αιχμής	01Sep2000, 13:15
Όγκος (MM)	120.89
Όγκος βροχόπτωσης (M3)	1.4E6
Όγκος απωλειών (M3)	5.61E5
Ενεργός Όγκος (M3)	8.38E5
Όγκος άμεσης απορροής (M3)	8.38E5
Όγκος βασικής απορροής (M3)	1.61E5

Βροχόπτωση και Απορροή



Υπολεκάνη: EL0514FR4013

Έκταση (KM2) : 22.16

Κατάντη : J9

Μέθοδος Απωλειών: SCS

Ποσοστό αδιαπέρατης επιφάνειας	0
Αριθμός Καμπύλης Απορροής-CN	81.13
Αρχικές Απώλειες	11.81

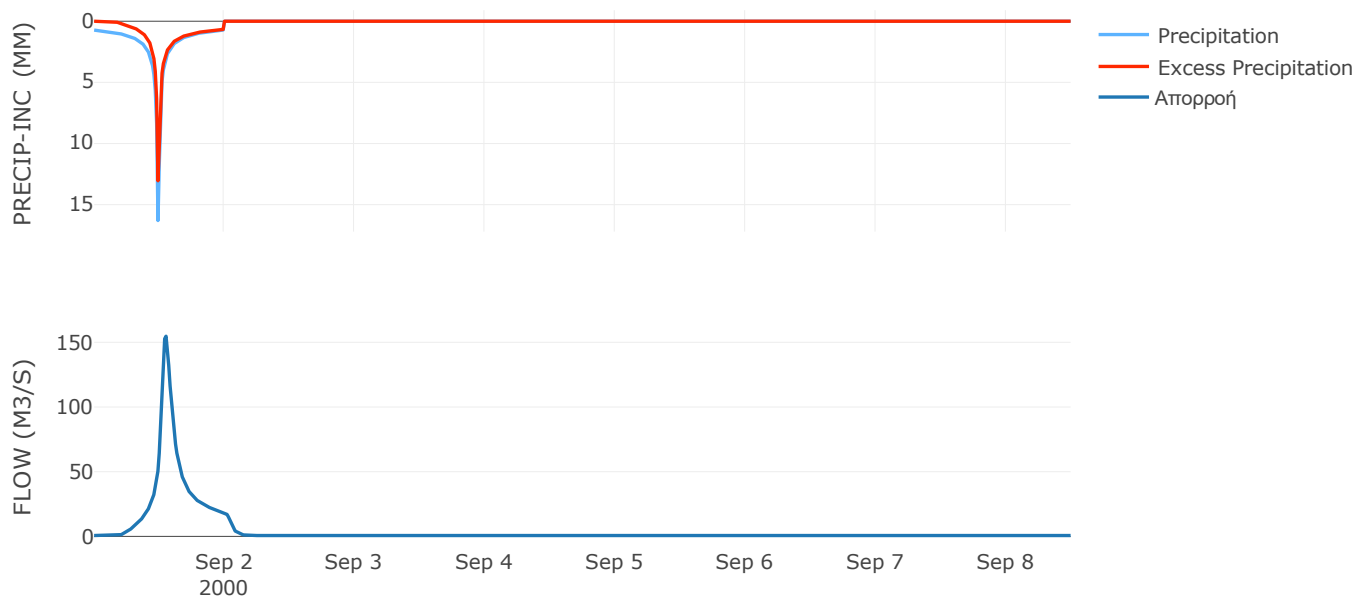
Μέθοδος
Μετασχηματισμού: SCS

Χρόνος Υστέρησης	66.58
------------------	-------

Αποτελέσματα:
EL0514FR4013

Παροχή αιχμής (M3/S)	154.72
Χρονική στιγμή αιχμής	01Sep2000, 13:15
Όγκος (MM)	141.77
Όγκος βροχόπτωσης (M3)	3.94E6
Όγκος απωλειών (M3)	1.23E6
Ενεργός Όγκος (M3)	2.71E6
Όγκος άμεσης απορροής (M3)	2.71E6
Όγκος βασικής απορροής (M3)	4.31E5

Βροχόπτωση και Απορροή



Υπολεκάνη: EL0514FR4014

Έκταση (KM2) : 1.47

Κατάντη : J3

Μέθοδος Απωλειών: SCS

Ποσοστό αδιαπέρατης επιφάνειας	0
Αριθμός Καμπύλης Απορροής-CN	77.89
Αρχικές Απώλειες	14.42

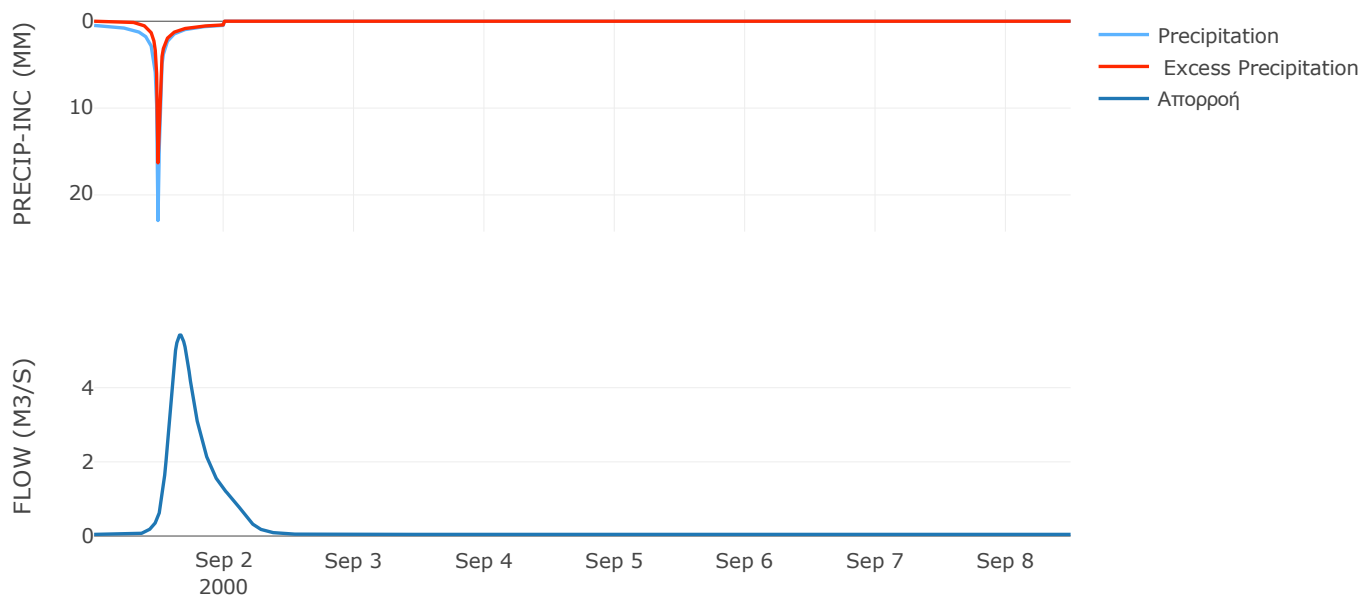
Μέθοδος
Μετασχηματισμού: SCS

Χρόνος Υστέρησης	212.4
------------------	-------

Αποτελέσματα:
EL0514FR4014

Παροχή αιχμής (M3/S)	5.42
Χρονική στιγμή αιχμής	01Sep2000, 15:45
Όγκος (MM)	119.11
Όγκος βροχόπτωσης (M3)	2.39E5
Όγκος απωλειών (M3)	92550.53
Ενεργός Όγκος (M3)	1.47E5
Όγκος άμεσης απορροής (M3)	1.47E5
Όγκος βασικής απορροής (M3)	28596.24

Βροχόπτωση και Απορροή



Υπολεκάνη: EL0514FR4015

Έκταση (KM2) : 32.03

Κατάνη : J11

Μέθοδος Απωλειών: SCS

Ποσοστό αδιαπέρατης επιφάνειας	0
Αριθμός Καμπύλης Απορροής-CN	81.11
Αρχικές Απώλειες	11.83

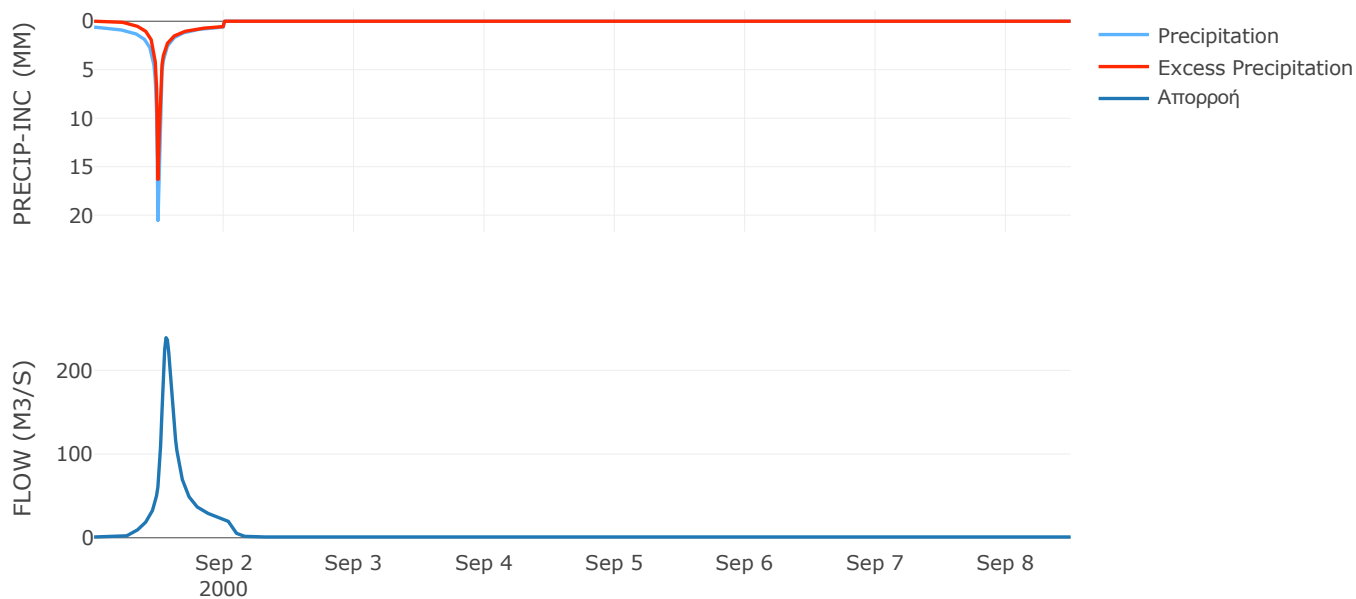
Μέθοδος
Μετασχηματισμού: SCS

Χρόνος Υστέρησης	76.18
------------------	-------

Αποτελέσματα:
EL0514FR4015

Παροχή αιχμής (M3/S)	239.02
Χρονική στιγμή αιχμής	01Sep2000, 13:15
Όγκος (MM)	139.26
Όγκος βροχόπτωσης (M3)	5.61E6
Όγκος απωλειών (M3)	1.77E6
Ενεργός Όγκος (M3)	3.84E6
Όγκος άμεσης απορροής (M3)	3.84E6
Όγκος βασικής απορροής (M3)	6.23E5

Βροχόπτωση και Απορροή



Υπολεκάνη: EL0514FR4016

Έκταση (KM2) : 25.77

Κατάντη : J12

Μέθοδος Απωλειών: SCS

Ποσοστό αδιαπέρατης επιφάνειας	0
Αριθμός Καμπύλης Απορροής-CN	80.21
Αρχικές Απώλειες	12.54

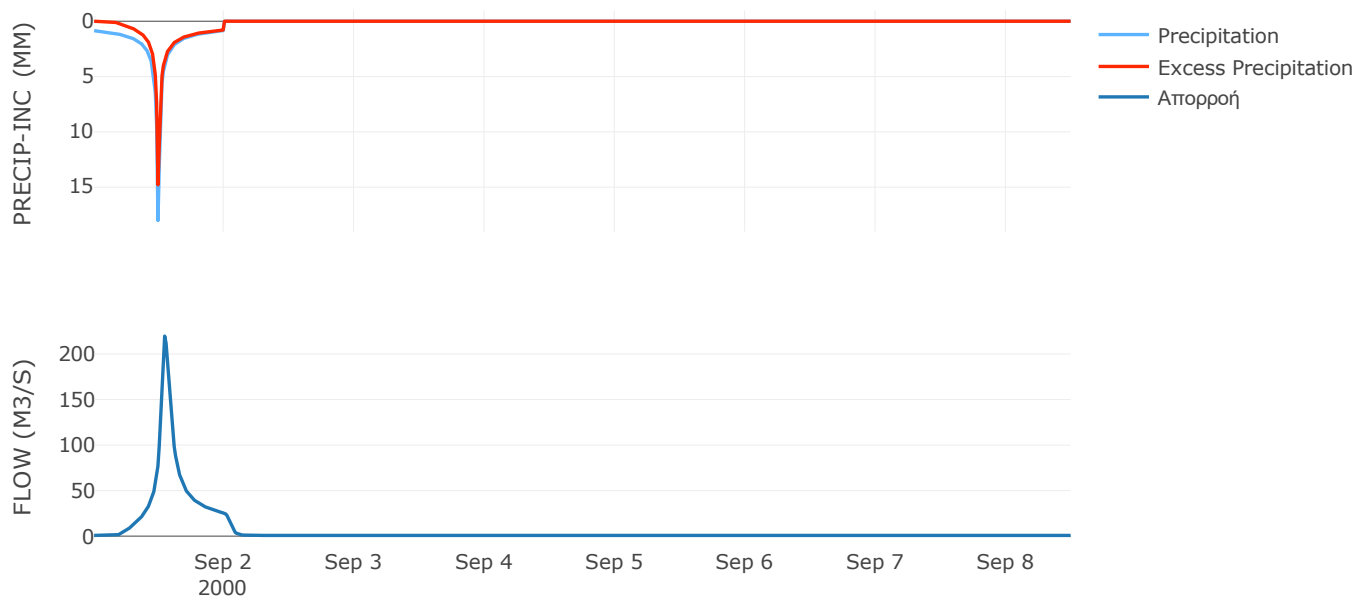
Μέθοδος
Μετασχηματισμού: SCS

Χρόνος Υστέρησης	58.54
------------------	-------

Αποτελέσματα:
EL0514FR4016

Παροχή αιχμής (M3/S)	219.67
Χρονική στιγμή αιχμής	01Sep2000, 13:00
Όγκος (MM)	163.95
Όγκος βροχόπτωσης (M3)	5.26E6
Όγκος απωλειών (M3)	1.54E6
Ενεργός Όγκος (M3)	3.72E6
Όγκος άμεσης απορροής (M3)	3.72E6
Όγκος βασικής απορροής (M3)	5.01E5

Βροχόπτωση και Απορροή



Υπολεκάνη: EL0514FR4017

Έκταση (KM2) : 10.84

Κατάντη : J12

Μέθοδος Απωλειών: SCS

Ποσοστό αδιαπέρατης επιφάνειας	0
Αριθμός Καμπύλης Απορροής-CN	80.44
Αρχικές Απώλειες	12.36

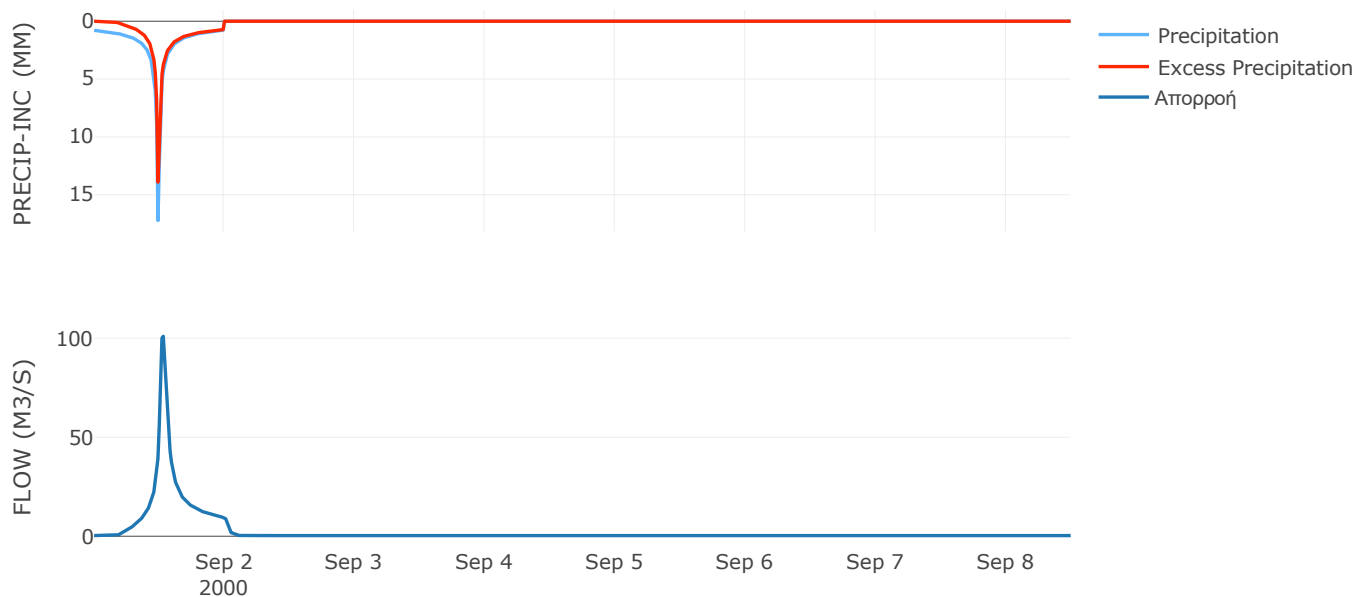
Μέθοδος
Μετασχηματισμού: SCS

Χρόνος Υστέρησης	37.3
------------------	------

Αποτελέσματα:
EL0514FR4017

Παροχή αιχμής (M3/S)	100.97
Χρονική στιγμή αιχμής	01Sep2000, 12:45
Όγκος (MM)	152.11
Όγκος βροχόπτωσης (M3)	2.07E6
Όγκος απωλειών (M3)	6.31E5
Ενεργός Όγκος (M3)	1.44E6
Όγκος άμεσης απορροής (M3)	1.44E6
Όγκος βασικής απορροής (M3)	2.11E5

Βροχόπτωση και Απορροή



5.2 Δεδομένα και υδρογραφήματα σχεδιασμού Κλάδων υδρογραφικού δικτύου

Κλάδος: R21

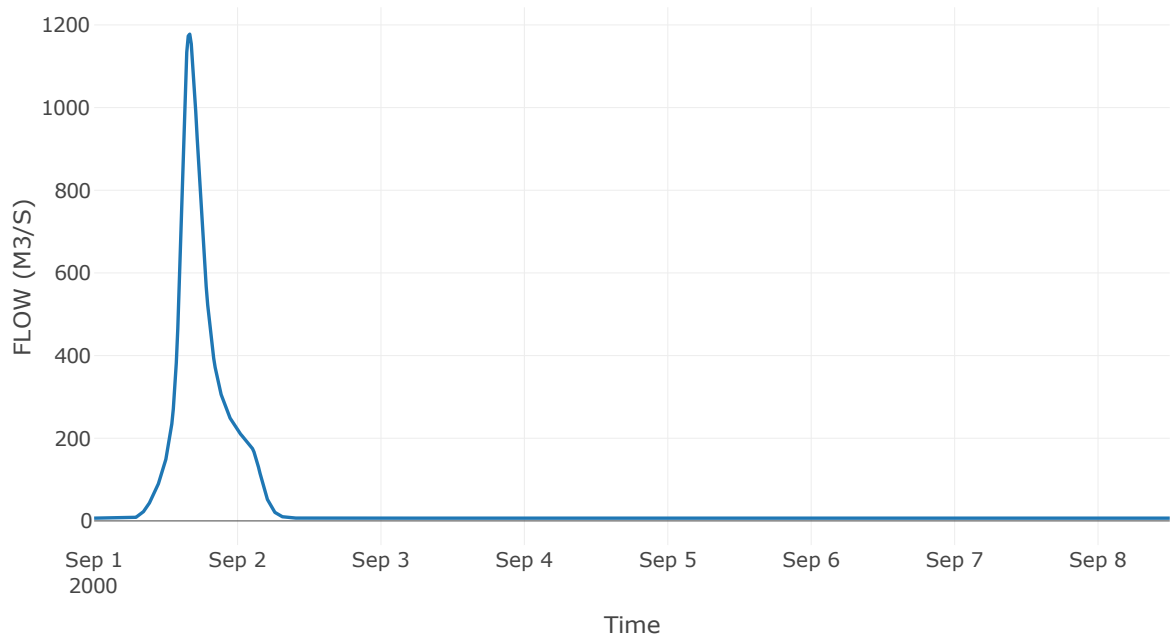
Κατάντη : J1

Μέθοδος Διόδευσης	Muskingum
Αρχική Μεταβλητή	Combined Inflow
Χρόνος Ροής K	0.69
Συντελεστής βάρους x	0.2
Πλήθος Υποκλάδων	3

Αποτελέσματα: R21

Παροχή Αιχμής(M3/S)	1177.75
Χρονική στιγμή αιχμής	01Sep2000, 16:00
Όγκος(MM)	140.09
Παροχή Αιχμής Εισόδου (M3/S)	1204.82
Όγκος Εισροής(M3)	3.12E7

Απορροή



Κλάδος: R32

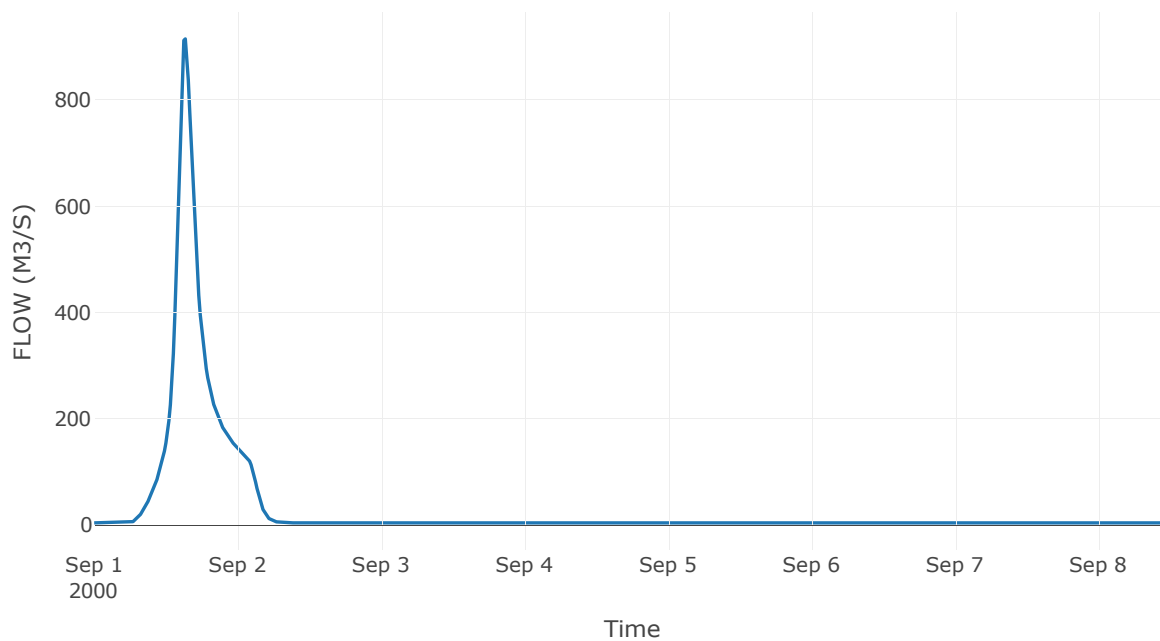
Κατάντη : J2

Μέθοδος Διόδευσης	Χρόνος
Αρχική Μεταβλητή	Combined Inflow
Χρόνος Υστέρησης	4.67

Αποτελέσματα: R32

Παροχή Αιχμής(M3/S)	914.91
Χρονική στιγμή αιχμής	01Sep2000, 15:15
Όγκος(MM)	148.13
Παροχή Αιχμής Εισόδου (M3/S)	919.97
Όγκος Εισροής(M3)	2.2E7

Απορροή



Κλάδος: R43

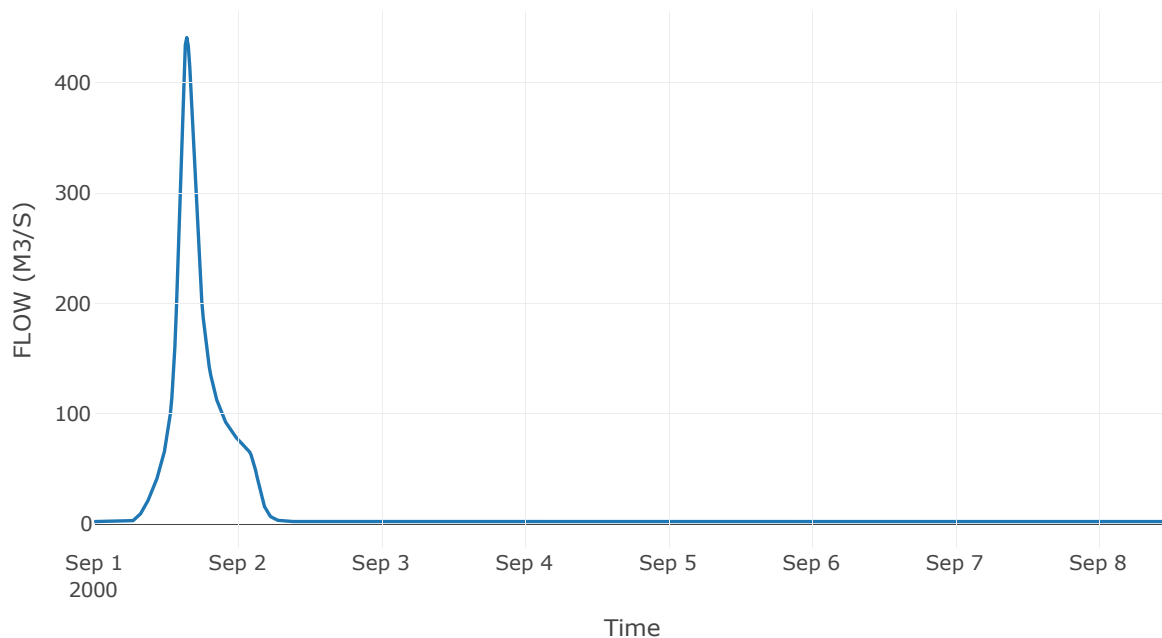
Κατάντη : J3

Μέθοδος Διόδευσης	Muskingum
Αρχική Μεταβλητή	Combined Inflow
Χρόνος Ροής K	1.26
Συντελεστής βάρους x	0.2
Πλήθος Υποκλάδων	5

Αποτελέσματα: R43

Παροχή Αιχμής(M3/S)	441.05
Χρονική στιγμή αιχμής	01Sep2000, 15:30
Όγκος(MM)	147.94
Παροχή Αιχμής Εισόδου (M3/S)	466.48
Όγκος Εισροής(M3)	1.11E7

Απορροή



Κλάδος: R54

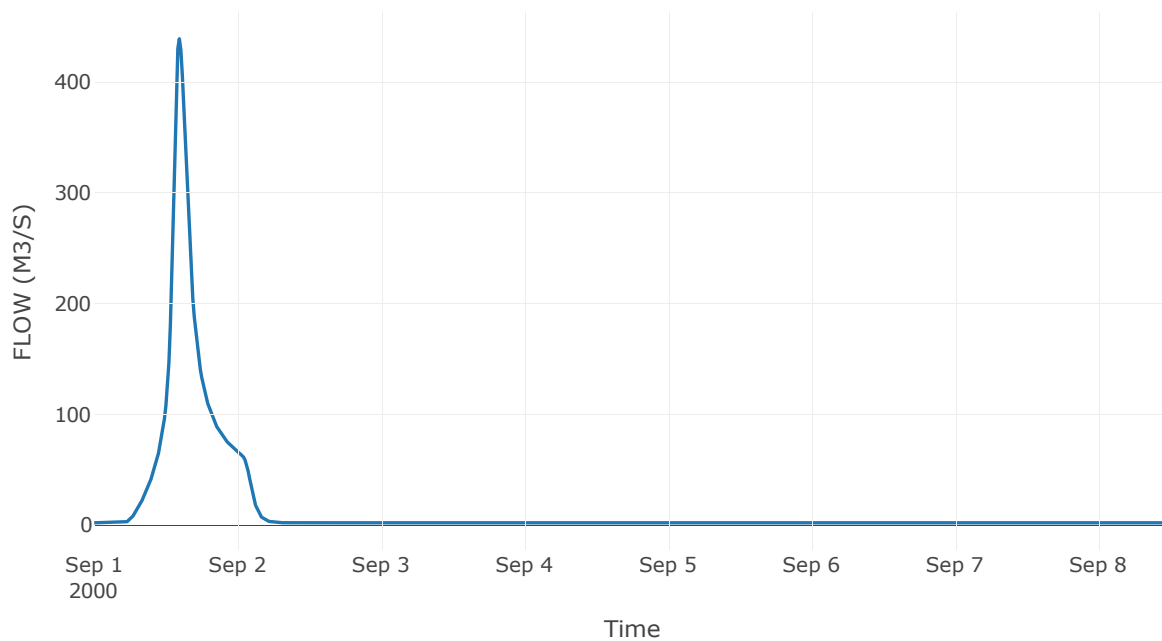
Κατάντη : J4

Μέθοδος Διόδευσης	Χρόνος
Αρχική Μεταβλητή	Combined Inflow
Χρόνος Υστέρησης	34.19

Αποτελέσματα: R54

Παροχή Αιχμής(M3/S)	439.01
Χρονική στιγμή αιχμής	01Sep2000, 14:15
Όγκος(MM)	149.48
Παροχή Αιχμής Εισόδου (M3/S)	439.68
Όγκος Εισροής(M3)	1.02E7

Απορροή



Κλάδος: R65

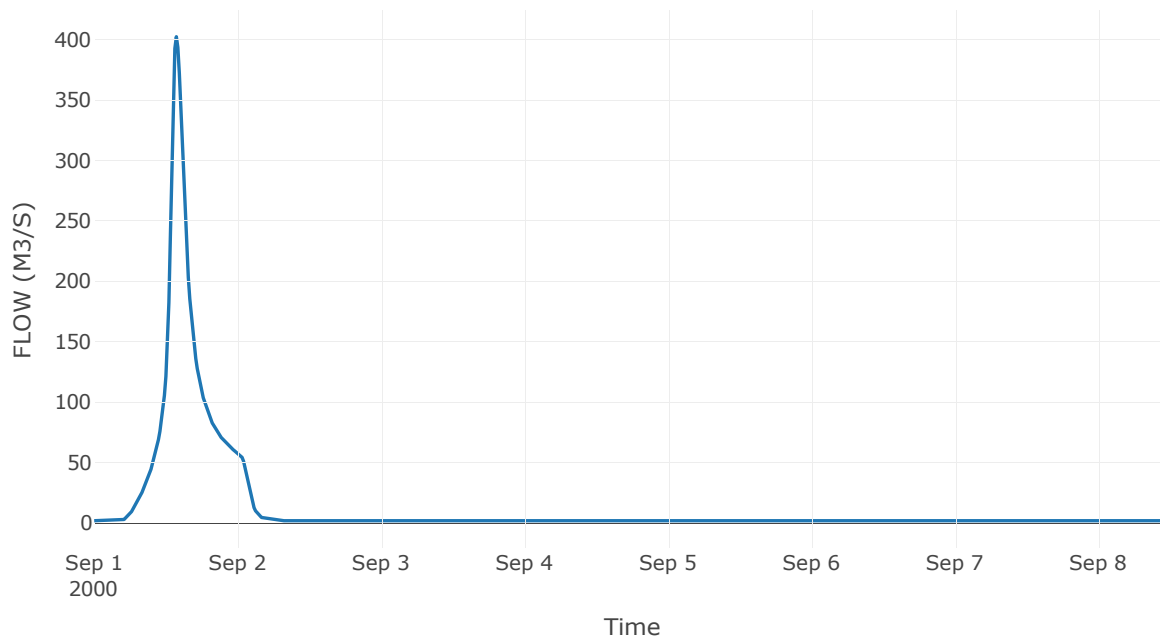
Κατάντη : J5

Μέθοδος Διόδευσης	Χρόνος
Αρχική Μεταβλητή	Combined Inflow
Χρόνος Υστέρησης	28.76

Αποτελέσματα: R65

Παροχή Αιχμής(M3/S)	402.21
Χρονική στιγμή αιχμής	01Sep2000, 13:45
Όγκος(MM)	152.56
Παροχή Αιχμής Εισόδου (M3/S)	403.15
Όγκος Εισροής(M3)	9.15E6

Απορροή



Κλάδος: R72

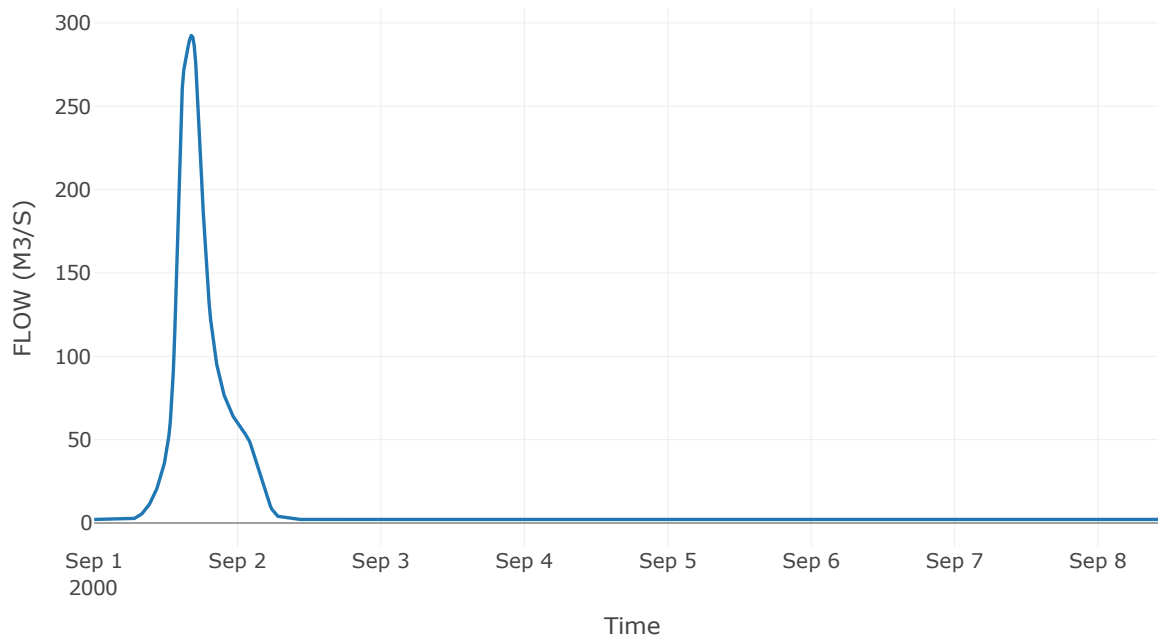
Κατάντη : J2

Μέθοδος Διόδευσης	Muskingum
Αρχική Μεταβλητή	Combined Inflow
Χρόνος Ροής K	1.12
Συντελεστής βάρους x	0.2
Πλήθος Υποκλάδων	5

Αποτελέσματα: R72

Παροχή Αιχμής(M3/S)	292.49
Χρονική στιγμή αιχμής	01Sep2000, 16:15
Όγκος(MM)	124.73
Παροχή Αιχμής Εισόδου (M3/S)	297.44
Όγκος Εισροής(M3)	8.83E6

Απορροή



Κλάδος: R87

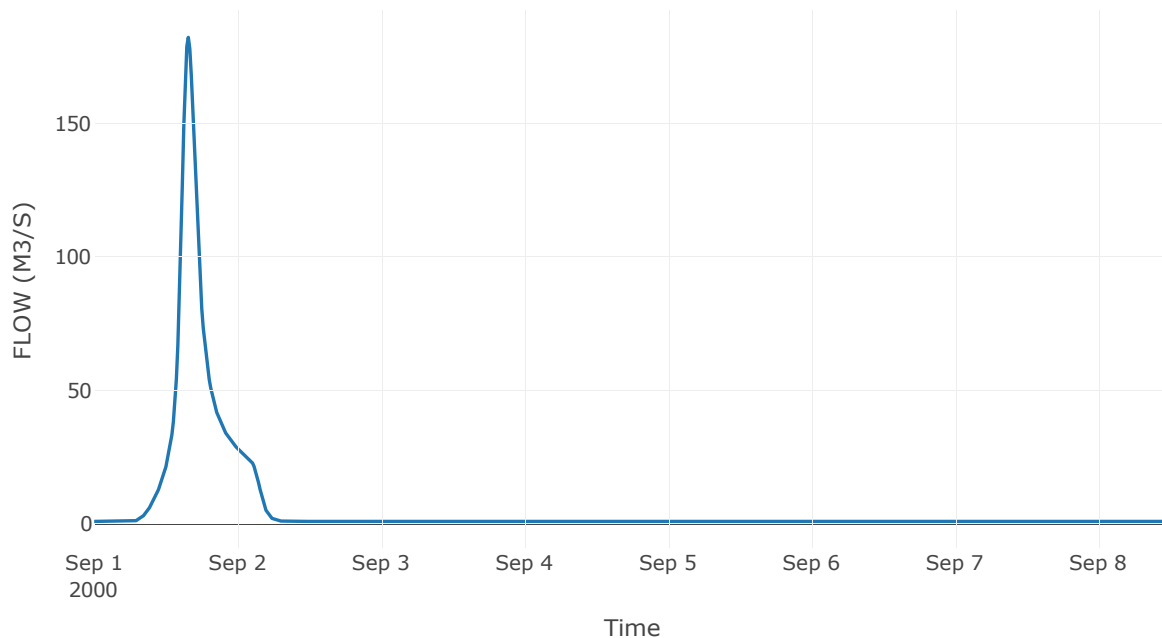
Κατάντη : J7

Μέθοδος Διόδευσης	Muskingum
Αρχική Μεταβλητή	Combined Inflow
Χρόνος Ροής K	2.02
Συντελεστής βάρους x	0.2
Πλήθος Υποκλάδων	9

Αποτελέσματα: R87

Παροχή Αιχμής(M3/S)	182.14
Χρονική στιγμή αιχμής	01Sep2000, 15:45
Όγκος(MM)	136.1
Παροχή Αιχμής Εισόδου (M3/S)	203.67
Όγκος Εισροής(M3)	4.14E6

Απορροή



Κλάδος: R98

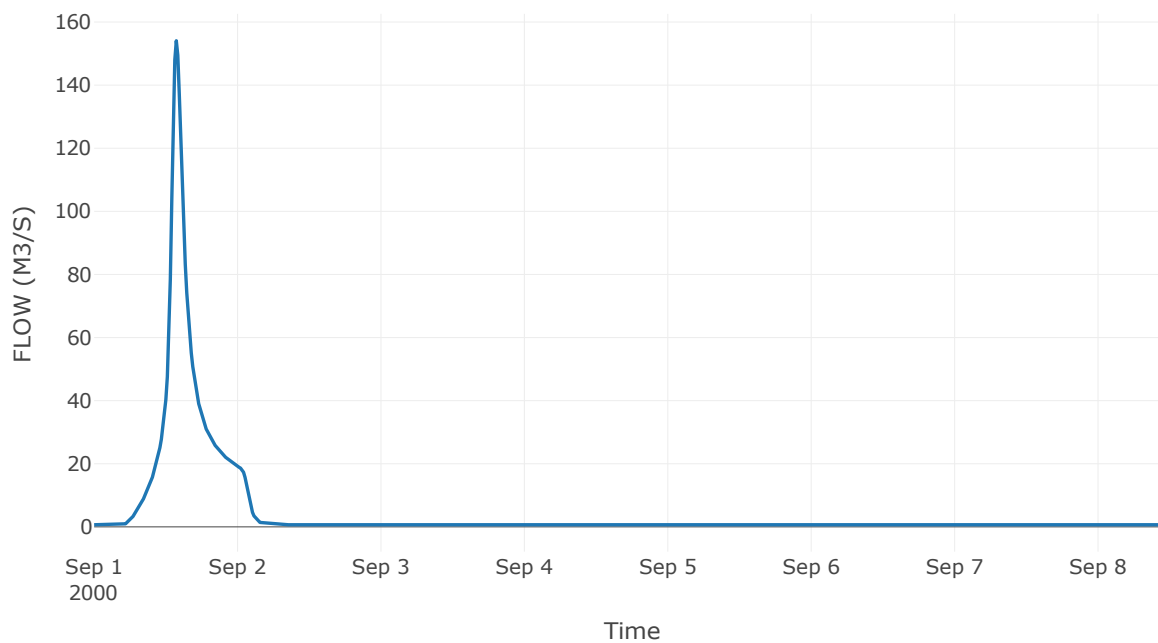
Κατάντη : J8

Μέθοδος Διόδευσης	Χρόνος
Αρχική Μεταβλητή	Combined Inflow
Χρόνος Υστέρησης	35.24

Αποτελέσματα: R98

Παροχή Αιχμής(M3/S)	154.07
Χρονική στιγμή αιχμής	01Sep2000, 13:45
Όγκος(MM)	141.77
Παροχή Αιχμής Εισόδου (M3/S)	154.72
Όγκος Εισροής(M3)	3.14E6

Απορροή



Κλάδος: R107

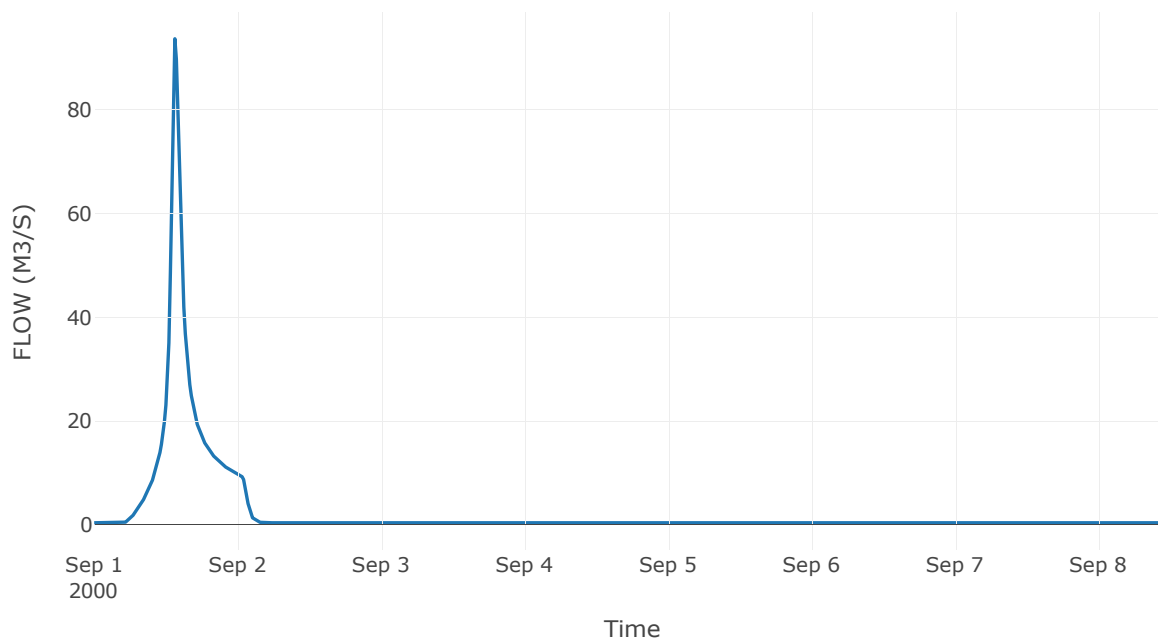
Κατάντη : J7

Μέθοδος Διόδευσης	Χρόνος
Αρχική Μεταβλητή	Combined Inflow
Χρόνος Υστέρησης	42.24

Αποτελέσματα: R107

Παροχή Αιχμής(M3/S)	93.7
Χρονική στιγμή αιχμής	01Sep2000, 13:30
Όγκος(MM)	134.38
Παροχή Αιχμής Εισόδου (M3/S)	94.16
Όγκος Εισροής(M3)	1.64E6

Απορροή



Κλάδος: R113

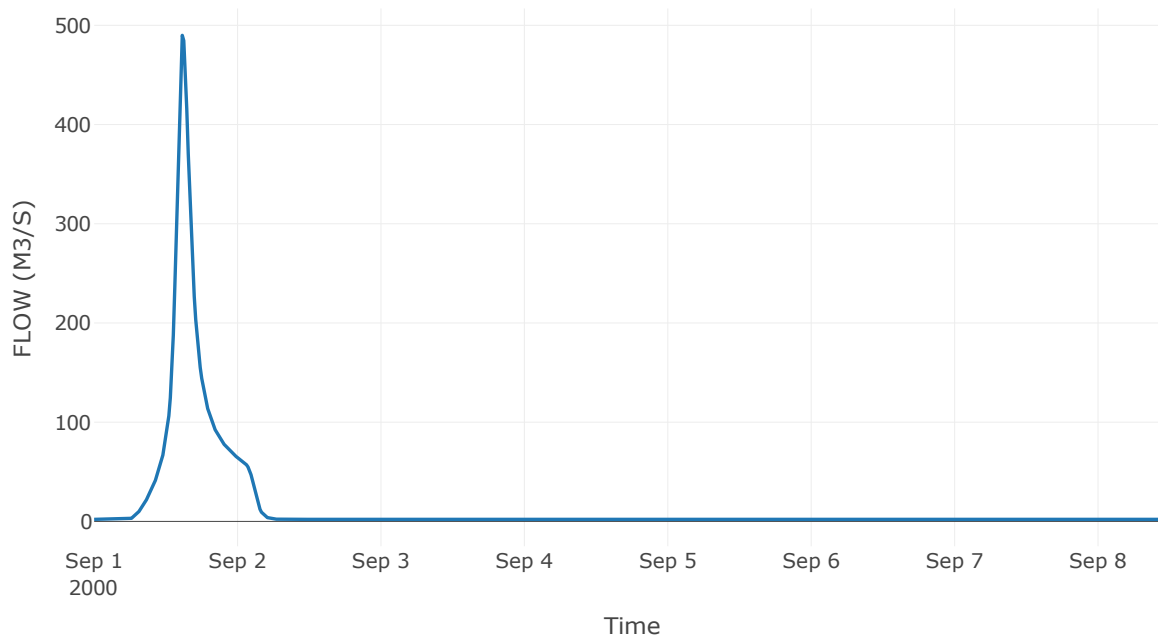
Κατάντη : J3

Μέθοδος Διόδευσης	Muskingum
Αρχική Μεταβλητή	Combined Inflow
Χρόνος Ροής K	1.13
Συντελεστής βάρους x	0.2
Πλήθος Υποκλάδων	5

Αποτελέσματα: R113

Παροχή Αιχμής(M3/S)	489.9
Χρονική στιγμή αιχμής	01Sep2000, 14:45
Όγκος(MM)	150.56
Παροχή Αιχμής Εισόδου (M3/S)	530.03
Όγκος Εισροής(M3)	1.03E7

Απορροή



Κλάδος: R1211

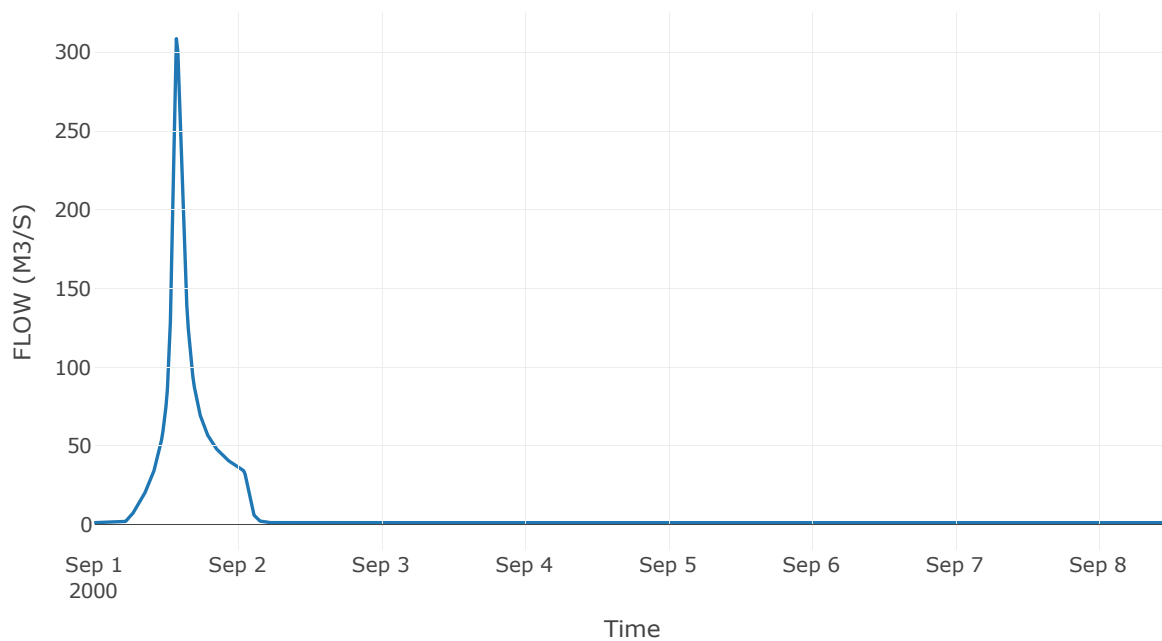
Κατάντη : J11

Μέθοδος Διόδευσης	Χρόνος
Αρχική Μεταβλητή	Combined Inflow
Χρόνος Υστέρησης	55.47

Αποτελέσματα: R1211

Παροχή Αιχμής(M3/S)	308.47
Χρονική στιγμή αιχμής	01Sep2000, 13:45
Όγκος(MM)	160.44
Παροχή Αιχμής Εισόδου (M3/S)	308.76
Όγκος Εισροής(M3)	5.87E6

Απορροή



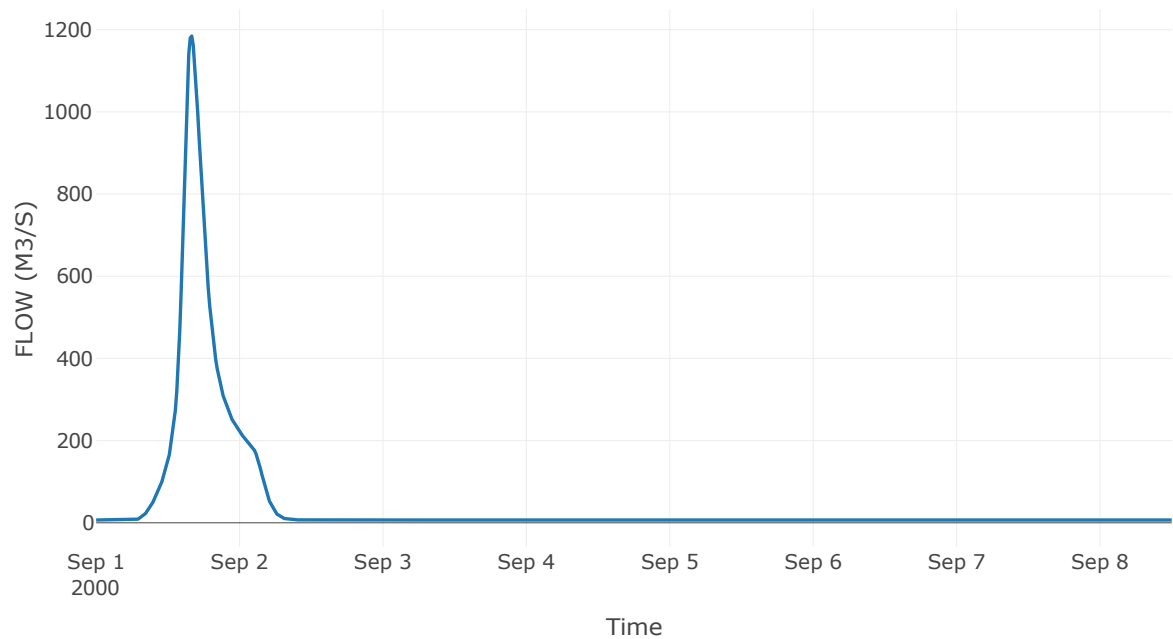
5.3 Δεδομένα και υδρογραφήματα σχεδιασμού Κόμβων υδρογραφικού δικτύου

Κόμβος: J1

Αποτέλεσμα
τα: J1

Παροχή αιχμής (M3/S)	1184.59
Χρονική στιγμή αιχμής	01Sep2000, 16:00
Όγκος (MM)	139.99

Απορροή

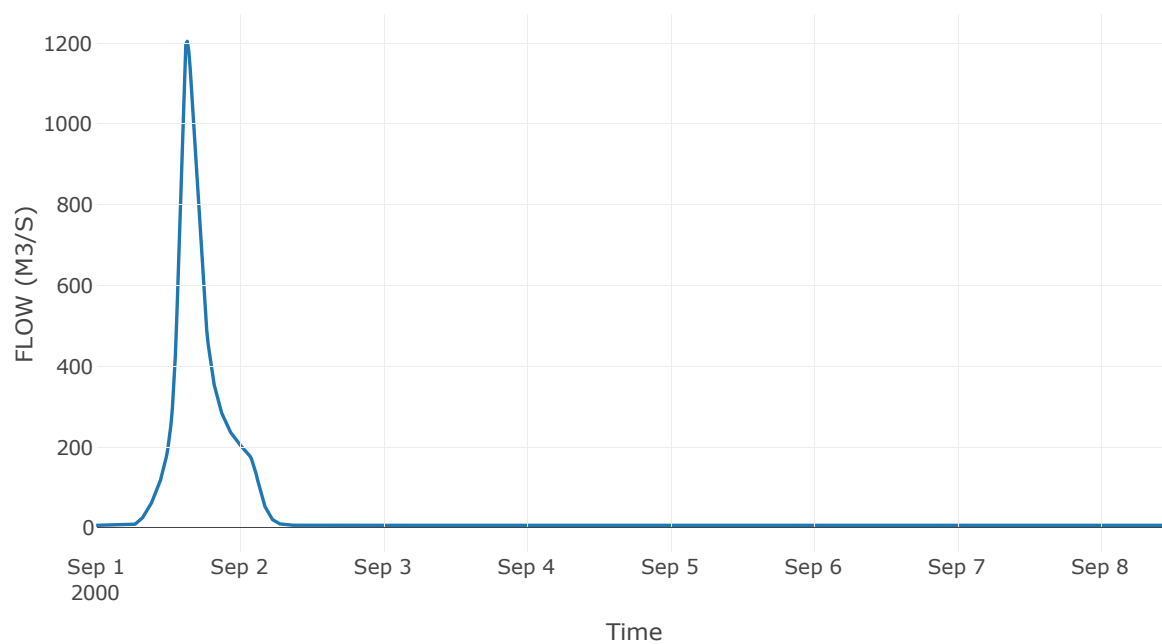


Κόμβος: J2

Αποτελέσμα
α: J2

Παροχή αιχμής (M3/S)	1204.82
Χρονική στιγμή αιχμής	01Sep2000, 15:15
Όγκος (MM)	140.09

Απορροή

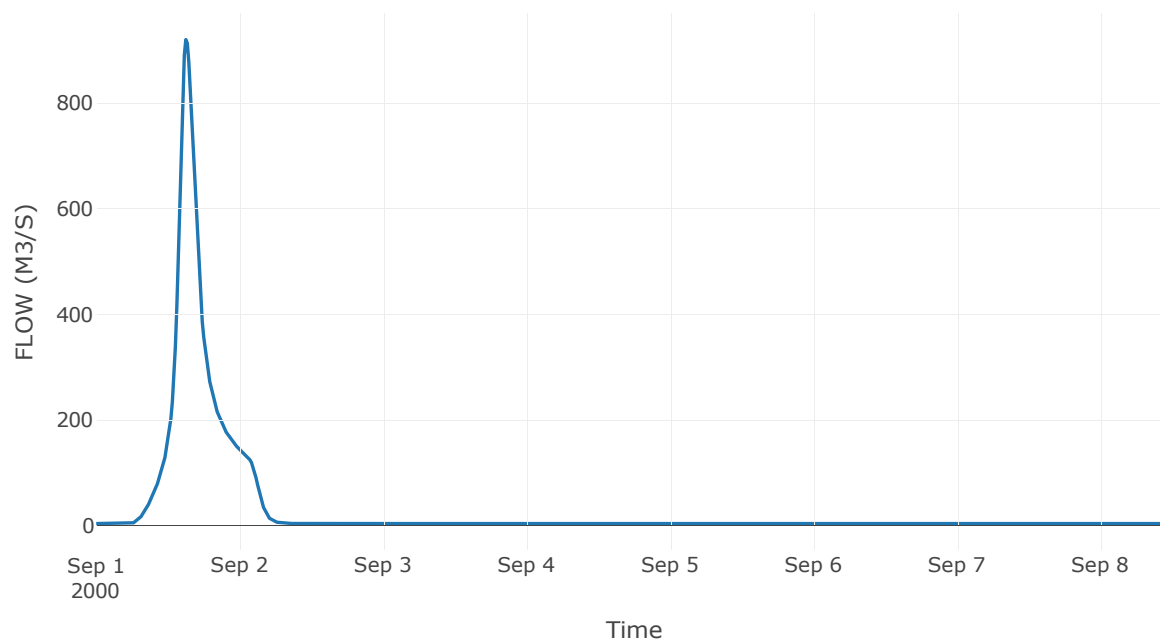


Κόμβος: J3

Αποτελέσμα
α: J3

Παροχή αιχμής (M3/S)	919.97
Χρονική στιγμή αιχμής	01Sep2000, 15:00
Όγκος (MM)	148.13

Απορροή

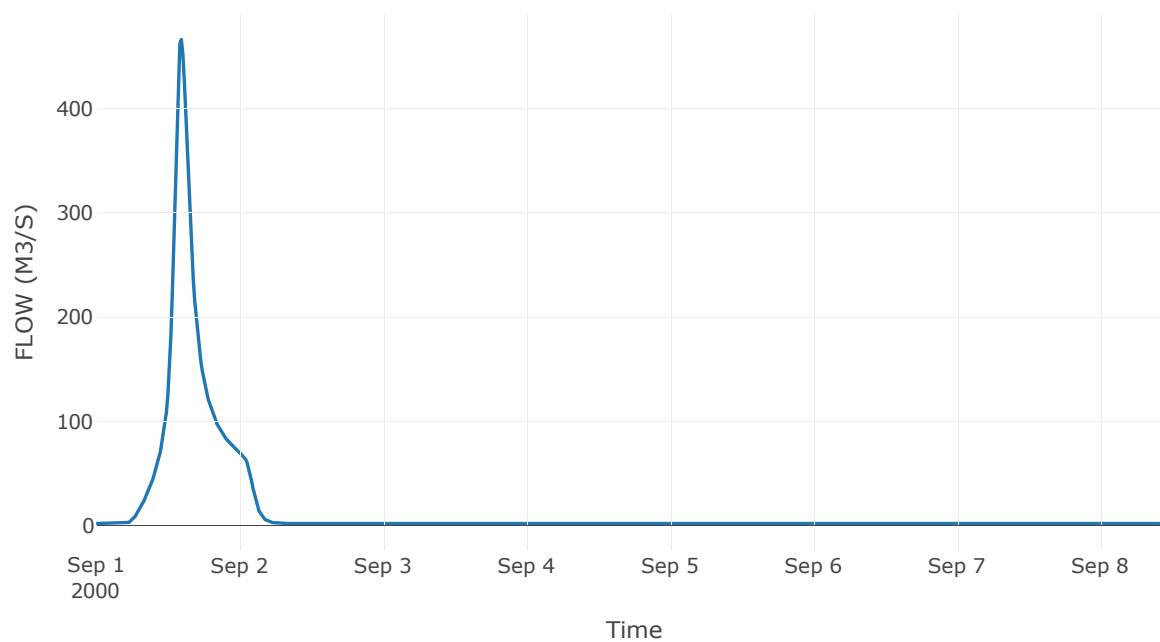


Κόμβος: J4

Αποτελέσματ
α: J4

Παροχή αιχμής (M3/S)	466.48
Χρονική στιγμή αιχμής	01Sep2000, 14:15
Όγκος (MM)	147.94

Απορροή

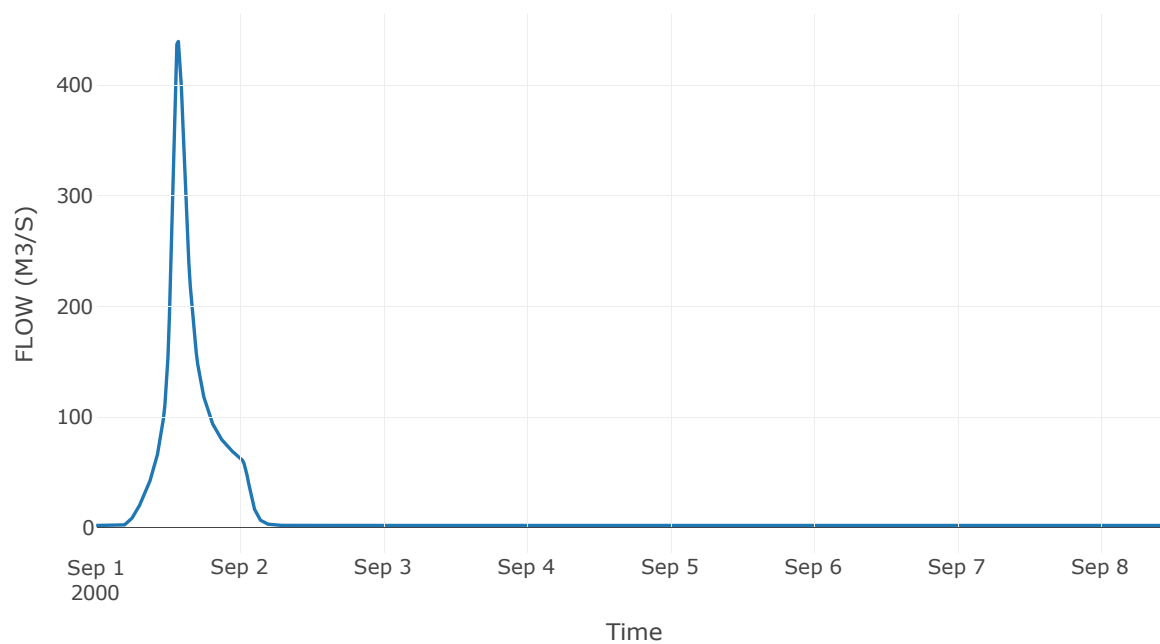


Κόμβος: J5

Αποτελέσμα
α: J5

Παροχή αιχμής (M3/S)	439.68
Χρονική στιγμή αιχμής	01Sep2000, 13:45
Όγκος (MM)	149.48

Απορροή

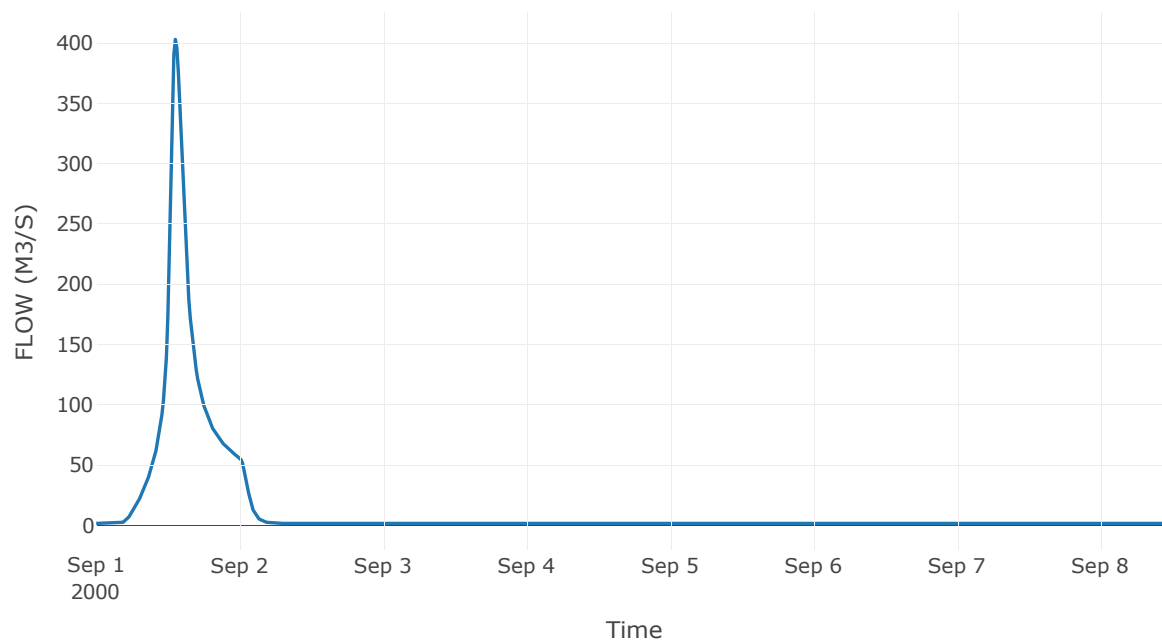


Κόμβος: J6

Αποτελέσμα
α: J6

Παροχή αιχμής (M3/S)	403.15
Χρονική στιγμή αιχμής	01Sep2000, 13:15
Όγκος (MM)	152.56

Απορροή

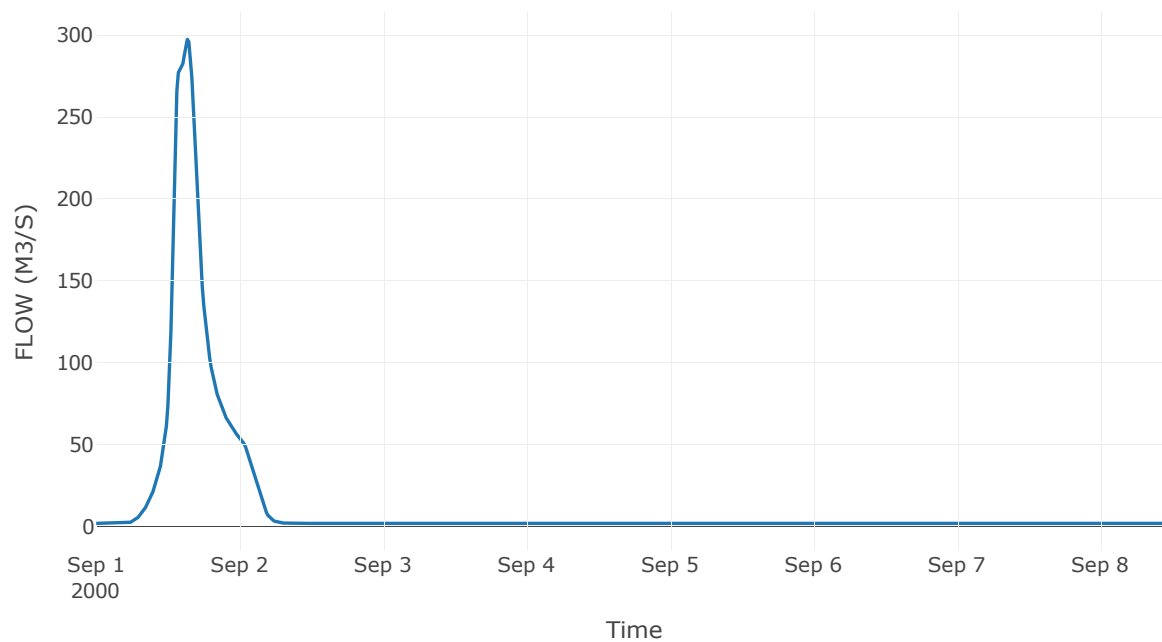


Κόμβος: J7

Αποτελέσμα
α: J7

Παροχή αιχμής (M3/S)	297.44
Χρονική στιγμή αιχμής	01Sep2000, 15:15
Όγκος (MM)	124.73

Απορροή

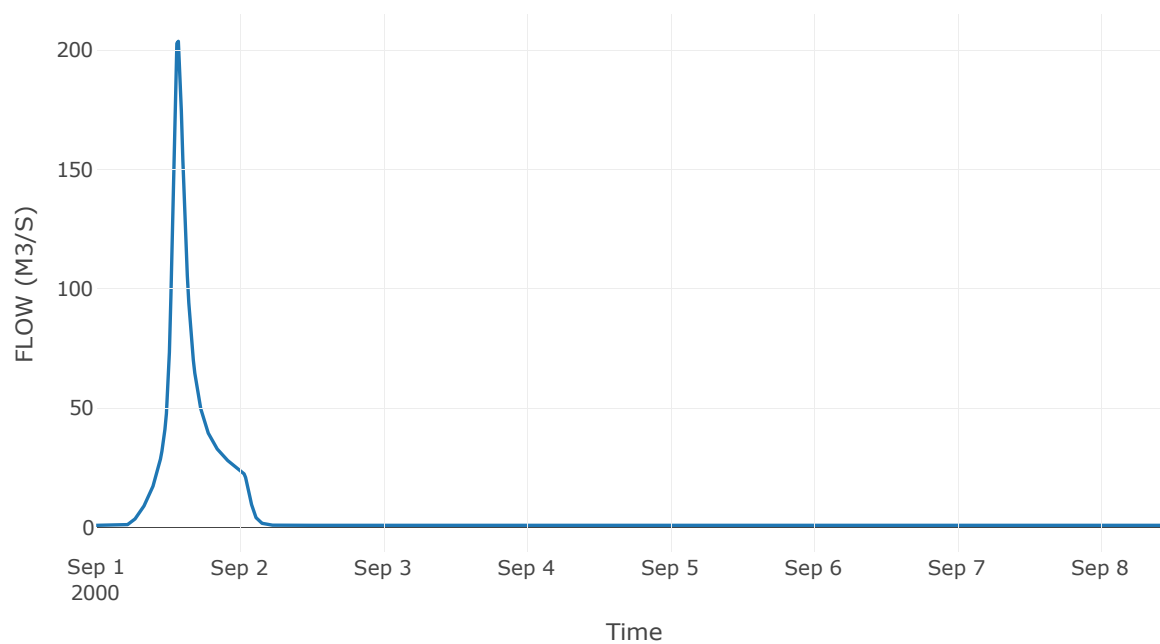


Κόμβος: J8

Αποτελέσμα
α: J8

Παροχή αιχμής (M3/S)	203.67
Χρονική στιγμή αιχμής	01Sep2000, 13:45
Όγκος (MM)	136.1

Απορροή

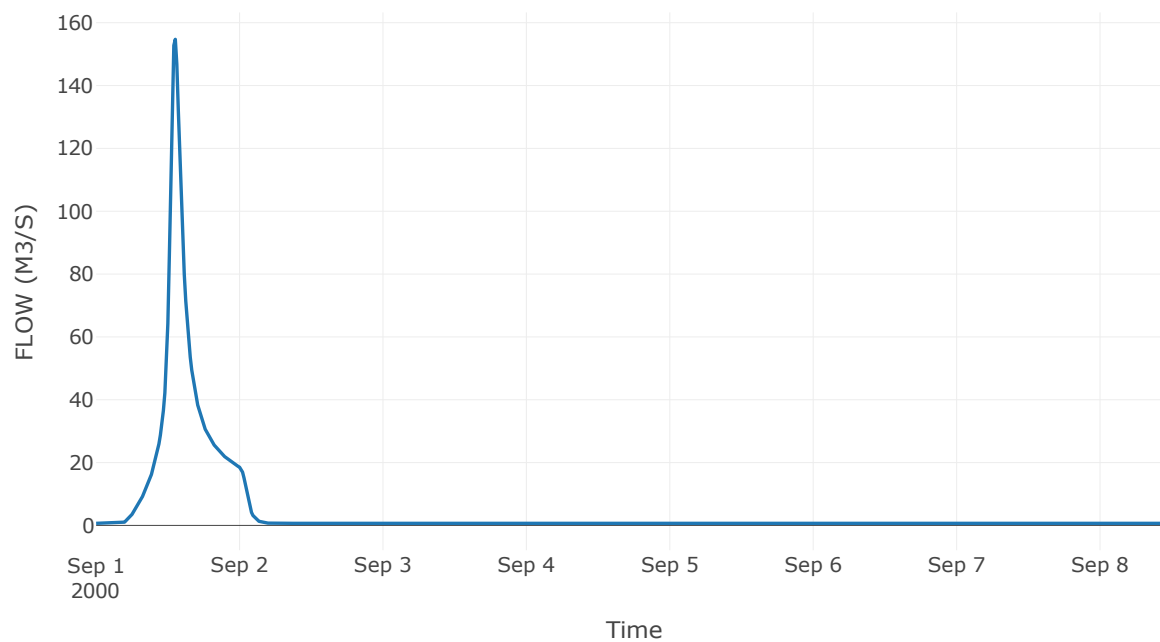


Κόμβος: J9

Αποτελέσμα
α: J9

Παροχή αιχμής (M3/S)	154.72
Χρονική στιγμή αιχμής	01Sep2000, 13:15
Όγκος (MM)	141.77

Απορροή

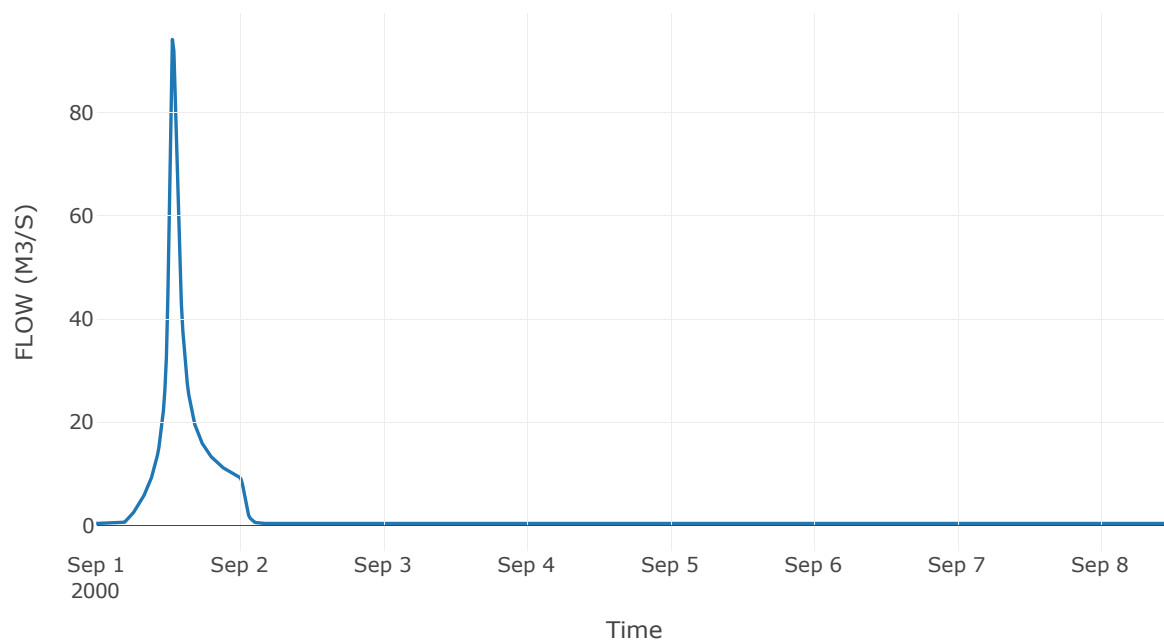


Κόμβος: J10

Αποτελέσματ
α: J10

Παροχή αιχμής (M3/S)	94.16
Χρονική στιγμή αιχμής	01Sep2000, 12:45
Όγκος (MM)	134.38

Απορροή

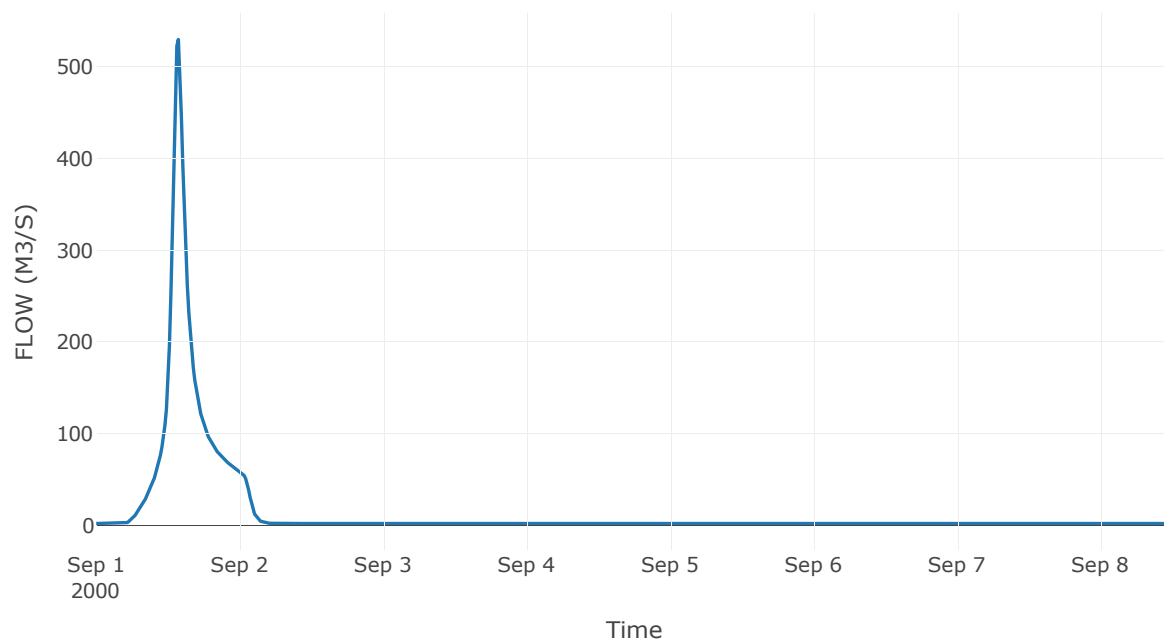


Κόμβος: J11

Αποτελέσματ
α: J11

Παροχή αιχμής (M3/S)	530.03
Χρονική στιγμή αιχμής	01Sep2000, 13:45
Όγκος (MM)	150.56

Απορροή

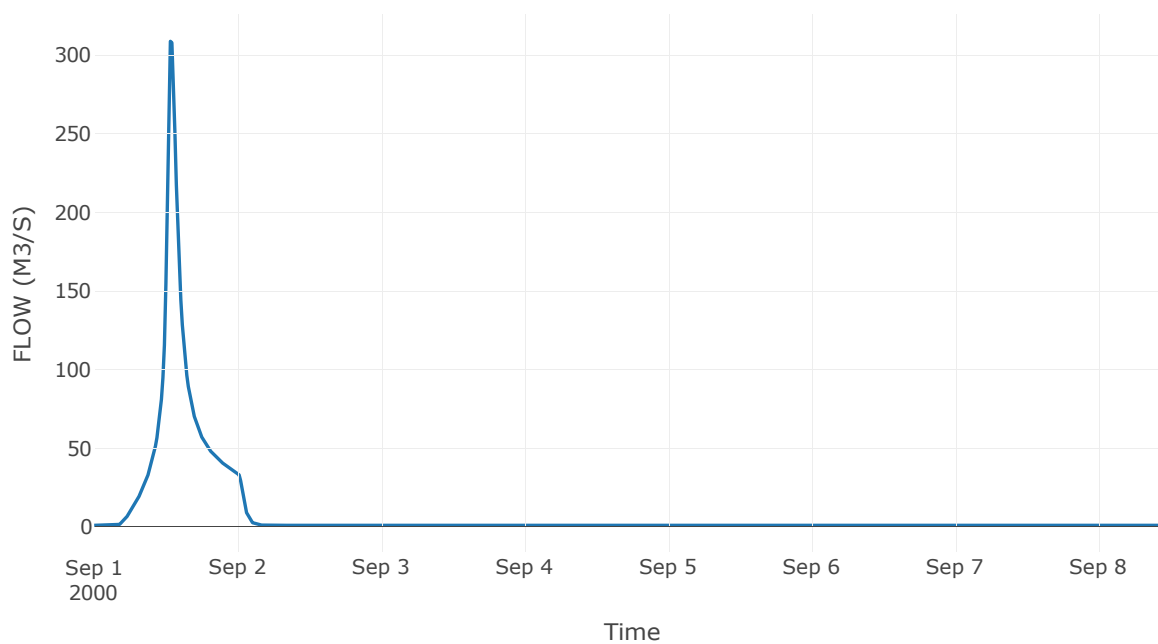


Κόμβος: J12

Αποτελέσματ
α: J12

Παροχή αιχμής (M3/S)	308.76
Χρονική στιγμή αιχμής	01Sep2000, 12:45
Όγκος (MM)	160.44

Απορροή



6 Δεδομένα εισόδου και αποτελέσματα υδρολογικού σεναρίου T=100L

6.1 Αποτελέσματα, υετογραφήματα και υδρογραφήματα σχεδιασμού υπολεκανών

Υπολεκάνη: EL0514FR4001

Έκταση (KM2) : 1.95

Κατάντη : J1

Μέθοδος Απωλειών: SCS

Ποσοστό αδιαπέρατης επιφάνειας	0
Αριθμός Καμπύλης Απορροής-CN	67.12
Αρχικές Απώλειες	24.89

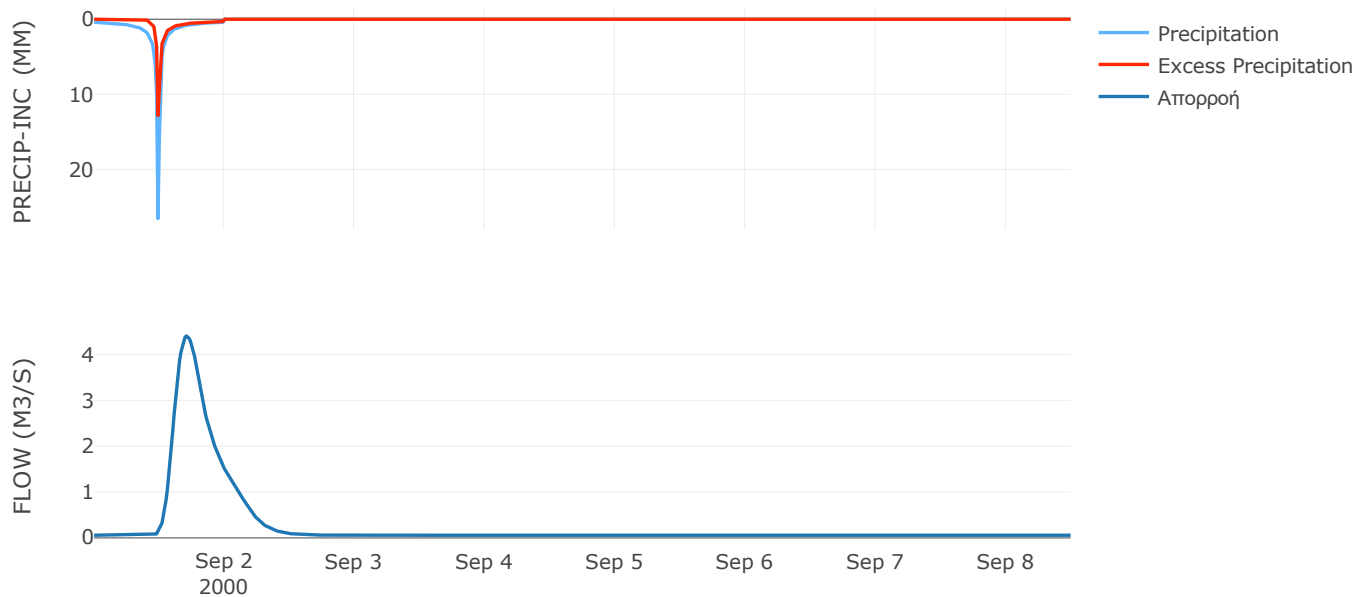
Μέθοδος
Μετασχηματισμού: SCS

Χρόνος Υστέρησης	265.93
------------------	--------

Αποτελέσματα:
EL0514FR4001

Παροχή αιχμής (M3/S)	4.4
Χρονική στιγμή αιχμής	01Sep2000, 17:00
Όγκος (MM)	88.32
Όγκος βροχόπτωσης (M3)	3.09E5
Όγκος απωλειών (M3)	1.74E5
Ενεργός Όγκος (M3)	1.34E5
Όγκος άμεσης απορροής (M3)	1.34E5
Όγκος βασικής απορροής (M3)	37946.88

Βροχόπτωση και Απορροή



Υπολεκάνη: EL0514FR4002

Έκταση (KM2) : 0.13

Κατάντη : J2

Μέθοδος Απωλειών: SCS

Ποσοστό αδιαπέρατης επιφάνειας	0
Αριθμός Καμπύλης Απορροής-CN	63.07
Αρχικές Απώλειες	29.74

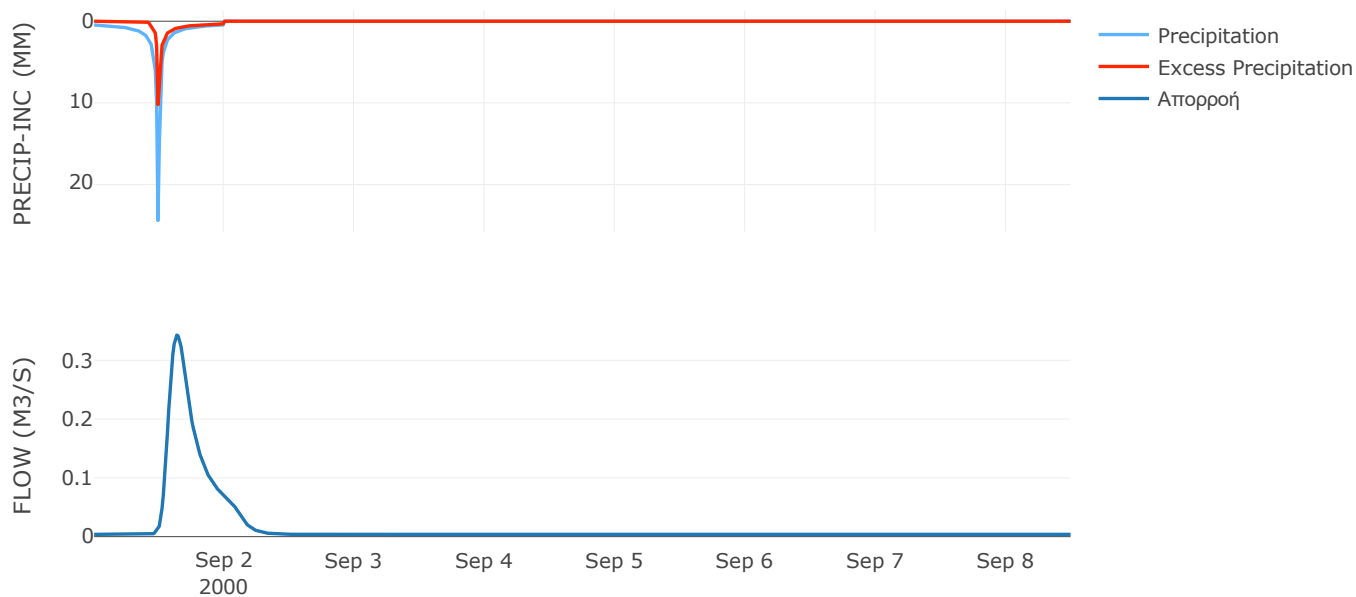
Μέθοδος
Μετασχηματισμού: SCS

Χρόνος Υστέρησης	169.39
------------------	--------

Αποτελέσματα:
EL0514FR4002

Παροχή αιχμής (M3/S)	0.34
Χρονική στιγμή αιχμής	01Sep2000, 15:15
Όγκος (MM)	81.93
Όγκος βροχόπτωσης (M3)	20940.56
Όγκος απωλειών (M3)	12879.04
Ενεργός Όγκος (M3)	8061.51
Όγκος άμεσης απορροής (M3)	8061.51
Όγκος βασικής απορροής (M3)	2507.76

Βροχόπτωση και Απορροή



Υπολεκάνη: EL0514FR4003

Έκταση (KM2) : 3.14

Κατάντη : J2

Μέθοδος Απωλειών: SCS

Ποσοστό αδιαπέρατης επιφάνειας	0
Αριθμός Καμπύλης Απορροής-CN	54.13
Αρχικές Απώλειες	43.05

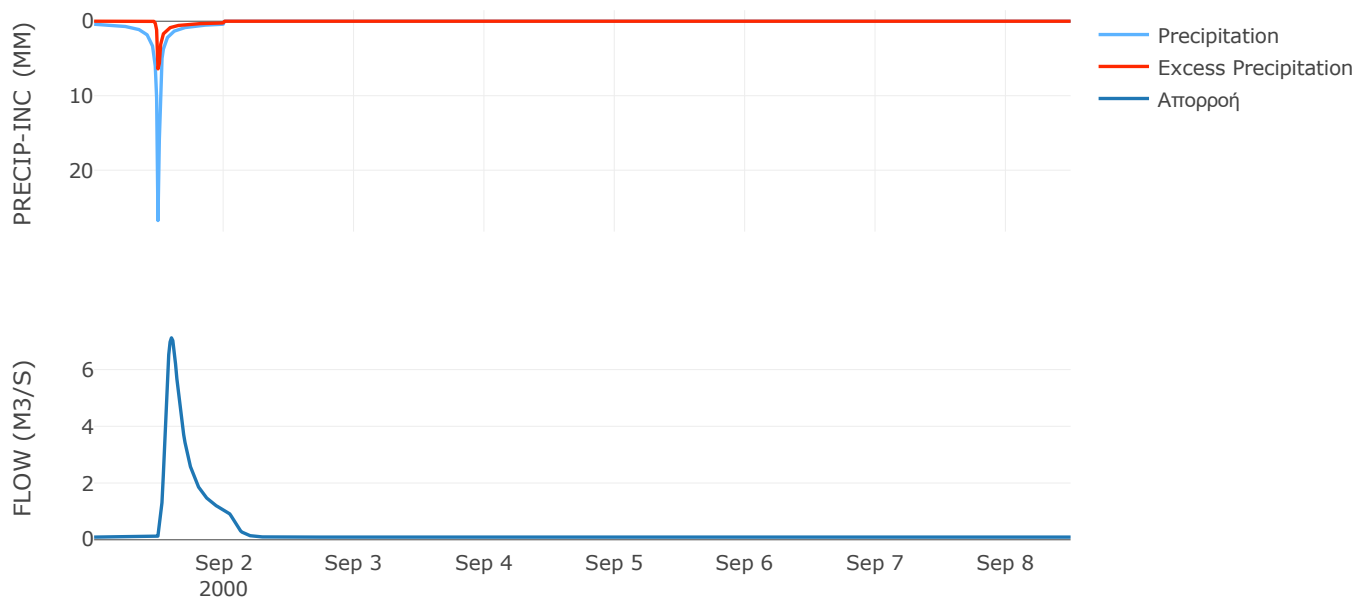
Μέθοδος
Μετασχηματισμού: SCS

Χρόνος Υστέρησης	109.71
------------------	--------

Αποτελέσματα:
EL0514FR4003

Παροχή αιχμής (M3/S)	7.12
Χρονική στιγμή αιχμής	01Sep2000, 14:15
Όγκος (MM)	60.56
Όγκος βροχόπτωσης (M3)	5.02E5
Όγκος απωλειών (M3)	3.73E5
Ενεργός Όγκος (M3)	1.29E5
Όγκος άμεσης απορροής (M3)	1.29E5
Όγκος βασικής απορροής (M3)	61022.16

Βροχόπτωση και Απορροή



Υπολεκάνη: EL0514FR4004

Έκταση (KM2) : 3.81

Κατάντη : J3

Μέθοδος Απωλειών: SCS

Ποσοστό αδιαπέρατης επιφάνειας	0
Αριθμός Καμπύλης Απορροής-CN	59.72
Αρχικές Απώλειες	34.27

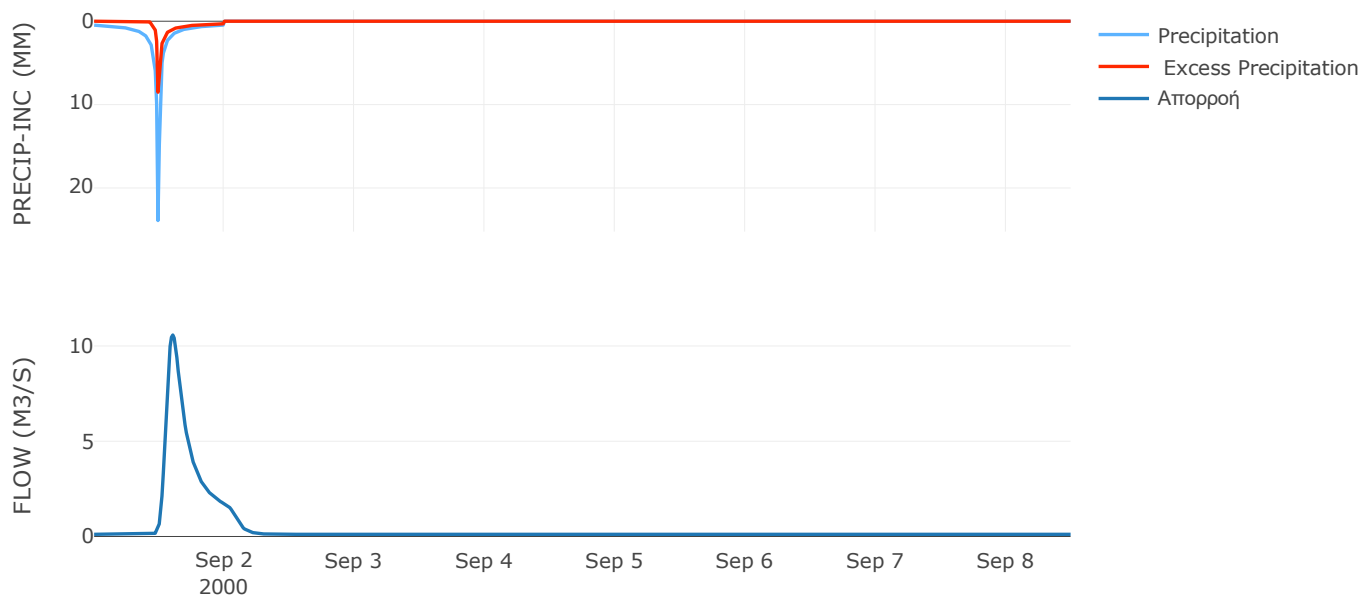
Μέθοδος
Μετασχηματισμού: SCS

Χρόνος Υστέρησης	124.88
------------------	--------

Αποτελέσματα:
EL0514FR4004

Παροχή αιχμής (M3/S)	10.57
Χρονική στιγμή αιχμής	01Sep2000, 14:30
Όγκος (MM)	74.6
Όγκος βροχόπτωσης (M3)	6.21E5
Όγκος απωλειών (M3)	4.11E5
Ενεργός Όγκος (M3)	2.1E5
Όγκος άμεσης απορροής (M3)	2.1E5
Όγκος βασικής απορροής (M3)	74124.72

Βροχόπτωση και Απορροή



Υπολεκάνη: EL0514FR4005

Έκταση (KM2) : 6.29

Κατάντη : J4

Μέθοδος Απωλειών: SCS

Ποσοστό αδιαπέρατης επιφάνειας	0
Αριθμός Καμπύλης Απορροής-CN	64.22
Αρχικές Απώλειες	28.31

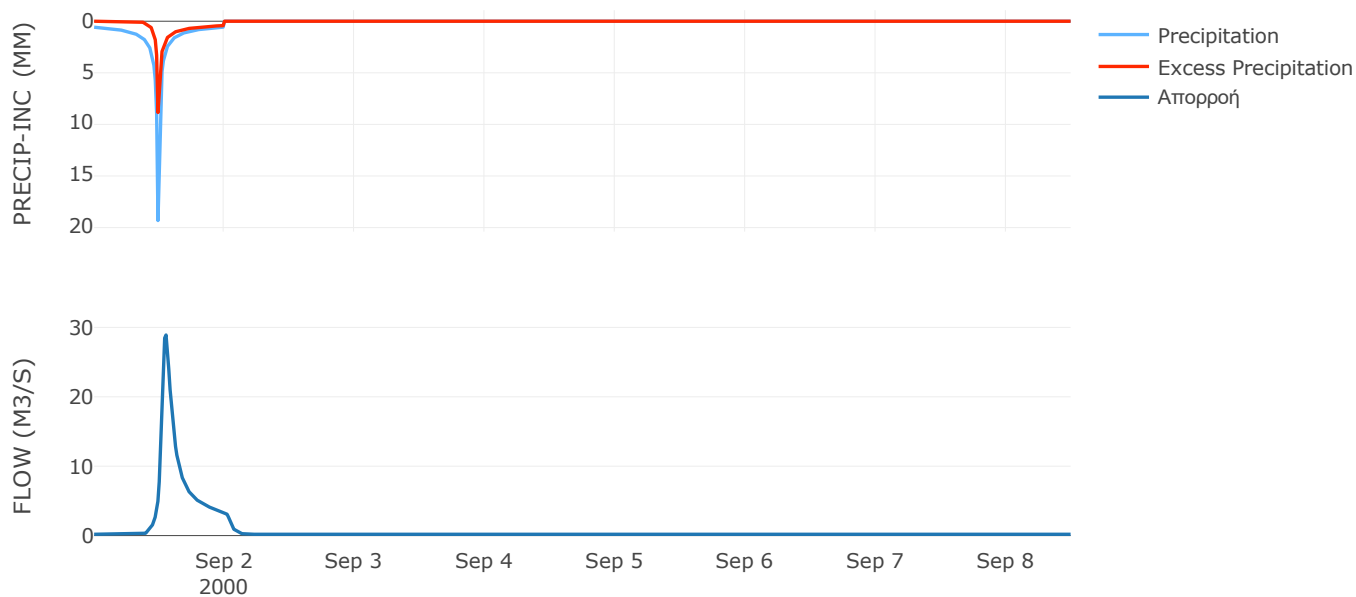
Μέθοδος
Μετασχηματισμού: SCS

Χρόνος Υστέρησης	61.51
------------------	-------

Αποτελέσματα:
EL0514FR4005

Παροχή αιχμής (M3/S)	28.91
Χρονική στιγμή αιχμής	01Sep2000, 13:15
Όγκος (MM)	87.69
Όγκος βροχόπτωσης (M3)	1.05E6
Όγκος απωλειών (M3)	6.18E5
Ενεργός Όγκος (M3)	4.29E5
Όγκος άμεσης απορροής (M3)	4.29E5
Όγκος βασικής απορροής (M3)	1.22E5

Βροχόπτωση και Απορροή



Υπολεκάνη: EL0514FR4006

Έκταση (KM2) : 8.52

Κατάντη : J5

Μέθοδος Απωλειών: SCS

Ποσοστό αδιαπέρατης επιφάνειας	0
Αριθμός Καμπύλης Απορροής-CN	63.93
Αρχικές Απώλειες	28.67

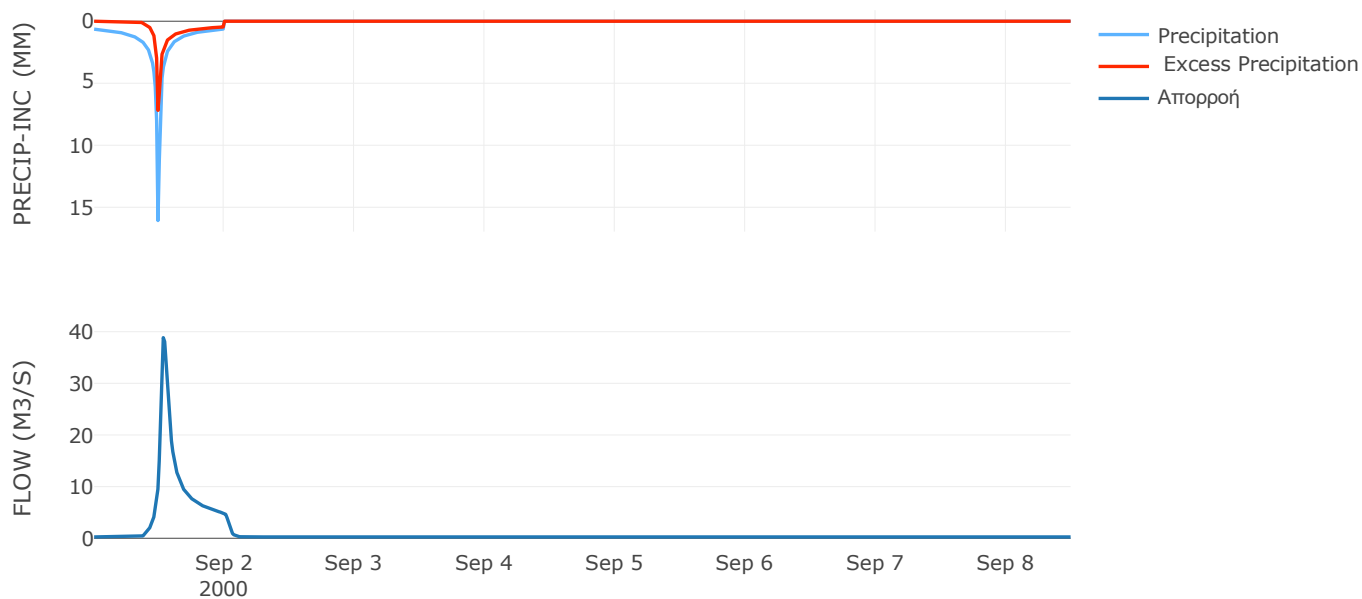
Μέθοδος
Μετασχηματισμού: SCS

Χρόνος Υστέρησης	43.87
------------------	-------

Αποτελέσματα:
EL0514FR4006

Παροχή αιχμής (M3/S)	38.84
Χρονική στιγμή αιχμής	01Sep2000, 12:45
Όγκος (MM)	84.82
Όγκος βροχόπτωσης (M3)	1.39E6
Όγκος απωλειών (M3)	8.37E5
Ενεργός Όγκος (M3)	5.57E5
Όγκος άμεσης απορροής (M3)	5.57E5
Όγκος βασικής απορροής (M3)	1.66E5

Βροχόπτωση και Απορροή



Υπολεκάνη: EL0514FR4007

Έκταση (KM2) : 45.77

Κατάντη : J6

Μέθοδος Απωλειών: SCS

Ποσοστό αδιαπέρατης επιφάνειας	0
Αριθμός Καμπύλης Απορροής-CN	63.49
Αρχικές Απώλειες	29.21

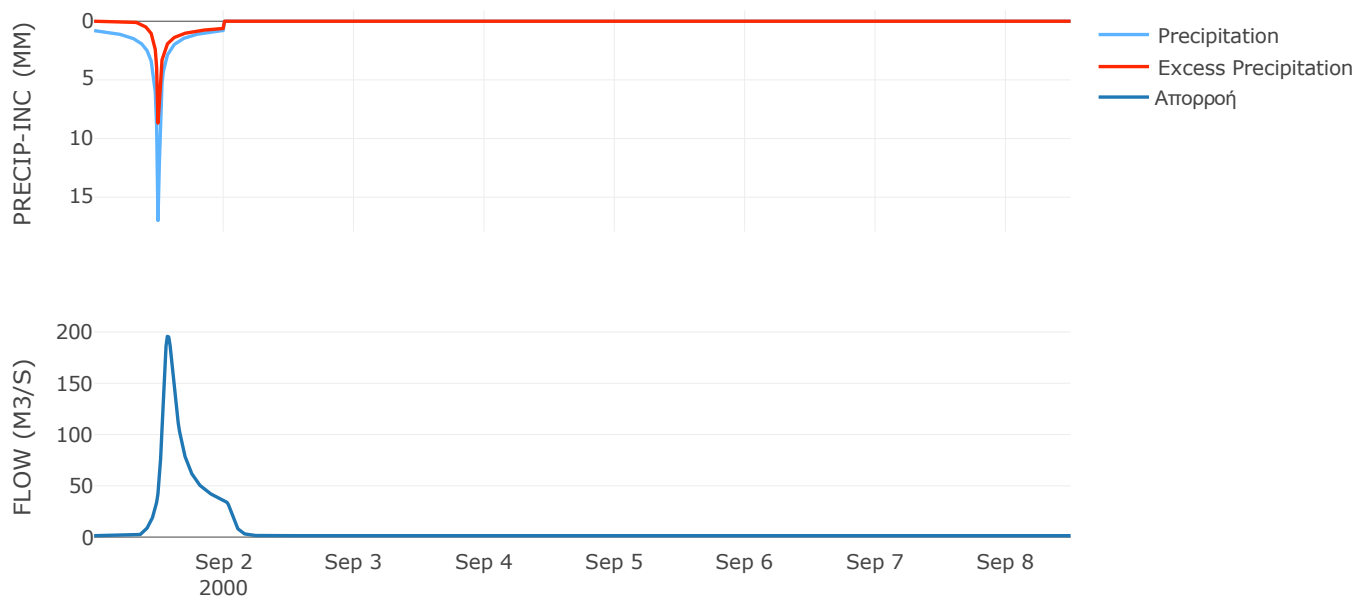
Μέθοδος
Μετασχηματισμού: SCS

Χρόνος Υστέρησης	84.06
------------------	-------

Αποτελέσματα:
EL0514FR4007

Παροχή αιχμής (M3/S)	195.67
Χρονική στιγμή αιχμής	01Sep2000, 13:30
Όγκος (MM)	105.22
Όγκος βροχόπτωσης (M3)	8.79E6
Όγκος απωλειών (M3)	4.86E6
Ενεργός Όγκος (M3)	3.93E6
Όγκος άμεσης απορροής (M3)	3.93E6
Όγκος βασικής απορροής (M3)	8.9E5

Βροχόπτωση και Απορροή



Υπολεκάνη: EL0514FR4008

Έκταση (KM2) : 14.21

Κατάντη : J6

Μέθοδος Απωλειών: SCS

Ποσοστό αδιαπέρατης επιφάνειας	0
Αριθμός Καμπύλης Απορροής-CN	64.02
Αρχικές Απώλειες	28.55

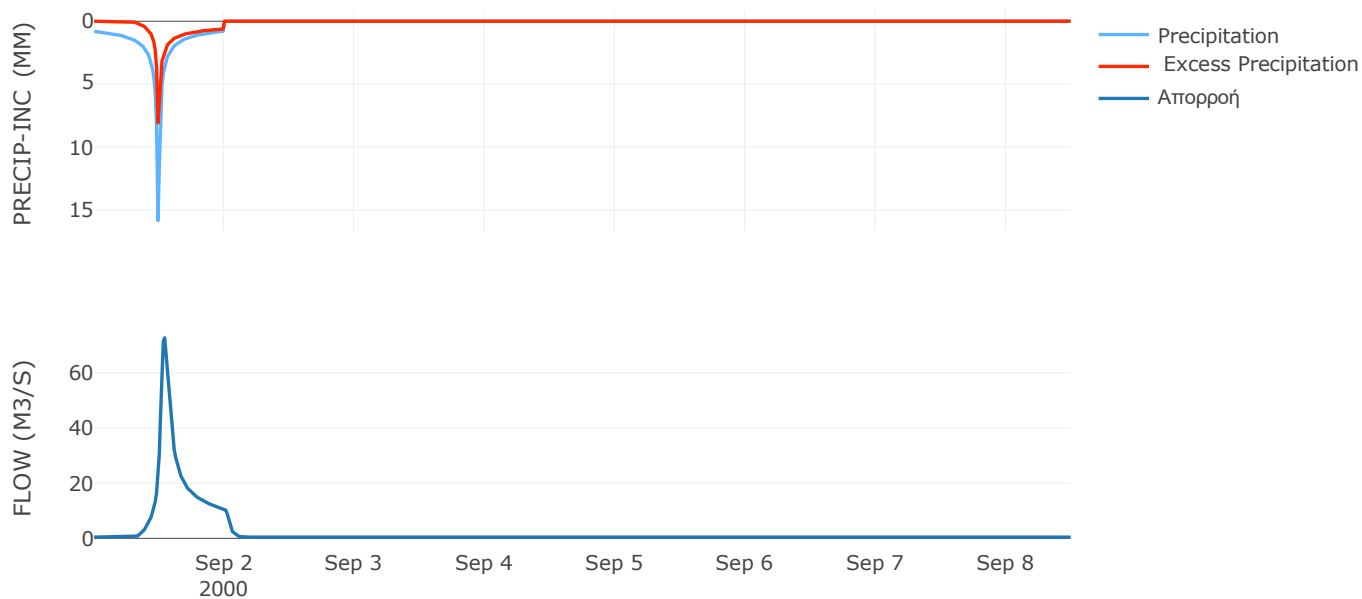
Μέθοδος
Μετασχηματισμού: SCS

Χρόνος Υστέρησης	48.67
------------------	-------

Αποτελέσματα:
EL0514FR4008

Παροχή αιχμής (M3/S)	72.65
Χρονική στιγμή αιχμής	01Sep2000, 13:00
Όγκος (MM)	102.8
Όγκος βροχόπτωσης (M3)	2.66E6
Όγκος απωλειών (M3)	1.47E6
Ενεργός Όγκος (M3)	1.18E6
Όγκος άμεσης απορροής (M3)	1.18E6
Όγκος βασικής απορροής (M3)	2.76E5

Βροχόπτωση και Απορροή



Υπολεκάνη: EL0514FR4009

Έκταση (KM2) : 12.22

Κατάντη : J10

Μέθοδος Απωλειών: SCS

Ποσοστό αδιαπέρατης επιφάνειας	0
Αριθμός Καμπύλης Απορροής-CN	64.71
Αρχικές Απώλειες	27.7

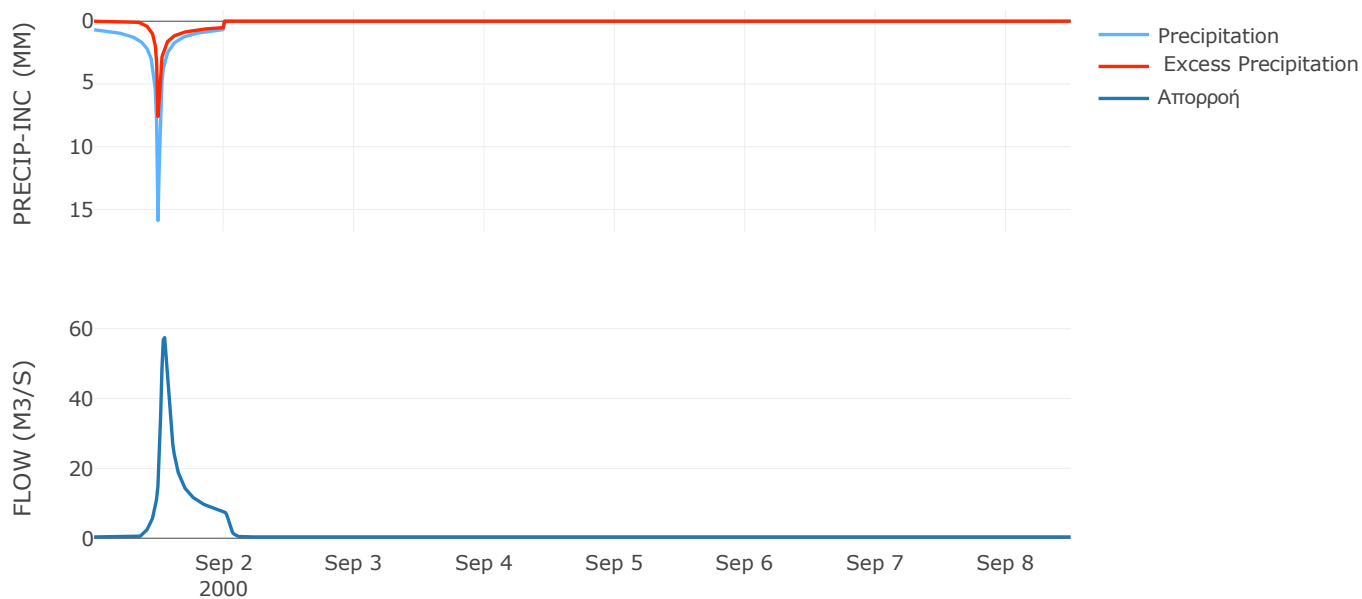
Μέθοδος
Μετασχηματισμού: SCS

Χρόνος Υστέρησης	47.51
------------------	-------

Αποτελέσματα:
EL0514FR4009

Παροχή αιχμής (M3/S)	57.44
Χρονική στιγμή αιχμής	01Sep2000, 13:00
Όγκος (MM)	90.83
Όγκος βροχόπτωσης (M3)	2.07E6
Όγκος απωλειών (M3)	1.19E6
Ενεργός Όγκος (M3)	8.73E5
Όγκος άμεσης απορροής (M3)	8.73E5
Όγκος βασικής απορροής (M3)	2.38E5

Βροχόπτωση και Απορροή



Υπολεκάνη: EL0514FR4010

Έκταση (KM2) : 13.42

Κατάνη : J7

Μέθοδος Απωλειών: SCS

Ποσοστό αδιαπέρατης επιφάνειας	0
Αριθμός Καμπύλης Απορροής-CN	65
Αρχικές Απώλειες	27.35

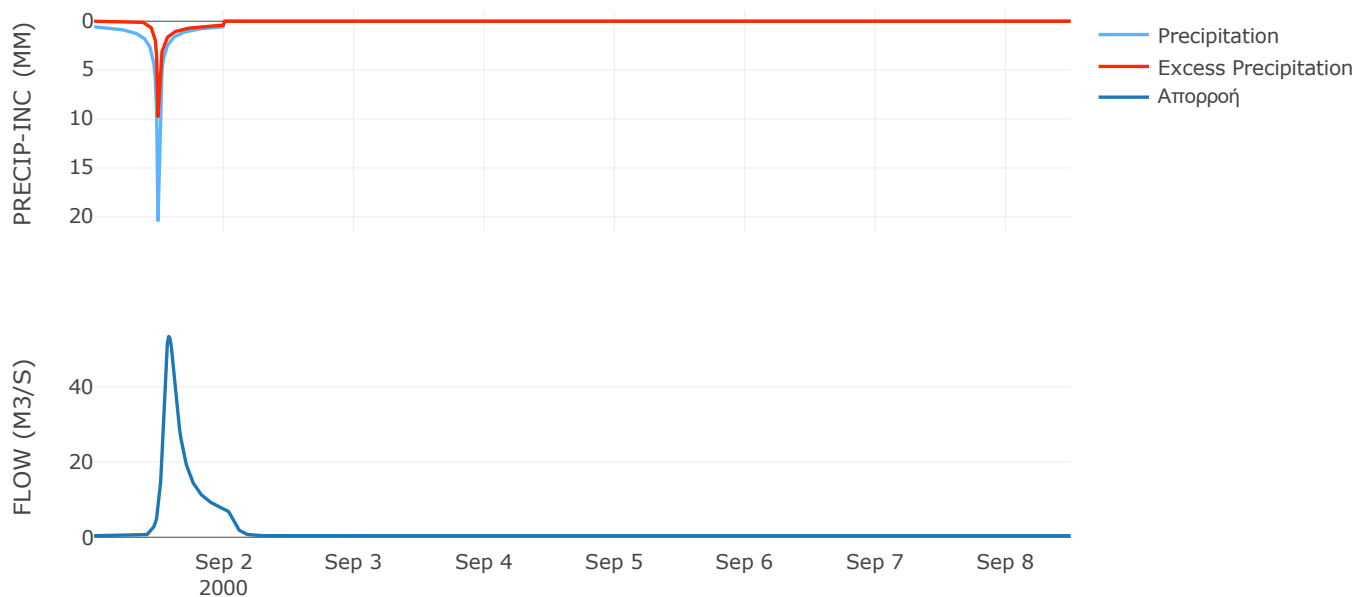
Μέθοδος
Μετασχηματισμού: SCS

Χρόνος Υστέρησης	94.49
------------------	-------

Αποτελέσματα:
EL0514FR4010

Παροχή αιχμής (M3/S)	53.45
Χρονική στιγμή αιχμής	01Sep2000, 13:45
Όγκος (MM)	91.13
Όγκος βροχόπτωσης (M3)	2.26E6
Όγκος απωλειών (M3)	1.3E6
Ενεργός Όγκος (M3)	9.62E5
Όγκος άμεσης απορροής (M3)	9.62E5
Όγκος βασικής απορροής (M3)	2.61E5

Βροχόπτωση και Απορροή



Υπολεκάνη: EL0514FR4011

Έκταση (KM2) : 14.76

Κατάντη : J7

Μέθοδος Απωλειών: SCS

Ποσοστό αδιαπέρατης επιφάνειας	0
Αριθμός Καμπύλης Απορροής-CN	42.83
Αρχικές Απώλειες	67.81

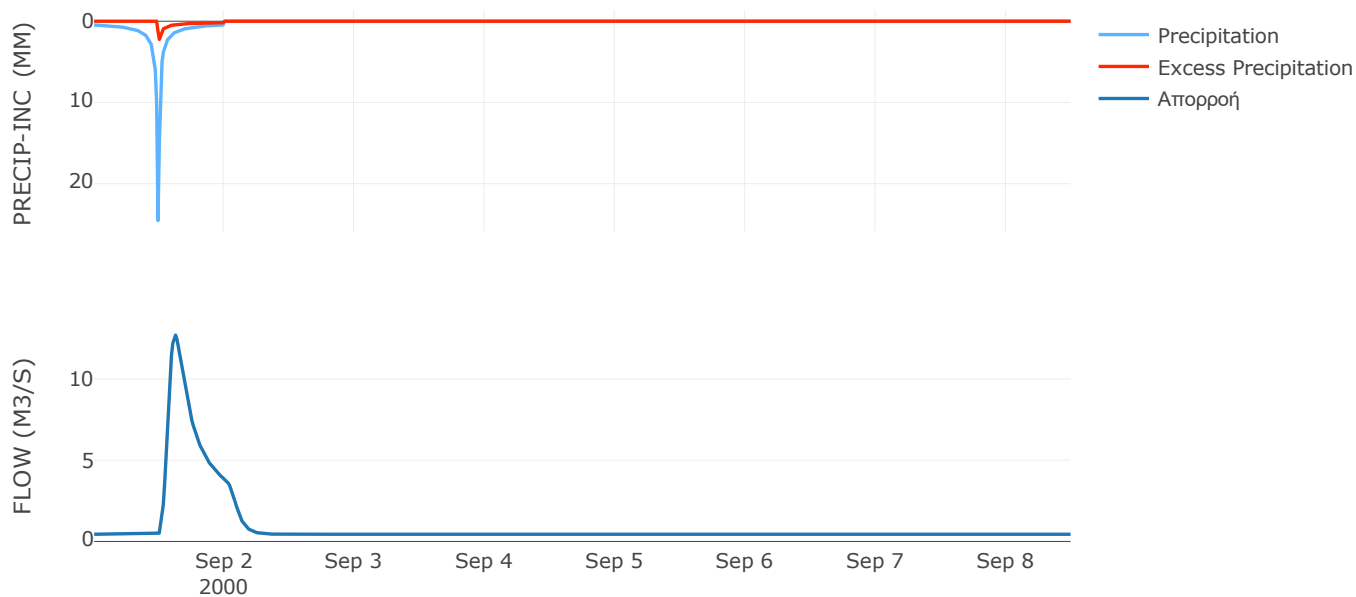
Μέθοδος
Μετασχηματισμού: SCS

Χρόνος Υστέρησης	121.78
------------------	--------

Αποτελέσματα:
EL0514FR4011

Παροχή αιχμής (M3/S)	12.7
Χρονική στιγμή αιχμής	01Sep2000, 15:00
Όγκος (MM)	40.17
Όγκος βροχόπτωσης (M3)	2.4E6
Όγκος απωλειών (M3)	2.09E6
Ενεργός Όγκος (M3)	3.06E5
Όγκος άμεσης απορροής (M3)	3.06E5
Όγκος βασικής απορροής (M3)	2.87E5

Βροχόπτωση και Απορροή



Υπολεκάνη: EL0514FR4012

Έκταση (KM2) : 8.26

Κατάντη : J8

Μέθοδος Απωλειών: SCS

Ποσοστό αδιαπέρατης επιφάνειας	0
Αριθμός Καμπύλης Απορροής-CN	57.46
Αρχικές Απώλειες	37.6

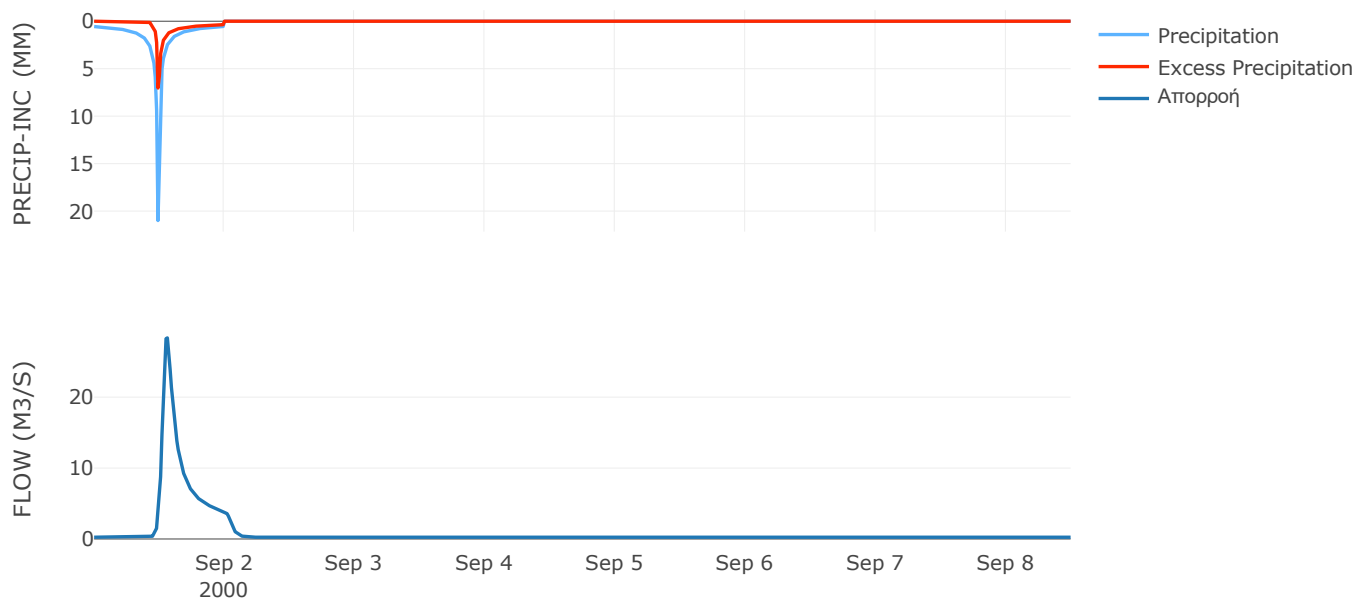
Μέθοδος
Μετασχηματισμού: SCS

Χρόνος Υστέρησης	69.24
------------------	-------

Αποτελέσματα:
EL0514FR4012

Παροχή αιχμής (M3/S)	28.35
Χρονική στιγμή αιχμής	01Sep2000, 13:30
Όγκος (MM)	73.75
Όγκος βροχόπτωσης (M3)	1.4E6
Όγκος απωλειών (M3)	9.5E5
Ενεργός Όγκος (M3)	4.48E5
Όγκος άμεσης απορροής (M3)	4.48E5
Όγκος βασικής απορροής (M3)	1.61E5

Βροχόπτωση και Απορροή



Υπολεκάνη: EL0514FR4013

Έκταση (KM2) : 22.16

Κατάντη : J9

Μέθοδος Απωλειών: SCS

Ποσοστό αδιαπέρατης επιφάνειας	0
Αριθμός Καμπύλης Απορροής-CN	64.36
Αρχικές Απώλειες	28.13

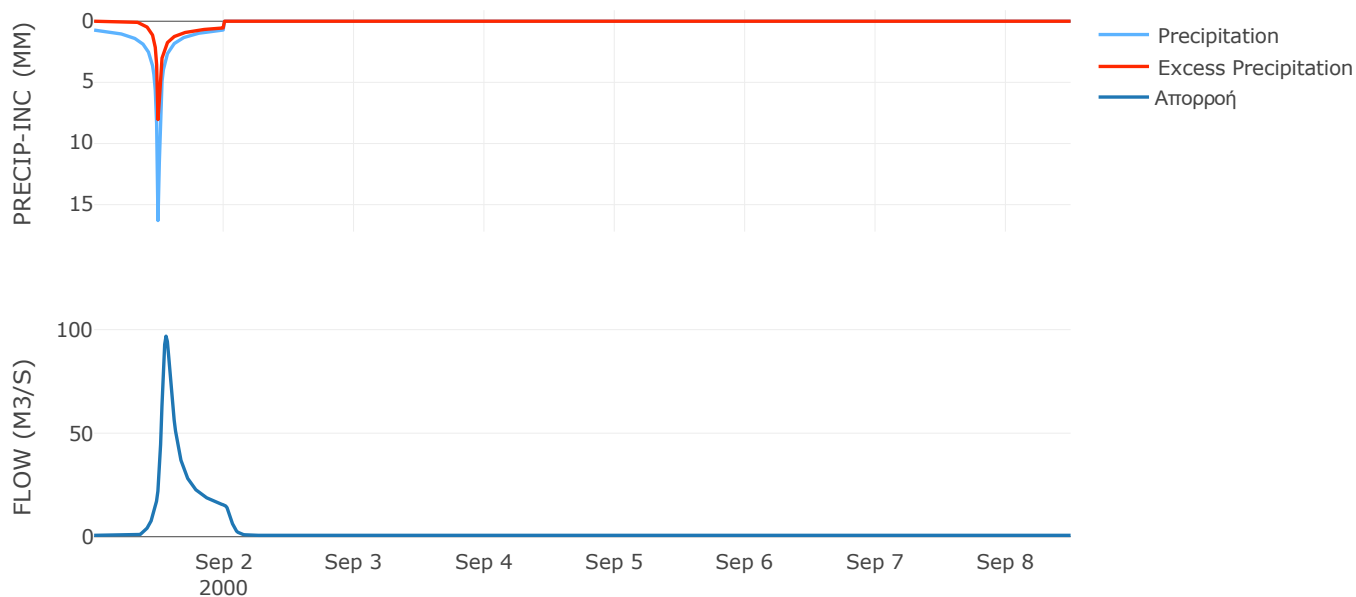
Μέθοδος
Μετασχηματισμού: SCS

Χρόνος Υστέρησης	66.58
------------------	-------

Αποτελέσματα:
EL0514FR4013

Παροχή αιχμής (M3/S)	96.85
Χρονική στιγμή αιχμής	01Sep2000, 13:15
Όγκος (MM)	96.53
Όγκος βροχόπτωσης (M3)	3.94E6
Όγκος απωλειών (M3)	2.23E6
Ενεργός Όγκος (M3)	1.71E6
Όγκος άμεσης απορροής (M3)	1.71E6
Όγκος βασικής απορροής (M3)	4.31E5

Βροχόπτωση και Απορροή



Υπολεκάνη: EL0514FR4014

Έκταση (KM2) : 1.47

Κατάντη : J3

Μέθοδος Απωλειών: SCS

Ποσοστό αδιαπέρατης επιφάνειας	0
Αριθμός Καμπύλης Απορροής-CN	59.67
Αρχικές Απώλειες	34.33

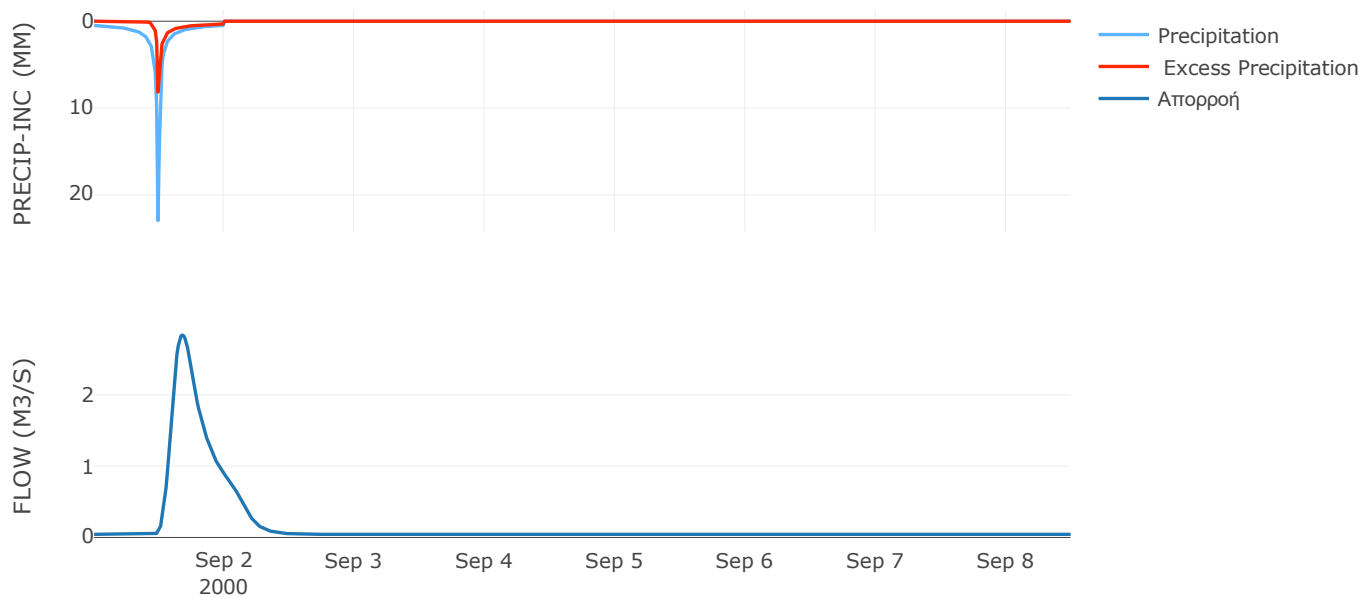
Μέθοδος
Μετασχηματισμού: SCS

Χρόνος Υστέρησης	212.4
------------------	-------

Αποτελέσματα:
EL0514FR4014

Παροχή αιχμής (M3/S)	2.84
Χρονική στιγμή αιχμής	01Sep2000, 16:15
Όγκος (MM)	74.28
Όγκος βροχόπτωσης (M3)	2.39E5
Όγκος απωλειών (M3)	1.58E5
Ενεργός Όγκος (M3)	80676.45
Όγκος άμεσης απορροής (M3)	80676.45
Όγκος βασικής απορροής (M3)	28596.24

Βροχόπτωση και Απορροή



Υπολεκάνη: EL0514FR4015

Έκταση (KM2) : 32.03

Κατάντη : J11

Μέθοδος Απωλειών: SCS

Ποσοστό αδιαπέρατης επιφάνειας	0
Αριθμός Καμπύλης Απορροής-CN	64.34
Αρχικές Απώλειες	28.16

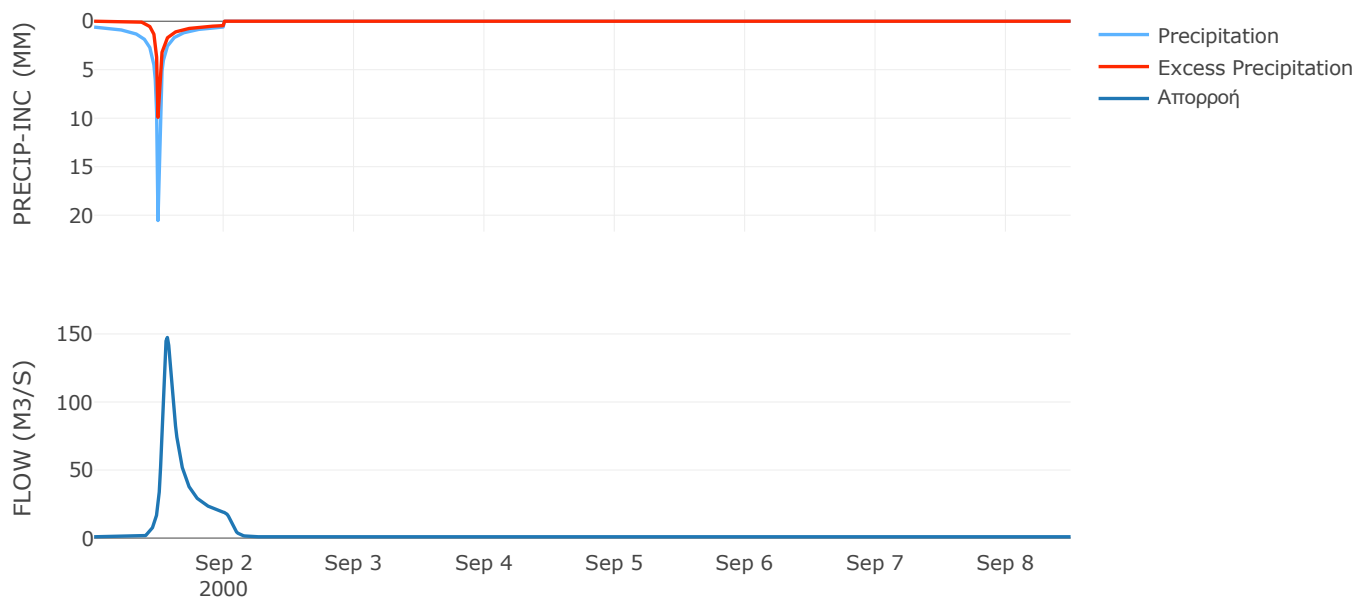
Μέθοδος
Μετασχηματισμού: SCS

Χρόνος Υστέρησης	76.18
------------------	-------

Αποτελέσματα:
EL0514FR4015

Παροχή αιχμής (M3/S)	147.41
Χρονική στιγμή αιχμής	01Sep2000, 13:30
Όγκος (MM)	94.45
Όγκος βροχόπτωσης (M3)	5.61E6
Όγκος απωλειών (M3)	3.2E6
Ενεργός Όγκος (M3)	2.4E6
Όγκος άμεσης απορροής (M3)	2.4E6
Όγκος βασικής απορροής (M3)	6.23E5

Βροχόπτωση και Απορροή



Υπολεκάνη: EL0514FR4016

Έκταση (KM2) : 25.77

Κατάντη : J12

Μέθοδος Απωλειών: SCS

Ποσοστό αδιαπέρατης επιφάνειας	0
Αριθμός Καμπύλης Απορροής-CN	62.99
Αρχικές Απώλειες	29.84

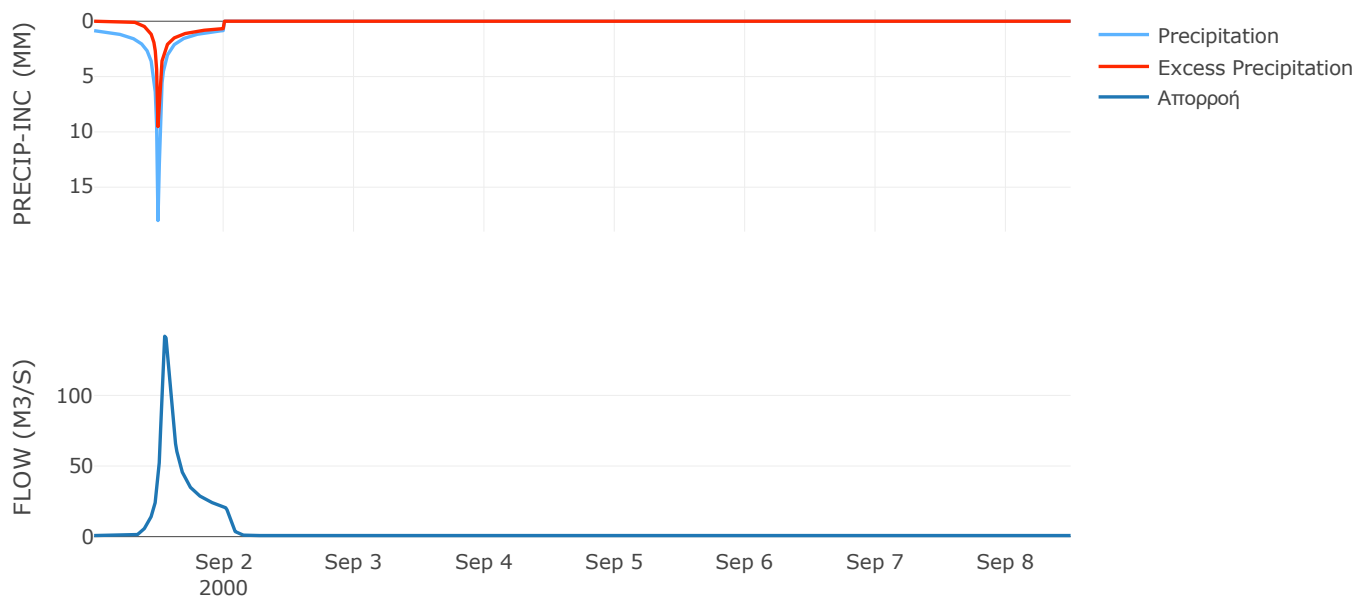
Μέθοδος
Μετασχηματισμού: SCS

Χρόνος Υστέρησης	58.54
------------------	-------

Αποτελέσματα:
EL0514FR4016

Παροχή αιχμής (M3/S)	141.89
Χρονική στιγμή αιχμής	01Sep2000, 13:00
Όγκος (MM)	113.45
Όγκος βροχόπτωσης (M3)	5.26E6
Όγκος απωλειών (M3)	2.84E6
Ενεργός Όγκος (M3)	2.42E6
Όγκος άμεσης απορροής (M3)	2.42E6
Όγκος βασικής απορροής (M3)	5.01E5

Βροχόπτωση και Απορροή



Υπολεκάνη: EL0514FR4017

Έκταση (KM2) : 10.84

Κατάντη : J12

Μέθοδος Απωλειών: SCS

Ποσοστό αδιαπέρατης επιφάνειας	0
Αριθμός Καμπύλης Απορροής-CN	63.33
Αρχικές Απώλειες	29.42

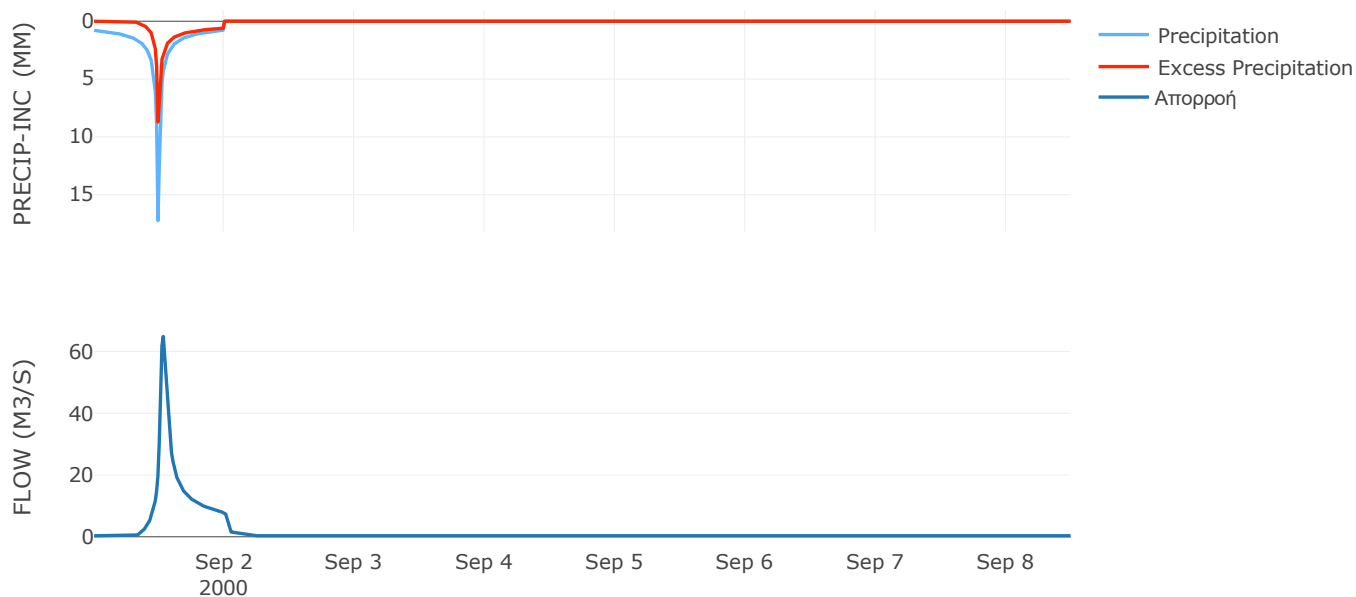
Μέθοδος
Μετασχηματισμού: SCS

Χρόνος Υστέρησης	37.3
------------------	------

Αποτελέσματα:
EL0514FR4017

Παροχή αιχμής (M3/S)	64.87
Χρονική στιγμή αιχμής	01Sep2000, 12:45
Όγκος (MM)	103.96
Όγκος βροχόπτωσης (M3)	2.07E6
Όγκος απωλειών (M3)	1.15E6
Ενεργός Όγκος (M3)	9.16E5
Όγκος άμεσης απορροής (M3)	9.16E5
Όγκος βασικής απορροής (M3)	2.11E5

Βροχόπτωση και Απορροή



6.2 Δεδομένα και υδρογραφήματα σχεδιασμού Κλάδων υδρογραφικού δικτύου

Κλάδος: R21

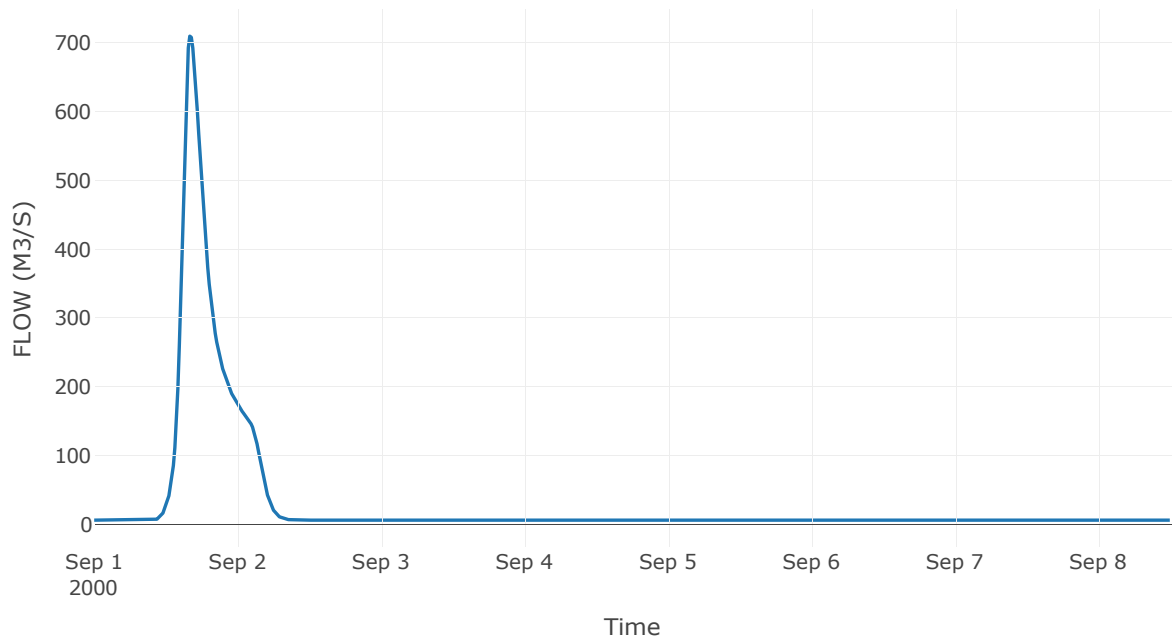
Κατάντη : J1

Μέθοδος Διόδευσης	Muskingum
Αρχική Μεταβλητή	Combined Inflow
Χρόνος Ροής K	0.69
Συντελεστής βάρους x	0.2
Πλήθος Υποκλάδων	3

Αποτελέσματα: R21

Παροχή Αιχμής(M3/S)	709.14
Χρονική στιγμή αιχμής	01Sep2000, 16:00
Όγκος(MM)	93.78
Παροχή Αιχμής Εισόδου (M3/S)	723.57
Όγκος Εισροής(M3)	2.09E7

Απορροή



Κλάδος: R32

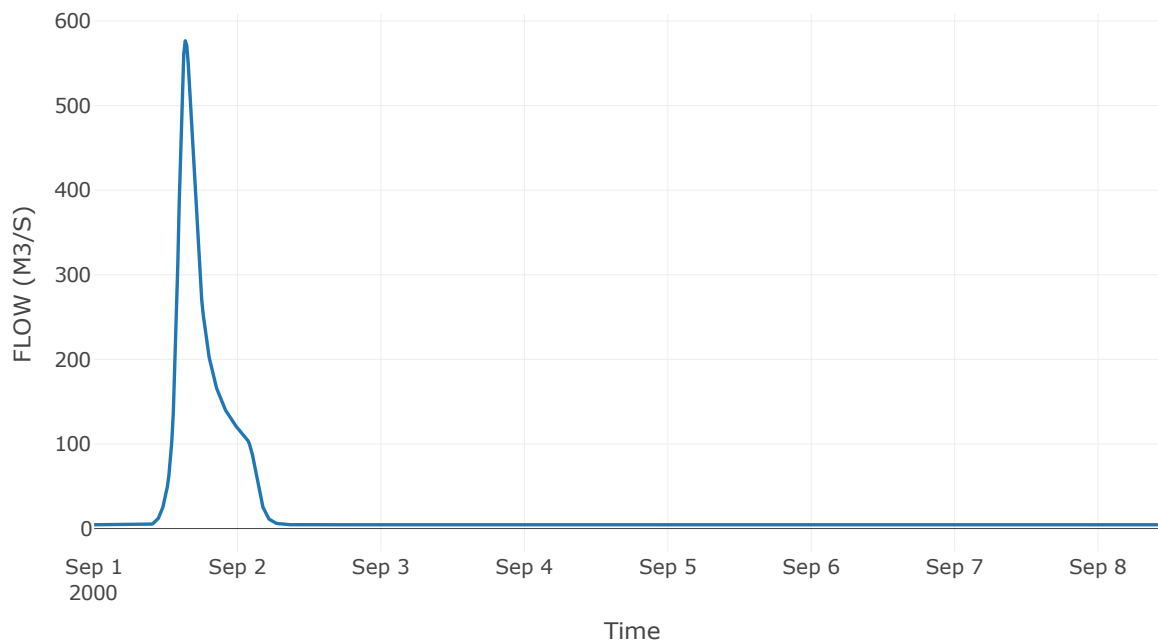
Κατάντη : J2

Μέθοδος Διόδευσης	Χρόνος
Αρχική Μεταβλητή	Combined Inflow
Χρόνος Υστέρησης	4.67

Αποτελέσματα: R32

Παροχή Αιχμής(M3/S)	576.7
Χρονική στιγμή αιχμής	01Sep2000, 15:15
Όγκος(MM)	101
Παροχή Αιχμής Εισόδου (M3/S)	579.08
Όγκος Εισροής(M3)	1.5E7

Απορροή



Κλάδος: R43

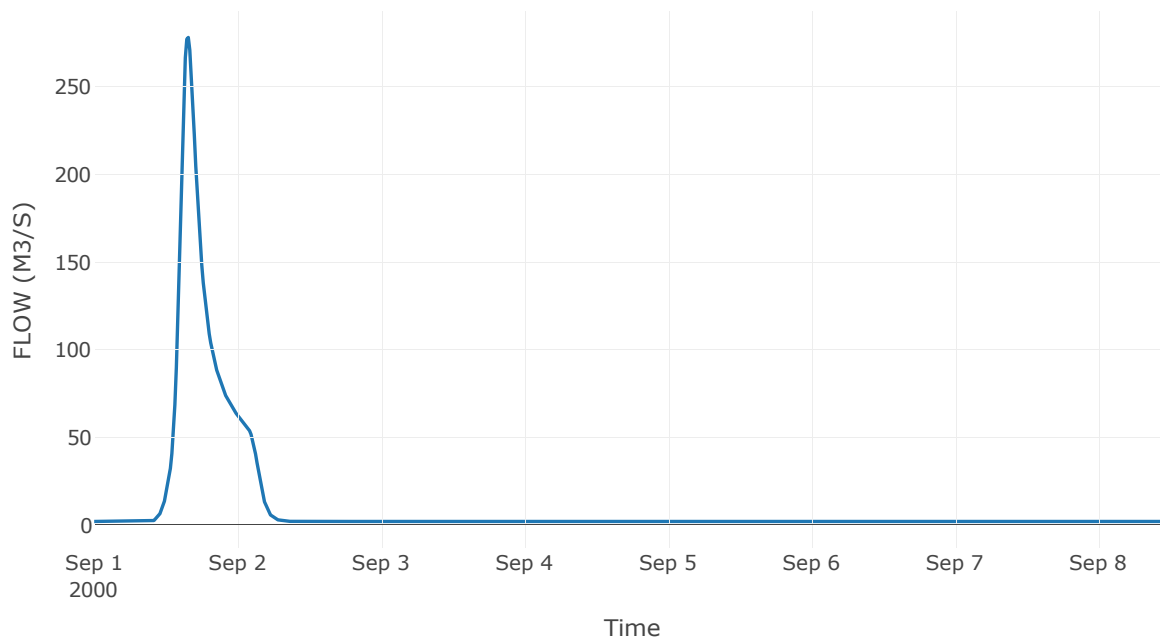
Κατάντη : J3

Μέθοδος Διόδευσης	Muskingum
Αρχική Μεταβλητή	Combined Inflow
Χρόνος Ροής Κ	1.26
Συντελεστής βάρους α	0.2
Πλήθος Υποκλάδων	5

Αποτελέσματα: R43

Παροχή Αιχμής(M3/S)	278.14
Χρονική στιγμή αιχμής	01Sep2000, 15:45
Όγκος(MM)	100.96
Παροχή Αιχμής Εισόδου (M3/S)	294.48
Όγκος Εισροής(M3)	7.55E6

Απορροή



Κλάδος: R54

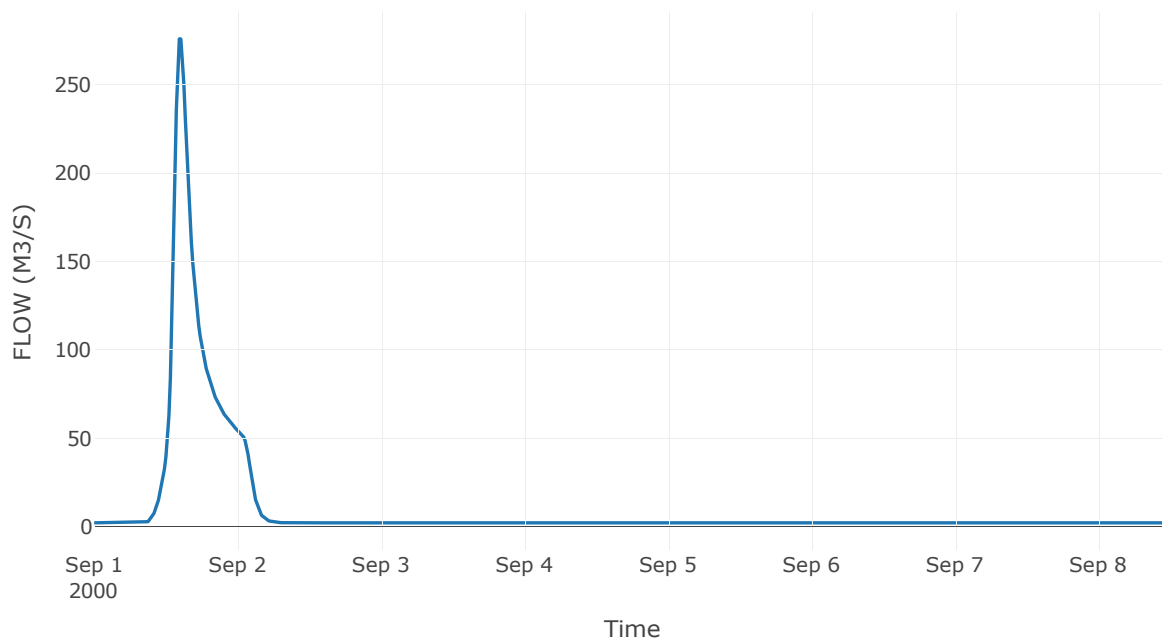
Κατάντη : J4

Μέθοδος Διόδευσης	Χρόνος
Αρχική Μεταβλητή	Combined Inflow
Χρόνος Υστέρησης	34.19

Αποτελέσματα: R54

Παροχή Αιχμής(M3/S)	276.05
Χρονική στιγμή αιχμής	01Sep2000, 14:15
Όγκος(MM)	102.18
Παροχή Αιχμής Εισόδου (M3/S)	278.32
Όγκος Εισροής(M3)	7E6

Απορροή



Κλάδος: R65

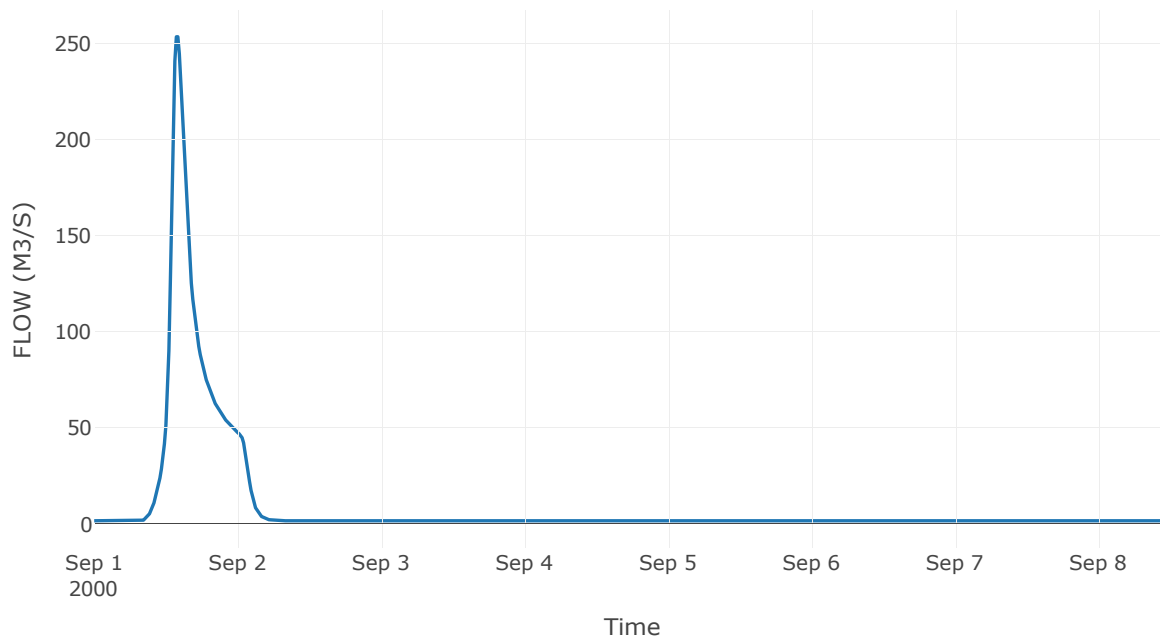
Κατάντη : J5

Μέθοδος Διόδευσης	Χρόνος
Αρχική Μεταβλητή	Combined Inflow
Χρόνος Υστέρησης	28.76

Αποτελέσματα: R65

Παροχή Αιχμής(M3/S)	253.57
Χρονική στιγμή αιχμής	01Sep2000, 14:00
Όγκος(MM)	104.65
Παροχή Αιχμής Εισόδου (M3/S)	254.65
Όγκος Εισροής(M3)	6.28E6

Απορροή



Κλάδος: R72

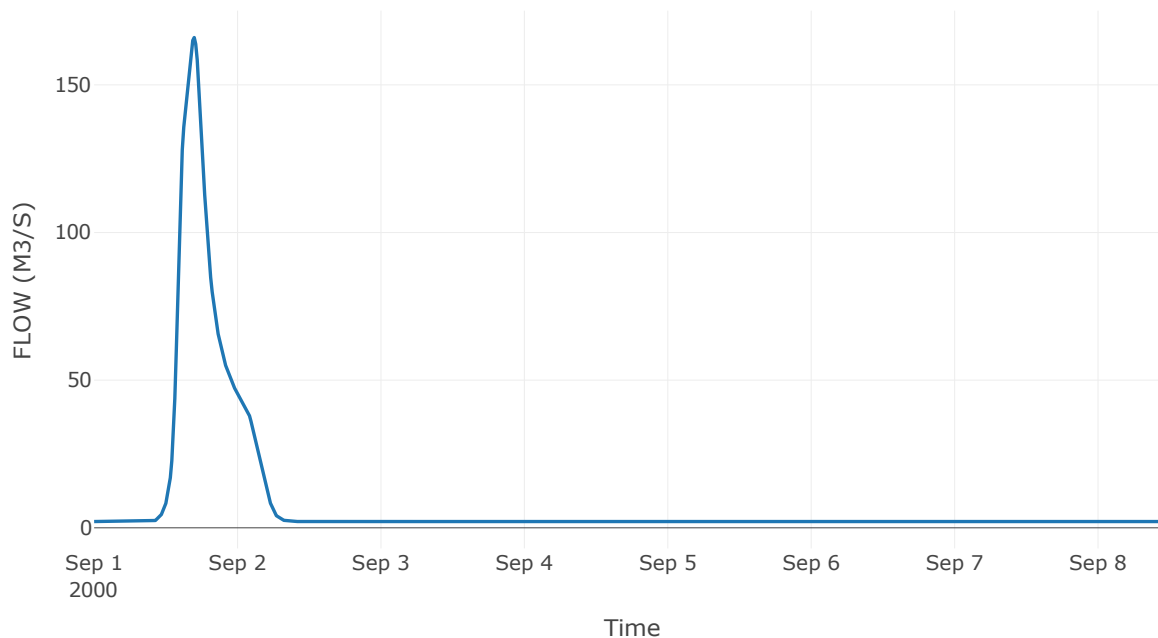
Κατάντη : J2

Μέθοδος Διόδευσης	Muskingum
Αρχική Μεταβλητή	Combined Inflow
Χρόνος Ροής Κ	1.12
Συντελεστής βάρους α	0.2
Πλήθος Υποκλάδων	5

Αποτελέσματα: R72

Παροχή Αιχμής(M3/S)	166.03
Χρονική στιγμή αιχμής	01Sep2000, 16:45
Όγκος(MM)	80.12
Παροχή Αιχμής Εισόδου (M3/S)	169.89
Όγκος Εισροής(M3)	5.67E6

Απορροή



Κλάδος: R87

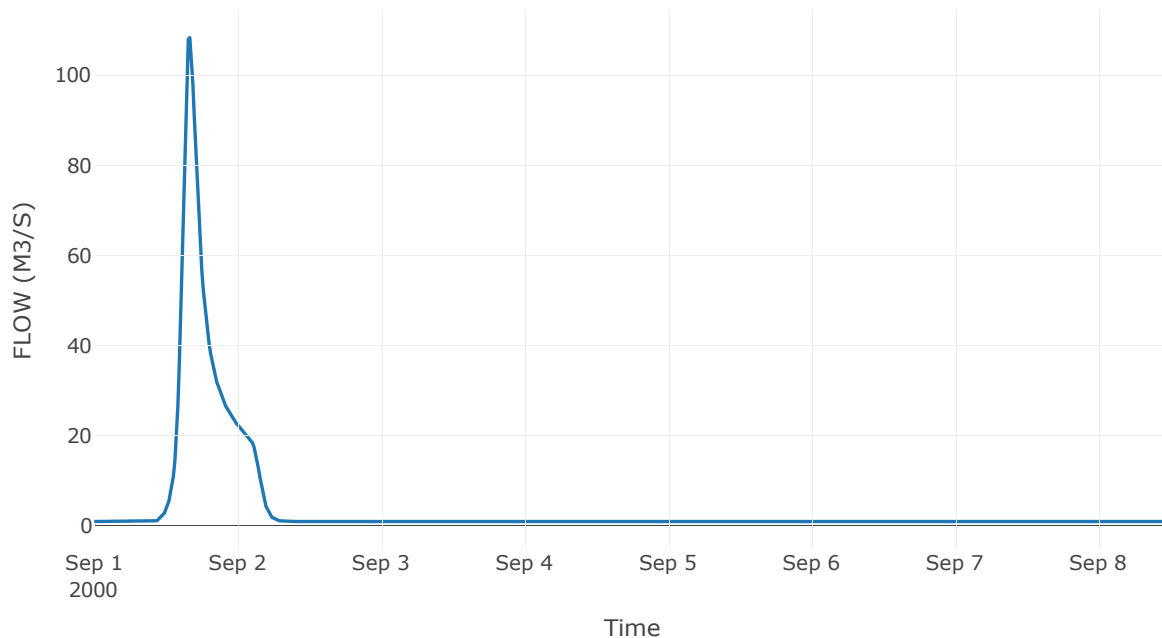
Κατάντη : J7

Μέθοδος Διόδευσης	Muskingum
Αρχική Μεταβλητή	Combined Inflow
Χρόνος Ροής K	2.02
Συντελεστής βάρους x	0.2
Πλήθος Υποκλάδων	9

Αποτελέσματα: R87

Παροχή Αιχμής(M3/S)	108.39
Χρονική στιγμή αιχμής	01Sep2000, 16:00
Όγκος(MM)	90.34
Παροχή Αιχμής Εισόδου (M3/S)	122.14
Όγκος Εισροής(M3)	2.75E6

Απορροή



Κλάδος: R98

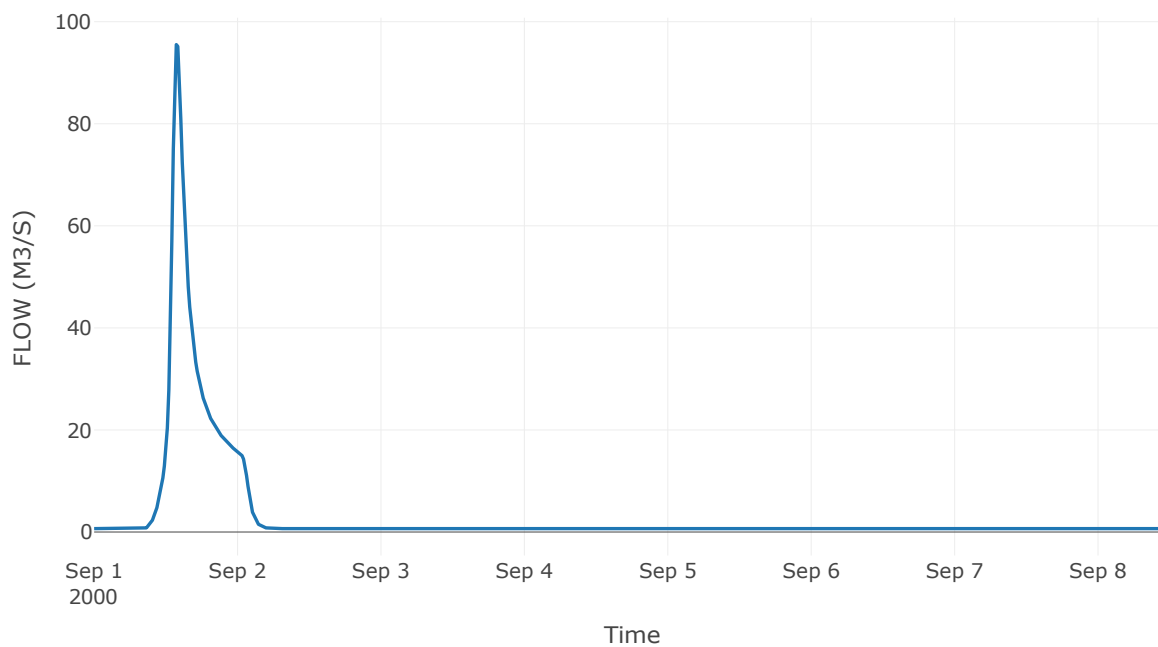
Κατάντη : J8

Μέθοδος Διόδευσης	Χρόνος
Αρχική Μεταβλητή	Combined Inflow
Χρόνος Υστέρησης	35.24

Αποτελέσματα: R98

Παροχή Αιχμής(M3/S)	95.51
Χρονική στιγμή αιχμής	01Sep2000, 13:45
Όγκος(MM)	96.53
Παροχή Αιχμής Εισόδου (M3/S)	96.85
Όγκος Εισροής(M3)	2.14E6

Απορροή



Κλάδος: R107

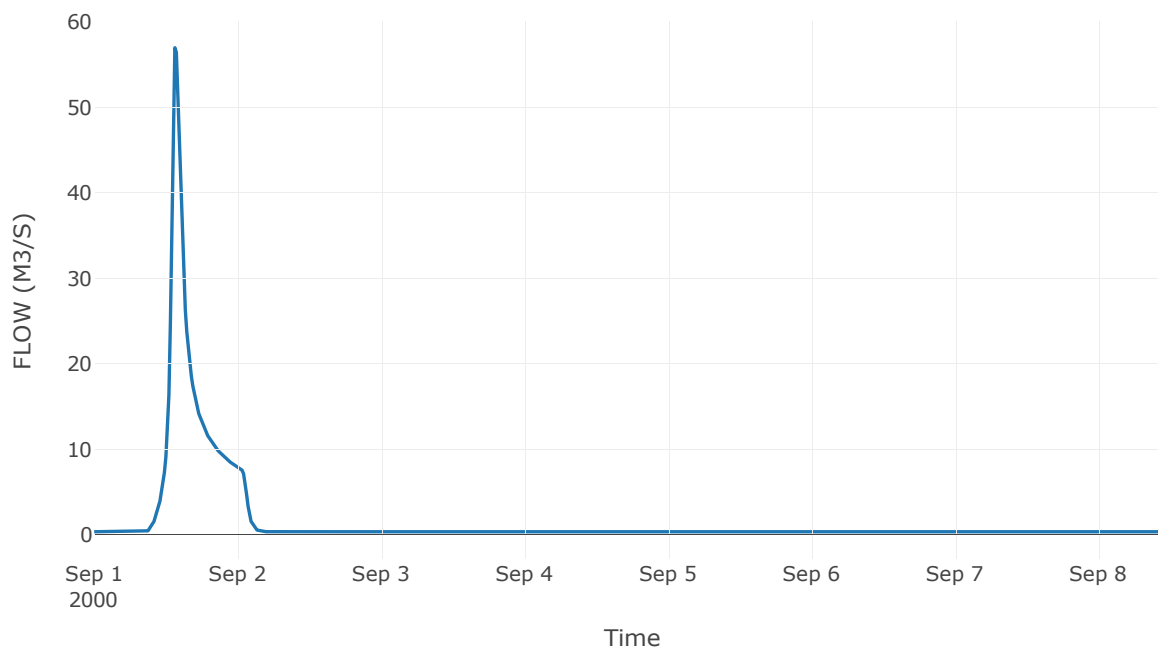
Κατάντη : J7

Μέθοδος Διόδευσης	Χρόνος
Αρχική Μεταβλητή	Combined Inflow
Χρόνος Υστέρησης	42.24

Αποτελέσματα: R107

Παροχή Αιχμής(M3/S)	56.96
Χρονική στιγμή αιχμής	01Sep2000, 13:30
Όγκος(MM)	90.83
Παροχή Αιχμής Εισόδου (M3/S)	57.44
Όγκος Εισροής(M3)	1.11E6

Απορροή



Κλάδος: R113

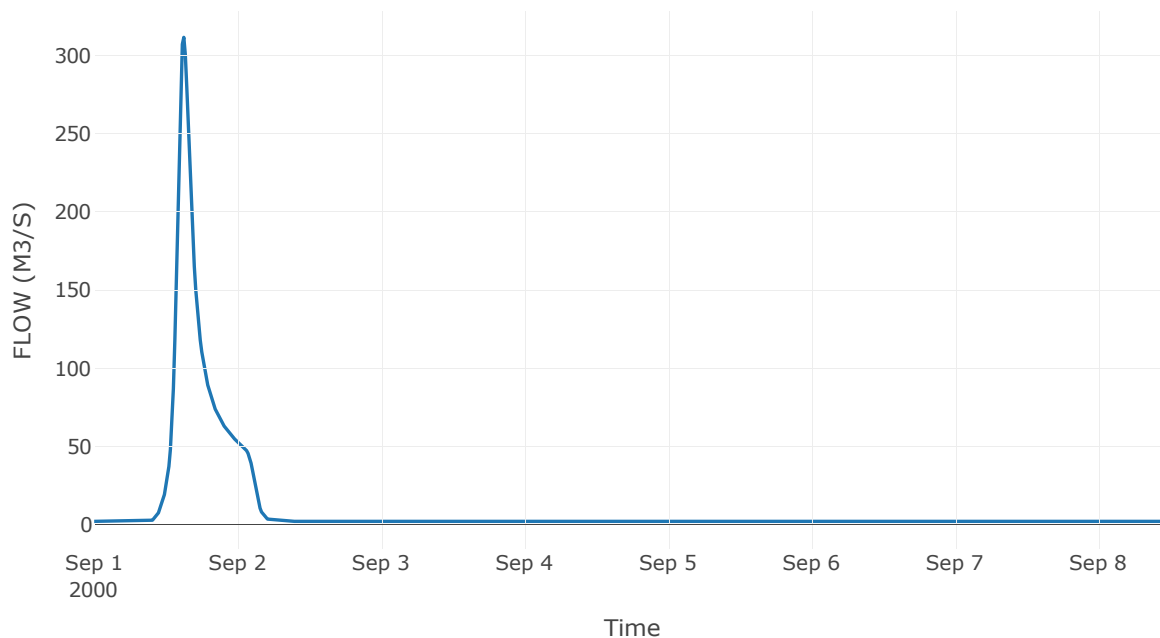
Κατάντη : J3

Μέθοδος Διόδευσης	Muskingum
Αρχική Μεταβλητή	Combined Inflow
Χρόνος Ροής Κ	1.13
Συντελεστής βάρους α	0.2
Πλήθος Υποκλάδων	5

Αποτελέσματα: R113

Παροχή Αιχμής(M3/S)	311.66
Χρονική στιγμή αιχμής	01Sep2000, 15:00
Όγκος(MM)	103.08
Παροχή Αιχμής Εισόδου (M3/S)	338.37
Όγκος Εισροής(M3)	7.08E6

Απορροή



Κλάδος: R1211

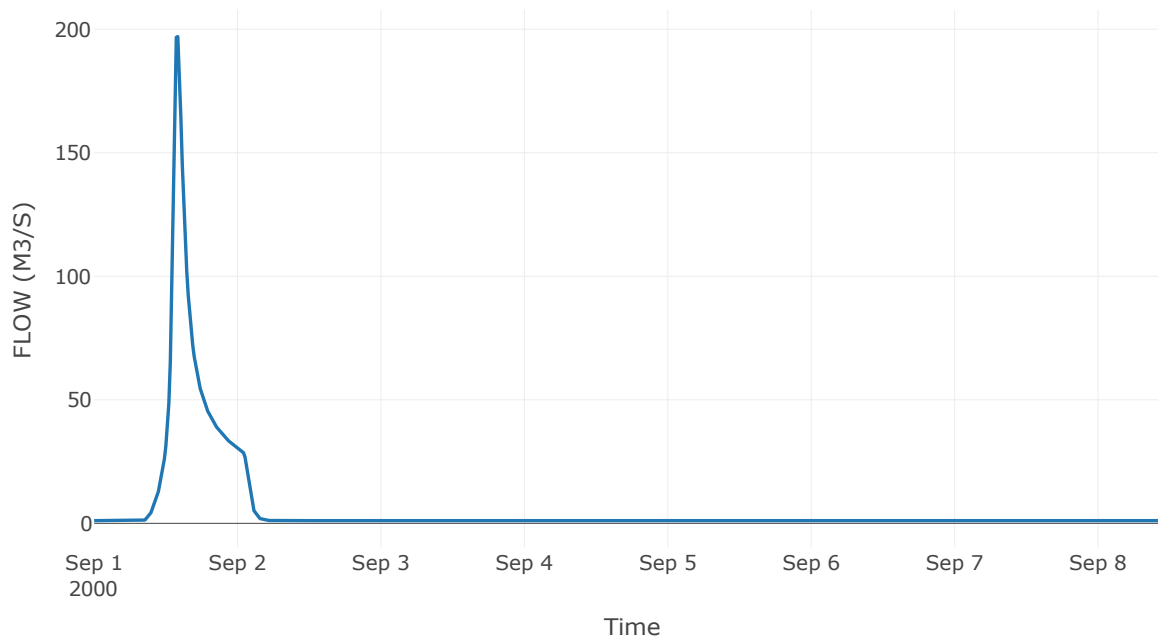
Κατάντη : J11

Μέθοδος Διόδευσης	Χρόνος
Αρχική Μεταβλητή	Combined Inflow
Χρόνος Υστέρησης	55.47

Αποτελέσματα: R1211

Παροχή Αιχμής(M3/S)	197
Χρονική στιγμή αιχμής	01Sep2000, 14:00
Όγκος(MM)	110.64
Παροχή Αιχμής Εισόδου (M3/S)	200.36
Όγκος Εισροής(M3)	4.05E6

Απορροή



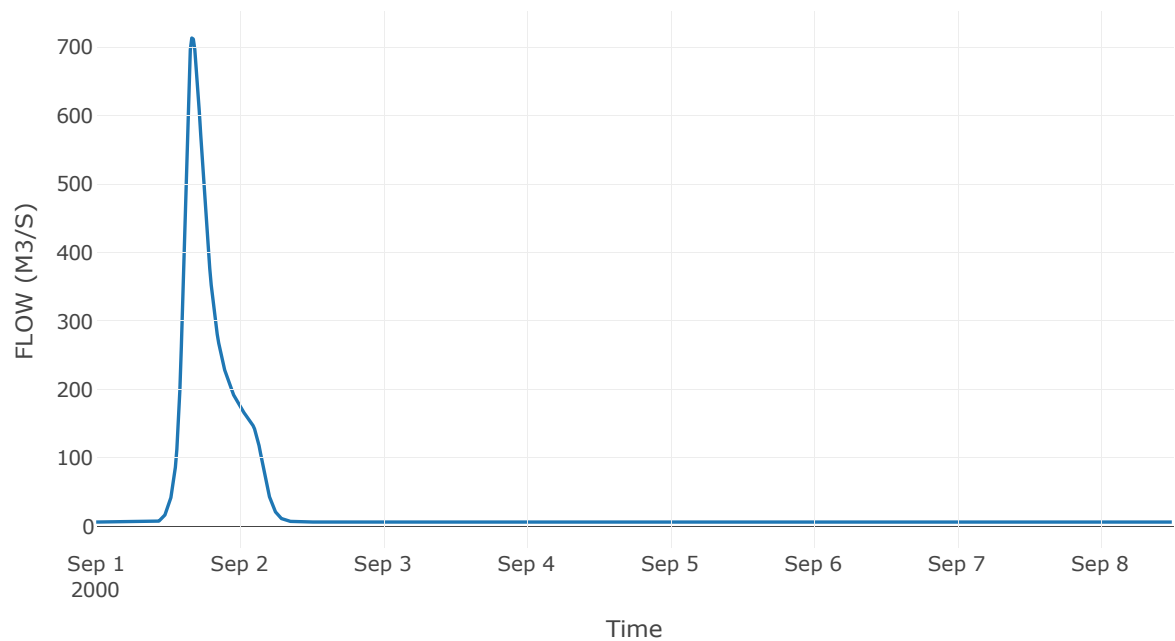
6.3 Δεδομένα και υδρογραφήματα σχεδιασμού Κόμβων υδρογραφικού δικτύου

Κόμβος: J1

Αποτέλεσμα
τα: J1

Παροχή αιχμής (M3/S)	713.19
Χρονική στιγμή αιχμής	01Sep2000, 16:00
Όγκος (MM)	93.74

Απορροή

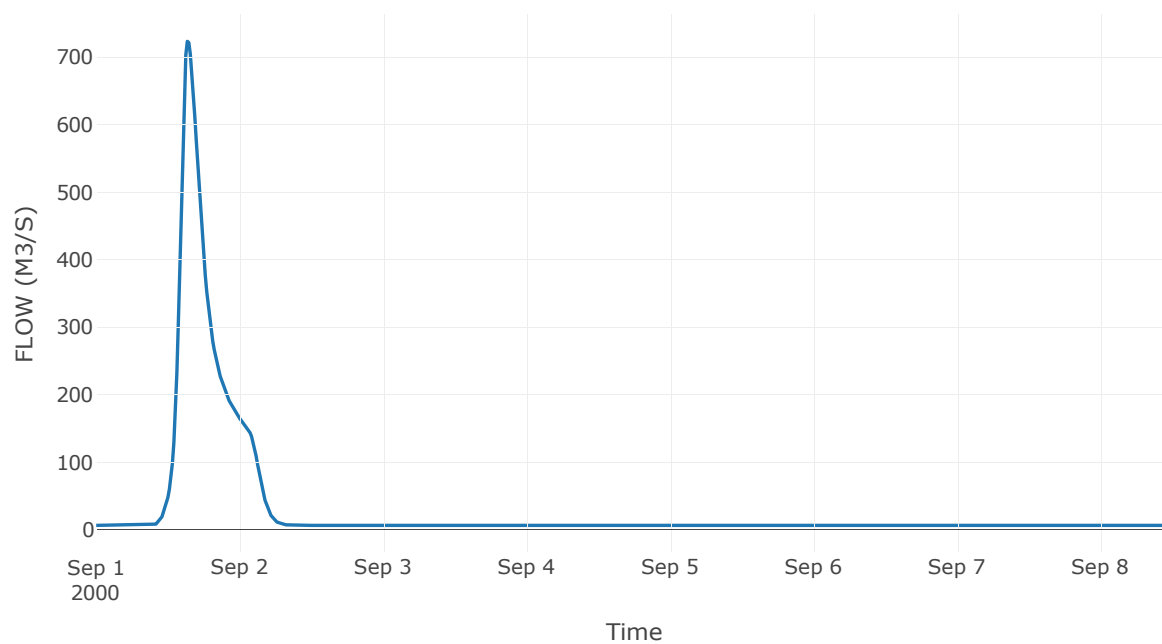


Κόμβος: J2

Αποτελέσματ
α: J2

Παροχή αιχμής (M3/S)	723.57
Χρονική στιγμή αιχμής	01Sep2000, 15:15
Όγκος (MM)	93.78

Απορροή

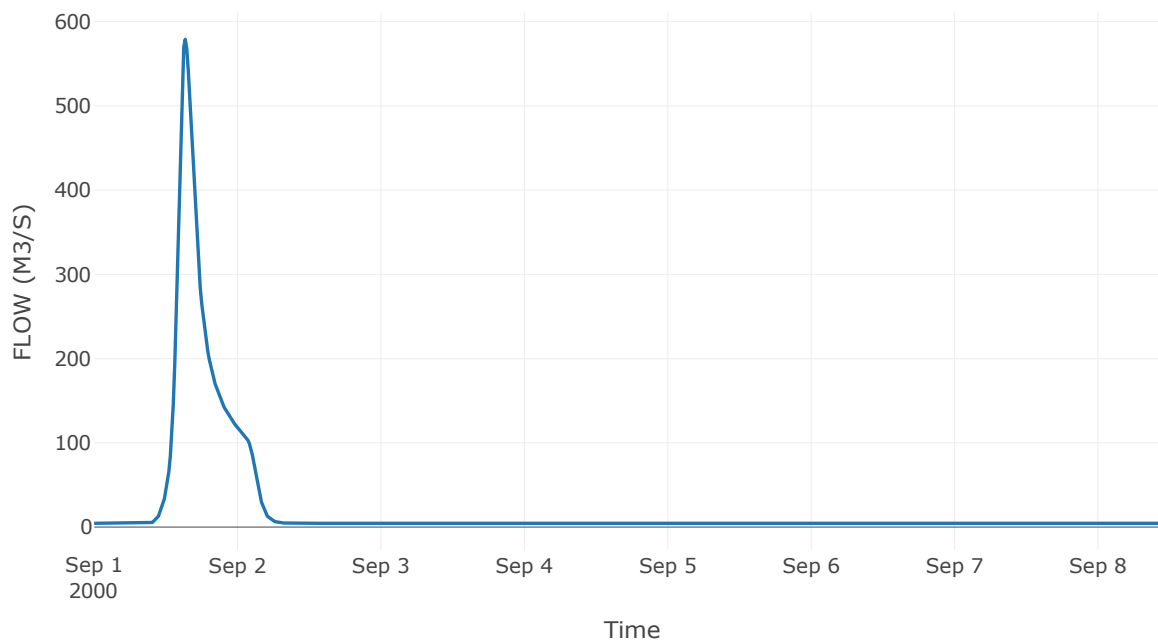


Κόμβος: J3

Αποτελέσμα
α: J3

Παροχή αιχμής (M3/S)	579.08
Χρονική στιγμή αιχμής	01Sep2000, 15:15
Όγκος (MM)	101

Απορροή

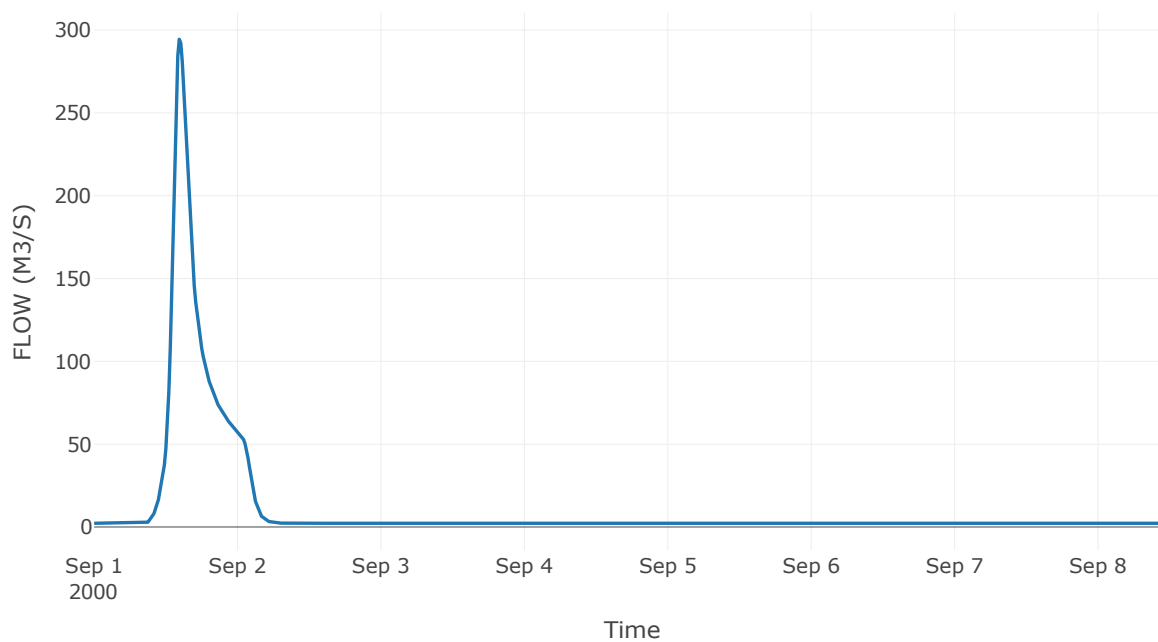


Κόμβος: J4

Αποτελέσματ
α: J4

Παροχή αιχμής (M3/S)	294.48
Χρονική στιγμή αιχμής	01Sep2000, 14:15
Όγκος (MM)	100.96

Απορροή

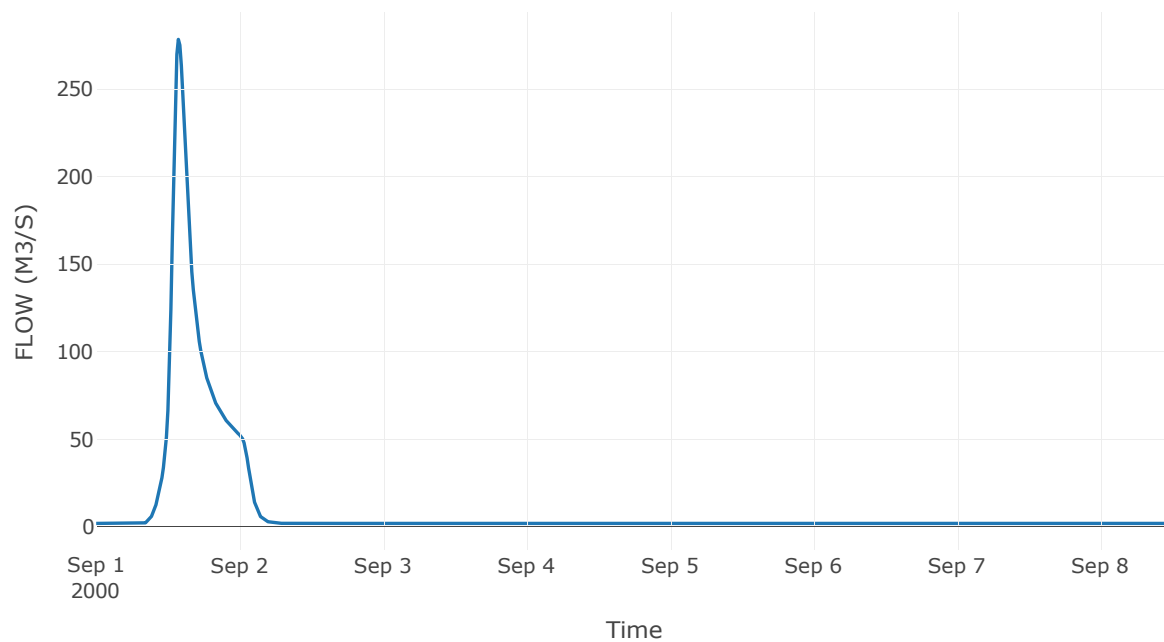


Κόμβος: J5

Αποτελέσμα
α: J5

Παροχή αιχμής (M3/S)	278.32
Χρονική στιγμή αιχμής	01Sep2000, 13:45
Όγκος (MM)	102.18

Απορροή

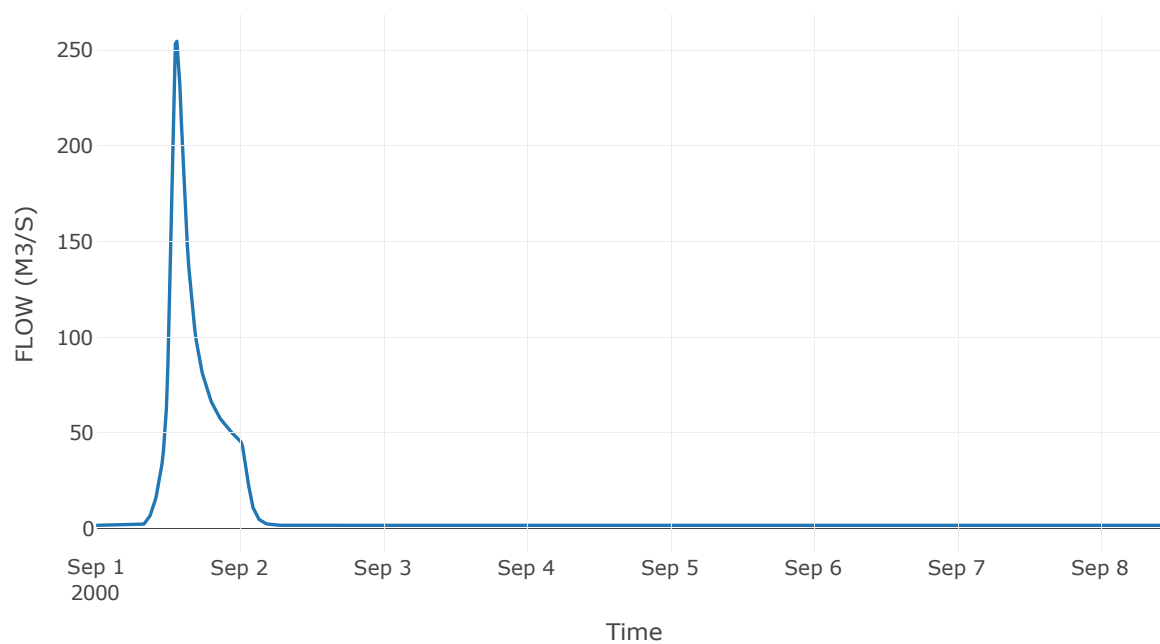


Κόμβος: J6

Αποτελέσμα
α: J6

Παροχή αιχμής (M3/S)	254.65
Χρονική στιγμή αιχμής	01Sep2000, 13:30
Όγκος (MM)	104.65

Απορροή

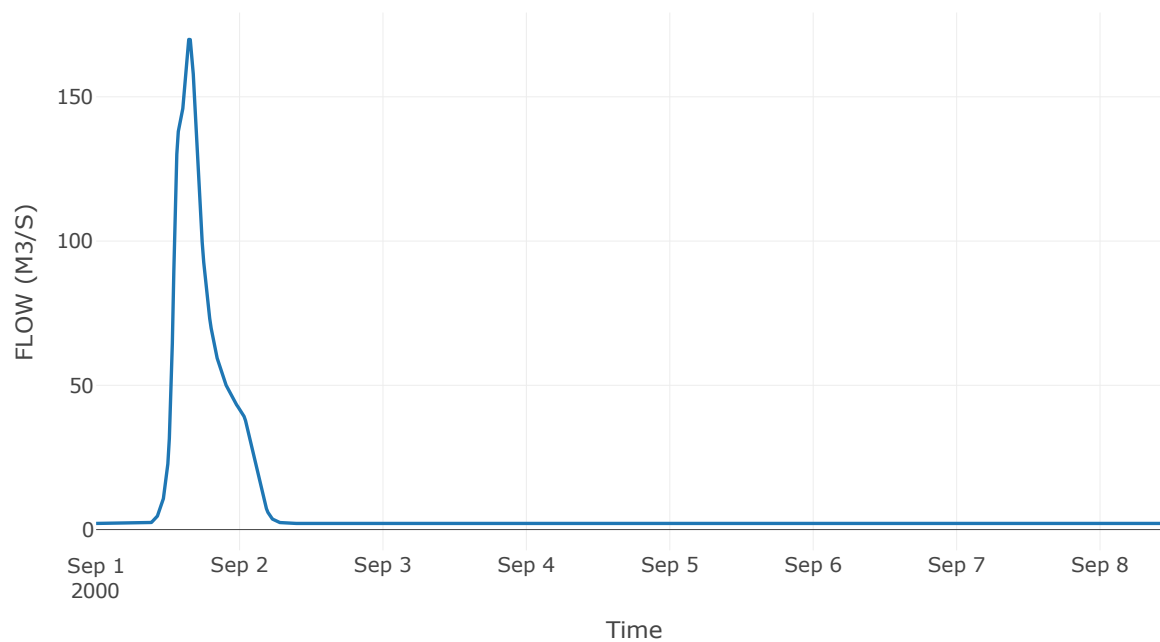


Κόμβος: J7

Αποτελέσμα
α: J7

Παροχή αιχμής (M3/S)	169.89
Χρονική στιγμή αιχμής	01Sep2000, 15:30
Όγκος (MM)	80.12

Απορροή

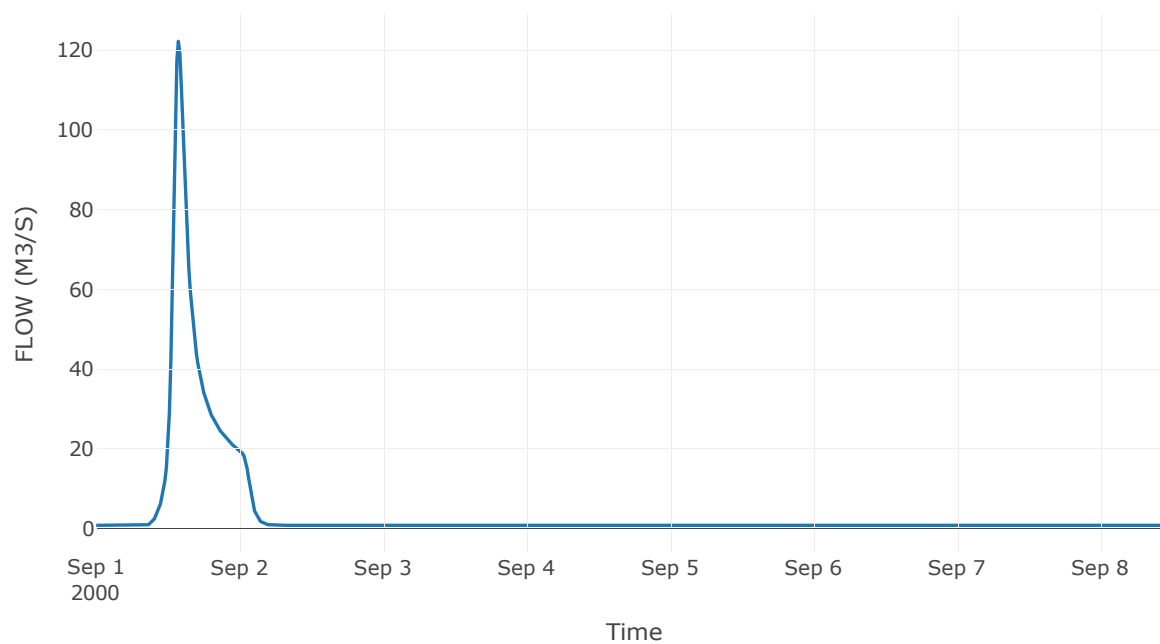


Κόμβος: J8

Αποτελέσματ
α: J8

Παροχή αιχμής (M3/S)	122.14
Χρονική στιγμή αιχμής	01Sep2000, 13:45
Όγκος (MM)	90.34

Απορροή

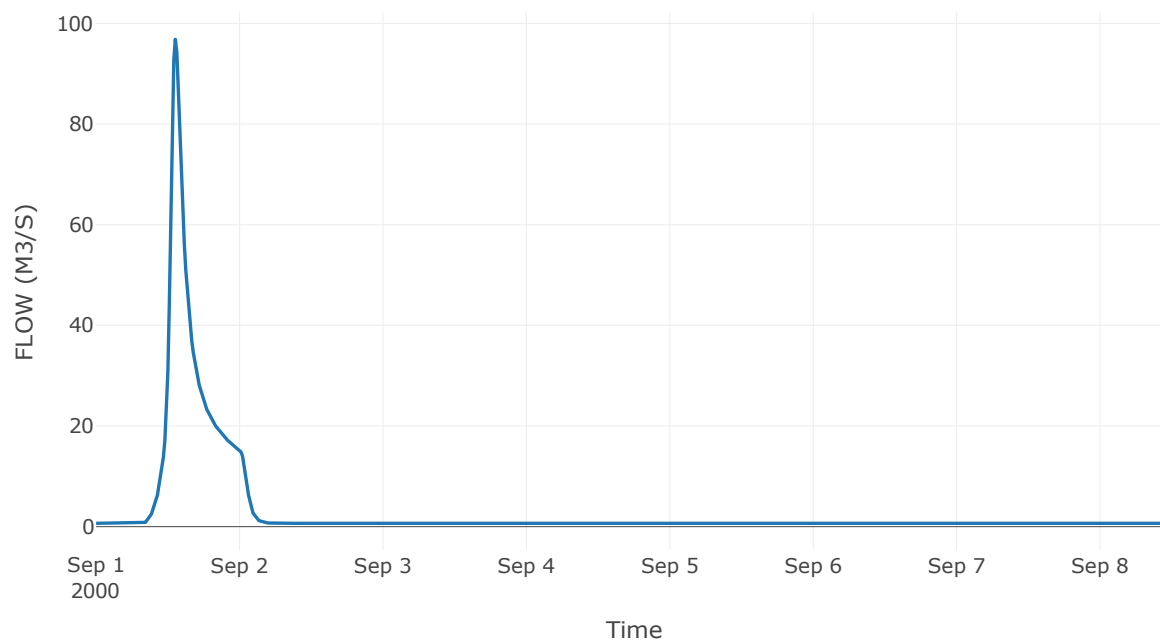


Κόμβος: J9

Αποτελέσμα
α: J9

Παροχή αιχμής (M3/S)	96.85
Χρονική στιγμή αιχμής	01Sep2000, 13:15
Όγκος (MM)	96.53

Απορροή

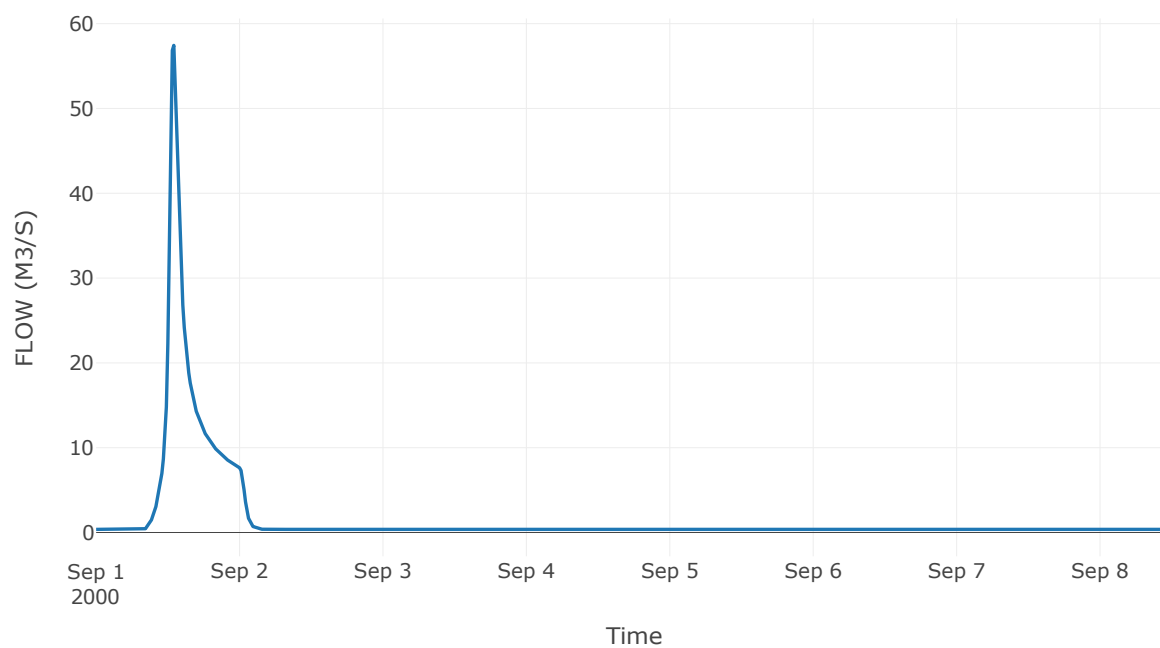


Κόμβος: J10

Αποτελέσματ
α: J10

Παροχή αιχμής (M3/S)	57.44
Χρονική στιγμή αιχμής	01Sep2000, 13:00
Όγκος (MM)	90.83

Απορροή

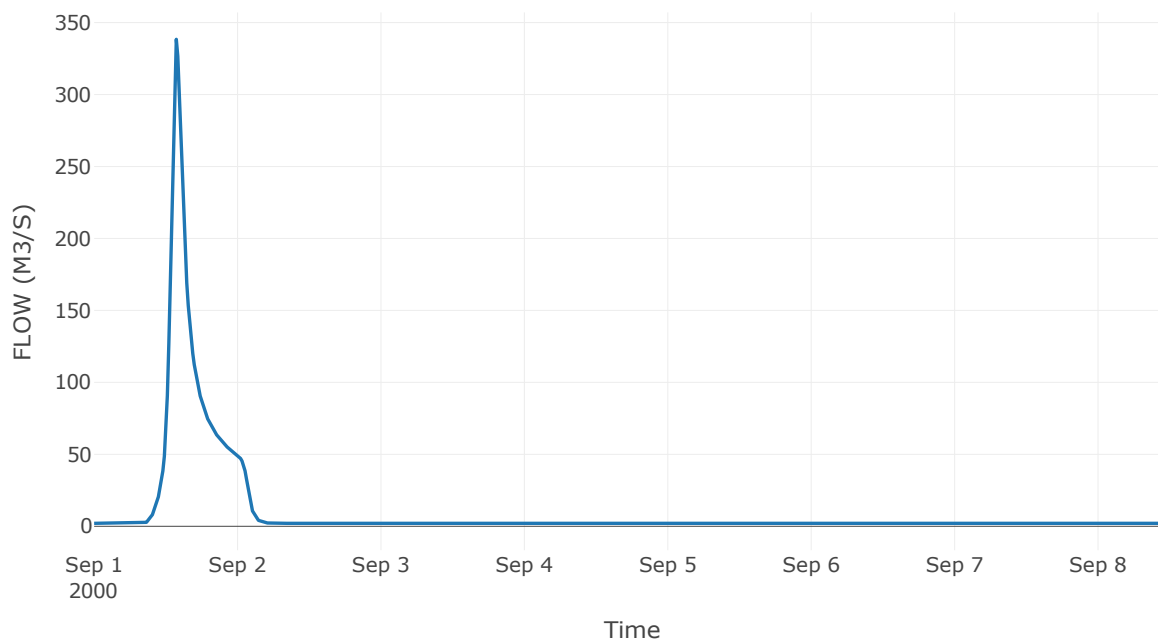


Κόμβος: J11

Αποτελέσματ
α: J11

Παροχή αιχμής (M3/S)	338.37
Χρονική στιγμή αιχμής	01Sep2000, 13:45
Όγκος (MM)	103.08

Απορροή

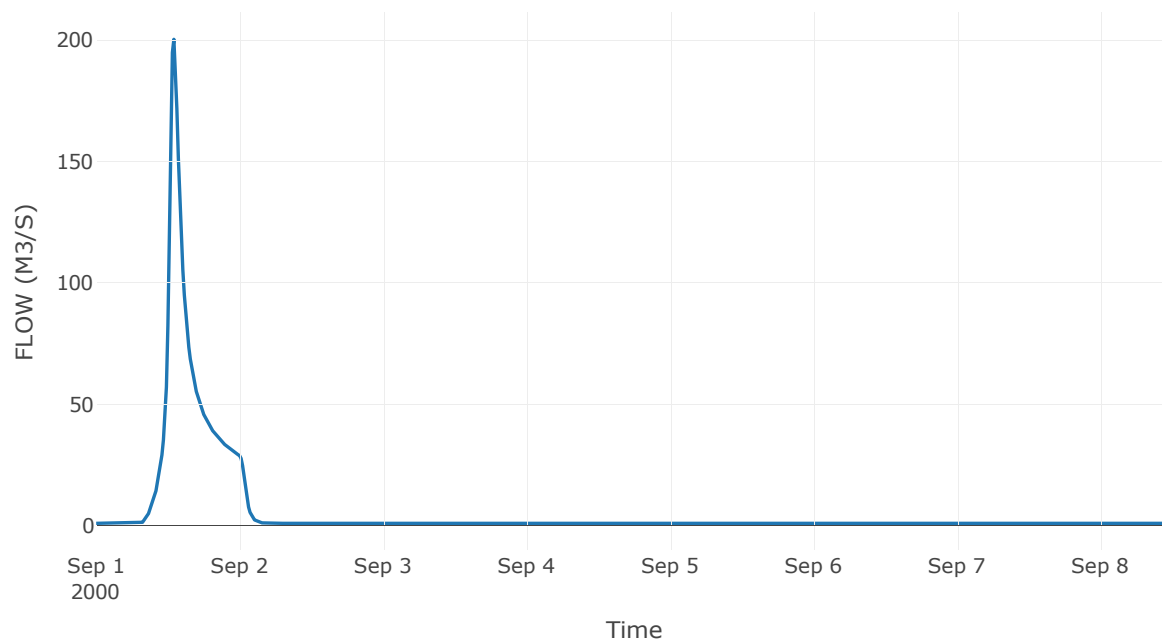


Κόμβος: J12

Αποτελέσματ
α: J12

Παροχή αιχμής (M3/S)	200.36
Χρονική στιγμή αιχμής	01Sep2000, 13:00
Όγκος (MM)	110.64

Απορροή



7 Δεδομένα εισόδου και αποτελέσματα υδρολογικού σεναρίου T=100U

7.1 Αποτελέσματα, υετογραφήματα και υδρογραφήματα σχεδιασμού υπολεκανών

Υπολεκάνη: EL0514FR4001

Έκταση (KM2) : 1.95

Κατάνη : J1

Μέθοδος Απωλειών: SCS

Ποσοστό αδιαπέρατης επιφάνειας	0
Αριθμός Καμπύλης Απορροής-CN	91.79
Αρχικές Απώλειες	4.54

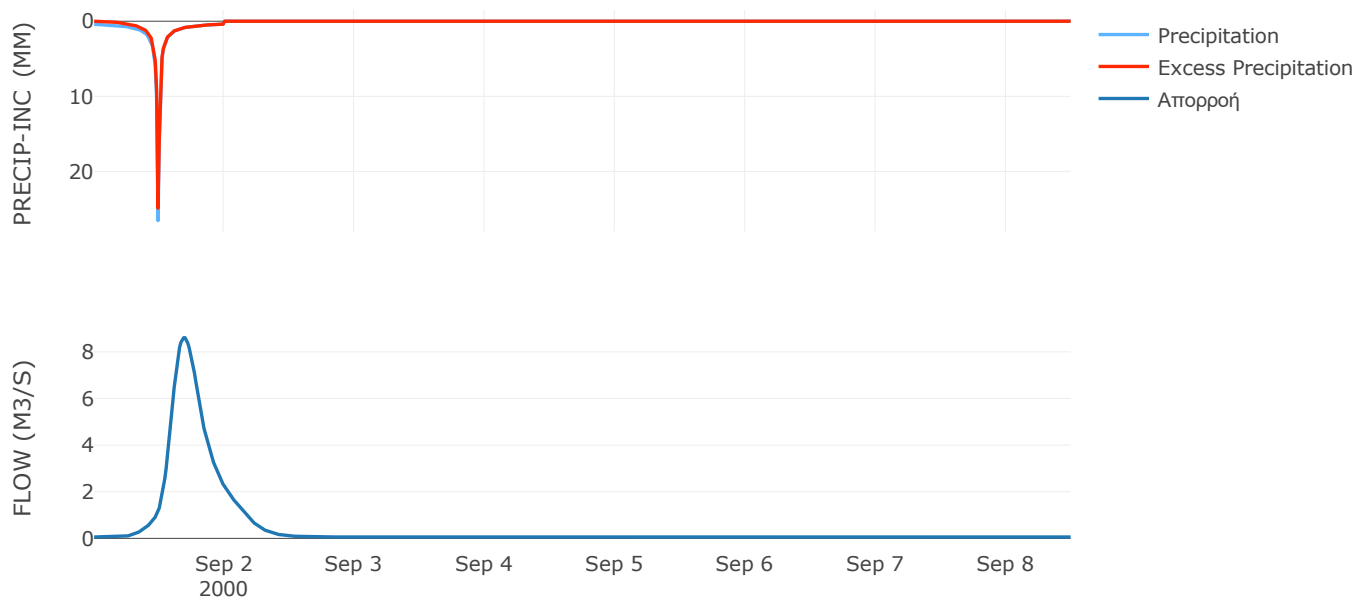
Μέθοδος
Μετασχηματισμού: SCS

Χρόνος Υστέρησης	265.93
------------------	--------

Αποτελέσματα:
EL0514FR4001

Παροχή αιχμής (M3/S)	8.61
Χρονική στιγμή αιχμής	01Sep2000, 16:45
Όγκος (MM)	153.21
Όγκος βροχόπτωσης (M3)	3.09E5
Όγκος απωλειών (M3)	47513.31
Ενεργός Όγκος (M3)	2.61E5
Όγκος άμεσης απορροής (M3)	2.61E5
Όγκος βασικής απορροής (M3)	37946.88

Βροχόπτωση και Απορροή



Υπολεκάνη: EL0514FR4002

Έκταση (KM2) : 0.13

Κατάντη : J2

Μέθοδος Απωλειών: SCS

Ποσοστό αδιαπέρατης επιφάνειας	0
Αριθμός Καμπύλης Απορροής-CN	90.34
Αρχικές Απώλειες	5.43

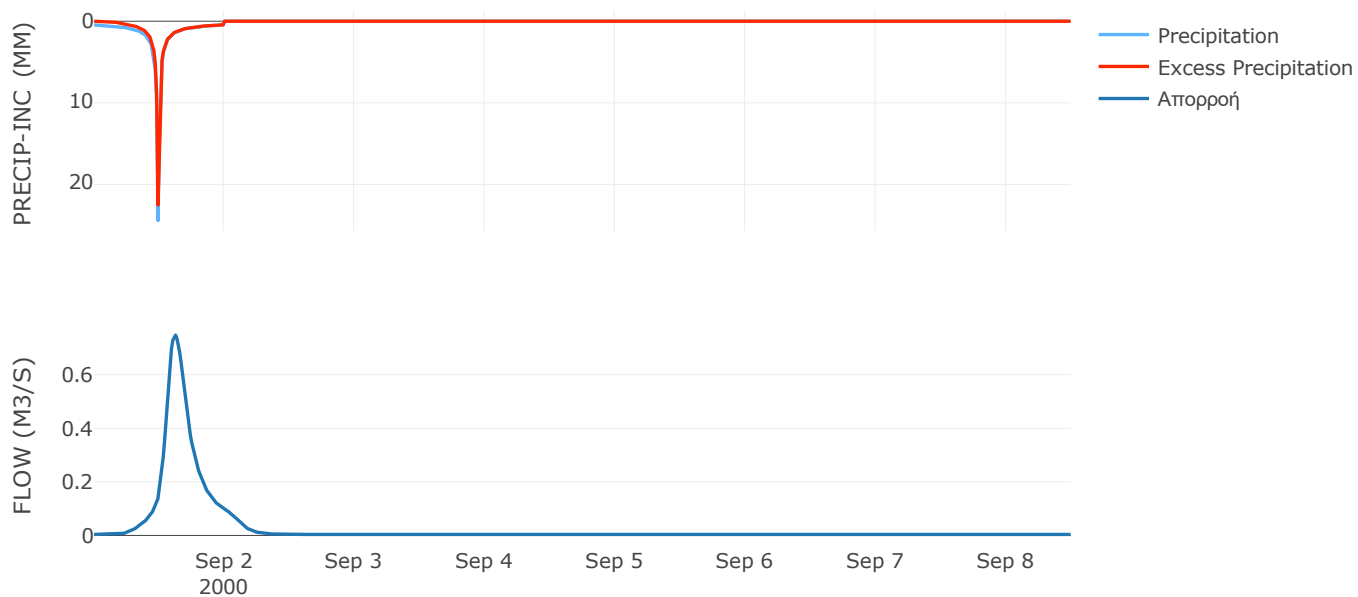
Μέθοδος
Μετασχηματισμού: SCS

Χρόνος Υστέρησης	169.39
------------------	--------

Αποτελέσματα:
EL0514FR4002

Παροχή αιχμής (M3/S)	0.75
Χρονική στιγμή αιχμής	01Sep2000, 15:00
Όγκος (MM)	153.19
Όγκος βροχόπτωσης (M3)	20940.56
Όγκος απωλειών (M3)	3686.98
Ενεργός Όγκος (M3)	17253.58
Όγκος άμεσης απορροής (M3)	17253.58
Όγκος βασικής απορροής (M3)	2507.76

Βροχόπτωση και Απορροή



Υπολεκάνη: EL0514FR4003

Έκταση (KM2) : 3.14

Κατάντη : J2

Μέθοδος Απωλειών: SCS

Ποσοστό αδιαπέρατης επιφάνειας	0
Αριθμός Καμπύλης Απορροής-CN	86.6
Αρχικές Απώλειες	7.86

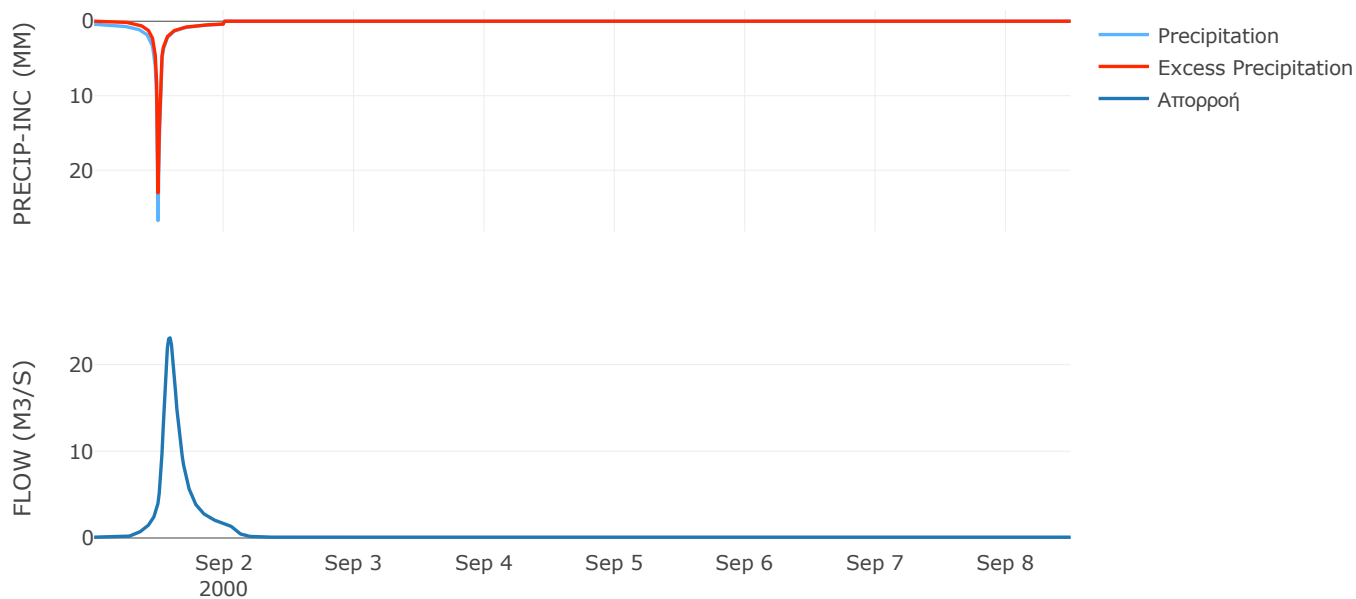
Μέθοδος
Μετασχηματισμού: SCS

Χρόνος Υστέρησης	109.71
------------------	--------

Αποτελέσματα:
EL0514FR4003

Παροχή αιχμής (M3/S)	23.09
Χρονική στιγμή αιχμής	01Sep2000, 14:00
Όγκος (MM)	140.25
Όγκος βροχόπτωσης (M3)	5.02E5
Όγκος απωλειών (M3)	1.23E5
Ενεργός Όγκος (M3)	3.79E5
Όγκος άμεσης απορροής (M3)	3.79E5
Όγκος βασικής απορροής (M3)	61022.16

Βροχόπτωση και Απορροή



Υπολεκάνη: EL0514FR4004

Έκταση (KM2) : 3.81

Κατάντη : J3

Μέθοδος Απωλειών: SCS

Ποσοστό αδιαπέρατης επιφάνειας	0
Αριθμός Καμπύλης Απορροής-CN	89.03
Αρχικές Απώλειες	6.26

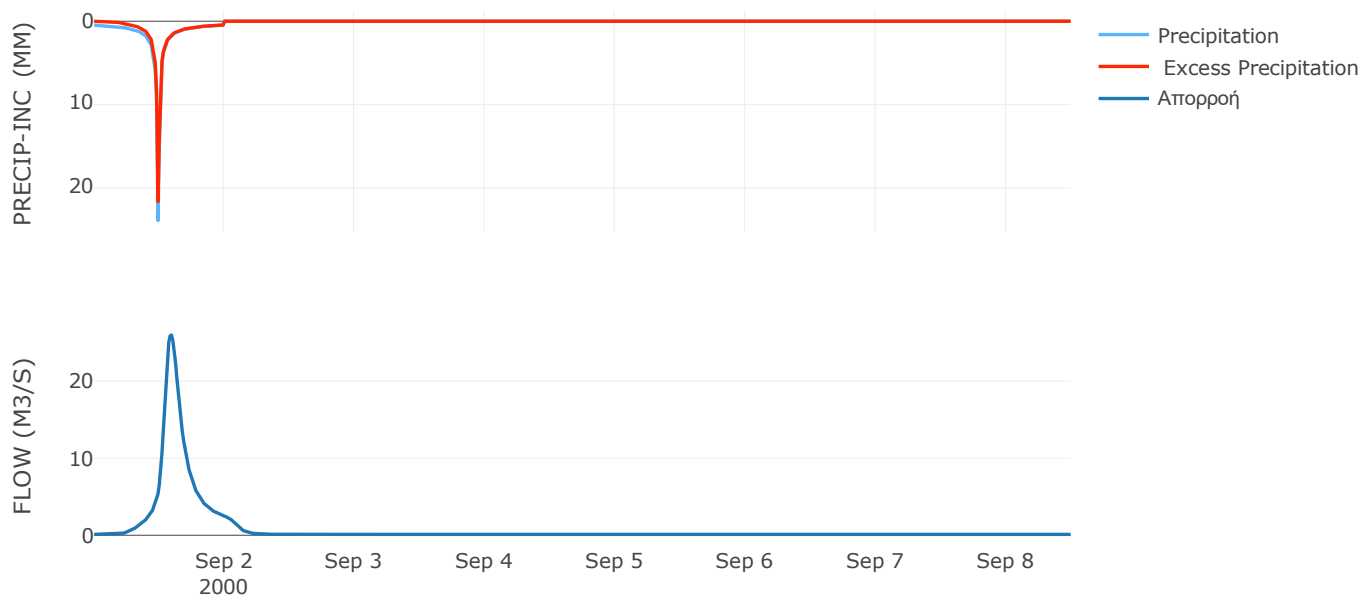
Μέθοδος
Μετασχηματισμού: SCS

Χρόνος Υστέρησης	124.88
------------------	--------

Αποτελέσματα:
EL0514FR4004

Παροχή αιχμής (M3/S)	25.97
Χρονική στιγμή αιχμής	01Sep2000, 14:15
Όγκος (MM)	150
Όγκος βροχόπτωσης (M3)	6.21E5
Όγκος απωλειών (M3)	1.23E5
Ενεργός Όγκος (M3)	4.98E5
Όγκος άμεσης απορροής (M3)	4.98E5
Όγκος βασικής απορροής (M3)	74124.72

Βροχόπτωση και Απορροή



Υπολεκάνη: EL0514FR4005

Έκταση (KM2) : 6.29

Κατάντη : J4

Μέθοδος Απωλειών: SCS

Ποσοστό αδιαπέρατης επιφάνειας	0
Αριθμός Καμπύλης Απορροής-CN	90.76
Αρχικές Απώλειες	5.17

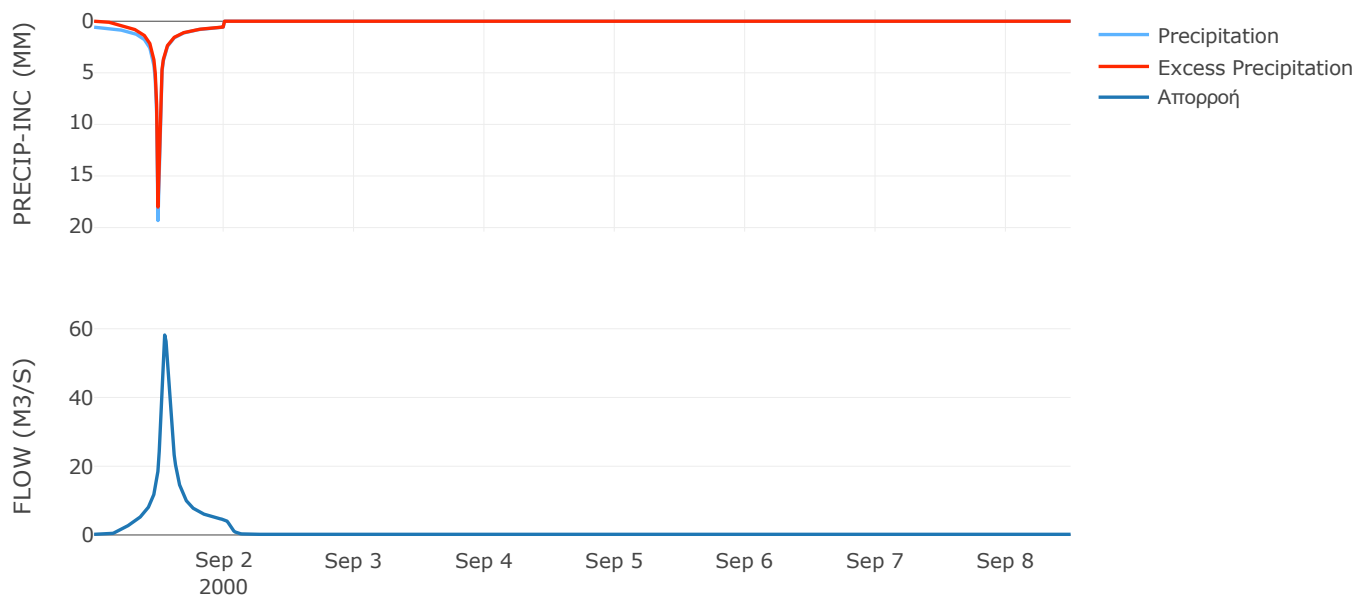
Μέθοδος
Μετασχηματισμού: SCS

Χρόνος Υστέρησης	61.51
------------------	-------

Αποτελέσματα:
EL0514FR4005

Παροχή αιχμής (M3/S)	58.18
Χρονική στιγμή αιχμής	01Sep2000, 13:00
Όγκος (MM)	158.47
Όγκος βροχόπτωσης (M3)	1.05E6
Όγκος απωλειών (M3)	1.73E5
Ενεργός Όγκος (M3)	8.75E5
Όγκος άμεσης απορροής (M3)	8.75E5
Όγκος βασικής απορροής (M3)	1.22E5

Βροχόπτωση και Απορροή



Υπολεκάνη: EL0514FR4006

Έκταση (KM2) : 8.52

Κατάντη : J5

Μέθοδος Απωλειών: SCS

Ποσοστό αδιαπέρατης επιφάνειας	0
Αριθμός Καμπύλης Απορροής-CN	90.66
Αρχικές Απώλειες	5.23

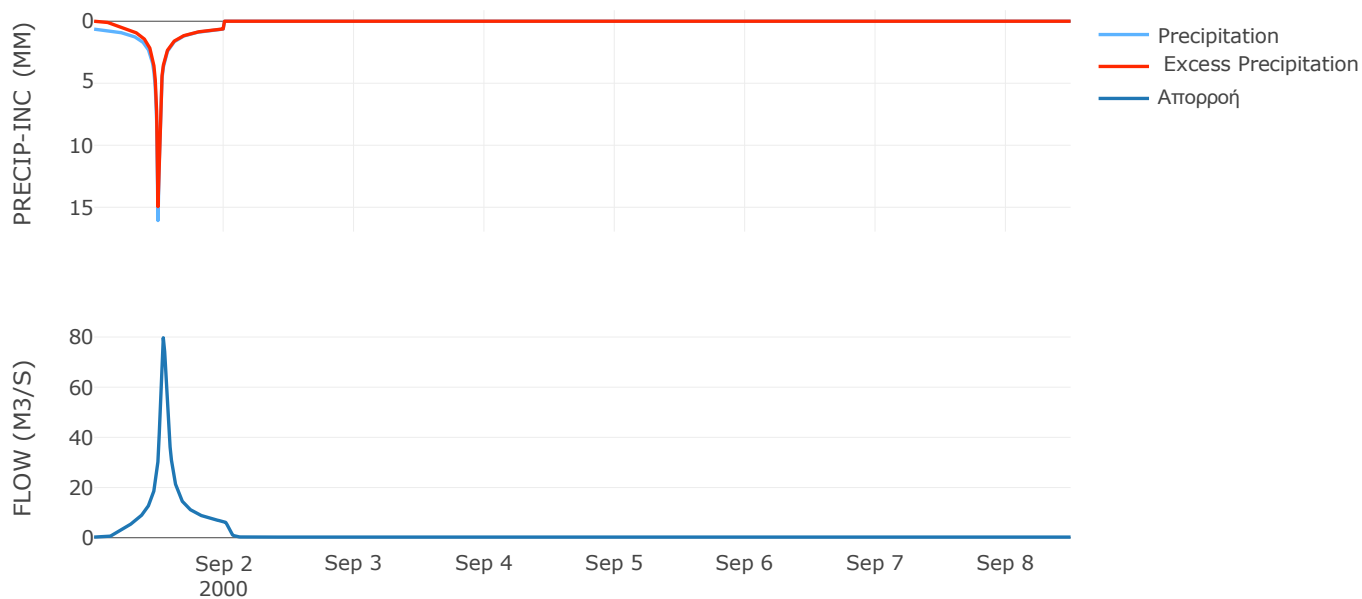
Μέθοδος
Μετασχηματισμού: SCS

Χρόνος Υστέρησης	43.87
------------------	-------

Αποτελέσματα:
EL0514FR4006

Παροχή αιχμής (M3/S)	79.69
Χρονική στιγμή αιχμής	01Sep2000, 12:45
Όγκος (MM)	155.27
Όγκος βροχόπτωσης (M3)	1.39E6
Όγκος απωλειών (M3)	2.36E5
Ενεργός Όγκος (M3)	1.16E6
Όγκος άμεσης απορροής (M3)	1.16E6
Όγκος βασικής απορροής (M3)	1.66E5

Βροχόπτωση και Απορροή



Υπολεκάνη: EL0514FR4007

Έκταση (KM2) : 45.77

Κατάντη : J6

Μέθοδος Απωλειών: SCS

Ποσοστό αδιαπέρατης επιφάνειας	0
Αριθμός Καμπύλης Απορροής-CN	90.5
Αρχικές Απώλειες	5.33

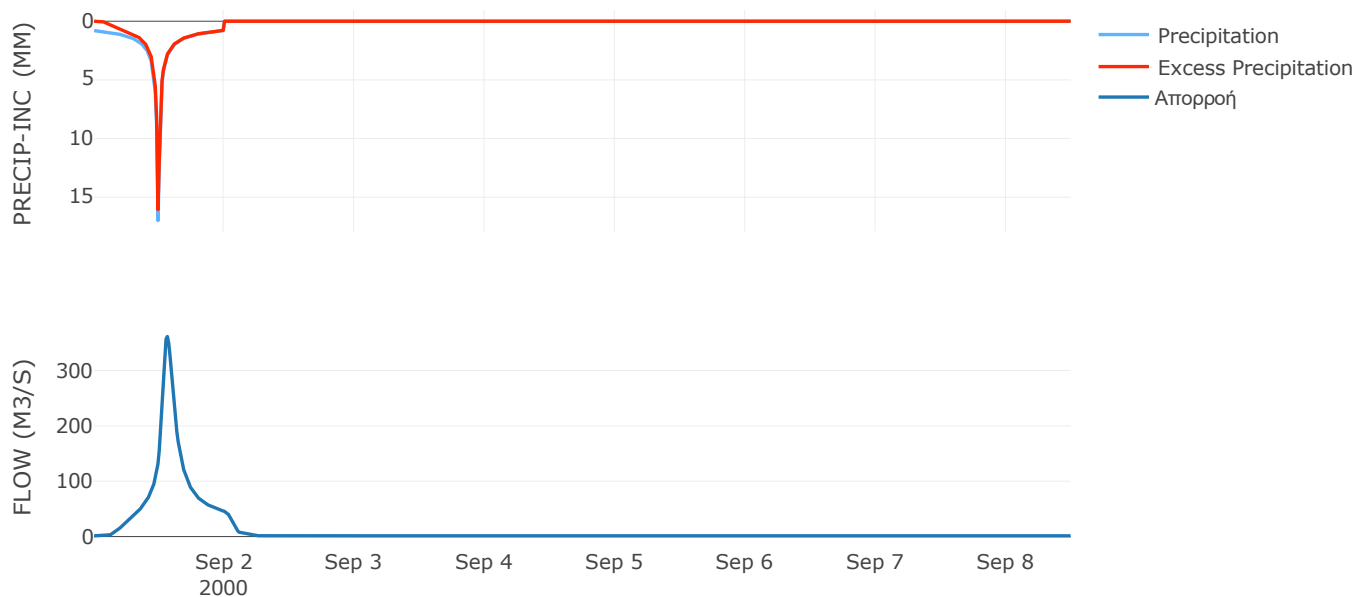
Μέθοδος
Μετασχηματισμού: SCS

Χρόνος Υστέρησης	84.06
------------------	-------

Αποτελέσματα:
EL0514FR4007

Παροχή αιχμής (M3/S)	361.41
Χρονική στιγμή αιχμής	01Sep2000, 13:30
Όγκος (MM)	182.75
Όγκος βροχόπτωσης (M3)	8.79E6
Όγκος απωλειών (M3)	1.31E6
Ενεργός Όγκος (M3)	7.47E6
Όγκος άμεσης απορροής (M3)	7.47E6
Όγκος βασικής απορροής (M3)	8.9E5

Βροχόπτωση και Απορροή



Υπολεκάνη: EL0514FR4008

Έκταση (KM2) : 14.21

Κατάντη : J6

Μέθοδος Απωλειών: SCS

Ποσοστό αδιαπέρατης επιφάνειας	0
Αριθμός Καμπύλης Απορροής-CN	90.69
Αρχικές Απώλειες	5.21

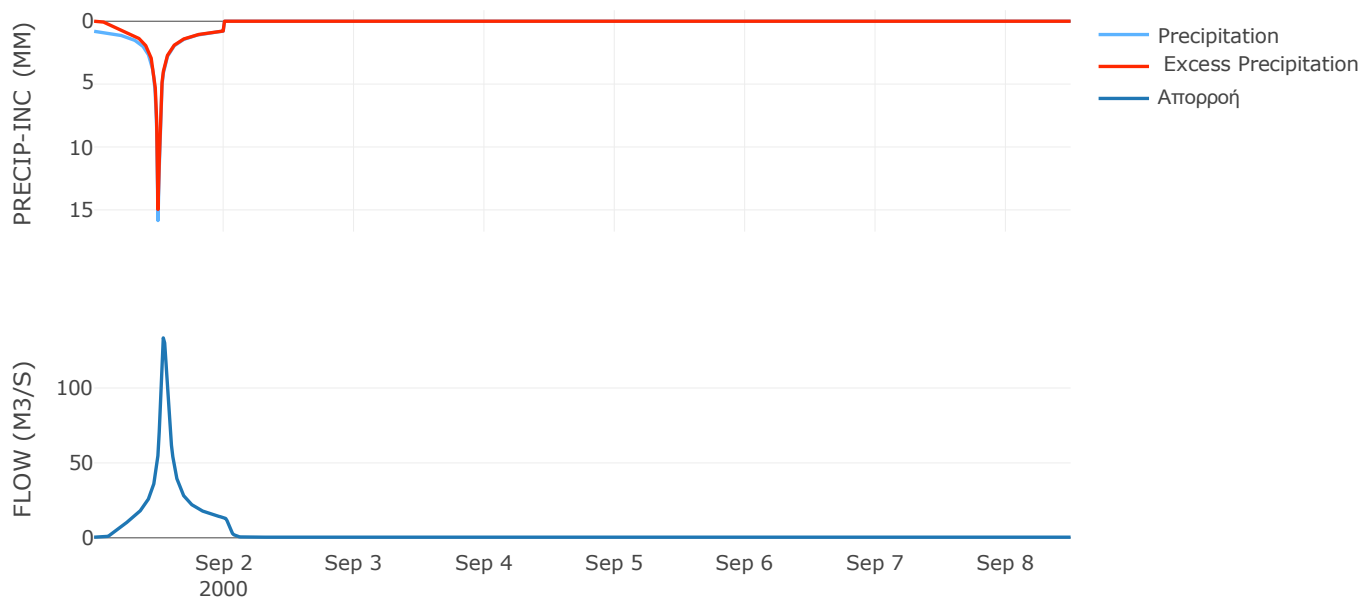
Μέθοδος
Μετασχηματισμού: SCS

Χρόνος Υστέρησης	48.67
------------------	-------

Αποτελέσματα:
EL0514FR4008

Παροχή αιχμής (M3/S)	133.43
Χρονική στιγμή αιχμής	01Sep2000, 12:45
Όγκος (MM)	178.45
Όγκος βροχόπτωσης (M3)	2.66E6
Όγκος απωλειών (M3)	3.98E5
Ενεργός Όγκος (M3)	2.26E6
Όγκος άμεσης απορροής (M3)	2.26E6
Όγκος βασικής απορροής (M3)	2.76E5

Βροχόπτωση και Απορροή



Υπολεκάνη: EL0514FR4009

Έκταση (KM2) : 12.22

Κατάντη : J10

Μέθοδος Απωλειών: SCS

Ποσοστό αδιαπέρατης επιφάνειας	0
Αριθμός Καμπύλης Απορροής-CN	90.94
Αρχικές Απώλειες	5.06

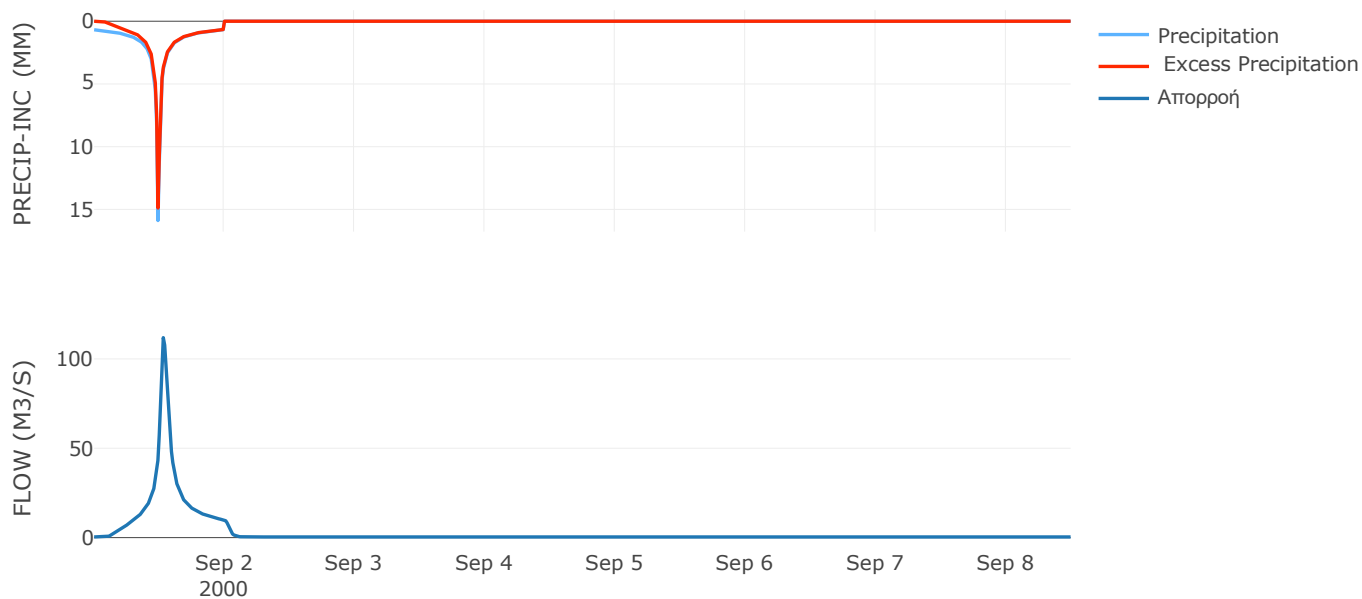
Μέθοδος
Μετασχηματισμού: SCS

Χρόνος Υστέρησης	47.51
------------------	-------

Αποτελέσματα:
EL0514FR4009

Παροχή αιχμής (M3/S)	111.9
Χρονική στιγμή αιχμής	01Sep2000, 12:45
Όγκος (MM)	161.52
Όγκος βροχόπτωσης (M3)	2.07E6
Όγκος απωλειών (M3)	3.3E5
Ενεργός Όγκος (M3)	1.74E6
Όγκος άμεσης απορροής (M3)	1.74E6
Όγκος βασικής απορροής (M3)	2.38E5

Βροχόπτωση και Απορροή



Υπολεκάνη: EL0514FR4010

Έκταση (KM2) : 13.42

Κατάντη : J7

Μέθοδος Απωλειών: SCS

Ποσοστό αδιαπέρατης επιφάνειας	0
Αριθμός Καμπύλης Απορροής-CN	91.05
Αρχικές Απώλειες	5

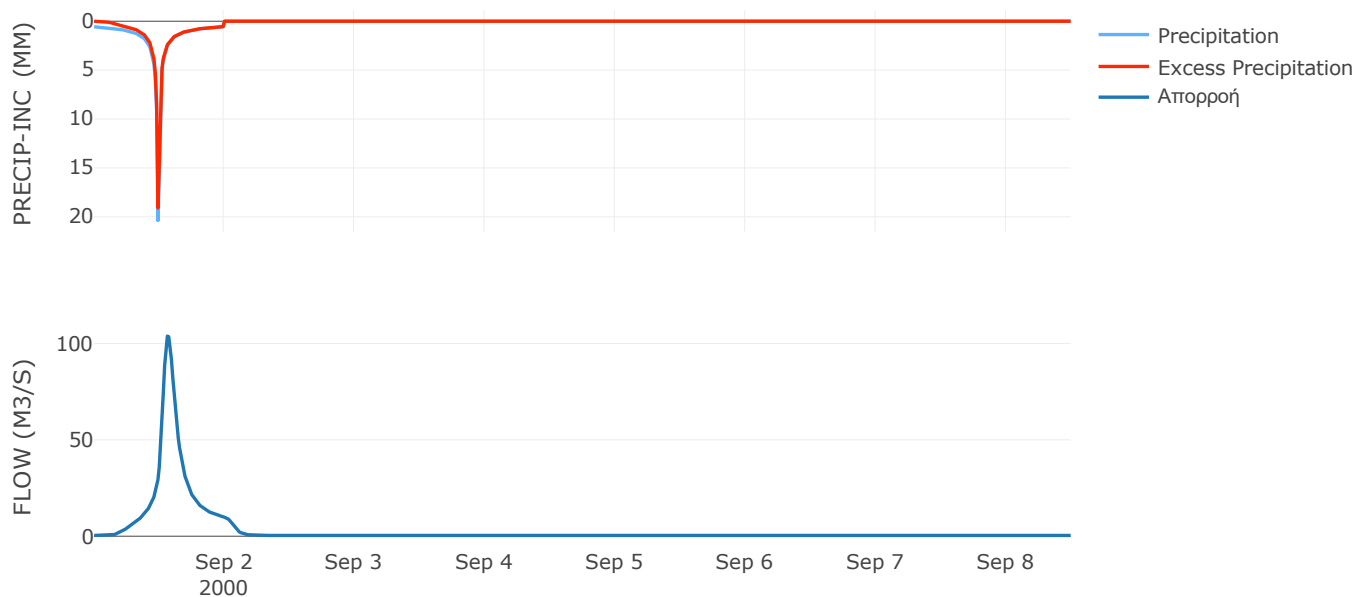
Μέθοδος
Μετασχηματισμού: SCS

Χρόνος Υστέρησης	94.49
------------------	-------

Αποτελέσματα:
EL0514FR4010

Παροχή αιχμής (M3/S)	103.83
Χρονική στιγμή αιχμής	01Sep2000, 13:30
Όγκος (MM)	161.29
Όγκος βροχόπτωσης (M3)	2.26E6
Όγκος απωλειών (M3)	3.58E5
Ενεργός Όγκος (M3)	1.9E6
Όγκος άμεσης απορροής (M3)	1.9E6
Όγκος βασικής απορροής (M3)	2.61E5

Βροχόπτωση και Απορροή



Υπολεκάνη: EL0514FR4011

Έκταση (KM2) : 14.76

Κατάντη : J7

Μέθοδος Απωλειών: SCS

Ποσοστό αδιαπέρατης επιφάνειας	0
Αριθμός Καμπύλης Απορροής-CN	80.4
Αρχικές Απώλειες	12.38

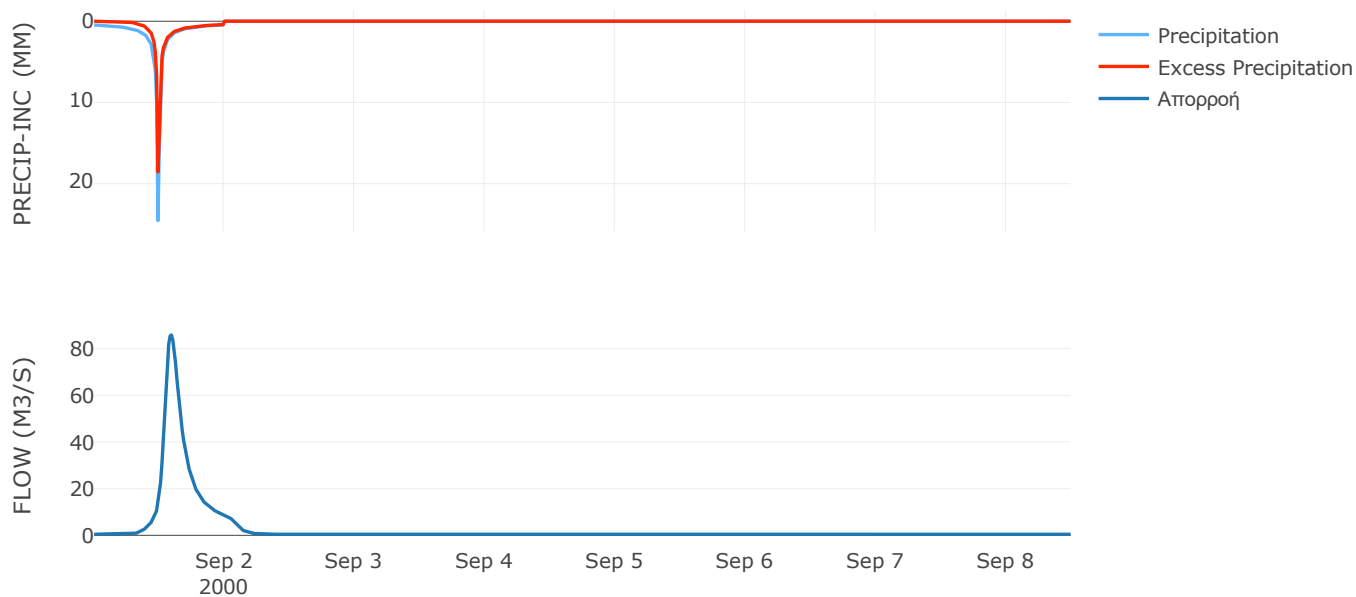
Μέθοδος
Μετασχηματισμού: SCS

Χρόνος Υστέρησης	121.78
------------------	--------

Αποτελέσματα:
EL0514FR4011

Παροχή αιχμής (M3/S)	85.92
Χρονική στιγμή αιχμής	01Sep2000, 14:15
Όγκος (MM)	125.85
Όγκος βροχόπτωσης (M3)	2.4E6
Όγκος απωλειών (M3)	8.3E5
Ενεργός Όγκος (M3)	1.57E6
Όγκος άμεσης απορροής (M3)	1.57E6
Όγκος βασικής απορροής (M3)	2.87E5

Βροχόπτωση και Απορροή



Υπολεκάνη: EL0514FR4012

Έκταση (KM2) : 8.26

Κατάντη : J8

Μέθοδος Απωλειών: SCS

Ποσοστό αδιαπέρατης επιφάνειας	0
Αριθμός Καμπύλης Απορροής-CN	88.09
Αρχικές Απώλειες	6.87

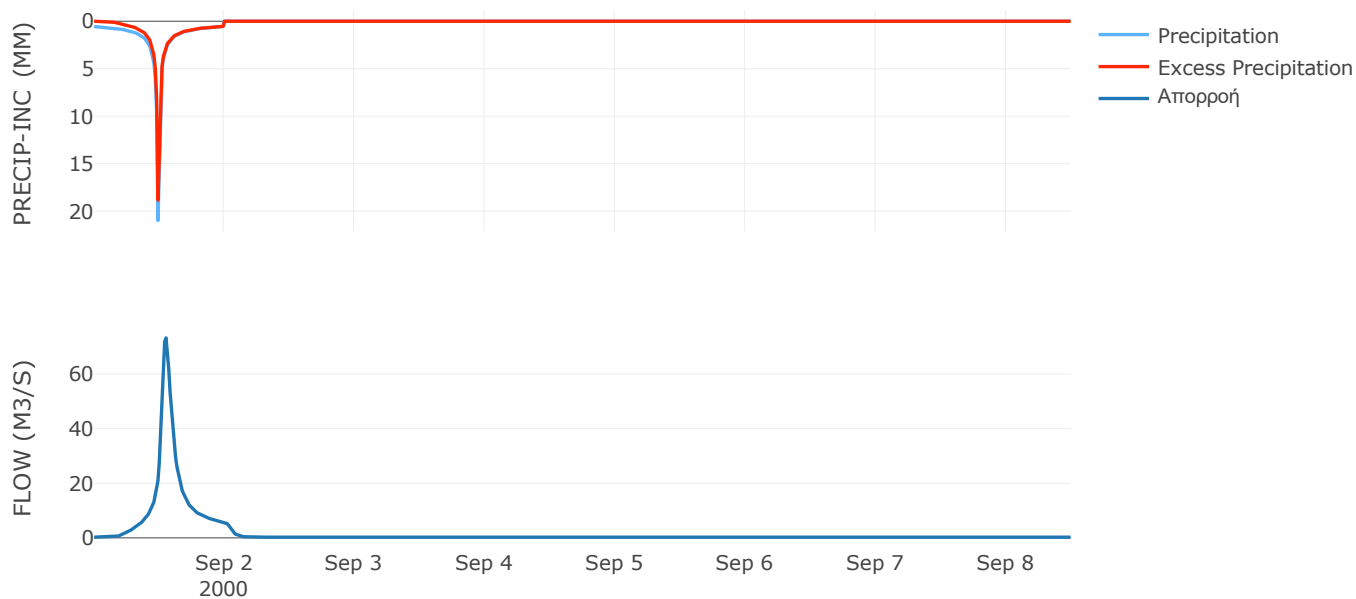
Μέθοδος
Μετασχηματισμού: SCS

Χρόνος Υστέρησης	69.24
------------------	-------

Αποτελέσματα:
EL0514FR4012

Παροχή αιχμής (M3/S)	73.24
Χρονική στιγμή αιχμής	01Sep2000, 13:15
Όγκος (MM)	153.63
Όγκος βροχόπτωσης (M3)	1.4E6
Όγκος απωλειών (M3)	2.91E5
Ενεργός Όγκος (M3)	1.11E6
Όγκος άμεσης απορροής (M3)	1.11E6
Όγκος βασικής απορροής (M3)	1.61E5

Βροχόπτωση και Απορροή



Υπολεκάνη: EL0514FR4013

Έκταση (KM2) : 22.16

Κατάντη : J9

Μέθοδος Απωλειών: SCS

Ποσοστό αδιαπέρατης επιφάνειας	0
Αριθμός Καμπύλης Απορροής-CN	90.82
Αρχικές Απώλειες	5.14

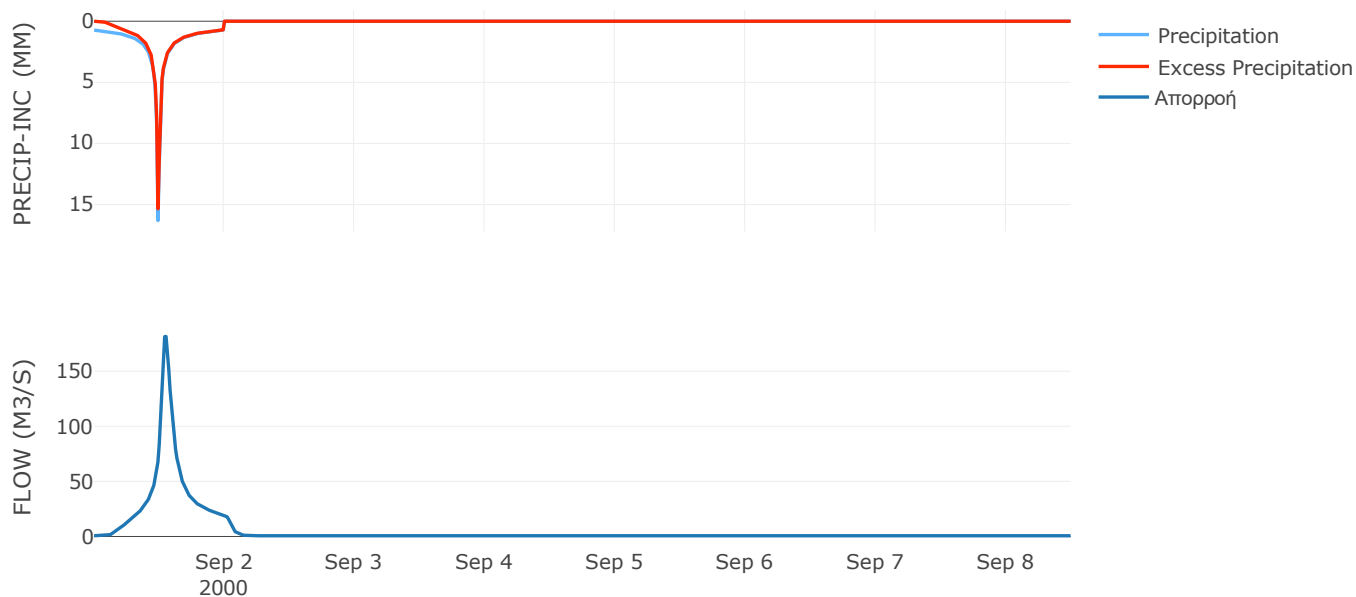
Μέθοδος
Μετασχηματισμού: SCS

Χρόνος Υστέρησης	66.58
------------------	-------

Αποτελέσματα:
EL0514FR4013

Παροχή αιχμής (M3/S)	181.47
Χρονική στιγμή αιχμής	01Sep2000, 13:15
Όγκος (MM)	169.65
Όγκος βροχόπτωσης (M3)	3.94E6
Όγκος απωλειών (M3)	6.09E5
Ενεργός Όγκος (M3)	3.33E6
Όγκος άμεσης απορροής (M3)	3.33E6
Όγκος βασικής απορροής (M3)	4.31E5

Βροχόπτωση και Απορροή



Υπολεκάνη: EL0514FR4014

Έκταση (KM2) : 1.47

Κατάντη : J3

Μέθοδος Απωλειών: SCS

Ποσοστό αδιαπέρατης επιφάνειας	0
Αριθμός Καμπύλης Απορροής-CN	89.02
Αρχικές Απώλειες	6.27

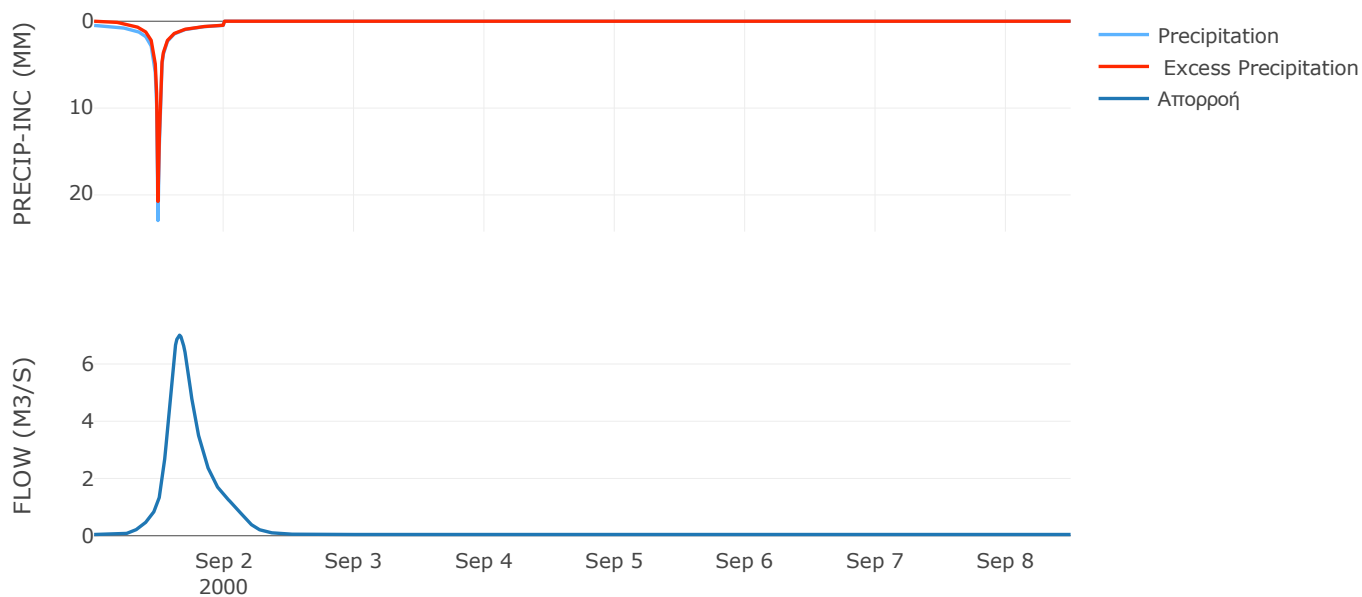
Μέθοδος
Μετασχηματισμού: SCS

Χρόνος Υστέρησης	212.4
------------------	-------

Αποτελέσματα:
EL0514FR4014

Παροχή αιχμής (M3/S)	7.01
Χρονική στιγμή αιχμής	01Sep2000, 15:45
Όγκος (MM)	149.64
Όγκος βροχόπτωσης (M3)	2.39E5
Όγκος απωλειών (M3)	47630.46
Ενεργός Όγκος (M3)	1.92E5
Όγκος άμεσης απορροής (M3)	1.92E5
Όγκος βασικής απορροής (M3)	28596.24

Βροχόπτωση και Απορροή



Υπολεκάνη: EL0514FR4015

Έκταση (KM2) : 32.03

Κατάνη : J11

Μέθοδος Απωλειών: SCS

Ποσοστό αδιαπέρατης επιφάνειας	0
Αριθμός Καμπύλης Απορροής-CN	90.81
Αρχικές Απώλειες	5.14

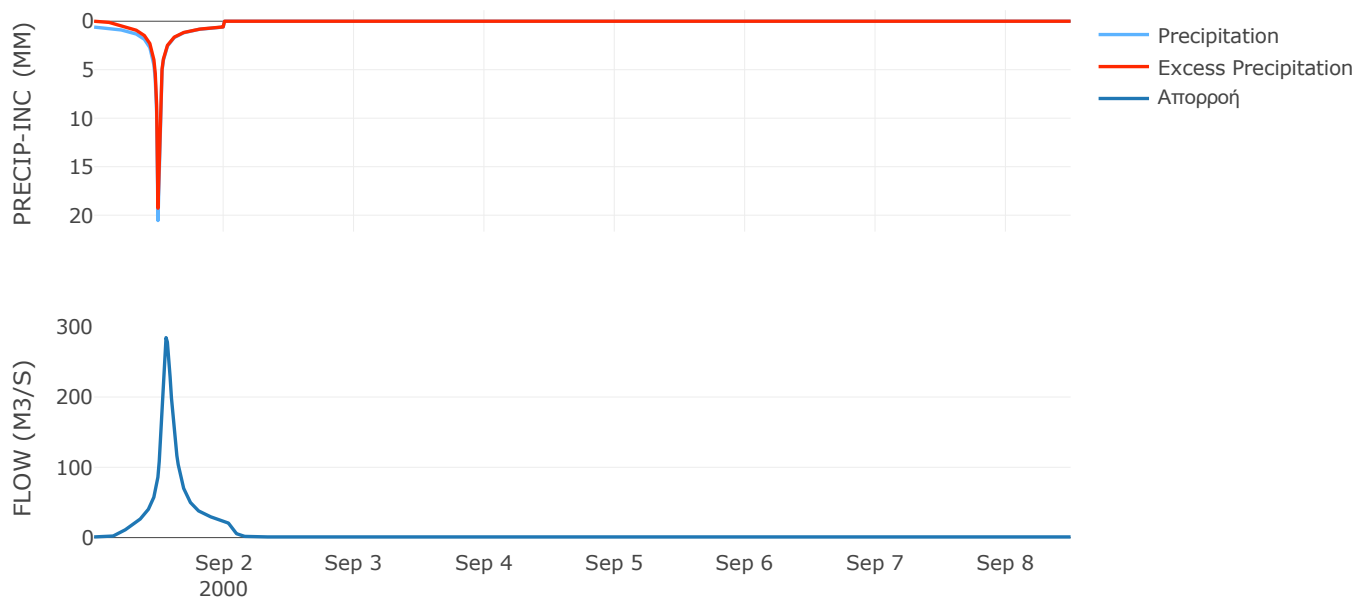
Μέθοδος
Μετασχηματισμού: SCS

Χρόνος Υστέρησης	76.18
------------------	-------

Αποτελέσματα:
EL0514FR4015

Παροχή αιχμής (M3/S)	284.49
Χρονική στιγμή αιχμής	01Sep2000, 13:15
Όγκος (MM)	167.02
Όγκος βροχόπτωσης (M3)	5.61E6
Όγκος απωλειών (M3)	8.8E5
Ενεργός Όγκος (M3)	4.73E6
Όγκος άμεσης απορροής (M3)	4.73E6
Όγκος βασικής απορροής (M3)	6.23E5

Βροχόπτωση και Απορροή



Υπολεκάνη: EL0514FR4016

Έκταση (KM2) : 25.77

Κατάντη : J12

Μέθοδος Απωλειών: SCS

Ποσοστό αδιαπέρατης επιφάνειας	0
Αριθμός Καμπύλης Απορροής-CN	90.31
Αρχικές Απώλειες	5.45

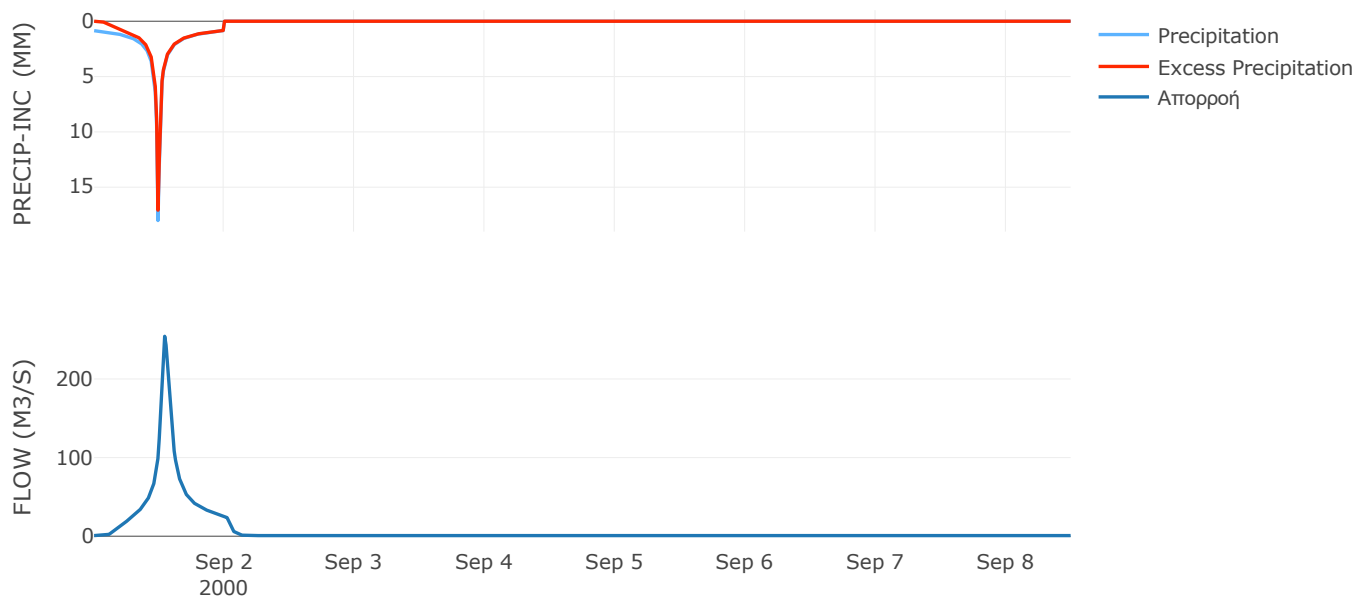
Μέθοδος
Μετασχηματισμού: SCS

Χρόνος Υστέρησης	58.54
------------------	-------

Αποτελέσματα:
EL0514FR4016

Παροχή αιχμής (M3/S)	254.31
Χρονική στιγμή αιχμής	01Sep2000, 13:00
Όγκος (MM)	194.31
Όγκος βροχόπτωσης (M3)	5.26E6
Όγκος απωλειών (M3)	7.58E5
Ενεργός Όγκος (M3)	4.51E6
Όγκος άμεσης απορροής (M3)	4.51E6
Όγκος βασικής απορροής (M3)	5.01E5

Βροχόπτωση και Απορροή



Υπολεκάνη: EL0514FR4017

Έκταση (KM2) : 10.84

Κατάντη : J12

Μέθοδος Απωλειών: SCS

Ποσοστό αδιαπέρατης επιφάνειας	0
Αριθμός Καμπύλης Απορροής-CN	90.44
Αρχικές Απώλειες	5.37

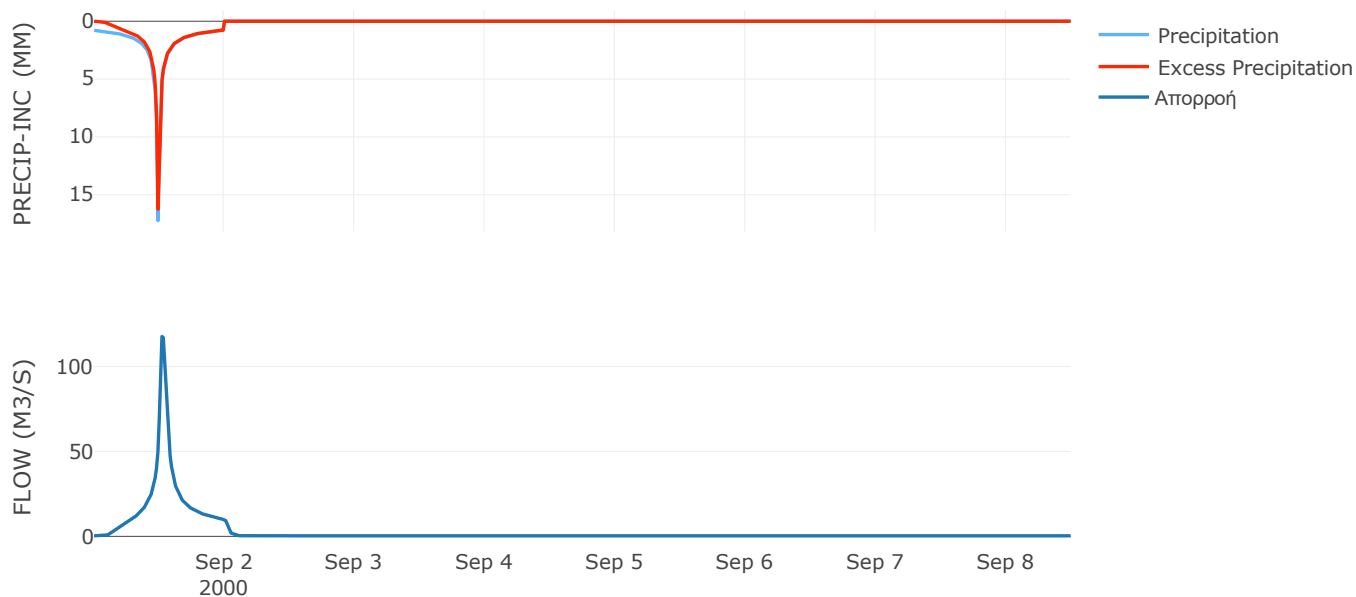
Μέθοδος
Μετασχηματισμού: SCS

Χρόνος Υστέρησης	37.3
------------------	------

Αποτελέσματα:
EL0514FR4017

Παροχή αιχμής (M3/S)	117.64
Χρονική στιγμή αιχμής	01Sep2000, 12:30
Όγκος (MM)	181.53
Όγκος βροχόπτωσης (M3)	2.07E6
Όγκος απωλειών (M3)	3.13E5
Ενεργός Όγκος (M3)	1.76E6
Όγκος άμεσης απορροής (M3)	1.76E6
Όγκος βασικής απορροής (M3)	2.11E5

Βροχόπτωση και Απορροή



7.2 Δεδομένα και υδρογραφήματα σχεδιασμού Κλάδων υδρογραφικού δικτύου

Κλάδος: R21

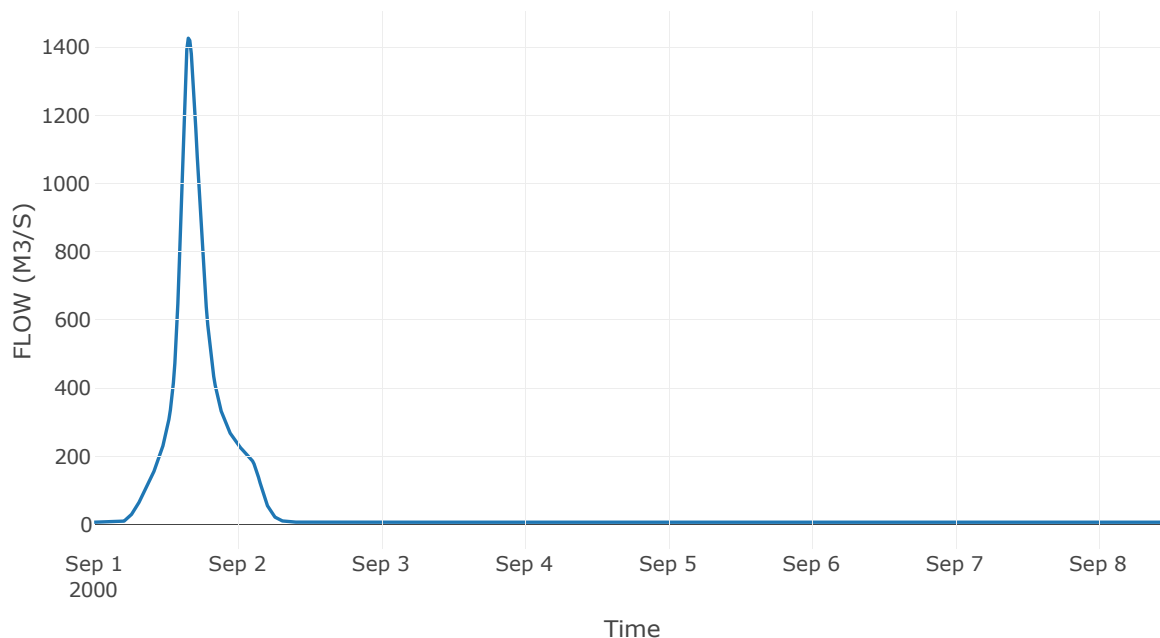
Κατάντη : J1

Μέθοδος Διόδευσης	Muskingum
Αρχική Μεταβλητή	Combined Inflow
Χρόνος Ροής K	0.69
Συντελεστής βάρους x	0.2
Πλήθος Υποκλάδων	3

Αποτελέσματα: R21

Παροχή Αιχμής(M3/S)	1426.45
Χρονική στιγμή αιχμής	01Sep2000, 15:45
Όγκος(MM)	169.75
Παροχή Αιχμής Εισόδου (M3/S)	1457.55
Όγκος Εισροής(M3)	3.78E7

Απορροή



Κλάδος: R32

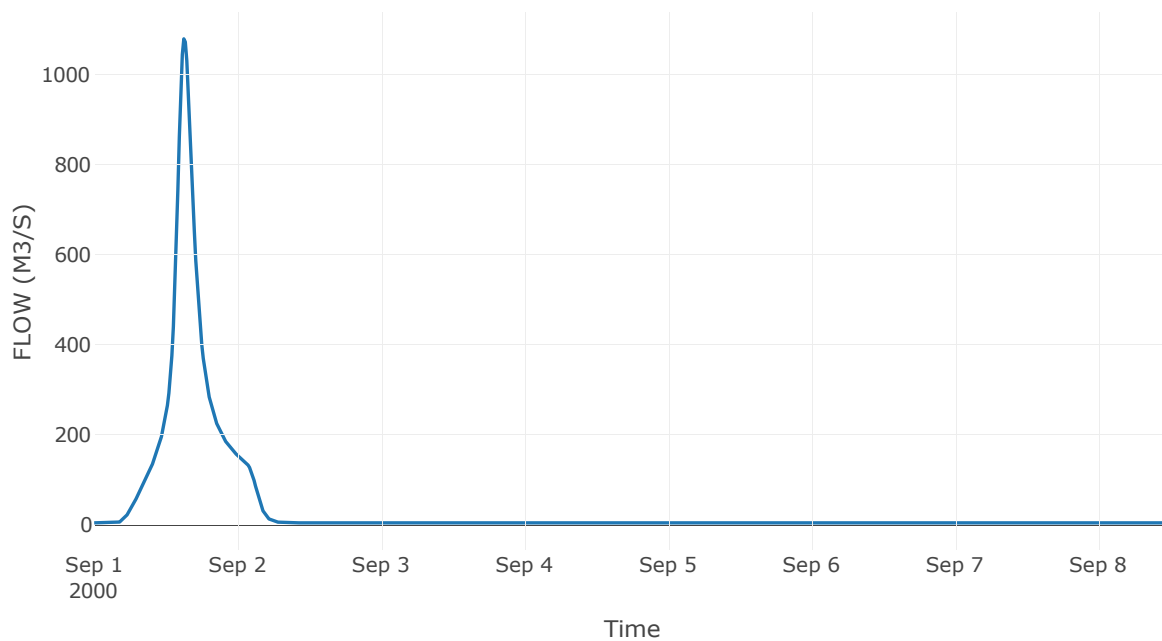
Κατάντη : J2

Μέθοδος Διόδευσης	Χρόνος
Αρχική Μεταβλητή	Combined Inflow
Χρόνος Υστέρησης	4.67

Αποτελέσματα: R32

Παροχή Αιχμής(M3/S)	1079.35
Χρονική στιγμή αιχμής	01Sep2000, 15:00
Όγκος(MM)	177.09
Παροχή Αιχμής Εισόδου (M3/S)	1085.56
Όγκος Εισροής(M3)	2.63E7

Απορροή



Κλάδος: R43

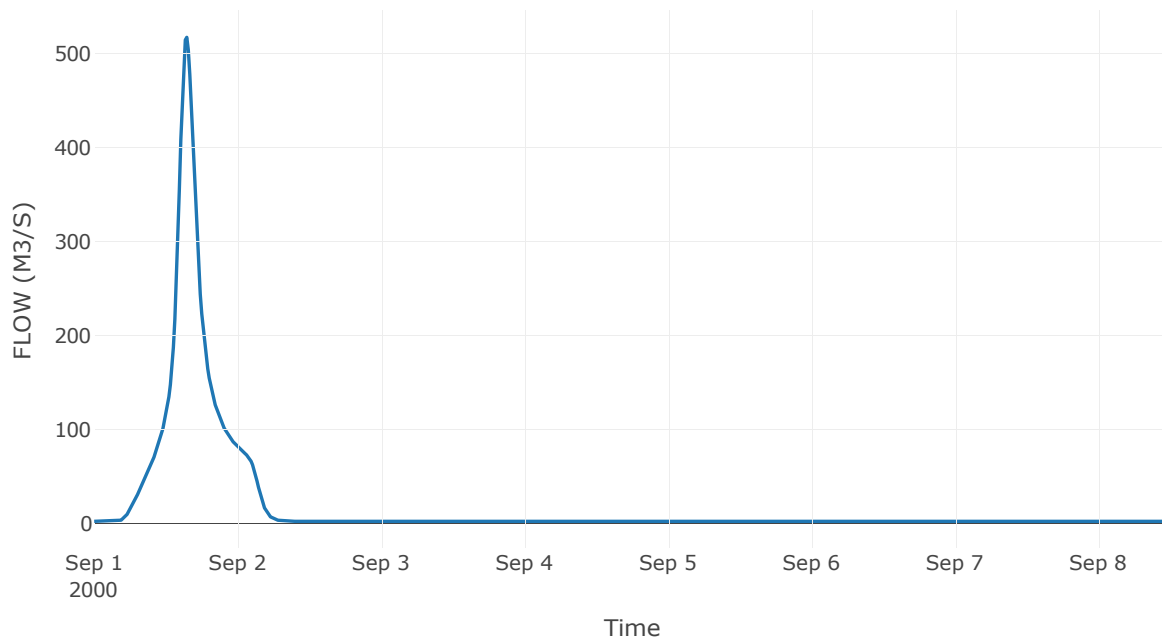
Κατάντη : J3

Μέθοδος Διόδευσης	Muskingum
Αρχική Μεταβλητή	Combined Inflow
Χρόνος Ροής K	1.26
Συντελεστής βάρους x	0.2
Πλήθος Υποκλάδων	5

Αποτελέσματα: R43

Παροχή Αιχμής(M3/S)	517.2
Χρονική στιγμή αιχμής	01Sep2000, 15:30
Όγκος(MM)	176.76
Παροχή Αιχμής Εισόδου (M3/S)	546.34
Όγκος Εισροής(M3)	1.32E7

Απορροή



Κλάδος: R54

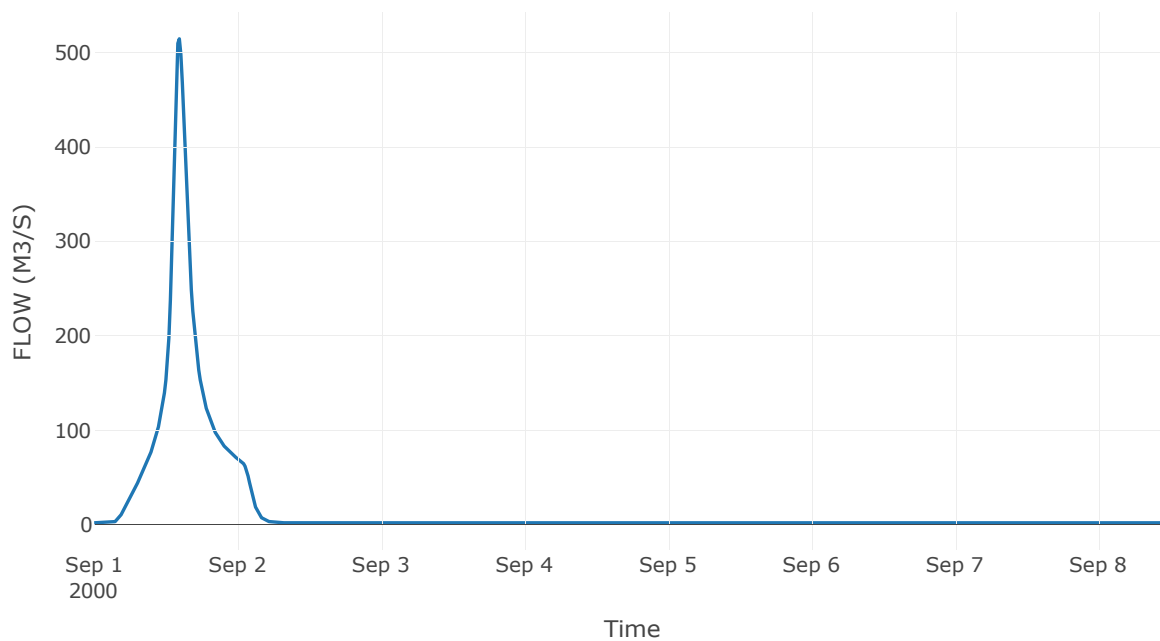
Κατάντη : J4

Μέθοδος Διόδευσης	Χρόνος
Αρχική Μεταβλητή	Combined Inflow
Χρόνος Υστέρησης	34.19

Αποτελέσματα: R54

Παροχή Αιχμής(M3/S)	514.35
Χρονική στιγμή αιχμής	01Sep2000, 14:15
Όγκος(MM)	178.44
Παροχή Αιχμής Εισόδου (M3/S)	516
Όγκος Εισροής(M3)	1.22E7

Απορροή



Κλάδος: R65

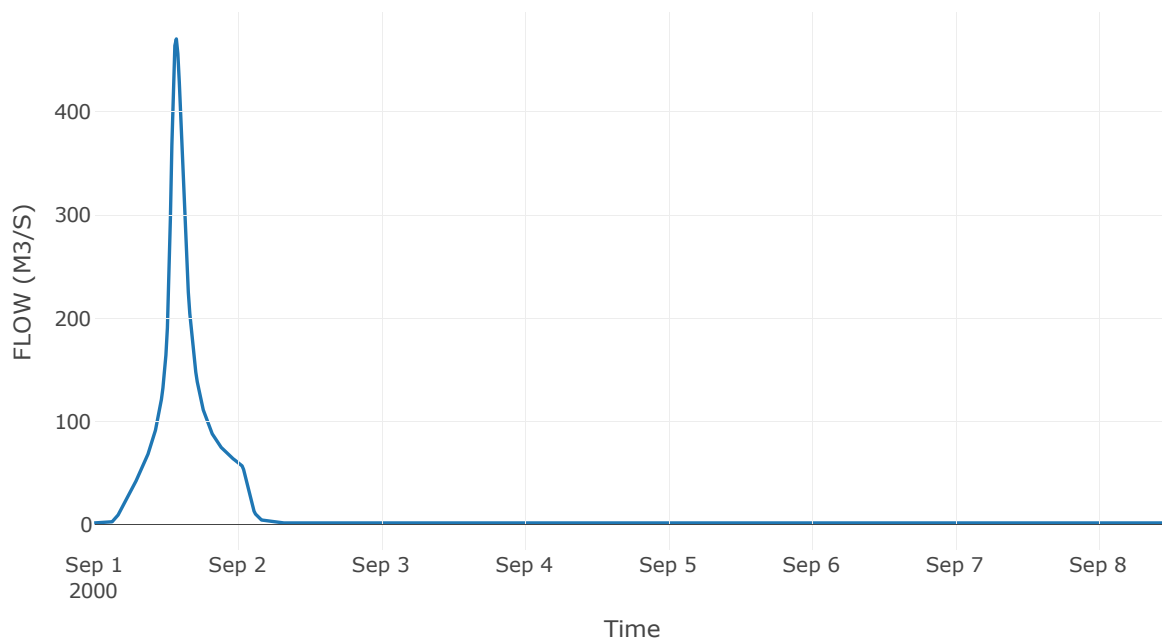
Κατάντη : J5

Μέθοδος Διόδευσης	Χρόνος
Αρχική Μεταβλητή	Combined Inflow
Χρόνος Υστέρησης	28.76

Αποτελέσματα: R65

Παροχή Αιχμής(M3/S)	470.78
Χρονική στιγμή αιχμής	01Sep2000, 13:45
Όγκος(MM)	181.73
Παροχή Αιχμής Εισόδου (M3/S)	472.44
Όγκος Εισροής(M3)	1.09E7

Απορροή



Κλάδος: R72

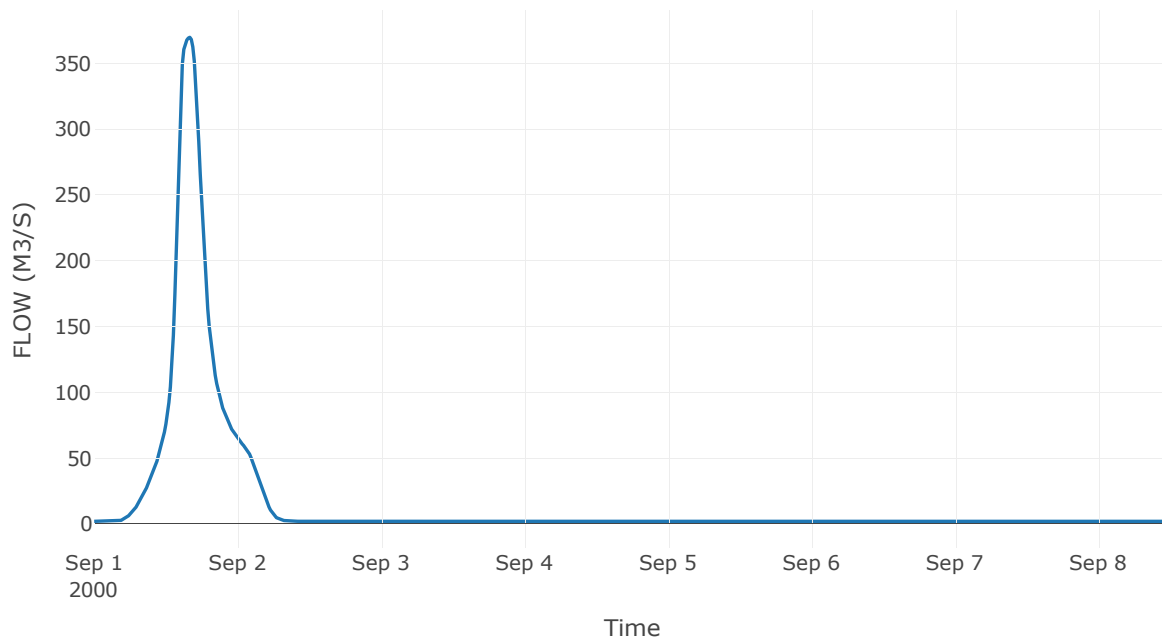
Κατάντη : J2

Μέθοδος Διόδευσης	Muskingum
Αρχική Μεταβλητή	Combined Inflow
Χρόνος Ροής K	1.12
Συντελεστής βάρους x	0.2
Πλήθος Υποκλάδων	5

Αποτελέσματα: R72

Παροχή Αιχμής(M3/S)	369.8
Χρονική στιγμή αιχμής	01Sep2000, 16:00
Όγκος(MM)	155.67
Παροχή Αιχμής Εισόδου (M3/S)	372.76
Όγκος Εισροής(M3)	1.1E7

Απορροή



Κλάδος: R87

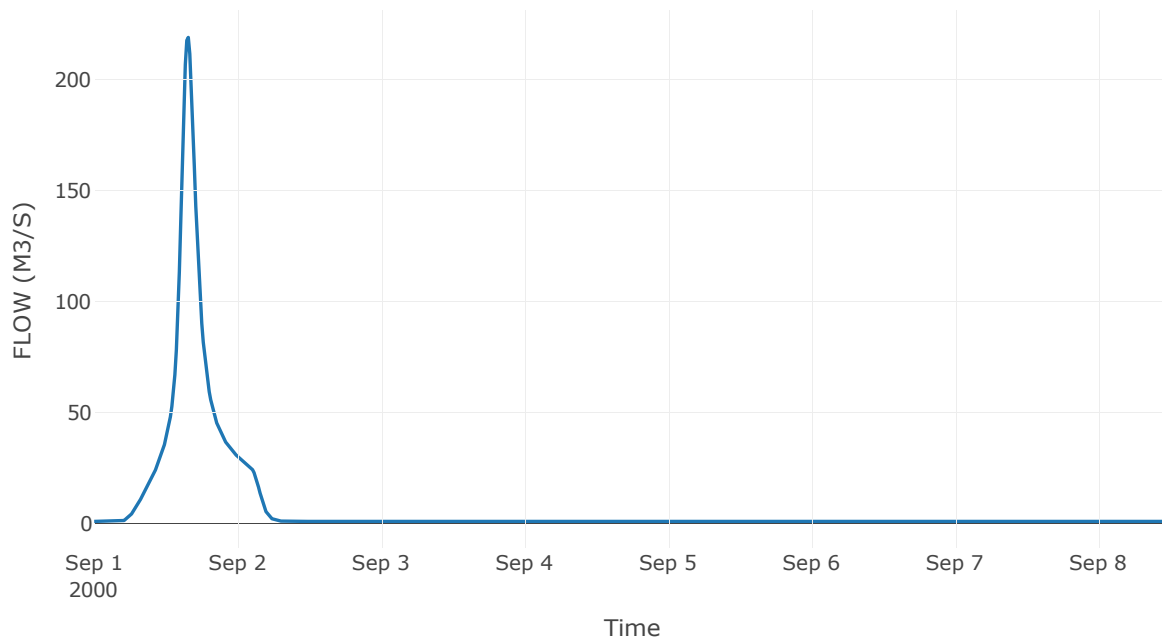
Κατάντη : J7

Μέθοδος Διόδευσης	Muskingum
Αρχική Μεταβλητή	Combined Inflow
Χρόνος Ροής K	2.02
Συντελεστής βάρους x	0.2
Πλήθος Υποκλάδων	9

Αποτελέσματα: R87

Παροχή Αιχμής(M3/S)	218.87
Χρονική στιγμή αιχμής	01Sep2000, 15:45
Όγκος(MM)	165.3
Παροχή Αιχμής Εισόδου (M3/S)	245.8
Όγκος Εισροής(M3)	5.03E6

Απορροή



Κλάδος: R98

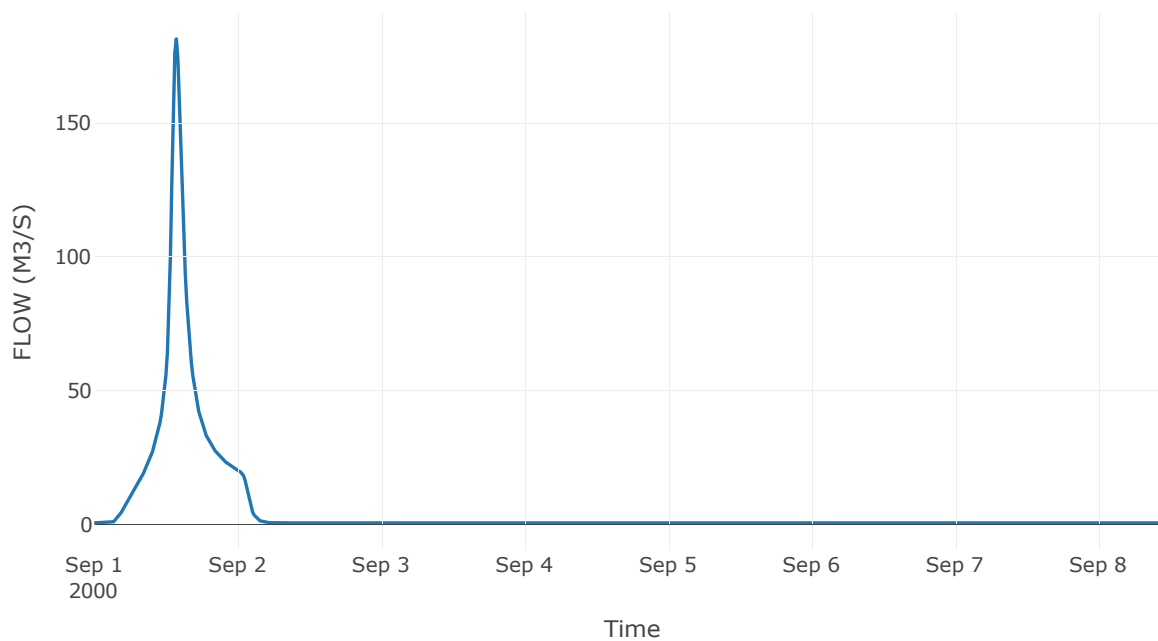
Κατάντη : J8

Μέθοδος Διόδευσης	Χρόνος
Αρχική Μεταβλητή	Combined Inflow
Χρόνος Υστέρησης	35.24

Αποτελέσματα: R98

Παροχή Αιχμής(M3/S)	181.41
Χρονική στιγμή αιχμής	01Sep2000, 13:45
Όγκος(MM)	169.65
Παροχή Αιχμής Εισόδου (M3/S)	181.47
Όγκος Εισροής(M3)	3.76E6

Απορροή



Κλάδος: R107

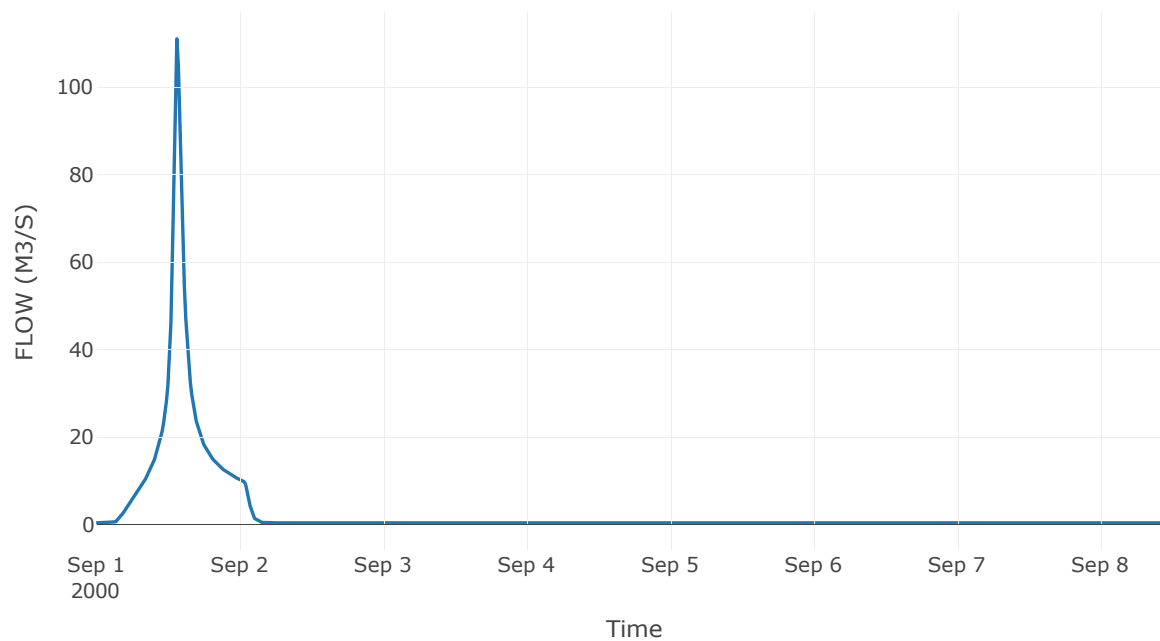
Κατάντη : J7

Μέθοδος Διόδευσης	Χρόνος
Αρχική Μεταβλητή	Combined Inflow
Χρόνος Υστέρησης	42.24

Αποτελέσματα: R107

Παροχή Αιχμής(M3/S)	111.07
Χρονική στιγμή αιχμής	01Sep2000, 13:30
Όγκος(MM)	161.52
Παροχή Αιχμής Εισόδου (M3/S)	111.9
Όγκος Εισροής(M3)	1.97E6

Απορροή



Κλάδος: R113

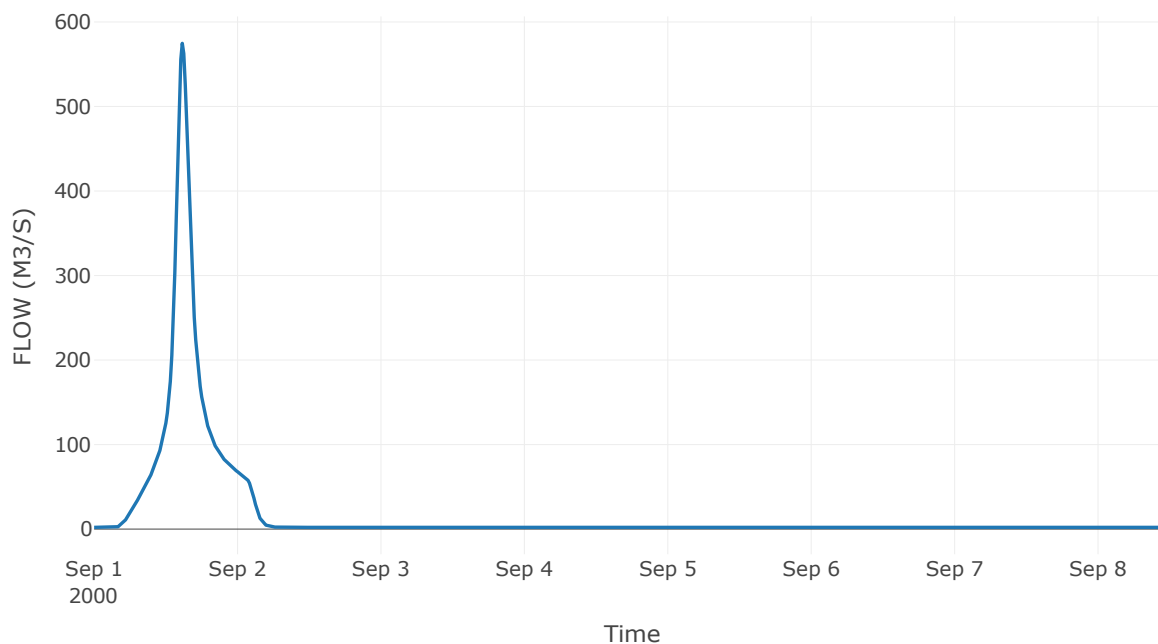
Κατάντη : J3

Μέθοδος Διόδευσης	Muskingum
Αρχική Μεταβλητή	Combined Inflow
Χρόνος Ροής Κ	1.13
Συντελεστής βάρους x	0.2
Πλήθος Υποκλάδων	5

Αποτελέσματα: R113

Παροχή Αιχμής(M3/S)	574.73
Χρονική στιγμή αιχμής	01Sep2000, 14:45
Όγκος(MM)	179.56
Παροχή Αιχμής Εισόδου (M3/S)	616.97
Όγκος Εισροής(M3)	1.23E7

Απορροή



Κλάδος: R1211

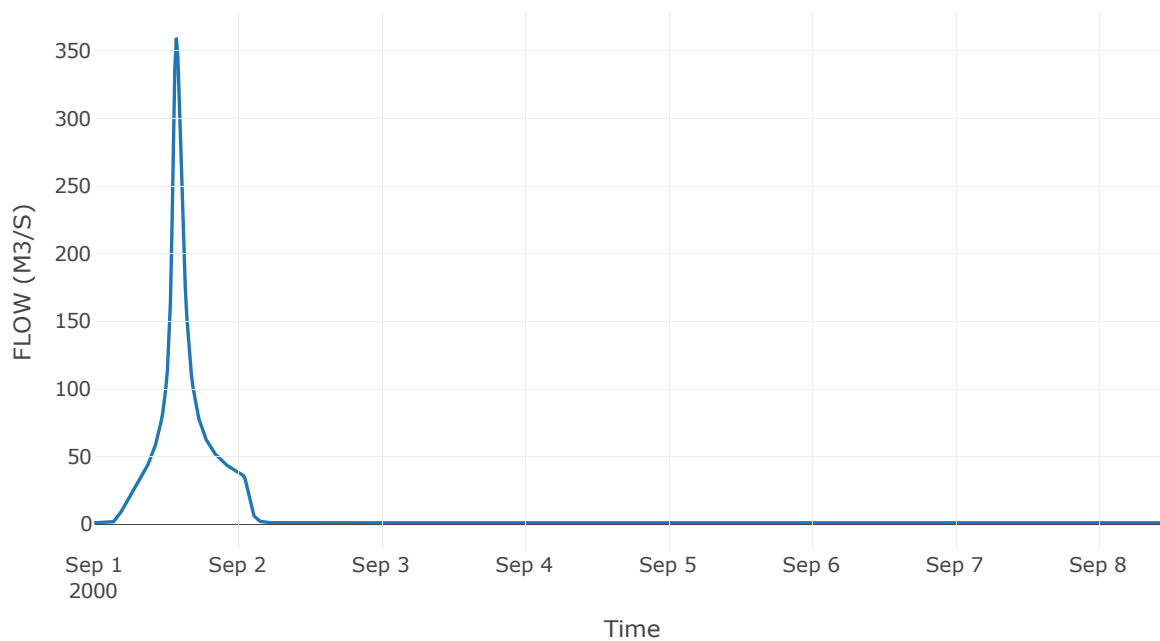
Κατάντη : J11

Μέθοδος Διόδευσης	Χρόνος
Αρχική Μεταβλητή	Combined Inflow
Χρόνος Υστέρησης	55.47

Αποτελέσματα: R1211

Παροχή Αιχμής(M3/S)	358.84
Χρονική στιγμή αιχμής	01Sep2000, 13:45
Όγκος(MM)	190.52
Παροχή Αιχμής Εισόδου (M3/S)	360.61
Όγκος Εισροής(M3)	6.97E6

Απορροή



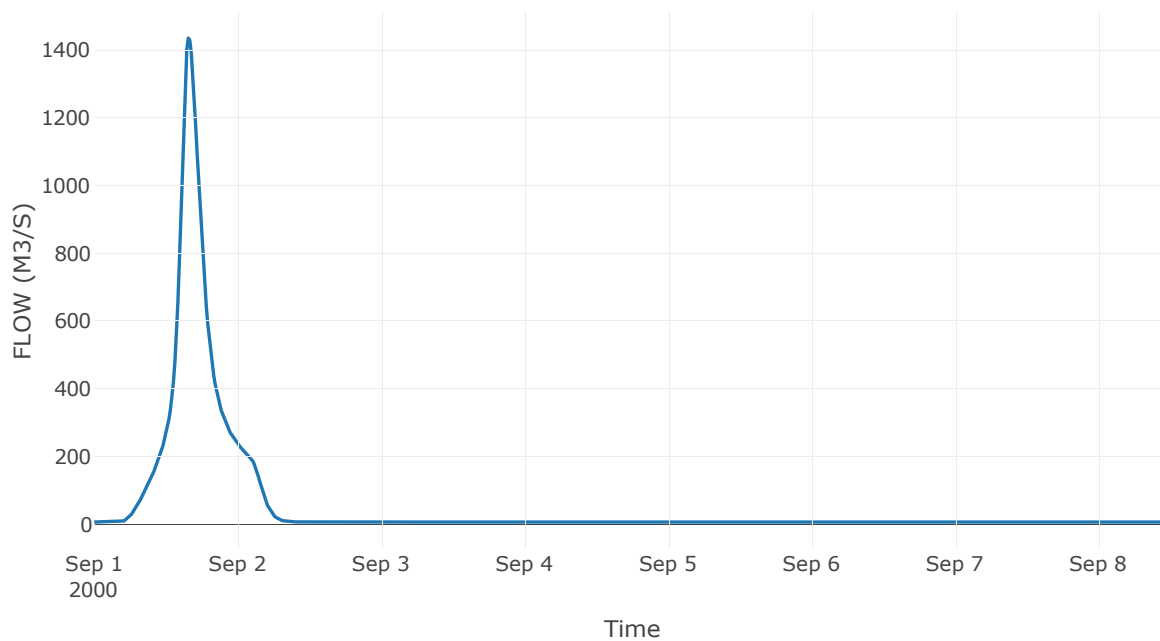
7.3 Δεδομένα και υδρογραφήματα σχεδιασμού Κόμβων υδρογραφικού δικτύου

Κόμβος: J1

Αποτελέσματ
α: J1

Παροχή αιχμής (M3/S)	1434.64
Χρονική στιγμή αιχμής	01Sep2000, 15:45
Όγκος (MM)	169.61

Απορροή

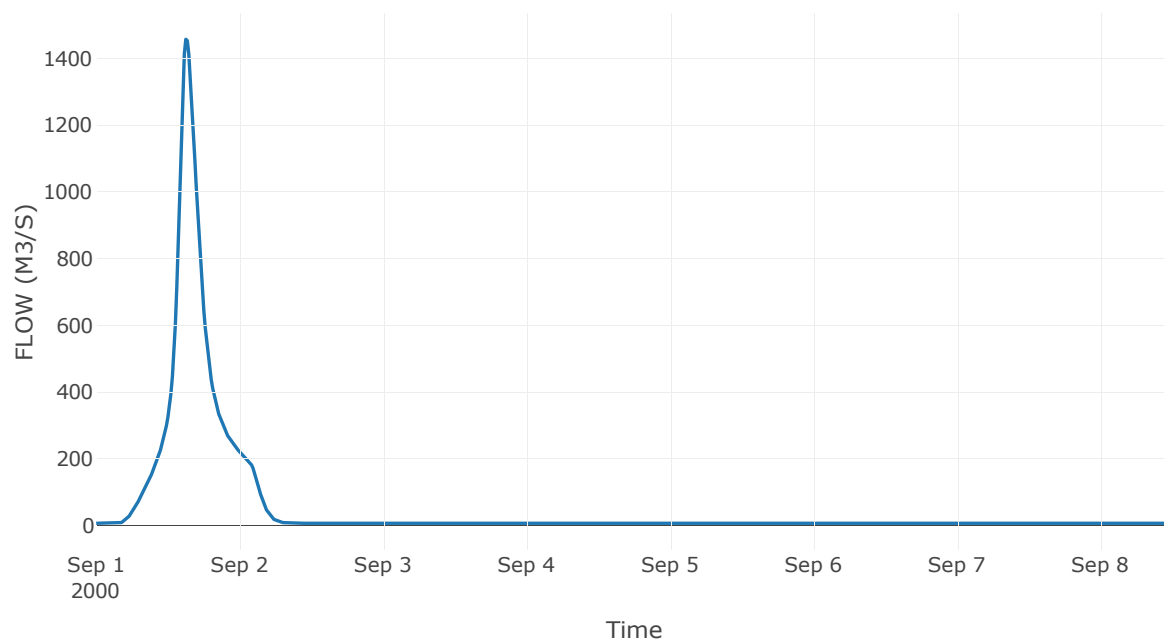


Κόμβος: J2

Αποτελέσμα
α: J2

Παροχή αιχμής (M3/S)	1457.55
Χρονική στιγμή αιχμής	01Sep2000, 15:00
Όγκος (MM)	169.75

Απορροή

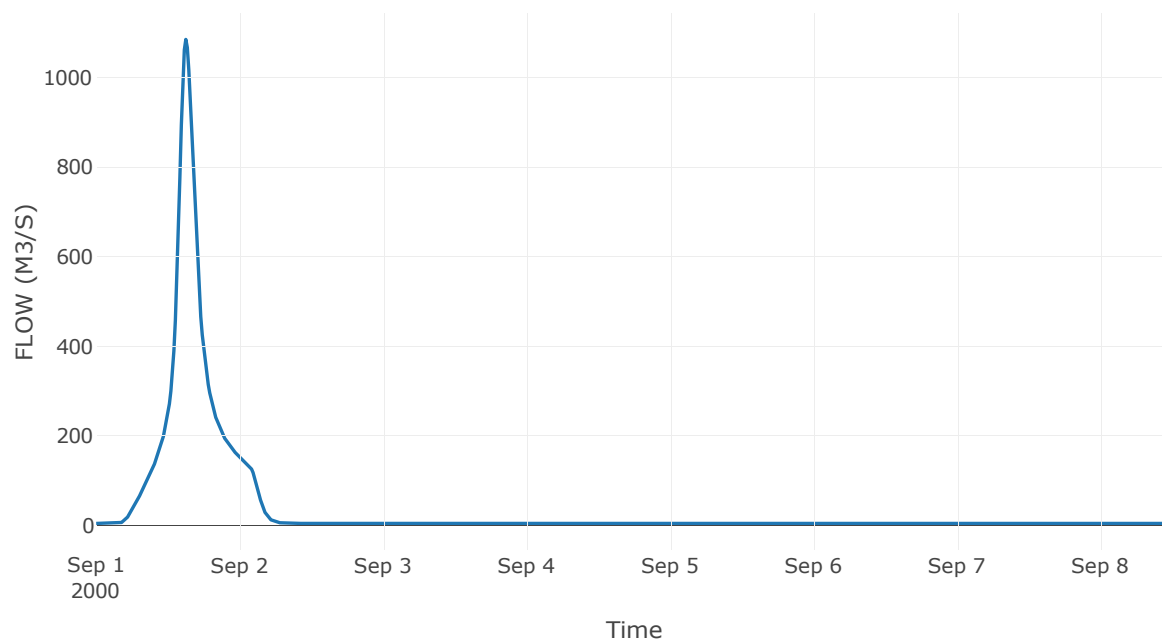


Κόμβος: J3

Αποτελέσμα
α: J3

Παροχή αιχμής (M3/S)	1085.56
Χρονική στιγμή αιχμής	01Sep2000, 15:00
Όγκος (MM)	177.09

Απορροή

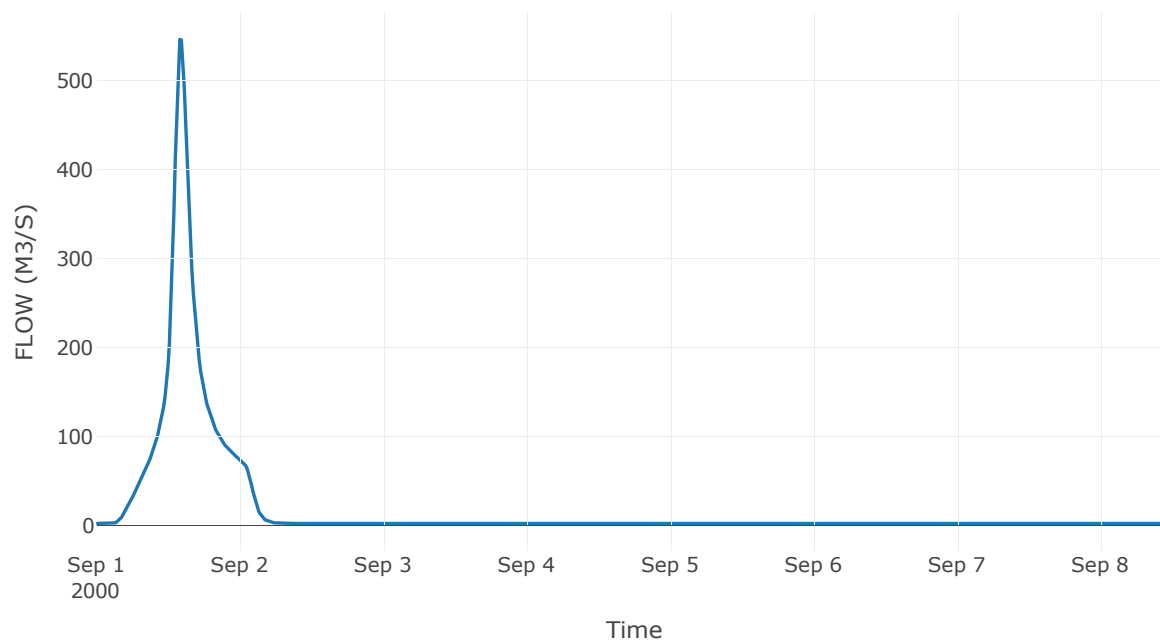


Κόμβος: J4

Αποτελέσματ
α: J4

Παροχή αιχμής (M3/S)	546.34
Χρονική στιγμή αιχμής	01Sep2000, 14:00
Όγκος (MM)	176.76

Απορροή

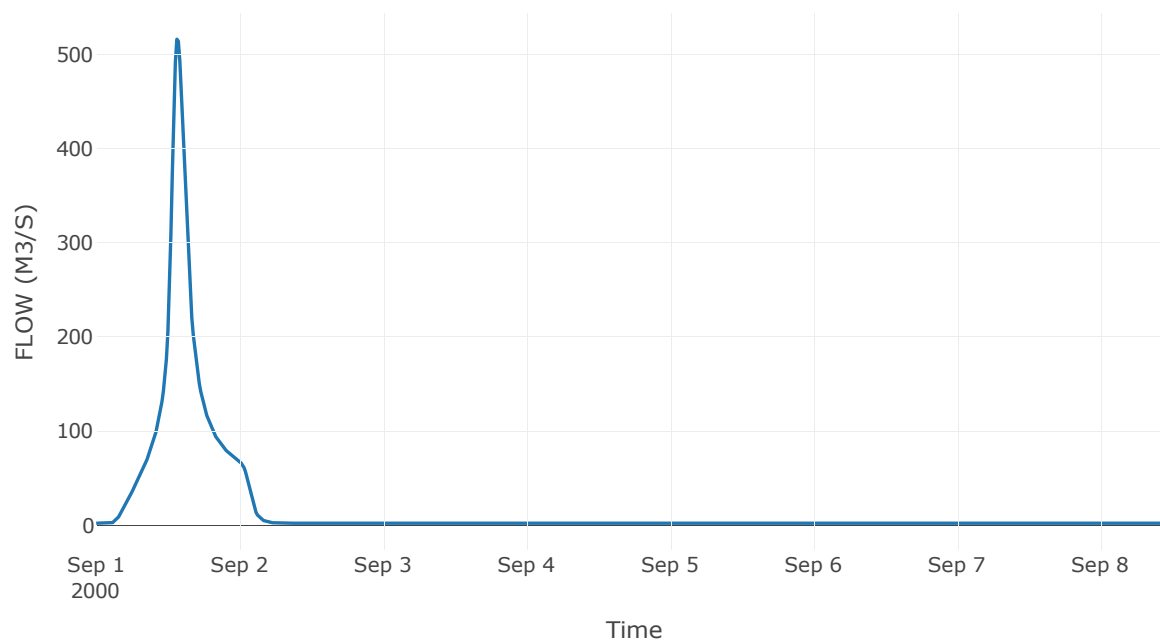


Κόμβος: J5

Αποτελέσμα
α: J5

Παροχή αιχμής (M3/S)	516
Χρονική στιγμή αιχμής	01Sep2000, 13:30
Όγκος (MM)	178.44

Απορροή

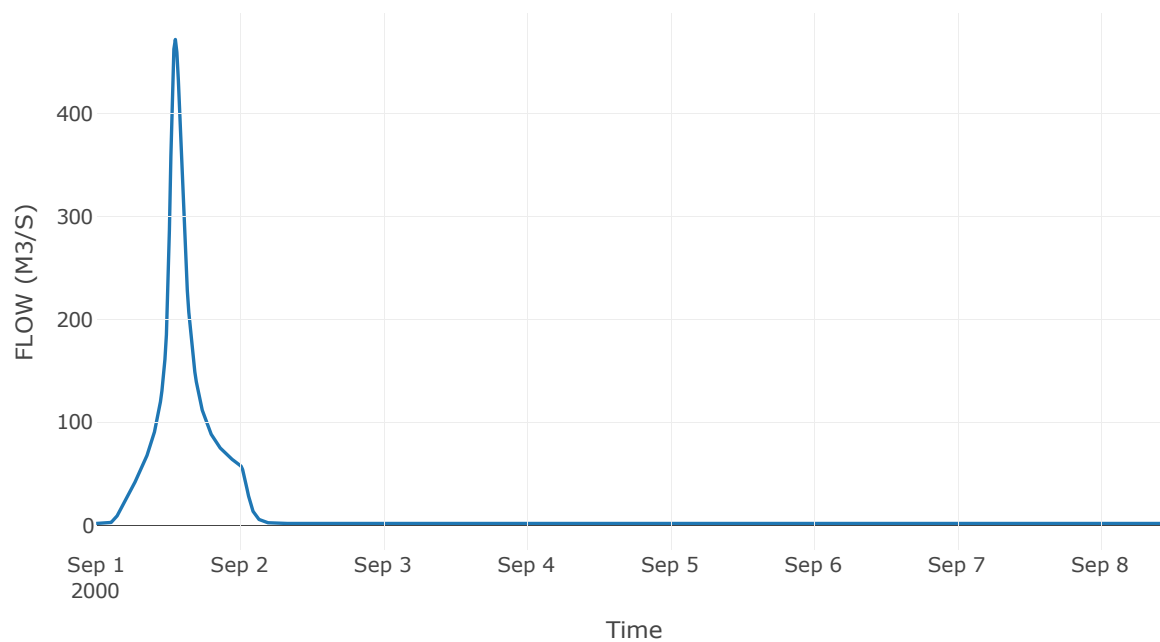


Κόμβος: J6

Αποτελέσμα
α: J6

Παροχή αιχμής (M3/S)	472.44
Χρονική στιγμή αιχμής	01Sep2000, 13:15
Όγκος (MM)	181.73

Απορροή

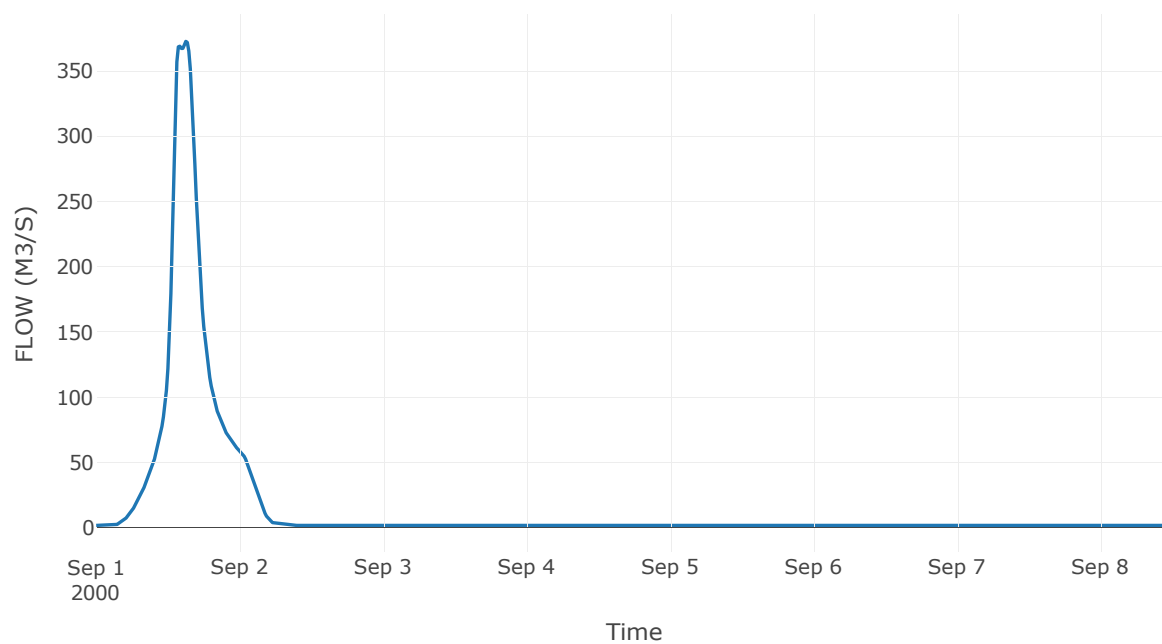


Κόμβος: J7

Αποτελέσμα
α: J7

Παροχή αιχμής (M3/S)	372.76
Χρονική στιγμή αιχμής	01Sep2000, 15:00
Όγκος (MM)	155.67

Απορροή

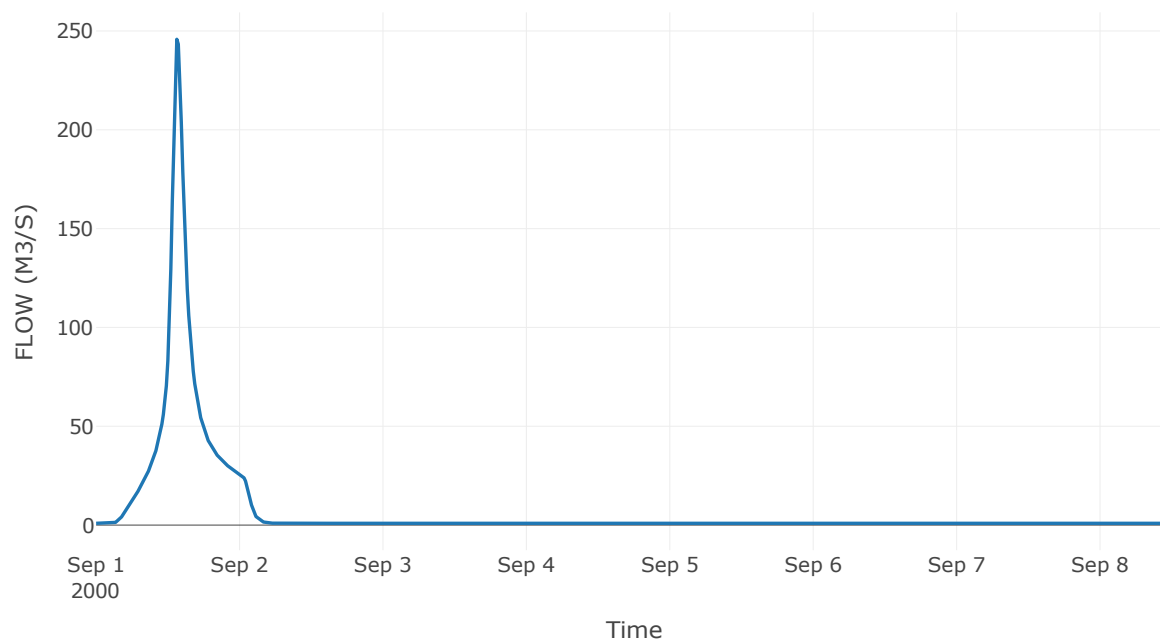


Κόμβος: J8

Αποτελέσματ
α: J8

Παροχή αιχμής (M3/S)	245.8
Χρονική στιγμή αιχμής	01Sep2000, 13:30
Όγκος (MM)	165.3

Απορροή

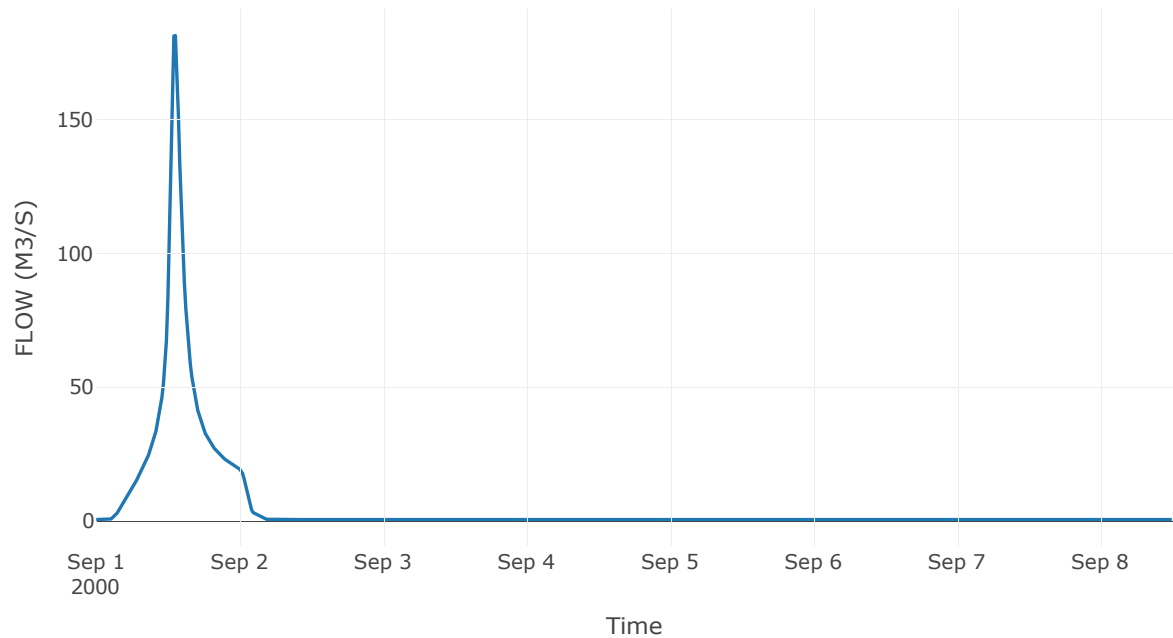


Κόμβος: J9

Αποτελέσματ
α: J9

Παροχή αιχμής (M3/S)	181.47
Χρονική στιγμή αιχμής	01Sep2000, 13:15
Όγκος (MM)	169.65

Απορροή

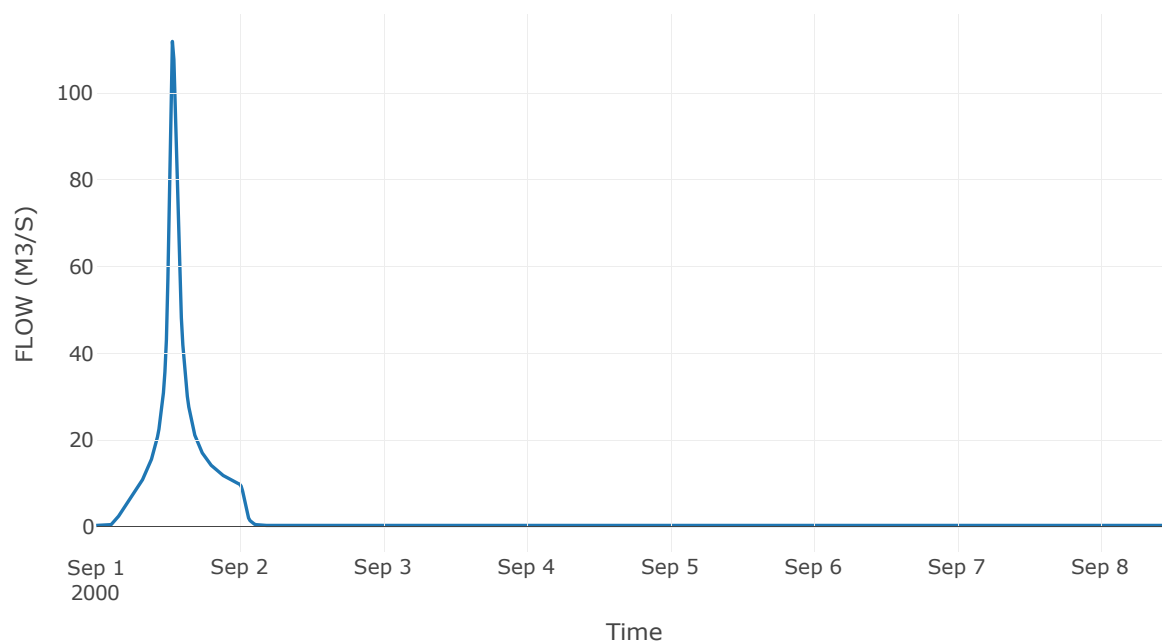


Κόμβος: J10

Αποτελέσματ
α: J10

Παροχή αιχμής (M3/S)	111.9
Χρονική στιγμή αιχμής	01Sep2000, 12:45
Όγκος (MM)	161.52

Απορροή

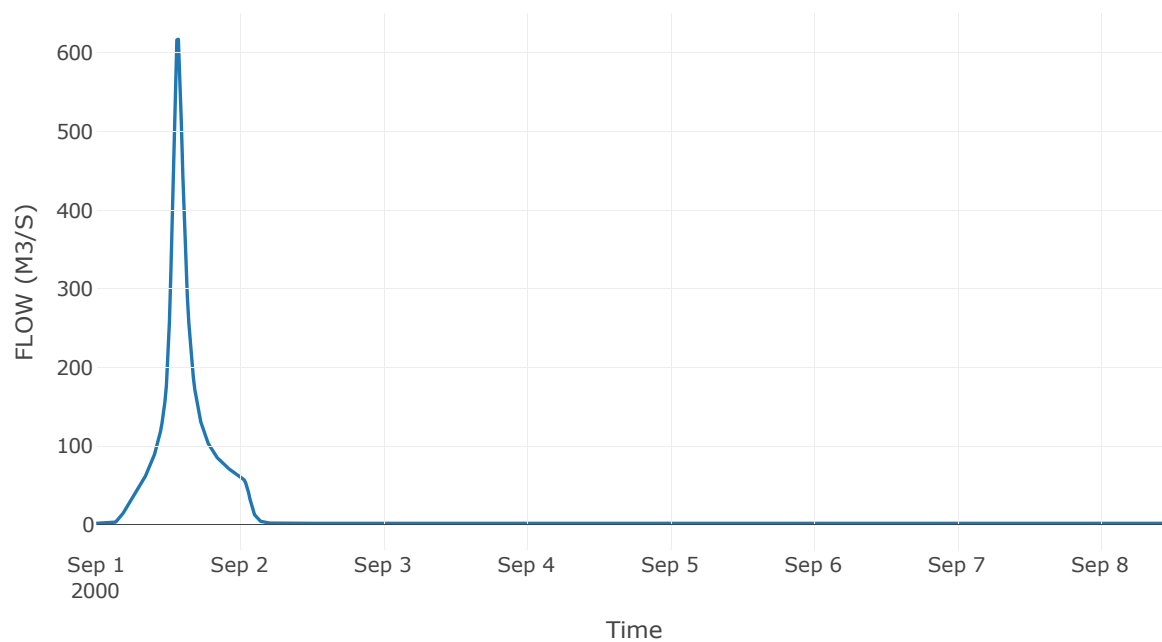


Κόμβος: J11

Αποτελέσματ
α: J11

Παροχή αιχμής (M3/S)	616.97
Χρονική στιγμή αιχμής	01Sep2000, 13:45
Όγκος (MM)	179.56

Απορροή

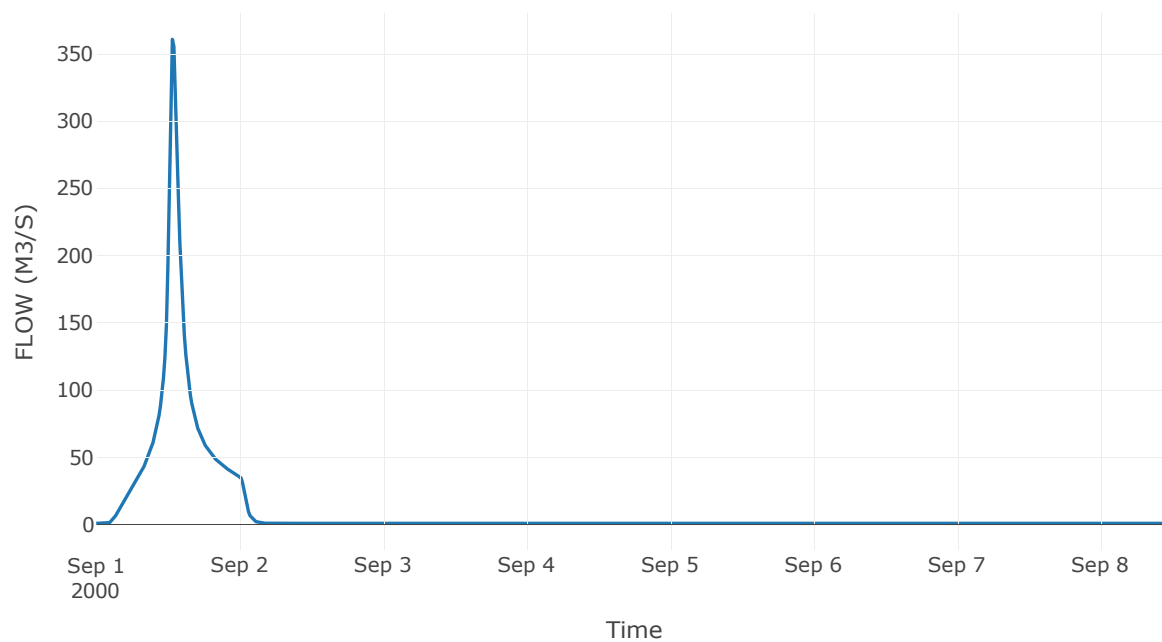


Κόμβος: J12

Αποτελέσματ
α: J12

Παροχή αιχμής (M3/S)	360.61
Χρονική στιγμή αιχμής	01Sep2000, 12:45
Όγκος (MM)	190.52

Απορροή



8 Δεδομένα εισόδου και αποτελέσματα υδρολογικού σεναρίου $T=1000$

8.1 Αποτελέσματα, υετογραφήματα και υδρογραφήματα σχεδιασμού υπολεκανών

Υπολεκάνη: EL0514FR4001

Έκταση (KM2) : 1.95

Κατάντη : J1

Μέθοδος Απωλειών: SCS

Ποσοστό αδιαπέρατης επιφάνειας	0
Αριθμός Καμπύλης Απορροής-CN	82.93
Αρχικές Απώλειες	10.45

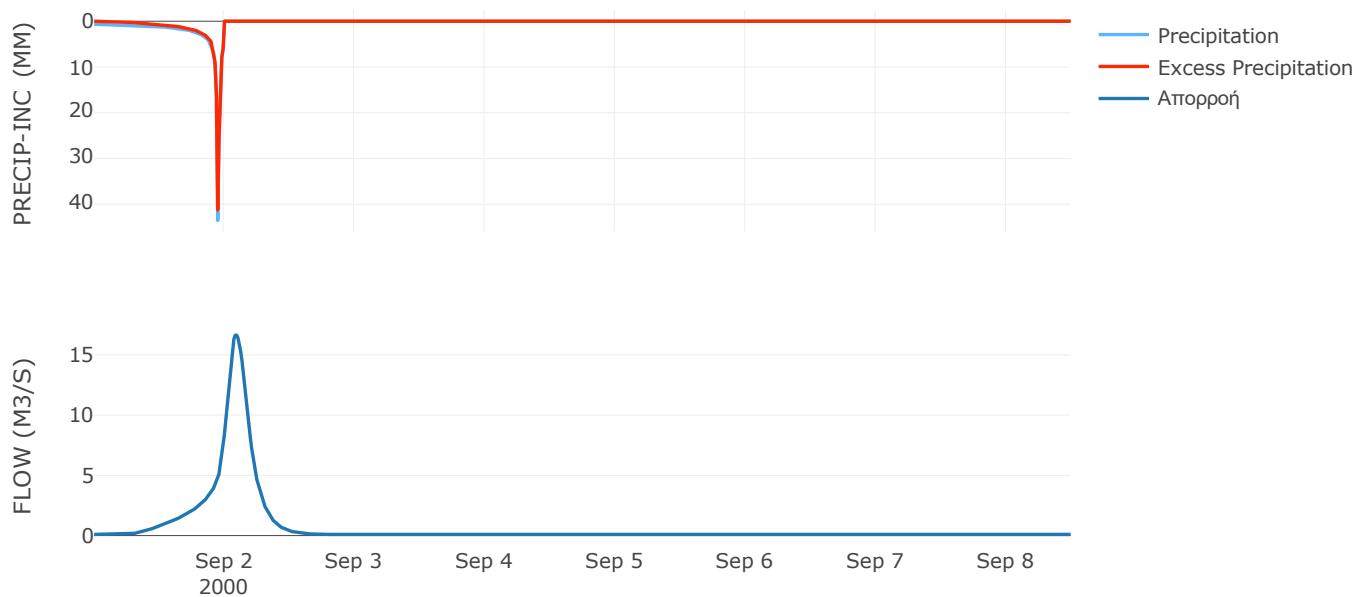
Μέθοδος
Μετασχηματισμού: SCS

Χρόνος Υστέρησης	207.57
------------------	--------

Αποτελέσματα:
EL0514FR4001

Παροχή αιχμής (M3/S)	16.64
Χρονική στιγμή αιχμής	02Sep2000, 02:15
Όγκος (MM)	238.27
Όγκος βροχόπτωσης (M3)	5.07E5
Όγκος απωλειών (M3)	1.05E5
Ενεργός Όγκος (M3)	4.02E5
Όγκος άμεσης απορροής (M3)	4.02E5
Όγκος βασικής απορροής (M3)	63244.8

Βροχόπτωση και Απορροή



Υπολεκάνη: EL0514FR4002

Έκταση (KM2) : 0.13

Κατάντη : J2

Μέθοδος Απωλειών: SCS

Ποσοστό αδιαπέρατης επιφάνειας	0
Αριθμός Καμπύλης Απορροής-CN	80.26
Αρχικές Απώλειες	12.49

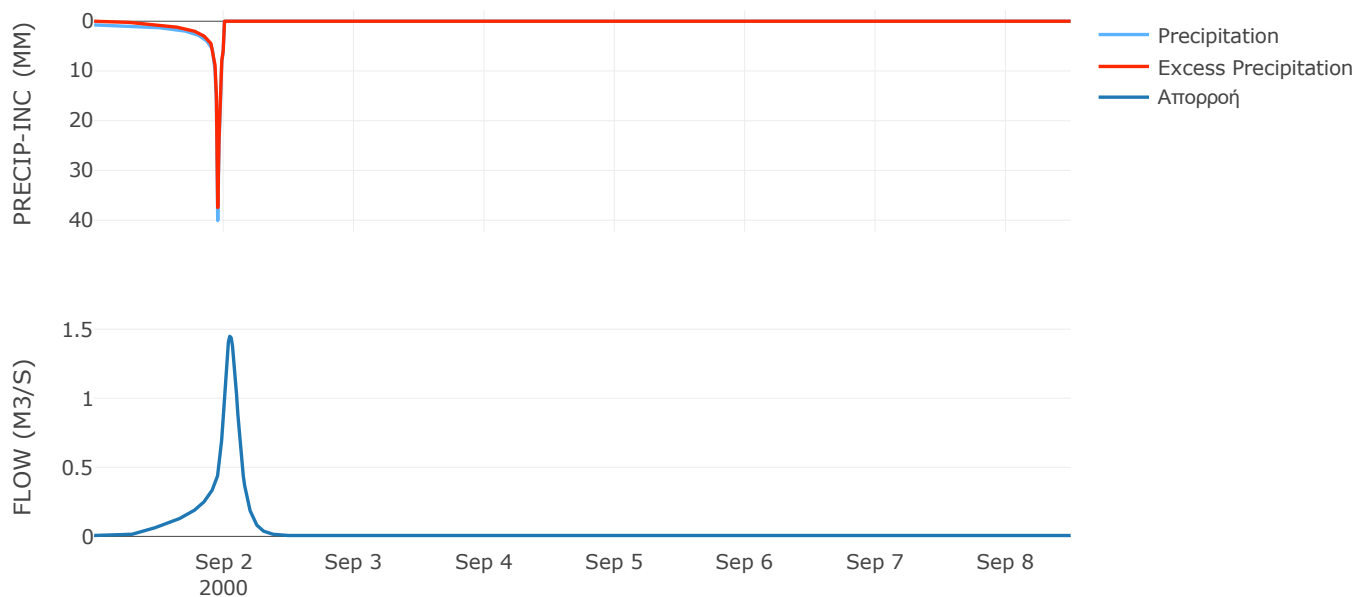
Μέθοδος
Μετασχηματισμού: SCS

Χρόνος Υστέρησης	132.24
------------------	--------

Αποτελέσματα:
EL0514FR4002

Παροχή αιχμής (M3/S)	1.45
Χρονική στιγμή αιχμής	02Sep2000, 01:00
Όγκος (MM)	236.13
Όγκος βροχόπτωσης (M3)	34358.59
Όγκος απωλειών (M3)	8077.76
Ενεργός Όγκος (M3)	26280.83
Όγκος άμεσης απορροής (M3)	26280.83
Όγκος βασικής απορροής (M3)	4179.6

Βροχόπτωση και Απορροή



Υπολεκάνη: EL0514FR4003

Έκταση (KM2) : 3.14

Κατάντη : J2

Μέθοδος Απωλειών: SCS

Ποσοστό αδιαπέρατης επιφάνειας	0
Αριθμός Καμπύλης Απορροής-CN	73.75
Αρχικές Απώλειες	18.08

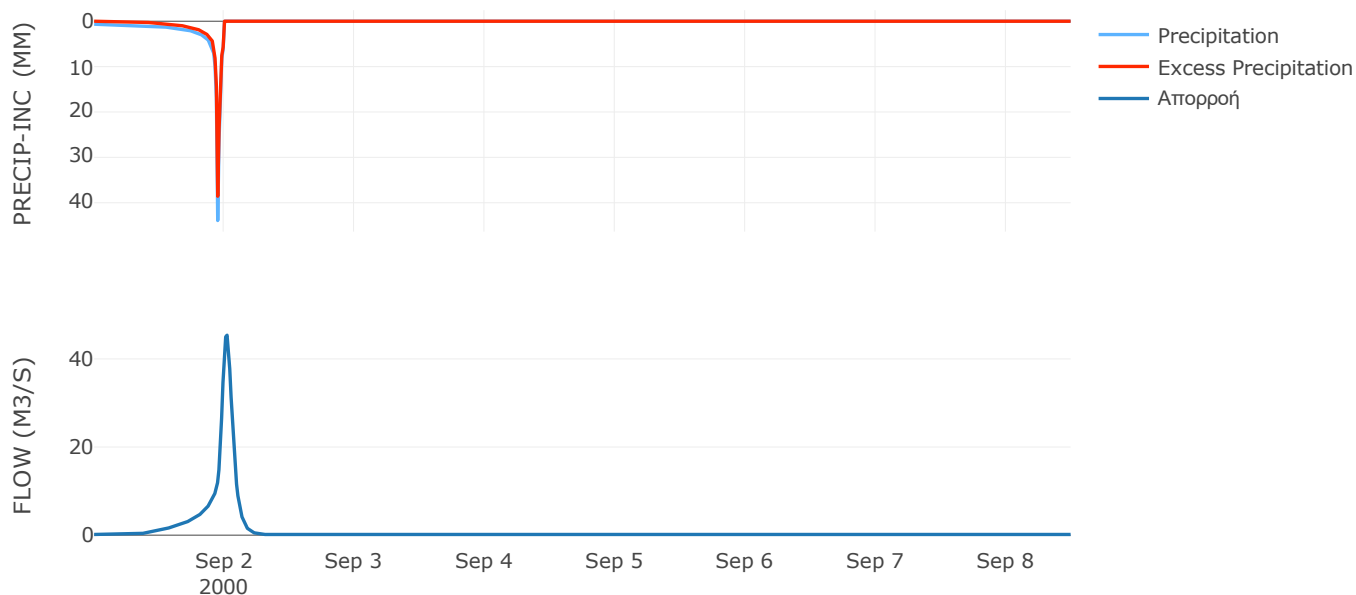
Μέθοδος
Μετασχηματισμού: SCS

Χρόνος Υστέρησης	85.64
------------------	-------

Αποτελέσματα:
EL0514FR4003

Παροχή αιχμής (M3/S)	45.38
Χρονική στιγμή αιχμής	02Sep2000, 00:30
Όγκος (MM)	210.8
Όγκος βροχόπτωσης (M3)	8.24E5
Όγκος απωλειών (M3)	2.64E5
Ενεργός Όγκος (M3)	5.6E5
Όγκος άμεσης απορροής (M3)	5.6E5
Όγκος βασικής απορροής (M3)	1.02E5

Βροχόπτωση και Απορροή



Υπολεκάνη: EL0514FR4004

Έκταση (KM2) : 3.81

Κατάντη : J3

Μέθοδος Απωλειών: SCS

Ποσοστό αδιαπέρατης επιφάνειας	0
Αριθμός Καμπύλης Απορροής-CN	77.92
Αρχικές Απώλειες	14.39

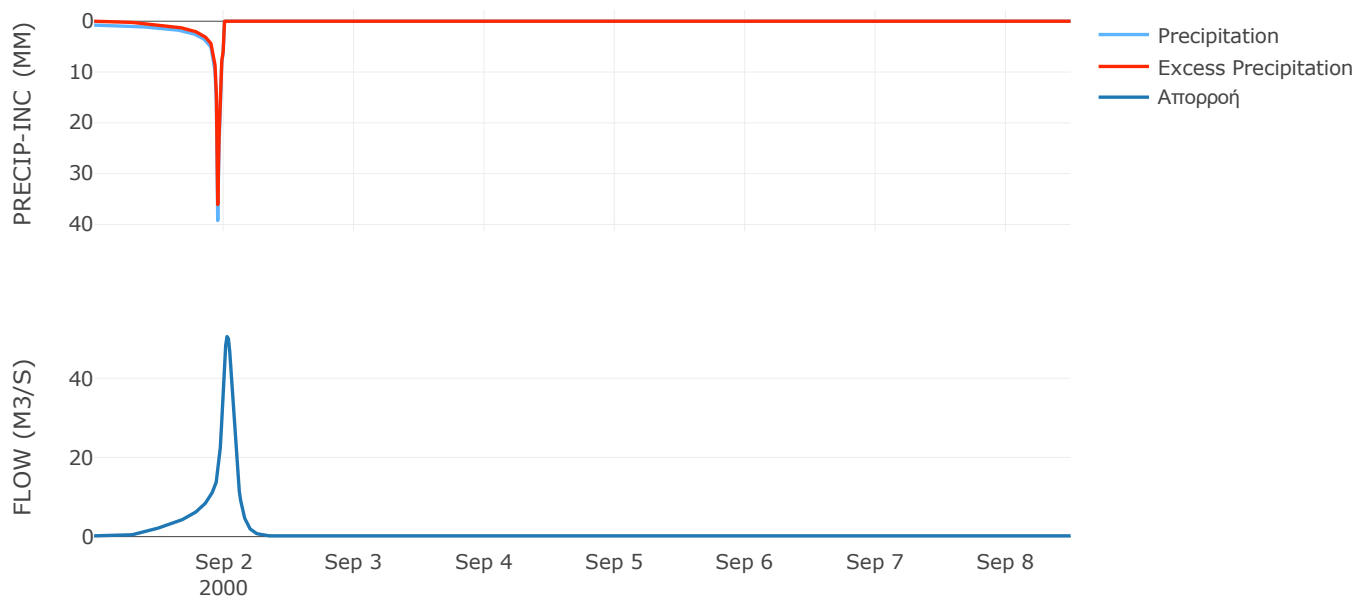
Μέθοδος
Μετασχηματισμού: SCS

Χρόνος Υστέρησης	97.49
------------------	-------

Αποτελέσματα:
EL0514FR4004

Παροχή αιχμής (M3/S)	50.53
Χρονική στιγμή αιχμής	02Sep2000, 00:30
Όγκος (MM)	229.25
Όγκος βροχόπτωσης (M3)	1.02E6
Όγκος απωλειών (M3)	2.68E5
Ενεργός Όγκος (M3)	7.51E5
Όγκος άμεσης απορροής (M3)	7.51E5
Όγκος βασικής απορροής (M3)	1.24E5

Βροχόπτωση και Απορροή



Υπολεκάνη: EL0514FR4005

Έκταση (KM2) : 6.29

Κατάντη : J4

Μέθοδος Απωλειών: SCS

Ποσοστό αδιαπέρατης επιφάνειας	0
Αριθμός Καμπύλης Απορροής-CN	81.03
Αρχικές Απώλειες	11.89

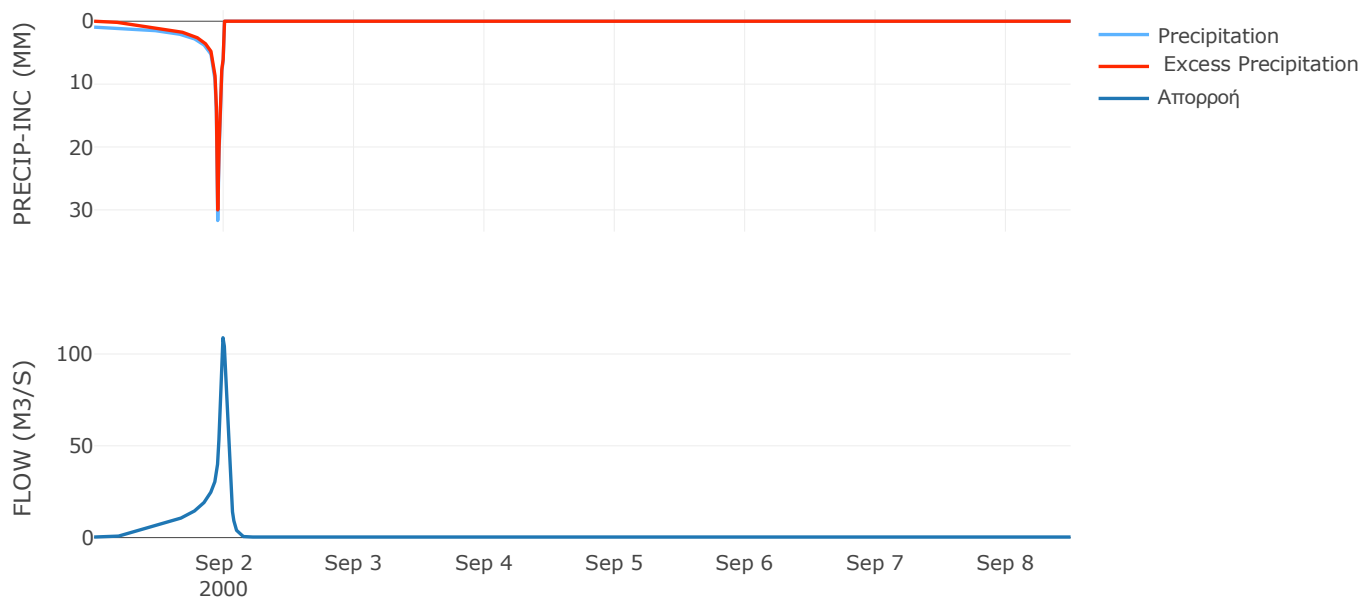
Μέθοδος
Μετασχηματισμού: SCS

Χρόνος Υστέρησης	48.02
------------------	-------

Αποτελέσματα:
EL0514FR4005

Παροχή αιχμής (M3/S)	108.86
Χρονική στιγμή αιχμής	01Sep2000, 23:45
Όγκος (MM)	245.21
Όγκος βροχόπτωσης (M3)	1.72E6
Όγκος απωλειών (M3)	3.8E5
Ενεργός Όγκος (M3)	1.34E6
Όγκος άμεσης απορροής (M3)	1.34E6
Όγκος βασικής απορροής (M3)	2.04E5

Βροχόπτωση και Απορροή



Υπολεκάνη: EL0514FR4006

Έκταση (KM2) : 8.52

Κατάντη : J5

Μέθοδος Απωλειών: SCS

Ποσοστό αδιαπέρατης επιφάνειας	0
Αριθμός Καμπύλης Απορροής-CN	80.84
Αρχικές Απώλειες	12.04

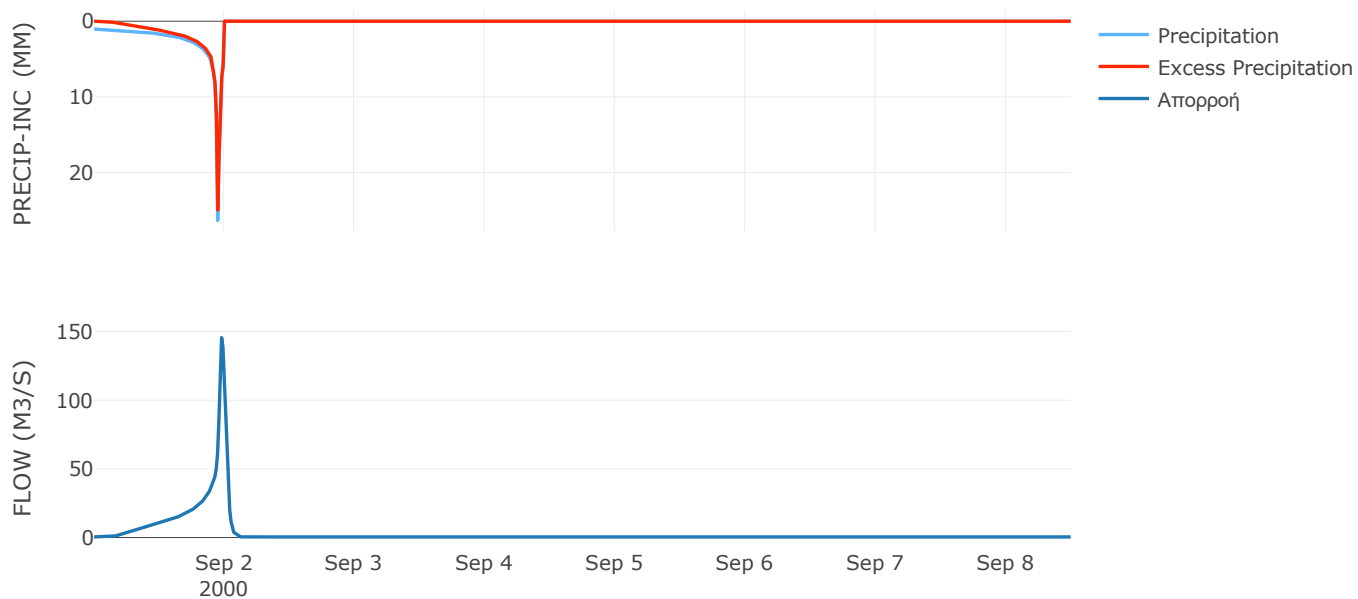
Μέθοδος
Μετασχηματισμού: SCS

Χρόνος Υστέρησης	34.25
------------------	-------

Αποτελέσματα:
EL0514FR4006

Παροχή αιχμής (M3/S)	145.63
Χρονική στιγμή αιχμής	01Sep2000, 23:30
Όγκος (MM)	239.93
Όγκος βροχόπτωσης (M3)	2.29E6
Όγκος απωλειών (M3)	5.18E5
Ενεργός Όγκος (M3)	1.77E6
Όγκος άμεσης απορροής (M3)	1.77E6
Όγκος βασικής απορροής (M3)	2.76E5

Βροχόπτωση και Απορροή



Υπολεκάνη: EL0514FR4007

Έκταση (KM2) : 45.77

Κατάντη : J6

Μέθοδος Απωλειών: SCS

Ποσοστό αδιαπέρατης επιφάνειας	0
Αριθμός Καμπύλης Απορροής-CN	80.55
Αρχικές Απώλειες	12.27

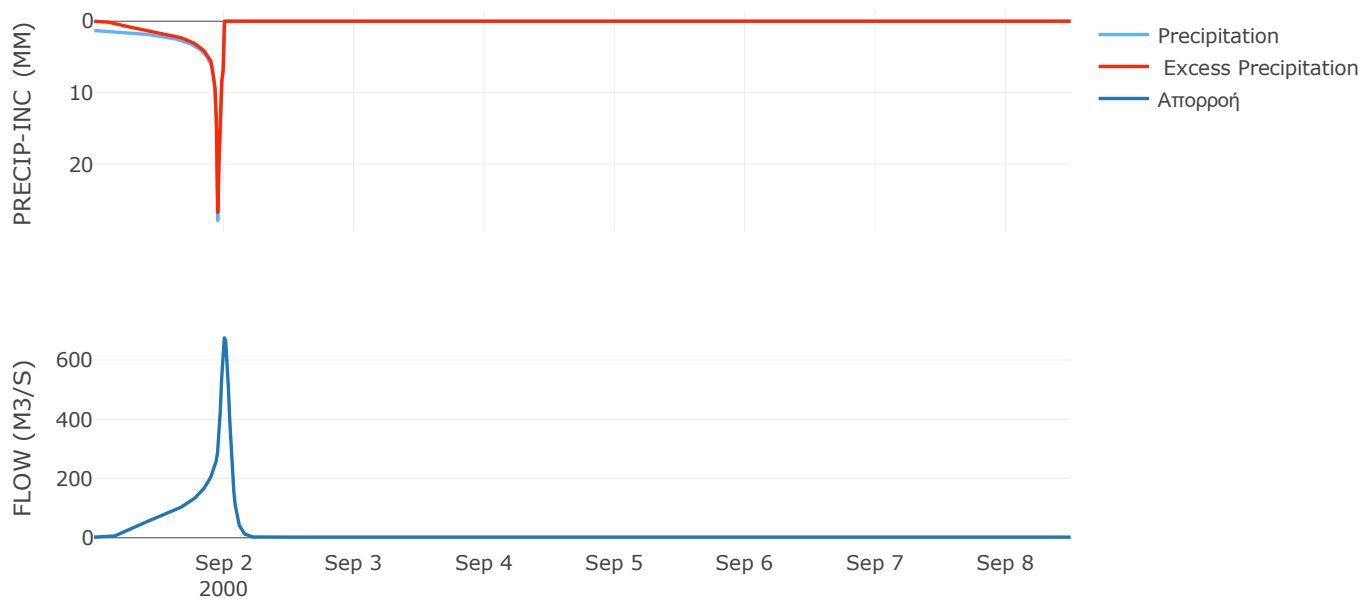
Μέθοδος
Μετασχηματισμού: SCS

Χρόνος Υστέρησης	65.62
------------------	-------

Αποτελέσματα:
EL0514FR4007

Παροχή αιχμής (M3/S)	674.77
Χρονική στιγμή αιχμής	01Sep2000, 24:00
Όγκος (MM)	284.12
Όγκος βροχόπτωσης (M3)	1.44E7
Όγκος απωλειών (M3)	2.9E6
Ενεργός Όγκος (M3)	1.15E7
Όγκος άμεσης απορροής (M3)	1.15E7
Όγκος βασικής απορροής (M3)	1.48E6

Βροχόπτωση και Απορροή



Υπολεκάνη: EL0514FR4008

Έκταση (KM2) : 14.21

Κατάντη : J6

Μέθοδος Απωλειών: SCS

Ποσοστό αδιαπέρατης επιφάνειας	0
Αριθμός Καμπύλης Απορροής-CN	80.9
Αρχικές Απώλειες	11.99

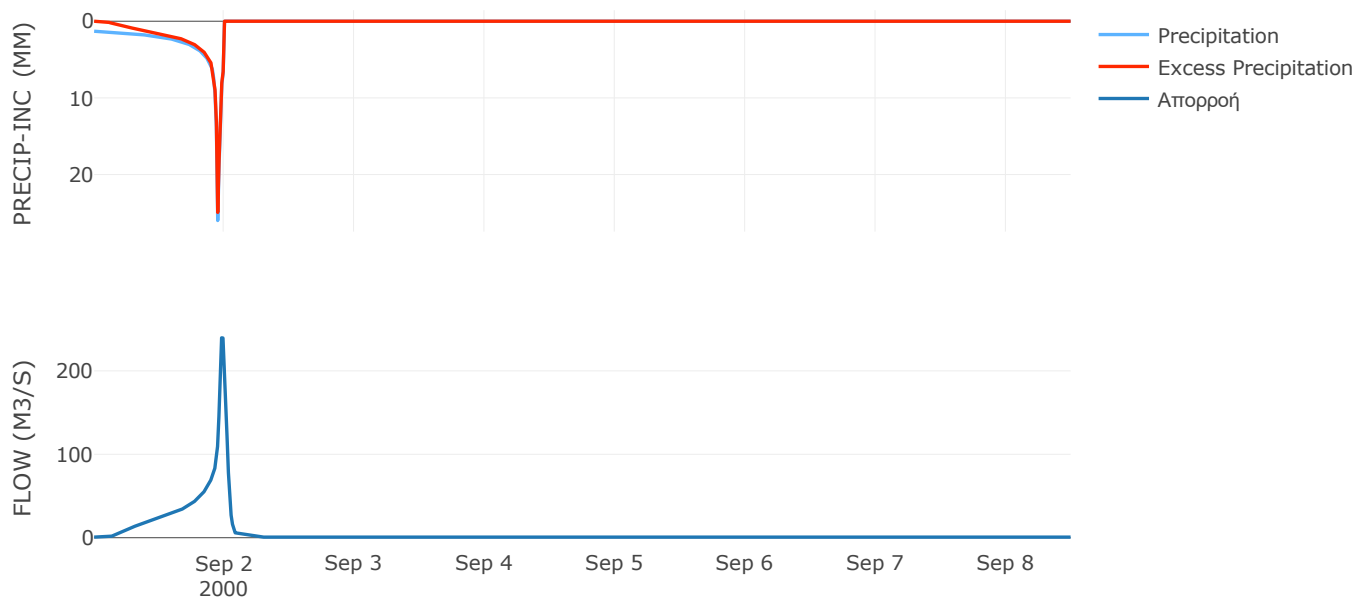
Μέθοδος
Μετασχηματισμού: SCS

Χρόνος Υστέρησης	37.99
------------------	-------

Αποτελέσματα:
EL0514FR4008

Παροχή αιχμής (M3/S)	239.63
Χρονική στιγμή αιχμής	01Sep2000, 23:30
Όγκος (MM)	277.45
Όγκος βροχόπτωσης (M3)	4.36E6
Όγκος απωλειών (M3)	8.79E5
Ενεργός Όγκος (M3)	3.48E6
Όγκος άμεσης απορροής (M3)	3.48E6
Όγκος βασικής απορροής (M3)	4.6E5

Βροχόπτωση και Απορροή



Υπολεκάνη: EL0514FR4009

Έκταση (KM2) : 12.22

Κατάντη : J10

Μέθοδος Απωλειών: SCS

Ποσοστό αδιαπέρατης επιφάνειας	0
Αριθμός Καμπύλης Απορροής-CN	81.36
Αρχικές Απώλειες	11.64

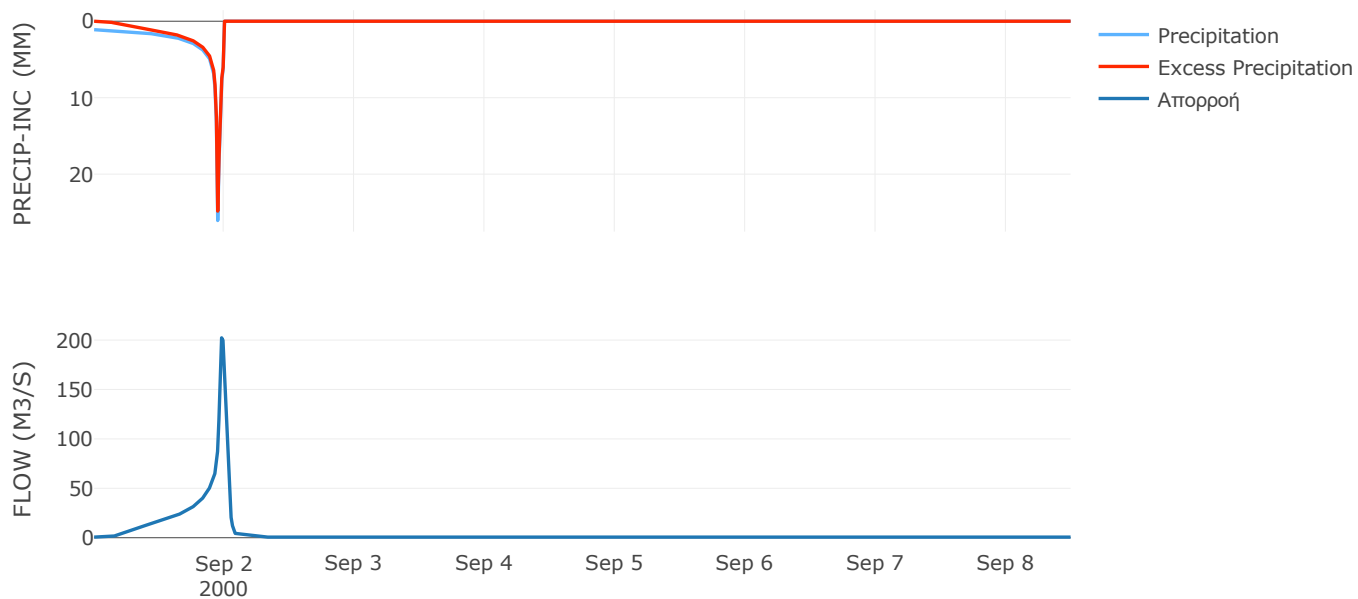
Μέθοδος
Μετασχηματισμού: SCS

Χρόνος Υστέρησης	37.08
------------------	-------

Αποτελέσματα:
EL0514FR4009

Παροχή αιχμής (M3/S)	202.3
Χρονική στιγμή αιχμής	01Sep2000, 23:30
Όγκος (MM)	250.48
Όγκος βροχόπτωσης (M3)	3.39E6
Όγκος απωλειών (M3)	7.26E5
Ενεργός Όγκος (M3)	2.67E6
Όγκος άμεσης απορροής (M3)	2.67E6
Όγκος βασικής απορροής (M3)	3.96E5

Βροχόπτωση και Απορροή



Υπολεκάνη: EL0514FR4010

Έκταση (KM2) : 13.42

Κατάντη : J7

Μέθοδος Απωλειών: SCS

Ποσοστό αδιαπέρατης επιφάνειας	0
Αριθμός Καμπύλης Απορροής-CN	81.56
Αρχικές Απώλειες	11.49

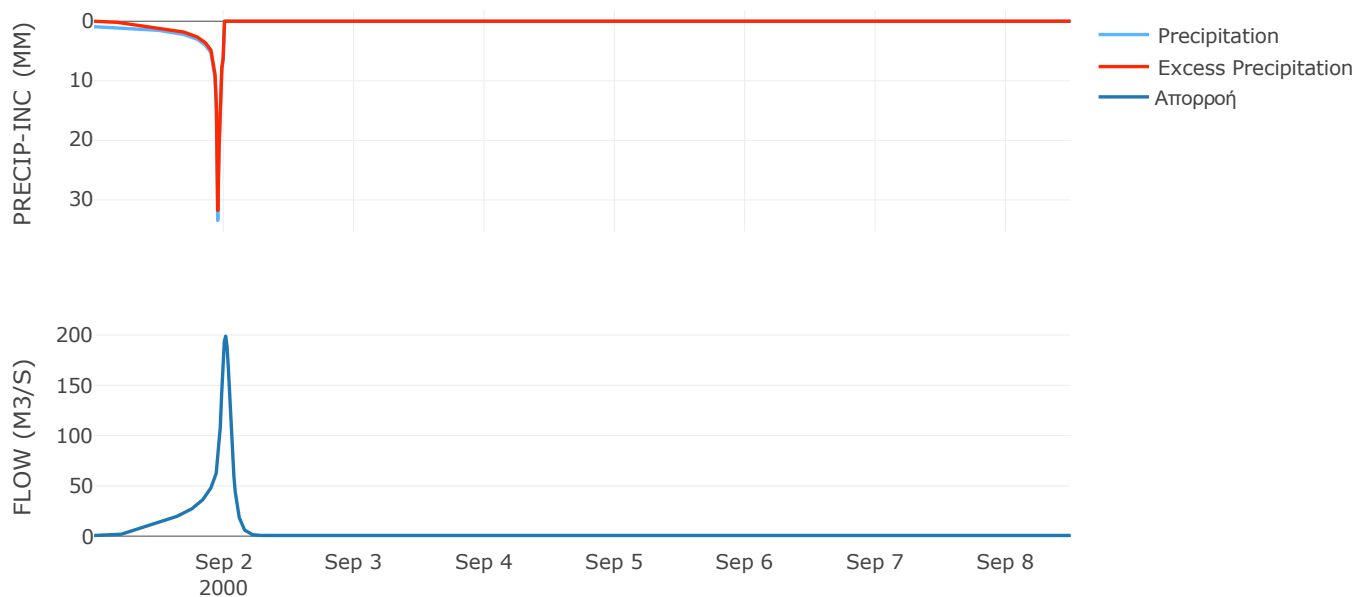
Μέθοδος
Μετασχηματισμού: SCS

Χρόνος Υστέρησης	73.74
------------------	-------

Αποτελέσματα:
EL0514FR4010

Παροχή αιχμής (M3/S)	198.96
Χρονική στιγμή αιχμής	02Sep2000, 00:15
Όγκος (MM)	250.34
Όγκος βροχόπτωσης (M3)	3.71E6
Όγκος απωλειών (M3)	7.88E5
Ενεργός Όγκος (M3)	2.93E6
Όγκος άμεσης απορροής (M3)	2.93E6
Όγκος βασικής απορροής (M3)	4.35E5

Βροχόπτωση και Απορροή



Υπολεκάνη: EL0514FR4011

Έκταση (KM2) : 14.76

Κατάντη : J7

Μέθοδος Απωλειών: SCS

Ποσοστό αδιαπέρατης επιφάνειας	0
Αριθμός Καμπύλης Απορροής-CN	64.08
Αρχικές Απώλειες	28.48

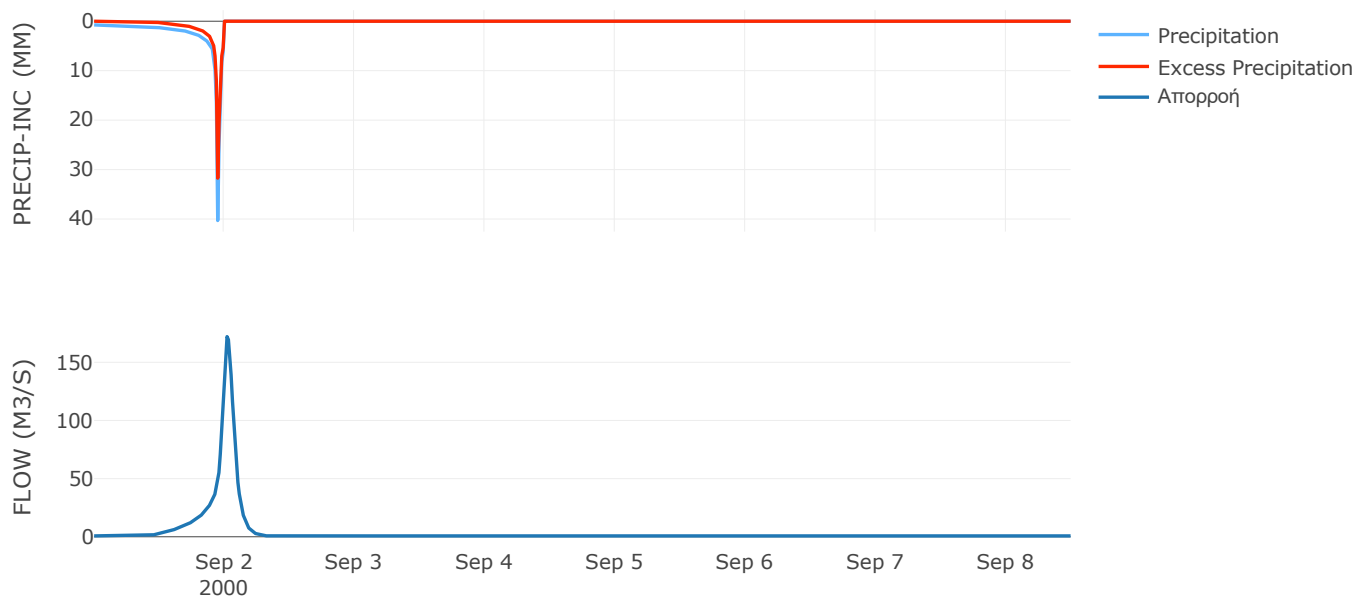
Μέθοδος
Μετασχηματισμού: SCS

Χρόνος Υστέρησης	95.02
------------------	-------

Αποτελέσματα:
EL0514FR4011

Παροχή αιχμής (M3/S)	172.11
Χρονική στιγμή αιχμής	02Sep2000, 00:30
Όγκος (MM)	181.89
Όγκος βροχόπτωσης (M3)	3.94E6
Όγκος απωλειών (M3)	1.74E6
Ενεργός Όγκος (M3)	2.21E6
Όγκος άμεσης απορροής (M3)	2.21E6
Όγκος βασικής απορροής (M3)	4.78E5

Βροχόπτωση και Απορροή



Υπολεκάνη: EL0514FR4012

Έκταση (KM2) : 8.26

Κατάντη : J8

Μέθοδος Απωλειών: SCS

Ποσοστό αδιαπέρατης επιφάνειας	0
Αριθμός Καμπύλης Απορροής-CN	76.28
Αρχικές Απώλειες	15.79

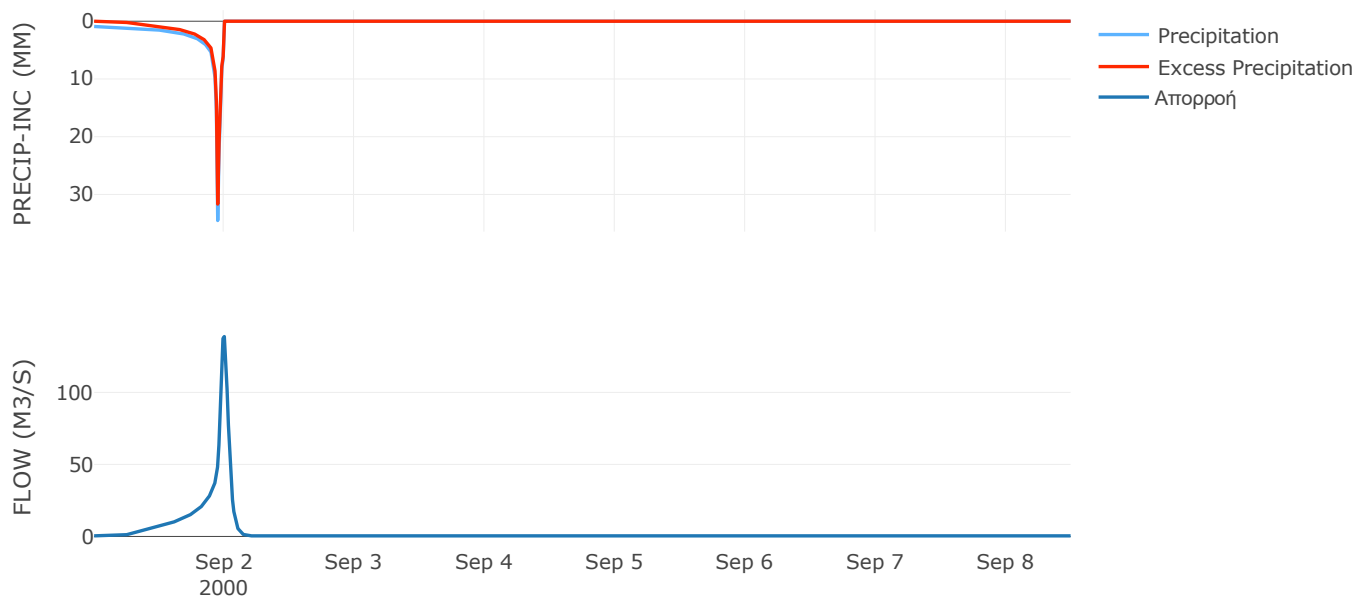
Μέθοδος
Μετασχηματισμού: SCS

Χρόνος Υστέρησης	54
------------------	----

Αποτελέσματα:
EL0514FR4012

Παροχή αιχμής (M3/S)	138.77
Χρονική στιγμή αιχμής	01Sep2000, 24:00
Όγκος (MM)	234.36
Όγκος βροχόπτωσης (M3)	2.3E6
Όγκος απωλειών (M3)	6.32E5
Ενεργός Όγκος (M3)	1.67E6
Όγκος άμεσης απορροής (M3)	1.67E6
Όγκος βασικής απορροής (M3)	2.68E5

Βροχόπτωση και Απορροή



Υπολεκάνη: EL0514FR4013

Έκταση (KM2) : 22.16

Κατάντη : J9

Μέθοδος Απωλειών: SCS

Ποσοστό αδιαπέρατης επιφάνειας	0
Αριθμός Καμπύλης Απορροής-CN	81.13
Αρχικές Απώλειες	11.81

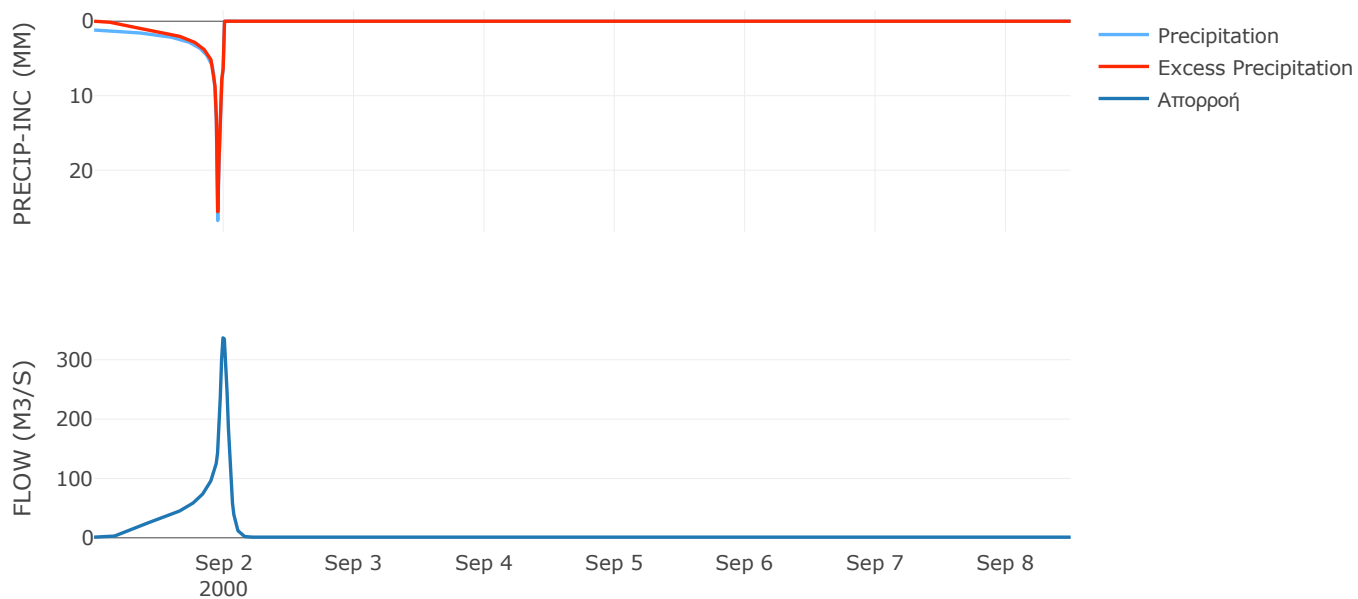
Μέθοδος
Μετασχηματισμού: SCS

Χρόνος Υστέρησης	51.97
------------------	-------

Αποτελέσματα:
EL0514FR4013

Παροχή αιχμής (M3/S)	336.89
Χρονική στιγμή αιχμής	01Sep2000, 23:45
Όγκος (MM)	263.52
Όγκος βροχόπτωσης (M3)	6.46E6
Όγκος απωλειών (M3)	1.34E6
Ενεργός Όγκος (M3)	5.12E6
Όγκος άμεσης απορροής (M3)	5.12E6
Όγκος βασικής απορροής (M3)	7.18E5

Βροχόπτωση και Απορροή



Υπολεκάνη: EL0514FR4014

Έκταση (KM2) : 1.47

Κατάντη : J3

Μέθοδος Απωλειών: SCS

Ποσοστό αδιαπέρατης επιφάνειας	0
Αριθμός Καμπύλης Απορροής-CN	77.89
Αρχικές Απώλειες	14.42

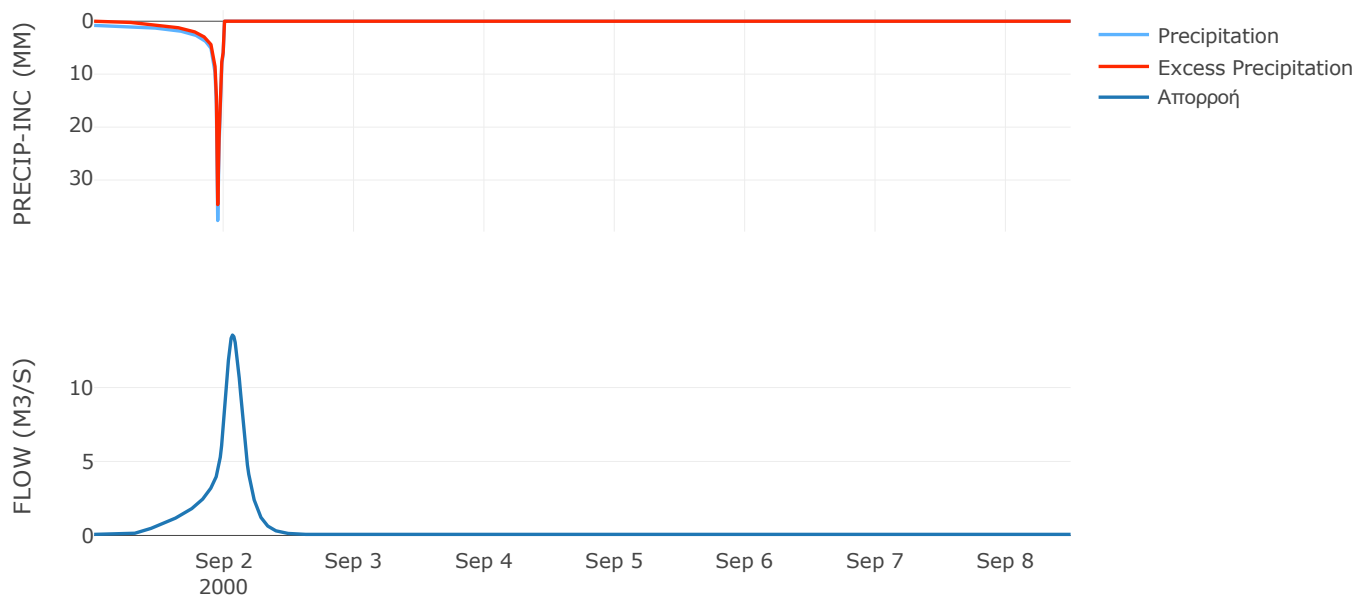
Μέθοδος
Μετασχηματισμού: SCS

Χρόνος Υστέρησης	165.84
------------------	--------

Αποτελέσματα:
EL0514FR4014

Παροχή αιχμής (M3/S)	13.54
Χρονική στιγμή αιχμής	02Sep2000, 01:30
Όγκος (MM)	228.61
Όγκος βροχόπτωσης (M3)	3.92E5
Όγκος απωλειών (M3)	1.04E5
Ενεργός Όγκος (M3)	2.89E5
Όγκος άμεσης απορροής (M3)	2.89E5
Όγκος βασικής απορροής (M3)	47660.4

Βροχόπτωση και Απορροή



Υπολεκάνη: EL0514FR4015

Έκταση (KM2) : 32.03

Κατάνη : J11

Μέθοδος Απωλειών: SCS

Ποσοστό αδιαπέρατης επιφάνειας	0
Αριθμός Καμπύλης Απορροής-CN	81.11
Αρχικές Απώλειες	11.83

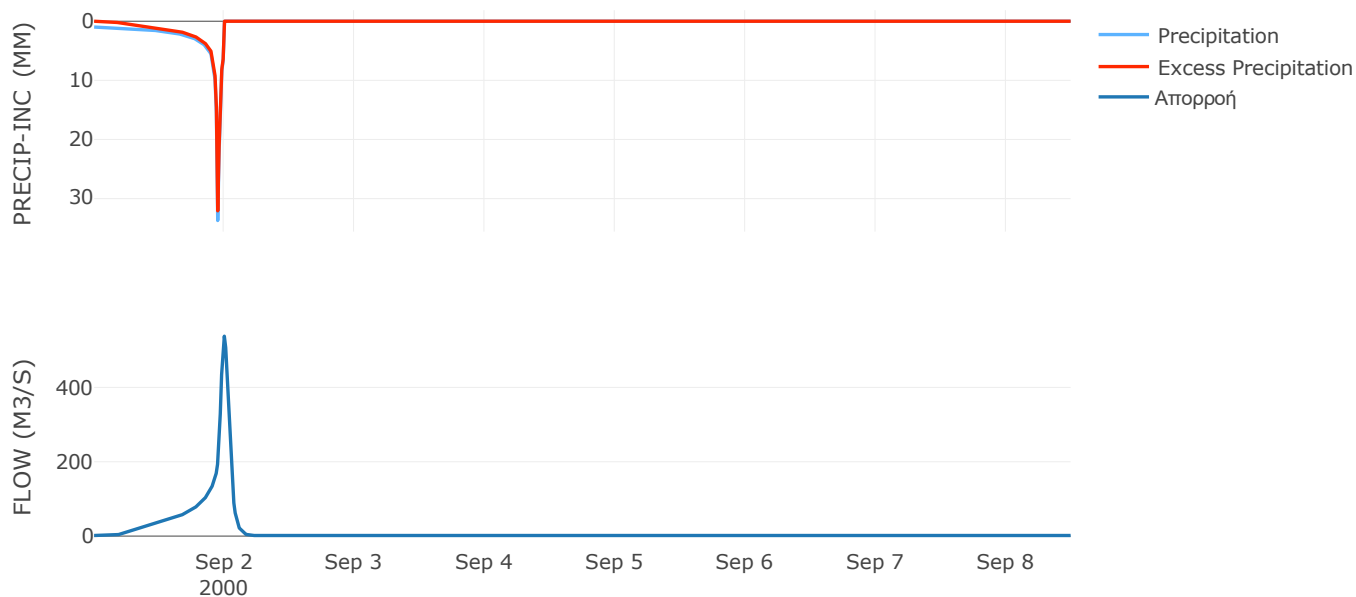
Μέθοδος
Μετασχηματισμού: SCS

Χρόνος Υστέρησης	59.48
------------------	-------

Αποτελέσματα:
EL0514FR4015

Παροχή αιχμής (M3/S)	537.89
Χρονική στιγμή αιχμής	01Sep2000, 24:00
Όγκος (MM)	259.04
Όγκος βροχόπτωσης (M3)	9.2E6
Όγκος απωλειών (M3)	1.94E6
Ενεργός Όγκος (M3)	7.26E6
Όγκος άμεσης απορροής (M3)	7.26E6
Όγκος βασικής απορροής (M3)	1.04E6

Βροχόπτωση και Απορροή



Υπολεκάνη: EL0514FR4016

Έκταση (KM2) : 25.77

Κατάντη : J12

Μέθοδος Απωλειών: SCS

Ποσοστό αδιαπέρατης επιφάνειας	0
Αριθμός Καμπύλης Απορροής-CN	80.21
Αρχικές Απώλειες	12.54

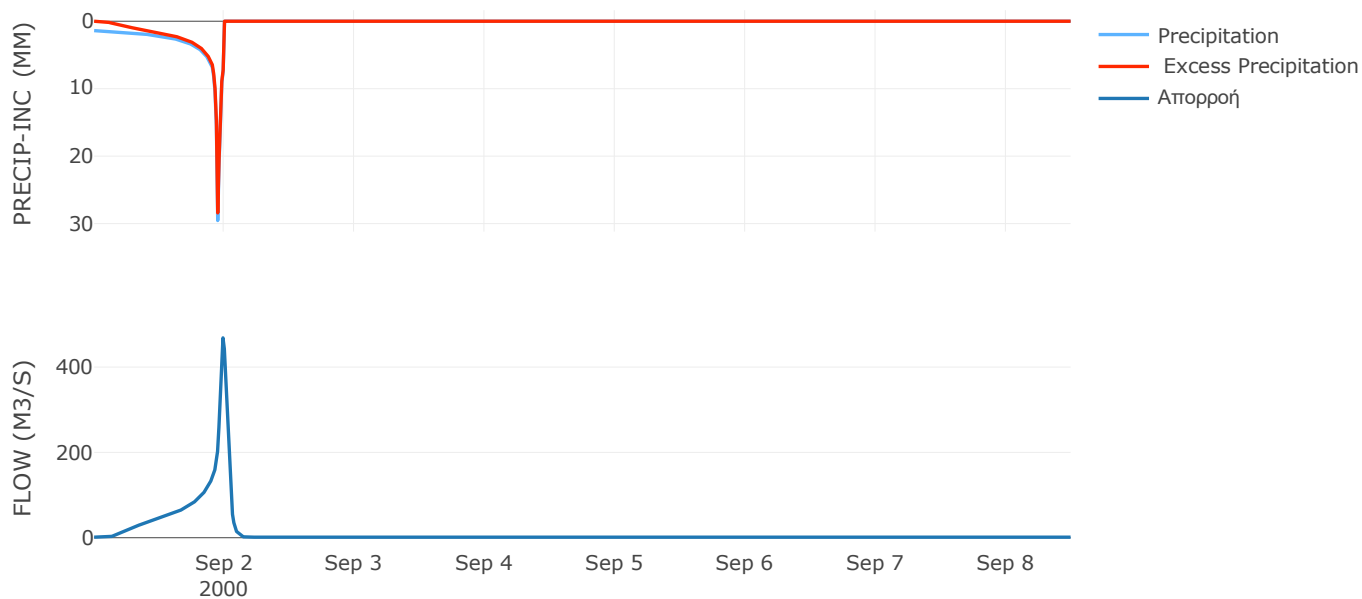
Μέθοδος
Μετασχηματισμού: SCS

Χρόνος Υστέρησης	45.71
------------------	-------

Αποτελέσματα:
EL0514FR4016

Παροχή αιχμής (M3/S)	468.41
Χρονική στιγμή αιχμής	01Sep2000, 23:45
Όγκος (MM)	302.47
Όγκος βροχόπτωσης (M3)	8.64E6
Όγκος απωλειών (M3)	1.68E6
Ενεργός Όγκος (M3)	6.96E6
Όγκος άμεσης απορροής (M3)	6.96E6
Όγκος βασικής απορροής (M3)	8.35E5

Βροχόπτωση και Απορροή



Υπολεκάνη: EL0514FR4017

Έκταση (KM2) : 10.84

Κατάντη : J12

Μέθοδος Απωλειών: SCS

Ποσοστό αδιαπέρατης επιφάνειας	0
Αριθμός Καμπύλης Απορροής-CN	80.44
Αρχικές Απώλειες	12.36

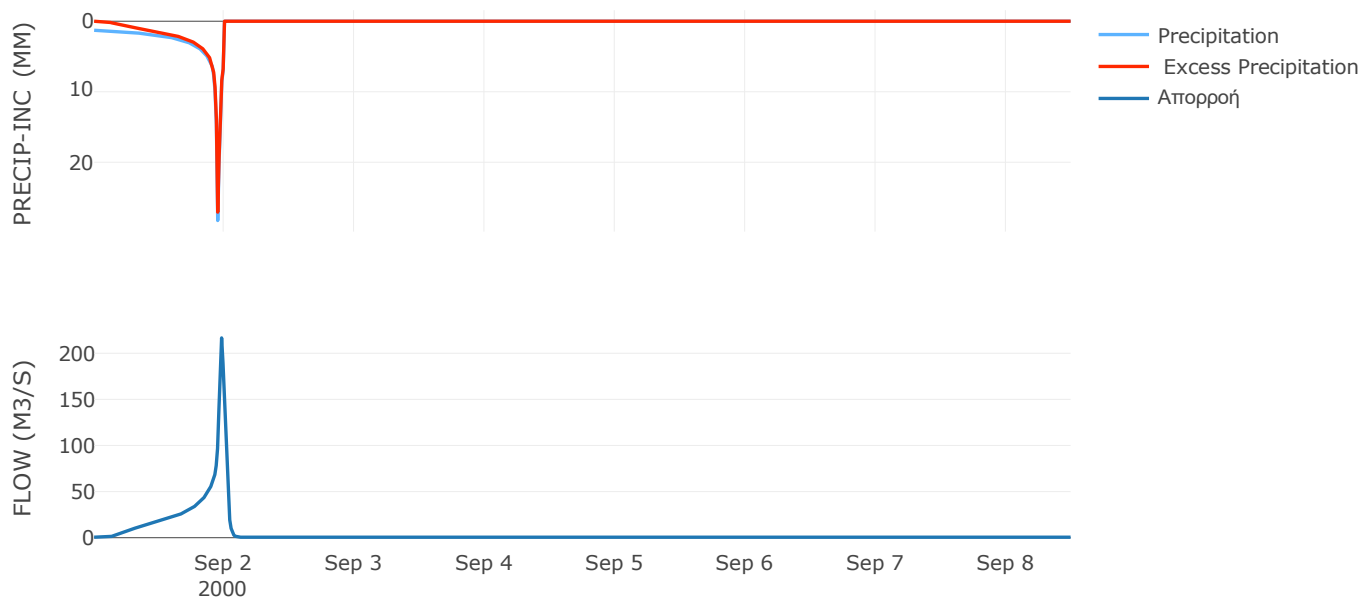
Μέθοδος
Μετασχηματισμού: SCS

Χρόνος Υστέρησης	29.13
------------------	-------

Αποτελέσματα:
EL0514FR4017

Παροχή αιχμής (M3/S)	216.67
Χρονική στιγμή αιχμής	01Sep2000, 23:30
Όγκος (MM)	281.99
Όγκος βροχόπτωσης (M3)	3.39E6
Όγκος απωλειών (M3)	6.89E5
Ενεργός Όγκος (M3)	2.7E6
Όγκος άμεσης απορροής (M3)	2.7E6
Όγκος βασικής απορροής (M3)	3.51E5

Βροχόπτωση και Απορροή



8.2 Δεδομένα και υδρογραφήματα σχεδιασμού Κλάδων υδρογραφικού δικτύου

Κλάδος: R21

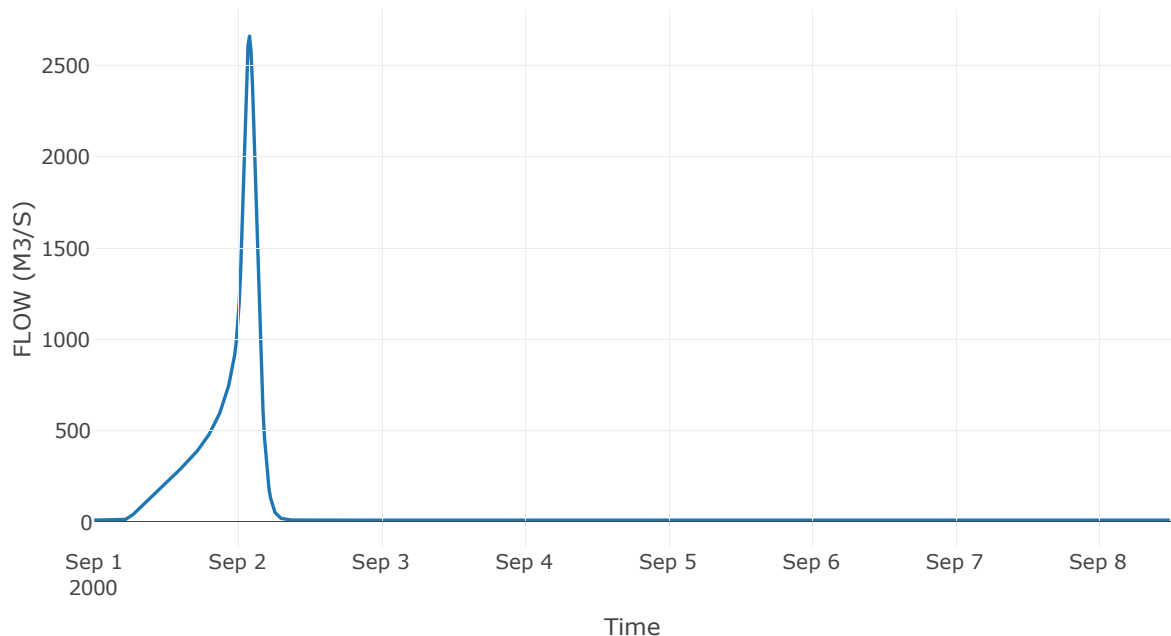
Κατάντη : J1

Μέθοδος Διόδευσης	Muskingum
Αρχική Μεταβλητή	Combined Inflow
Χρόνος Ροής K	0.57
Συντελεστής βάρους x	0.2
Πλήθος Υποκλάδων	3

Αποτελέσματα: R21

Παροχή Αιχμής(M3/S)	2661.24
Χρονική στιγμή αιχμής	02Sep2000, 02:00
Όγκος(MM)	262.41
Παροχή Αιχμής Εισόδου (M3/S)	2721.74
Όγκος Εισροής(M3)	5.85E7

Απορροή



Κλάδος: R32

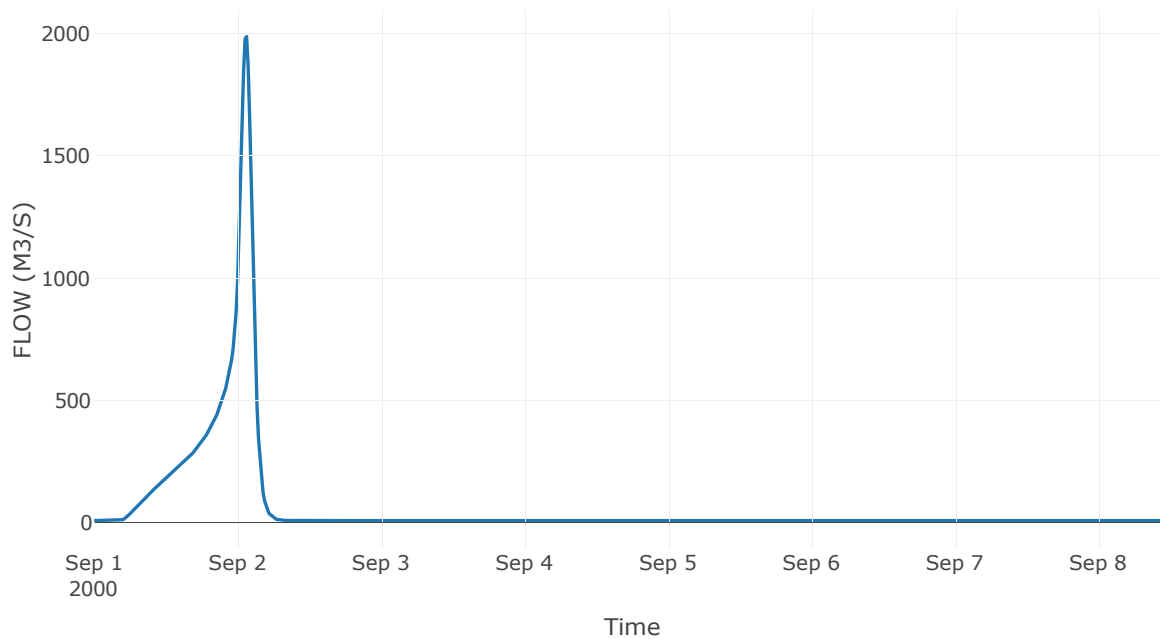
Κατάντη : J2

Μέθοδος Διόδευσης	Χρόνος
Αρχική Μεταβλητή	Combined Inflow
Χρόνος Υστέρησης	3.84

Αποτελέσματα: R32

Παροχή Αιχμής(M3/S)	1987.44
Χρονική στιγμή αιχμής	02Sep2000, 01:30
Όγκος(MM)	274.97
Παροχή Αιχμής Εισόδου (M3/S)	1999.86
Όγκος Εισροής(M3)	4.09E7

Απορροή



Κλάδος: R43

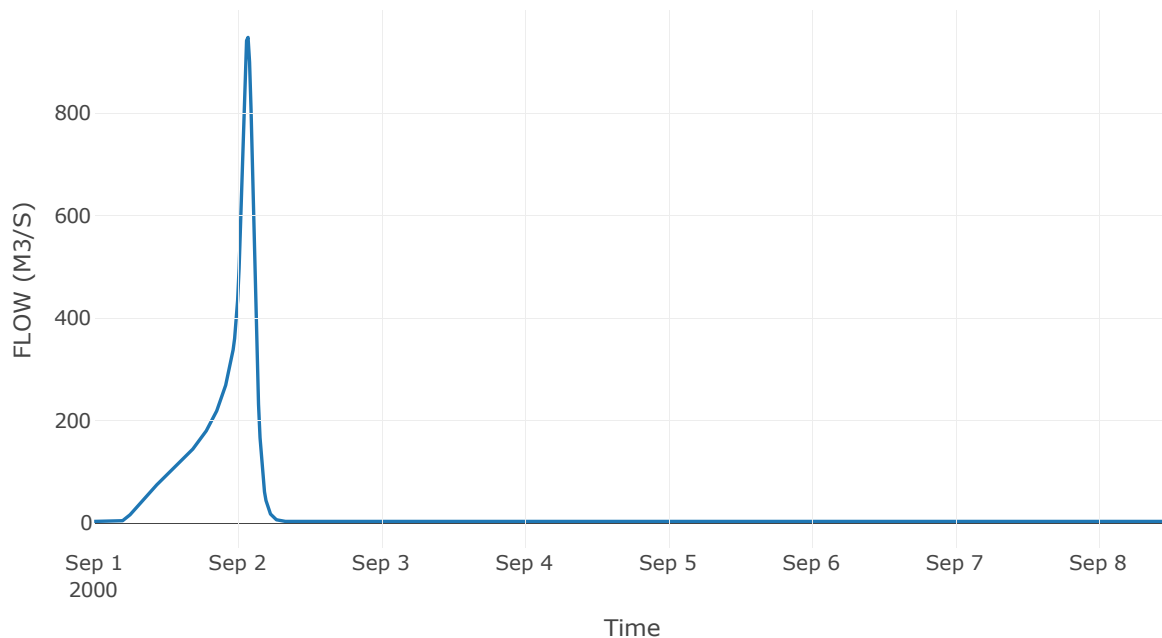
Κατάντη : J3

Μέθοδος Διόδευσης	Muskingum
Αρχική Μεταβλητή	Combined Inflow
Χρόνος Ροής K	1.04
Συντελεστής βάρους x	0.2
Πλήθος Υποκλάδων	5

Αποτελέσματα: R43

Παροχή Αιχμής(M3/S)	947.09
Χρονική στιγμή αιχμής	02Sep2000, 01:45
Όγκος(MM)	274.54
Παροχή Αιχμής Εισόδου (M3/S)	1007.12
Όγκος Εισροής(M3)	2.05E7

Απορροή



Κλάδος: R54

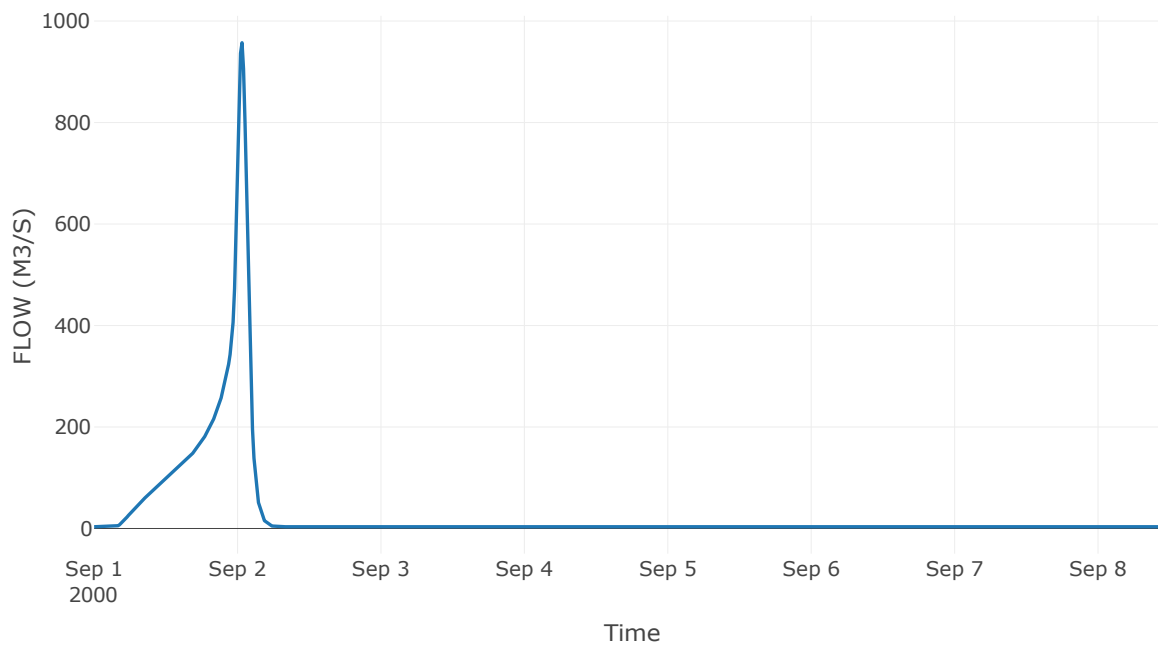
Κατάντη : J4

Μέθοδος Διόδευσης	Χρόνος
Αρχική Μεταβλητή	Combined Inflow
Χρόνος Υστέρησης	28.11

Αποτελέσματα: R54

Παροχή Αιχμής(M3/S)	957.25
Χρονική στιγμή αιχμής	02Sep2000, 00:45
Όγκος(MM)	277.23
Παροχή Αιχμής Εισόδου (M3/S)	963.13
Όγκος Εισροής(M3)	1.9E7

Απορροή



Κλάδος: R65

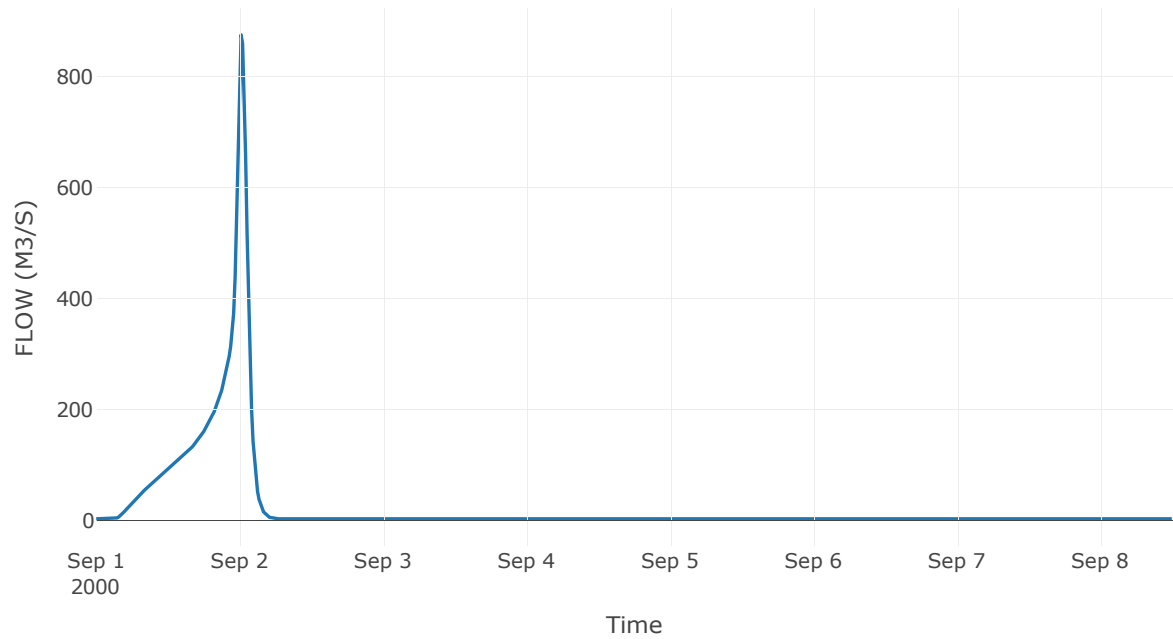
Κατάντη : J5

Μέθοδος Διόδευσης	Χρόνος
Αρχική Μεταβλητή	Combined Inflow
Χρόνος Υστέρησης	23.64

Αποτελέσματα: R65

Παροχή Αιχμής(M3/S)	875.23
Χρονική στιγμή αιχμής	02Sep2000, 00:15
Όγκος(MM)	282.54
Παροχή Αιχμής Εισόδου (M3/S)	883.47
Όγκος Εισροής(M3)	1.69E7

Απορροή



Κλάδος: R72

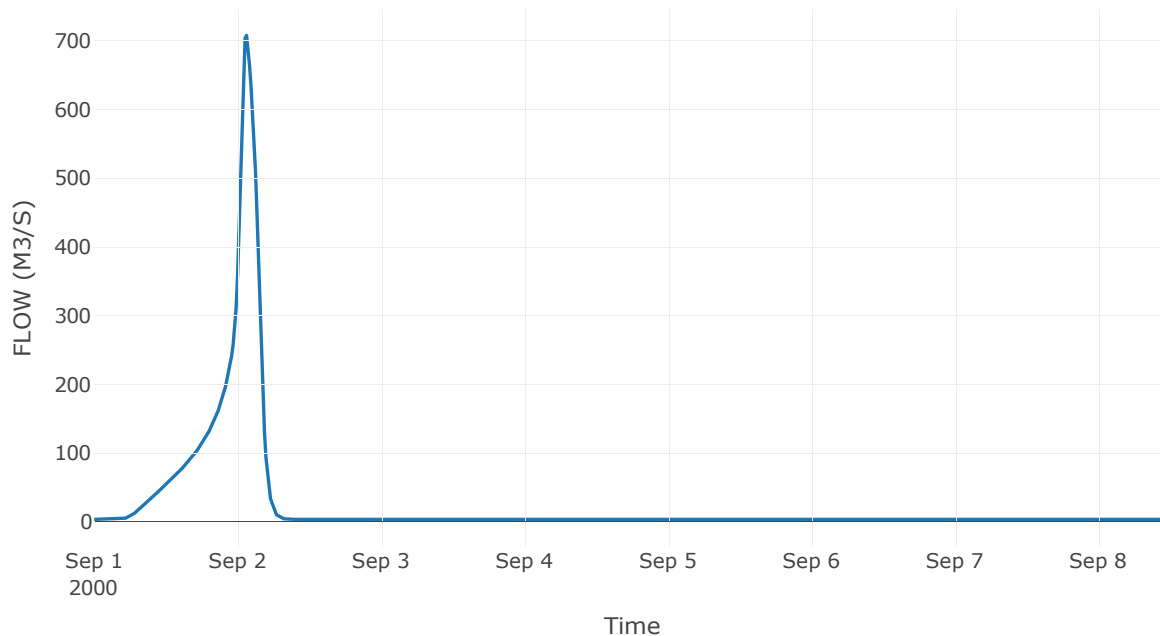
Κατάντη : J2

Μέθοδος Διόδευσης	Muskingum
Αρχική Μεταβλητή	Combined Inflow
Χρόνος Ροής K	0.92
Συντελεστής βάρους x	0.2
Πλήθος Υποκλάδων	5

Αποτελέσματα: R72

Παροχή Αιχμής(M3/S)	708.03
Χρονική στιγμή αιχμής	02Sep2000, 01:30
Όγκος(MM)	238.36
Παροχή Αιχμής Εισόδου (M3/S)	730.18
Όγκος Εισροής(M3)	1.69E7

Απορροή



Κλάδος: R87

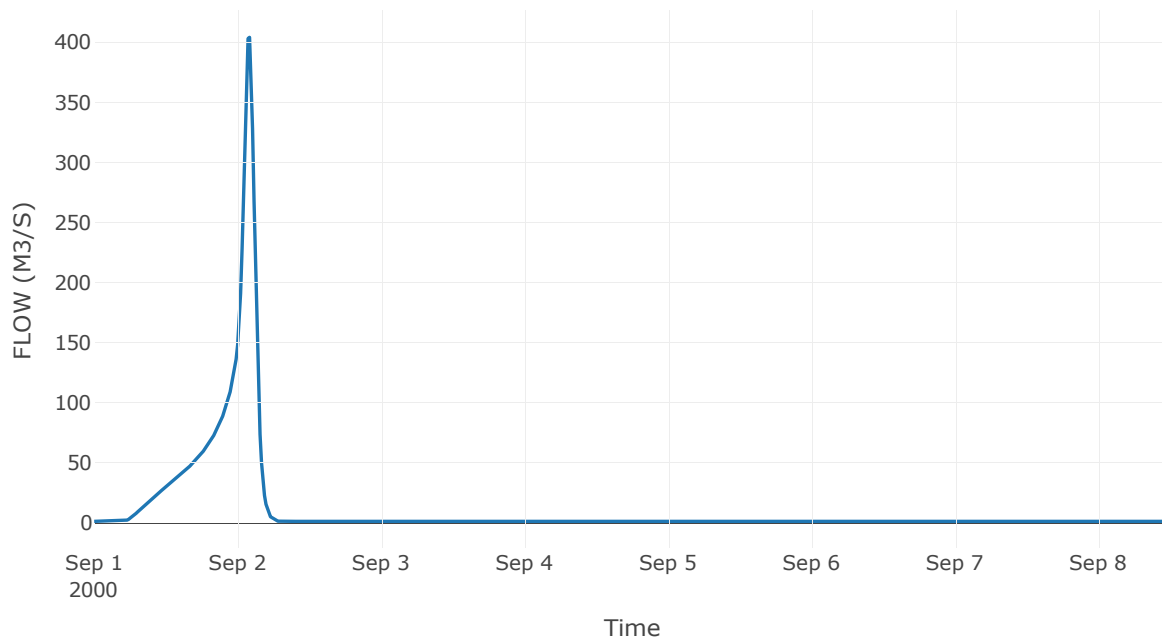
Κατάντη : J7

Μέθοδος Διόδευσης	Muskingum
Αρχική Μεταβλητή	Combined Inflow
Χρόνος Ροής K	1.66
Συντελεστής βάρους x	0.2
Πλήθος Υποκλάδων	9

Αποτελέσματα: R87

Παροχή Αιχμής(M3/S)	403.92
Χρονική στιγμή αιχμής	02Sep2000, 02:00
Όγκος(MM)	255.61
Παροχή Αιχμής Εισόδου (M3/S)	462.29
Όγκος Εισροής(M3)	7.77E6

Απορροή



Κλάδος: R98

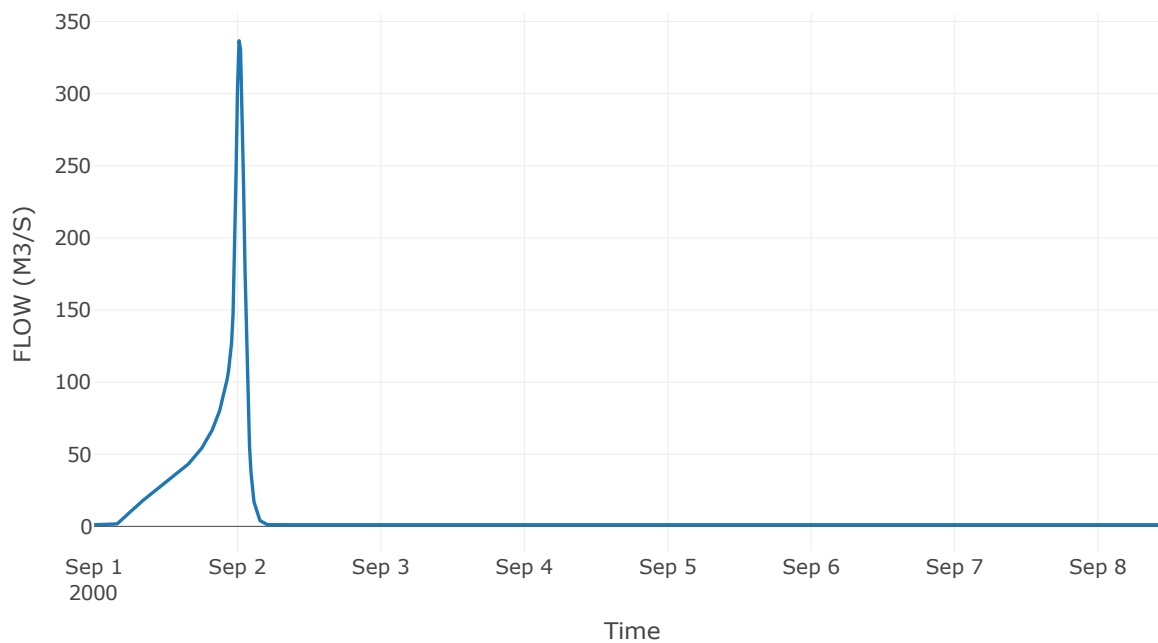
Κατάντη : J8

Μέθοδος Διόδευσης	Χρόνος
Αρχική Μεταβλητή	Combined Inflow
Χρόνος Υστέρησης	28.97

Αποτελέσματα: R98

Παροχή Αιχμής(M3/S)	336.65
Χρονική στιγμή αιχμής	02Sep2000, 00:15
Όγκος(MM)	263.52
Παροχή Αιχμής Εισόδου (M3/S)	336.89
Όγκος Εισροής(M3)	5.84E6

Απορροή



Κλάδος: R107

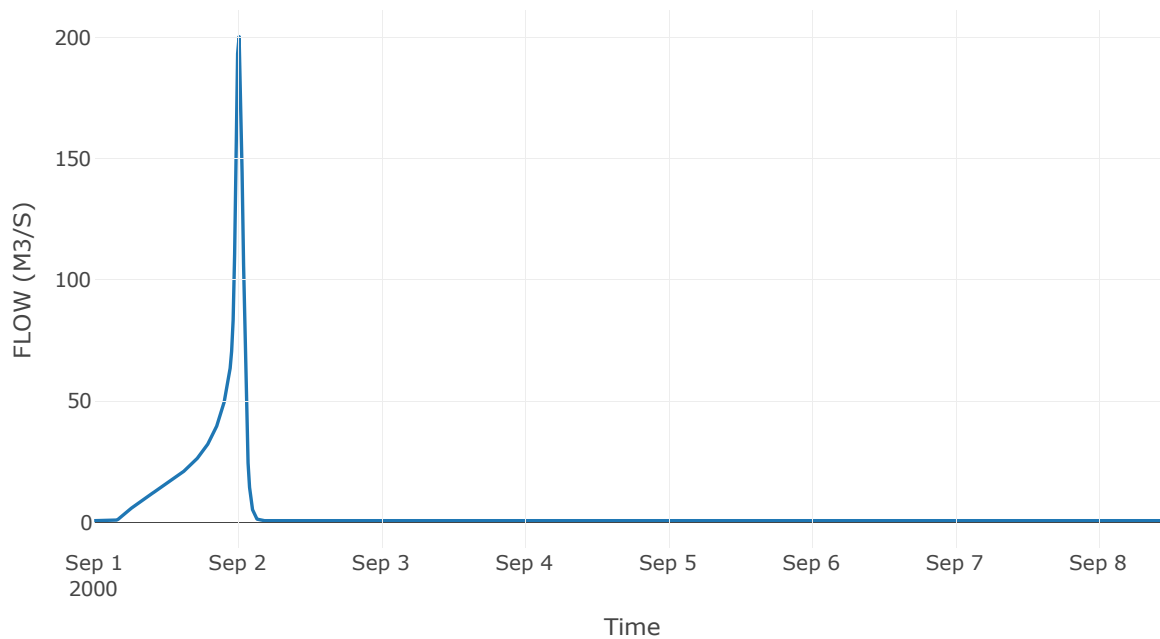
Κατάντη : J7

Μέθοδος Διόδευσης	Χρόνος
Αρχική Μεταβλητή	Combined Inflow
Χρόνος Υστέρησης	34.73

Αποτελέσματα: R107

Παροχή Αιχμής(M3/S)	200.4
Χρονική στιγμή αιχμής	02Sep2000, 00:15
Όγκος(MM)	250.48
Παροχή Αιχμής Εισόδου (M3/S)	202.3
Όγκος Εισροής(M3)	3.06E6

Απορροή



Κλάδος: R113

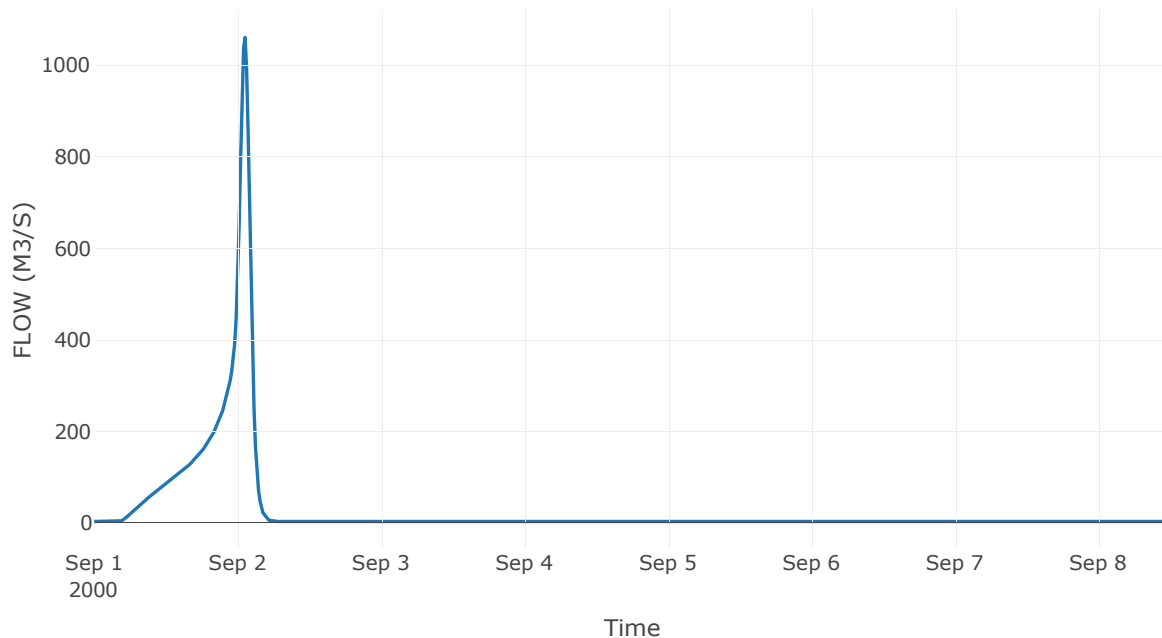
Κατάντη : J3

Μέθοδος Διόδευσης	Muskingum
Αρχική Μεταβλητή	Combined Inflow
Χρόνος Ροής K	0.93
Συντελεστής βάρους x	0.2
Πλήθος Υποκλάδων	5

Αποτελέσματα: R113

Παροχή Αιχμής(M3/S)	1061
Χρονική στιγμή αιχμής	02Sep2000, 01:15
Όγκος(MM)	278.97
Παροχή Αιχμής Εισόδου (M3/S)	1159.67
Όγκος Εισροής(M3)	1.91E7

Απορροή



Κλάδος: R1211

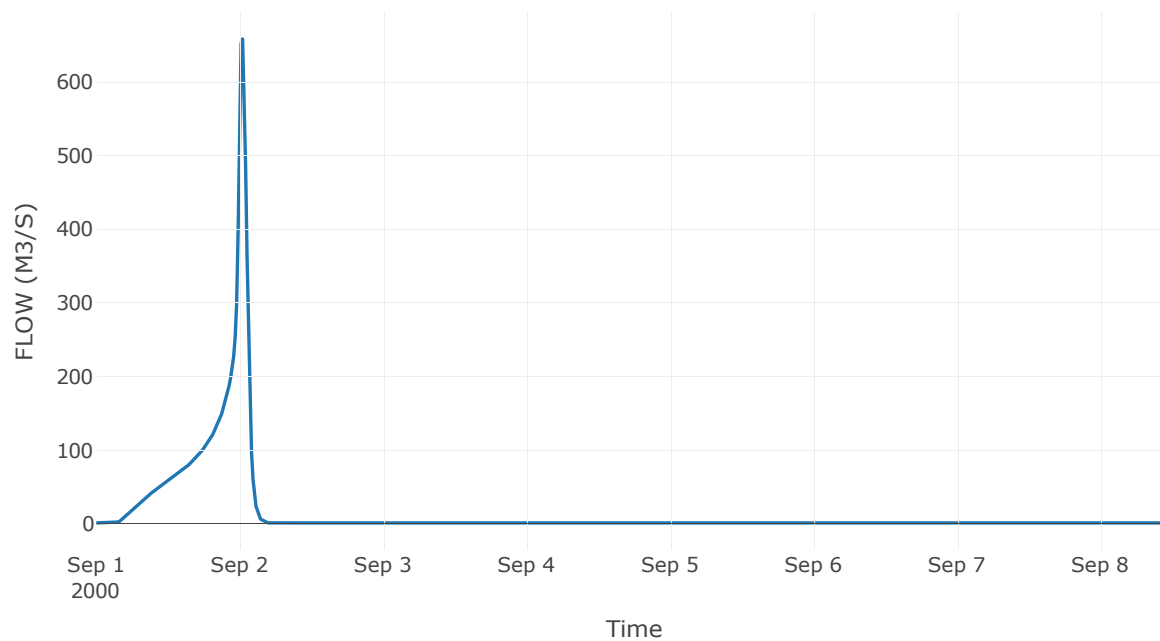
Κατάντη : J11

Μέθοδος Διόδευσης	Χρόνος
Αρχική Μεταβλητή	Combined Inflow
Χρόνος Υστέρησης	45.61

Αποτελέσματα: R1211

Παροχή Αιχμής(M3/S)	658.27
Χρονική στιγμή αιχμής	02Sep2000, 00:30
Όγκος(MM)	296.41
Παροχή Αιχμής Εισόδου (M3/S)	658.27
Όγκος Εισροής(M3)	1.09E7

Απορροή

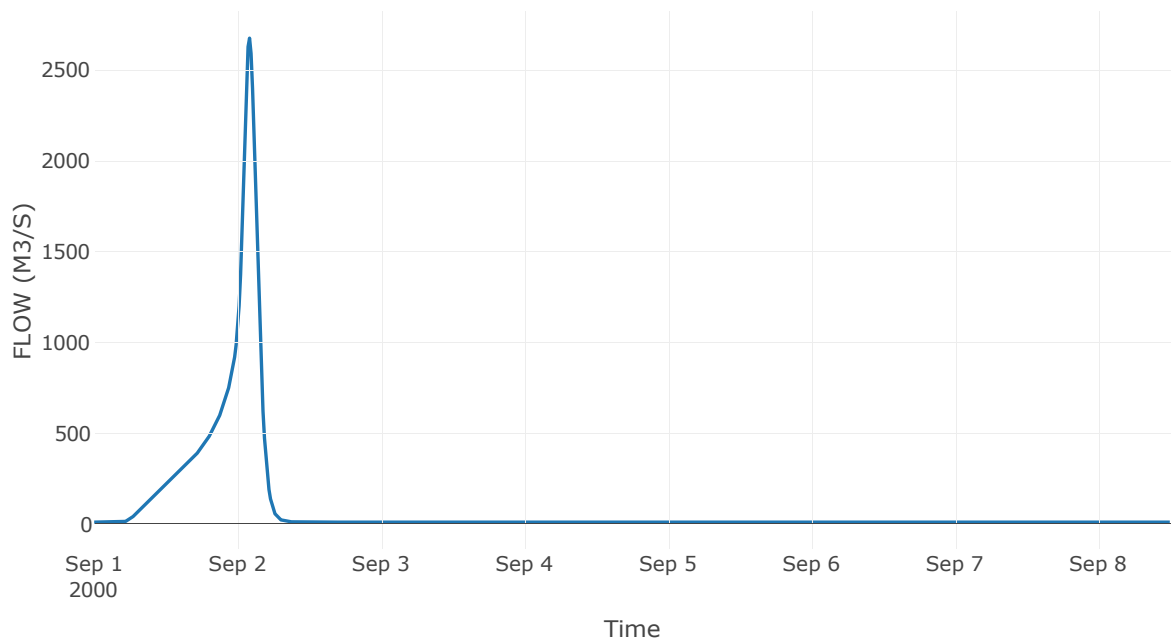


8.3 Δεδομένα και υδρογραφήματα σχεδιασμού Κόμβων υδρογραφικού δικτύου

Κόμβος: J1

Αποτέλεσμα τα: J1	
Παροχή αιχμής (M3/S)	2677.87
Χρονική στιγμή αιχμής	02Sep2000, 02:00
Όγκος (MM)	262.2

Απορροή

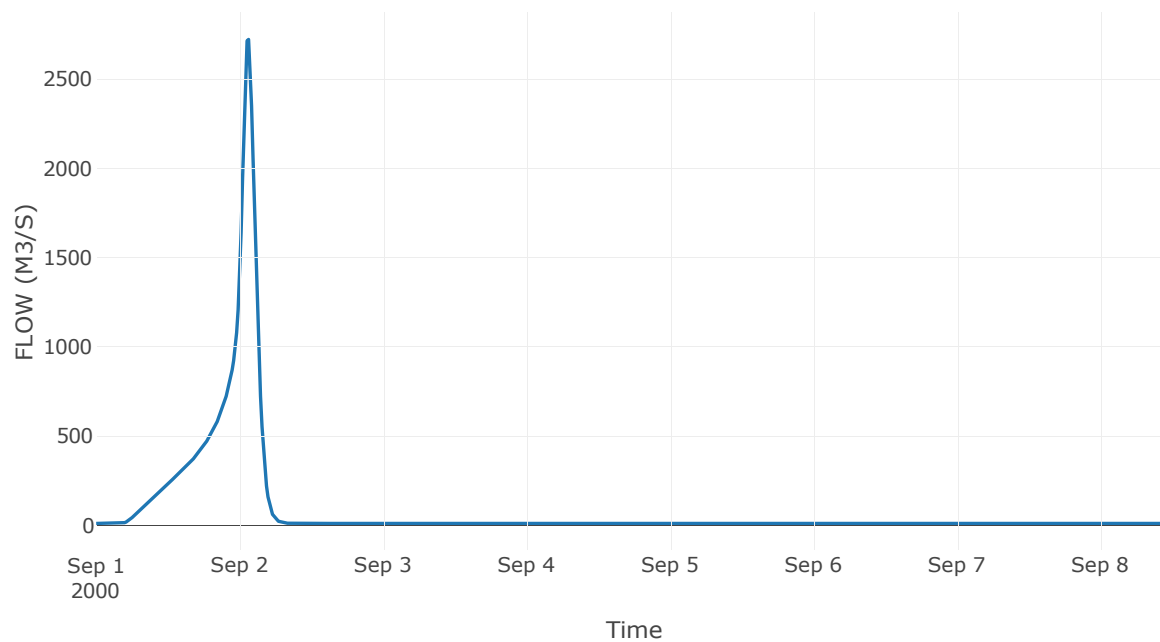


Κόμβος: J2

Αποτελέσμα
α: J2

Παροχή αιχμής (M3/S)	2721.74
Χρονική στιγμή αιχμής	02Sep2000, 01:30
Όγκος (MM)	262.41

Απορροή

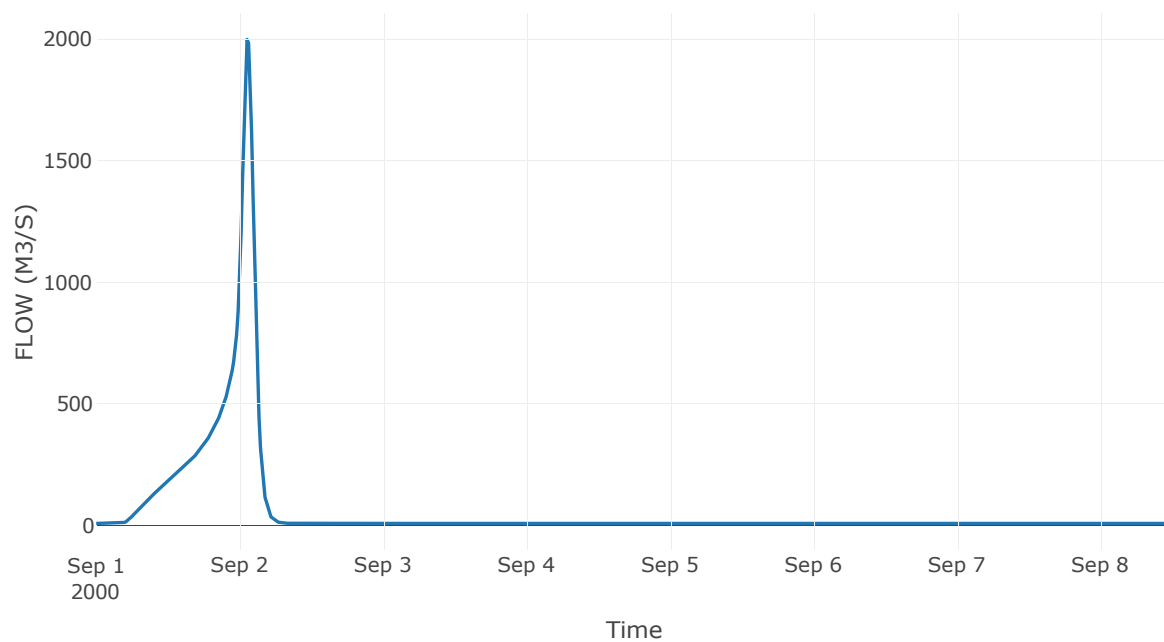


Κόμβος: J3

Αποτελέσμα
α: J3

Παροχή αιχμής (M3/S)	1999.86
Χρονική στιγμή αιχμής	02Sep2000, 01:15
Όγκος (MM)	274.97

Απορροή

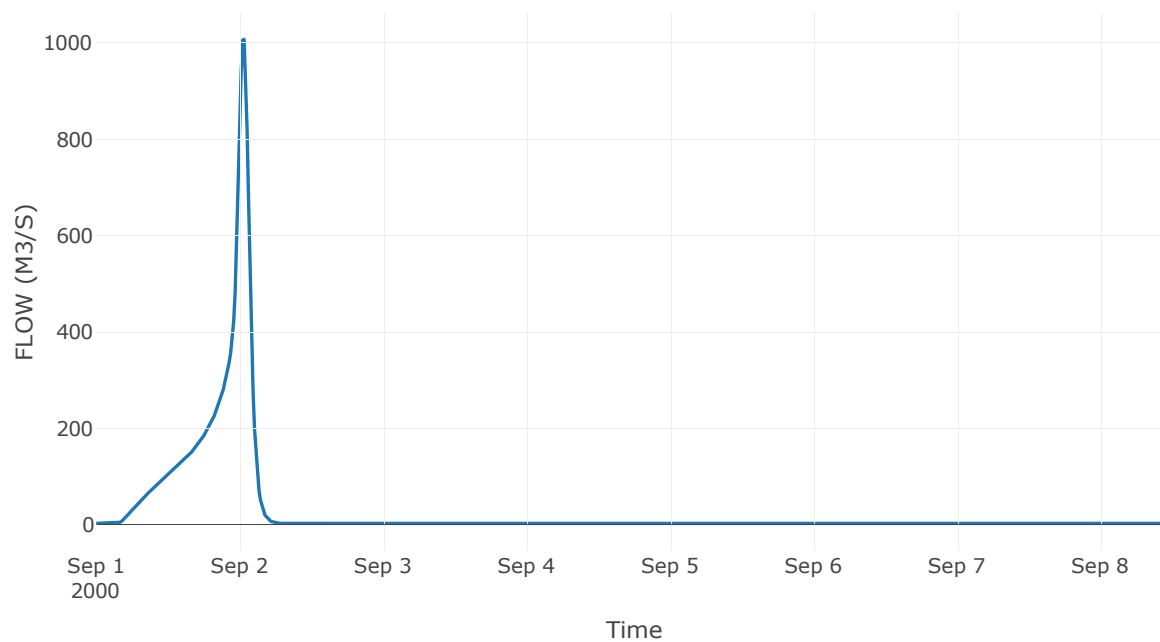


Κόμβος: J4

Αποτελέσματ
α: J4

Παροχή αιχμής (M3/S)	1007.12
Χρονική στιγμή αιχμής	02Sep2000, 00:45
Όγκος (MM)	274.54

Απορροή

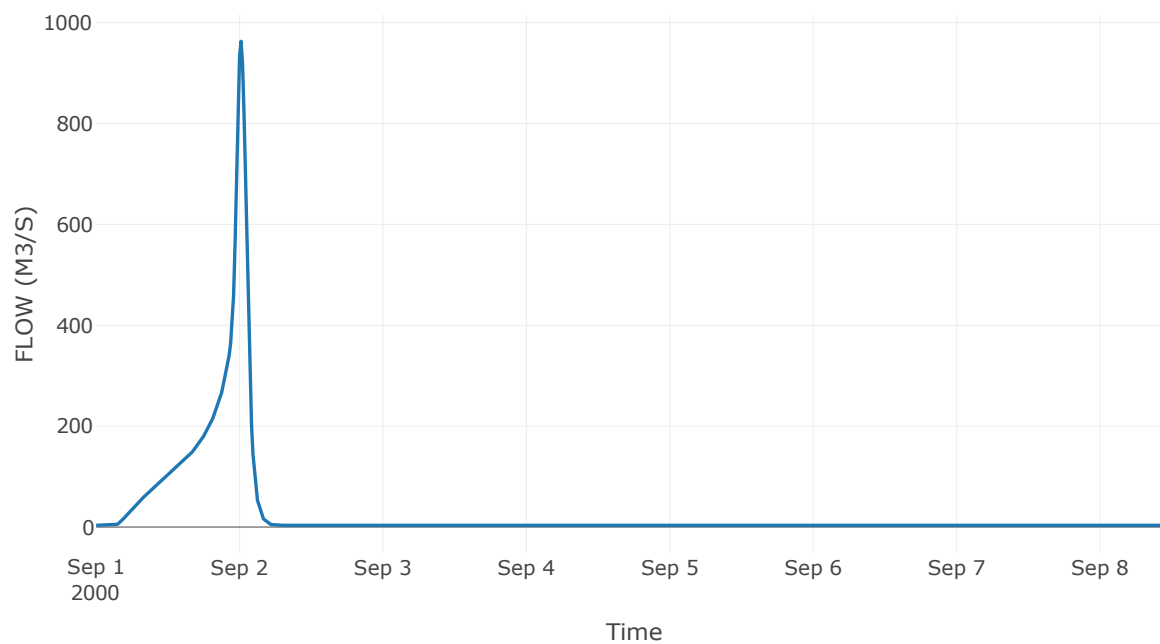


Κόμβος: J5

Αποτέλεσμα
τα: J5

Παροχή αιχμής (M3/S)	963.13
Χρονική στιγμή αιχμής	02Sep2000, 00:15
Όγκος (MM)	277.23

Απορροή

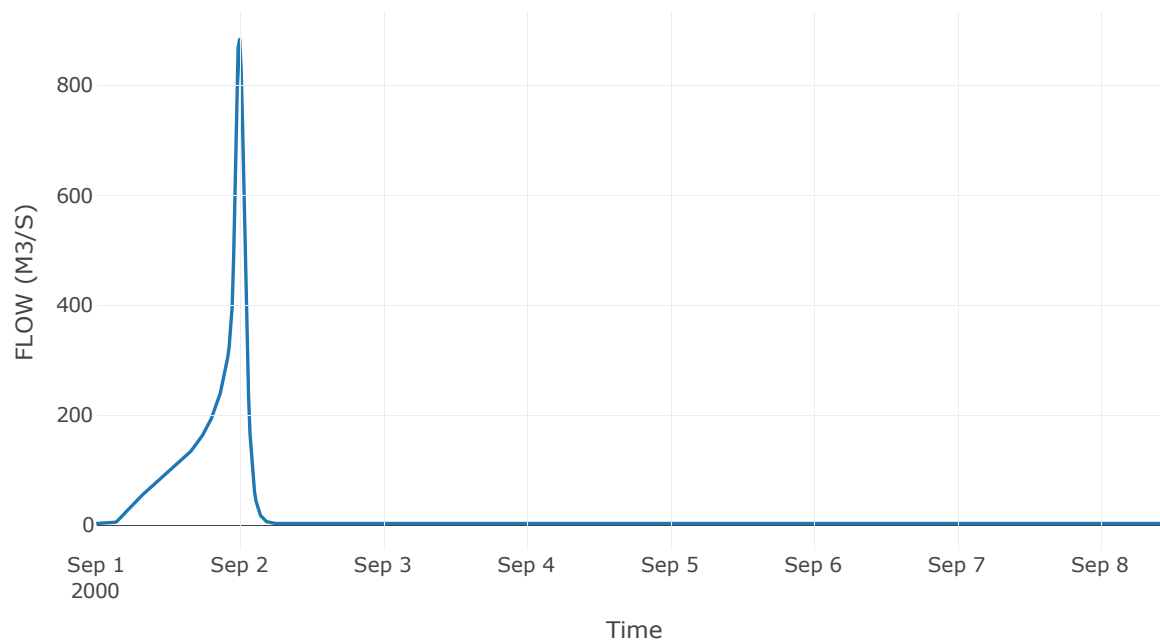


Κόμβος: J6

Αποτελέσματ
α: J6

Παροχή αιχμής (M3/S)	883.47
Χρονική στιγμή αιχμής	01Sep2000, 24:00
Όγκος (MM)	282.54

Απορροή

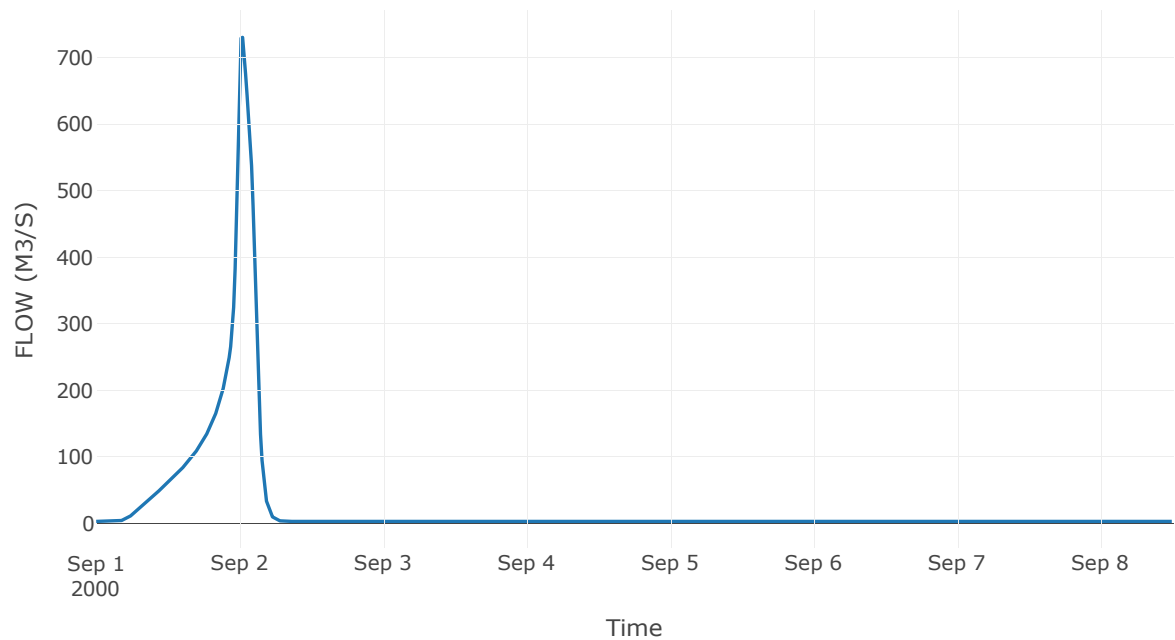


Κόμβος: J7

Αποτέλεσμα
τα: J7

Παροχή αιχμής (M3/S)	730.18
Χρονική στιγμή αιχμής	02Sep2000, 00:30
Όγκος (MM)	238.36

Απορροή

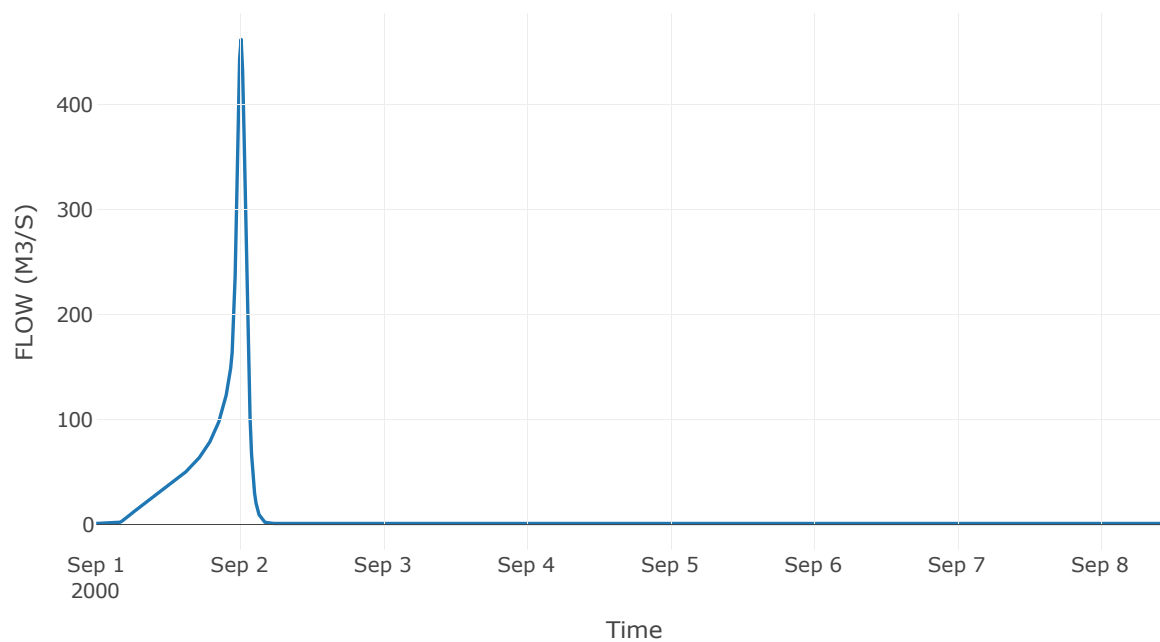


Κόμβος: J8

Αποτελέσματ
α: J8

Παροχή αιχμής (M3/S)	462.29
Χρονική στιγμή αιχμής	02Sep2000, 00:15
Όγκος (MM)	255.61

Απορροή

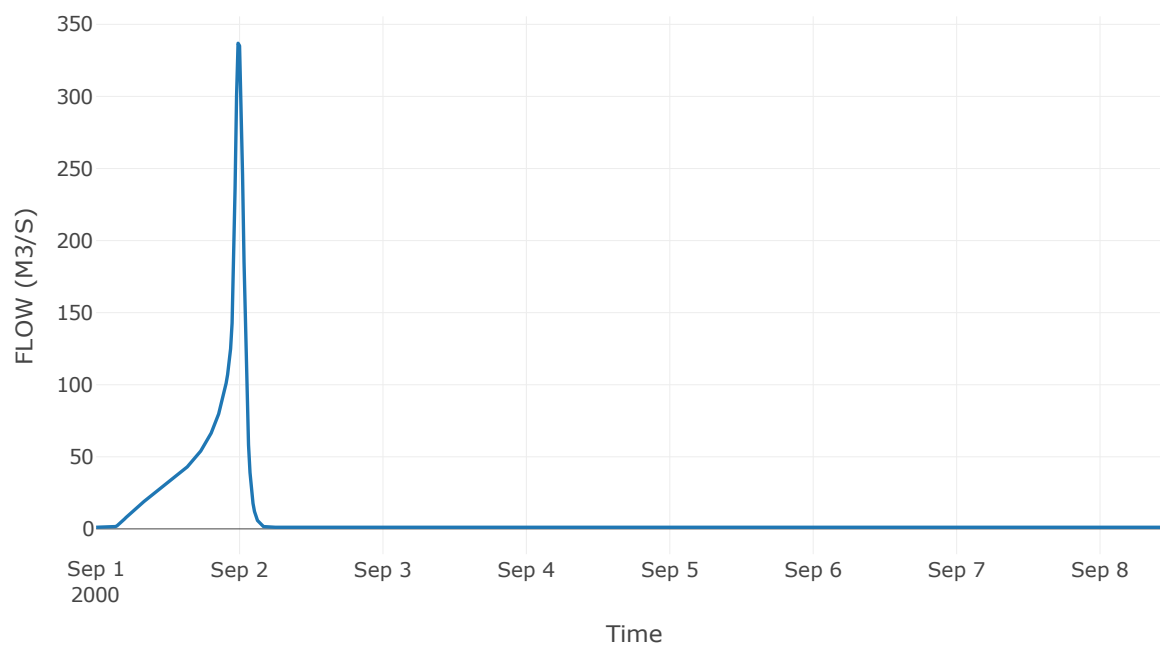


Κόμβος: J9

Αποτελέσματ
α: J9

Παροχή αιχμής (M3/S)	336.89
Χρονική στιγμή αιχμής	01Sep2000, 23:45
Όγκος (MM)	263.52

Απορροή

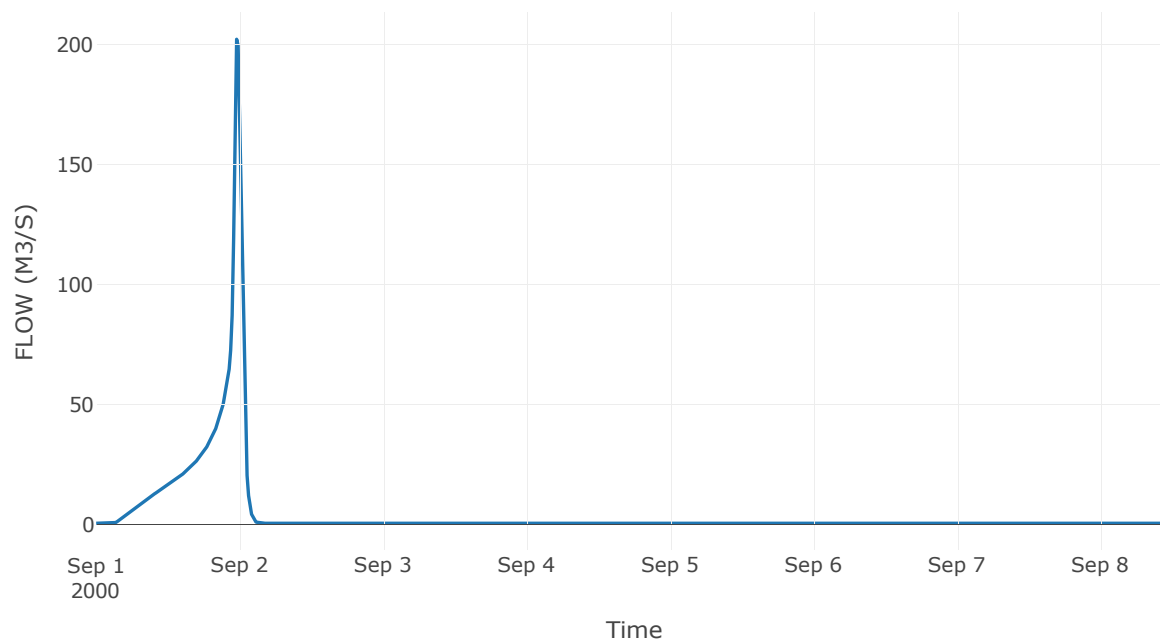


Κόμβος: J10

Αποτελέσματ
α: J10

Παροχή αιχμής (M3/S)	202.3
Χρονική στιγμή αιχμής	01Sep2000, 23:30
Όγκος (MM)	250.48

Απορροή

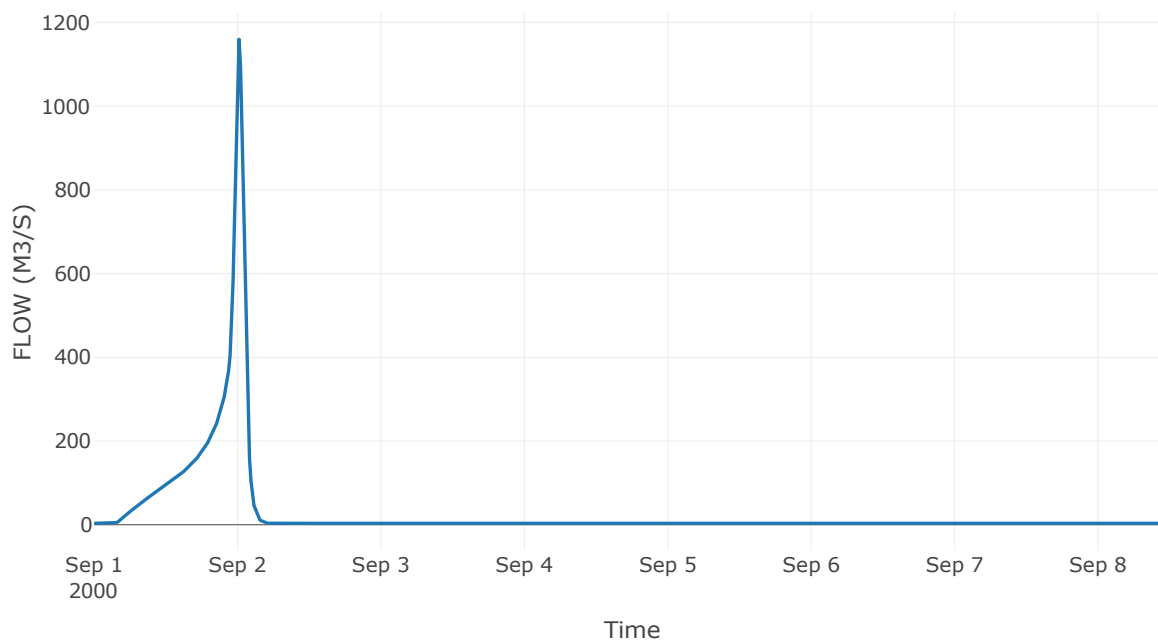


Κόμβος: J11

Αποτελέσματ
α: J11

Παροχή αιχμής (M3/S)	1159.67
Χρονική στιγμή αιχμής	02Sep2000, 00:15
Όγκος (MM)	278.97

Απορροή

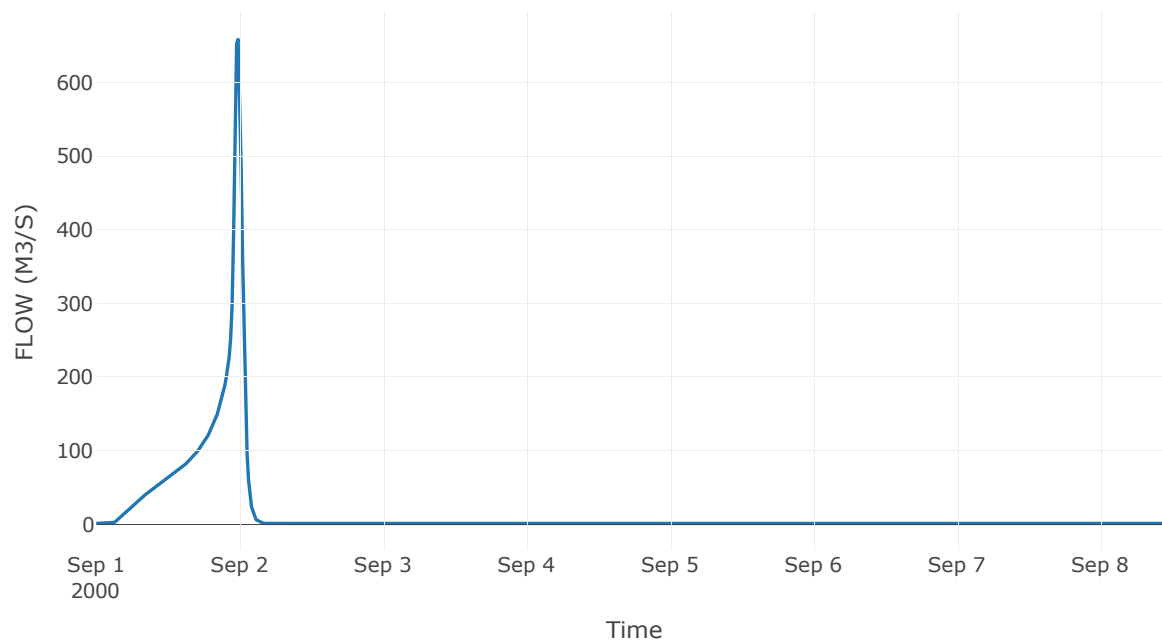


Κόμβος: J12

Αποτελέσματ
α: J12

Παροχή αιχμής (M3/S)	658.27
Χρονική στιγμή αιχμής	01Sep2000, 23:45
Όγκος (MM)	296.41

Απορροή



9 Δεδομένα εισόδου και αποτελέσματα υδρολογικού σεναρίου T=1000L

9.1 Αποτελέσματα, υετογραφήματα και υδρογραφήματα σχεδιασμού υπολεκανών

Υπολεκάνη: EL0514FR4001

Έκταση (KM2) : 1.95

Κατάντη : J1

Μέθοδος Απωλειών: SCS

Ποσοστό αδιαπέρατης επιφάνειας	0
Αριθμός Καμπύλης Απορροής-CN	67.12
Αρχικές Απώλειες	24.89

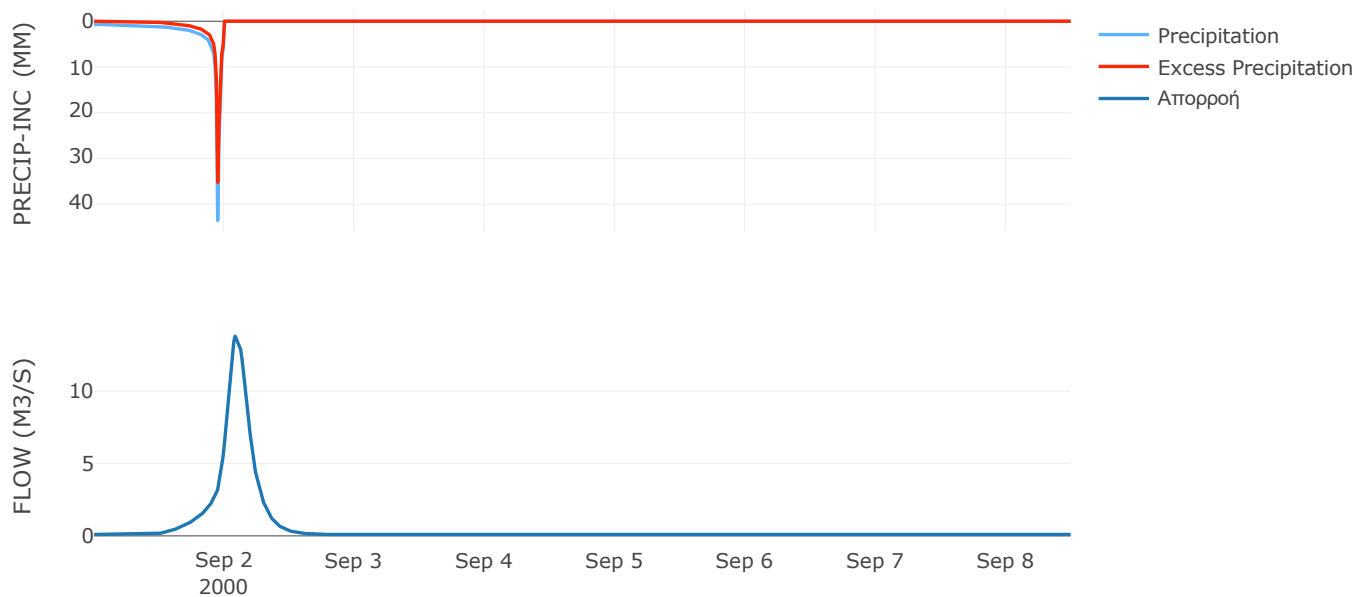
Μέθοδος
Μετασχηματισμού: SCS

Χρόνος Υστέρησης	207.57
------------------	--------

Αποτελέσματα:
EL0514FR4001

Παροχή αιχμής (M3/S)	13.87
Χρονική στιγμή αιχμής	02Sep2000, 02:15
Όγκος (MM)	185.72
Όγκος βροχόπτωσης (M3)	5.07E5
Όγκος απωλειών (M3)	2.07E5
Ενεργός Όγκος (M3)	2.99E5
Όγκος άμεσης απορροής (M3)	2.99E5
Όγκος βασικής απορροής (M3)	63244.8

Βροχόπτωση και Απορροή



Υπολεκάνη: EL0514FR4002

Έκταση (KM2) : 0.13

Κατάντη : J2

Μέθοδος Απωλειών: SCS

Ποσοστό αδιαπέρατης επιφάνειας	0
Αριθμός Καμπύλης Απορροής-CN	63.07
Αρχικές Απώλειες	29.74

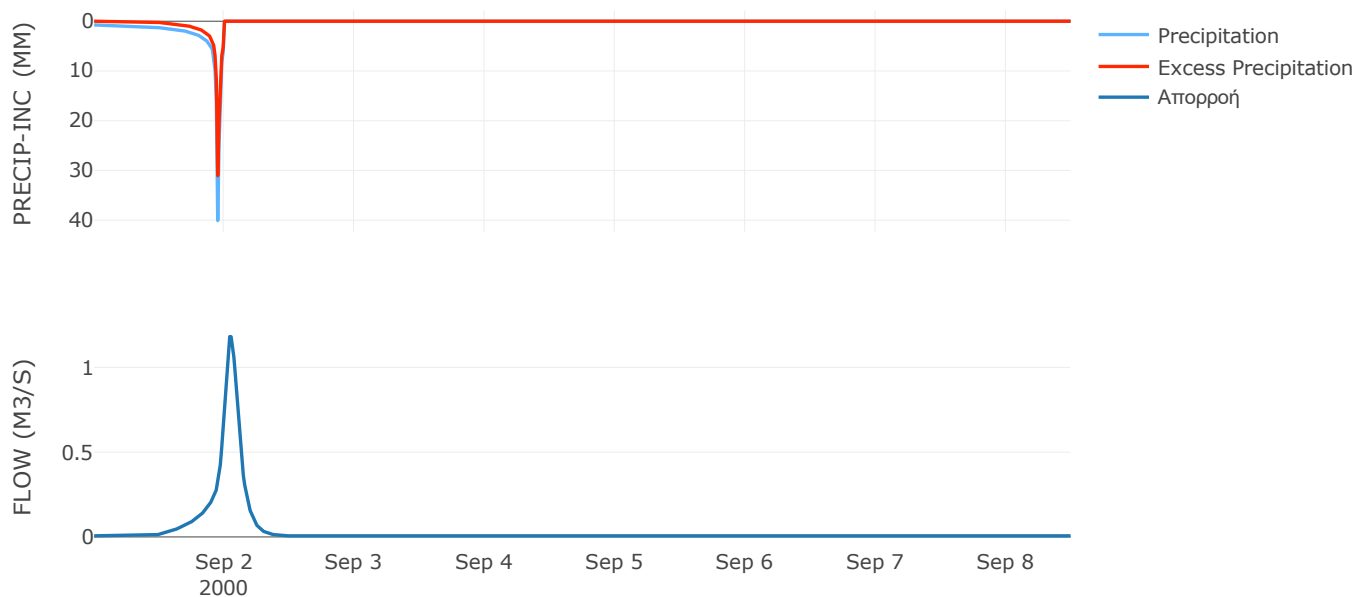
Μέθοδος
Μετασχηματισμού: SCS

Χρόνος Υστέρησης	132.24
------------------	--------

Αποτελέσματα:
EL0514FR4002

Παροχή αιχμής (M3/S)	1.18
Χρονική στιγμή αιχμής	02Sep2000, 01:00
Όγκος (MM)	177.68
Όγκος βροχόπτωσης (M3)	34358.59
Όγκος απωλειών (M3)	15616.89
Ενεργός Όγκος (M3)	18741.7
Όγκος άμεσης απορροής (M3)	18741.7
Όγκος βασικής απορροής (M3)	4179.6

Βροχόπτωση και Απορροή



Υπολεκάνη: EL0514FR4003

Έκταση (KM2) : 3.14

Κατάντη : J2

Μέθοδος Απωλειών: SCS

Ποσοστό αδιαπέρατης επιφάνειας	0
Αριθμός Καμπύλης Απορροής-CN	54.13
Αρχικές Απώλειες	43.05

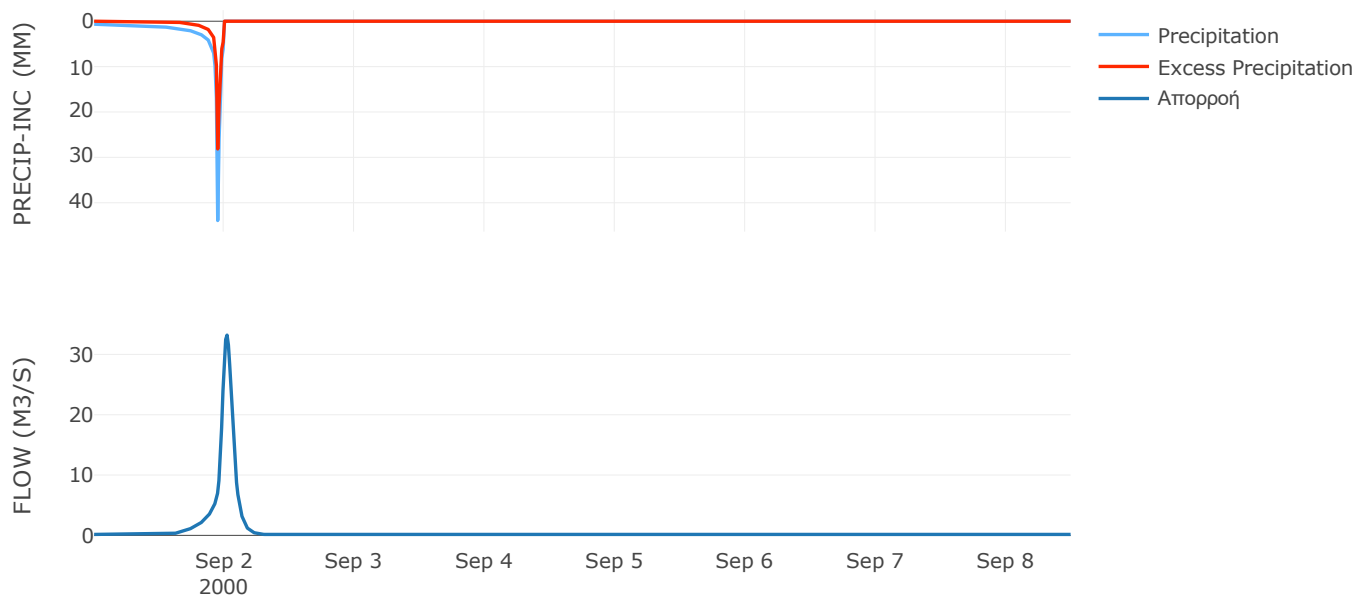
Μέθοδος
Μετασχηματισμού: SCS

Χρόνος Υστέρησης	85.64
------------------	-------

Αποτελέσματα:
EL0514FR4003

Παροχή αιχμής (M3/S)	33.2
Χρονική στιγμή αιχμής	02Sep2000, 00:30
Όγκος (MM)	143.17
Όγκος βροχόπτωσης (M3)	8.24E5
Όγκος απωλειών (M3)	4.76E5
Ενεργός Όγκος (M3)	3.48E5
Όγκος άμεσης απορροής (M3)	3.48E5
Όγκος βασικής απορροής (M3)	1.02E5

Βροχόπτωση και Απορροή



Υπολεκάνη: EL0514FR4004

Έκταση (KM2) : 3.81

Κατάντη : J3

Μέθοδος Απωλειών: SCS

Ποσοστό αδιαπέρατης επιφάνειας	0
Αριθμός Καμπύλης Απορροής-CN	59.72
Αρχικές Απώλειες	34.27

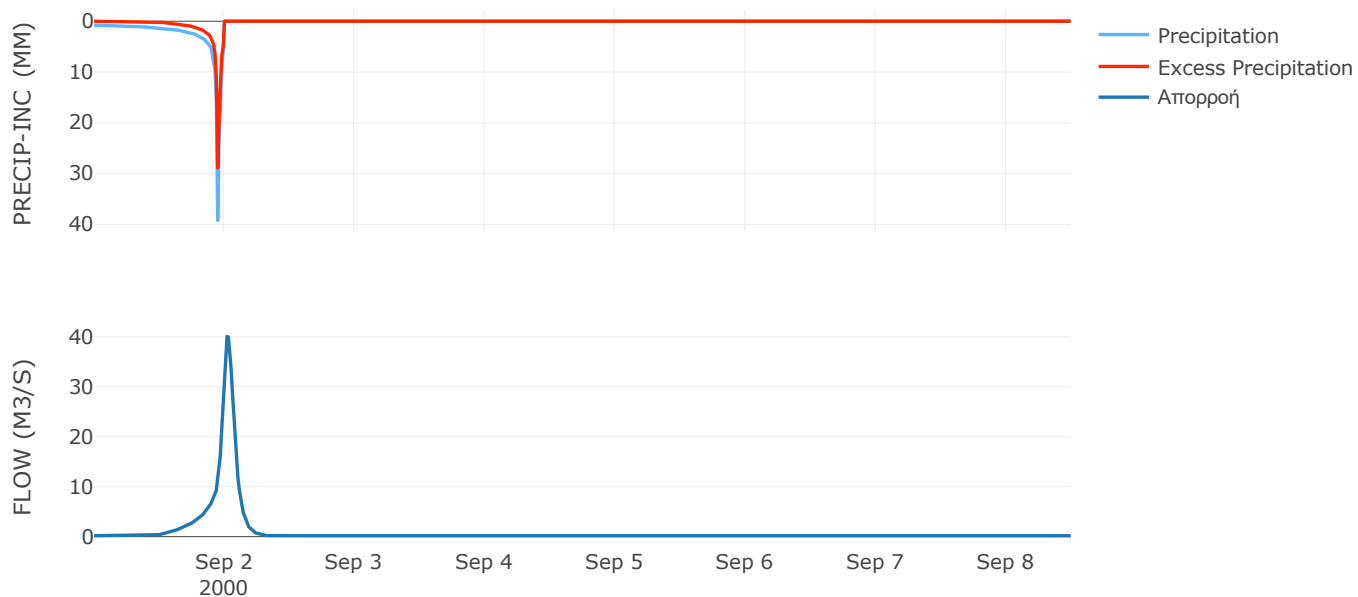
Μέθοδος
Μετασχηματισμού: SCS

Χρόνος Υστέρησης	97.49
------------------	-------

Αποτελέσματα:
EL0514FR4004

Παροχή αιχμής (M3/S)	40.07
Χρονική στιγμή αιχμής	02Sep2000, 00:30
Όγκος (MM)	166.67
Όγκος βροχόπτωσης (M3)	1.02E6
Όγκος απωλειών (M3)	5.07E5
Ενεργός Όγκος (M3)	5.12E5
Όγκος άμεσης απορροής (M3)	5.12E5
Όγκος βασικής απορροής (M3)	1.24E5

Βροχόπτωση και Απορροή



Υπολεκάνη: EL0514FR4005

Έκταση (KM2) : 6.29

Κατάντη : J4

Μέθοδος Απωλειών: SCS

Ποσοστό αδιαπέρατης επιφάνειας	0
Αριθμός Καμπύλης Απορροής-CN	64.22
Αρχικές Απώλειες	28.31

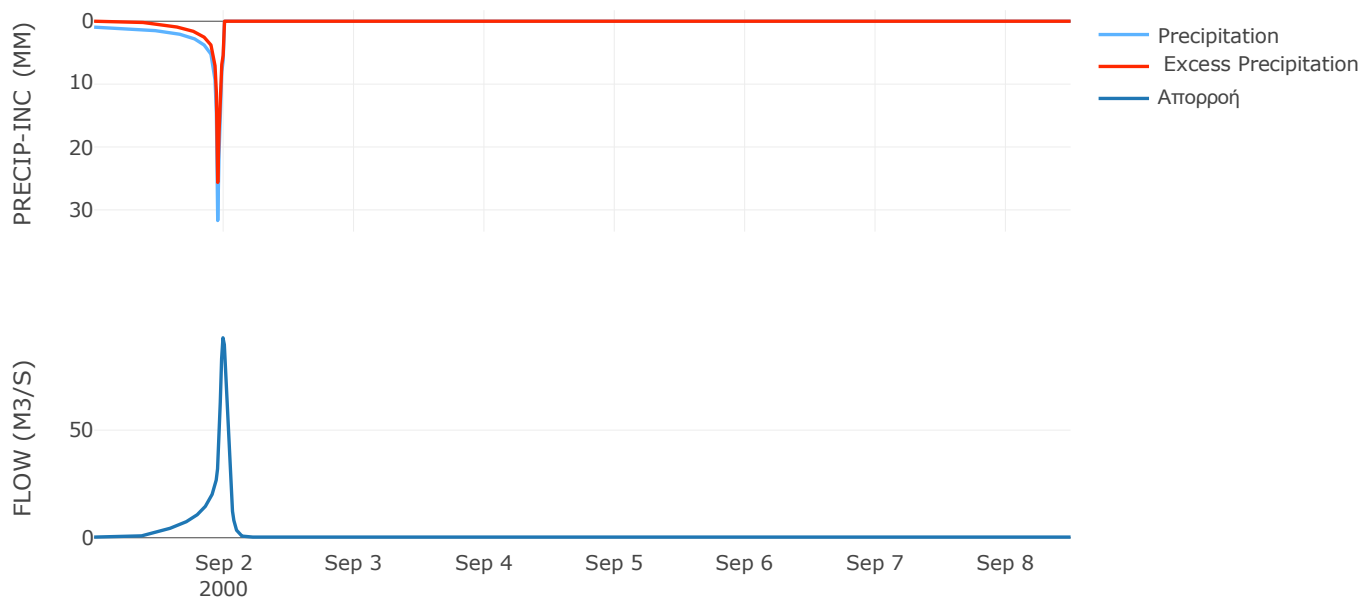
Μέθοδος
Μετασχηματισμού: SCS

Χρόνος Υστέρησης	48.02
------------------	-------

Αποτελέσματα:
EL0514FR4005

Παροχή αιχμής (M3/S)	92.9
Χρονική στιγμή αιχμής	01Sep2000, 23:45
Όγκος (MM)	187.53
Όγκος βροχόπτωσης (M3)	1.72E6
Όγκος απωλειών (M3)	7.42E5
Ενεργός Όγκος (M3)	9.76E5
Όγκος άμεσης απορροής (M3)	9.76E5
Όγκος βασικής απορροής (M3)	2.04E5

Βροχόπτωση και Απορροή



Υπολεκάνη: EL0514FR4006

Έκταση (KM2) : 8.52

Κατάντη : J5

Μέθοδος Απωλειών: SCS

Ποσοστό αδιαπέρατης επιφάνειας	0
Αριθμός Καμπύλης Απορροής-CN	63.93
Αρχικές Απώλειες	28.67

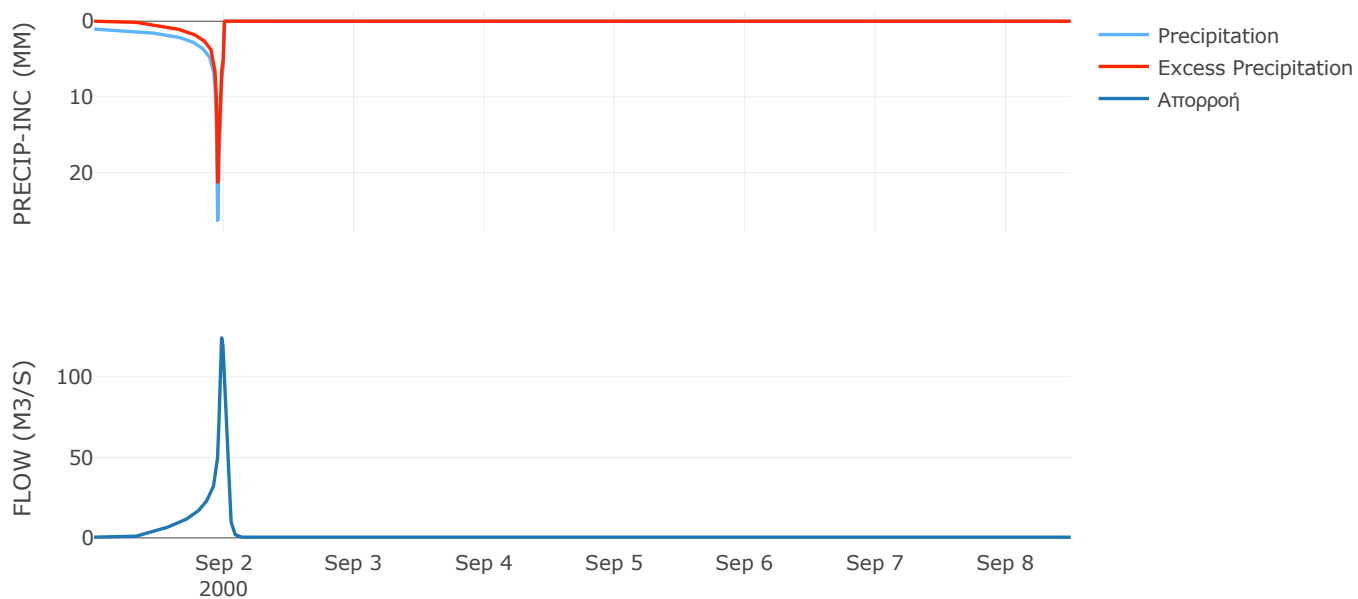
Μέθοδος
Μετασχηματισμού: SCS

Χρόνος Υστέρησης	34.25
------------------	-------

Αποτελέσματα:
EL0514FR4006

Παροχή αιχμής (M3/S)	124.23
Χρονική στιγμή αιχμής	01Sep2000, 23:30
Όγκος (MM)	182.36
Όγκος βροχόπτωσης (M3)	2.29E6
Όγκος απωλειών (M3)	1.01E6
Ενεργός Όγκος (M3)	1.28E6
Όγκος άμεσης απορροής (M3)	1.28E6
Όγκος βασικής απορροής (M3)	2.76E5

Βροχόπτωση και Απορροή



Υπολεκάνη: EL0514FR4007

Έκταση (KM2) : 45.77

Κατάντη : J6

Μέθοδος Απωλειών: SCS

Ποσοστό αδιαπέρατης επιφάνειας	0
Αριθμός Καμπύλης Απορροής-CN	63.49
Αρχικές Απώλειες	29.21

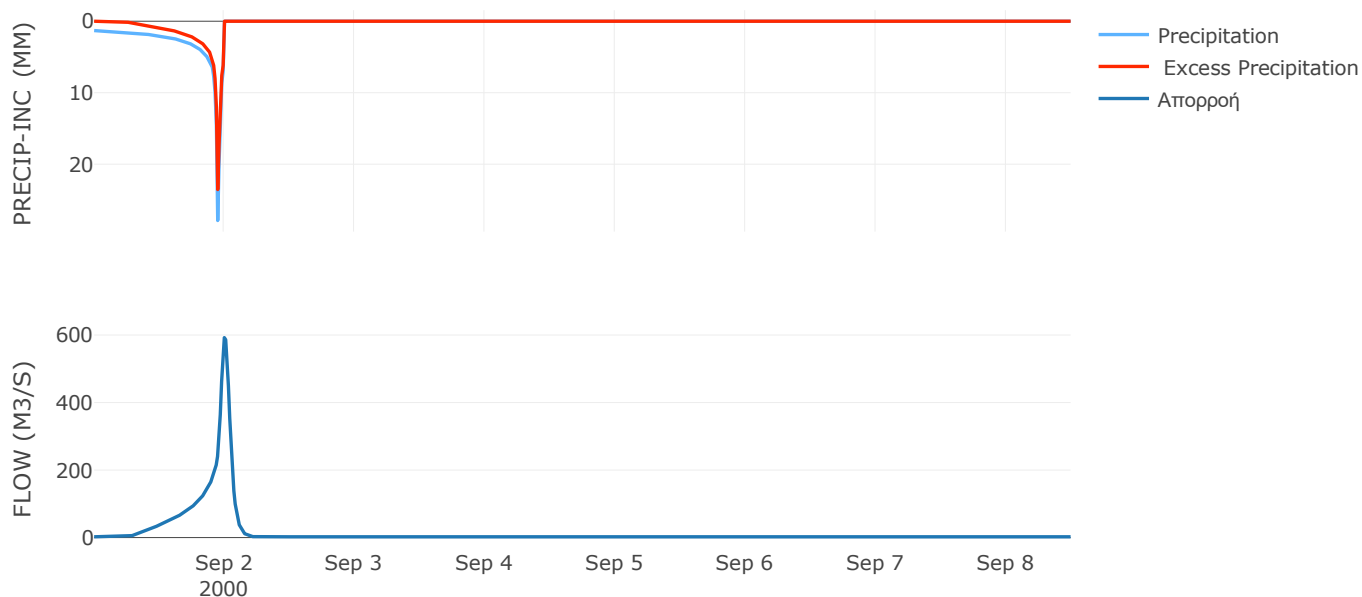
Μέθοδος
Μετασχηματισμού: SCS

Χρόνος Υστέρησης	65.62
------------------	-------

Αποτελέσματα:
EL0514FR4007

Παροχή αιχμής (M3/S)	592.32
Χρονική στιγμή αιχμής	01Sep2000, 24:00
Όγκος (MM)	221.52
Όγκος βροχόπτωσης (M3)	1.44E7
Όγκος απωλειών (M3)	5.76E6
Ενεργός Όγκος (M3)	8.66E6
Όγκος άμεσης απορροής (M3)	8.66E6
Όγκος βασικής απορροής (M3)	1.48E6

Βροχόπτωση και Απορροή



Υπολεκάνη: EL0514FR4008

Έκταση (KM2) : 14.21

Κατάντη : J6

Μέθοδος Απωλειών: SCS

Ποσοστό αδιαπέρατης επιφάνειας	0
Αριθμός Καμπύλης Απορροής-CN	64.02
Αρχικές Απώλειες	28.55

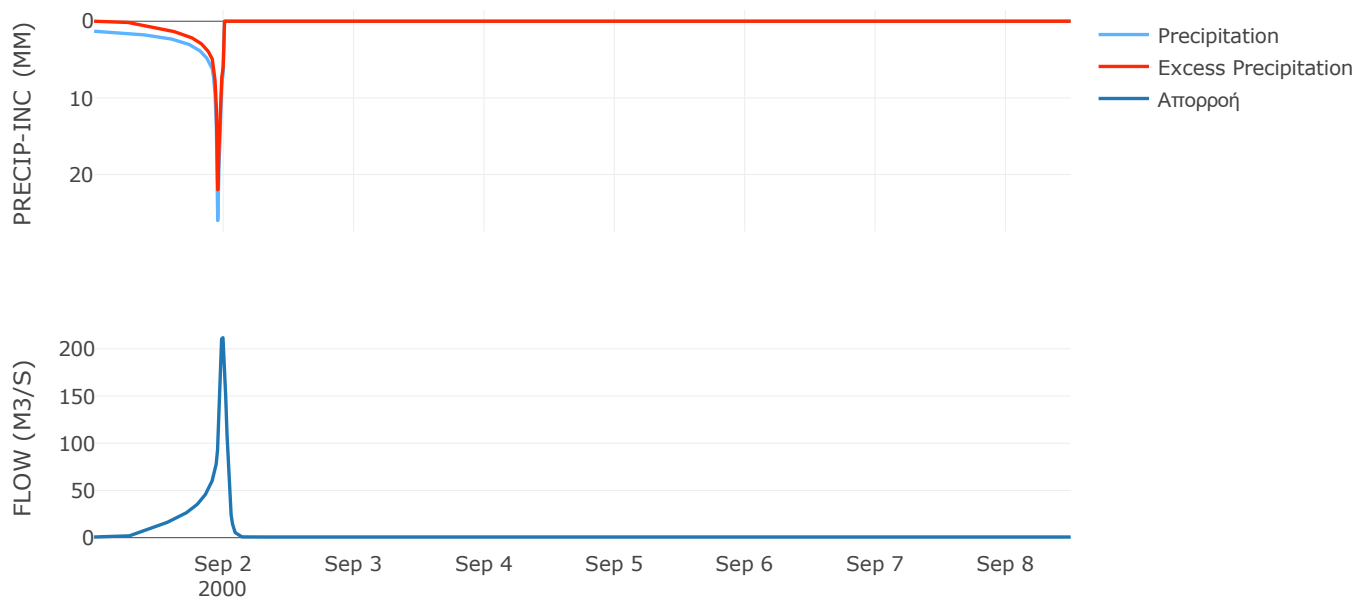
Μέθοδος
Μετασχηματισμού: SCS

Χρόνος Υστέρησης	37.99
------------------	-------

Αποτελέσματα:
EL0514FR4008

Παροχή αιχμής (M3/S)	211.82
Χρονική στιγμή αιχμής	01Sep2000, 23:45
Όγκος (MM)	216.35
Όγκος βροχόπτωσης (M3)	4.36E6
Όγκος απωλειών (M3)	1.75E6
Ενεργός Όγκος (M3)	2.61E6
Όγκος άμεσης απορροής (M3)	2.61E6
Όγκος βασικής απορροής (M3)	4.6E5

Βροχόπτωση και Απορροή



Υπολεκάνη: EL0514FR4009

Έκταση (KM2) : 12.22

Κατάντη : J10

Μέθοδος Απωλειών: SCS

Ποσοστό αδιαπέρατης επιφάνειας	0
Αριθμός Καμπύλης Απορροής-CN	64.71
Αρχικές Απώλειες	27.7

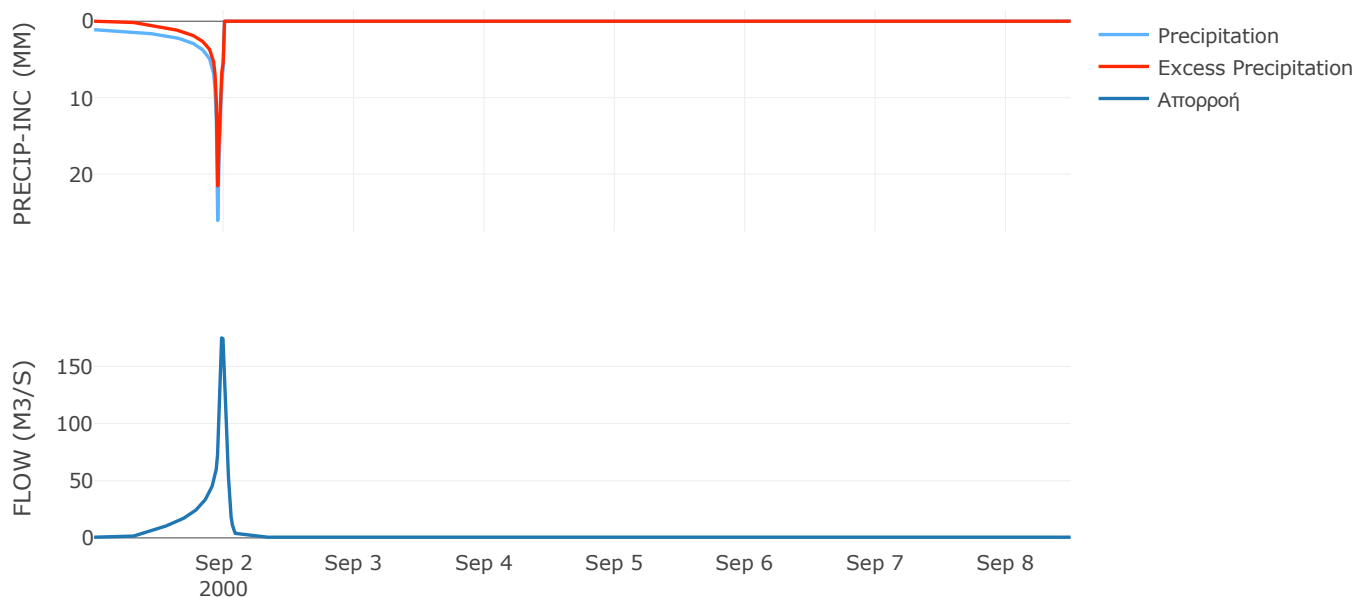
Μέθοδος
Μετασχηματισμού: SCS

Χρόνος Υστέρησης	37.08
------------------	-------

Αποτελέσματα:
EL0514FR4009

Παροχή αιχμής (M3/S)	174.94
Χρονική στιγμή αιχμής	01Sep2000, 23:30
Όγκος (MM)	193.04
Όγκος βροχόπτωσης (M3)	3.39E6
Όγκος απωλειών (M3)	1.43E6
Ενεργός Όγκος (M3)	1.96E6
Όγκος άμεσης απορροής (M3)	1.96E6
Όγκος βασικής απορροής (M3)	3.96E5

Βροχόπτωση και Απορροή



Υπολεκάνη: EL0514FR4010

Έκταση (KM2) : 13.42

Κατάντη : J7

Μέθοδος Απωλειών: SCS

Ποσοστό αδιαπέρατης επιφάνειας	0
Αριθμός Καμπύλης Απορροής-CN	65
Αρχικές Απώλειες	27.35

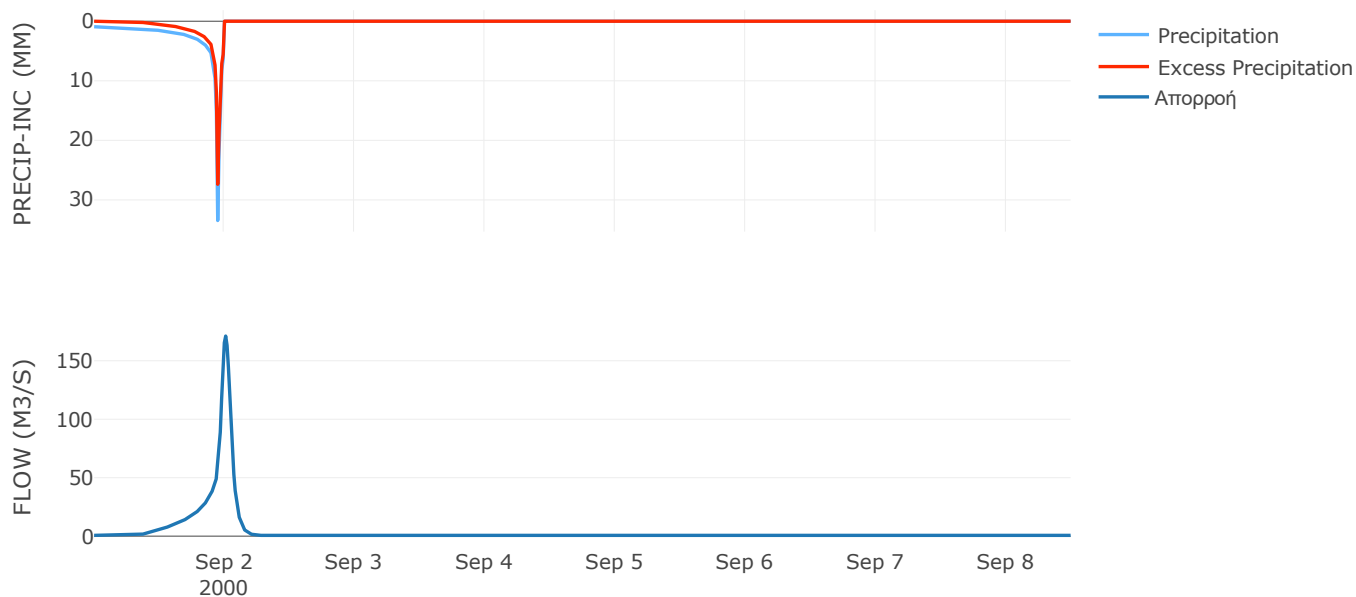
Μέθοδος
Μετασχηματισμού: SCS

Χρόνος Υστέρησης	73.74
------------------	-------

Αποτελέσματα:
EL0514FR4010

Παροχή αιχμής (M3/S)	171.15
Χρονική στιγμή αιχμής	02Sep2000, 00:15
Όγκος (MM)	193.37
Όγκος βροχόπτωσης (M3)	3.71E6
Όγκος απωλειών (M3)	1.55E6
Ενεργός Όγκος (M3)	2.16E6
Όγκος άμεσης απορροής (M3)	2.16E6
Όγκος βασικής απορροής (M3)	4.35E5

Βροχόπτωση και Απορροή



Υπολεκάνη: EL0514FR4011

Έκταση (KM2) : 14.76

Κατάντη : J7

Μέθοδος Απωλειών: SCS

Ποσοστό αδιαπέρατης επιφάνειας	0
Αριθμός Καμπύλης Απορροής-CN	42.83
Αρχικές Απώλειες	67.81

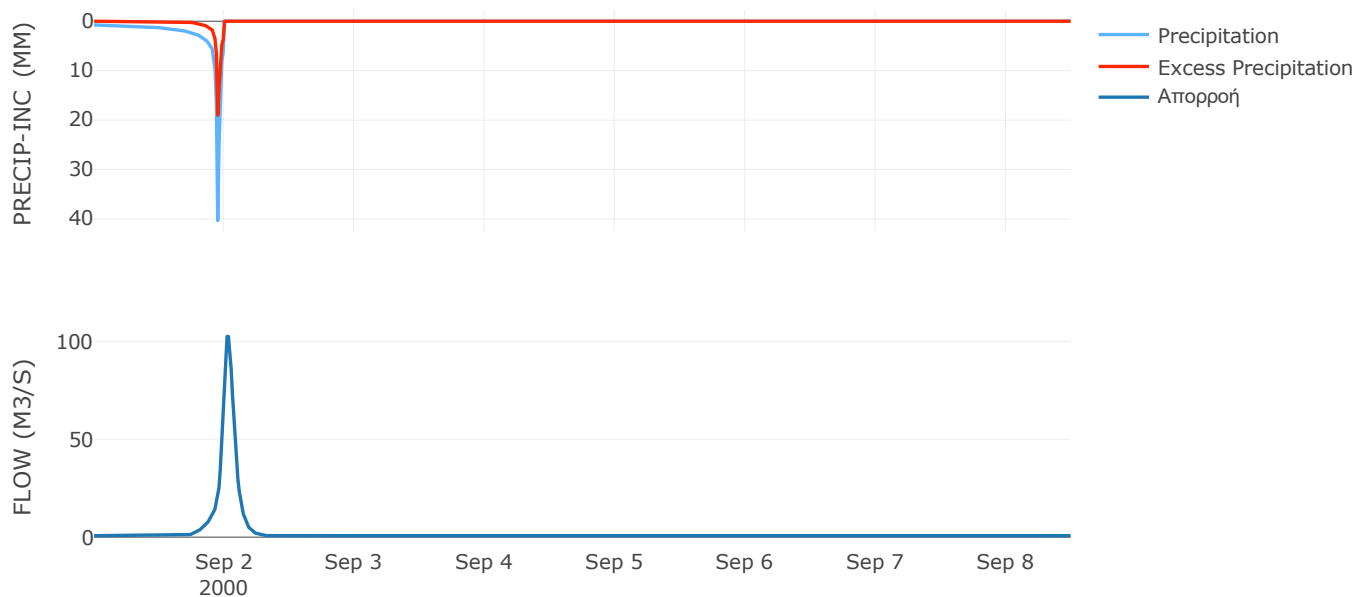
Μέθοδος
Μετασχηματισμού: SCS

Χρόνος Υστέρησης	95.02
------------------	-------

Αποτελέσματα:
EL0514FR4011

Παροχή αιχμής (M3/S)	102.47
Χρονική στιγμή αιχμής	02Sep2000, 00:45
Όγκος (MM)	106.21
Όγκος βροχόπτωσης (M3)	3.94E6
Όγκος απωλειών (M3)	2.85E6
Ενεργός Όγκος (M3)	1.09E6
Όγκος άμεσης απορροής (M3)	1.09E6
Όγκος βασικής απορροής (M3)	4.78E5

Βροχόπτωση και Απορροή



Υπολεκάνη: EL0514FR4012

Έκταση (KM2) : 8.26

Κατάντη : J8

Μέθοδος Απωλειών: SCS

Ποσοστό αδιαπέρατης επιφάνειας	0
Αριθμός Καμπύλης Απορροής-CN	57.46
Αρχικές Απώλειες	37.6

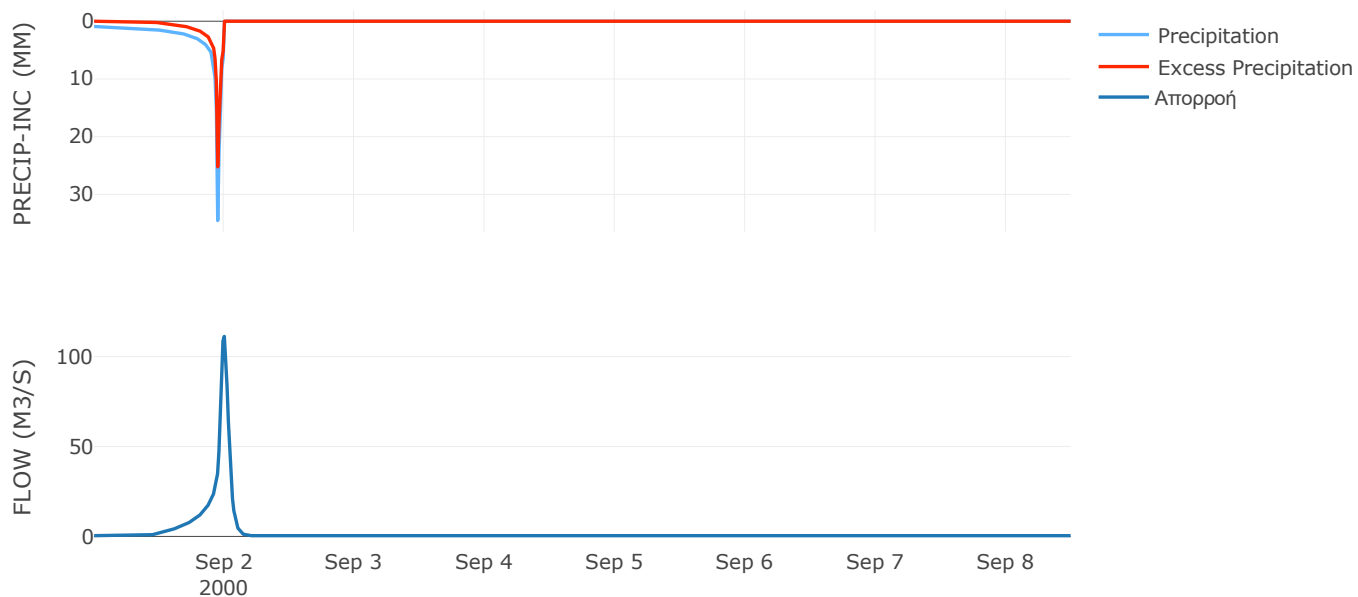
Μέθοδος
Μετασχηματισμού: SCS

Χρόνος Υστέρησης	54
------------------	----

Αποτελέσματα:
EL0514FR4012

Παροχή αιχμής (M3/S)	111.19
Χρονική στιγμή αιχμής	01Sep2000, 24:00
Όγκος (MM)	167.67
Όγκος βροχόπτωσης (M3)	2.3E6
Όγκος απωλειών (M3)	1.18E6
Ενεργός Όγκος (M3)	1.12E6
Όγκος άμεσης απορροής (M3)	1.12E6
Όγκος βασικής απορροής (M3)	2.68E5

Βροχόπτωση και Απορροή



Υπολεκάνη: EL0514FR4013

Έκταση (KM2) : 22.16

Κατάντη : J9

Μέθοδος Απωλειών: SCS

Ποσοστό αδιαπέρατης επιφάνειας	0
Αριθμός Καμπύλης Απορροής-CN	64.36
Αρχικές Απώλειες	28.13

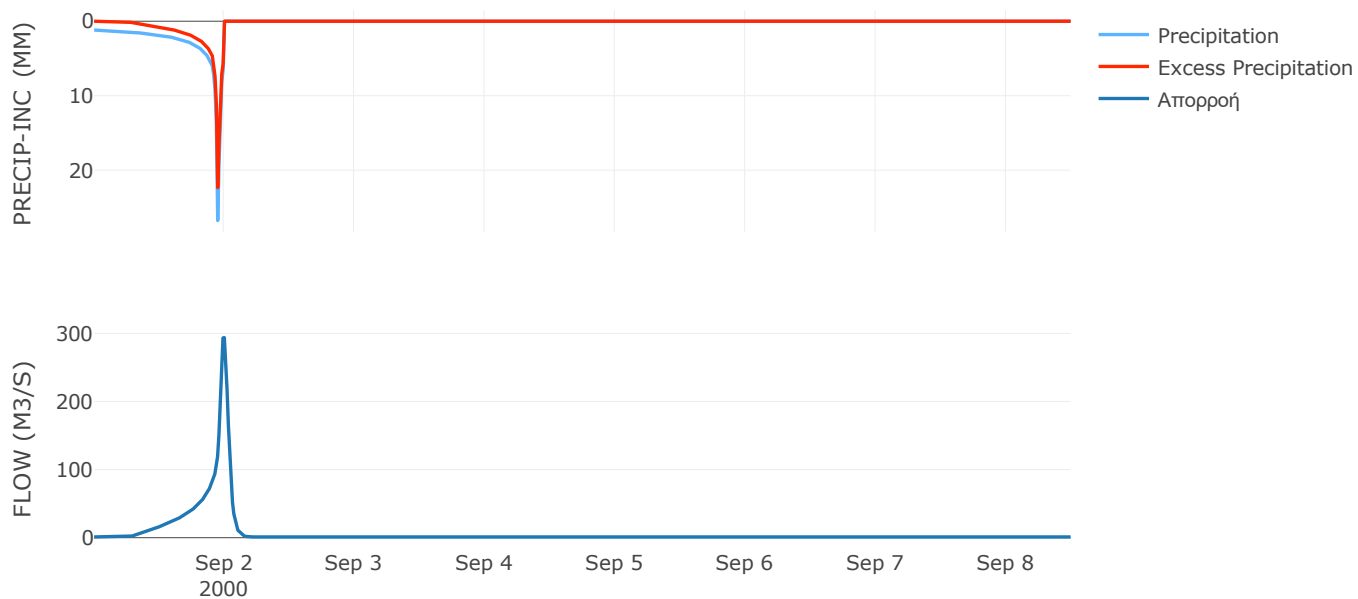
Μέθοδος
Μετασχηματισμού: SCS

Χρόνος Υστέρησης	51.97
------------------	-------

Αποτελέσματα:
EL0514FR4013

Παροχή αιχμής (M3/S)	293.78
Χρονική στιγμή αιχμής	01Sep2000, 24:00
Όγκος (MM)	204.27
Όγκος βροχόπτωσης (M3)	6.46E6
Όγκος απωλειών (M3)	2.66E6
Ενεργός Όγκος (M3)	3.81E6
Όγκος άμεσης απορροής (M3)	3.81E6
Όγκος βασικής απορροής (M3)	7.18E5

Βροχόπτωση και Απορροή



Υπολεκάνη: EL0514FR4014

Έκταση (KM2) : 1.47

Κατάντη : J3

Μέθοδος Απωλειών: SCS

Ποσοστό αδιαπέρατης επιφάνειας	0
Αριθμός Καμπύλης Απορροής-CN	59.67
Αρχικές Απώλειες	34.33

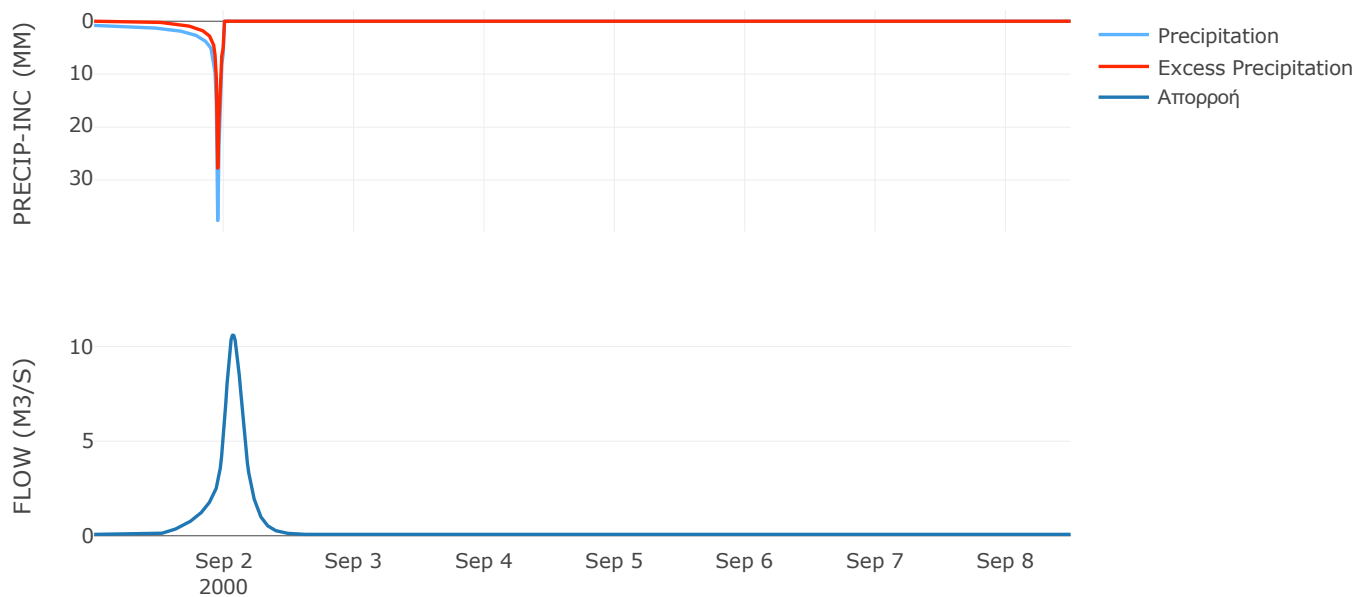
Μέθοδος
Μετασχηματισμού: SCS

Χρόνος Υστέρησης	165.84
------------------	--------

Αποτελέσματα:
EL0514FR4014

Παροχή αιχμής (M3/S)	10.61
Χρονική στιγμή αιχμής	02Sep2000, 01:30
Όγκος (MM)	166.04
Όγκος βροχόπτωσης (M3)	3.92E5
Όγκος απωλειών (M3)	1.96E5
Ενεργός Όγκος (M3)	1.97E5
Όγκος άμεσης απορροής (M3)	1.97E5
Όγκος βασικής απορροής (M3)	47660.4

Βροχόπτωση και Απορροή



Υπολεκάνη: EL0514FR4015

Έκταση (KM2) : 32.03

Κατάνη : J11

Μέθοδος Απωλειών: SCS

Ποσοστό αδιαπέρατης επιφάνειας	0
Αριθμός Καμπύλης Απορροής-CN	64.34
Αρχικές Απώλειες	28.16

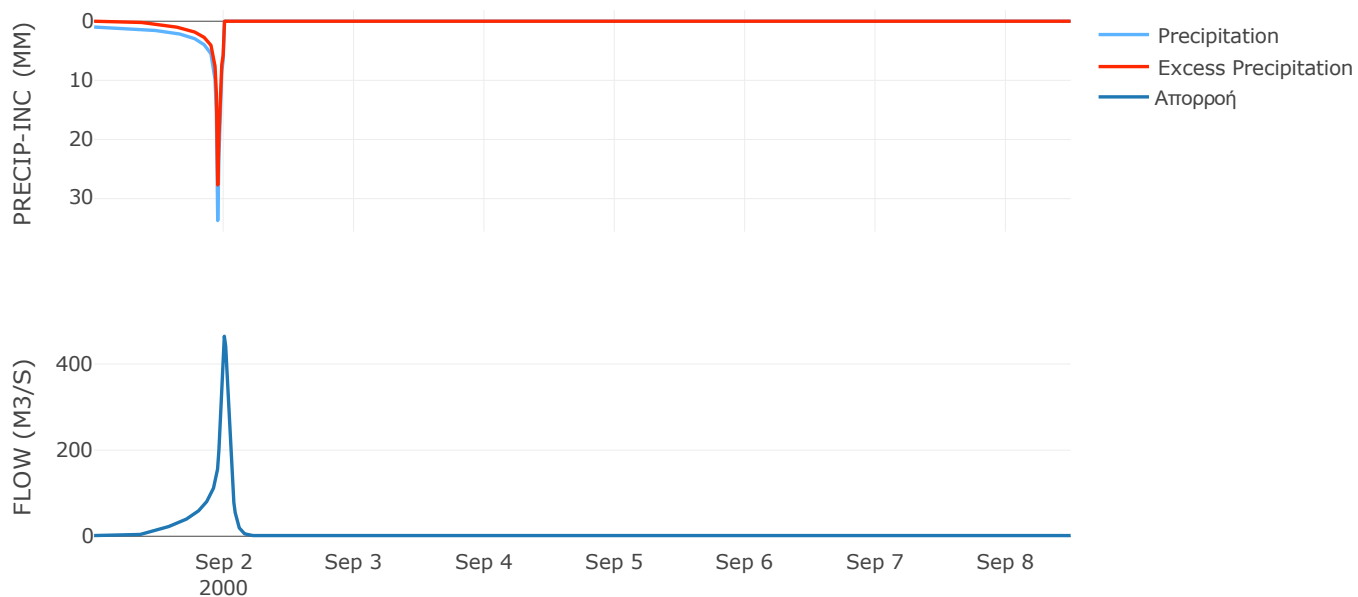
Μέθοδος
Μετασχηματισμού: SCS

Χρόνος Υστέρησης	59.48
------------------	-------

Αποτελέσματα:
EL0514FR4015

Παροχή αιχμής (M3/S)	464.57
Χρονική στιγμή αιχμής	01Sep2000, 24:00
Όγκος (MM)	200.17
Όγκος βροχόπτωσης (M3)	9.2E6
Όγκος απωλειών (M3)	3.82E6
Ενεργός Όγκος (M3)	5.37E6
Όγκος άμεσης απορροής (M3)	5.37E6
Όγκος βασικής απορροής (M3)	1.04E6

Βροχόπτωση και Απορροή



Υπολεκάνη: EL0514FR4016

Έκταση (KM2) : 25.77

Κατάντη : J12

Μέθοδος Απωλειών: SCS

Ποσοστό αδιαπέρατης επιφάνειας	0
Αριθμός Καμπύλης Απορροής-CN	62.99
Αρχικές Απώλειες	29.84

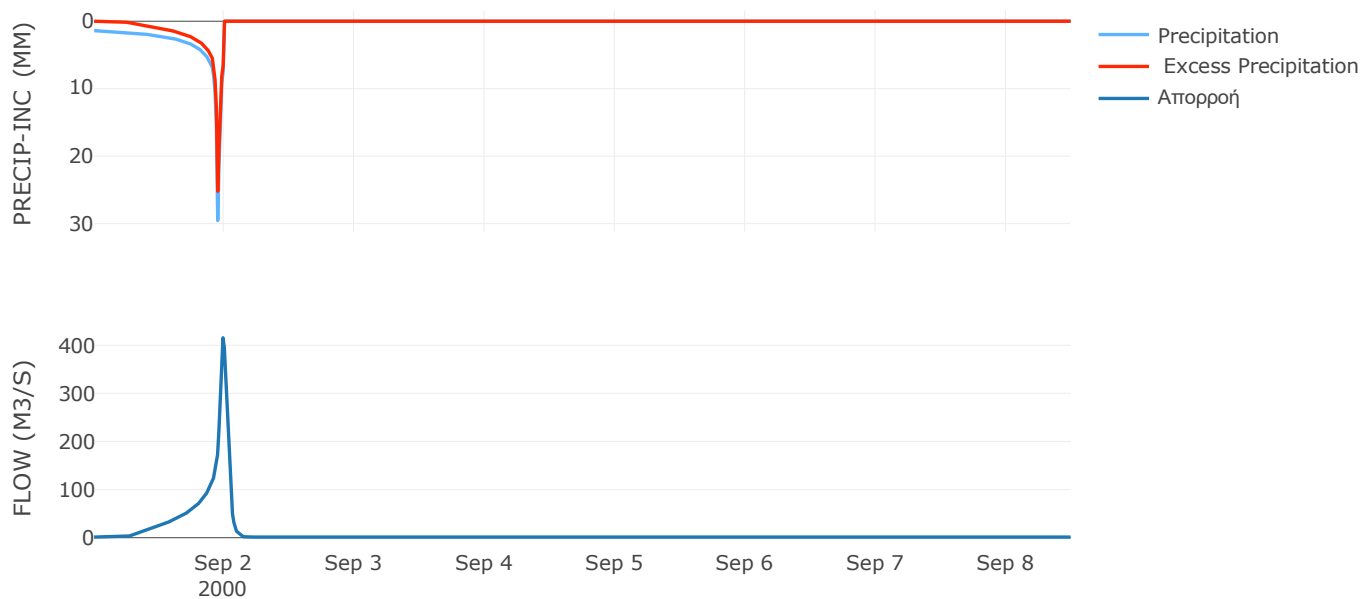
Μέθοδος
Μετασχηματισμού: SCS

Χρόνος Υστέρησης	45.71
------------------	-------

Αποτελέσματα:
EL0514FR4016

Παροχή αιχμής (M3/S)	415.56
Χρονική στιγμή αιχμής	01Sep2000, 23:45
Όγκος (MM)	237.41
Όγκος βροχόπτωσης (M3)	8.64E6
Όγκος απωλειών (M3)	3.35E6
Ενεργός Όγκος (M3)	5.28E6
Όγκος άμεσης απορροής (M3)	5.28E6
Όγκος βασικής απορροής (M3)	8.35E5

Βροχόπτωση και Απορροή



Υπολεκάνη: EL0514FR4017

Έκταση (KM2) : 10.84

Κατάντη : J12

Μέθοδος Απωλειών: SCS

Ποσοστό αδιαπέρατης επιφάνειας	0
Αριθμός Καμπύλης Απορροής-CN	63.33
Αρχικές Απώλειες	29.42

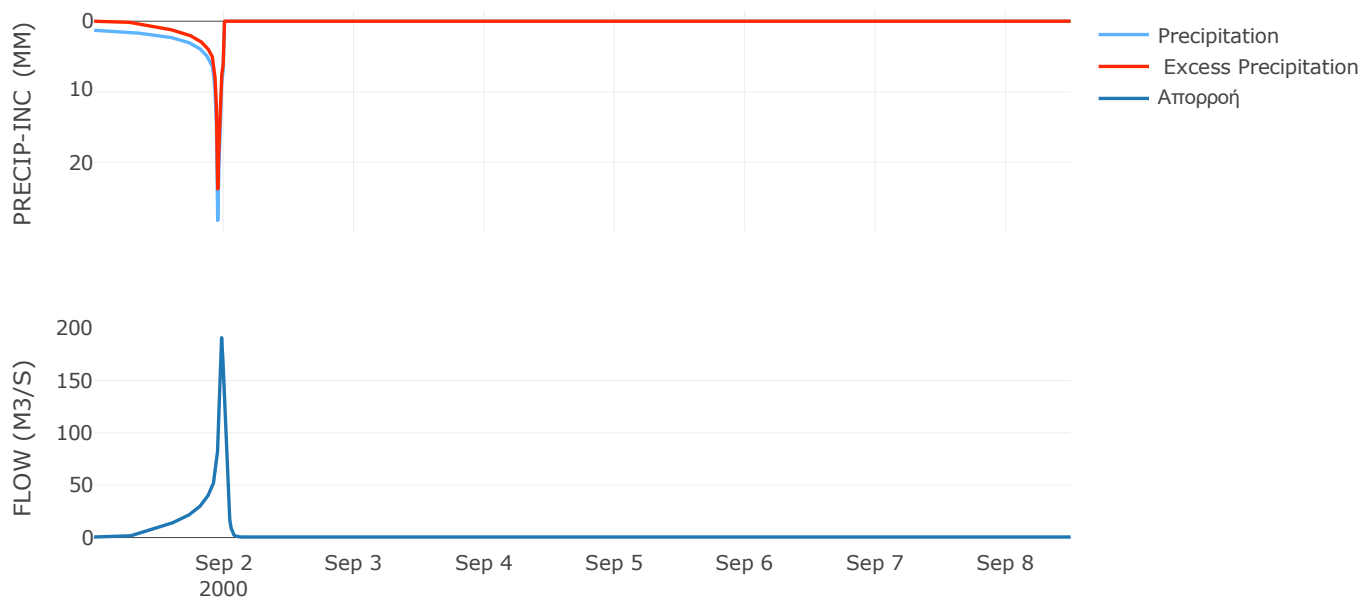
Μέθοδος
Μετασχηματισμού: SCS

Χρόνος Υστέρησης	29.13
------------------	-------

Αποτελέσματα:
EL0514FR4017

Παροχή αιχμής (M3/S)	190.76
Χρονική στιγμή αιχμής	01Sep2000, 23:30
Όγκος (MM)	219.3
Όγκος βροχόπτωσης (M3)	3.39E6
Όγκος απωλειών (M3)	1.37E6
Ενεργός Όγκος (M3)	2.03E6
Όγκος άμεσης απορροής (M3)	2.03E6
Όγκος βασικής απορροής (M3)	3.51E5

Βροχόπτωση και Απορροή



9.2 Δεδομένα και υδρογραφήματα σχεδιασμού Κλάδων υδρογραφικού δικτύου

Κλάδος: R21

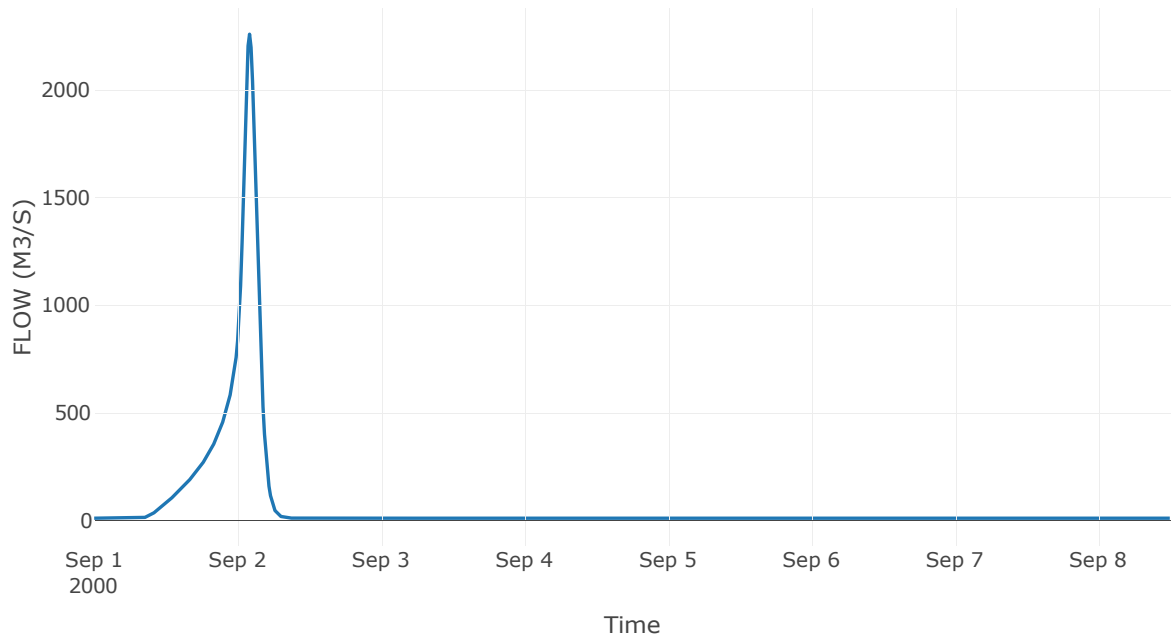
Κατάντη : J1

Μέθοδος Διόδευσης	Muskingum
Αρχική Μεταβλητή	Combined Inflow
Χρόνος Ροής K	0.57
Συντελεστής βάρους x	0.2
Πλήθος Υποκλάδων	3

Αποτελέσματα: R21

Παροχή Αιχμής(M3/S)	2256.79
Χρονική στιγμή αιχμής	02Sep2000, 02:00
Όγκος(MM)	200.35
Παροχή Αιχμής Εισόδου (M3/S)	2313.6
Όγκος Εισροής(M3)	4.46E7

Απορροή



Κλάδος: R32

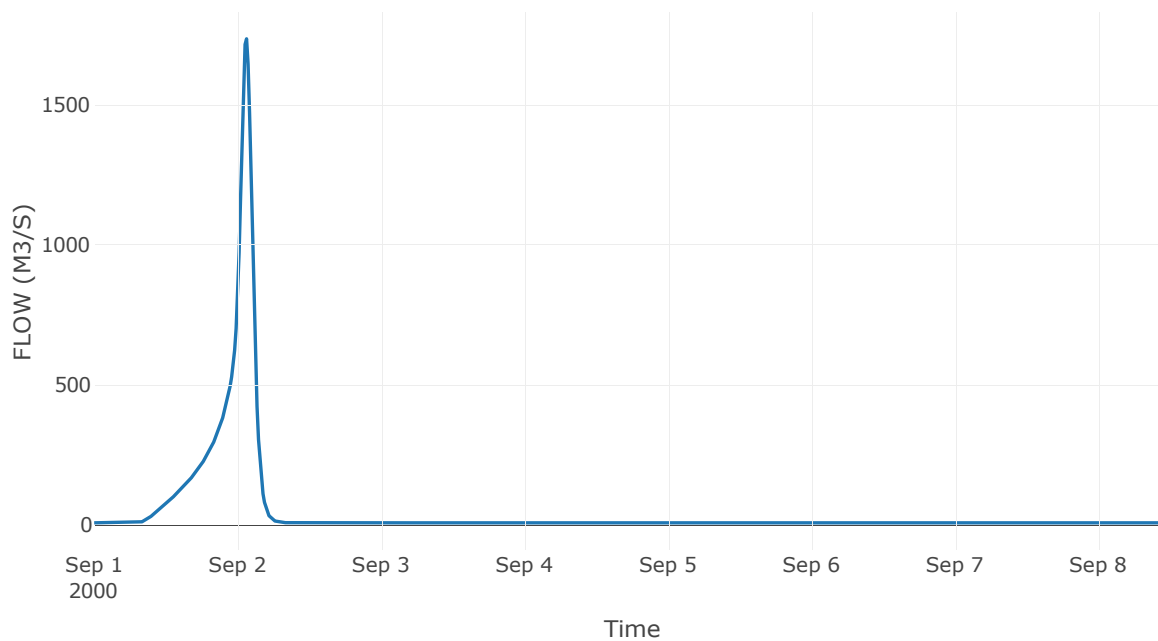
Κατάντη : J2

Μέθοδος Διόδευσης	Χρόνος
Αρχική Μεταβλητή	Combined Inflow
Χρόνος Υστέρησης	3.84

Αποτελέσματα: R32

Παροχή Αιχμής(M3/S)	1736.19
Χρονική στιγμή αιχμής	02Sep2000, 01:30
Όγκος(MM)	213.38
Παροχή Αιχμής Εισόδου (M3/S)	1738.14
Όγκος Εισροής(M3)	3.17E7

Απορροή



Κλάδος: R43

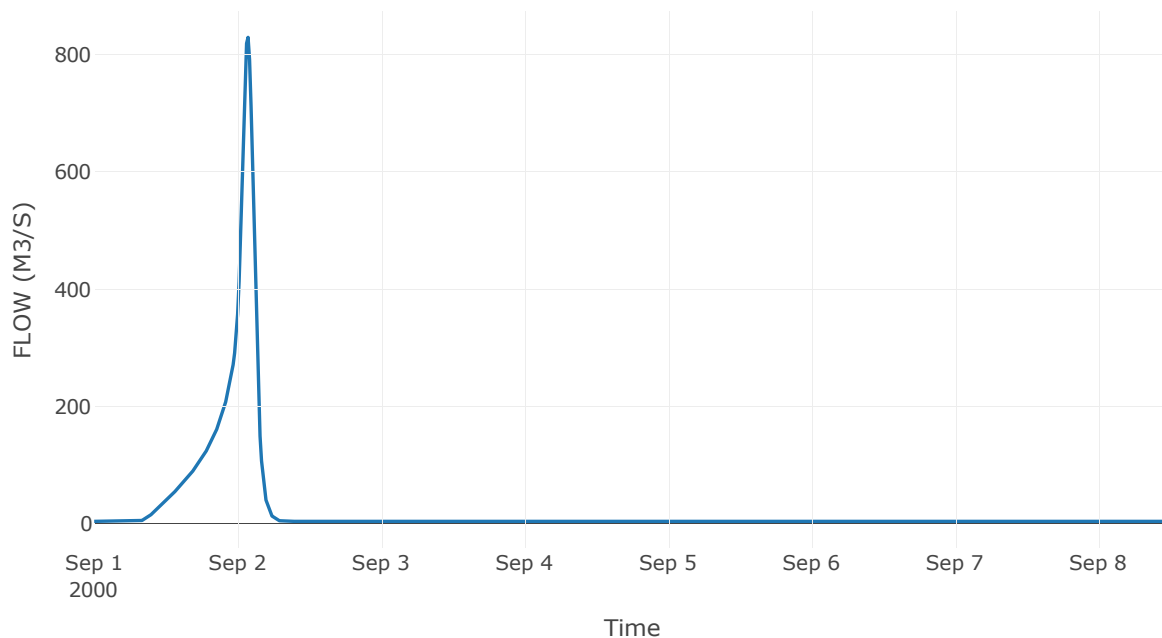
Κατάντη : J3

Μέθοδος Διόδευσης	Muskingum
Αρχική Μεταβλητή	Combined Inflow
Χρόνος Ροής K	1.04
Συντελεστής βάρους x	0.2
Πλήθος Υποκλάδων	5

Αποτελέσματα: R43

Παροχή Αιχμής(M3/S)	829.74
Χρονική στιγμή αιχμής	02Sep2000, 01:45
Όγκος(MM)	213.22
Παροχή Αιχμής Εισόδου (M3/S)	884.3
Όγκος Εισροής(M3)	1.59E7

Απορροή



Κλάδος: R54

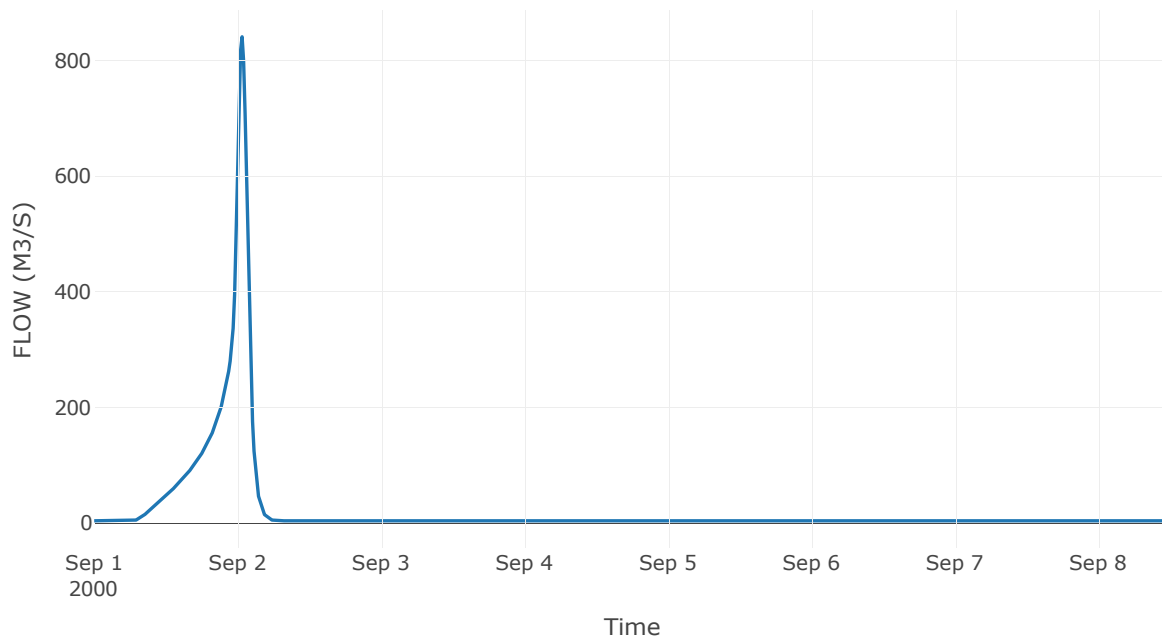
Κατάντη : J4

Μέθοδος Διόδευσης	Χρόνος
Αρχική Μεταβλητή	Combined Inflow
Χρόνος Υστέρησης	28.11

Αποτελέσματα: R54

Παροχή Αιχμής(M3/S)	840.69
Χρονική στιγμή αιχμής	02Sep2000, 00:45
Όγκος(MM)	215.57
Παροχή Αιχμής Εισόδου (M3/S)	845.26
Όγκος Εισροής(M3)	1.48E7

Απορροή



Κλάδος: R65

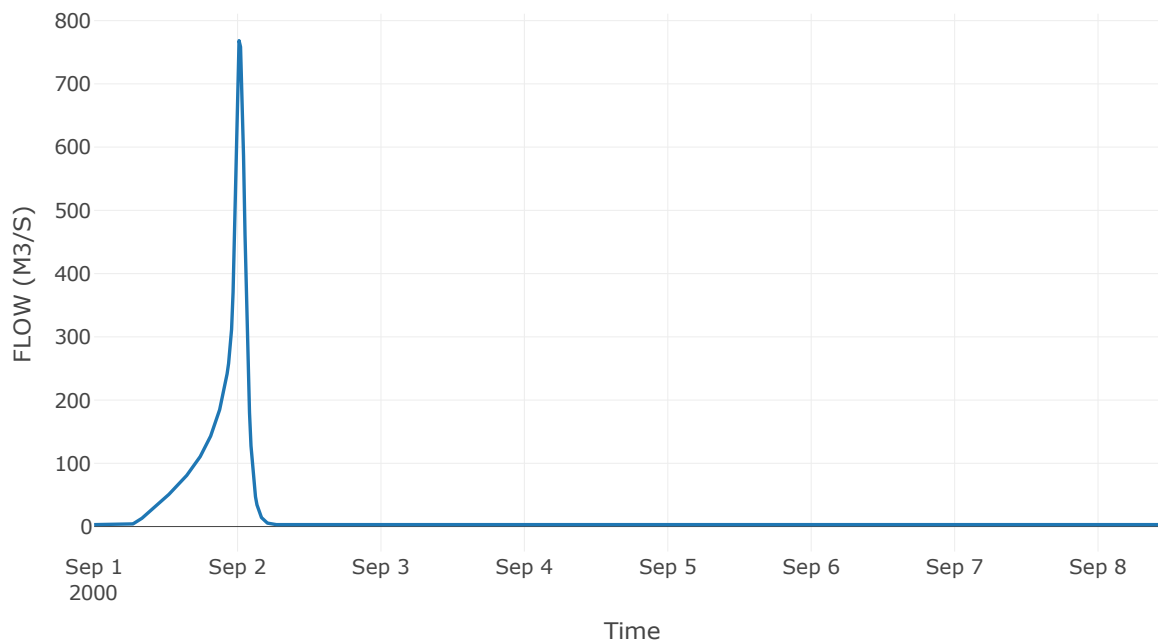
Κατάντη : J5

Μέθοδος Διόδευσης	Χρόνος
Αρχική Μεταβλητή	Combined Inflow
Χρόνος Υστέρησης	23.64

Αποτελέσματα: R65

Παροχή Αιχμής(M3/S)	768.43
Χρονική στιγμή αιχμής	02Sep2000, 00:15
Όγκος(MM)	220.29
Παροχή Αιχμής Εισόδου (M3/S)	778.18
Όγκος Εισροής(M3)	1.32E7

Απορροή



Κλάδος: R72

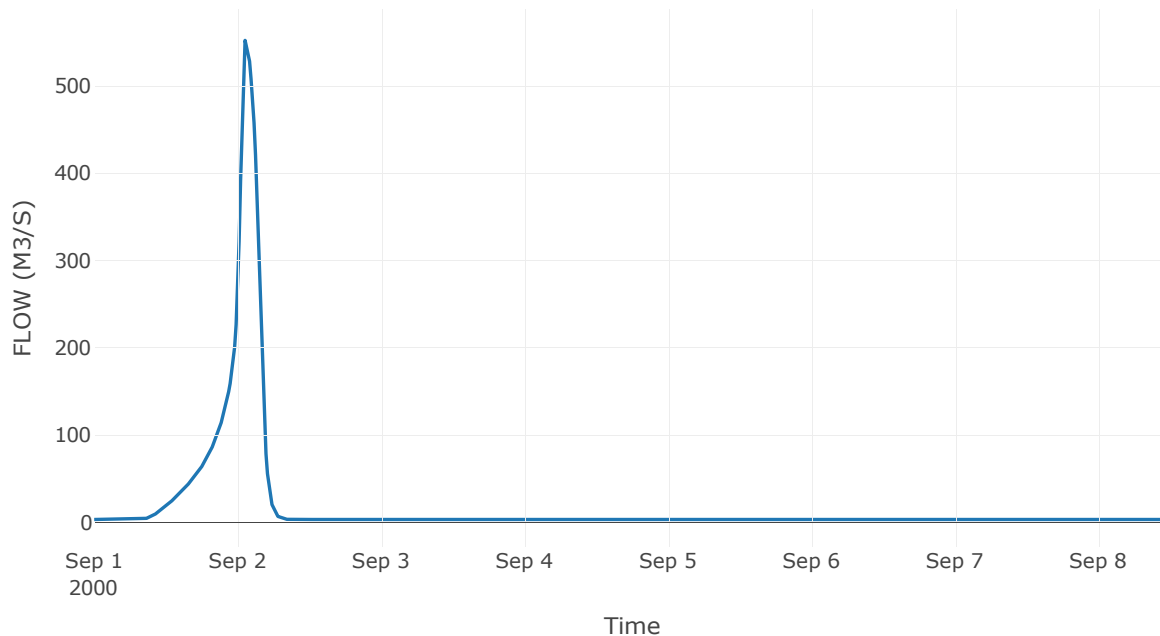
Κατάντη : J2

Μέθοδος Διόδευσης	Muskingum
Αρχική Μεταβλητή	Combined Inflow
Χρόνος Ροής K	0.92
Συντελεστής βάρους x	0.2
Πλήθος Υποκλάδων	5

Αποτελέσματα: R72

Παροχή Αιχμής(M3/S)	557.53
Χρονική στιγμή αιχμής	02Sep2000, 01:30
Όγκος(MM)	175.56
Παροχή Αιχμής Εισόδου (M3/S)	574.59
Όγκος Εισροής(M3)	1.24E7

Απορροή



Κλάδος: R87

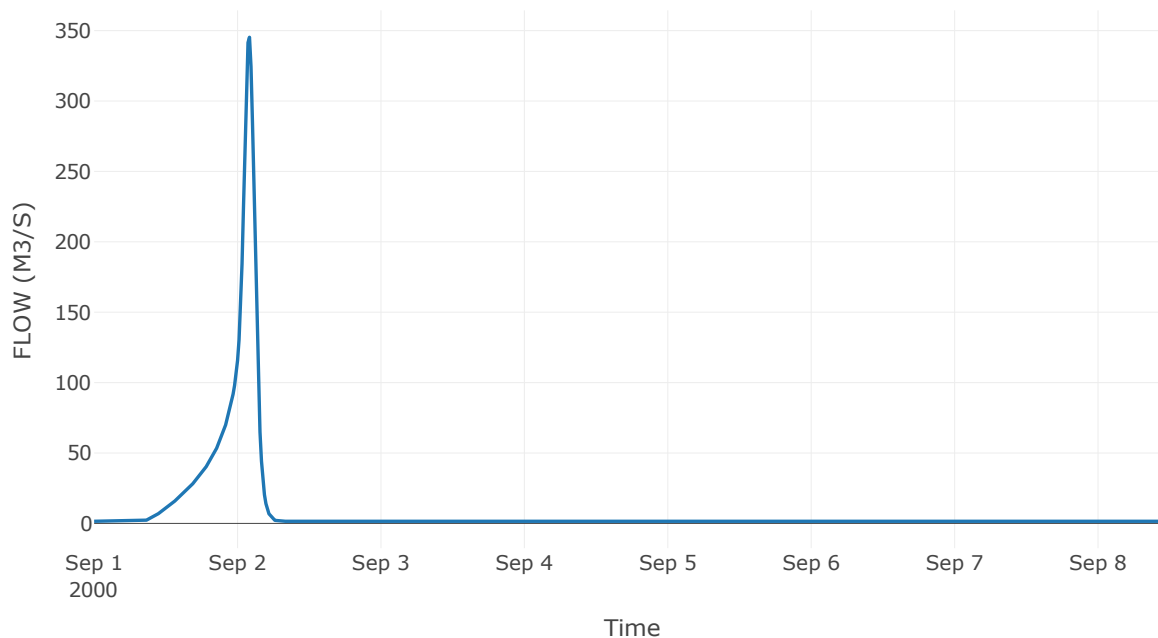
Κατάντη : J7

Μέθοδος Διόδευσης	Muskingum
Αρχική Μεταβλητή	Combined Inflow
Χρόνος Ροής K	1.66
Συντελεστής βάρους x	0.2
Πλήθος Υποκλάδων	9

Αποτελέσματα: R87

Παροχή Αιχμής(M3/S)	345.28
Χρονική στιγμή αιχμής	02Sep2000, 02:00
Όγκος(MM)	194.34
Παροχή Αιχμής Εισόδου (M3/S)	395.08
Όγκος Εισροής(M3)	5.91E6

Απορροή



Κλάδος: R98

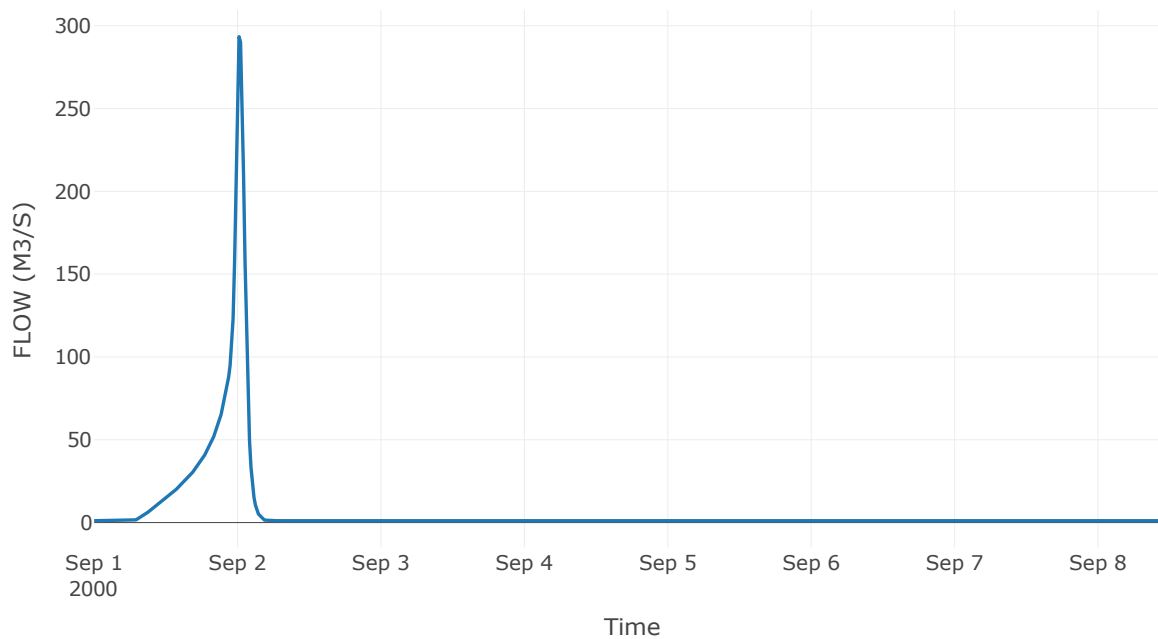
Κατάντη : J8

Μέθοδος Διόδευσης	Χρόνος
Αρχική Μεταβλητή	Combined Inflow
Χρόνος Υστέρησης	28.97

Αποτελέσματα: R98

Παροχή Αιχμής(M3/S)	293.38
Χρονική στιγμή αιχμής	02Sep2000, 00:15
Όγκος(MM)	204.27
Παροχή Αιχμής Εισόδου (M3/S)	293.78
Όγκος Εισροής(M3)	4.53E6

Απορροή



Κλάδος: R107

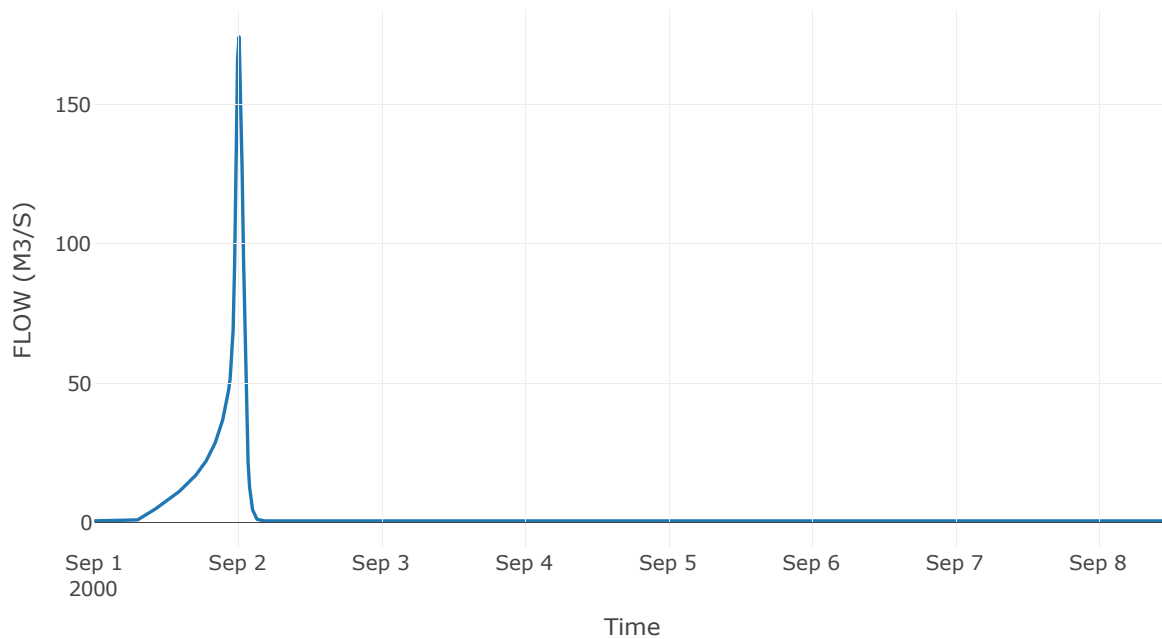
Κατάντη : J7

Μέθοδος Διόδευσης	Χρόνος
Αρχική Μεταβλητή	Combined Inflow
Χρόνος Υστέρησης	34.73

Αποτελέσματα: R107

Παροχή Αιχμής(M3/S)	174.38
Χρονική στιγμή αιχμής	02Sep2000, 00:15
Όγκος(MM)	193.04
Παροχή Αιχμής Εισόδου (M3/S)	174.94
Όγκος Εισροής(M3)	2.36E6

Απορροή



Κλάδος: R113

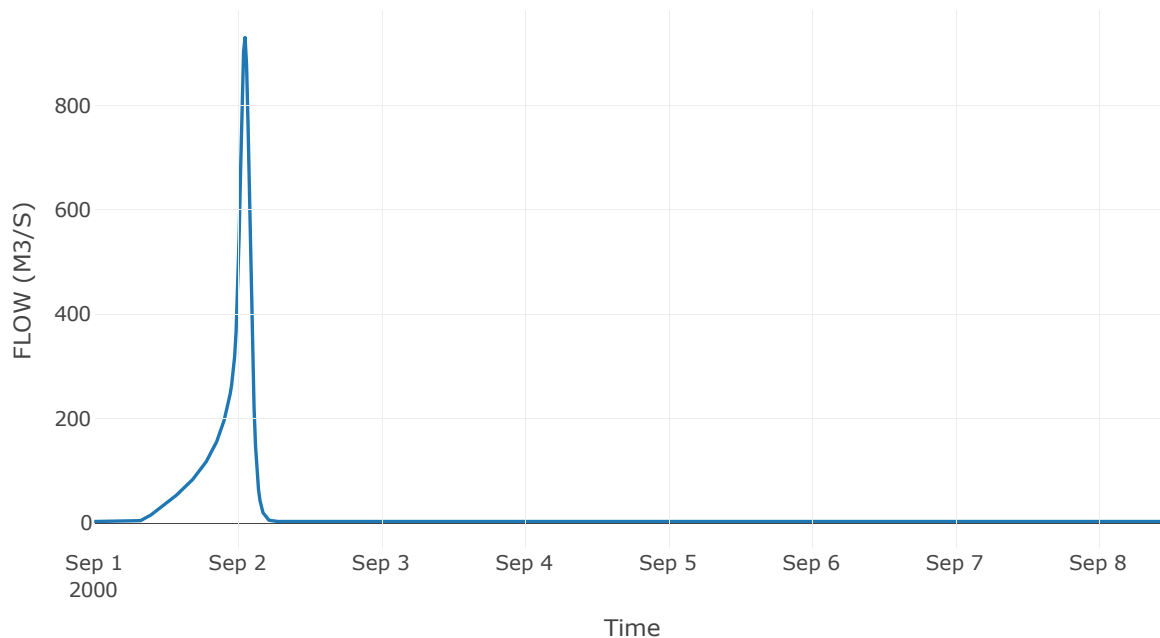
Κατάντη : J3

Μέθοδος Διόδευσης	Muskingum
Αρχική Μεταβλητή	Combined Inflow
Χρόνος Ροής K	0.93
Συντελεστής βάρους x	0.2
Πλήθος Υποκλάδων	5

Αποτελέσματα: R113

Παροχή Αιχμής(M3/S)	930.03
Χρονική στιγμή αιχμής	02Sep2000, 01:15
Όγκος(MM)	217.17
Παροχή Αιχμής Εισόδου (M3/S)	1015.68
Όγκος Εισροής(M3)	1.49E7

Απορροή



Κλάδος: R1211

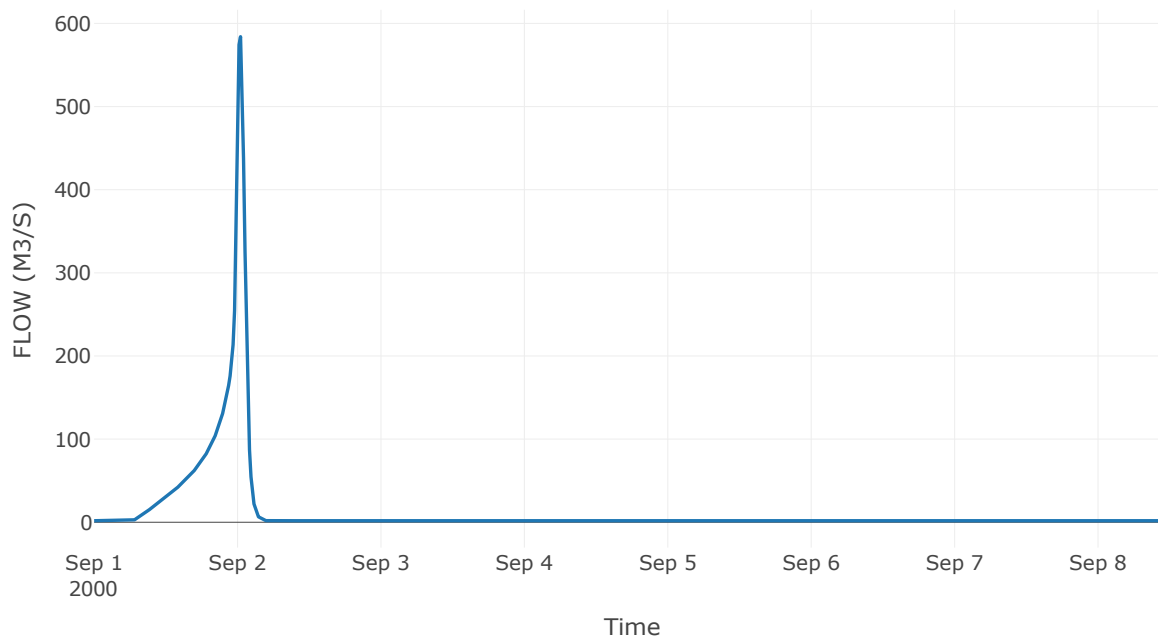
Κατάντη : J11

Μέθοδος Διόδευσης	Χρόνος
Αρχική Μεταβλητή	Combined Inflow
Χρόνος Υστέρησης	45.61

Αποτελέσματα: R1211

Παροχή Αιχμής(M3/S)	584.03
Χρονική στιγμή αιχμής	02Sep2000, 00:30
Όγκος(MM)	232.05
Παροχή Αιχμής Εισόδου (M3/S)	584.03
Όγκος Εισροής(M3)	8.49E6

Απορροή



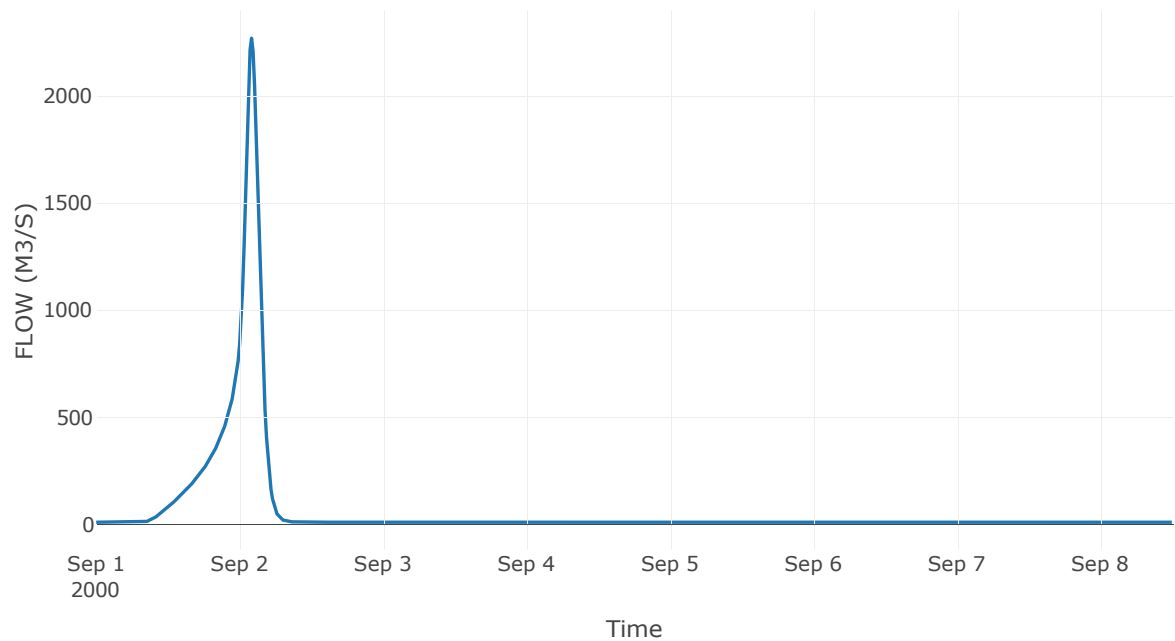
9.3 Δεδομένα και υδρογραφήματα σχεδιασμού Κόμβων υδρογραφικού δικτύου

Κόμβος: J1

Αποτέλεσμα
τα: J1

Παροχή αιχμής (M3/S)	2270.58
Χρονική στιγμή αιχμής	02Sep2000, 02:00
Όγκος (MM)	200.22

Απορροή

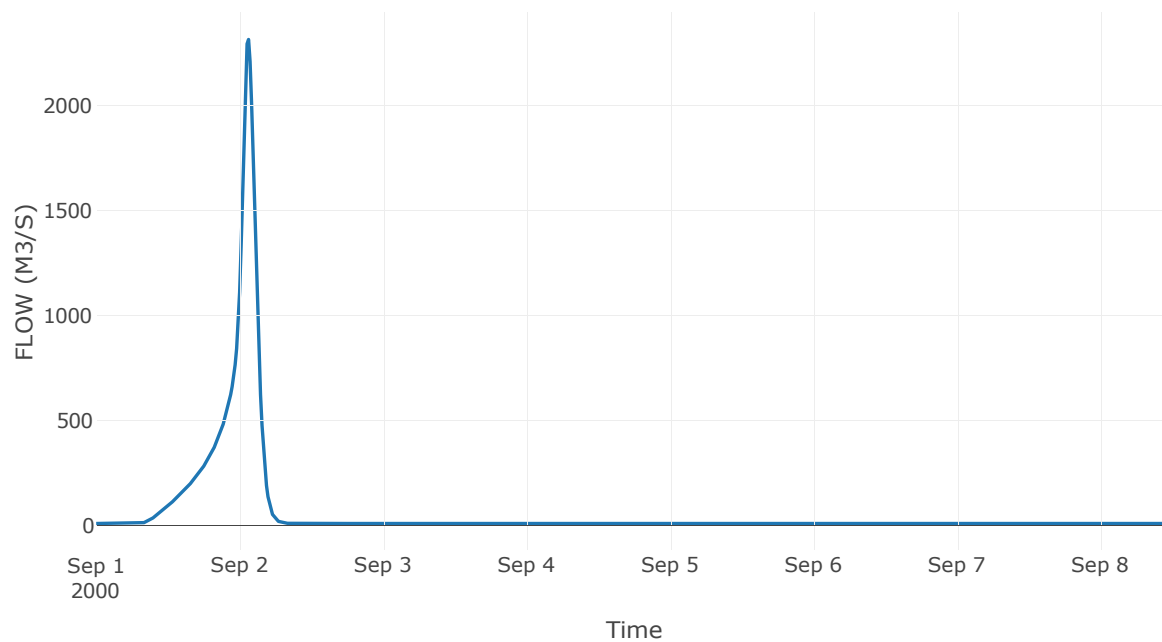


Κόμβος: J2

Αποτελέσμα
α: J2

Παροχή αιχμής (M3/S)	2313.6
Χρονική στιγμή αιχμής	02Sep2000, 01:30
Όγκος (MM)	200.35

Απορροή

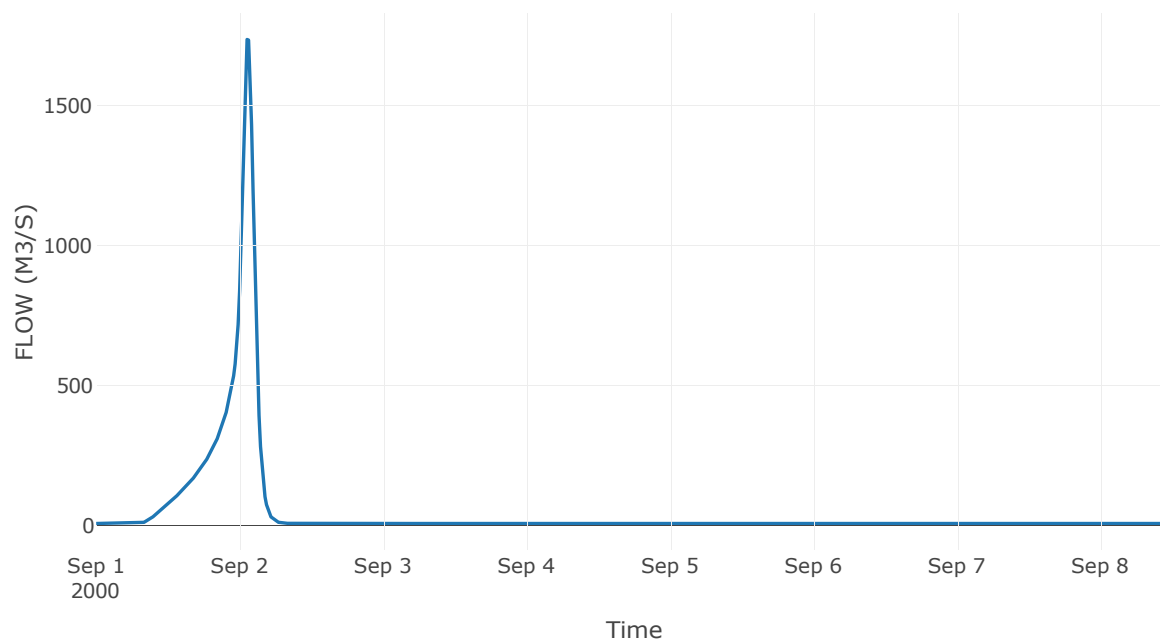


Κόμβος: J3

Αποτελέσματ
α: J3

Παροχή αιχμής (M3/S)	1738.14
Χρονική στιγμή αιχμής	02Sep2000, 01:15
Όγκος (MM)	213.38

Απορροή

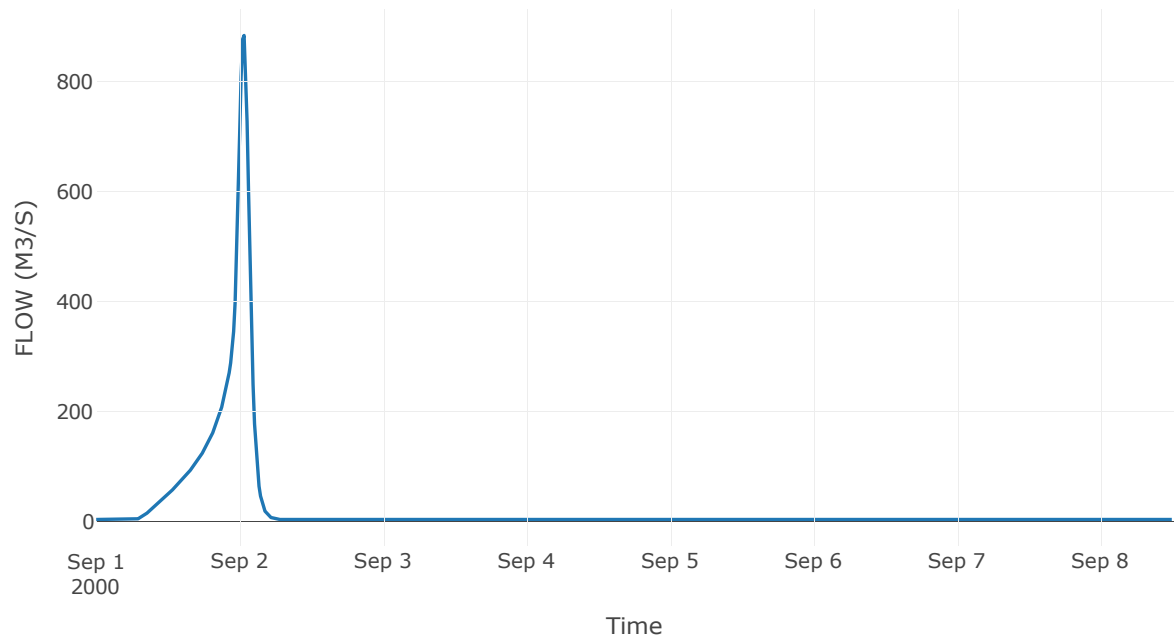


Κόμβος: J4

Αποτελέσματ
α: J4

Παροχή αιχμής (M3/S)	884.3
Χρονική στιγμή αιχμής	02Sep2000, 00:45
Όγκος (MM)	213.22

Απορροή

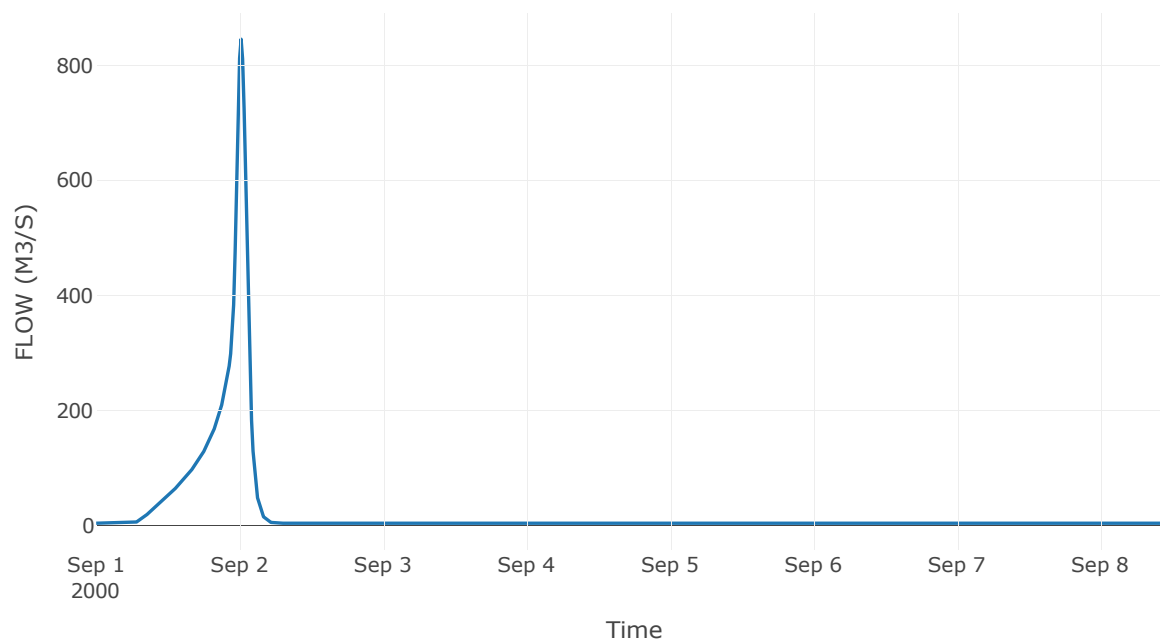


Κόμβος: J5

Αποτέλεσμα
τα: J5

Παροχή αιχμής (M3/S)	845.26
Χρονική στιγμή αιχμής	02Sep2000, 00:15
Όγκος (MM)	215.57

Απορροή

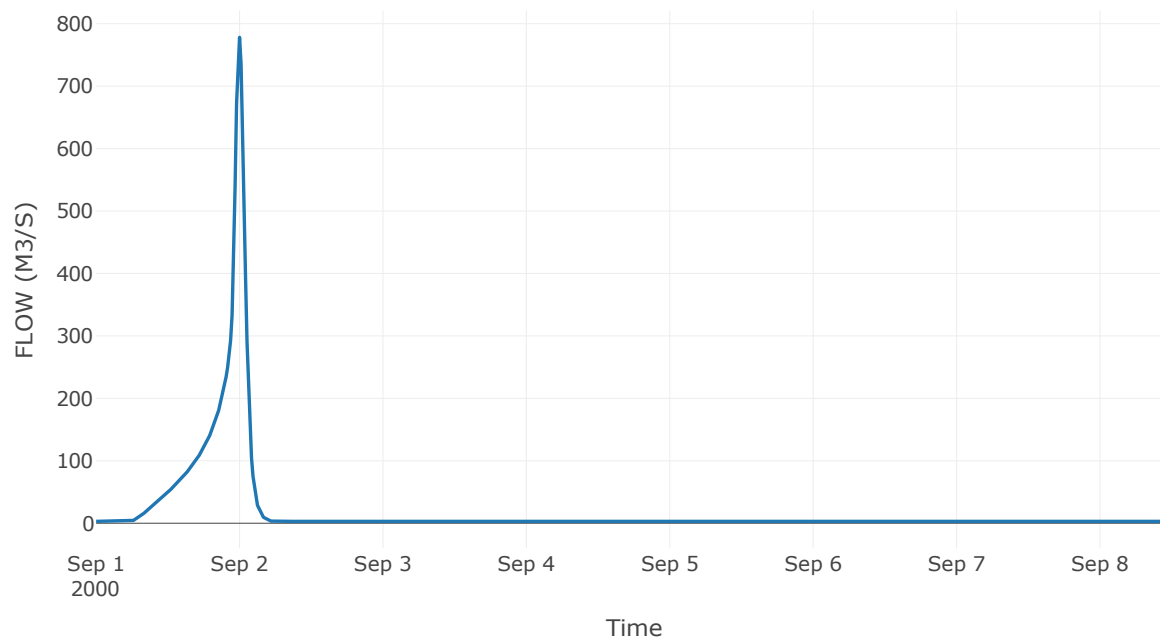


Κόμβος: J6

Αποτελέσματ
α: J6

Παροχή αιχμής (M3/S)	778.18
Χρονική στιγμή αιχμής	01Sep2000, 24:00
Όγκος (MM)	220.29

Απορροή

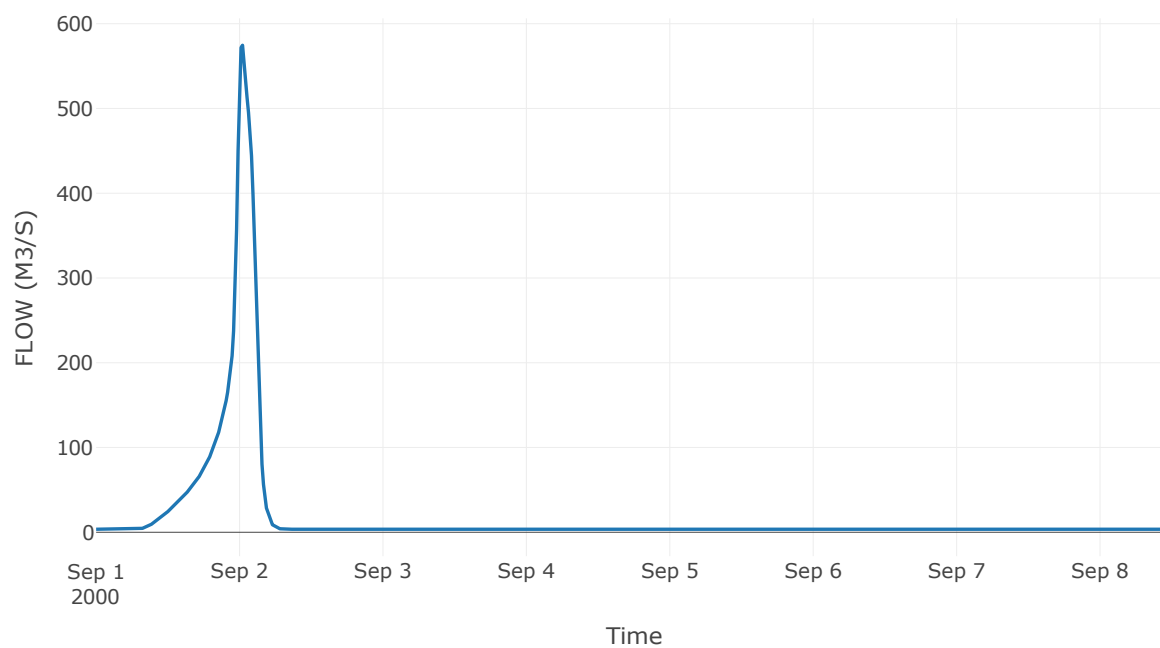


Κόμβος: J7

Αποτέλεσμα
τα: J7

Παροχή αιχμής (M3/S)	574.59
Χρονική στιγμή αιχμής	02Sep2000, 00:30
Όγκος (MM)	175.56

Απορροή

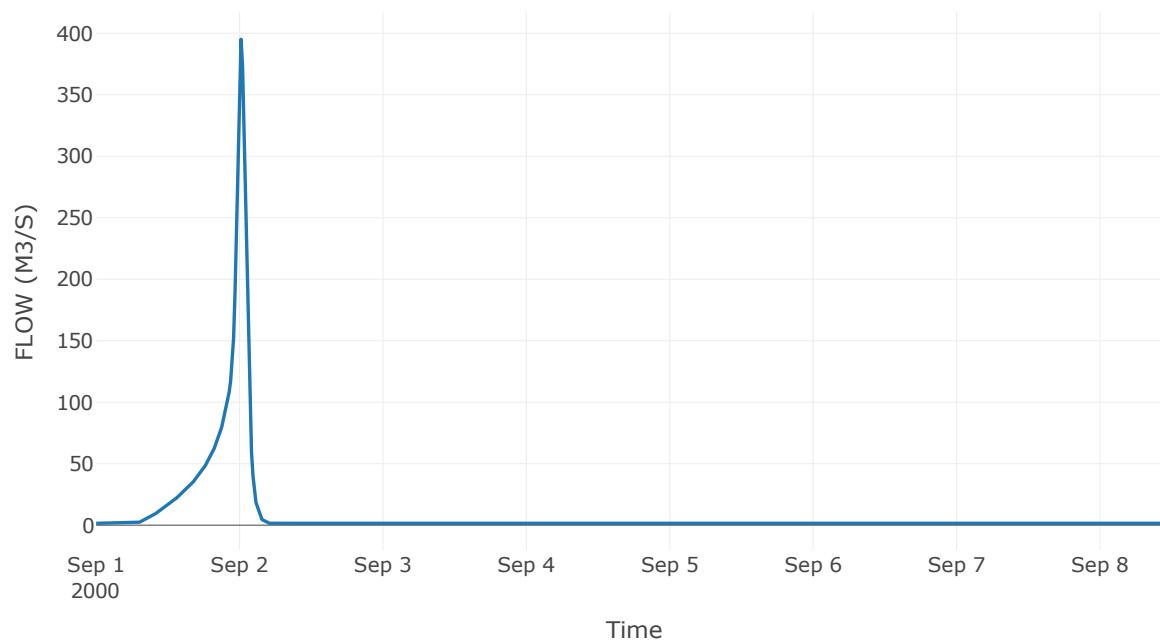


Κόμβος: J8

Αποτελέσμα
α: J8

Παροχή αιχμής (M3/S)	395.08
Χρονική στιγμή αιχμής	02Sep2000, 00:15
Όγκος (MM)	194.34

Απορροή

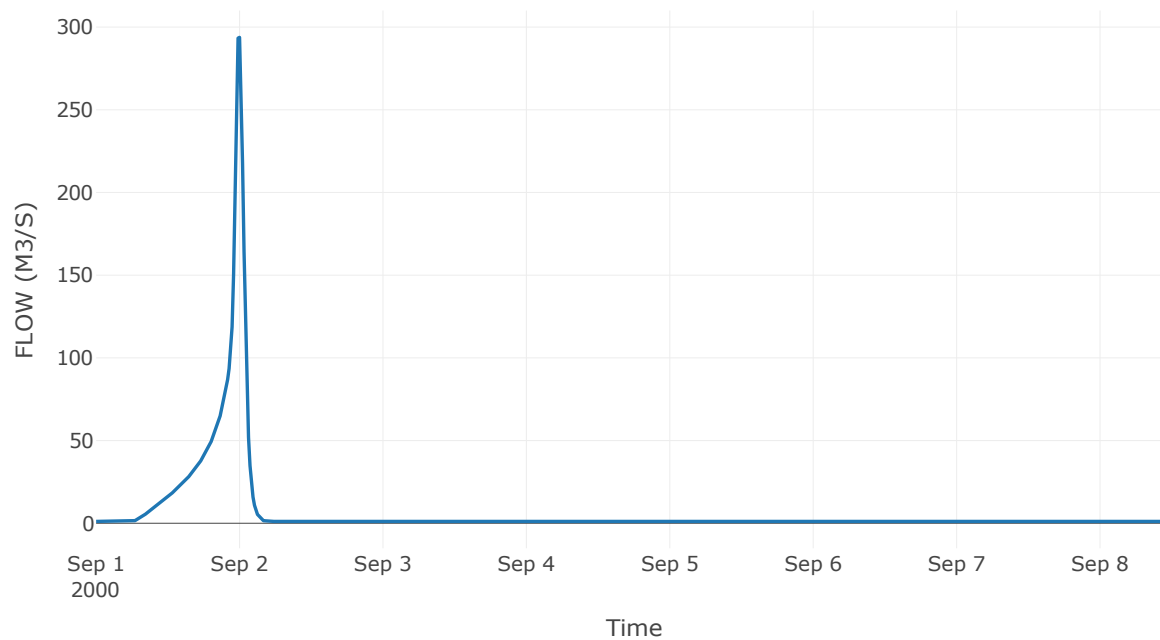


Κόμβος: J9

Αποτελέσμα
α: J9

Παροχή αιχμής (M3/S)	293.78
Χρονική στιγμή αιχμής	01Sep2000, 24:00
Όγκος (MM)	204.27

Απορροή

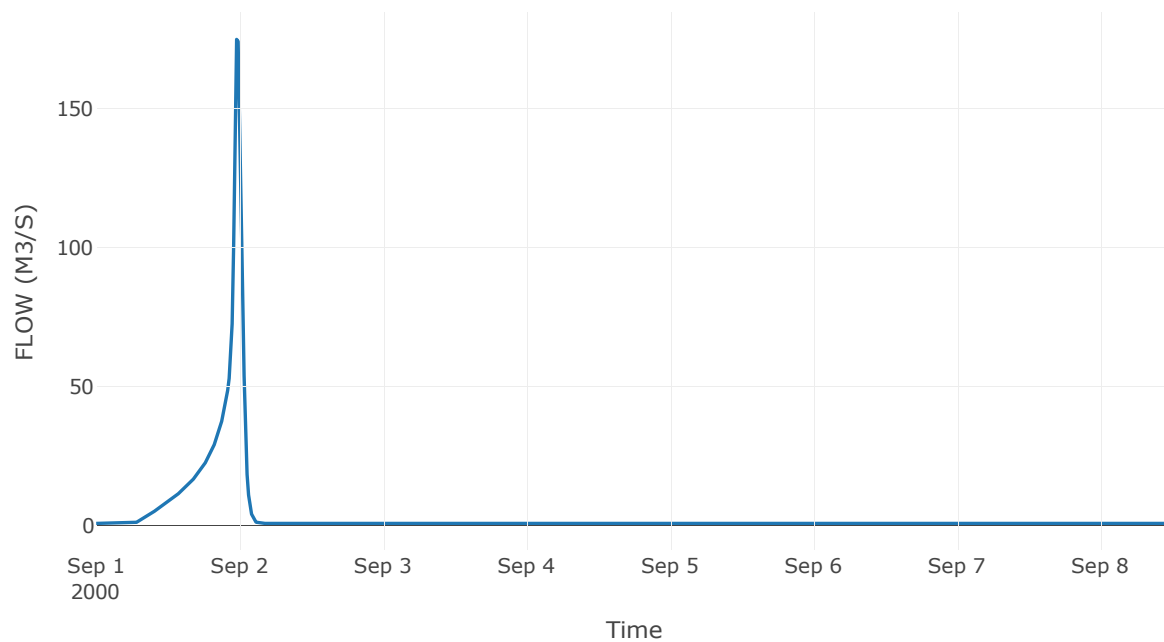


Κόμβος: J10

Αποτελέσματ
α: J10

Παροχή αιχμής (M3/S)	174.94
Χρονική στιγμή αιχμής	01Sep2000, 23:30
Όγκος (MM)	193.04

Απορροή

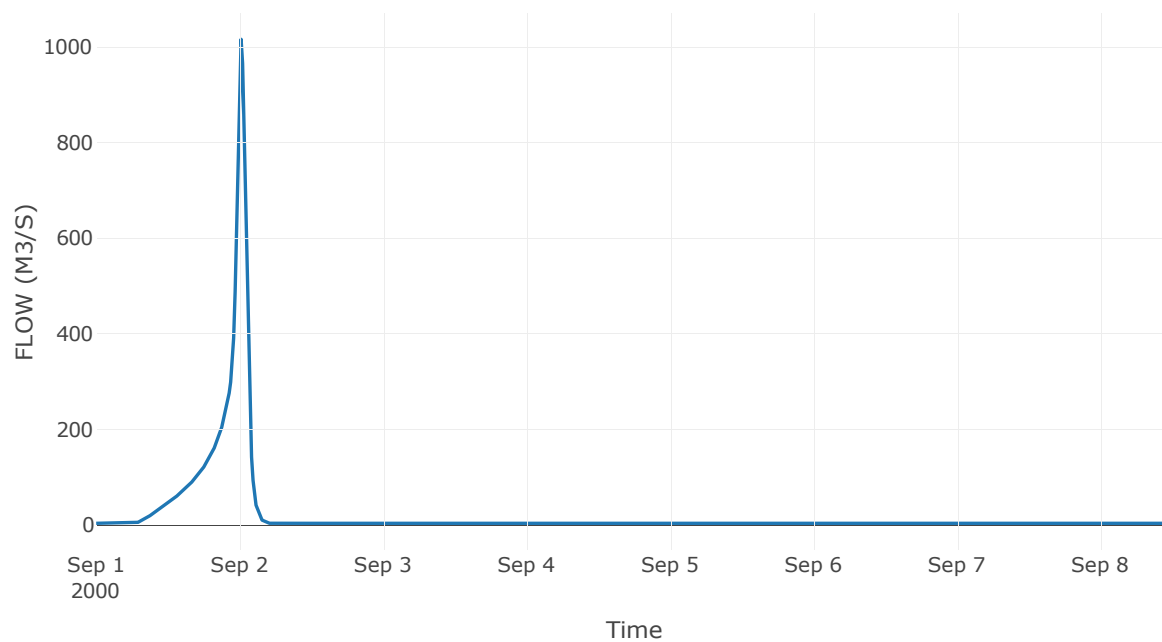


Κόμβος: J11

Αποτελέσματ
α: J11

Παροχή αιχμής (M3/S)	1015.68
Χρονική στιγμή αιχμής	02Sep2000, 00:15
Όγκος (MM)	217.17

Απορροή

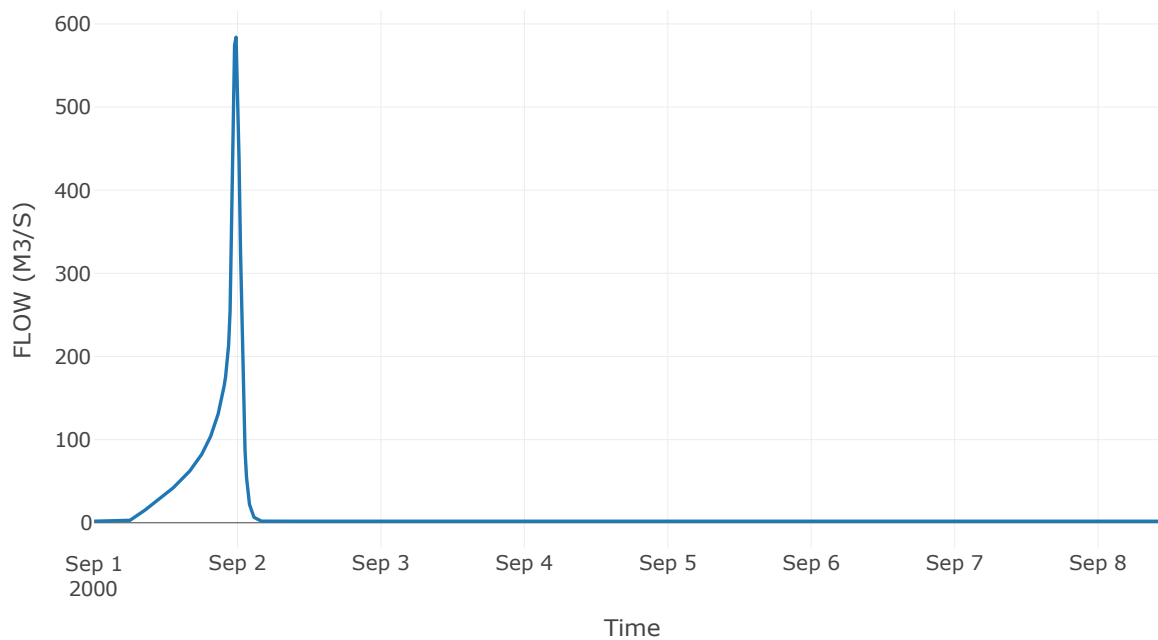


Κόμβος: J12

Αποτελέσματ
α: J12

Παροχή αιχμής (M3/S)	584.03
Χρονική στιγμή αιχμής	01Sep2000, 23:45
Όγκος (MM)	232.05

Απορροή



10 Δεδομένα εισόδου και αποτελέσματα υδρολογικού σεναρίου $T=1000U$

10.1 Αποτελέσματα, υετογραφήματα και υδρογραφήματα σχεδιασμού υπολεκανών

Υπολεκάνη: EL0514FR4001

Έκταση (KM2) : 1.95

Κατάνη : J1

Μέθοδος Απωλειών: SCS

Ποσοστό αδιαπέρατης επιφάνειας	0
Αριθμός Καμπύλης Απορροής-CN	91.79
Αρχικές Απώλειες	4.54

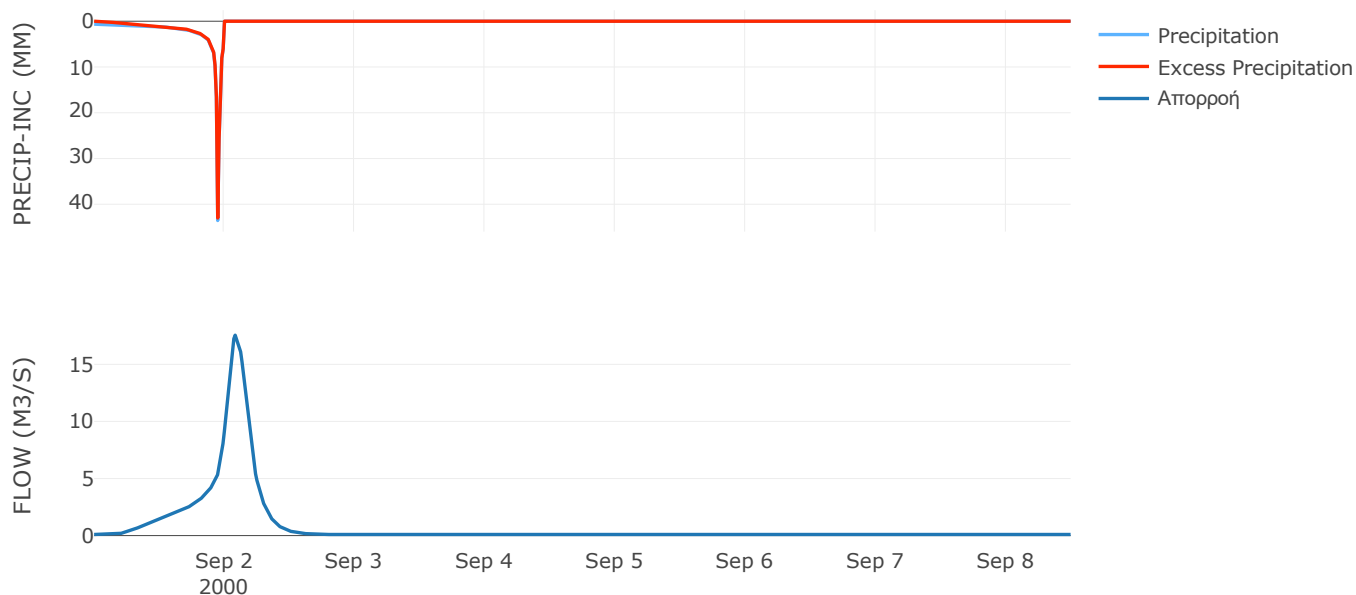
Μέθοδος
Μετασχηματισμού: SCS

Χρόνος Υστέρησης	207.57
------------------	--------

Αποτελέσματα:
EL0514FR4001

Παροχή αιχμής (M3/S)	17.56
Χρονική στιγμή αιχμής	02Sep2000, 02:00
Όγκος (MM)	266.51
Όγκος βροχόπτωσης (M3)	5.07E5
Όγκος απωλειών (M3)	49601.44
Ενεργός Όγκος (M3)	4.57E5
Όγκος άμεσης απορροής (M3)	4.57E5
Όγκος βασικής απορροής (M3)	63244.8

Βροχόπτωση και Απορροή



Υπολεκάνη: EL0514FR4002

Έκταση (KM2) : 0.13

Κατάντη : J2

Μέθοδος Απωλειών: SCS

Ποσοστό αδιαπέρατης επιφάνειας	0
Αριθμός Καμπύλης Απορροής-CN	90.34
Αρχικές Απώλειες	5.43

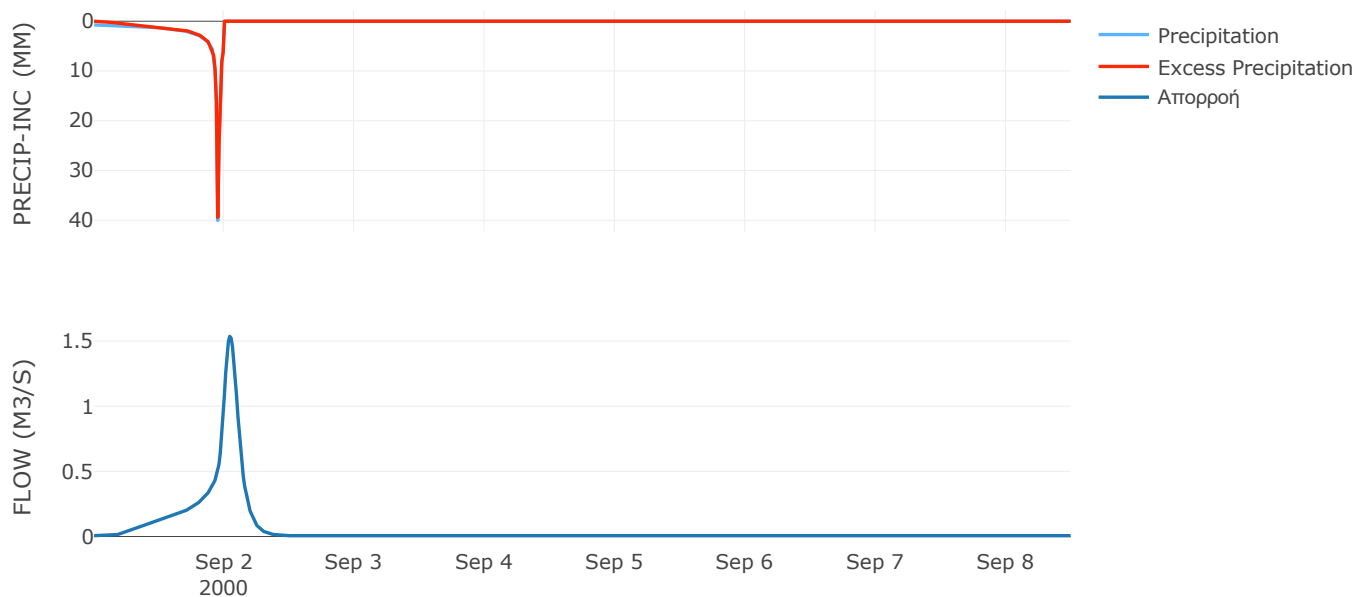
Μέθοδος
Μετασχηματισμού: SCS

Χρόνος Υστέρησης	132.24
------------------	--------

Αποτελέσματα:
EL0514FR4002

Παροχή αιχμής (M3/S)	1.54
Χρονική στιγμή αιχμής	02Sep2000, 01:00
Όγκος (MM)	268.72
Όγκος βροχόπτωσης (M3)	34358.59
Όγκος απωλειών (M3)	3873.62
Ενεργός Όγκος (M3)	30484.97
Όγκος άμεσης απορροής (M3)	30484.97
Όγκος βασικής απορροής (M3)	4179.6

Βροχόπτωση και Απορροή



Υπολεκάνη: EL0514FR4003

Έκταση (KM2) : 3.14

Κατάντη : J2

Μέθοδος Απωλειών: SCS

Ποσοστό αδιαπέρατης επιφάνειας	0
Αριθμός Καμπύλης Απορροής-CN	86.6
Αρχικές Απώλειες	7.86

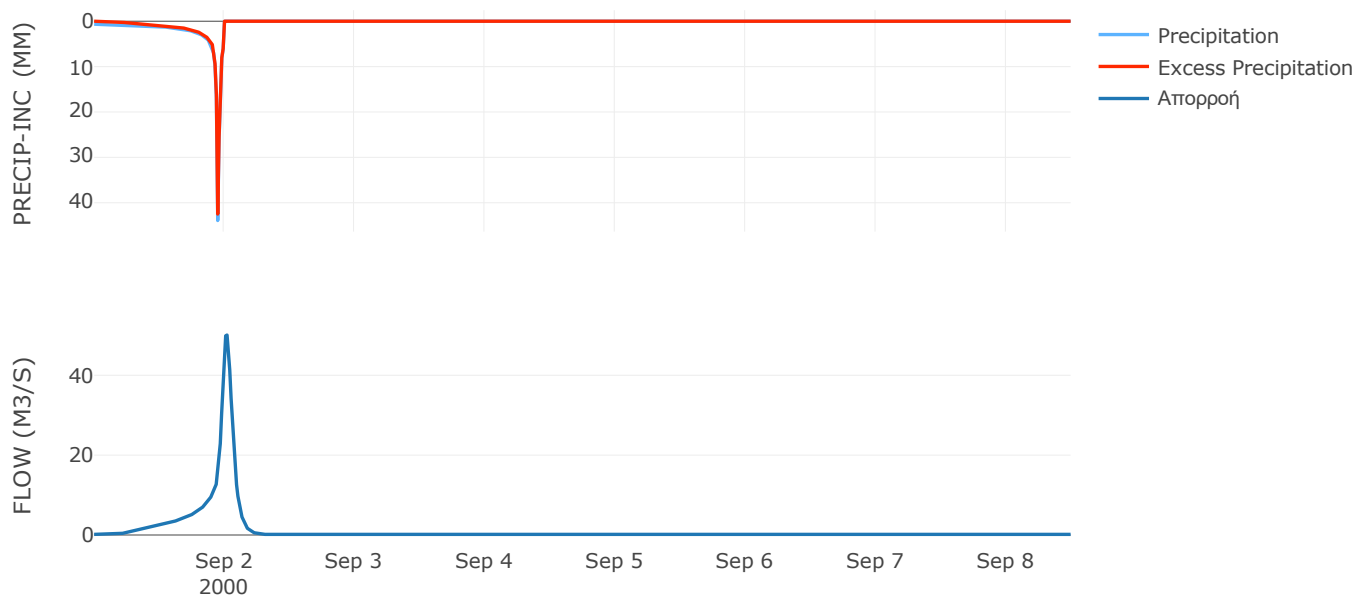
Μέθοδος
Μετασχηματισμού: SCS

Χρόνος Υστέρησης	85.64
------------------	-------

Αποτελέσματα:
EL0514FR4003

Παροχή αιχμής (M3/S)	50.08
Χρονική στιγμή αιχμής	02Sep2000, 00:30
Όγκος (MM)	252.96
Όγκος βροχόπτωσης (M3)	8.24E5
Όγκος απωλειών (M3)	1.32E5
Ενεργός Όγκος (M3)	6.92E5
Όγκος άμεσης απορροής (M3)	6.92E5
Όγκος βασικής απορροής (M3)	1.02E5

Βροχόπτωση και Απορροή



Υπολεκάνη: EL0514FR4004

Έκταση (KM2) : 3.81

Κατάντη : J3

Μέθοδος Απωλειών: SCS

Ποσοστό αδιαπέρατης επιφάνειας	0
Αριθμός Καμπύλης Απορροής-CN	89.03
Αρχικές Απώλειες	6.26

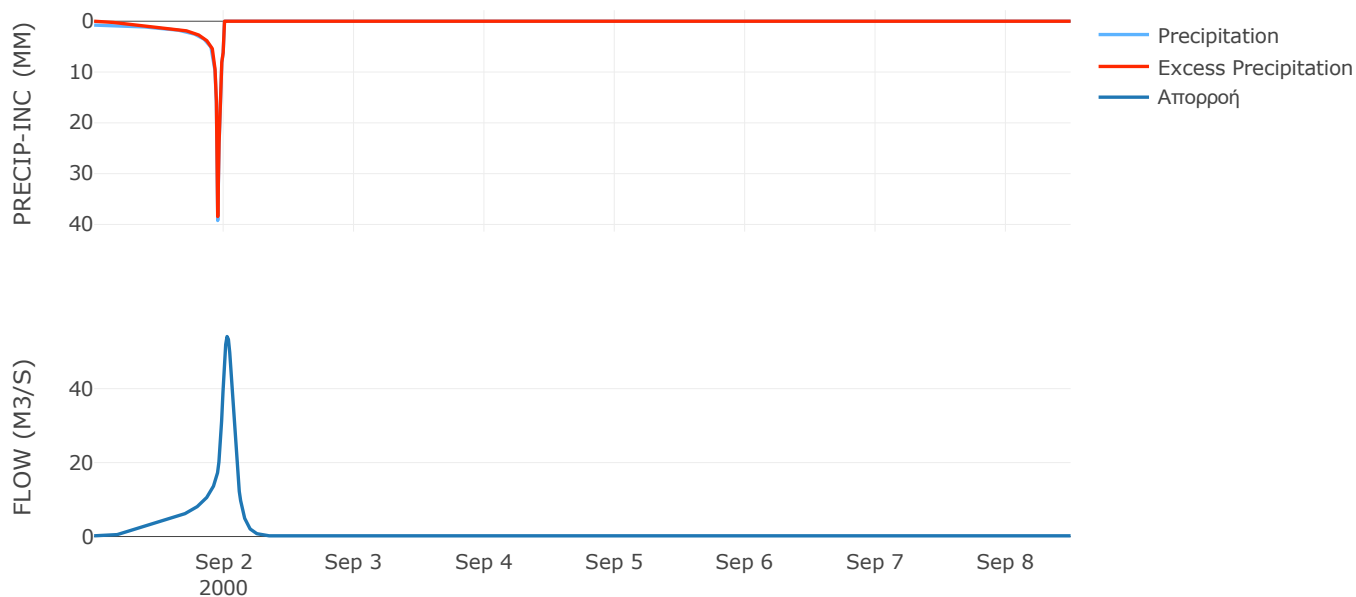
Μέθοδος
Μετασχηματισμού: SCS

Χρόνος Υστέρησης	97.49
------------------	-------

Αποτελέσματα:
EL0514FR4004

Παροχή αιχμής (M3/S)	54.1
Χρονική στιγμή αιχμής	02Sep2000, 00:30
Όγκος (MM)	265.47
Όγκος βροχόπτωσης (M3)	1.02E6
Όγκος απωλειών (M3)	1.3E5
Ενεργός Όγκος (M3)	8.89E5
Όγκος άμεσης απορροής (M3)	8.89E5
Όγκος βασικής απορροής (M3)	1.24E5

Βροχόπτωση και Απορροή



Υπολεκάνη: EL0514FR4005

Έκταση (KM2) : 6.29

Κατάντη : J4

Μέθοδος Απωλειών: SCS

Ποσοστό αδιαπέρατης επιφάνειας	0
Αριθμός Καμπύλης Απορροής-CN	90.76
Αρχικές Απώλειες	5.17

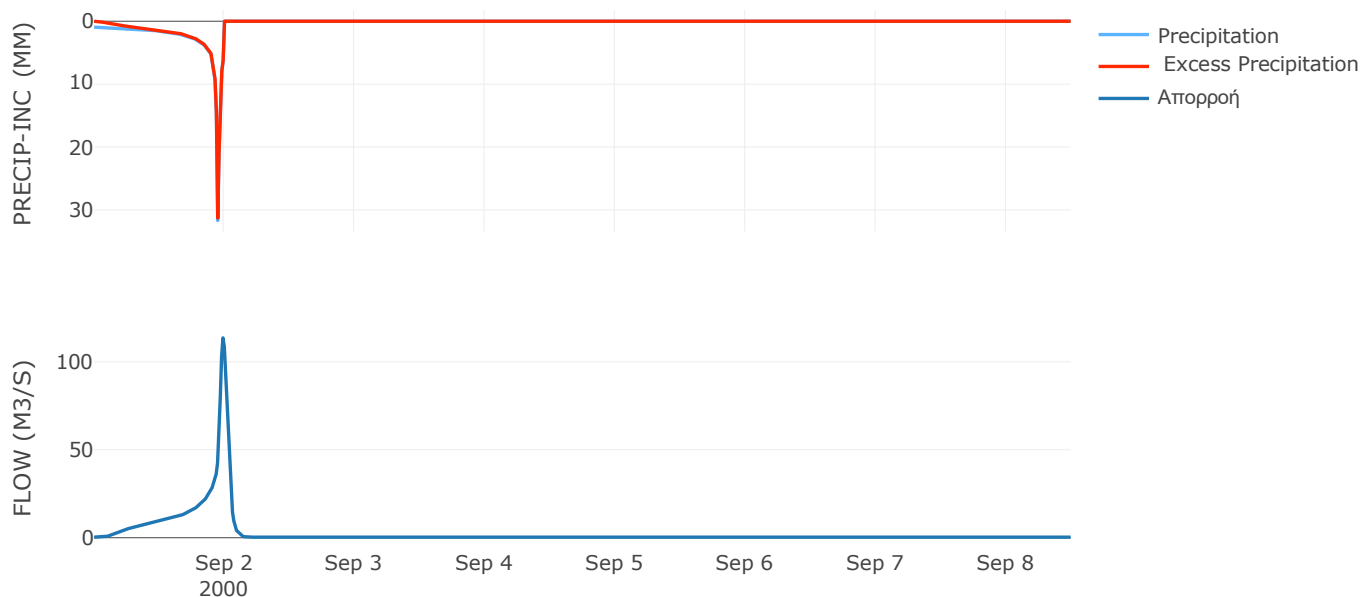
Μέθοδος
Μετασχηματισμού: SCS

Χρόνος Υστέρησης	48.02
------------------	-------

Αποτελέσματα:
EL0514FR4005

Παροχή αιχμής (M3/S)	113.61
Χρονική στιγμή αιχμής	01Sep2000, 23:45
Όγκος (MM)	276.79
Όγκος βροχόπτωσης (M3)	1.72E6
Όγκος απωλειών (M3)	1.81E5
Ενεργός Όγκος (M3)	1.54E6
Όγκος άμεσης απορροής (M3)	1.54E6
Όγκος βασικής απορροής (M3)	2.04E5

Βροχόπτωση και Απορροή



Υπολεκάνη: EL0514FR4006

Έκταση (KM2) : 8.52

Κατάντη : J5

Μέθοδος Απωλειών: SCS

Ποσοστό αδιαπέρατης επιφάνειας	0
Αριθμός Καμπύλης Απορροής-CN	90.66
Αρχικές Απώλειες	5.23

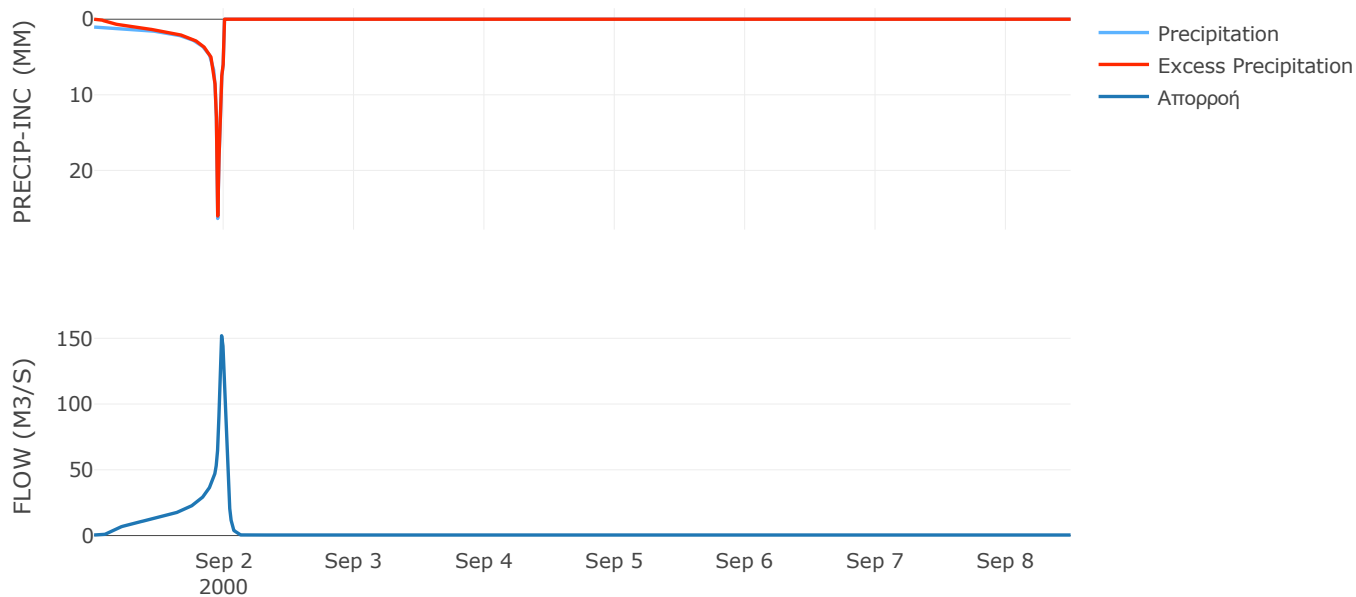
Μέθοδος
Μετασχηματισμού: SCS

Χρόνος Υστέρησης	34.25
------------------	-------

Αποτελέσματα:
EL0514FR4006

Παροχή αιχμής (M3/S)	151.97
Χρονική στιγμή αιχμής	01Sep2000, 23:30
Όγκος (MM)	271.68
Όγκος βροχόπτωσης (M3)	2.29E6
Όγκος απωλειών (M3)	2.48E5
Ενεργός Όγκος (M3)	2.04E6
Όγκος άμεσης απορροής (M3)	2.04E6
Όγκος βασικής απορροής (M3)	2.76E5

Βροχόπτωση και Απορροή



Υπολεκάνη: EL0514FR4007

Έκταση (KM2) : 45.77

Κατάντη : J6

Μέθοδος Απωλειών: SCS

Ποσοστό αδιαπέρατης επιφάνειας	0
Αριθμός Καμπύλης Απορροής-CN	90.5
Αρχικές Απώλειες	5.33

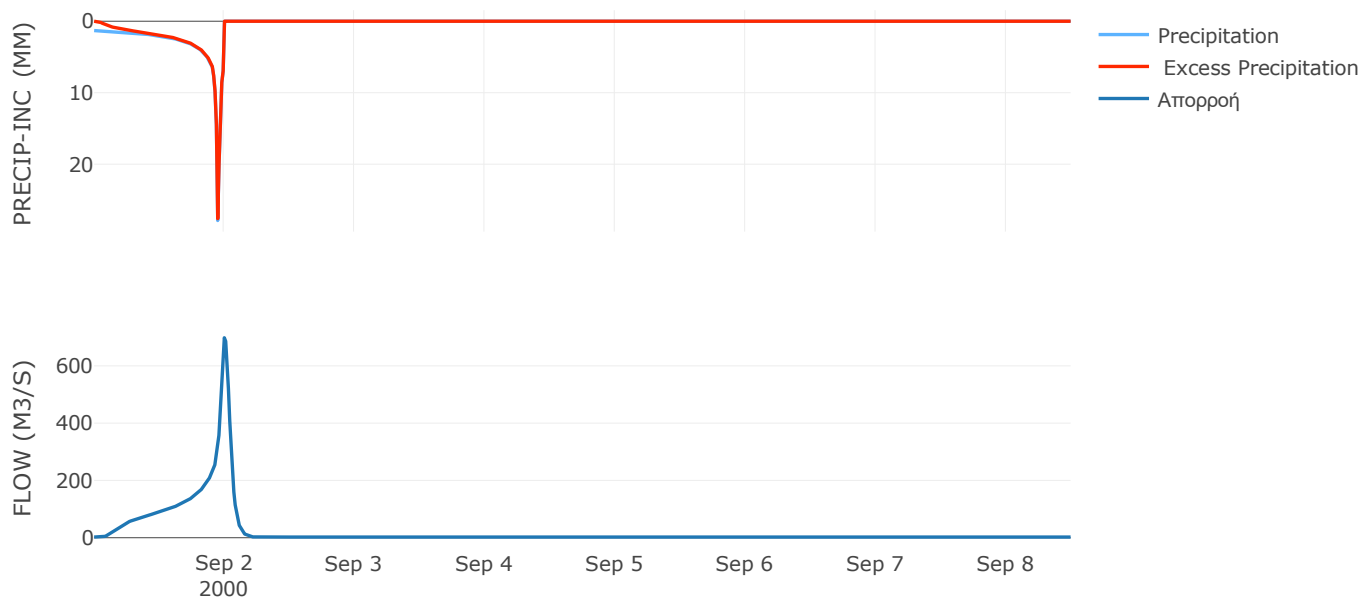
Μέθοδος
Μετασχηματισμού: SCS

Χρόνος Υστέρησης	65.62
------------------	-------

Αποτελέσματα:
EL0514FR4007

Παροχή αιχμής (M3/S)	697.96
Χρονική στιγμή αιχμής	01Sep2000, 24:00
Όγκος (MM)	317.5
Όγκος βροχόπτωσης (M3)	1.44E7
Όγκος απωλειών (M3)	1.37E6
Ενεργός Όγκος (M3)	1.3E7
Όγκος άμεσης απορροής (M3)	1.3E7
Όγκος βασικής απορροής (M3)	1.48E6

Βροχόπτωση και Απορροή



Υπολεκάνη: EL0514FR4008

Έκταση (KM2) : 14.21

Κατάντη : J6

Μέθοδος Απωλειών: SCS

Ποσοστό αδιαπέρατης επιφάνειας	0
Αριθμός Καμπύλης Απορροής-CN	90.69
Αρχικές Απώλειες	5.21

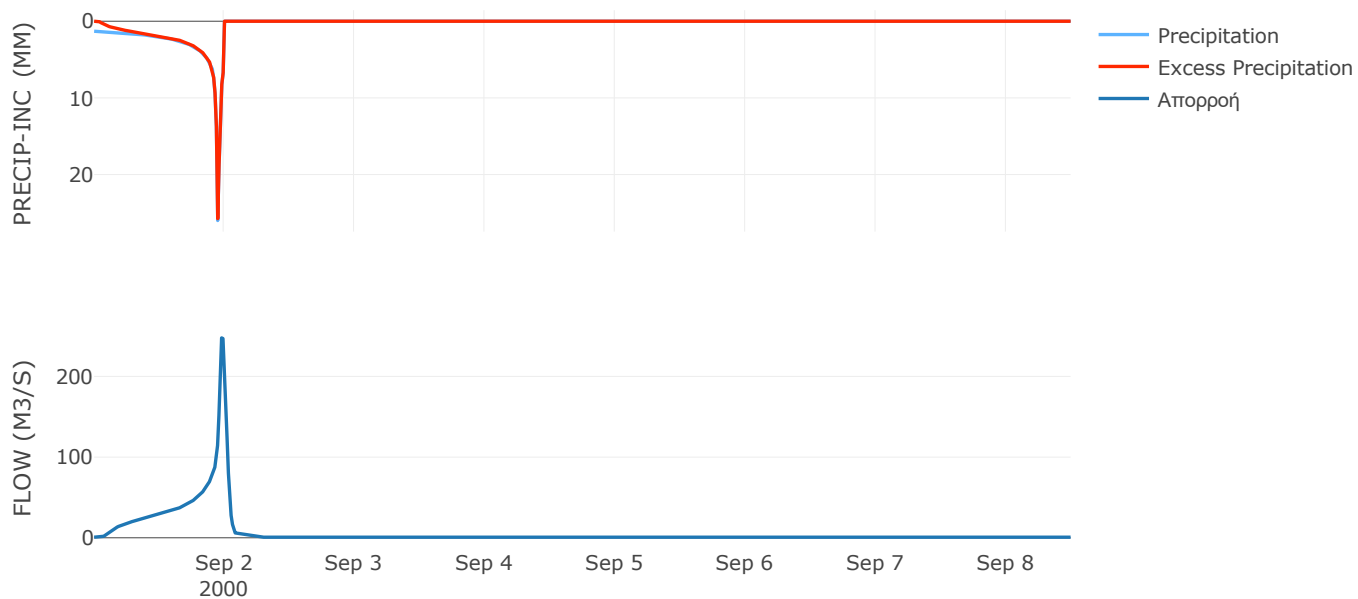
Μέθοδος
Μετασχηματισμού: SCS

Χρόνος Υστέρησης	37.99
------------------	-------

Αποτελέσματα:
EL0514FR4008

Παροχή αιχμής (M3/S)	247.76
Χρονική στιγμή αιχμής	01Sep2000, 23:30
Όγκος (MM)	310.06
Όγκος βροχόπτωσης (M3)	4.36E6
Όγκος απωλειών (M3)	4.15E5
Ενεργός Όγκος (M3)	3.95E6
Όγκος άμεσης απορροής (M3)	3.95E6
Όγκος βασικής απορροής (M3)	4.6E5

Βροχόπτωση και Απορροή



Υπολεκάνη: EL0514FR4009

Έκταση (KM2) : 12.22

Κατάντη : J10

Μέθοδος Απωλειών: SCS

Ποσοστό αδιαπέρατης επιφάνειας	0
Αριθμός Καμπύλης Απορροής-CN	90.94
Αρχικές Απώλειες	5.06

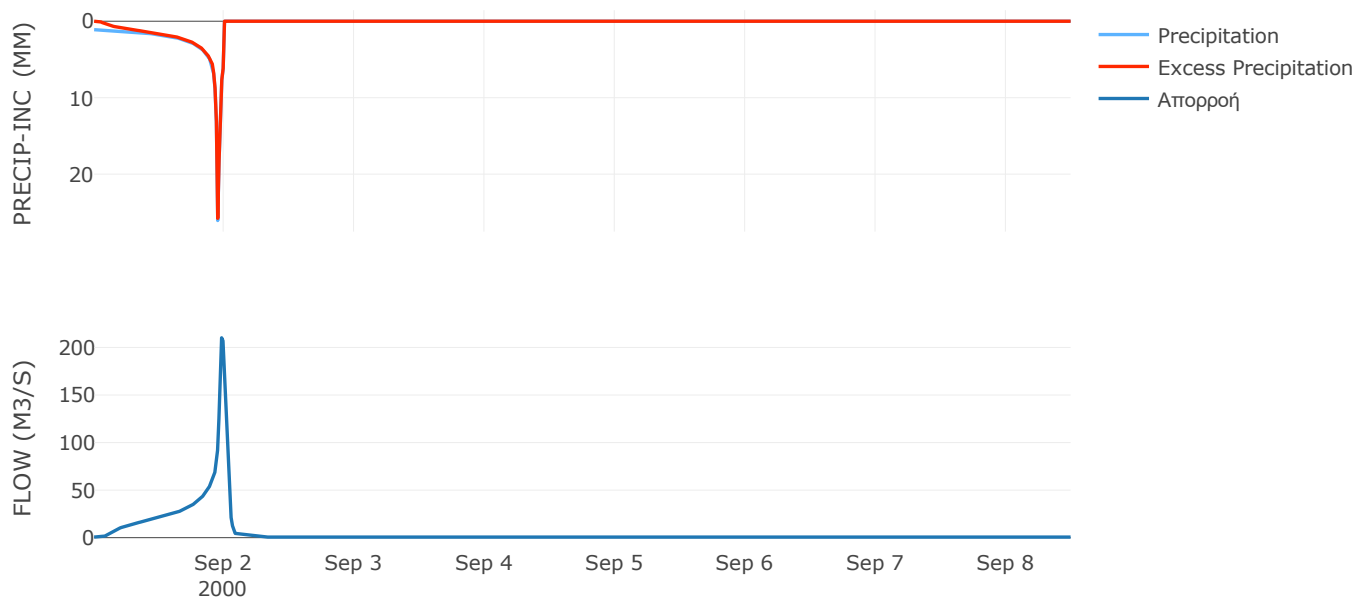
Μέθοδος
Μετασχηματισμού: SCS

Χρόνος Υστέρησης	37.08
------------------	-------

Αποτελέσματα:
EL0514FR4009

Παροχή αιχμής (M3/S)	210.21
Χρονική στιγμή αιχμής	01Sep2000, 23:30
Όγκος (MM)	281.64
Όγκος βροχόπτωσης (M3)	3.39E6
Όγκος απωλειών (M3)	3.45E5
Ενεργός Όγκος (M3)	3.05E6
Όγκος άμεσης απορροής (M3)	3.05E6
Όγκος βασικής απορροής (M3)	3.96E5

Βροχόπτωση και Απορροή



Υπολεκάνη: EL0514FR4010

Έκταση (KM2) : 13.42

Κατάντη : J7

Μέθοδος Απωλειών: SCS

Ποσοστό αδιαπέρατης επιφάνειας	0
Αριθμός Καμπύλης Απορροής-CN	91.05
Αρχικές Απώλειες	5

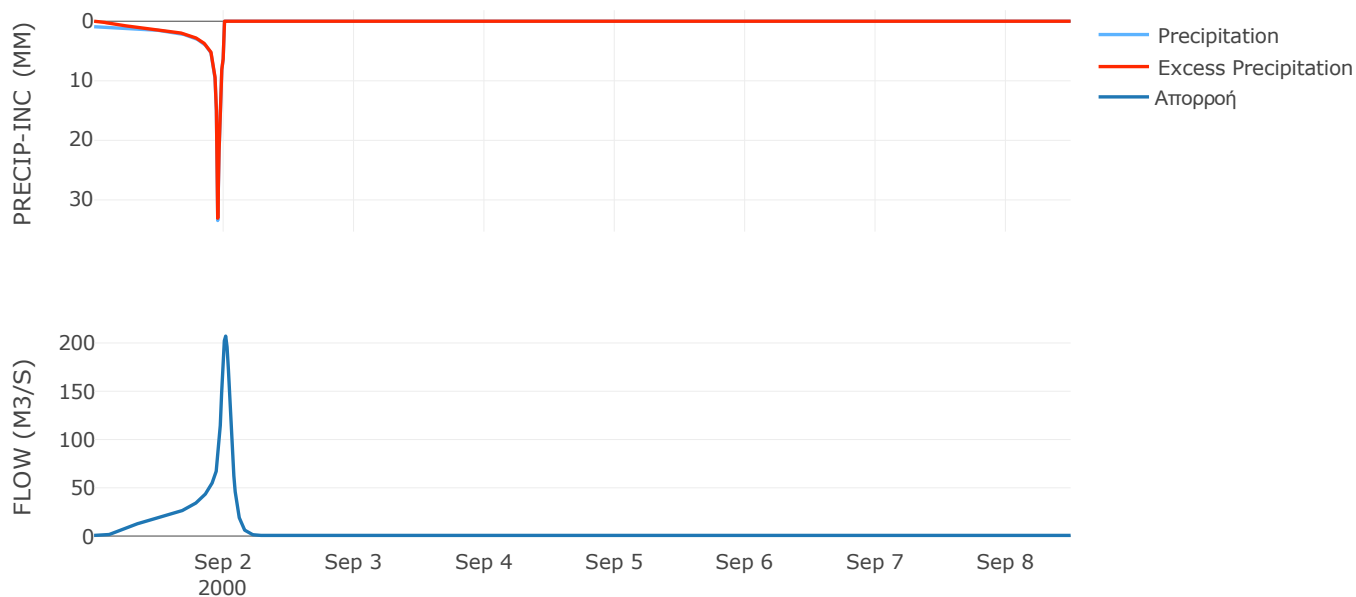
Μέθοδος
Μετασχηματισμού: SCS

Χρόνος Υστέρησης	73.74
------------------	-------

Αποτελέσματα:
EL0514FR4010

Παροχή αιχμής (M3/S)	207.14
Χρονική στιγμή αιχμής	02Sep2000, 00:15
Όγκος (MM)	281.18
Όγκος βροχόπτωσης (M3)	3.71E6
Όγκος απωλειών (M3)	3.74E5
Ενεργός Όγκος (M3)	3.34E6
Όγκος άμεσης απορροής (M3)	3.34E6
Όγκος βασικής απορροής (M3)	4.35E5

Βροχόπτωση και Απορροή



Υπολεκάνη: EL0514FR4011

Έκταση (KM2) : 14.76

Κατάντη : J7

Μέθοδος Απωλειών: SCS

Ποσοστό αδιαπέρατης επιφάνειας	0
Αριθμός Καμπύλης Απορροής-CN	80.4
Αρχικές Απώλειες	12.38

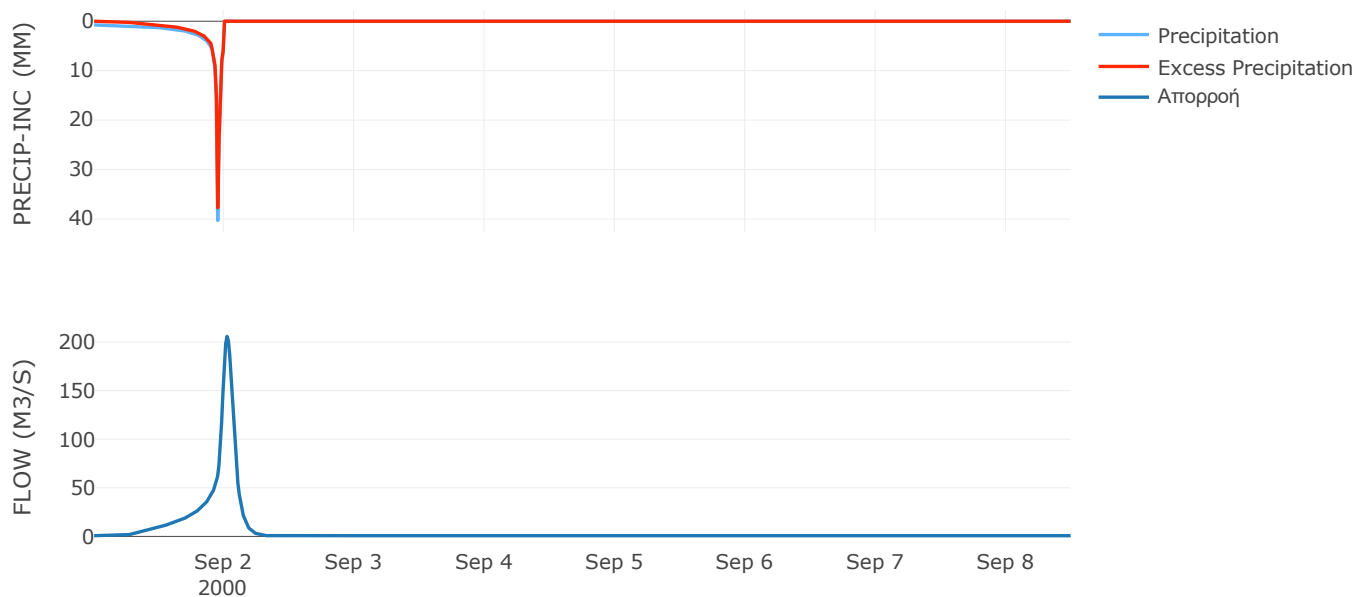
Μέθοδος
Μετασχηματισμού: SCS

Χρόνος Υστέρησης	95.02
------------------	-------

Αποτελέσματα:
EL0514FR4011

Παροχή αιχμής (M3/S)	205.87
Χρονική στιγμή αιχμής	02Sep2000, 00:30
Όγκος (MM)	237.37
Όγκος βροχόπτωσης (M3)	3.94E6
Όγκος απωλειών (M3)	9.18E5
Ενεργός Όγκος (M3)	3.03E6
Όγκος άμεσης απορροής (M3)	3.03E6
Όγκος βασικής απορροής (M3)	4.78E5

Βροχόπτωση και Απορροή



Υπολεκάνη: EL0514FR4012

Έκταση (KM2) : 8.26

Κατάντη : J8

Μέθοδος Απωλειών: SCS

Ποσοστό αδιαπέρατης επιφάνειας	0
Αριθμός Καμπύλης Απορροής-CN	88.09
Αρχικές Απώλειες	6.87

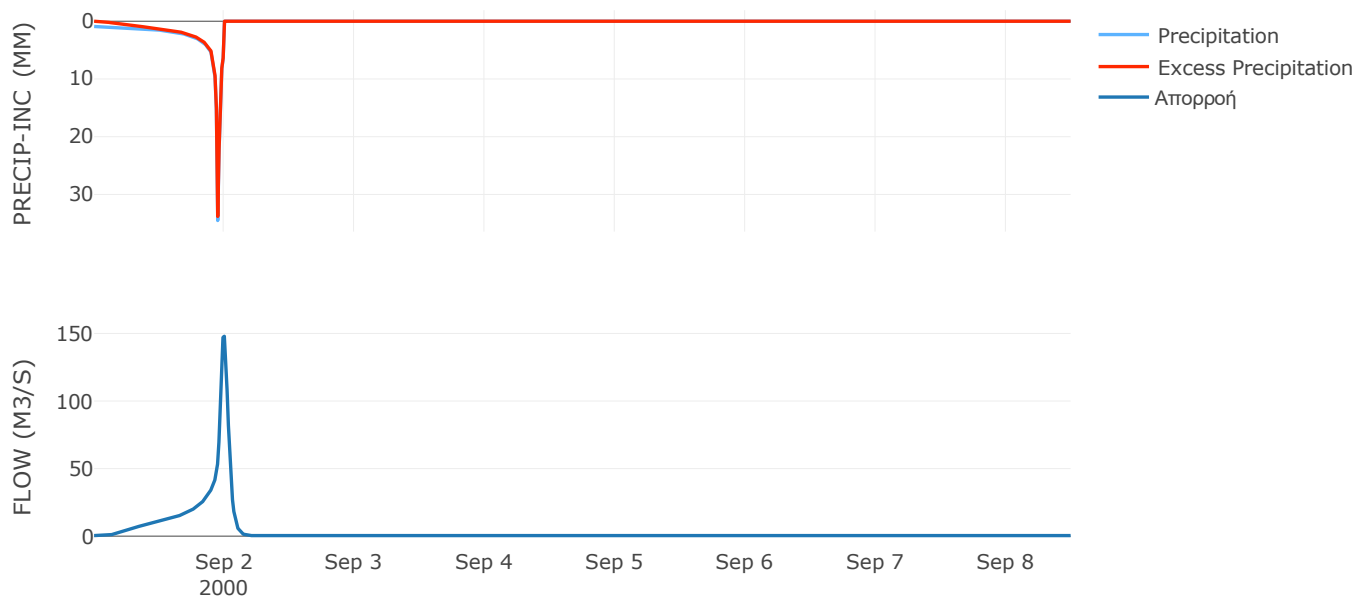
Μέθοδος
Μετασχηματισμού: SCS

Χρόνος Υστέρησης	54
------------------	----

Αποτελέσματα:
EL0514FR4012

Παροχή αιχμής (M3/S)	147.93
Χρονική στιγμή αιχμής	01Sep2000, 24:00
Όγκος (MM)	273.53
Όγκος βροχόπτωσης (M3)	2.3E6
Όγκος απωλειών (M3)	3.08E5
Ενεργός Όγκος (M3)	1.99E6
Όγκος άμεσης απορροής (M3)	1.99E6
Όγκος βασικής απορροής (M3)	2.68E5

Βροχόπτωση και Απορροή



Υπολεκάνη: EL0514FR4013

Έκταση (KM2) : 22.16

Κατάντη : J9

Μέθοδος Απωλειών: SCS

Ποσοστό αδιαπέρατης επιφάνειας	0
Αριθμός Καμπύλης Απορροής-CN	90.82
Αρχικές Απώλειες	5.14

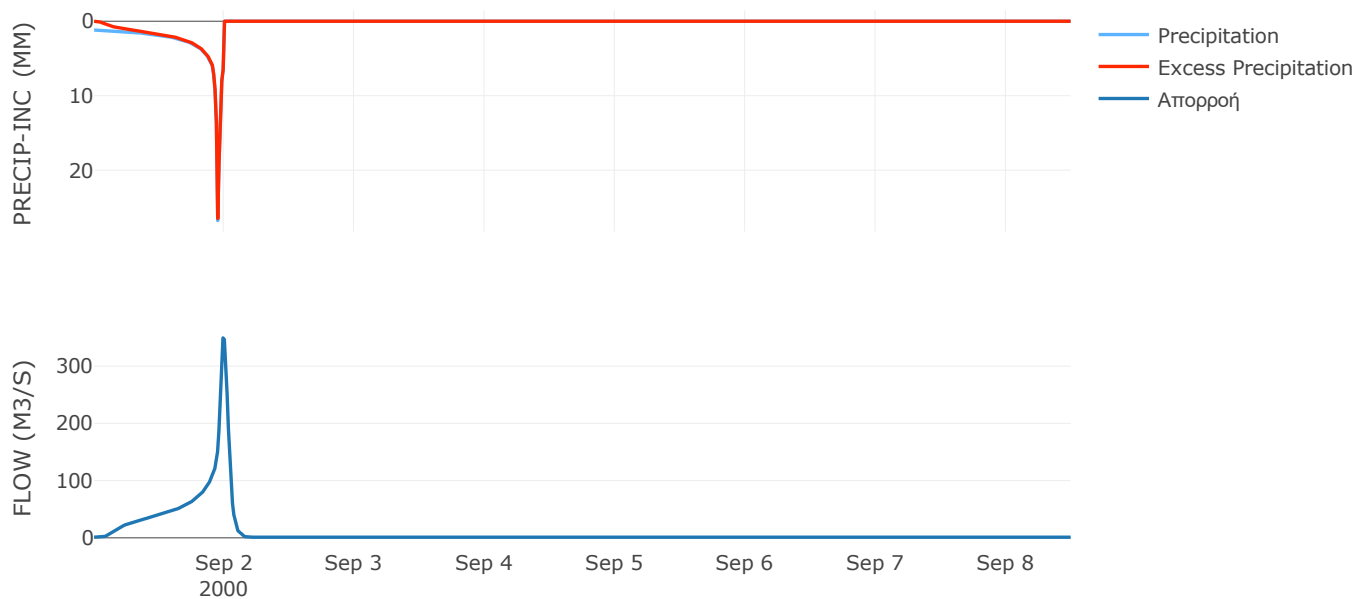
Μέθοδος
Μετασχηματισμού: SCS

Χρόνος Υστέρησης	51.97
------------------	-------

Αποτελέσματα:
EL0514FR4013

Παροχή αιχμής (M3/S)	349.32
Χρονική στιγμή αιχμής	01Sep2000, 23:45
Όγκος (MM)	295.41
Όγκος βροχόπτωσης (M3)	6.46E6
Όγκος απωλειών (M3)	6.36E5
Ενεργός Όγκος (M3)	5.83E6
Όγκος άμεσης απορροής (M3)	5.83E6
Όγκος βασικής απορροής (M3)	7.18E5

Βροχόπτωση και Απορροή



Υπολεκάνη: EL0514FR4014

Έκταση (KM2) : 1.47

Κατάντη : J3

Μέθοδος Απωλειών: SCS

Ποσοστό αδιαπέρατης επιφάνειας	0
Αριθμός Καμπύλης Απορροής-CN	89.02
Αρχικές Απώλειες	6.27

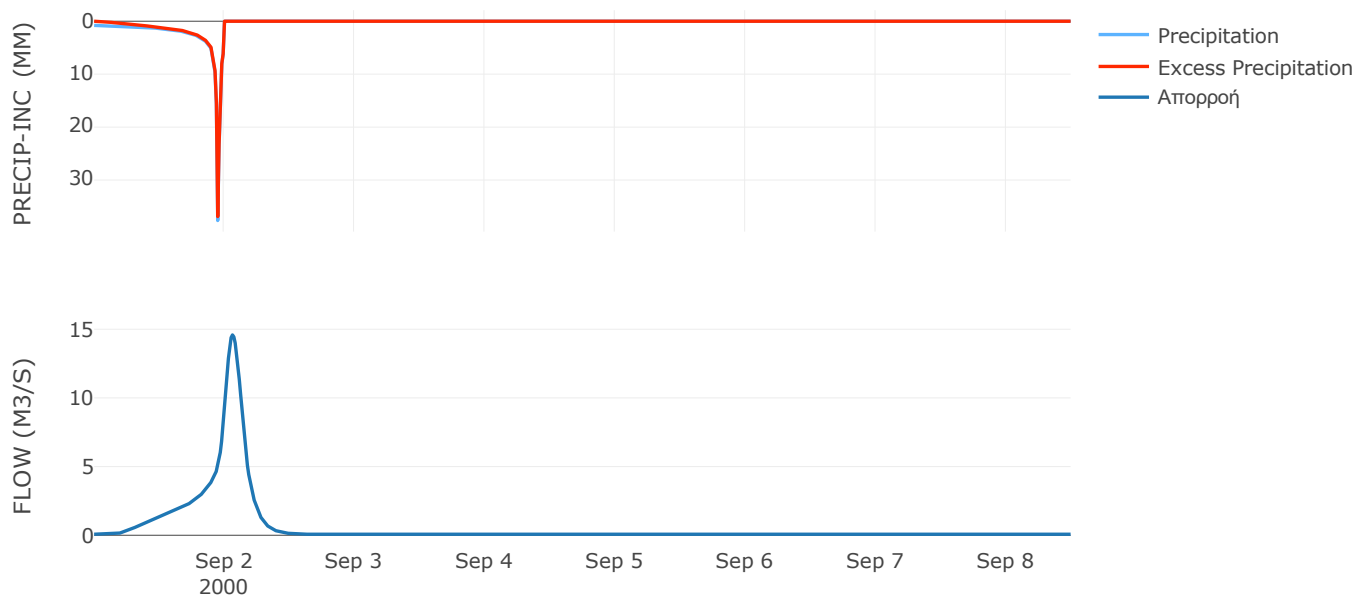
Μέθοδος
Μετασχηματισμού: SCS

Χρόνος Υστέρησης	165.84
------------------	--------

Αποτελέσματα:
EL0514FR4014

Παροχή αιχμής (M3/S)	14.58
Χρονική στιγμή αιχμής	02Sep2000, 01:30
Όγκος (MM)	264.85
Όγκος βροχόπτωσης (M3)	3.92E5
Όγκος απωλειών (M3)	50378.88
Ενεργός Όγκος (M3)	3.42E5
Όγκος άμεσης απορροής (M3)	3.42E5
Όγκος βασικής απορροής (M3)	47660.4

Βροχόπτωση και Απορροή



Υπολεκάνη: EL0514FR4015

Έκταση (KM2) : 32.03

Κατάνη : J11

Μέθοδος Απωλειών: SCS

Ποσοστό αδιαπέρατης επιφάνειας	0
Αριθμός Καμπύλης Απορροής-CN	90.81
Αρχικές Απώλειες	5.14

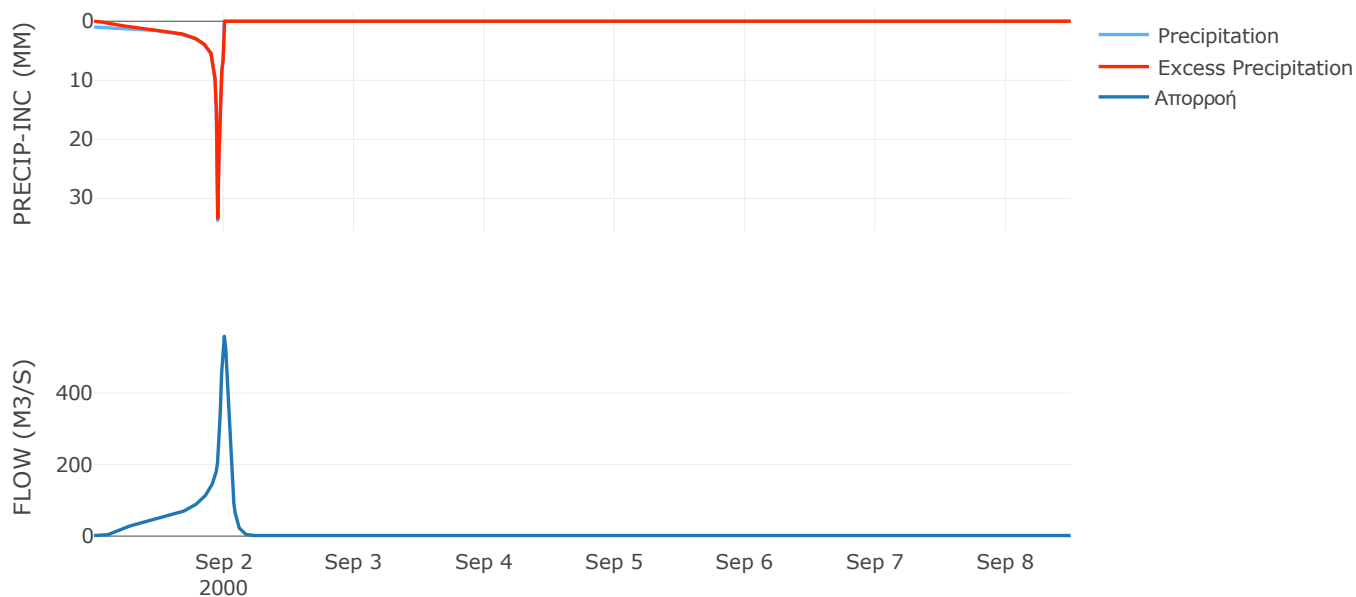
Μέθοδος
Μετασχηματισμού: SCS

Χρόνος Υστέρησης	59.48
------------------	-------

Αποτελέσματα:
EL0514FR4015

Παροχή αιχμής (M3/S)	559.24
Χρονική στιγμή αιχμής	01Sep2000, 24:00
Όγκος (MM)	290.84
Όγκος βροχόπτωσης (M3)	9.2E6
Όγκος απωλειών (M3)	9.19E5
Ενεργός Όγκος (M3)	8.28E6
Όγκος άμεσης απορροής (M3)	8.28E6
Όγκος βασικής απορροής (M3)	1.04E6

Βροχόπτωση και Απορροή



Υπολεκάνη: EL0514FR4016

Έκταση (KM2) : 25.77

Κατάντη : J12

Μέθοδος Απωλειών: SCS

Ποσοστό αδιαπέρατης επιφάνειας	0
Αριθμός Καμπύλης Απορροής-CN	90.31
Αρχικές Απώλειες	5.45

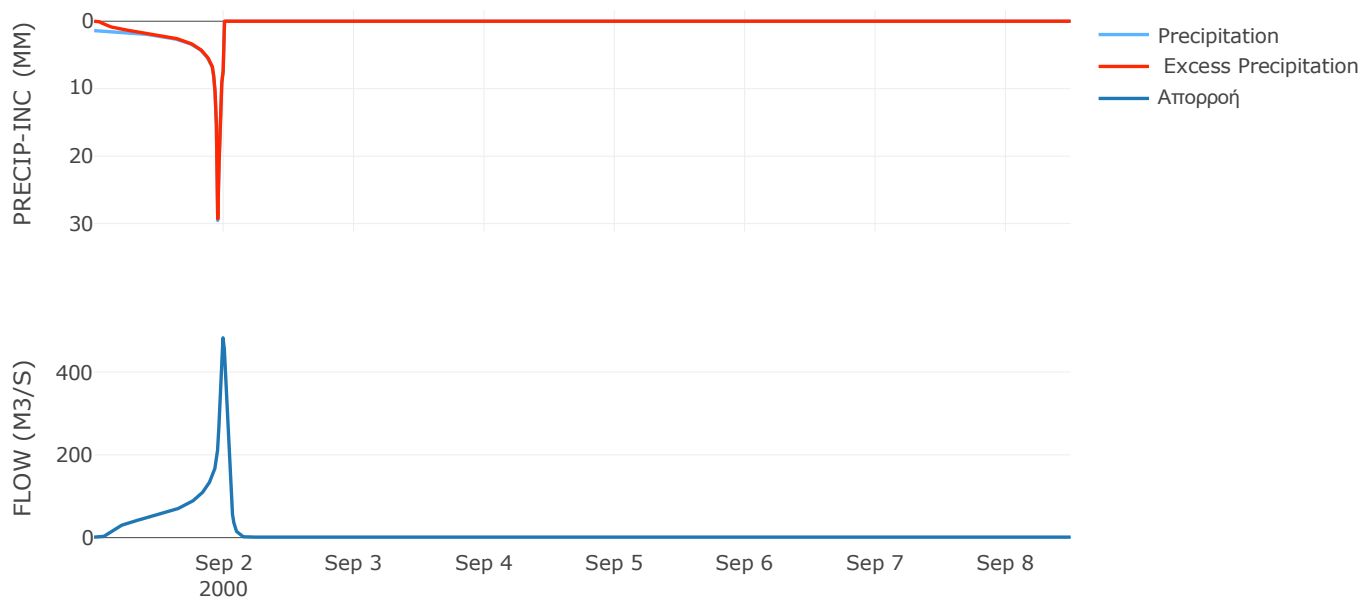
Μέθοδος
Μετασχηματισμού: SCS

Χρόνος Υστέρησης	45.71
------------------	-------

Αποτελέσματα:
EL0514FR4016

Παροχή αιχμής (M3/S)	482.91
Χρονική στιγμή αιχμής	01Sep2000, 23:45
Όγκος (MM)	336.86
Όγκος βροχόπτωσης (M3)	8.64E6
Όγκος απωλειών (M3)	7.89E5
Ενεργός Όγκος (M3)	7.85E6
Όγκος άμεσης απορροής (M3)	7.85E6
Όγκος βασικής απορροής (M3)	8.35E5

Βροχόπτωση και Απορροή



Υπολεκάνη: EL0514FR4017

Έκταση (KM2) : 10.84

Κατάντη : J12

Μέθοδος Απωλειών: SCS

Ποσοστό αδιαπέρατης επιφάνειας	0
Αριθμός Καμπύλης Απορροής-CN	90.44
Αρχικές Απώλειες	5.37

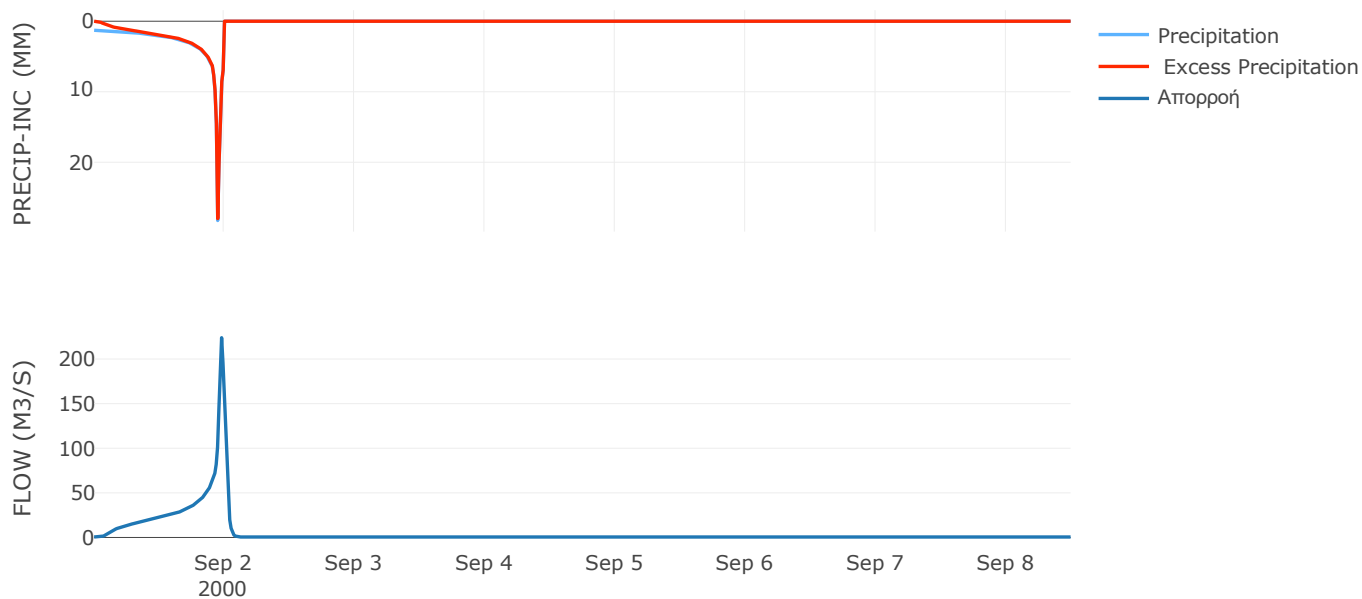
Μέθοδος
Μετασχηματισμού: SCS

Χρόνος Υστέρησης	29.13
------------------	-------

Αποτελέσματα:
EL0514FR4017

Παροχή αιχμής (M3/S)	223.88
Χρονική στιγμή αιχμής	01Sep2000, 23:30
Όγκος (MM)	315.52
Όγκος βροχόπτωσης (M3)	3.39E6
Όγκος απωλειών (M3)	3.26E5
Ενεργός Όγκος (M3)	3.07E6
Όγκος άμεσης απορροής (M3)	3.07E6
Όγκος βασικής απορροής (M3)	3.51E5

Βροχόπτωση και Απορροή



10.2 Δεδομένα και υδρογραφήματα σχεδιασμού Κλάδων υδρογραφικού δικτύου

Κλάδος: R21

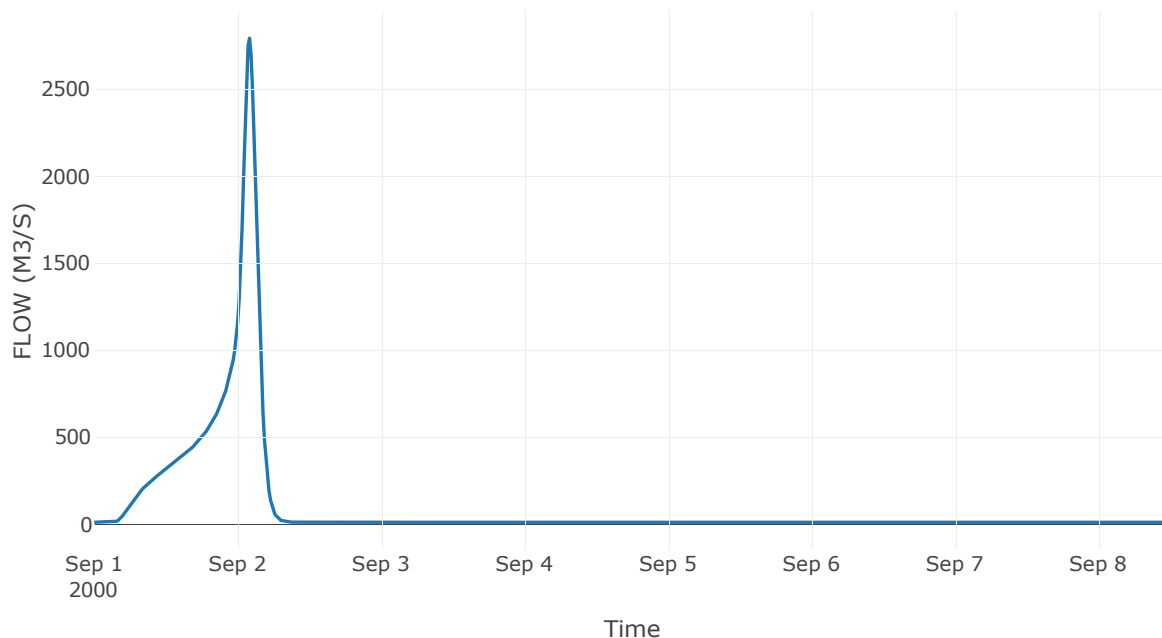
Κατάντη : J1

Μέθοδος Διόδευσης	Muskingum
Αρχική Μεταβλητή	Combined Inflow
Χρόνος Ροής K	0.57
Συντελεστής βάρους x	0.2
Πλήθος Υποκλάδων	3

Αποτελέσματα: R21

Παροχή Αιχμής(M3/S)	2792.91
Χρονική στιγμή αιχμής	02Sep2000, 02:00
Όγκος(MM)	296.97
Παροχή Αιχμής Εισόδου (M3/S)	2854.03
Όγκος Εισροής(M3)	6.62E7

Απορροή



Κλάδος: R32

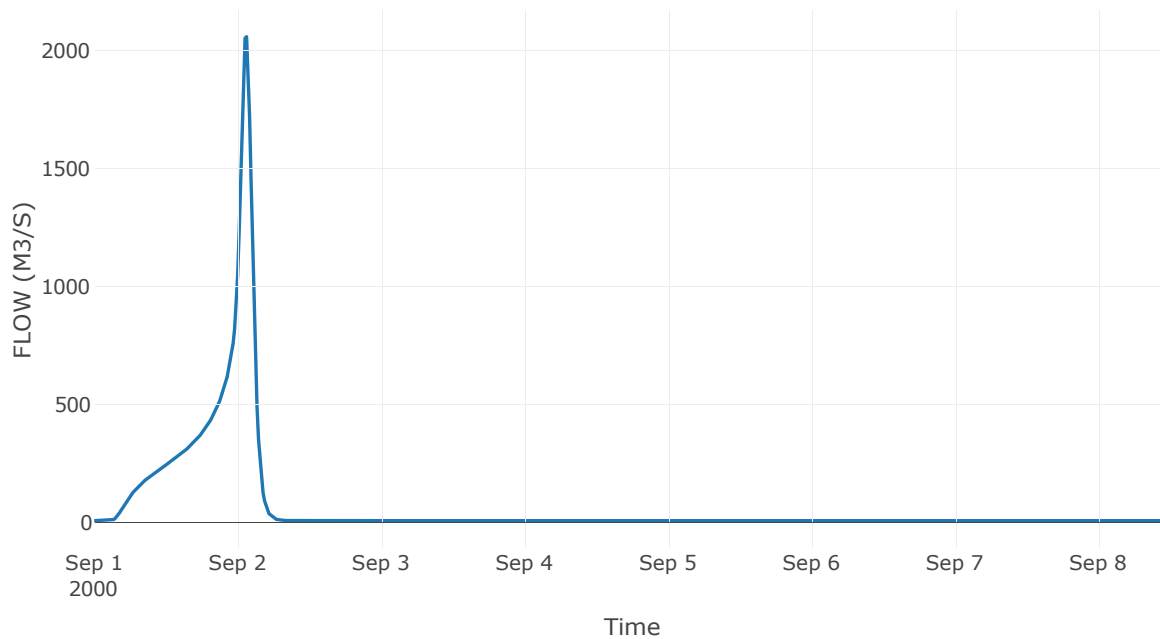
Κατάντη : J2

Μέθοδος Διόδευσης	Χρόνος
Αρχική Μεταβλητή	Combined Inflow
Χρόνος Υστέρησης	3.84

Αποτελέσματα: R32

Παροχή Αιχμής(M3/S)	2059.16
Χρονική στιγμή αιχμής	02Sep2000, 01:30
Όγκος(MM)	308.06
Παροχή Αιχμής Εισόδου (M3/S)	2075.34
Όγκος Εισροής(M3)	4.58E7

Απορροή



Κλάδος: R43

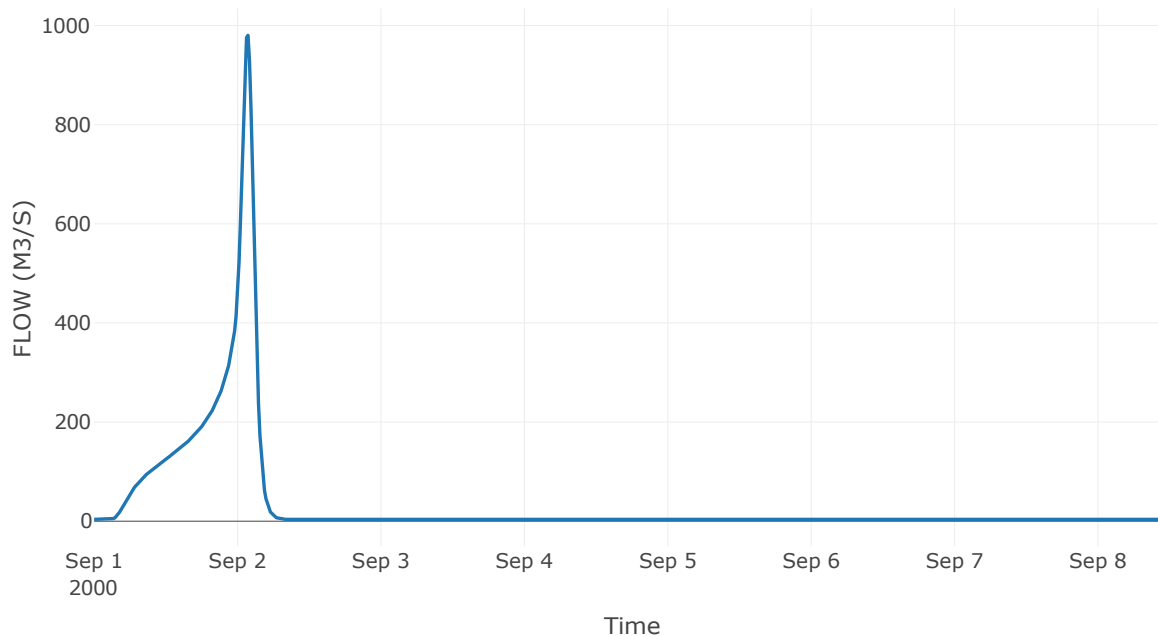
Κατάντη : J3

Μέθοδος Διόδευσης	Muskingum
Αρχική Μεταβλητή	Combined Inflow
Χρόνος Ροής K	1.04
Συντελεστής βάρους x	0.2
Πλήθος Υποκλάδων	5

Αποτελέσματα: R43

Παροχή Αιχμής(M3/S)	980.25
Χρονική στιγμή αιχμής	02Sep2000, 01:45
Όγκος(MM)	307.44
Παροχή Αιχμής Εισόδου (M3/S)	1042.1
Όγκος Εισροής(M3)	2.3E7

Απορροή



Κλάδος: R54

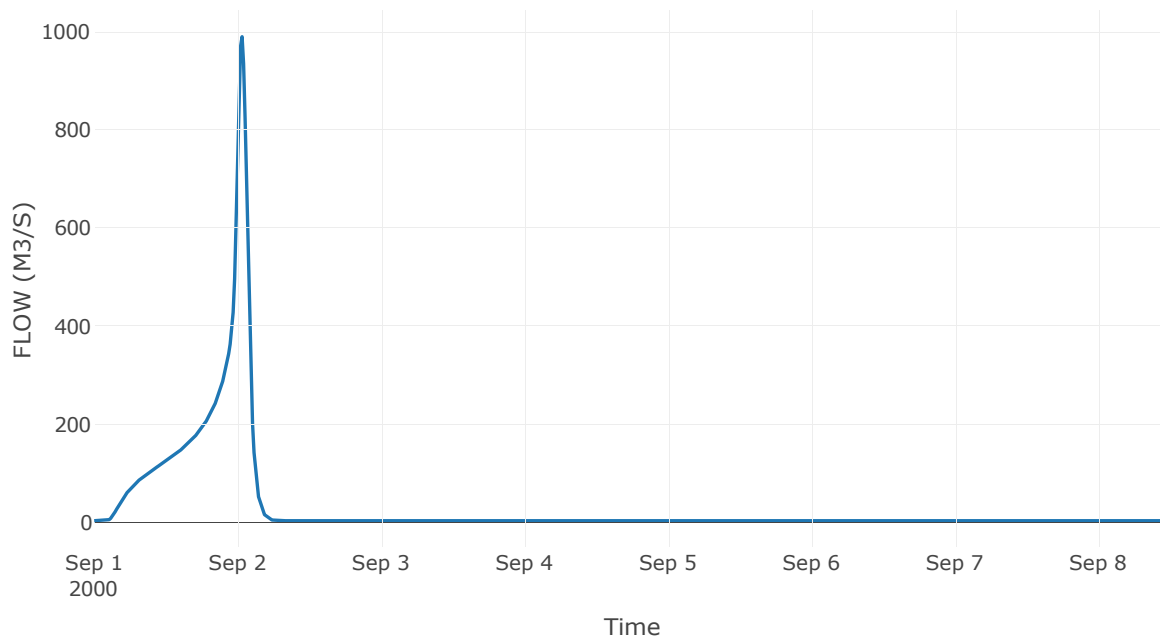
Κατάντη : J4

Μέθοδος Διόδευσης	Χρόνος
Αρχική Μεταβλητή	Combined Inflow
Χρόνος Υστέρησης	28.11

Αποτελέσματα: R54

Παροχή Αιχμής(M3/S)	989.99
Χρονική στιγμή αιχμής	02Sep2000, 00:45
Όγκος(MM)	310.26
Παροχή Αιχμής Εισόδου (M3/S)	996.29
Όγκος Εισροής(M3)	2.13E7

Απορροή



Κλάδος: R65

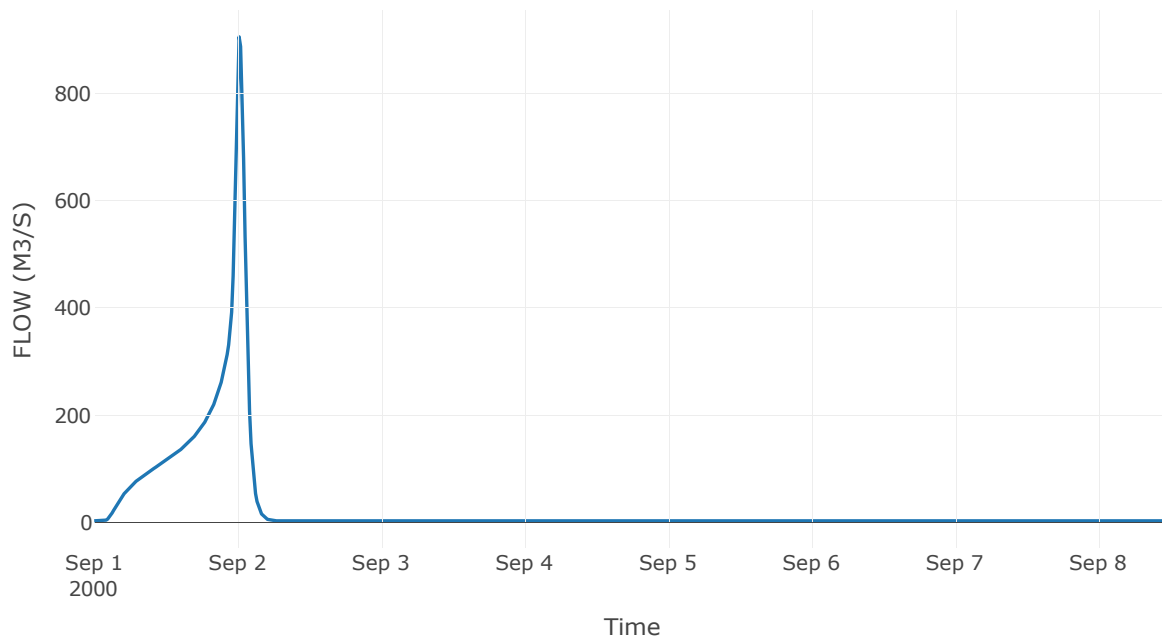
Κατάντη : J5

Μέθοδος Διόδευσης	Χρόνος
Αρχική Μεταβλητή	Combined Inflow
Χρόνος Υστέρησης	23.64

Αποτελέσματα: R65

Παροχή Αιχμής(M3/S)	905.25
Χρονική στιγμή αιχμής	02Sep2000, 00:15
Όγκος(MM)	315.74
Παροχή Αιχμής Εισόδου (M3/S)	912.86
Όγκος Εισροής(M3)	1.89E7

Απορροή



Κλάδος: R72

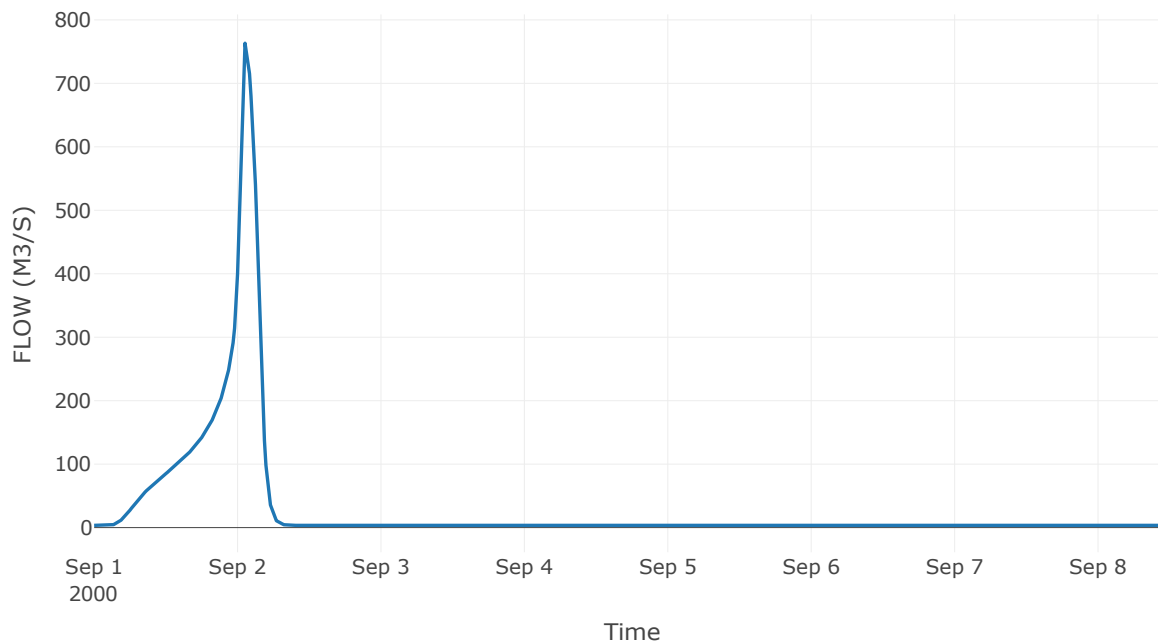
Κατάντη : J2

Μέθοδος Διόδευσης	Muskingum
Αρχική Μεταβλητή	Combined Inflow
Χρόνος Ροής K	0.92
Συντελεστής βάρους x	0.2
Πλήθος Υποκλάδων	5

Αποτελέσματα: R72

Παροχή Αιχμής(M3/S)	766.24
Χρονική στιγμή αιχμής	02Sep2000, 01:30
Όγκος(MM)	275.69
Παροχή Αιχμής Εισόδου (M3/S)	790.56
Όγκος Εισροής(M3)	1.95E7

Απορροή



Κλάδος: R87

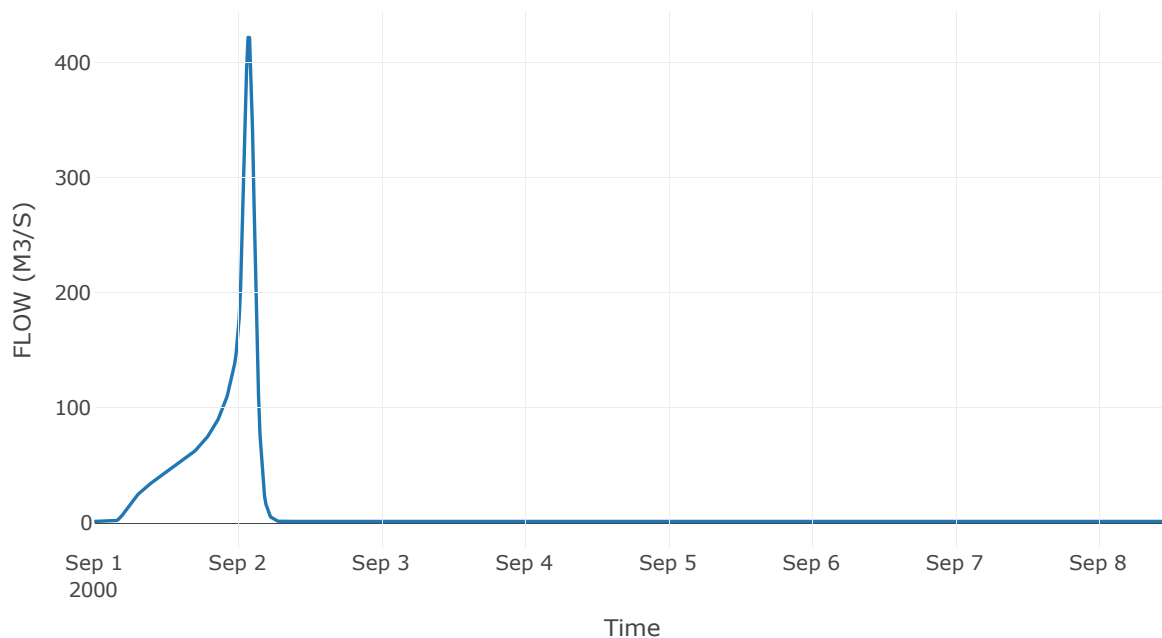
Κατάντη : J7

Μέθοδος Διόδευσης	Muskingum
Αρχική Μεταβλητή	Combined Inflow
Χρόνος Ροής K	1.66
Συντελεστής βάρους x	0.2
Πλήθος Υποκλάδων	9

Αποτελέσματα: R87

Παροχή Αιχμής(M3/S)	421.75
Χρονική στιγμή αιχμής	02Sep2000, 01:45
Όγκος(MM)	289.47
Παροχή Αιχμής Εισόδου (M3/S)	482.44
Όγκος Εισροής(M3)	8.8E6

Απορροή



Κλάδος: R98

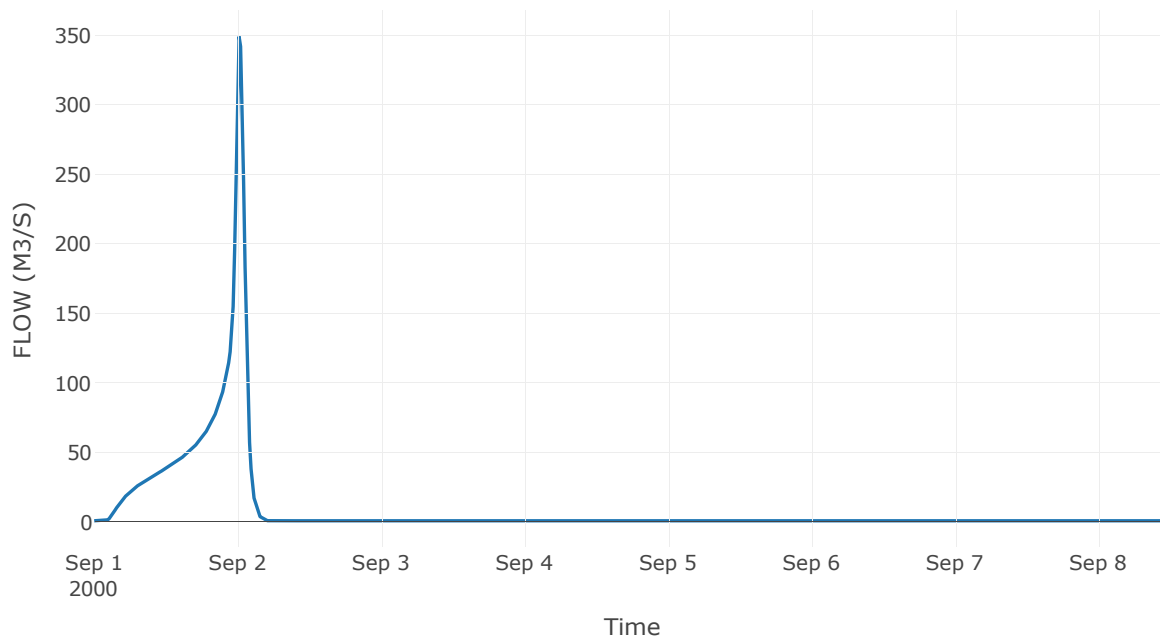
Κατάντη : J8

Μέθοδος Διόδευσης	Χρόνος
Αρχική Μεταβλητή	Combined Inflow
Χρόνος Υστέρησης	28.97

Αποτελέσματα: R98

Παροχή Αιχμής(M3/S)	348.98
Χρονική στιγμή αιχμής	02Sep2000, 00:15
Όγκος(MM)	295.41
Παροχή Αιχμής Εισόδου (M3/S)	349.32
Όγκος Εισροής(M3)	6.55E6

Απορροή



Κλάδος: R107

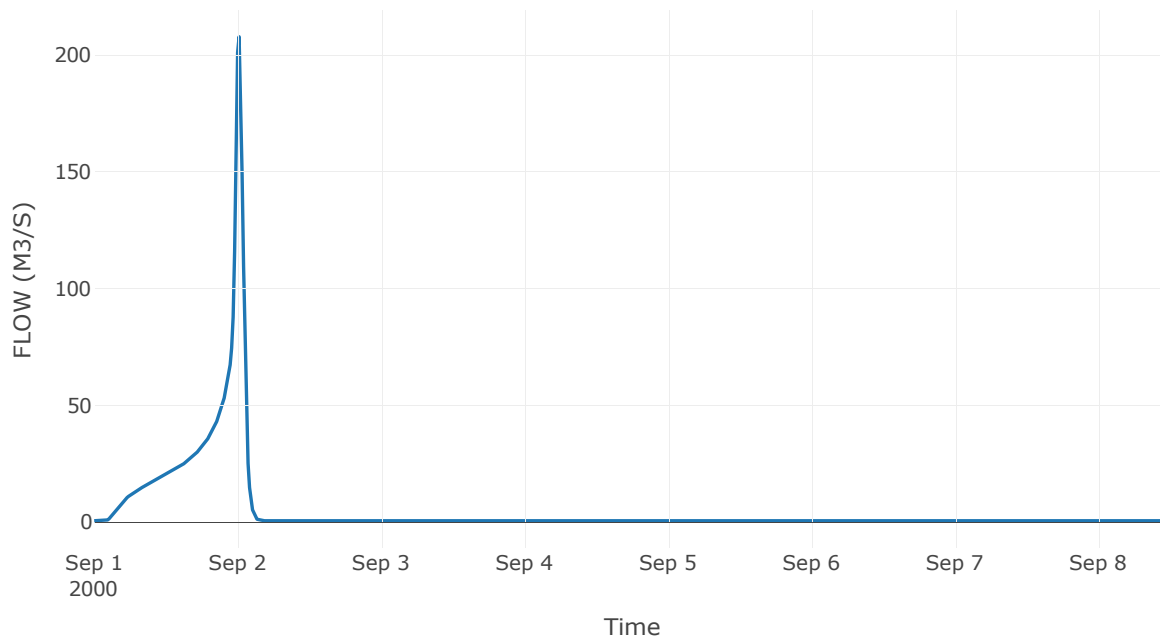
Κατάντη : J7

Μέθοδος Διόδευσης	Χρόνος
Αρχική Μεταβλητή	Combined Inflow
Χρόνος Υστέρησης	34.73

Αποτελέσματα: R107

Παροχή Αιχμής(M3/S)	207.83
Χρονική στιγμή αιχμής	02Sep2000, 00:15
Όγκος(MM)	281.64
Παροχή Αιχμής Εισόδου (M3/S)	210.21
Όγκος Εισροής(M3)	3.44E6

Απορροή



Κλάδος: R113

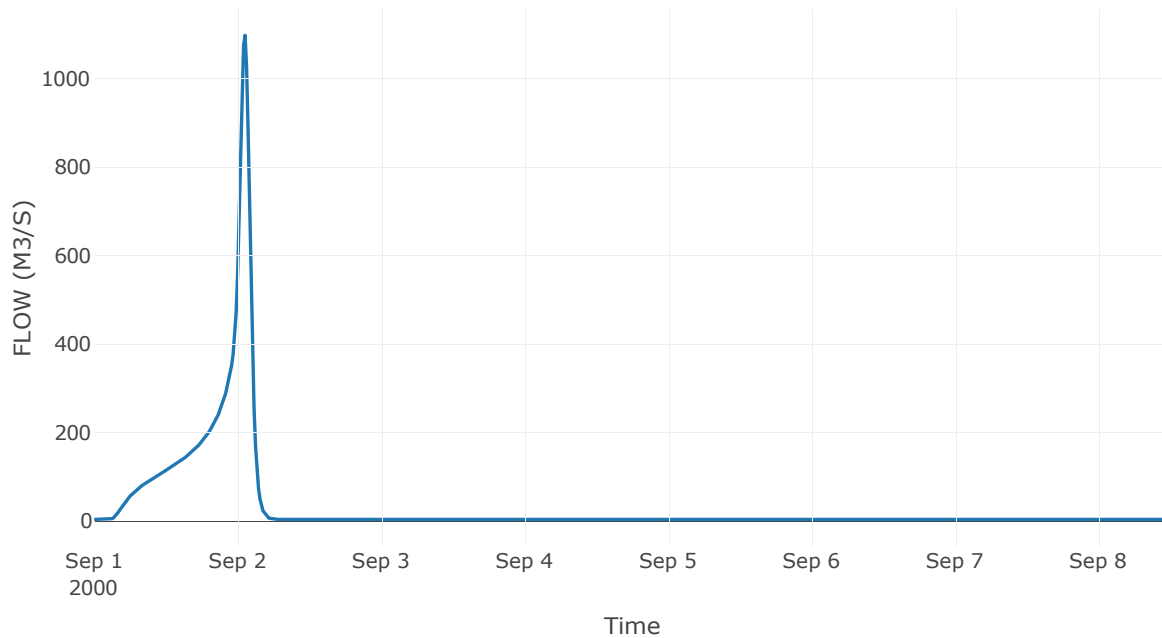
Κατάντη : J3

Μέθοδος Διόδευσης	Muskingum
Αρχική Μεταβλητή	Combined Inflow
Χρόνος Ροής K	0.93
Συντελεστής βάρους x	0.2
Πλήθος Υποκλάδων	5

Αποτελέσματα: R113

Παροχή Αιχμής(M3/S)	1098
Χρονική στιγμή αιχμής	02Sep2000, 01:15
Όγκος(MM)	312.02
Παροχή Αιχμής Εισόδου (M3/S)	1200.36
Όγκος Εισροής(M3)	2.14E7

Απορροή



Κλάδος: R1211

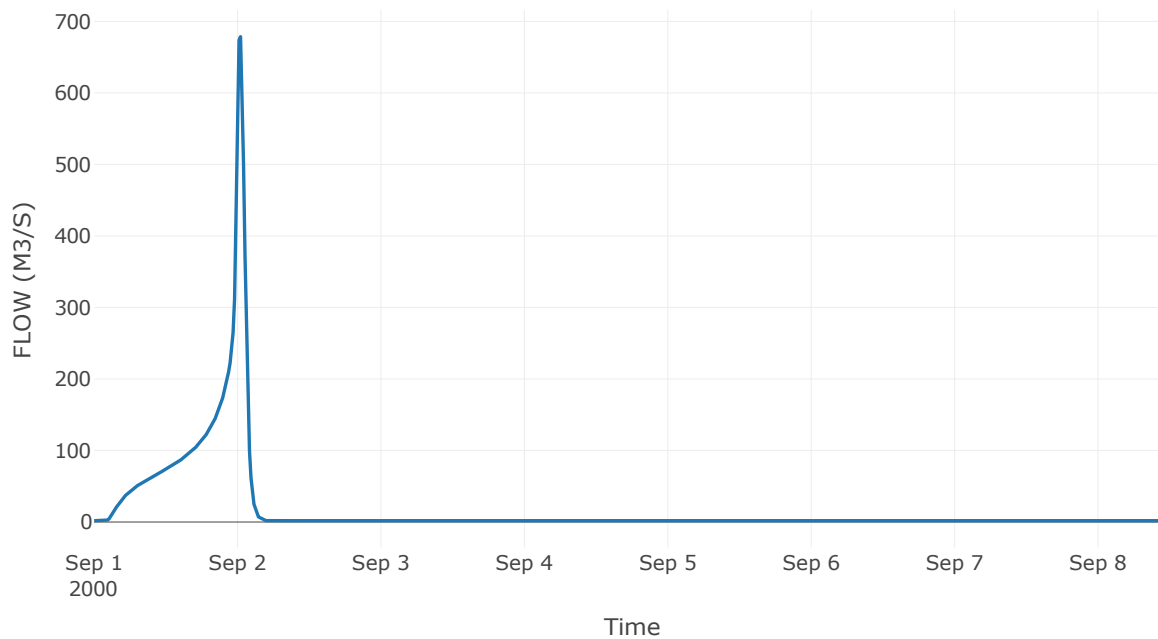
Κατάντη : J11

Μέθοδος Διόδευσης	Χρόνος
Αρχική Μεταβλητή	Combined Inflow
Χρόνος Υστέρησης	45.61

Αποτελέσματα: R1211

Παροχή Αιχμής(M3/S)	678.64
Χρονική στιγμή αιχμής	02Sep2000, 00:30
Όγκος(MM)	330.55
Παροχή Αιχμής Εισόδου (M3/S)	678.64
Όγκος Εισροής(M3)	1.21E7

Απορροή



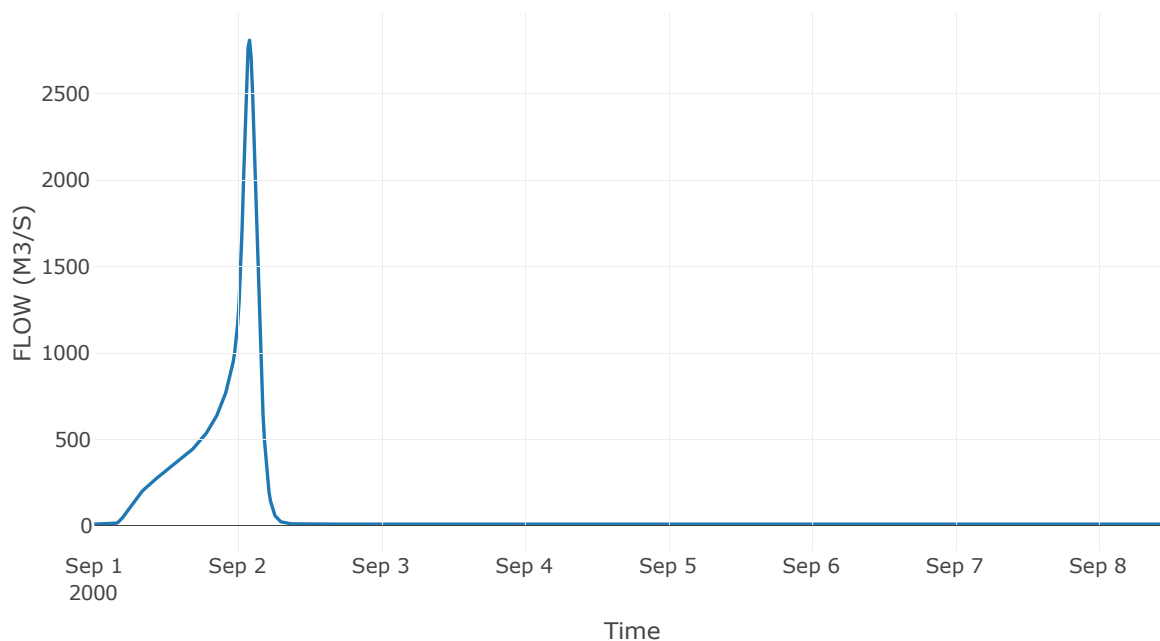
10.3 Δεδομένα και υδρογραφήματα σχεδιασμού Κόμβων υδρογραφικού δικτύου

Κόμβος: J1

Αποτέλεσμα
τα: J1

Παροχή αιχμής (M3/S)	2810.46
Χρονική στιγμή αιχμής	02Sep2000, 02:00
Όγκος (MM)	296.7

Απορροή

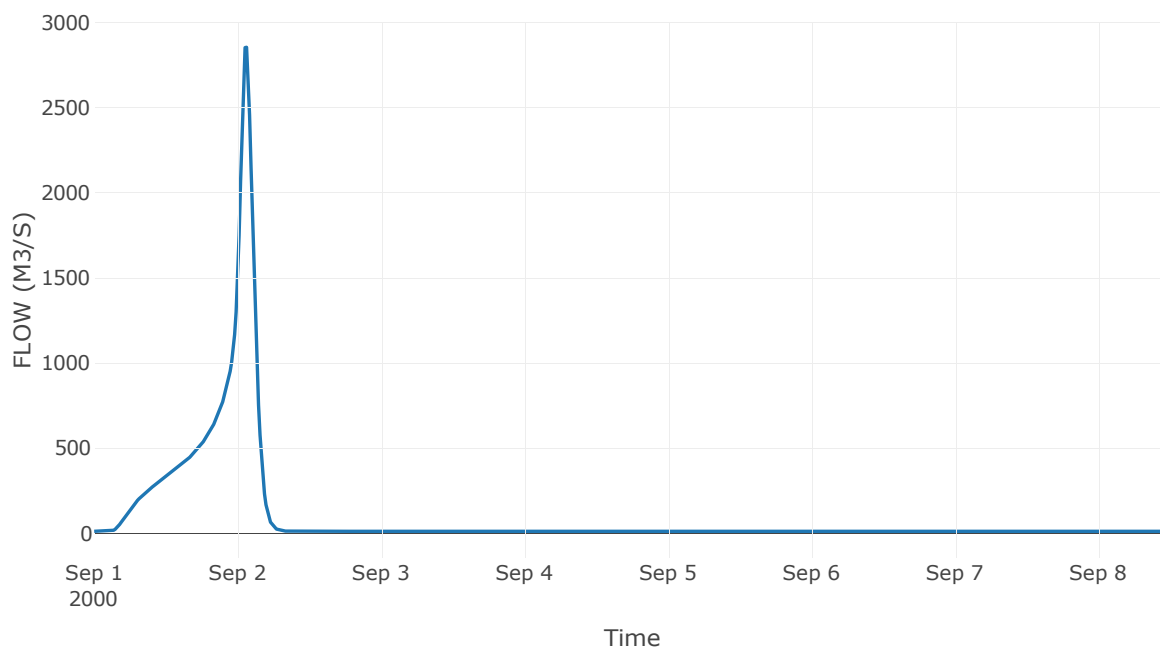


Κόμβος: J2

Αποτελέσματ
α: J2

Παροχή αιχμής (M3/S)	2854.03
Χρονική στιγμή αιχμής	02Sep2000, 01:30
Όγκος (MM)	296.97

Απορροή

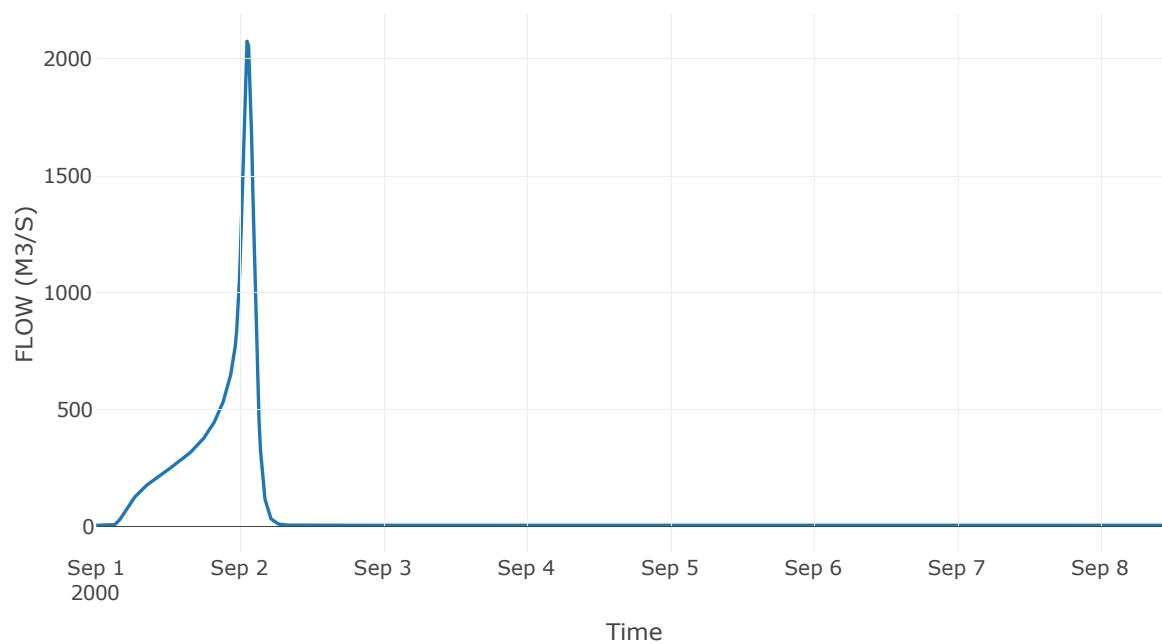


Κόμβος: J3

Αποτελέσμα
α: J3

Παροχή αιχμής (M3/S)	2075.34
Χρονική στιγμή αιχμής	02Sep2000, 01:15
Όγκος (MM)	308.06

Απορροή

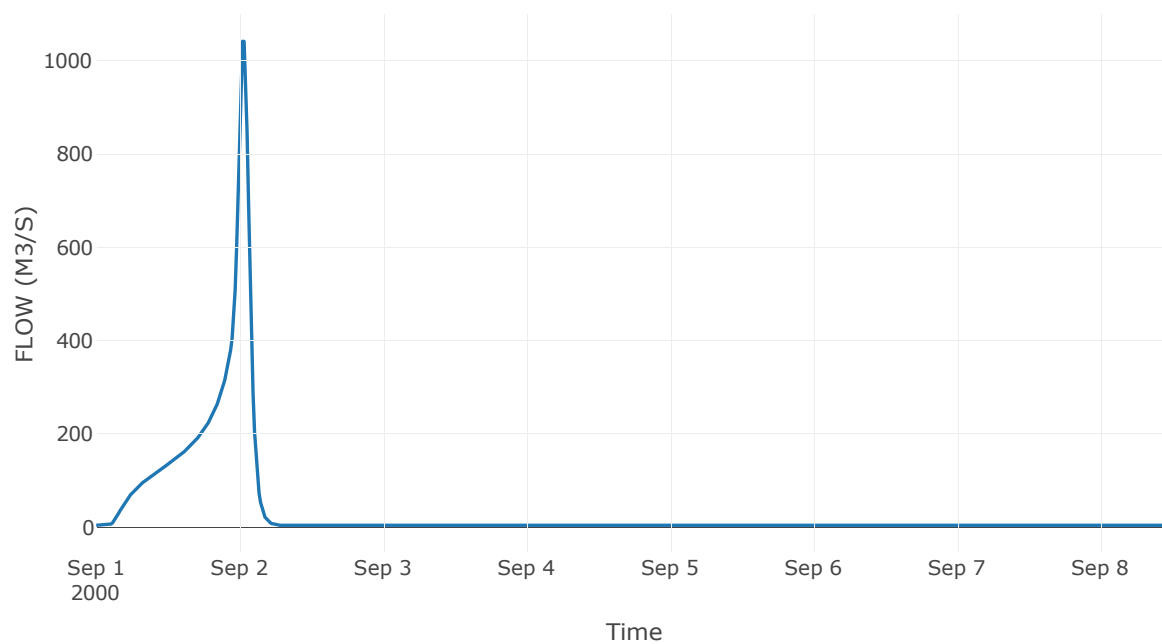


Κόμβος: J4

Αποτελέσματ
α: J4

Παροχή αιχμής (M3/S)	1042.1
Χρονική στιγμή αιχμής	02Sep2000, 00:30
Όγκος (MM)	307.44

Απορροή

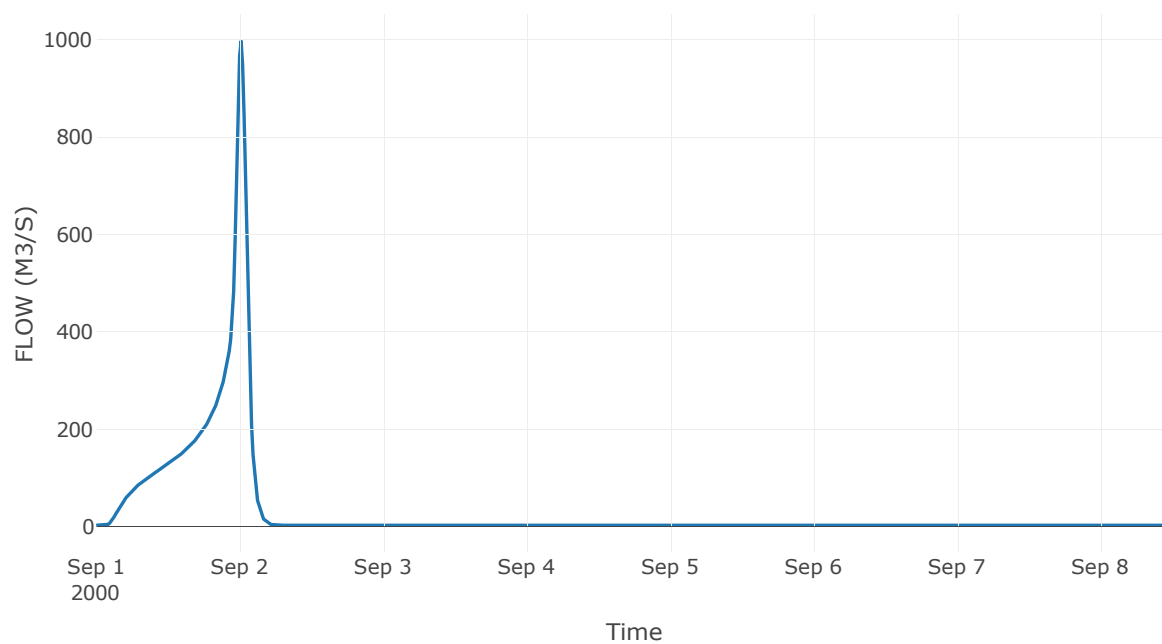


Κόμβος: J5

Αποτέλεσμα
τα: J5

Παροχή αιχμής (M3/S)	996.29
Χρονική στιγμή αιχμής	02Sep2000, 00:15
Όγκος (MM)	310.26

Απορροή

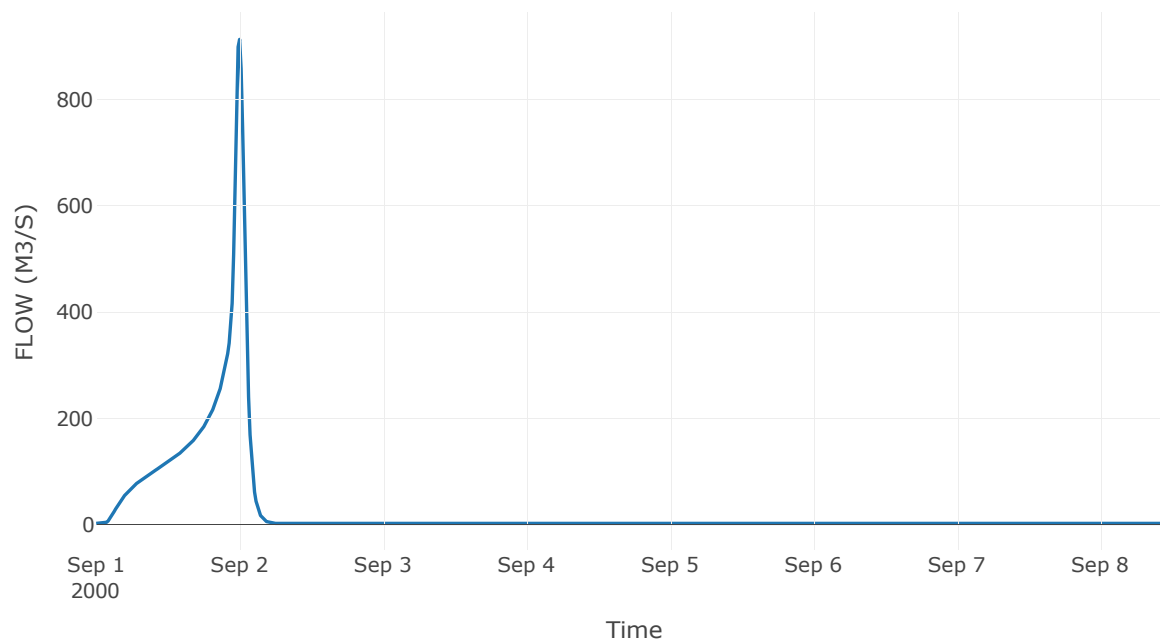


Κόμβος: J6

Αποτελέσματ
α: J6

Παροχή αιχμής (M3/S)	912.86
Χρονική στιγμή αιχμής	01Sep2000, 24:00
Όγκος (MM)	315.74

Απορροή

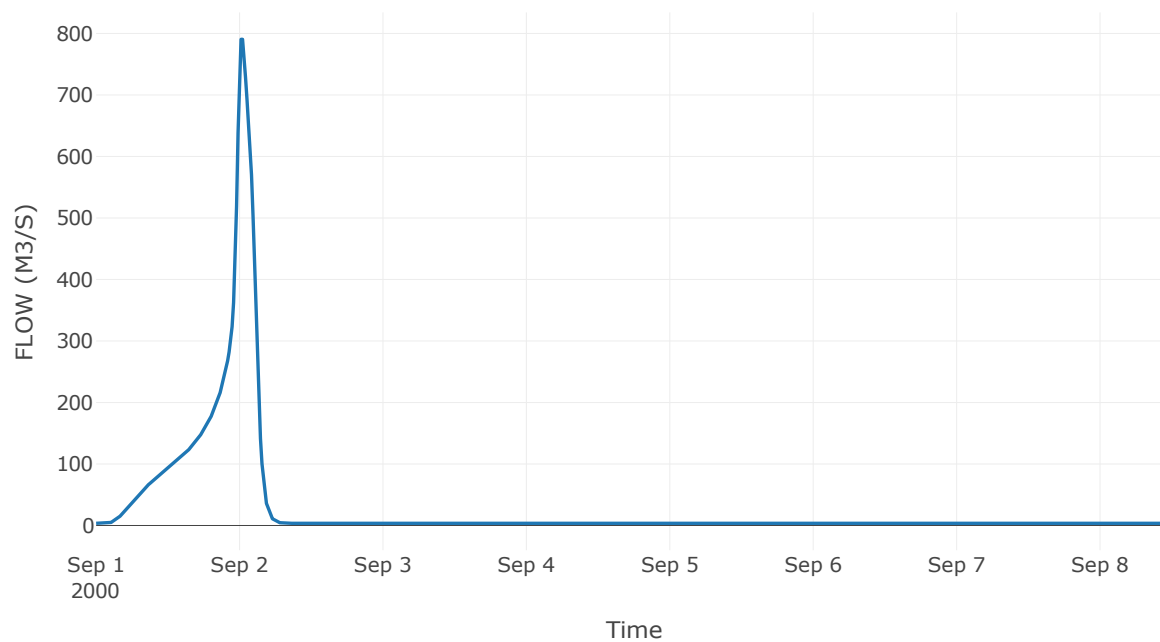


Κόμβος: J7

Αποτέλεσμα
τα: J7

Παροχή αιχμής (M3/S)	790.56
Χρονική στιγμή αιχμής	02Sep2000, 00:30
Όγκος (MM)	275.69

Απορροή

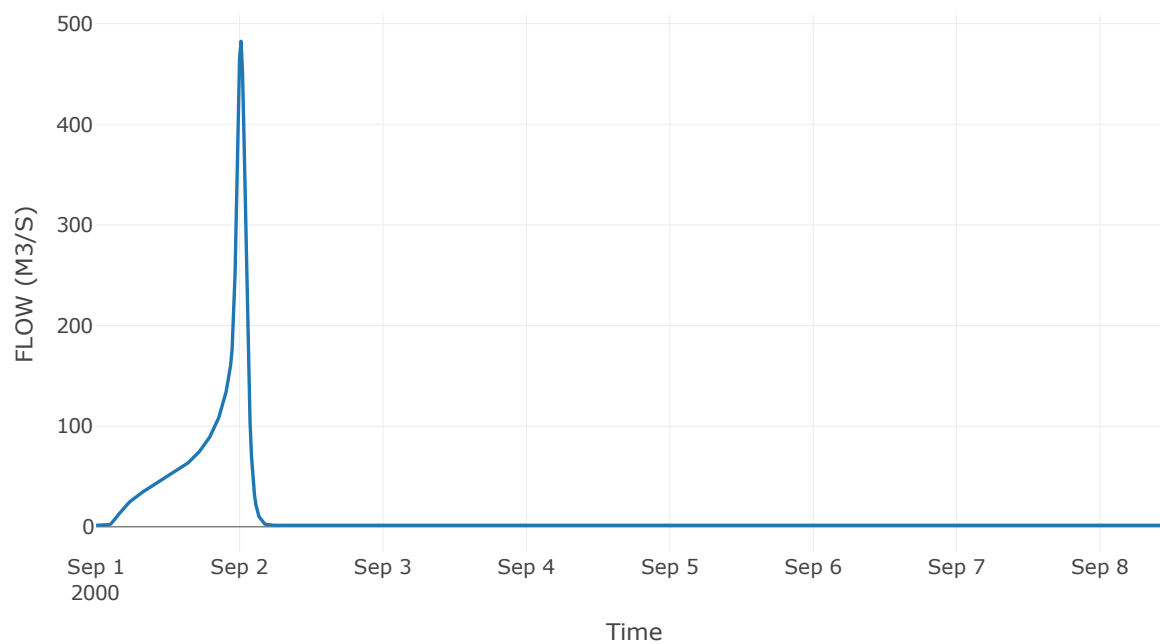


Κόμβος: J8

Αποτελέσματ
α: J8

Παροχή αιχμής (M3/S)	482.44
Χρονική στιγμή αιχμής	02Sep2000, 00:15
Όγκος (MM)	289.47

Απορροή

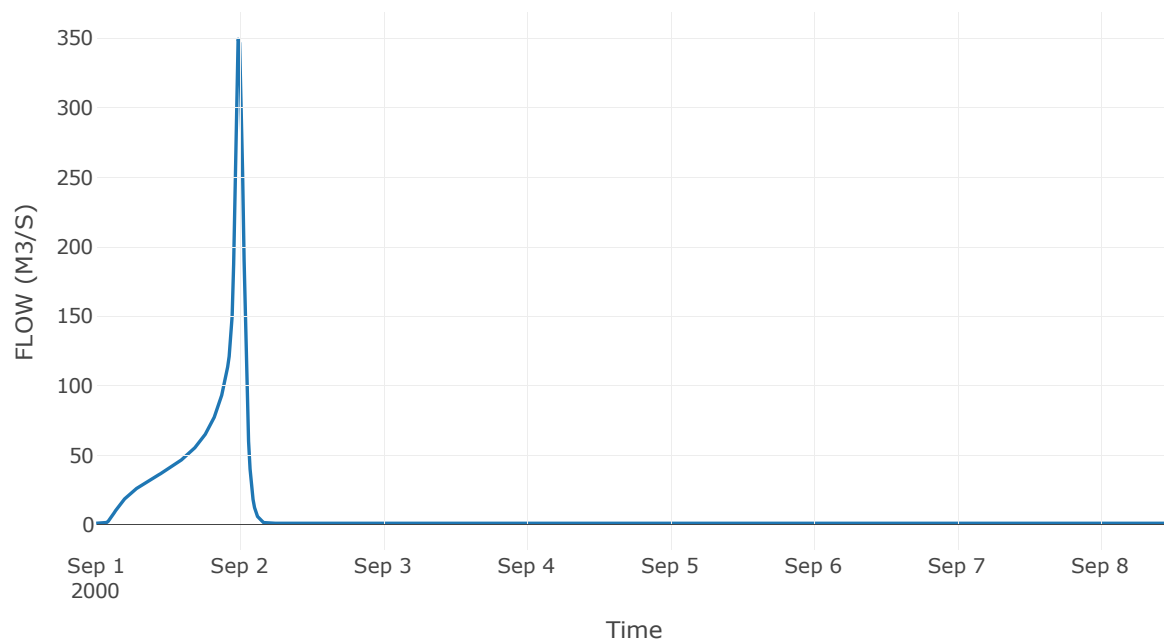


Κόμβος: J9

Αποτελέσματ
α: J9

Παροχή αιχμής (M3/S)	349.32
Χρονική στιγμή αιχμής	01Sep2000, 23:45
Όγκος (MM)	295.41

Απορροή

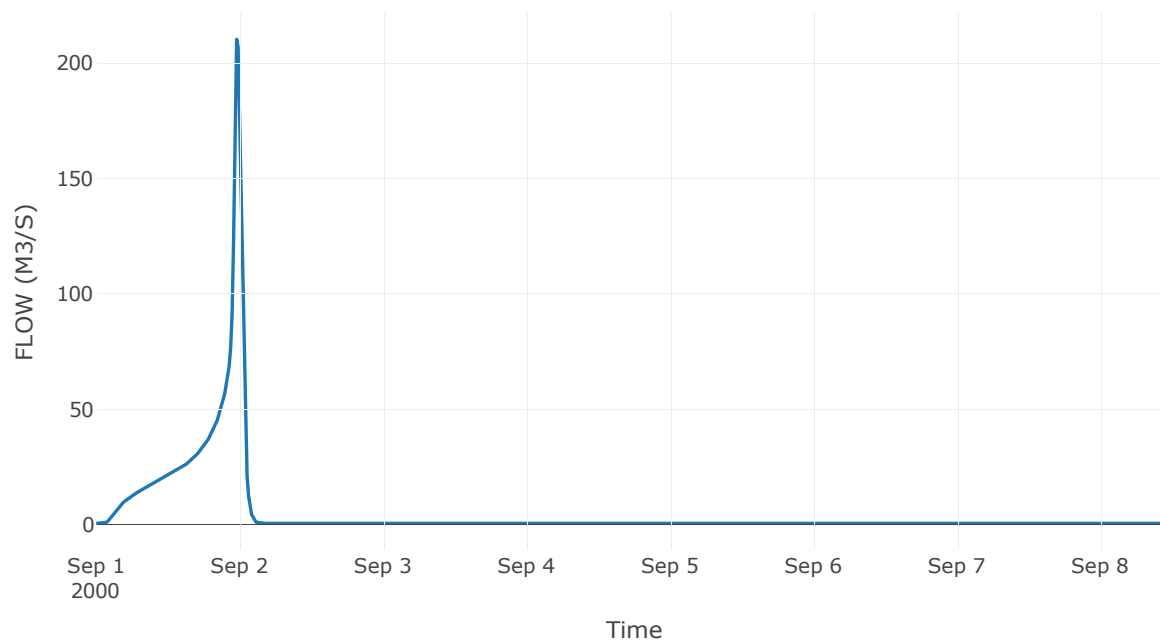


Κόμβος: J10

Αποτελέσματ
α: J10

Παροχή αιχμής (M3/S)	210.21
Χρονική στιγμή αιχμής	01Sep2000, 23:30
Όγκος (MM)	281.64

Απορροή

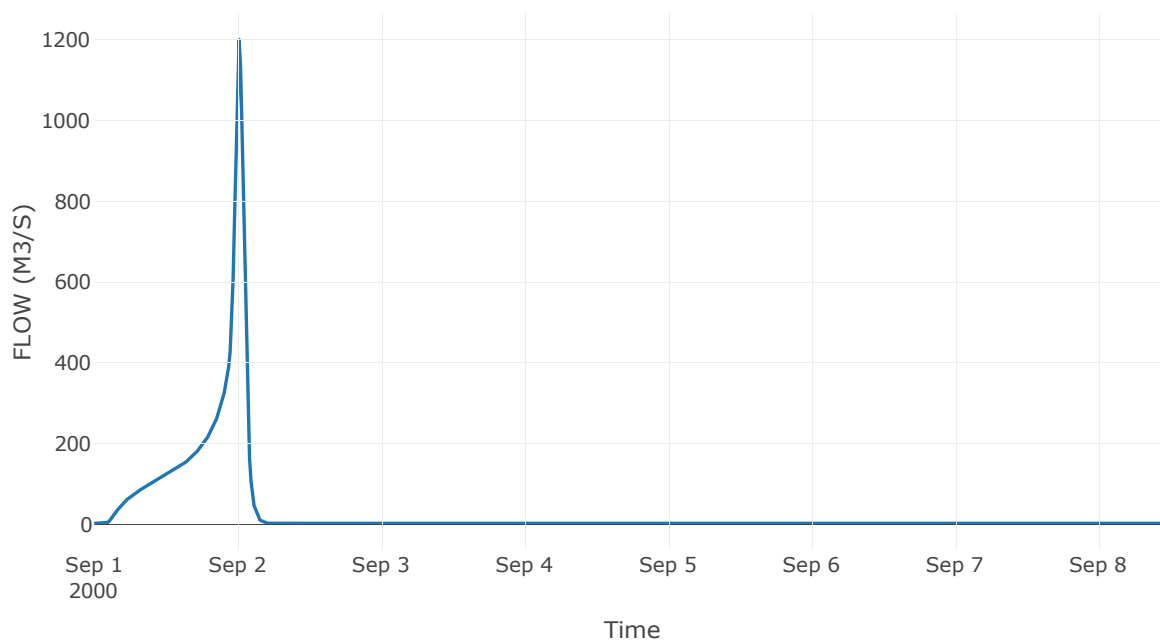


Κόμβος: J11

Αποτελέσματ
α: J11

Παροχή αιχμής (M3/S)	1200.36
Χρονική στιγμή αιχμής	02Sep2000, 00:15
Όγκος (MM)	312.02

Απορροή



Κόμβος: J12

Αποτελέσματ
α: J12

Παροχή αιχμής (M3/S)	678.64
Χρονική στιγμή αιχμής	01Sep2000, 23:45
Όγκος (MM)	330.55

Απορροή

